

**PRŮZKUMY \* ZAMĚŘENÍ \* PROJEKTY**  
ul. 28. října 201,  
709 00 Ostrava - Mariánské Hory

## **D.1.2b STATICKÝ POSUDEK**

**DOKUMENTACE PRO PROVEDENÍ STAVBY  
(DPS)**

### **ČRo OLOMOUC - REKONSTRUKCE OBJEKTU PAVELČÁKOVA 2/19**

Investor:	<b>Český rozhlas</b> Vinohradská 12, 120 99 Praha
Zadavatel:	<b>Ateliér 38 s.r.o.</b> Husova 1431/9, 702 00 Ostrava – Slezská Ostrava
Zpracovatel:	<b>MARPO s.r.o.</b> 28.října 66/201, 709 00 Ostrava – Mariánské Hory
Zodpovědný projektant:	Ing. Radan Sležka
Vypracoval:	Ing. Martin Sležka

**OBSAH:**

<u>1</u>	<u>ÚVOD .....</u>	<u>3</u>
<u>2</u>	<u>ZATÍŽENÍ.....</u>	<u>4</u>
<u>3</u>	<u>ZÁKLADOVÉ POMĚRY.....</u>	<u>4</u>
<u>4</u>	<u>STÁVAJÍCÍ KONSTRUKCE.....</u>	<u>5</u>
4.1	Zesílení stávajících stropních konstrukcí .....	5
4.2	Zjištění možného využití prostor v 5. NP .....	6
<u>5</u>	<u>ZAJIŠTĚNÍ K-CÍ V RÁMCI BOURACÍCH PRACÍ.....</u>	<u>6</u>
5.1	Ocelové překlady.....	6
<u>6</u>	<u>NOVÉ KONSTRUKCE.....</u>	<u>7</u>
6.1	Stropy .....	7
6.2	Studia/režie v zadní části.....	7
6.3	Konstrukce pro vodítka výtahu .....	8
6.4	Vyrovňovací schodiště SCH1 v 1. NP .....	9
6.5	Světlík.....	9
6.6	Venkovní přístřešek.....	10
6.7	Rám příček .....	11
6.8	Konstrukce pro dieselagregát .....	11
6.9	Konstrukce pro chladicí zařízení.....	11

**SEZNAM PŘÍLOH:**

<b>Příloha č.I</b>	Zatížení stavebních konstrukcí.....	( 18 x A4 )
<b>č.I.1a</b>	- zatížení plochých střech	( 6x A4 )
<b>č.I.1b</b>	- zatížení světlíku	( 2x A4 )
<b>č.I.1c</b>	- zatížení uliční části střechy	( 2x A4 )
<b>č.I.2</b>	- zatížení stálé a užitné stropů	( 5x A4 )
<b>č.I.3</b>	- zatížení základů	( 3x A4 )
<b>Příloha č.II</b>	Ocelové konstrukce.....	( 72 x A4 )
<b>č.II.1</b>	- zajištění bouraných konstrukcí	( 8x A4 )
<b>č.II.2</b>	- prvky zesílení, doplnění stropů	( 6x A4 )
<b>č.II.3</b>	- pomocné prvky výtahu	( 11x A4 )
<b>č.II.4</b>	- vestavba studií – zajištění stropu (SCIA)	( 12x A4 )
<b>č.II.5</b>	- světlík (SCIA)	( 12x A4 )
<b>č.II.6</b>	- venkovní přístřešek (SCIA)	( 23x A4 )
<b>Příloha č.III</b>	Železobetonové konstrukce.....	( 126 x A4 )
<b>č.III.1</b>	- stávající prvky střechy	( 6x A4 )
<b>č.III.2a</b>	- stávající prvky stropů nad 1. PP až 3. NP	( 35x A4 )
<b>č.III.2b</b>	- stávající prvky stropů nad 4. NP – potencionální další využití 5. NP	( 20x A4 )
<b>č.III.3</b>	- nové stropy	( 4x A4 )
<b>č.III.4</b>	- stávající prvky stropů (FIN EC – Beton)	( 52x A4 )
<b>č.III.5</b>	- rám světlíku (FIN EC – Beton)	( 9x A4 )
<b>Příloha č.IV</b>	Mikropilota (GEO5 – Mikropilota).....	( 3 x A4 )
<b>Příloha č.V</b>	Základová patka .....	( 1 x A4 )
<b>Příloha č.VI</b>	Zdivo (FIN EC – Zdivo).....	( 2 x A4 )
<b>Příloha č.VII</b>	Kotvení zesilujících nosníků stropu(Hilti-Anchor) .....	( 21 x A4 )
<b>č.VII.1</b>	- kotvení (z4) – K1, K2	( 7x A4 )
<b>č.VII.2</b>	- kotvení (z5) – K3(1)	( 7x A4 )
<b>č.VII.3</b>	- kotvení (z5) – K3(2)	( 7x A4 )

Přílohy statického výpočtu jsou součástí této zprávy pouze v základním nutném rozsahu. Vzhledem k velkému rozsahu tiskových výstupů použitých programů jsou kompletní výstupy k dispozici pouze u zhotovitele statického výpočtu.

## SEZNAM PODKLADŮ, NOREM A POUŽITÉ LITERATURY:

### Výchozí podklady:

- [1] Stavebně architektonické řešení stavby, ATELIER 38 s.r.o., 2019;
- [2] Rekonstrukce domu Pavelčákova č.p.1, č.o.21, Olomouc, Projekt: Půdorys 1.PP, Půdorys 1.NP ,Řez C-C; Blatný, Projektová a stavební firma DELTA PLUS, Olomouc, 05/2001;
- [3] Geologická dokumentace vrtu J-1; Muška, GEOSERVICES CZ s.r.o., Ostrava, 05/2019;
- [4] Zpráva o provedení stavebně-technického průzkumu objektu na ul. Pavelčákova 2/19 Olomouc, MARPO s.r.o., 05/2019 a 10/2019.

### Normy:

- [5] ČSN EN 1990 - Eurokód : Zásady navrhování konstrukcí
- [6] ČSN EN 1991-1-1 - Eurokód 1: Obecná zatížení - Část 1-1: Objemové tíhy, vlastní tíha a užitná zatížení pozemních staveb
- [7] ČSN EN 1991-1-3 - Eurokód 1: Obecná zatížení - Část 1-3: Zatížení sněhem
- [8] ČSN EN 1991-1-4 - Eurokód 1: Obecná zatížení - Část 1-4: Zatížení větrem
- [9] ČSN EN 1992-1-1 - Eurokód 2: Navrhování betonových konstrukcí - Část 1-1: Obecná pravidla a pravidla pro pozemní stavby
- [10] ČSN EN 1993-1-1 - Eurokód 3: Navrhování ocelových konstrukcí - Část 1-1: Obecná pravidla a pravidla pro pozemní stavby
- [11] ČSN EN 1993-1-2 - Eurokód 3: Navrhování ocelových konstrukcí - Část 1-2: Obecná pravidla- Navrhování konstrukcí na účinky požáru
- [12] ČSN EN 1994-1-1 - Eurokód 4: Navrhování spřažených ocelobetonových konstrukcí - Část 1-1: Obecná pravidla a pravidla pro pozemní stavby
- [13] ČSN EN 1996-1-1 - Eurokód 6: Navrhování zděných konstrukcí - Část 1-1: Obecná pravidla pro vyztužené a nevyztužené zděné konstrukce
- [14] ČSN EN 1997-1-1 - Eurokód 7: Navrhování geotechnických konstrukcí - Část 1: Obecná pravidla
- [15] ČSN EN 206-1 - Beton - specifikace, vlastnosti a shoda
- [16] ČSN 73 1001 - Základová půda pod plošnými základy
- [17] ČSN 73 1002 - Pilotové základy, včetně komentáře
- [18] ON 73 1580 - Hodnoty statických veličin průřezů tvaru I, H, U, L, T, trubek průřezu kruhového, průřezu čtvercového a lan.

### Knihy:

- [19] Navrhování betonových a zděných konstrukcí na účinky požáru – Procházka, Štefan, Vašková, ČVUT v Praze, 2010,
- [20] Navrhování základových a pažicích konstrukcí – příručka k ČSN EN 1997 – Masopust, ČKAIT Praha,
- [21] Statické tabulky: Technický průvodce 51 - Hořejší Jiří, Jan Šafka a kol, Praha: SNTL - nakladatelství technické literatury, 1987.
- [22] Základové konstrukce – Bradáč, VUT v Brně, 1994,

## SEZNAM LICENCOVANÝCH SOFTWAREŮ:

- [s1] Beton 3D EC (Fine spol. s r.o.)
- [s2] GEO5 - Miktopilota (Fine spol. s r.o.), včetně komentářů a návrhových postupů
- [s3] ArchiCAD 21.0 (Graphisoft)
- [s4] Scia Engineer 18.1 (Nemetschek Company)
- [s5] Hilti PROFIS Anchor 2.7.2 (Hilti)

# 1 ÚVOD

V rámci řešení projektu rekonstrukce stávajícího objektu na ulici Pavelčákova 2/19 v Olomouci a přilehlých garáží je zpracováno následující stavebně konstrukční řešení.

Projekt rozděluje dva stavební objekty (SO):

**SO-01** – rekonstrukce objektu Pavelčákova 2/19,

**SO-02** – demolice garáže s nakládací rampou.

## **Objekt SO-01:**

V rámci stavebních úprav objektu SO-01 budou vybourány stávající podlahy, vnitřní nenosné příčky, komín v zadní části a schodiště z dvorní strany bez nutnosti statického zajištění. Některé stropní konstrukce nad suterénem budou vybourány a nahrazeny novými žb stropními deskami a ocelovými nosníky. Bude provedeno statické zajištění pomocí ocelových nosníků při bourání prostupů ve svislých nosných stěnách a také při bourání některých prostupů stopními konstrukcemi pro účely vedení instalací. Nevyhovující stávající stropní konstrukce budou zesíleny. V zadní části v místě nových studií/režii budou, mimo zajištění stropů, provedeny nové nosné stěny založené na hlubinných základech. Dále bude nahrazeno stávající vyrovnávací schodiště v 1. NP novým schodištěm a stávající světlík bude nahrazen novým světlíkem. V místech bouraných garáží SO-02 bude proveden nový venkovní přístřešek.

Předměty statického řešení v bodech:

- přepočítání stávajících konstrukcí na nová zatížení (desky, trámy, průvlaky, sloupy);
- zesílení nevyhovujících stávajících konstrukcí (desky, průvlaky);
- zajištění prostupů v nosných stěnách v rámci bouracích prací (překlady, výměna);
- zajištění stropních konstrukcí v místech nových prostupů stropem v rámci bouracích prací;
- doplnění stávajících stropních konstrukcí v místech nových prostupů stropem;
- konstrukce kanálů č.1 a 2 pro VZT (žb základové desky, stěny, stropní desky)
- nové stropní konstrukce (žb desky);
- nové vyrovnávací schodiště v 1. NP (SCH1) (žb deska s nabetonovanými stupni uložena na zděné stěny);
- nová konstrukce pro vodítka výtahu (ocelové sloupy a příčle kotvené do výtahové šachty),
- nová konstrukce světlíku (ocelový krov);
- studia/režie v zadní části (základy, stěny, zajištění stávajících stropů);
- venkovní přístřešek (krokve, vaznice, sloupy, základové patky a pásy).

## **Objekt SO-02:**

Stávající garáž s nakládací rampou bude vybourána a v místě bude proveden nový přístřešek, který bude součástí objektu SO-01.

Návrh a posudek nosných konstrukcí je proveden podle současně platných norem a předpisů ČSN uvedených v seznamu použité literatury a norem. Při výpočtech a posudcích bylo využito komplexního výpočetního softwaru Scia Engineer 18.1.

Navrhované konstrukce byly staticky posouzeny na mezní stav únosnosti a mezní stav použitelnosti. Statickým výpočtem bylo prokázáno, že celá stavba (všechny její jednotlivé nosné prvky) je navržena tak, aby zatížení na ni působící v průběhu výstavby a užívání nemělo za následek:

- zřícení stavby nebo její části,
- větší stupeň nepřijatelného přetvoření nebo kmitání konstrukce
- poškození jiných částí stavby, nebo technických zařízení, anebo instalovaného vybavení v důsledku většího přetvoření nosné konstrukce,
- poškození v případě, kdy je rozsah přetvoření neúměrný původní příčině.

Stavba je navržena z odolných a běžných stavebních materiálů.



Poznámky:

Pokud je uveden odkaz na obchodní firmy, názvy, nebo specifické označení výrobku, je tomu tak z důvodu, aby byl popis předmětu veřejné zakázky dostatečně přesný a srozumitelný. V takovém případě lze použít i jiného, kvalitativně a technicky obdobného řešení, které splňuje požadovaná kritéria.

Tato dokumentace je vytvořena v rozsahu pro provedení stavby (DPS).

Před zahájením realizace stavby musí být vypracována odpovídající výrobně technická dokumentace (VTD) zhotovitelem stavby s podrobným rozpracováním přinejmenším za dozoru autora statické části této dokumentace a odsouhlasena autory této dokumentace.

## 2 ZATÍŽENÍ

Pro stanovení celkového zatížení posuzovaných prvků byly komplexně řešeny navazující konstrukce v základní kombinaci nejnepríznivějšího zatížení, případně jako reakce navazujících konstrukcí.

Zatížení stálé:

- součinitel stálého zatížení  $\gamma_G = 1,35$
- viz statický výpočet dle ČSN EN 1991-1-1

Zatížení nahodilé:

- součinitel nahodilého zatížení  $\gamma_Q = 1,5$

## Užitné zatížení:

- kat. A – toalety = 2,0 kN/m<sup>2</sup>
- kat. A – pomocná schodiště = 3,0 kN/m<sup>2</sup>
- kat. B – kancelářské prostory, režie, studia = 2,5 kN/m<sup>2</sup>
- kat. C3 – chráněná úniková cesta (CHÚC, foyer) = 5,0 kN/m<sup>2</sup>
- kotelna-prostory obsluhy = 1,0 kN/m<sup>2</sup>

## Klimatické zatížení:

- sníh - II. oblast:  $s_k = 1,05 \text{ kN/m}^2$ ,  $\mu_1 = 0,8$  až  $1,13$ ,  $\mu_2 = 1,73$ ,
- vítr – I. oblast, kat. ter. III:  $q_p = 0,568$  až  $0,827 \text{ kN/m}^2$ .
- viz. statický výpočet dle ČSN EN 1991-1-3, 4

Stanovení zatížení - viz příloha č. I.

## 3 ZÁKLADOVÉ POMĚRY

Základové poměry byly stanoveny na základě nového IGP [3]. Nově byl proveden vrt ozn. J-1 situován v blízkosti nové projektované dostavby (před stávající garáží). Hloubka vrtu 10,0 m.

Horní hrana vrtu je stanovena od stávající žulové dlažby. Do hloubky 3,1 m byly objeveny navážky (mokrý hlinitý štěrk s cihlami o mocnosti 1,0 m, mokrý jíl s cihlami o mocnosti 1,1 m, citelná navážka o mocnosti 1,0 m). Do hloubky 5,8 m (mocnost 2,7 m) byly identifikovány jíly se střední až vysokou plasticitou ozn. F6(CI). Následují jíly s vysokou plasticitou F8(CH), do hloubky 8,0 m se jedná o jíly tuhé až pevné, níže pak již jen pevné jíly.

Naražená hladina podzemní vody 1,3 m pod úrovní horní hrany vrtu. Ustálená hladina podzemní vody nebyla vrtem zjištěna, pouze byla naražena v archivních vrtech v hloubce 6,54 m (209,28 m n. m.) rozkyv  $\pm 0,5$  m během roku.

Dle ČSN 73 1001 se z hlediska výskytu podzemní vody nad základovými konstrukcemi a složitosti konstrukce jedná o složitě základové poměry. Stavební konstrukce je dle ČSN 73 1001 náročná.

Z výše uvedeného plyne, že v případě návrhu je potřeba postupovat podle třetí geotechnice kategorie (3. GK) dle ČSN 73 1001.

Základy nových suterénních stěn vestavby budou řešeny hlubinně pomocí mikropilot kotvených do žb prahů.

Základy kanálů pro VZT budou provedeny jako žb desky.

Základy přístřešku budou plošného typu tzn. betonové patky a pásy založeny na přehutněných násypech.

## 4 STÁVAJÍCÍ KONSTRUKCE

Konstrukčně je objekt proveden jako vnitřní žb skelet s obvodovou nosnou sněnou. Objekt je částečně podsklepen, v suterénu je svislý nosný systém tvořen zděnými stěnami a pilíři. Veškeré stropní konstrukce jsou železobetonové monolitické.

Statickým přepočtem byly podrobeny vybrané prvky stropních a svislých nosných konstrukcí. Dle zjištění STP [4] jsou veškeré stropní prvky (desky, trámy, průvlaky) provedeny jako prosté nosníky (tzn. bez horní výztuže).

Pro vytvoření rezervy konstrukcí bude odebráno stávající souvrství podlah a bude nahrazeno novým lehčím souvrstvím. Nově budou instalovány různé typy SDK příček (některé z nich budou akustické).

### 4.1 Zesílení stávajících stropních konstrukcí

Z posudků plyne, že stávající stropní konstrukce nad 1.PP jsou **nevyhovující** z hlediska nového zatížení a je potřeba navrhnout zesílení, mimo části stropů, které budou provedeny nově.

Stropy nadzemních podlaží nad 1., 2., 3., a 4. NP jsou **nevyhovující v místech nových příček, samoobslužných studií, servrovy, archivu, CHÚC před výtahem, kotelny a celé zadní části (tzn. cca 50% všech stropů).**

V případě nedostatečné únosnosti žb desky popřípadě trámů bude přidána střední podpora žb desek, kterou bude tvořit ocelový nosník. V místě samoobslužných studií je nevyhovující průvlak, ten bude zesílen přidáním uhlíkových lamel při spodním povrchu průvlaku.

#### Navržené prvky zesílení :

**z1** – uzavřený ocelový válcovaný profil jákl (*strop nad 1. PP*)..... RHS 200/120/8 (S235);

**z2** – válcované nosníky typu I (*výměna pro z1, strop nad 1. PP*)..... 2x IPN 140 (S235);

**z3** – uzavřený ocelový válcovaný profil jákl (*strop nad 1.PP*)... RHS 300/150/12,5 (S235);

**z4** – uzavřený ocelový válcovaný profil jákl (*strop nad NP*)..... RHS 200/120/6 (S235);

**z5** – uzavřený ocelový válcovaný profil jákl (*strop nad NP*)..... RHS 200/120/8 (S235);

**zesílení průvlaků** – (1) uhlíková lamela šířky/tloušťky 90/1,4 mm (obsah vláken > 68%; teplota skelného přechodu > 100°; modul pružnosti 210 GPa; tahová pevnost 3500 MPa; přetvoření při porušení > 1,6%.); (2) můstek (materiál epoxidového základu a kombinovat základní nátěr, tmel a lepidlo v jednom).

#### Protipožární odolnost:

Protipožární ochrana ocelových prvků zesílení bude zajištěna pomocí protipožárního SDK s požadovanou odolností R45 (tj. 45 min.).

Lamely zesilovaného průvlaku budou na požadovanou odolnost R45 omítnuty speciální cementovou omítkou.

*Posudek stávajících prvků stropů - viz příloha č. III.1 a III.2a.*

Návrh a posudek nových prvků - viz příloha č. II.2.

Návrh a posudek kotvení - viz příloha č. VII.

Z posudku vyplývá, že jsou všechny navržené prvky vyhovující pro celkové zatížení.

## 4.2 Zjištění možného využití prostor v 5. NP

Na žádost investora byla prozkoumaná možnost využití prostor v 5. NP a to:

(a) *přední části pro účely studia;*

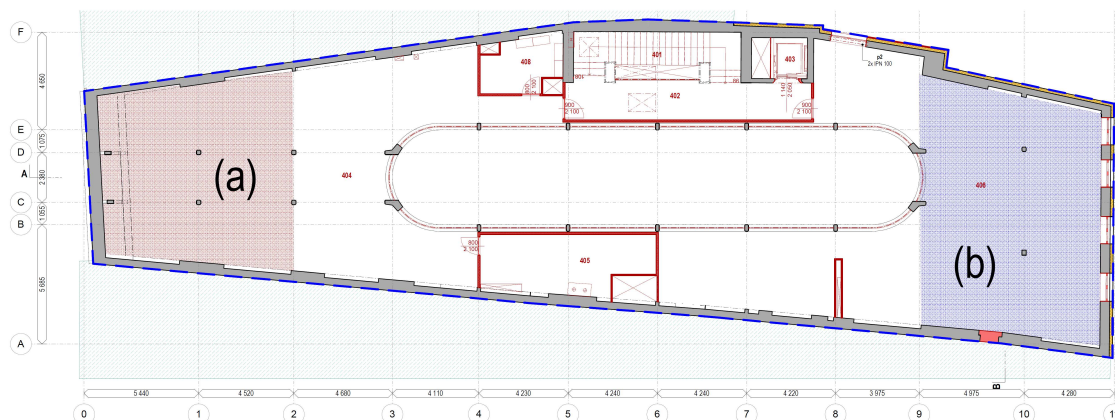
(b) *zadní části.*

Bylo prověřeno několik různých variant zatížení stropních konstrukcí a závěr je takový, že v části:

(a) je možné do budoucna počítat se studiem za předpokladu zesílení stropní konstrukce (odlehčení trámu vložením ocelových profilů do středu rozpětí desek a zesílení průvlaku pomocí uhlíkových lamel) a dále za předpokladu, že příčka v ose č. 2 bude z SDK o max. tíže  $100 \text{ kg/m}^2$ , stávající teraco bude odejmuto, nová podlaha dvojitá o maximální tíže  $50 \text{ kg/m}^2$ , pod stropem podhled SDK, užité zatížení  $2,5 \text{ kN/m}^2$ ;

(b) není možno, bez nákladných a staticky komplikovaných zajištění celé konstrukce, stropní konstrukci zatížit více než stávající vrstvou teraca (bez podhledu) a užitým zatížením  $0,75 \text{ kN/m}^2$ .

Stropy v místě kotelny budou zesíleny.



Obr. č. 1: Půdorys 5. NP – vyznačení zkoumaných ploch (a), (b)  
(zdroj: AT 38 s.r.o.)

Posudek - viz příloha č. III.2b.

## 5 ZAJIŠTĚNÍ K-CÍ V RÁMCI BOURACÍCH PRACÍ

Prvky instalované v rámci provádění etapy bouracích prací.

### 5.1 Ocelové překlady

Překlady nových otvorů jsou navrženy z válcovaných profilů IPN. Překlady jsou spočteny jako jednoduché nosníky prostě uložené o jednom poli. Zatížení plynoucí do těchto překladů je stanoveno na základě reakcí z konstrukcí nad překlady (stropy, stěny).

**Navržené prvky:**

*p1* – válcované nosníky typu I (překlady v 1. PP)..... 2x IPN 180 (S235);  
*p2* – válcované nosníky typu I (překlady v 1. PP)..... 2x IPN 200 (S235);  
*p3* – válc. nosníky typu I (překlady v 1. PP, 1. NP a 2. NP, střecha).... nx IPN 100 (S235);  
*p4* – válcované nosníky typu I (překlady oken v 2., 3., 4. a 5. NP) ..... nx IPN 140 (S235);  
*p5* – válcované nosníky typu I (překlady dveří – půdorys střechy) ..... 2x IPN 100 (S235).  
**POZNÁMKA:** počty profilů překladů ozn. jako *p3* a *p4* se mění dle tl. stěny (minimální počet profilů 2ks / překlad, maximálně 4ks / překlad).

**Protipožární odolnost:**

Ocelové prvky použité pro podchycení otvorů v nosných stěnách budou na požadovanou odolnost R 45 (tj. 45 min) vyplněny cihlami nebo betonovou směsí, obaleny pletivem a omítnuty cementovou omítkou tloušťky min. 25 mm.

*Návrh a posudek prvků - viz příloha č. II.1.*

Z posudku vyplývá, že jsou všechny navržené prvky vyhovující pro celkové zatížení.

## 6 NOVÉ KONSTRUKCE

Prvky instalované po provedení bouracích prací.

### 6.1 Stropy

**Navržené stropní desky nad 1. PP:**

- ds.1* – šikmá železobetonová deska vynášející podlahu vstupu, tl. 150 mm z betonu tř. C25/30-*XC3*, vylita do bednění, vyztužena jednosměrně při spodním povrchu KARI sítí (KY50) Ø8/8-150/150 mm (krytí 35 mm), uložena do vysekaných kapes ve stávajícím zdivu 150 mm;
- ds.2* – železobetonová deska vynášející podlahu foyer (m. č. 008) tl. 100 mm z betonu tř. C25/30-*XC3*, vylita do bednění, vyztužena jednosměrně při spodním i horním povrchu ØR8 po 200 mm (krytí 35 mm), deska uložena v krajích na hranu žb trámu pomocí ocelového L – úhelníku (konce výztuží zahnut směrem nahoru 30 mm a přivařen k stojině, L-úhelník zajištěn proti usmýknutí ze shora lepenými kotvami), uprostřed uložena na horní hranu ocelového nosníku *zI*;
- ds.3* – železobetonová deska vynášející podlahu před výtahem v 1. NP, tl. 150 mm z betonu tř. C25/30-*XC3*, vylita do bednění, vyztužena jednosměrně při spodním povrchu ØR10 po 150 mm (krytí 35 mm), uložena do vysekaných kapes ve stávajícím zdivu 150 mm;
- ds.4* – šikmá železobetonová deska vynášející podlahu u přístřešku, tl. 300 mm z betonu tř. C25/30-*XC3*, vylita do bednění, vyztužena jednosměrně při spodním povrchu KARI sítí (KY50) Ø8/8-150/150 mm (krytí 35 mm), uložena do vysekaných kapes ve stávajícím.

**Protipožární odolnost:**

Železobetonové prvky jsou navrženy na min. R45.

*Návrh a posudek prvků - viz příloha č. III.3.*

Z posudku vyplývá, že jsou všechny navržené prvky vyhovující pro celkové zatížení.

### 6.2 Studia/režie v zadní části

Studia v zadní části objektu budou provedena v 1. NP a v 2. NP, dále je počítáno s rezervou pro studio v 3. NP, které nebude v rámci tohoto projektu realizováno.

Nevyhovující stropní konstrukce bude zajištěna ocelovými nosníky umístěnými pod spodní hrany žb trámů (průvlaky tak ponesou zlomek stávajícího zatížení). Nosníky budou uloženy přes ocelové plotny P8-250/200 mm (vyrovnané cementovou maltou s min. pevností v tlaku 30 MPa) na žb práh 300/220(240) mm, který bude uložen na nové nosné stěny tl. 300 mm z plných cihel pálených P20 zděných na maltu M5. Nosné stěny budou po výšce kotveny do stávajícího zdiva a žb pilířů pomocí lepených trnů  $\varnothing 8$  mm umístěných do každé 3. spáry nového zdiva. Stěny budou vyzděny vždy pod stávající žb desky, spodní líc desek bude vyklínovaný ke stěně a meziprostor bude vyplněn cementovou maltou, stropní desky takto uložené na nových stěnách budou ze shora naříznuty v ose stěny, drážka bude šířky 10 mm do hl. 50 mm (nepřeruší tak výztuž desky). Nové suterénní stěny jsou navrženy tl. 450 a 300 mm z plných cihel pálených P20 vyzděných na maltu M5. Stávající a nové stěny budou plošně propojeny nerezovými trny  $\varnothing 8$  mm tvaru písmene „L“ rozmístěnými v rastru 0,5/0,5 m (instalace před vyzdění nové stěny). Lepení veškerých trnů pomocí dvousložkového lepidla do zdiva a betonu. Suterénní stěny budou uloženy na tuhý železobetonový základový práh 400(450)/550 mm, který přenesení zatížení horní stavby do mikropilot.

V nové suterénní stěně tl. 300 mm bude proveden nový překlad „p2“ z válcovaných profilů typu I, konce budou uloženy na ocelové plotny P8-150/200 mm vyrovnané cementovou maltou s min. pevností v tlaku 30 MPa. Uložení z jedné strany 200 mm a z druhé strany 400 mm (kvůli lepšímu roznesení velkého zatížení od horní stavby).

Překlady „p7“ v nových stěnách tl. 300 mm budou provedeny z dvojice ocelových válcovaných nosníků, které budou obetonovány. Ocelové nosníky překladů „p7“ budou ukládány na ocelové plotny P8-150/150 mm vyrovnané cementovou maltou min. pevnosti v tlaku 30 MPa. Délka uložení nosníků je 150 mm na stěně.

#### Navržené prvky:

**Mikropilota MP** - trubka  $\varnothing 89/10$  (tř. oceli 11 523), celková délka 7,2 m, kořen  $\varnothing 0,2$  m, výška kořene 7,0 m, únos. kořene max 218,17 kN (při uvažování zemin z vrtu J-1), použitá cementová směs CEM II /A-S (TR. 32,5). Hlavy pilot budou opatřeny ocelovou plotnou P20-250/250 mm se středovým otvorem  $\varnothing 30$  mm (pro odvětrání a provedení vnitřní výplně);

**Ocelový nosník N1** – nosník zajišťující žb trámy a vynášející příčku ..... HEB 200 (S235);

**Ocelový nosník N2** – nosník zajišťující žb trámy ..... HEB 200 (S235);

**Překlad p7** – válcované nosníky typu I (v 1. a 2. NP) ..... 2x IPN 140 (S235).

#### Protipožární odolnost:

Protipožární ochrana ocelových prvků bude zajištěna pomocí protipožárního podhledu SDK na požadovanou odolnost R45 (tj. 45 min.). Všechny ostatní nosné prvky mající požární požadavek na požární odolnost R 45 tento požadavek splňují.

*Návrh a posudek ocelových prvků - viz příloha č. II.4.*

*Návrh a posudek zdiva - viz příloha č. VI.*

*Návrh a posudek mikropiloty - viz příloha č. IV.*

Z posudku vyplývá, že jsou všechny navržené prvky vyhovující pro celkové zatížení.

### 6.3 Konstrukce pro vodítka výtahu

Vodítka výtahu budou kotvena do ocelové konstrukce sestávající z dvojice sloupů **svI**, které budou umístěny do osy kotvení vodítek. Paty sloupů budou kotveny do stávajícího dna výtahové šachty chemicky pomocí závitových tyčí M12 (5.8) lepených dvousložkovým lepidlem do betonu přes ocelové plotny tl. 10 mm vyrovnané cementovou maltou s min. pevností v tlaku 30 MPa.

V úrovni stropních rovin budou mezi sloupy vevařeny a přivařeny příčné nosníky **nv2**. Konce příčných nosníků budou kotveny do zadní stěny výtahu (stěna vyzděna z plných pálených cihel na maltu) pomocí chemicky lepených kotev M12 (5.8) lepených dvousložkovým lepidlem do zdiva, z čelní strany výtahové šachty budou nosníky kotveny do železobetonového prvků pomocí chemicky lepených kotev M12 (5.8) lepených dvousložkovým lepidlem do betonu. V obou případech bude kotvení provedeno přes ocelové plotny tl. 8 mm.

Pomocné kotevní prvky vodítek jsou dodávkou výtahu!

Nosník pro montáž výtahu **nv1**, uložen do vysekaných kapes ve zdivu na vyrovnávací plotnu P8-150/150 mm, uložení na neporušeném zdivu 150 mm.

#### Navržené prvky:

**nv1** – válcované nosníky typu I (*montážní nosník*)..... IPN 140 (S235);

**nv2** – uzavřený ocelový válcovaný profil jákl (*příčné nosníky*)..... RHS 100/60/3 (S235);

**sv1** – uzavřený ocelový válcovaný profil jákl (*sloupy*)..... SHS 100/100/4 (S235).

#### Protipožární odolnost:

Požární odolnost není vyžadována.

*Návrh a posudek nosníků - viz příloha č. II.3.*

*Působící síly od vodítek jsou vodorovné a poměrně malé (až zanedbatelné), proto je návrh dimenzí sloupů proveden pouze konstrukčně s dostatečnou rezervou dle mezních stavů.*

Z posudku vyplývá, že jsou všechny navržené prvky vyhovující pro celkové zatížení.

## 6.4 Vyrovnávací schodiště SCH1 v 1. NP

Schodiště je navrženo jako jednoramenné, hlavními nosnými prvky jsou tři zděné stěny tl. 140 mm. Na stěny bude uložena železobetonová deska vylita do prolamovaného plechu TR 40/160/0,75 mm vybetonovaná 80 mm nad vlnu, v rámci betonáže desky budou vytvořeny také stupně schodiště. Deska bude vyztužena při obou površích KARI sítí (KY50) Ø8/8-150/150 mm (krytí 20 mm). v místě podesty bude vytvořena drážka do hl. 100 mm pro uložení šikmé části desky.

#### Protipožární odolnost:

Schodiště je bez požadavku na požární odolnost. Požadavek požárníka je pouze, že schodiště bude nespalné.

*Návrh proveden na základě odborných zkušeností.*

Z posudku vyplývá, že jsou všechny navržené prvky vyhovující pro celkové zatížení.

## 6.5 Světlík

Nový světlík bude odpovídat tvarově stávajícímu světlíku. Tudíž světlík je navržen jako sedlový s oblými valbami. Konstrukčně se jedná o krokrovou soustavu s plnou vazbou co 4. pole. Osy kroků po cca 1,0 m (max 1,06 m). Plnou vazbu tvoří běžný profil krokve a spodní táhlo s dvěma závěsy. Plášť bude skleněný (trojitě sklo v rámečku) ukládán na montážní hliníkové profily 60/20/2 mm, které budou kotveny do horních pásnic T-profilů pomocí hřebů po osové vzdálenosti cca 0,3 m (např. HILTI X-ENP). Krokve budou v patě uloženy na obvodovém žb rámu přes ocelové plotny P12-200/200 mm vyrovnané cementovou maltou s min. pevnosti v tlaku 30 MPa. Kotvení kroků do žb prámu bude provedeno přes chemické kotvy 2 ks M16 (5.8) / spoj lepené dvousložkovým lepidlem do

betonu např. HILTI HIT-HY 200A. Žb rám bude proveden z obvodového průvlaku 250/300 mm a žb sloupků 250/250 mm umístěných v místech stávajících sloupů skeletu. Průvlaky budou vyztuženy pruty Ø20 + třmínky Ø8 po 100 mm, sloupy budou vyztuženy pruty Ø16 tvaru obráceného písmene „U“. Krytí výztuží 25 mm, beton C20/25-XC1. Propojení nových a stávajících sloupů přes závitové tyče M16 (5.8) - hl. kotvení do stávající konstrukce 150 mm lepené dvousložkovým lepidlem do betonu. Mezi sloupky rámu bude provedena vyzdívka z keramických dutinových tvarovek typu therm.

Výrobu konstrukce světlíku (výrobně technická dokumentace - VTD) nutno koordinovat s dodavatelem zasklení v prvotní fázi!!!

#### Navržené prvky:

**kI** – krokev ze svařovaných plechů profilu T ..... T(120/60/10/10) (S355);  
**tI** – spodní táhlo z pásu ..... 6/60 (S355);  
**zI** – závěs táhla z pásu ..... 6/20 (S355).

#### Protipožární ochrana prvků:

Konstrukce je navržena na požární odolnost R15 (tj. 15 min).

*Návrh a posudek ocelových prvků - viz příloha č. II.5.*

*Návrh a posudek betonových prvků - viz příloha č. III.5.*

Z posudku vyplývá, že jsou všechny navržené prvky vyhovující pro celkové zatížení.

## 6.6 Venkovní přístřešek

Nosná konstrukce přístřešku bude provedena z ocelových uzavřených profilů – jākľů (krokve, vaznice, sloupky), křížová stěnová ztužidla z ocelových tyčovin Ø24 mm, ztužidla ve střešní rovině budou provedeny z ocelových pásů P6-60 mm (pásky bodnout svařem ke spodním hranám krokví) a ocelových jākľů SHS 60/60/3. Střecha navržena jako plochá s pláštěm z cetris desek tl. 30 mm kotvených do horních pásnic krokví **K** přes samořezné hřeby. Krokve budou uloženy na vaznice **V**, ty jsou pak vynášeny sloupky **S**.

Sloupky budou kotvených do betonových základů (nových kruhových patek, nového základového pásu, do nové desky *ds.4* a do stávající betonové zálivky na stávajícím suterénním zdivu sousedního objektu. Kotvení sloupů přes plotny P10-200/200 mm vyrovnané cementovou maltou s min. pevností 40 MPa, každý pomocí 4ks kotev M12 (5.8). Základy budou z prostého betonu tř. C20/25-XC2.

Nové základové patky a pásy budou uloženy na přehutněných násypch, hutněných na relativní hutnost  $I_D = 0,7$  a hodnotu modulu přetvárnosti  $E_{DEF} = 20\text{MPa}$  (HUTNĚNÍ BUDE PROVEDENO S OHLEDEM NA PŘÍLEHLÉ STÁVAJÍCÍ ZÁKLADY). Základový pás bude přivytčen v rohu přílozkami tvaru písmene „L“ 1,0 /1,0 m z betonářské oceli 4ks Ø12 mm.

#### Navržené prvky:

**K** – ocelové krokve z válcovaných profilů typu jākľ ..... RHS 120/60/5 (S235);  
**V** – ocelové vaznice z válcovaných profilů typu jākľ ..... RHS 150/100/5 (S235);  
**S** – ocelové sloupky z válcovaných profilů typu jākľ ..... RHS 100/100/6,3 (S235);  
**Z** – ocelová táhla svislého zavětrování z tyčí..... Ø 24 (S355);  
– betonový pás..... tl. = 300 mm (C20/25-XC2);  
– betonová kruhová patka..... D = 350 mm (C20/25-XC2).

#### Protipožární odolnost:

Konstrukce je navržena na požární odolnost R15 (tj. 15 min).

*Návrh a posudek ocelové konstrukce - viz příloha č. II.6.*

*Návrh a posudek základové patky- viz příloha č. V.*

Z posudku vyplývá, že jsou všechny navržené prvky vyhovující pro celkové zatížení.

## 6.7 Rám příček

Rám bude instalován v místech, kde stropní konstrukce nejsou schopny přenést zatížení od nových příček. Rám bude proveden z ocelových válcovaných profilů *r*. Spoje svarové. Kotvení sloupků rámu přes ocelové plotny P6-160/100 mm vyrovnané cementovou maltou a kotveny dvojicí mechanických kotev M8. Kotvení provádět nad žb trámy!

### Navržené prvky:

*r* – ocelový prvek rámu z válcovaného profilu typu jákl ..... RHS 80/50/3 (S235);

### Protipožární odolnost:

Konstrukce je bez požadavku na požární odolnost.

*Návrh a posudek ocelové konstrukce - viz příloha č. II.3.*

Z posudku vyplývá, že jsou všechny navržené prvky vyhovující pro celkové zatížení.

## 6.8 Konstrukce pro dieselagregát

Konstrukce pro vynesení dieselagregátu bude provedena z ocelových válcovaných prvků (*n1*, *n2*, *s1*), které budou vzájemně svařeny. Kotvení sloupků *s1* přes ocelové plotny P8-200/160 mm vyrovnané cementovou maltou a kotveny dvojicí mechanických kotev M8. Sloupky umístěny nad stěnou výtahové šachty! Konce nosníků *n1* budou uloženy do vysekaná kapsy ve zdivu na ocelovou plotnu P8-150/150 mm vyrovnanou cementovou maltou s min. pevnosti v tlaku 30 MPa. Délka uložení nosníků na nosném zdivu min. 150 mm.

### Navržené prvky:

*n1* – válcované nosníky typu I ..... IPN 140 (S235);

*n2* – válcované nosníky typu I ..... IPN 140 (S235);

*s1* – válcované sloupky typu I ..... IPN 140 (S235).

### Protipožární odolnost:

Konstrukce je bez požadavku na požární odolnost.

*Návrh a posudek ocelové konstrukce - viz příloha č. II.3.*

Z posudku vyplývá, že jsou všechny navržené prvky vyhovující pro celkové zatížení.

## 6.9 Konstrukce pro chladicí zařízení

Konstrukce pro vynesení chladicího zařízení na střeše bude provedena z ocelových válcovaných prvků (*n1*, *n2*, *s1*), které budou vzájemně svařeny. Kotvení sloupků *s1* přes ocelové plotny P8-200/120 mm vyrovnané cementovou maltou a kotveny dvojicí mechanických kotev M8 do žb stropních trámů. Sloupky umístěny v osách žb stropních trámů (3x) a nad obvodovou stěnou (1x)!

### Navržené prvky:

*n1* – nosníky z válcovaných profilů typu jákl ..... RHS 100/60/3 (S235);

*n2* – nosníky z válcovaných profilů typu jákl ..... RHS 100/60/3 (S235);



*s1* – sloupky z válcovaných profilů typu jákl ..... RHS 100/60/3 (S235);

**Protipožární odolnost:**

Konstrukce je bez požadavku na požární odolnost.

*Návrh a posudek ocelové konstrukce - viz příloha č. II.3.*

Z posudku vyplývá, že jsou všechny navržené prvky vyhovující pro celkové zatížení.

v Ostravě 01 / 2020

vypracoval: Ing. Martin Sležka

počet stran této zprávy: 256 = 1 strana titulní + 12 stran textu zprávy + 243 stran přílohy

**PŘÍLOHA Č. I.1a - ZATÍŽENÍ PLOCHÝCH STŘECH (↓)**

**Sř1 ZATÍŽENÍ STŘECHY se sklonem 3°**

plochá střecha (CELÁ)

Zg3 STÁLÉ ZATÍŽENÍ - $g_n / g_d$ - plošné		S-11 - střecha		zatížení [kN.m <sup>-2</sup> ]		
				charakteristické	$\gamma_g$	návrhové
hydroizolační fólie z PVC				= 0,018	1,35	0,024
separační textilie ze 100% PP				= 0,003	1,35	0,004
pěnový polystyren EPS 100 S	0,200 x 0,23			= 0,046	1,35	0,062
pás s SBS modifikovaného asfaltu				= 0,043	1,35	0,058
penetrační emulze				= 0,004	1,35	0,005
		$g_k =$	$0,11$	$g_d =$	$0,15$	[kN.m <sup>-2</sup> ]

Zg0 STÁLÉ ZATÍŽENÍ - $g_n / g_d$ - plošné		S-12 - střecha (S-11 + podhled)		zatížení [kN.m <sup>-2</sup> ]		
				charakteristické	$\gamma_g$	návrhové
hydroizolační fólie z PVC				= 0,018	1,35	0,024
separační textilie ze 100% PP				= 0,003	1,35	0,004
pěnový polystyren EPS 100 S	0,200 x 0,23			= 0,046	1,35	0,062
pás s SBS modifikovaného asfaltu				= 0,043	1,35	0,058
penetrační emulze				= 0,004	1,35	0,005
akustická izolace - minerální vata	0,050 x 0,50			= 0,025	1,35	0,034
SDK deska				<u>0,180</u>	1,35	<u>0,243</u>
		$g_k =$	<u>0,32</u>	$g_d =$	<u>0,43</u>	[kN.m <sup>-2</sup> ]

Zs3 NAHODILÉ ZATÍŽENÍ - SNĚHEM - $s_n / s_d$ - plošné		dle ČSN EN 1991-1-3 - Z2 (12/2006)		zatížení [kN.m <sup>-2</sup> ]		
Olomouc				charakteristické	$\gamma_f$	výpočtové
sklon střechy	$\alpha = 3,0^\circ$					
sněhová oblast	2					
základní tíha sněhu	$s_k = 1,05$					
tvarový součinitel (pro sedl.,pult.)	$\mu_1 = 0,80$					
součinitel dle stálého zatížení	$C_e = 1,0$					
součinitel dle stálého zatížení	$C_t = 1,0$					
$s = \mu_1 \times C_e \times C_t \times s_k$				0,840	1,5	1,260
		$s =$	<u>0,84</u>	$s_d =$	<u>1,26</u>	[kN.m <sup>-2</sup> ]
		$s_{0,5} =$	0,42	$s_{d,0,5} =$	0,63	[kN.m <sup>-2</sup> ]

Zw3 NAHODILÉ ZATÍŽENÍ - VĚTREM - $w_n / w_d$ - plošné		dle ČSN EN 1991-1-4 (04/2007)				
Olomouc				$d = 15,0$ m	$b = 49,0$ m	
sklon střechy	$\alpha = 3,0^\circ$			$h = 18,3$ m	$h_p = 0,0$ m	
referenční výška	$z_e = 18,3$ m			pomer výšek $h_p/h = 0,000$		
větrová oblast / základní rychlost větru	1			$w_{b,0} = w_b = 22,5$	$m.s^{-1}$	
kategorie terénu a jejich parametry	III			$z_0 = 0,30$ m	$z_{min} = 5$ m	



parametr terénu	$k_r = 0,19 * (z_0 / z_{0,II})^{0,07} = 0,19 * (0,300 / 0,05)^{0,07} = 0,215$	
souč. drsnosti terénu	$c_r(z) = k_r * \ln(z / z_0) = 0,215 * \ln(18,3 / 0,300) = 0,885$	
součinitel turbulence / součinitel orografie	$k_1 = 1,0$	$c_o(z) = 1,0$
střední rychlost větru	$w_m(z) = c_r(z) * c_o(z) * v_b = 0,885 * 1 * 22,5 = 19,92$	$m.s^{-1}$
intenzita turbulence	$I_v(z) = k_1 / (c_o(z) * \ln(z/z_0)) = 1 / (1 * \ln(18,3 / 0,300)) = 0,243$	
max.dynamický tlak	$q_p(z) = [1 + 7 * I_v(z)] * 1/2 * \rho * v_m^2(z)$	hmotnost vzduchu $\rho = 1,25$ [kg/m <sup>3</sup> ]
	$q_p(z) = [1 + 7 * 0,243] * 1/2 * 0,00125 * 19,92^2 = 0,670$	kN.m <sup>-2</sup>

plochá střecha

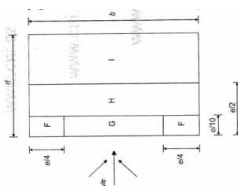
součinitel vnějšího tlaku vzduchu  
dle kapitoly 7.2.5 - Sedlové střechy

$C_{pe10,F} = -1,80$	$C_{pe10,G} = -1,20$
$C_{pe10,H} = -0,70$	$C_{pe10,I} = -0,20$

$$w_e = q_p(z_e) * C_{pe}$$

$$w_d = w_e * \gamma_v$$

popis	charakteristické zatížení	$\gamma_v$	výpočtové zatížení	kN.m <sup>-2</sup>
oblast F	$w_{e,F} = -1,207$	1,5	$w_{d,F} = -1,810$	
oblast G	$w_{e,G} = -0,805$	1,5	$w_{d,G} = -1,207$	
oblast H	$w_{e,H} = -0,469$	1,5	$w_{d,H} = -0,704$	
oblast I	$w_{e,I} = -0,134$	1,5	$w_{d,I} = -0,201$	



## KOMBINACE LOKALIT PŮSOBÍCÍHO VĚTRU

(F;G); H, I	F	G	H	I
w	-	-	-	-
	-1,21	-0,80	-0,47	-0,13

osová vzdálenost kroků  $o = 1,00$  m

popis	ozn.	charakteristické hodnoty zatížení $[kN.m^{-1}]$			
ZATĚŽOVACÍ STAVY_vitr	ZS_w	-	-	-	-
		-1,21	-0,80	-0,47	-0,13

popis	ozn.	charakteristická	návrhová $[kN.m^{-1}]$
ZATĚŽOVACÍ STAVY_sníh	ZS_s	$s_k = 0,84$	$s_d = 1,26$
ZATĚŽOVACÍ STAV_stěcha (A)	ZS_g	$g_k = 0,11$	$g_d = 0,15$

popis	ozn.	charakteristická	návrhová $[kN.m^{-1}]$
ZATĚŽOVACÍ STAVY_sníh	ZS_s	$s_k = 0,84$	$s_d = 1,26$
ZATĚŽOVACÍ STAV_stěcha (B)	ZS_g	$g_k = 0,32$	$g_d = 0,43$

## Sř2 ZATÍŽENÍ STŘECHY se sklonem 2°

## plochá střecha (NÁSTAVBA)

Zg2 STÁLÉ ZATÍŽENÍ -  $g_n / g_d$  - plošné

## S-11 - střecha

zatížení  $[kN.m^{-2}]$ 

	charakteristické	$\gamma_g$	návrhové
hydroizolační fólie z PVC	= 0,018	1,35	0,024
separační textilie ze 100% PP	= 0,003	1,35	0,004
pěnový polystyren EPS 100 S	= 0,046	1,35	0,062
pás s SBS modifikovaného asfaltu	= 0,043	1,35	0,058
penetrační emulze	= 0,004	1,35	0,005
	$g_k = 0,11$	$g_d = 0,15$	$[kN.m^{-2}]$

Zs2 NAHODILÉ ZATÍŽENÍ - SNĚHEM -  $s_n / s_d$  - plošné

dle ČSN EN 1991-1-3 - Z2 (12/2006)

popis	charakteristické	$\gamma_f$	výpočtové
sklon střechy	$\alpha = 2,0^\circ$		
sněhová oblast	2		
základní tíha sněhu	$s_k = 1,05$		
tvarový součinitel (pro sedl.,pult.)	$\mu_1 = 0,80$		
součinitel dle stálého zatížení	$C_e = 1,0$		
součinitel dle stálého zatížení	$C_i = 1,0$		
$s = \mu_1 \times C_e \times C_i \times s_k$	0,840	1,5	1,260
	$s = 0,84$	$s_d = 1,26$	$[kN.m^{-2}]$
	$s_{0,5} = 0,42$	$s_{d,0,5} = 0,63$	$[kN.m^{-2}]$

Zw2 NAHODILÉ ZATÍŽENÍ - VĚTREM -  $w_n / w_d$  - plošné

dle ČSN EN 1991-1-4 (04/2007)

Olomouc		$d = 3,0$ m	$b = 11,0$ m
sklon střechy	$\alpha = 2,0^\circ$	$h = 20,7$ m	$h_p = 0,0$ m
referenční výška	$z_e = 20,7$ m	pomer výšek $h_p/h = 0,000$	
větrná oblast / základní rychlost větru	1	$w_{b,0} = w_b = 22,5$	$m.s^{-1}$
kategorie terénu a jejích parametry	III	$z_0 = 0,30$ m	$z_{min} = 5$ m



parametr terénu	$k_r = 0,19 \cdot (z_0 / z_{0,II})^{0,07} = 0,19 \cdot (0,300 / 0,05)^{0,07} = 0,215$
souč. drsnosti terénu	$c_r(z) = k_r \cdot \ln(z / z_0) = 0,215 \cdot \ln(20,7 / 0,300) = 0,912$
součinitel turbulence / součinitel orografie	$k_1 = 1,0$ $c_o(z) = 1,0$
střední rychlost větru	$w_m(z) = c_r(z) \cdot c_o(z) \cdot v_b = 0,912 \cdot 1 \cdot 22,5 = 20,52$ $m.s^{-1}$
intenzita turbulence	$I_v(z) = k_1 / (c_o(z) \cdot \ln(z/z_0)) = 1 / (1 \cdot \ln(20,7 / 0,300)) = 0,236$
max.dynamický tlak	$q_p(z) = [1 + 7 \cdot I_v(z)] \cdot 1/2 \cdot \rho \cdot v_m^2(z)$ $hmotnost\ vzduchu\ \rho = 1,25$ $[kg/m^3]$
	$q_p(z) = [1 + 7 \cdot 0,236] \cdot 1/2 \cdot 0,00125 \cdot 20,52^2 = 0,698$ $kN.m^{-2}$

## plochá střecha

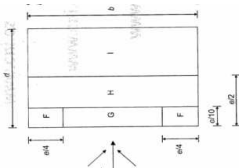
součinitel vnějšího tlaku vzduchu  
dle kapitoly 7.2.5 - Sedlové střechy

$C_{pe10,F} = -1,80$
$C_{pe10,H} = -0,70$

$C_{pe10,G} = -1,20$
$C_{pe10,I} = -0,20$

$$w_e = q_p(z_e) \cdot C_{pe}$$

$$w_d = w_e \cdot \gamma_v$$

popis	charakteristické zatížení	$\gamma_v$	výpočtové zatížení	$\text{kN.m}^{-2}$
	oblast F	$w_{e,F} = -1,257$	1,5	$w_{d,F} = -1,885$
	oblast G	$w_{e,G} = -0,838$	1,5	$w_{d,G} = -1,257$
	oblast H	$w_{e,H} = -0,489$	1,5	$w_{d,H} = -0,733$
	oblast I	$w_{e,I} = -0,140$	1,5	$w_{d,I} = -0,209$

#### KOMBINACE LOKALIT PŮSOBÍCÍHO VĚTRU

(F;G); H, I	F	G	H	I
w	-	-	-	-
	-1,26	-0,84	-0,49	-0,14

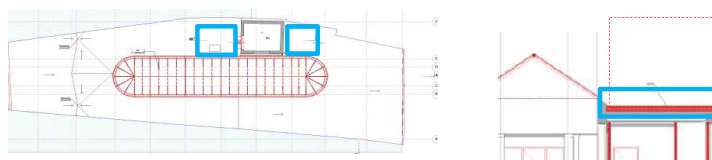
osová vzdálenost kroků  $o = 1,00$  m

popis	ozn.	charakteristické hodnoty zatížení $[\text{kN.m}^{-1}]$
ZATĚŽOVACÍ STAVY_vítr	ZS_w	-1,26 -0,84 -0,49 -0,14

popis	ozn.	charakteristická	návrhová $[\text{kN.m}^{-1}]$
ZATĚŽOVACÍ STAVY_sníh	ZS_s	$s_k = 0,84$	$s_d = 1,26$
ZATĚŽOVACÍ STAV_stěcha	ZS_g	$g_k = 0,11$	$g_d = 0,15$

#### Stř3 ZATÍŽENÍ STŘECHY se sklonem 2°

#### plochá střecha (MEZI SVĚTLÍKEM A NASTAVBOU)



Zg2 STÁLÉ ZATÍŽENÍ -  $g_n / g_d$  - plošné

**S-11** - střecha

skladba - popis vrstev	tloušťka $[m]$	obj.hmot. $\gamma$ $[\text{kN.m}^{-3}]$	zatížení $[\text{kN.m}^{-2}]$	
			charakteristické	$\gamma_g$ návrhové
hydroizolační fólie z PVC			= 0,018	1,35 0,024
separační textilie ze 100% PP			= 0,003	1,35 0,004
pěnový polystyren EPS 100 S	0,200	x 0,23	= 0,046	1,35 0,062
pás s SBS modifikovaného asfaltu			= 0,043	1,35 0,058
penetrační emulze			= 0,004	1,35 0,005
	0,200		$g_k = 0,11$	$g_d = 0,15$ $[\text{kN.m}^{-2}]$

Zs2 NAHODILÉ ZATÍŽENÍ - SNĚHEM -  $s_n / s_d$  - plošné

dle ČSN EN 1991-1-3 - Z2 (12/2006)

popis	charakteristické	$\gamma_f$	výpočtové
sklon střechy	$\alpha = 2,0^\circ$		
sněhová oblast	2		
základní tíha sněhu	$s_k = 1,05$		
tvárový součinitel (pro sedl.,pult.)	$\mu_1 = 0,80$		
součinitel dle stálého zatížení	$C_e = 1,0$		
součinitel dle stálého zatížení	$C_t = 1,0$		
$s = \mu_1 \times C_e \times C_t \times s_k$			
	0,840	1,5	1,260
	$s = 0,84$	$s_d = 1,26$ $[\text{kN.m}^{-2}]$	
	$s_{0,5} = 0,42$	$s_{d,0,5} = 0,63$ $[\text{kN.m}^{-2}]$	
sklon přilehlé střechy	$\alpha_{\text{sesuv}} = 30,0^\circ$		
referenční šířky	$b_{1,s} = 2,6$ m	$b_1 = 5,3$ m	$b_2 = 4,4$ m
délka návěje / referenční výšky	$l_{s,\text{prac}} = 6,8$ m	$h_1 = 3,4$ m	$h_2 = 3,4$ m
limitní hodnoty délky návěje	$l_s = 6,8$ m	$l_{s,\text{min}} = 5,0$	$l_{s,\text{max}} = 15,0$
tvárový součinitel navátý (oblast I-IV.) - dle $b_{1,2}$	$\mu_w = 1,42$	$\mu_{w,\text{min}} = 0,8$	$\mu_{w,\text{max}} = 2,0$
tvárový součinitel navátý - limitní hodnota dle $\gamma$	$\mu_{w,\gamma} = 6,48$		
tvárový součinitel sesunutý	$\mu_s = 0,31$		
tvárový součinitel navátý a sesunutý (pro sedl.,pult.)	$\mu_2 = \mu_w + \mu_s$		
	$\mu_2 = 1,73$		
kontrola tvarového součinitele nenavátého (pro $l_s > b_2$ )	$\mu_1 = 1,13$		
$s_2 = \mu_2 \times C_e \times C_t \times s_k$			
	1,814	1,5	2,722
	$s_2 = 1,81$	$s_{d,2} = 2,72$ $[\text{kN.m}^{-2}]$	
kontrola zatížení sněhem na vnějším okraji střechy dle nenavátého (pro $l_s > b_2$ )	$s_1 = 1,18$	$s_{d,1} = 1,78$ $[\text{kN.m}^{-2}]$	

Zw2 NAHODILÉ ZATÍŽENÍ - VĚTREM -  $w_n / w_d$  - plošné

dle ČSN EN 1991-1-4 (04/2007)

Olomouc

sklon střechy

referenční výška

větrová oblast / základní rychlost větru

kategorie terénu a jejích parametry

$$\alpha = 2,0^\circ$$

$$z_e = 18,3 \text{ m}$$

2

III

$$d = 14,0 \text{ m}$$

$$h = 18,3 \text{ m}$$

$$b = 4,4 \text{ m}$$

$$h_p = 0,2 \text{ m}$$

$$\text{pomer výšek } h_p/h = 0,011$$

$$w_{b,0} = w_b = 25,0 \text{ m.s}^{-1}$$

$$z_0 = 0,30 \text{ m} \quad z_{\min} = 5 \text{ m}$$



parametr terénu  $k_r = 0,19 \cdot (z_0 / z_{0,II})^{0,07} = 0,19 \cdot (0,300 / 0,05)^{0,07} = 0,215$

souč. drsnosti terénu  $c_r(z) = k_r \cdot \ln(z / z_0) = 0,215 \cdot \ln(18,28 / 0,300) = 0,885$

součinitel turbulence / součinitel orografie  $k_t = 1,0 \quad c_o(z) = 1,0$

střední rychlost větru  $w_m(z) = c_r(z) \cdot c_o(z) \cdot v_b = 0,885 \cdot 1 \cdot 25,0 = 22,13 \text{ m.s}^{-1}$

intenzita turbulence  $I_v(z) = k_t / (c_o(z) \cdot \ln(z/z_0)) = 1 / (1 \cdot \ln(18,3 / 0,300)) = 0,243$

max. dynamický tlak  $q_p(z) = [1 + 7 \cdot I_v(z)] \cdot 1/2 \cdot \rho \cdot v_m^2(z)$  hmotnost vzduchu  $\rho = 1,25 \text{ kg/m}^3$

$q_p(z) = [1 + 7 \cdot 0,243] \cdot 1/2 \cdot 0,00125 \cdot 22,13^2 = 0,827 \text{ kN.m}^{-2}$

plochá střecha

součinitel vnějšího tlaku vzduchu

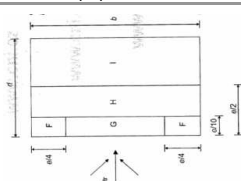
dle kapitoly 7.2.5 - Sedlové střechy

$$w_e = q_p(z_e) \cdot c_{pe}$$

$$w_d = w_e \cdot \gamma_v$$

popis

charakteristické zatížení

 $\gamma_v$ výpočtové zatížení  $\text{kN.m}^{-2}$ 

oblast F	$w_{e,F} = -1,324$	1,5	$w_{d,F} = -1,986$
oblast G	$w_{e,G} = -0,910$	1,5	$w_{d,G} = -1,365$
oblast H	$w_{e,H} = -0,579$	1,5	$w_{d,H} = -0,869$
oblast I	$w_{e,I} = -0,165$	1,5	$w_{d,I} = -0,248$

popis

ozn.

charakteristické hodnoty zatížení  $[\text{kN.m}^{-2}]$ 

ZATĚŽOVACÍ STAVY\_vitr

ZS\_w

$$w_k = -1,32 \quad -0,91 \quad -0,58 \quad -0,17$$

$$w_d = -1,99 \quad -1,37 \quad -0,87 \quad -0,25$$

popis

ozn.

charakteristická

návrhová  $[\text{kN.m}^{-2}]$ 

ZATĚŽOVACÍ STAVY\_sníh

ZS\_s1

$$s_{1,k} = 1,18 \quad s_{1,d} = 1,78$$

ZS\_s2

$$s_{2,k} = 1,81 \quad s_{2,d} = 2,72$$

ZATĚŽOVACÍ STAV\_stěcha

ZS\_g

$$g_k = 0,11 \quad g_d = 0,15$$

Stř4 ZATÍŽENÍ STŘECHY se sklonem  $2^\circ$ 

plochý venkovní přístřešek

Zg2 STÁLÉ ZATÍŽENÍ -  $g_n / g_d$  - plošné

skladba - popis vrstev

tloušťka

obj. hmot.

zatížení  $[\text{kN.m}^{-2}]$ 

	[m]	$\gamma$ [kN.m <sup>3</sup> ]	charakteristické	$\gamma_g$	návrhové
cedris deska	0,030	x 14,00	= 0,420	1,35	0,567
	0,030		q <sub>k</sub> = 0,42	q <sub>d</sub> = 0,57	[kN.m <sup>-2</sup> ]

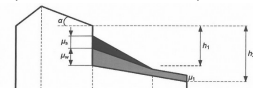
Zs2 NAHODILÉ ZATÍŽENÍ - SNĚHEM -  $s_n / s_d$  - plošné

dle ČSN EN 1991-1-3 - Z2 (12/2006)

Olomouc

zatížení  $[\text{kN.m}^{-2}]$ 

popis		charakteristické	$\gamma_f$	výpočtové
sklon střechy	$\alpha$	= 2,0 °		
sněhová oblast		2		
základní tíha sněhu	$s_k$	= 1,05		
tvarový součinitel (pro sedl.,pult.)	$\mu_1$	= 0,80		
součinitel dle stálého zatížení	$C_e$	= 1,0		
součinitel dle stálého zatížení	$C_t$	= 1,0		
$s = \mu_1 \times C_e \times C_t \times s_k$			0,840	1,5
				1,260
	$s$	= 0,84	$s_d$	= 1,26 [kN.m <sup>-2</sup> ]
	$s_{0,5}$	= 0,42	$s_{d,0,5}$	= 0,63 [kN.m <sup>-2</sup> ]
sklon přilehlé střechy	$\alpha_{sesuv}$	= 0,0 °	$\gamma$	= 2,00 kN.m <sup>-3</sup>
referenční šířky	$b_{1,s}$	= 13,8 m	$b_1$	= 13,8 m
			$b_2$	= 9,9 m
délka návěje / referenční výšky	$l_{s,prac}$	= 34,0 m	$h_1$	= 17,0 m
			$h_2$	= 17,0 m
limitní hodnoty délky návěje	$l_s$	= 15,0 m	$l_{s,min}$	= 5,0
			$l_{s,max}$	= 15,0
tvarový součinitel navátý (oblast I-IV.) - dle $b_{1,2}$	$\mu_w$	= 0,80	$\mu_{w,min}$	= 0,8
			$\mu_{w,max}$	= 2,0
tvarový součinitel navátý - limitní hodnota dle $\gamma$	$\mu_{w,\gamma}$	= 32,38		
tvarový součinitel sesunutý	$\mu_s$	= 0,00		
tvarový součinitel navátý a sesunutý (pro sedl.,pult.)	$\mu_2$	= $\mu_w + \mu_s$		



$\mu_2 = 0,80$					
$\mu_1 = 0,80$					
kontrola tvarového součinitele nenavátého (pro $l_s > b_2$ )		navátý a sesun. sněh	0,840	1,5	1,260
$s_2 = \mu_2 \times C_e \times C_1 \times s_k$			$s_2 = 0,84$	$s_{d,2} = 1,26$	[kN.m <sup>-2</sup> ]
kontrola zatížení sněhem na vnějším okraji střechy dle nenavátého (pro $l_s > b_2$ )			$s_1 = 0,84$	$s_{d,1} = 1,26$	[kN.m <sup>-2</sup> ]

**Zw2 NAHODILÉ ZATÍŽENÍ - VĚTREM -  $w_n / w_d$  - plošné**

dle ČSN EN 1991-1-4 (04/2007)

0

geometrie půdorysu:

sklon střechy	$\alpha = 2,0^\circ$	$b = 3,0 \text{ m}$	$d = 2,1 \text{ m}$
referenční výška	$z_e = 3,2 \text{ m}$	$h = 3,2 \text{ m}$	
větrová oblast / základní rychlost větru	<b>2</b>	$w_{b,0} = w_b = 25,0 \text{ m.s}^{-1}$	
kategorie terénu a jejich parametry	<b>III</b>	$z_0 = 0,30 \text{ m}$	$z_{\min} = 5 \text{ m}$



parametr terénu	$k_r = 0,19 \cdot (z_0 / z_{0,II})^{0,07} = 0,19 \cdot (0,300 / 0,05)^{0,07} = 0,215$	
souč. drsnosti terénu	$c_r(z) = k_r \cdot \ln(z / z_0) = 0,215 \cdot \ln(5 / 0,300) = 0,606$	
součinitel turbulence / součinitel orografie	$k_1 = 1,0$	$c_o(z) = 1,0$
střední rychlost větru	$w_m(z) = c_r(z) \cdot c_o(z) \cdot v_b = 0,606 \cdot 1 \cdot 25,0 = 15,15 \text{ m.s}^{-1}$	
intenzita turbulence	$I_v(z) = k_1 / (c_o(z) \cdot \ln(z/z_0)) = 1 / (1 \cdot \ln(3,2 / 0,300)) = 0,422$	
max. dynamický tlak	$q_p(z) = [1 + 7 \cdot I_v(z)] \cdot 1/2 \cdot \rho \cdot v_m^2(z)$	$\rho = 1,25 \text{ [kg/m}^3\text{]}$
	$q_p(z) = [1 + 7 \cdot 0,422] \cdot 1/2 \cdot 0,00125 \cdot 15,15^2 = 0,568 \text{ kN.m}^{-2}$	

**pultový přístřešek**

součinitel plnosti	$\phi = 1,0$	rozsah oblasti C od okraje $d/10 = 0,21 \text{ m}$
součinitel celkové síly	$C_{f,max} = 0,20$	$C_{f,min} = -1,30$
součinitel vnějšího tlaku vzduchu	$C_{p,net,A,max} = 0,50$	$C_{p,net,A,min} = -1,50$
dle kapitoly 7.3 - Přístřešky	$C_{p,net,C,max} = 1,10$	$C_{p,net,C,min} = -2,20$
$w_e = q_p(z_e) \cdot c_{p,net}$		
$w_d = w_e \cdot \gamma_v$		

popis	charakteristické zatížení	$\gamma_v$	výpočtové zatížení	kN.m <sup>-2</sup>
oblast A	$w_{e,A+} = 0,284$	1,5	$w_{d,A+} = 0,426$	
	$w_{e,A-} = -0,851$	1,5	$w_{d,A-} = -1,277$	
oblast C	$w_{e,C+} = 0,624$	1,5	$w_{d,C+} = 0,937$	
	$w_{e,AC-} = -1,249$	1,5	$w_{d,C-} = -1,873$	

popis	ozn.	charakteristické hodnoty zatížení [kN.m <sup>-2</sup> ]		
ZATĚŽOVACÍ STAVY_vítr	ZS_w(+)	$w_k = 0,62$	0,28	0,62
		$w_d = 0,94$	0,43	0,94
ZS_w(-)		$w_k = -1,25$	-0,85	-1,25
		$w_d = -1,87$	-1,28	-1,87

popis	ozn.	charakteristická	návrhová	[kN.m <sup>-2</sup> ]
ZATĚŽOVACÍ STAVY_sněh	ZS_s1	$s_{1,k} = 0,84$	$s_{1,d} = 1,26$	
	ZS_s2	$s_{2,k} = 0,84$	$s_{2,d} = 1,26$	
ZATĚŽOVACÍ STAV_stěcha	ZS_g	$g_k = 0,42$	$g_d = 0,57$	

**ZATÍŽENÍ STĚNY VĚTREM****plochý venkovní přístřešek****Zws NAHODILÉ ZATÍŽENÍ - VĚTREM -  $w_n / w_d$  - plošné**

dle ČSN EN 1991-1-4 (04/2007)

**OSTRAVA**

referenční výška / šířka obj. stěny / délka obj.

$h = z_e = 3,0 \text{ m}$	$d = 3,9 \text{ m}$	$b = 7,7 \text{ m}$
<b>2</b>	$w_{b,0} = w_b = 25,0 \text{ m.s}^{-1}$	
<b>III</b>	$z_0 = 0,30 \text{ m}$	$z_{\min} = 5 \text{ m}$
$e = 6,0 \text{ m}$	poměr výšek $h/d = 1,303$	



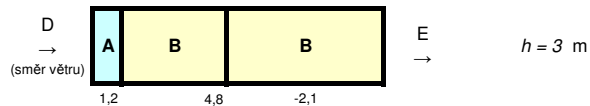
parametr terénu	$k_r = 0,19 \cdot (z_0 / z_{0,II})^{0,07} = 0,19 \cdot (0,300 / 0,05)^{0,07} = 0,215$	
souč. drsnosti terénu	$c_r(z) = k_r \cdot \ln(z / z_0) = 0,215 \cdot \ln(5 / 0,300) = 0,606$	
součinitel turbulence / součinitel orografie	$k_1 = 1,0$	$c_o(z) = 1,0$
střední rychlost větru	$w_m(z) = c_r(z) \cdot c_o(z) \cdot v_b = 0,606 \cdot 1 \cdot 25,0 = 15,15 \text{ m.s}^{-1}$	
intenzita turbulence	$I_v(z) = k_1 / (c_o(z) \cdot \ln(z/z_0)) = 1 / (1 \cdot \ln(3,0 / 0,300)) = 0,434$	
max. dynamický tlak	$q_p(z) = [1 + 7 \cdot I_v(z)] \cdot 1/2 \cdot \rho \cdot v_m^2(z)$	$\rho = 1,25 \text{ [kg/m}^3\text{]}$
	$q_p(z) = [1 + 7 \cdot 0,434] \cdot 1/2 \cdot 0,00125 \cdot 15,15^2 = 0,580 \text{ kN.m}^{-2}$	

dle kapitoly 7.2.2 - svislé stěny v ploše

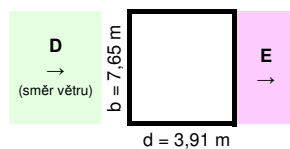
$c_{pe10,SD+} = 0,80$	$c_{pe10,SE-} = -0,60$	<b><math>e \geq d</math> (obl. A, B)</b>
-----------------------	------------------------	--

stěna - popis	$C_{pe10,SA} = -1,20$ $C_{pe10,SB} = -0,80$ $C_{pe10,SC} = -0,50$		
	charakteristické zatížení	$\gamma_v$	výpočtové zatížení
oblast D (+)	$w_{e,SD+} = 0,46$	1,5	$w_{d,SD+} = 0,70$
oblast E (-)	$w_{e,SE-} = -0,35$	1,5	$w_{d,SE-} = -0,52$
oblast A (-)	$w_{e,SA-} = -0,70$	1,5	$w_{d,SA-} = -1,04$
oblast B (-)	$w_{e,SB-} = -0,46$	1,5	$w_{d,SB-} = -0,70$
oblast C (-)	$w_{e,SC-} = -0,29$	1,5	$w_{d,SC-} = -0,43$

POHLED: SCHÉMA BOČNÍ STĚNY



PŮDORYS OBJ.



## PŘÍLOHA Č. I.1b - ZATÍŽENÍ SVĚTLÍKU (↓)

### Sř4 ZATÍŽENÍ STŘECHY se sklonem 30°


### valbová střecha (SVĚTLÍK)

#### Zg30 STÁLÉ ZATÍŽENÍ - $g_n / g_d$ - plošné

skladba - popis vrstev	tloušťka [m]	obj.hmot. $\gamma$ [kN.m <sup>-3</sup> ]	zatížení [kN.m <sup>-2</sup> ]		
			charakteristické	$\gamma_g$	návrhové
troj-sklo + rámy	0,025 x	22,00	0,550	1,35	0,743
			$g_k = 0,55$	$g_d = 0,74$	[kN.m <sup>-2</sup> ]

#### Zs30 NAHODILÉ ZATÍŽENÍ - SNĚHEM - $s_n / s_d$ - plošné

dle ČSN EN 1991-1-3 - Z2 (12/2006)

Olomouc		zatížení [kN.m <sup>-2</sup> ]		
popis		charakteristické	$\gamma_f$	výpočtové
sněhová oblast	$\alpha = 30,0^\circ$ <b>2</b>			
základní tíha sněhu	$s_k = 1,05$			
tvarový součinitel (pro sedl.,pult.)	$\mu_1 = 0,80$			
součinitel dle stálého zatížení	$C_e = 1,0$			
součinitel dle stálého zatížení	$C_t = 1,0$			
$s = \mu_1 \times C_e \times C_t \times s_k$		0,840	1,5	1,260
		$s = 0,84$		$s_d = 1,26$ [kN.m <sup>-2</sup> ]
		$s_{0,5} = 0,42$		$s_{d,0,5} = 0,63$ [kN.m <sup>-2</sup> ]

#### Zw30 NAHODILÉ ZATÍŽENÍ - VĚTREM - $w_n / w_d$ - plošné

dle ČSN EN 1991-1-4 (04/2007)

Olomouc		$\alpha = 30,0^\circ$	$l = 25,8$ m	$b = 5,3$ m
sklon střechy		$z_e = 20,4$ m	$h_{nřeben} = 20,4$ m	$h_{řimsa} = 18,5$ m
referenční výška		<b>1</b>	$w_{b,0} = w_b = 22,5$ m.s <sup>-1</sup>	
větrová oblast / základní rychlost větru		<b>III</b>	$z_0 = 0,30$ m	$z_{min} = 5$ m
kategorie terénu a jejich parametry		$e = \min(b; 2 \cdot h) = 5,3$ m		
parametr terénu		$k_r = 0,19 \cdot (z_0 / z_{0,II})^{0,07} = 0,19 \cdot (0,300 / 0,05)^{0,07} = 0,215$		
souč. drsnosti terénu		$c_r(z) = k_r \cdot \ln(z / z_0) = 0,215 \cdot \ln(20,38 / 0,300) = 0,909$		
součinitel turbulence / součinitel orografie		$k_t = 1,0$	$c_o(z) = 1,0$	
střední rychlost větru		$w_m(z) = c_r(z) \cdot c_o(z) \cdot v_b = 0,909 \cdot 1 \cdot 22,5 = 20,44$ m.s <sup>-1</sup>		
intenzita turbulence		$I_v(z) = k_t / (c_o(z) \cdot \ln(z / z_0)) = 1 / (1 \cdot \ln(20,4 / 0,300)) = 0,237$		
max.dynamický tlak		$q_p(z) = [1 + 7 \cdot I_v(z)] \cdot 1/2 \cdot \rho \cdot v_m^2(z)$ hmotnost vzduchu $\rho = 1,25$ [kg/m <sup>3</sup> ] $q_p(z) = [1 + 7 \cdot 0,237] \cdot 1/2 \cdot 0,00125 \cdot 20,44^2 = 0,695$ kN.m <sup>-2</sup>		

#### sedlová střecha - směr větru 0°

součinitel vnějšího tlaku vzduchu  
dle kapitoly 7.2.6- Valbové střechy

$$w_e = q_p(z_e) \cdot c_{pe}$$

$$w_d = w_e \cdot \gamma_v$$

$c_{pe10,F-} = -0,50$	$c_{pe10,G-} = -0,50$	$c_{pe10,H-} = -0,20$
$c_{pe10,F+} = 0,50$	$c_{pe10,G+} = 0,70$	$c_{pe10,H+} = 0,40$
$c_{pe10,I-} = -0,40$	$c_{pe10,J-} = -0,70$	$c_{pe10,K-} = -0,50$
$c_{pe10,I+} = -0,40$	$c_{pe10,J+} = -0,70$	$c_{pe10,K+} = -0,50$
$c_{pe10,L-} = -1,40$	$c_{pe10,M-} = -0,80$	
$c_{pe10,L+} = -1,40$	$c_{pe10,M+} = -0,80$	

popis	charakteristické zatížení	$\gamma_v$	výpočtové zatížení	kN.m <sup>-2</sup>
oblast F (-)	$w_{e,F-} = -0,347$	1,5	$w_{d,F-} = -0,521$	
oblast G (-)	$w_{e,G-} = -0,347$	1,5	$w_{d,G-} = -0,521$	
oblast H (-)	$w_{e,H-} = -0,139$	1,5	$w_{d,H-} = -0,208$	
oblast I (-)	$w_{e,I-} = -0,278$	1,5	$w_{d,I-} = -0,417$	
oblast J (-)	$w_{e,J-} = -0,486$	1,5	$w_{d,J-} = -0,729$	
oblast K (-)	$w_{e,K-} = -0,347$	1,5	$w_{d,K-} = -0,521$	
oblast L (-)	$w_{e,L-} = -0,973$	1,5	$w_{d,L-} = -1,459$	
oblast M (-)	$w_{e,M-} = -0,556$	1,5	$w_{d,M-} = -0,834$	
oblast F (+)	$w_{e,F+} = 0,347$	1,5	$w_{d,F+} = 0,521$	
<b>oblast G (+)</b>	<b><math>w_{e,G+} = 0,486</math></b>	<b>1,5</b>	<b><math>w_{d,G+} = 0,729</math></b>	
oblast H (+)	$w_{e,H+} = 0,278$	1,5	$w_{d,H+} = 0,417$	



oblast I (+)	$w_{e,I+} = -0,278$	1,5	$w_{d,I+} = -0,417$
oblast J (+)	$w_{e,J+} = -0,486$	1,5	$w_{d,J+} = -0,729$
oblast K (+)	$w_{e,K+} = -0,347$	1,5	$w_{d,K+} = -0,521$
<b>oblast L (+)</b>	<b><math>w_{e,L+} = -0,973</math></b>	<b>1,5</b>	<b><math>w_{d,L+} = -1,459</math></b>
oblast M (+)	$w_{e,M+} = -0,556$	1,5	$w_{d,M+} = -0,834$

charakteristické hodnoty zatížení [kN.m<sup>-2</sup>]

KOMBINACE LOKALIT PŮSOBÍCÍHO VĚTRU PRO  
STŘEDNÍ VAZBU STŘECHY

(PŘÍČNÝ ŘEZ V POLI STŘECHY)

(G ; H ; K ; L)	G	H	K	L	
$w_1$	+	+	+	+	
	0,49	0,28	-0,35	-0,28	
$w_2$	+	+	-	-	
	0,49	0,28	-0,35	-0,28	
$w_3$	-	-	-	-	
	-0,35	-0,14	-0,35	-0,28	
$w_4$	-	-	+	+	
	-0,35	-0,14	-0,35	-0,28	

POZNÁMKA 1: Při směru 0° a sklonu střechy  $\alpha = 5 - 45^\circ$  se uvažují pouze dva případy at. vše (+) nebo vše záporné (-) - viz 7.2.6 / tabulka 7.5

osová vzdálenost kroků  $o = 1,06$  m

popis	ozn.	charakteristické hodnoty zatížení [kN.m <sup>-1</sup> ]				
ZATĚŽOVACÍ STAVY_vítr	ZS_w <sub>1</sub>	+	+	+	+	+
		0,52	0,29	-0,37	-0,29	0,00
	e/10= 0,525 m	+	+	-	-	-
	ZS_w <sub>2</sub>	0,52	0,29	-0,37	-0,29	0,00
		-	-	-	-	-
ZS_w <sub>3</sub>		-0,37	-0,15	-0,37	-0,29	0,00
		-	-	+	+	+
	ZS_w <sub>4</sub>	-0,37	-0,15	-0,37	-0,29	0,00

popis	ozn.	charakteristická		návrhová [kN.m-1]
ZATĚŽOVACÍ STAVY_sníh	ZS_s1	$s_k =$	0,8904	$s_d =$ 1,34
	ZS_s2	$s_{k,0,5} =$	0,4452	$s_{d,0,5} =$ 0,67
ZATĚŽOVACÍ STAV_stěcha	ZS_g	$g_k =$	0,58	$g_d =$ 0,79

KOMBINACE LOKALIT PŮSOBÍCÍHO VĚTRU PRO  
NÁROŽNÍ KROKVE

(G ; H), (L ; M)	G	H	L	M	
$w_1$	+	+	+	+	
	0,49	0,28	-0,97	-0,56	
$w_2$	-	-	-	-	
	-0,35	-0,14	-0,97	-0,56	

osová vzdálenost kroků  $o = 1,00$  m

popis	ozn.	charakteristické hodnoty zatížení [kN.m <sup>-1</sup> ]				
ZATĚŽOVACÍ STAVY_vítr	ZS_w <sub>1</sub>	+	+	+	+	+
		0,49	0,28	-0,97	-0,56	0,00
		-	-	-	-	-
ZS_w <sub>2</sub>		-0,35	-0,14	-0,97	-0,56	0,00
popis	ozn.	charakteristická		návrhová [kN.m-1]		
ZATĚŽOVACÍ STAVY_sníh	ZS_s1	$s_k =$	0,84	$s_d =$	1,26	
ZATĚŽOVACÍ STAV_stěcha	ZS_g	$g_k =$	0,55	$g_d =$	0,74	

## PŘÍLOHA Č. I.1c - ZATÍŽENÍ ULIČNÍ ČÁSTI STŘECHY (↓)

### Sř5 ZATÍŽENÍ STŘECHY se sklonem 75°

### sedlová střecha (ULIČNÍ ČÁST)

Zg75 STÁLÉ ZATÍŽENÍ -  $g_n / g_d$  - plošné

skladba - popis vrstev

S-11 - střecha

tloušťka  
[m]

obj.hmot.  
 $\gamma$  [kN.m<sup>-3</sup>]

zatížení [kN.m<sup>-2</sup>]

charakteristické

$\gamma_g$

návrhové

hydroizolační fólie z PVC			=	0,018	1,35	0,024
separační textilie ze 100% PP			=	0,003	1,35	0,004
pěnový polystyren EPS 100 S	0,200	x		0,046	1,35	0,062
pás s SBS modifikovaného asfaltu			=	0,043	1,35	0,058
penetrační emulze			=	0,004	1,35	0,005
			$g_k =$			$g_d =$
			0,11			0,13 [kN.m <sup>-2</sup> ]

Zs75 NAHODILÉ ZATÍŽENÍ - SNĚHEM -  $s_n / s_d$  - plošné  
Olomouc

dle ČSN EN 1991-1-3 - Z2 (12/2006)

zatížení [kN.m<sup>-2</sup>]

popis	charakteristické	$\gamma_i$	výpočtové
sklon střechy	$\alpha =$	75,0 °	
sněhová oblast	2		
základní tíha sněhu	$s_k =$	1,05	
tvarový součinitel (pro sedl.,pult.)	$\mu_i =$	0,00	
součinitel dle stálého zatížení	$C_e =$	1,0	
součinitel dle stálého zatížení	$C_t =$	1,0	
$s = \mu_i \times C_e \times C_t \times s_k$			
	0,000	1,5	0,000
$s =$	0,00	$s_d =$	0,00 [kN.m <sup>-2</sup> ]
$s_{0,5} =$	0,00	$s_{d,0,5} =$	0,00 [kN.m <sup>-2</sup> ]

Zw75 NAHODILÉ ZATÍŽENÍ - VETREM -  $w_n / w_d$  - plošné

dle ČSN EN 1991-1-4 (04/2007)

Olomouc

sklon střechy	$\alpha =$	75,0 °	$l =$	32,0 m	$b =$	3,7 m
referenční výška	$z_e =$	19,3 m	$h_{\text{nížebn}} =$	19,3 m	$h_{\text{řimsa}} =$	15,9 m
větrová oblast / základní rychlost větru	1		$w_{b,0} = w_b =$	22,5	$m.s^{-1}$	
kategorie terénu a jejich parametry	III		$z_0 =$	0,30 m	$z_{\text{min}} =$	5 m



parametr terénu  
souč. drsnosti terénu  
součinitel turbulence / součinitel orografie  
střední rychlost větru  
intenzita turbulence  
max.dynamický tlak

$$\begin{aligned}
 k_r &= 0,19 \cdot (z_0 / z_{0,II})^{0,07} = 0,19 \cdot (0,300 / 0,05)^{0,07} = 0,215 \\
 c_r(z) &= k_r \cdot \ln(z / z_0) = 0,215 \cdot \ln(19,28 / 0,300) = 0,897 \\
 k_I &= 1,0 \quad c_o(z) = 1,0 \\
 w_m(z) &= c_r(z) \cdot c_o(z) \cdot v_b = 0,897 \cdot 1 \cdot 22,5 = 20,18 \text{ m.s}^{-1} \\
 I_v(z) &= k_I / (c_o(z) \cdot \ln(z / z_0)) = 1 / (1 \cdot \ln(19,3 / 0,300)) = 0,240 \\
 q_p(z) &= [1 + 7 \cdot I_v(z)] \cdot 1/2 \cdot \rho \cdot v_m^2(z) \quad \text{hmotnost vzduchu } \rho = 1,25 \text{ [kg/m}^3\text{]} \\
 q_p(z) &= [1 + 7 \cdot 0,240] \cdot 1/2 \cdot 0,00125 \cdot 20,18^2 = 0,682 \text{ kN.m}^{-2}
 \end{aligned}$$

sedlová střecha - směr větru 0°

součinitel vnějšího tlaku vzduchu

$C_{pe10,F-} =$	0,80	$C_{pe10,G-} =$	0,80	$C_{pe10,H-} =$	0,80
$C_{pe10,F+} =$	0,80	$C_{pe10,G+} =$	0,80	$C_{pe10,H+} =$	0,80
$C_{pe10,I-} =$	-0,20	$C_{pe10,J-} =$	-0,30		
$C_{pe10,I+} =$	-0,20	$C_{pe10,J+} =$	-0,30		

$$w_e = q_p(z_e) \cdot C_{pe}$$

$$w_d = w_e \cdot \gamma_v$$

popis

charakteristické zatížení

$\gamma_v$

výpočtové zatížení

kN.m<sup>-2</sup>

--	--

sedlová střecha - směr větru 90°

součinitel vnějšího tlaku vzduchu

$$C_{pe10,F} = -1,10$$

$$C_{pe10,G} = -1,20$$

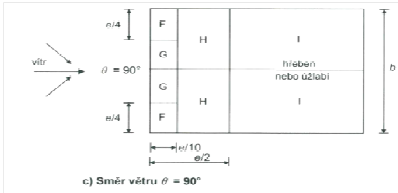
dle kapitoly 7.2.5 - Sedlové střechy

$$C_{pe10,H} = -0,80$$

$$C_{pe10,I} = -0,50$$

$$w_e = q_p(z_e) \cdot C_{pe}$$

$$w_d = w_e \cdot \gamma_v$$

popis	charakteristické zatížení	$\gamma_v$	výpočtové zatížení	$\text{kN.m}^{-2}$
 <p>c) Směr větru <math>\theta = 90^\circ</math></p>	oblast F	$w_{e,F} = -0,750$	1,5	$w_{d,F} = -1,126$
	oblast G	$w_{e,G} = -0,819$	1,5	$w_{d,G} = -1,228$
	oblast H	$w_{e,H} = -0,546$	1,5	$w_{d,H} = -0,819$
	oblast I	$w_{e,I} = -0,341$	1,5	$w_{d,I} = -0,512$

## KOMBINACE LOKALIT PŮSOBÍCÍHO VĚTRU

(F;G); H, I	F	G	H	I
$w$	-	-	-	-
	-0,75	-0,82	-0,55	-0,34

osová vzdálenost kroků  $o = 1,00$  m

popis	ozn.	charakteristické hodnoty zatížení $[\text{kN.m}^{-1}]$			
ZATĚŽOVACÍ STAVY_vítr	ZS_w	-0,75	-0,82	-0,55	-0,34

popis	ozn.	charakteristická	návrhová $[\text{kN.m}^{-1}]$
ZATĚŽOVACÍ STAVY_sníh	ZS_s	$s_k = 0,00$	$s_d = 0,00$
ZATĚŽOVACÍ STAV_stěcha	ZS_g	$g_k = 0,11$	$g_d = 0,15$

**PŘÍLOHA Č. I.2 - STANOVENÍ ZATÍŽENÍ STROPŮ (↓)****(A) STÁLÉ ZATÍŽENÍ****(A.1) PODLAHY**

<b>Zg.0</b>	<b>STÁLÉ ZATÍŽENÍ STROPŮ - <math>g_n</math> / <math>g_d</math> - plošné</b>	<b>F01</b>	<b>- dvojité podlaha ve studu v 2. NP</b>				
	<i>skladba - popis vrstev</i>	<i>tloušťka</i>	<i>obj.hmot.</i>	<i>zatížení [kN.m<sup>-2</sup>]</i>			
		<i>[m]</i>	<i><math>\gamma</math> [kN.m<sup>3</sup>]</i>	<i>charakteristické</i>	<i><math>\gamma_d</math></i>	<i>návrhové</i>	
	konstrukce dvojité podlahy	0,040		0,700	1,35	0,945	
	stávající dobře přilnutá vyrovnávací cementová vrstva	0,030	x 22,00	= 0,660	1,35	0,891	
	stávající žb stropní deska (nezapočtena)	0,000	x 0,00	= 0,000	1,35	0,000	
		0,040	m	$g_k = 1,36$	$g_d = 1,84$	[kN.m <sup>-2</sup> ]	
<b>Zg.0</b>	<b>STÁLÉ ZATÍŽENÍ STROPŮ - <math>g_n</math> / <math>g_d</math> - plošné</b>	<b>F02</b>	<b>- podlaha 2. NP až 5. NP</b>				
	<i>skladba - popis vrstev</i>	<i>tloušťka</i>	<i>obj.hmot.</i>	<i>zatížení [kN.m<sup>-2</sup>]</i>			
	<b>Lehká plovoucí podlaha</b>	<i>[m]</i>	<i><math>\gamma</math> [kN.m<sup>3</sup>]</i>	<i>charakteristické</i>	<i><math>\gamma_d</math></i>	<i>návrhové</i>	
	zátěžový vinyl 2 mm + lepidlo 2 mm	0,004		0,020	1,35	0,027	
	samonivelační stěrka	0,006	x 22,00	= 0,132	1,35	0,178	
	podlahový dílec	0,025		0,184	1,35	0,248	
	akustická izolace	0,040	x 0,50	= 0,020	1,35	0,027	
	stávající dobře přilnutá vyrovnávací cementová vrstva	0,030	x 22,00	= 0,660	1,35	0,891	
	žb stropní deska (nezapočtena)	0,000	x 0,00	= 0,000	1,35	0,000	
		0,075	m	$g_k = 1,02$	$g_d = 1,37$	[kN.m <sup>-2</sup> ]	
<b>Zg.0</b>	<b>STÁLÉ ZATÍŽENÍ STROPŮ - <math>g_n</math> / <math>g_d</math> - plošné</b>	<b>F03</b>	<b>- podlaha 1. NP</b>				
	<i>skladba - popis vrstev</i>	<i>tloušťka</i>	<i>obj.hmot.</i>	<i>zatížení [kN.m<sup>-2</sup>]</i>			
	<b>Těžká plovoucí podlaha</b>	<i>[m]</i>	<i><math>\gamma</math> [kN.m<sup>3</sup>]</i>	<i>charakteristické</i>	<i><math>\gamma_d</math></i>	<i>návrhové</i>	
	zátěžový vinyl 2 mm + lepidlo 2 mm	0,004		0,020	1,35	0,027	
	samonivelační stěrka	0,006	x 22,00	= 0,132	1,35	0,178	
	betonová mazanina	0,050	x 22,00	= 1,100	1,35	1,485	
	separační vrstva PE fólie			0,001	1,35	0,001	
	akustická izolace	0,040	x 0,50	= 0,020	1,35	0,027	
	stávající dobře přilnutá vyrovnávací cementová vrstva	0,000	x 22,00	= 0,000	1,35	0,000	
	stávající žb stropní deska (nezapočtena)	0,000	x 0,00	= 0,000	1,35	0,000	
		0,100	m	$g_k = 1,27$	$g_d = 1,72$	[kN.m <sup>-2</sup> ]	
<b>Zg.0</b>	<b>STÁLÉ ZATÍŽENÍ STROPŮ - <math>g_n</math> / <math>g_d</math> - plošné</b>	<b>F04</b>	<b>- podlaha 1. NP - vstup</b>				
	<i>skladba - popis vrstev</i>	<i>tloušťka</i>	<i>obj.hmot.</i>	<i>zatížení [kN.m<sup>-2</sup>]</i>			
	<b>Těžká plovoucí podlaha s podlahovým vytápěním</b>	<i>[m]</i>	<i><math>\gamma</math> [kN.m<sup>3</sup>]</i>	<i>charakteristické</i>	<i><math>\gamma_d</math></i>	<i>návrhové</i>	
	zátěžový vinyl 2 mm + lepidlo 2 mm	0,004		0,020	1,35	0,027	
	samonivelační stěrka	0,006	x 22,00	= 0,132	1,35	0,178	
	betonová mazanina	0,050	x 22,00	= 1,100	1,35	1,485	
	systémová deska podlahového vytápění	0,050	x 0,30	= 0,015	1,35	0,020	
	separační vrstva PE fólie			0,001	1,35	0,001	
	akustická izolace	0,040	x 0,50	= 0,020	1,35	0,027	
	nová žb stropní deska ds.1 (nezapočtena)	0,000	x 0,00	= 0,000	1,35	0,000	
		0,150	m	$g_k = 1,29$	$g_d = 1,74$	[kN.m <sup>-2</sup> ]	
<b>Zg.0</b>	<b>STÁLÉ ZATÍŽENÍ STROPŮ - <math>g_n</math> / <math>g_d</math> - plošné</b>	<b>F05</b>	<b>- podlaha 1. NP</b>				
	<i>skladba - popis vrstev</i>	<i>tloušťka</i>	<i>obj.hmot.</i>	<i>zatížení [kN.m<sup>-2</sup>]</i>			
	<b>Těžká plovoucí podlaha</b>	<i>[m]</i>	<i><math>\gamma</math> [kN.m<sup>3</sup>]</i>	<i>charakteristické</i>	<i><math>\gamma_d</math></i>	<i>návrhové</i>	
	koberec	0,010		0,030	1,35	0,041	
	betonová mazanina	0,050	x 22,00	= 1,100	1,35	1,485	
	separační vrstva PE fólie			0,001	1,35	0,001	
	akustická izolace	0,040	x 0,50	= 0,020	1,35	0,027	
	stávající dobře přilnutá vyrovnávací cementová vrstva	0,000	x 22,00	= 0,000	1,35	0,000	
	stávající žb stropní deska (nezapočtena)	0,000	x 0,00	= 0,000	1,35	0,000	
		0,100	m	$g_k = 1,15$	$g_d = 1,55$	[kN.m <sup>-2</sup> ]	
<b>Zg.0</b>	<b>STÁLÉ ZATÍŽENÍ STROPŮ - <math>g_n</math> / <math>g_d</math> - plošné</b>	<b>F05*</b>	<b>- podlaha 1. NP studio</b>				
	<i>skladba - popis vrstev</i>	<i>tloušťka</i>	<i>obj.hmot.</i>	<i>zatížení [kN.m<sup>-2</sup>]</i>			

<b>Těžká plovoucí podlaha</b>	[m]	$\gamma$ [kN.m <sup>3</sup> ]	charakteristické	$\gamma_d$	návrhové
koberec	0,010		0,030	1,35	0,041
betonová mazanina	0,050	x 22,00	= 1,100	1,35	1,485
separační vrstva PE fólie			0,001	1,35	0,001
akustická izolace	0,040	x 0,50	= 0,020	1,35	0,027
stávající dobře přilnutá vyrovnávací cementová vrstva	0,020	x 22,00	= 0,440	1,35	0,594
<b>stávající žb stropní deska (nezapočtena)</b>	0,000	x 0,00	= 0,000	1,35	0,000
	0,100	m	$g_k = 1,59$	$g_d = 2,15$	[kN.m <sup>-2</sup> ]

**Zg\_0 STÁLÉ ZATÍŽENÍ STROPU -  $g_n$  /  $g_d$  - plošné****- podlaha v samoobslužném studiu v 2. a 3. NP (m.č. 109, 209)**

<b>skladba - popis vrstev</b>	<b>tloušťka</b>	<b>obj.hmot.</b>	<b>zatížení [kN.m<sup>-2</sup>]</b>		
	[m]	$\gamma$ [kN.m <sup>3</sup> ]	charakteristické	$\gamma_d$	návrhové
<b>Těžká plovoucí podlaha</b>					
zátěžový vinyl 2 mm + lepidlo 2 mm	0,004		0,020	1,35	0,027
samonivelační stěrka	0,006	x 22,00	= 0,132	1,35	0,178
betonová mazanina	0,050	x 22,00	= 1,100	1,35	1,485
separační vrstva PE fólie			0,001	1,35	0,001
akustická izolace	0,040	x 0,50	= 0,020	1,35	0,027
stávající dobře přilnutá vyrovnávací cementová vrstva	0,030	x 22,00	= 0,660	1,35	0,891
<b>žb stropní deska (nezapočtena)</b>	0,000	x 0,00	= 0,000	1,35	0,000
	0,130	m	$g_k = 1,93$	$g_d = 2,61$	[kN.m <sup>-2</sup> ]

**Zg\_0 STÁLÉ ZATÍŽENÍ STROPU -  $g_n$  /  $g_d$  - plošné****- podlaha v kotelně v 5. NP (m.č. 405)**

<b>skladba - popis vrstev</b>	<b>tloušťka</b>	<b>obj.hmot.</b>	<b>zatížení [kN.m<sup>-2</sup>]</b>		
	[m]	$\gamma$ [kN.m <sup>3</sup> ]	charakteristické	$\gamma_d$	návrhové
zátěžový vinyl 2 mm + lepidlo 2 mm	0,004		0,020	1,35	0,027
samonivelační stěrka	0,006	x 22,00	= 0,132	1,35	0,178
betonová mazanina	0,050	x 22,00	= 1,100	1,35	1,485
separační vrstva PE fólie			0,001	1,35	0,001
akustická izolace	0,040	x 0,50	= 0,020	1,35	0,027
stávající dobře přilnutá vyrovnávací cementová vrstva	0,025	x 22,00	= 0,550	1,35	0,743
<b>stávající žb stropní deska (nezapočtena)</b>	0,000	x 0,00	= 0,000	1,35	0,000
	0,100	m	$g_k = 1,82$	$g_d = 2,46$	[kN.m <sup>-2</sup> ]

**Zg\_0 STÁLÉ ZATÍŽENÍ STROPU -  $g_n$  /  $g_d$  - plošné****- varianta bez nové podlahy v kotelně v 5. NP (m.č. 405)**

<b>skladba - popis vrstev</b>	<b>tloušťka</b>	<b>obj.hmot.</b>	<b>zatížení [kN.m<sup>-2</sup>]</b>		
	[m]	$\gamma$ [kN.m <sup>3</sup> ]	charakteristické	$\gamma_d$	návrhové
stávající dobře přilnutá vyrovnávací cementová vrstva	0,025	x 22,00	= 0,550	1,35	0,743
<b>stávající žb stropní deska (nezapočtena)</b>	0,000	x 0,00	= 0,000	1,35	0,000
	0,025	m	$g_k = 0,55$	$g_d = 0,74$	[kN.m <sup>-2</sup> ]

**Zg\_0 STÁLÉ ZATÍŽENÍ STROPU -  $g_n$  /  $g_d$  - plošné****- podlaha ve studiu v 5. NP (m.č. 404)**

lehká plovoucí podlaha

<b>skladba - popis vrstev</b>	<b>tloušťka</b>	<b>obj.hmot.</b>	<b>zatížení [kN.m<sup>-2</sup>]</b>		
	[m]	$\gamma$ [kN.m <sup>3</sup> ]	charakteristické	$\gamma_d$	návrhové
lehká plovoucí podlaha (max 75 kg/m <sup>2</sup> )			= 0,750	1,35	1,013
stávající dobře přilnutá vyrovnávací cementová vrstva	0,025	x 22,00	= 0,550	1,35	0,743
<b>žb stropní deska (nezapočtena)</b>	0,000	x 0,00	= 0,000	1,35	0,000
			$g_k = 1,30$	$g_d = 1,76$	[kN.m <sup>-2</sup> ]

**(A.2) PODHLEDY****Zg\_0 STÁLÉ ZATÍŽENÍ STROPU -  $g_n$  /  $g_d$  - plošné****PODHLÉD**

<b>skladba - popis vrstev</b>	<b>tloušťka</b>	<b>obj.hmot.</b>	<b>zatížení [kN.m<sup>-2</sup>]</b>		
	[m]	$\gamma$ [kN.m <sup>3</sup> ]	charakteristické	$\gamma_d$	návrhové
akustická izolace	0,050	x 0,50	= 0,025	1,35	0,034
SDK podhled samonosný			0,180	1,35	0,243
			$g_k = 0,21$	$g_d = 0,28$	[kN.m <sup>-2</sup> ]

**Zg\_0 STÁLÉ ZATÍŽENÍ STROPU -  $g_n$  /  $g_d$  - plošné****P1 (akustický samonosný podhled)**

<b>skladba - popis vrstev</b>	<b>tloušťka</b>	<b>obj.hmot.</b>	<b>zatížení [kN.m<sup>-2</sup>]</b>		
	[m]	$\gamma$ [kN.m <sup>3</sup> ]	charakteristické	$\gamma_d$	návrhové
akustická izolace	0,050	x 0,50	= 0,025	1,35	0,034
zavěšený SDK rošt			= 0,025	1,35	0,034

2x základní SDK deska 12,5 mm	0,025	x	8,40	=	0,210	1,35	0,284
				$g_k =$	0,26	$g_d =$	0,35 [kN.m <sup>-2</sup> ]

Zg\_0 STÁLÉ ZATÍŽENÍ STROPY -  $g_n / g_d$  - plošné

P2 (podhled do prostor se zvýšenou vlhkostí)

skladba - popis vrstev	tloušťka [m]	obj.hmot. $\gamma$ [kN.m <sup>3</sup> ]	zatížení [kN.m <sup>-2</sup> ]				
			charakteristické	$\gamma_g$	návrhové		
akustická izolace	0,050	x	0,50	=	0,025	1,35	0,034
zavěšený SDK rošt				=	0,025	1,35	0,034
1x impregnovaná SDK deska 12,5 mm	0,013	x	9,60	=	0,120	1,35	0,162
				$g_k =$	0,17	$g_d =$	0,23 [kN.m <sup>-2</sup> ]

Zg\_0 STÁLÉ ZATÍŽENÍ STROPY -  $g_n / g_d$  - plošné

P3 (podhled studia a režie)

skladba - popis vrstev	tloušťka	obj.hmot.	zatížení [kN.m <sup>-2</sup> ]				
	[m]	γ [kN.m <sup>3</sup> ]	charakteristické	γ <sub>g</sub>	návrhové		
akustická izolace	0,050	x	0,50	=	0,025	1,35	0,034
zavěšený SDK rošt				=	0,025	1,35	0,034
SDK deska RF	0,013	x	8,40	=	0,105	1,35	0,142
SDK deska akustická	0,013	x	9,60	=	0,120	1,35	0,162
				g <sub>k</sub> =	0,28	g <sub>d</sub> =	0,37 [kN.m <sup>-2</sup> ]

Zg\_0 STÁLÉ ZATÍŽENÍ STROPY -  $g_n / g_d$  - plošné

P4 (protipožární podhled 1. PP)

skladba - popis vrstev	tloušťka	obj.hmot. $\gamma$ [kN.m <sup>3</sup> ]	zatížení [kN.m <sup>-2</sup> ]				
	[m]		charakteristické	$\gamma_g$	návrhové		
akustická izolace	0,050	x	0,50	=	0,025	1,35	0,034
zavěšený SDK rošt				=	0,025	1,35	0,034
SDK deska akustická	0,013	x	8,40	=	0,105	1,35	0,142
SDK deska RF	0,013	x	9,60	=	0,120	1,35	0,162
			g <sub>k</sub> = 0,28		g <sub>d</sub> = 0,37		[kN.m <sup>-2</sup> ]

Zg\_0 STÁLÉ ZATÍŽENÍ STROPY -  $g_n / g_d$  - plošné

P5 (podhled prostorové akustiky)

skladba - popis vrstev	tloušťka [m]	obj.hmot. $\gamma$ [kN.m <sup>3</sup> ]	zatížení [kN.m <sup>-2</sup> ]				
			charakteristické	$\gamma_g$	návrhové		
akustická izolace	0,040	x	0,50	=	0,020	1,35	0,027
přímo montovaný SDK rošt				=	0,025	1,35	0,034
perforovaná SDK deska 8-18 - kolečka	0,015	x	9,00	=	0,135	1,35	0,182
				$g_k =$	0,18	$g_d =$	0,24 [kN.m <sup>-2</sup> ]

Zg\_0 STÁLÉ ZATÍŽENÍ STROPY -  $g_n / g_d$  - plošné

P6 (samonosný podhled prostorové akustiky)

skladba - popis vrstev	tloušťka	obj.hmot. $\gamma$ [kN.m <sup>3</sup> ]	zatížení [kN.m <sup>-2</sup> ]				
	[m]		charakteristické	$\gamma_g$	návrhové		
akustická izolace	0,050	x	0,50	=	0,025	1,35	0,034
přímo montovaný SDK rošt				=	0,025	1,35	0,034
perforovaná SDK deska 8-18 - kolečka	0,015	x	9,00	=	0,135	1,35	0,182
				$g_k =$	0,19	$g_d =$	0,25 [kN.m <sup>-2</sup> ]

Zg\_0 STÁLÉ ZATÍŽENÍ STROPY -  $g_n / g_d$  - plošné

P7 (studiový podhled)

skladba - popis vrstev	tloušťka [m]	obj.hmot. $\gamma$ [kN.m <sup>3</sup> ]	zatížení [kN.m <sup>-2</sup> ]				
			charakteristické		$\gamma_g$	návrhové	
akustická izolace	0,050	x	0,50	=	0,025	1,35	0,034
zavěšený SDK rošt				=	0,025	1,35	0,034
SDK deska RF	0,013	x	8,40	=	0,105	1,35	0,142
SDK deska akustická	0,013	x	9,60	=	0,120	1,35	0,162
				$g_k =$	0,28	$g_d =$	0,37 [kN.m <sup>-2</sup> ]

Zg\_0 STÁLÉ ZATÍŽENÍ STROPY -  $g_n / g_d$  - plošné

P1 (akustický samonosný podhled) + P5 (podhled prostorové akustiky)

skladba - popis vrstev	tloušťka [m]	obj.hmot. $\gamma$ [kN.m <sup>3</sup> ]	zatížení [kN.m <sup>-2</sup> ]			
			charakteristické	$\gamma_d$	návrhové	
P1			=	0,260	1,35	0,351
P5			=	0,180	1,35	0,243

$$g_k = 0,44 \quad g_d = 0,59 \quad [\text{kN.m}^{-2}]$$

Zg\_0 STÁLÉ ZATÍŽENÍ STROPU -  $g_n$  /  $g_d$  - plošné

P7 (studiový pohled) + P4 (protipožární pohled)

- PODHLED V SAMOOBSLUŽNÉM STUDIU

skladba - popis vrstev	tloušťka [m]	obj.hmot. $\gamma$ [kN.m <sup>3</sup> ]	charakteristické	$\gamma_d$	návrhové
P7			= 0,275	1,35	0,371
P4			= 0,275	1,35	0,371
			$g_k = 0,55$	$g_d = 0,74$	[kN.m <sup>-2</sup> ]

**(A.3) PŘÍČKY**STÁLÉ ZATÍŽENÍ STROPU -  $g_n$  /  $g_d$  - liniové

W1.1, W2.1, W2.2, W2.3, W2.4, W2.8, W3.3

- SDK PŘÍČKY

			zatížení [kN.m <sup>-2</sup> ]		
			charakteristické	$\gamma_d$	návrhové
SDK příčka tl 100 mm - jednoplášťové			= 0,250	1,35	0,338
			$q_k = 0,25$	$q_d = 0,34$	[kN.m <sup>-2</sup> ]
výška stěny	h =	2,5 m	$q_k = 0,63$	$q_d = 0,84$	[kN.m <sup>-1</sup> ]
výška stěny	h =	3,6 m	$q_k = 0,90$	$q_d = 1,22$	[kN.m <sup>-1</sup> ]

STÁLÉ ZATÍŽENÍ STROPU -  $g_n$  /  $g_d$  - liniové

W2.5 - SDK PŘÍČKY NA WC

			zatížení [kN.m <sup>-2</sup> ]		
			charakteristické	$\gamma_d$	návrhové
SDK příčka tl 75 mm			= 0,250	1,35	0,338
kachličky	0,020	x 20,00	= 0,400	1,35	0,540
výška stěny	h =	2,5 m	$q_k = 0,65$	$q_d = 0,88$	[kN.m <sup>-1</sup> ]
			$q_k = 1,63$	$q_d = 2,19$	[kN.m <sup>-1</sup> ]

STÁLÉ ZATÍŽENÍ STROPU -  $g_n$  /  $g_d$  - liniové

W1.2, W2.6, W2.7, W6.1 - SDK PŘEDSTĚNA

			zatížení [kN.m <sup>-2</sup> ]		
			charakteristické	$\gamma_d$	návrhové
SDK předstěna tl. 62,5 mm - jednoplášťová			= 0,200	1,35	0,270
			$q_k = 0,20$	$q_d = 0,27$	[kN.m <sup>-2</sup> ]
výška stěny	h =	2,5 m	$q_k = 0,50$	$q_d = 0,68$	[kN.m <sup>-1</sup> ]
výška stěny	h =	3,6 m	$q_k = 0,72$	$q_d = 0,97$	[kN.m <sup>-1</sup> ]

STÁLÉ ZATÍŽENÍ STROPU -  $g_n$  /  $g_d$  - liniové

W1.4 - SDK STĚNA

			zatížení [kN.m <sup>-2</sup> ]		
SDK stěně tl. 125 mm			charakteristické	$\gamma_d$	návrhové
SDK deska	0,013	x 8,40	= 0,105	1,35	0,142
akustická izolace	0,100	x 0,50	= 0,050	1,35	0,068
SDK rošt			= 0,025	1,35	0,034
SDK deska	0,013	x 8,40	= 0,105	1,35	0,142
			$q_k = 0,29$	$q_d = 0,38$	[kN.m <sup>-2</sup> ]
výška stěny	h =	2,5 m	$q_k = 0,71$	$q_d = 0,96$	[kN.m <sup>-1</sup> ]
výška stěny	h =	3,6 m	$q_k = 1,03$	$q_d = 1,39$	[kN.m <sup>-1</sup> ]

STÁLÉ ZATÍŽENÍ STROPU -  $g_n$  /  $g_d$  - liniové

W3.1 - SDK PROTIPOŽÁRNÍ STĚNA

			zatížení [kN.m <sup>-2</sup> ]		
SDK stěně tl. 100 mm			charakteristické	$\gamma_d$	návrhové
SDK deska	0,025	x 8,40	= 0,210	1,35	0,284
akustická izolace	0,050	x 0,50	= 0,025	1,35	0,034
SDK rošt			= 0,025	1,35	0,034
SDK deska	0,025	x 8,40	= 0,210	1,35	0,284
			$q_k = 0,47$	$q_d = 0,63$	[kN.m <sup>-2</sup> ]
výška stěny	h =	2,5 m	$q_k = 1,18$	$q_d = 1,59$	[kN.m <sup>-1</sup> ]
výška stěny	h =	3,6 m	$q_k = 1,69$	$q_d = 2,28$	[kN.m <sup>-1</sup> ]

STÁLÉ ZATÍŽENÍ STROPU -  $g_n$  /  $g_d$  - liniové

W3.2 - SDK PROTIPOŽÁRNÍ PŘEDSTĚNA

			zatížení [kN.m <sup>-2</sup> ]		
SDK stěně tl. 75 mm			charakteristické	$\gamma_d$	návrhové
SDK deska	0,025	x 8,40	= 0,210	1,35	0,284
akustická izolace	0,050	x 0,50	= 0,025	1,35	0,034
SDK rošt			= 0,025	1,35	0,034
			$q_k = 0,26$	$q_d = 0,35$	[kN.m <sup>-2</sup> ]
výška stěny	h =	2,5 m	$q_k = 0,65$	$q_d = 0,88$	[kN.m <sup>-1</sup> ]

výška stěny  $h = 3,6$  m  $q_k = 0,94$   $q_d = 1,26$  [kN.m<sup>-1</sup>]

STÁLÉ ZATÍŽENÍ STROPU -  $g_n$  /  $g_d$  - liniové

**HPL PŘÍČKY MEZI WC KABINKAMI**

				zatížení [kN.m <sup>-2</sup> ]			
				charakteristické	γ <sub>a</sub>	návrhové	
HPL desky tl. 12 mm	0,012	x	14,50	=	0,174	1,35	0,235
výška stěny	h =	2,5 m		q <sub>k</sub> =	0,17	q <sub>d</sub> =	0,23 [kN.m <sup>-2</sup> ]
				q <sub>k</sub> =	0,44	q <sub>d</sub> =	0,59 [kN.m <sup>-1</sup> ]

STÁLÉ ZATÍŽENÍ STROPU -  $g_n$  /  $g_d$  - liniové

**PROSKLENÉ PŘÍČKY**

				zatížení [kN.m <sup>-2</sup> ]			
				charakteristické	γ <sub>d</sub>	návrhové	
dvoujsklo (tl. 10 mm)				=	0,440	1,35	0,594
výška stěny		h =	3,6 m	q <sub>k</sub> =	0,44	q <sub>d</sub> =	0,59 [kN.m <sup>-2</sup> ]
				q <sub>k</sub> =	1,58	q <sub>d</sub> =	2,14 [kN.m <sup>-1</sup> ]

STÁLÉ ZATÍŽENÍ STROPU -  $g_n$  /  $g_d$  - liniové

**W5.3 - AKUSTICKÉ PŘÍČKY PRO SAMOOSLUŽNÁ STUDIA (bB 78)**

				zatížení [kN.m <sup>-2</sup> ]		
				charakteristické	γ <sub>g</sub>	návrhové
akustická stěna s neprůzvučností 78dB (305 mm)				= 0,980	1,35	1,323
měkká akustická izolace				= 0,050	1,35	0,068
výška stěny		h =	3,6 m	q <sub>k</sub> =	1,03	q <sub>d</sub> = 1,39 [kN.m <sup>-2</sup> ]
				q <sub>k</sub> =	3,71	q <sub>d</sub> = 5,01 [kN.m <sup>-1</sup> ]

STÁLÉ ZATÍŽENÍ STROPU -  $g_n$  /  $g_d$  - liniové

**ZDĚNÁ PŘÍČKA U ZADNÍCH STUDIÍ**

				zatížení [kN.m <sup>-2</sup> ]			
				charakteristické	γ <sub>g</sub>	návrhové	
zděná příčka z plných cihel pálených zděných na maltu	0,150	x	18,00	=	2,700	1,35	3,645
omítka	0,050	x	22,00	=	1,100	1,35	1,485
výška stěny	h =	3,7 m		q <sub>k</sub> =	3,80	q <sub>d</sub> =	5,13 [kN.m <sup>-2</sup> ]
				q <sub>k</sub> =	14.06	q <sub>d</sub> =	18.98 [kN.m <sup>-1</sup> ]

STÁLÉ ZATÍŽENÍ STROPU -  $g_n$  /  $g_d$  - liniové

**W5.1, W5.2 - AKUSTICKÉ PŘEDSTĚNY PRO ZADNÍ STUDIA**

				zatížení [kN.m <sup>-2</sup> ]			
				charakteristické	γ <sub>g</sub>	návrhové	
akustická předstěna				=	0,490	1,35	0,662
				q <sub>k</sub> =	0,49	q <sub>d</sub> =	0,66 [kN.m <sup>-2</sup> ]
	výška stěny v 1.NP	h =	3,3 m	q <sub>k</sub> =	1,62	q <sub>d</sub> =	2,18 [kN.m <sup>-1</sup> ]
	výška stěny v 2.NP	h =	3,3 m	q <sub>k</sub> =	1,62	q <sub>d</sub> =	2,18 [kN.m <sup>-1</sup> ]

## (B) UŽITNÉ ZATÍŽENÍ

Zq SEZNAM POUŽITÝCH UŽITNÝCH ZATÍŽENÍ STROPŮ -  $g_n$  /  $g_d$  - plošné

SEZNAM POUŽITÝCH UŽITNÝCH ZATÍŽENÍ STROPŮ - g <sub>n</sub> / g <sub>d</sub> - plošně				zatížení [kN.m <sup>-2</sup> ]		
				charakteristické	γ <sub>g</sub>	návrhové
užitné zatížení kat. A (toalety)	=	2,000		1,5		3,000
užitné zatížení kat. A (pomocná schodiště)	=	3,000		1,5		4,500
užitné zatížení kat. B (kancelářské prostory, režie, studia, archiv)	=	2,500		1,5		3,750
užitné zatížení kat. C3 (chráněná úniková cesta, foyer)	=	5,000		1,5		7,500
užitné zatížení kotelny (obslužný prostor)	=	1,000		1,5		1,500



## PŘÍLOHA Č. I.3 - STANOVENÍ ZATÍŽENÍ ZÁKLADŮ (↓)

### ZS ZATÍŽENÍ ZÁKLADOVÉ SPÁRY

#### (1) Betonový roznášecí práh

ZZ1-0,5 - ZÁKLADOVÝ ŽB PRÁH TL. = **0,50 m** JEDNOTKOVÁ VÝŠKA = **1,00 m**  $\gamma_f = 1,35$

skladba - popis vrstev	tloušťka [m]	výška [m]	obj.hmot. $\gamma$ [kN.m <sup>3</sup> ]	zatížení [kN.m <sup>-2</sup> ]				
				charakteristické	$\gamma_g$	návrhové		
bez omítek				0,000	1,35	0,000		
žb stěna	0,500	x	1,00	x	25,00	= 12,500	1,35	16,875
bez omítek				0,000	1,35	0,000		0,000
UVAŽOVANÁ VÝŠKA = 0,50 m				$g_n = 12,50$	$g_d = 16,88$	[kN.m <sup>-1</sup> ]		
				$g_n = 6,25$	$g_d = 8,44$	[kN.m <sup>-1</sup> ]		

#### (2) Zděná stěna - 1. PP

ZZ2-0,45 - ZDIVO NOSNÉ TL. = **0,47 m** JEDNOTKOVÁ VÝŠKA = **1,00 m**  $\gamma_f = 1,35$

skladba - popis vrstev		tloušťka		výška		obj.hmot. $\gamma$ [kN.m <sup>-3</sup> ]	zatížení [kN.m <sup>-2</sup> ]		
		[m]		[m]			charakteristické	$\gamma_g$	návrhové
omítka vnitřní		0,020	x	1,00	x	20,00	= 0,400	1,35	0,540
zděná stěna z plných zihel pálených		0,450	x	1,00	x	18,00	= 8,100	1,35	10,935
omítka vnitřní		0,000	x	1,00	x	20,00	= 0,000	1,35	0,000
							$g_n = 8,50$	$g_d = 11,48$	[kN.m <sup>-1</sup> ]
1. PP UVAŽOVANÁ VÝŠKA = 2,47 m							$g_n = 21,00$	$g_d = 28,34$	[kN.m <sup>-1</sup> ]

ZZ2-0,3 - ZDIVO NOSNÉ TL. = **0,32 m** JEDNOTKOVÁ VÝŠKA = **1,00 m**  $\gamma_f = 1,35$

skladba - popis vrstev	tloušťka [m]	výška [m]	obj.hmot. $\gamma$ [kN.m <sup>-3</sup> ]	zatížení [kN.m <sup>-2</sup> ]					
				charakteristické	$\gamma_g$	návrhové			
omítka vnitřní	0,020	x	1,00	x	20,00	=	0,400	1,35	0,540
zděná stěna z plných zihel pálených	0,300	x	1,00	x	18,00	=	5,400	1,35	7,290
omítka vnitřní	0,000	x	1,00	x	20,00	=	0,000	1,35	0,000
1. PP UVAŽOVANÁ VÝŠKA = 2,47 m				$g_n =$	5,80		$g_d =$	7,83	[kN.m <sup>-1</sup> ]
				$g_n =$	14,33		$g_d =$	19,34	[kN.m <sup>-1</sup> ]

#### (3) Zděná stěna - 1. NP, 2. NP

ZZ2-0,3 - ZDIVO NOSNÉ TL. = **0,35 m** JEDNOTKOVÁ VÝŠKA = **1,00 m**  $\gamma_f = 1,35$

skladba - popis vrstev		tloušťka		výška		obj.hmot.		zatížení [kN.m <sup>-2</sup> ]		
		[m]		[m]		$\gamma$ [kN.m <sup>-3</sup> ]		charakteristické	$\gamma_g$	návrhové
omítka vnitřní		0,025	x	1,00	x	20,00	=	0,500	1,35	0,675
zděná stěna z plných zihel pálených		0,300	x	1,00	x	18,00	=	5,400	1,35	7,290
omítka vnitřní		0,025	x	1,00	x	20,00	=	0,500	1,35	0,675
								$g_n = 6,40$	$g_d = 8,64$	[kN.m <sup>-1</sup> ]
1. NP	UVAŽOVANÁ VÝŠKA = 3,70 m							$g_n = 23,68$	$g_d = 31,97$	[kN.m <sup>-1</sup> ]
2. NP	UVAŽOVANÁ VÝŠKA = 3,70 m							$g_n = 23,68$	$g_d = 31,97$	[kN.m <sup>-1</sup> ]

#### (4) Zděná stěna - 3. NP

ZZ2-0,15 - ZDIVO NOSNÉ TL. = **0,20 m** JEDNOTKOVÁ VÝŠKA = **1,00 m**  $\gamma_f = 1,35$

skladba - popis vrstev	tloušťka		výška		obj.hmot.	zatížení [kN.m <sup>-2</sup> ]		
	[m]		[m]		γ [kN.m <sup>-3</sup> ]	charakteristické	γ <sub>g</sub>	návrhové
omítka vnitřní	0,025	x	1,00	x	20,00	= 0,500	1,35	0,675
zděná stěna z plných zihel pálených	0,150	x	1,00	x	18,00	= 2,700	1,35	3,645
omítka vnitřní	0,025	x	1,00	x	20,00	= 0,500	1,35	0,675
3. NP UVAŽOVANÁ VÝŠKA = 3,55 m						g <sub>n</sub> = 3,70	g <sub>d</sub> = 5,00	[kN.m <sup>-1</sup> ]
						g <sub>n</sub> = 13,14	g <sub>d</sub> = 17,73	[kN.m <sup>-1</sup> ]

**(5) Strop nad 1. PP, 1. NP a 2. NP**

(A)	ZATÍŽENÍ - $q_n / q_d$ - liniové		zatížení [kN.m <sup>-1</sup> ]		
	popis	charakt.	$\gamma_f$ (komb.)	návrhové	
	reakce od podepřených žb desek (viz SCIA)	12,48	x	1,30	16,22
		$r_n = 12,48$		$r_d = 16,22$	kN/m
100% STROP NAD. 1. NP		$r_n = 12,48$		$r_d = 16,22$	[kN.m <sup>-1</sup> ]
100% STROP NAD. 2. NP		$r_n = 12,48$		$r_d = 16,22$	[kN.m <sup>-1</sup> ]
(B) Stanovení náhradního liniového zatížení od reakcí ocelových nosníků					
	reakce od nosníku N1	$R_k^{N1} = 142,00$		$R_d^{N1} = 184,50$	[kN] počet reakcí 1,0 x
	reakce od nosníku N2	$R_k^{N2} = 12,00$		$R_d^{N2} = 15,00$	[kN] počet reakcí 2,0 x
	délka úseku stěny	$l = 3,25$	[m]		
	náhradní liniové zatížení	$q_n = 51,08$		$q_d = 66,00$	[kN.m <sup>-1</sup> ]
100% STROP NAD. 1. NP		$r_n = 51,08$		$r_d = 66,00$	[kN.m <sup>-1</sup> ]
100% STROP NAD. 2. NP		$r_n = 51,08$		$r_d = 66,00$	[kN.m <sup>-1</sup> ]
(C) Stanovení náhradního liniového zatížení od reakcí ocelového nosníku a žb stropního trámu stropu nad 1. PP					
	reakce od nosníku z3	$R_k^{z3} = 58,30$		$R_d^{z3} = 79,70$	[kN] počet reakcí 1,0 x
	reakce od nosníku NV20(T*)	$R_k^{NV20^*} = 32,22$		$R_d^{NV20^*} = 45,30$	[kN] počet reakcí 1,0 x
	délka úseku stěny	$l = 4,00$	[m]		
100% STROP NAD 1. PP (L)		$r_n = 22,63$		$q_d = 31,25$	[kN.m <sup>-1</sup> ]
	reakce od nosníku NV20(T)	$R_k^{NV20} = 41,50$		$R_d^{NV20} = 58,40$	[kN] počet reakcí 1,0 x
	délka úseku stěny	$l = 3,00$	[m]		
100% STROP NAD 1. PP (P)		$r_n = 13,83$		$q_d = 19,47$	[kN.m <sup>-1</sup> ]

**ZS1(A) CELKOVÉ ZATÍŽENÍ ZÁKLADOVÉ SPÁRY ( s rezervou pro studio v 3. NP)**

CELKOVÉ ZATÍŽENÍ - $q_n / q_d$ - liniové				CELKOVÉ ZATÍŽENÍ - $Q_n / Q_d$ - bodové		
popis	charakt.	$\gamma_f$	návrhové	délka [m]	$Q_k$	$Q_d$
žb základový práh	6,25	x	1,35 = 8,44	- 4,00	25,00	33,75
zděná stěna 1. PP	21,00	x	1,35 = 28,34	- 4,00	83,98	113,37
zděná stěna 1. NP	23,68	x	1,35 = 31,97	- 3,25	76,96	103,90
zděná stěna 2 NP	23,68	x	1,35 = 31,97	- 3,25	76,96	103,90
zděná stěna 3 NP	13,14	x	1,35 = 17,73	- 3,25	42,69	57,63
(A) reakce od podepřených žb desek	24,95	x	1,30 = 32,44	- 3,25	81,10	105,43
(B) zatížení od reakcí ocelových nosníků	102,15	x	1,29 = 132,00	- 3,25	332,00	429,00
(C) reakce os stropních trámů nad 1. PP	22,63	x	1,38 = 31,25	- 4,00	90,52	125,00
					<b>809,21</b>	<b>1071,97</b> [kN]
	<b><math>q_k = 202,30</math></b>		<b><math>q_d = 267,99</math></b> [kN.m <sup>-1</sup> ]	délka prahu=	4,00	m

**ZS1(A)\_MP CELKOVÉ ZATÍŽENÍ JEDNÉ MIKROPILOTY ( s rezervou pro studio v 3. NP)**

Celkové zatížení na jednu pilotu					
$\Sigma Q_{n,1} = 809,21$		$Q_{d,1} = 1071,97$	[kN]	délka prahu:	4,0 m
$Q_{n,1} = 115,60$		$Q_{d,1} = 153,14$	[kN]	počet pilot na práh:	7,0 ks
				osová vzdálenost MP:	0,6 m

**ZS1(B) CELKOVÉ ZATÍŽENÍ ZÁKLADOVÉ SPÁRY (BEZ rezervy pro studio v 3. NP)**

CELKOVÉ ZATÍŽENÍ - $q_n / q_d$ - liniové				CELKOVÉ ZATÍŽENÍ - $Q_n / Q_d$ - bodové		
popis	charakt.	$\gamma_f$	návrhové	délka [m]	$Q_k$	$Q_d$
žb základový práh	6,25		1,35 = 8,44	- 4,00	25,00	33,75
zděná stěna 1. PP	21,00		1,35 = 28,34	- 4,00	83,98	113,37
zděná stěna 1. NP	23,68		1,35 = 31,97	- 3,25	76,96	103,90
zděná stěna 2 NP	23,68		1,35 = 31,97	- 3,25	76,96	103,90
(A) reakce od podepřených žb desek	12,48		1,30 = 16,22	- 3,25	40,55	52,72
(B) zatížení od reakcí ocelových nosníků	51,08		1,29 = 66,00	- 3,25	166,00	214,50
(C) reakce os stropních trámů nad 1. PP	22,63	x	1,38 = 31,25	- 4,00	90,52	125,00
					<b>559,97</b>	<b>747,13</b> [kN]
	<b><math>q_k = 139,99</math></b>		<b><math>q_d = 186,78</math></b> [kN.m <sup>-1</sup> ]	délka prahu=	4,00	m

**ZS1(B)\_MP CELKOVÉ ZATÍŽENÍ JEDNÉ MIKROPILOTY (BEZ rezervy pro studio v 3. NP)**

Celkové zatížení na jednu pilotu

$\Sigma Q_{n,1} = 559,97$	$Q_{d,1} = 747,13$ [kN]	délka prahu:	4,0 m
$Q_{n,1} = 111,99$	$Q_{d,1} = 149,43$ [kN]	počet pilot na práh:	5,0 ks
		osová vzdálenost MP:	0,8 m

**ZS2(A) CELKOVÉ ZATÍŽENÍ ZÁKLADOVÉ SPÁRY ( s rezervou pro studio v 3. NP)**

CELKOVÉ ZATÍŽENÍ -  $q_n / q_d$  - líniové

popis	charakt.	$\gamma_f$	návrhové	délka [m]	$Q_k$	$Q_d$
žb základový práh	6,25	x	1,35 = 8,44	3,00	18,75	25,31
zděná stěna 1. PP	21,00	x	1,35 = 28,34	3,00	62,99	85,03
zděná stěna 1. NP	23,68	x	1,35 = 31,97	3,40	80,51	108,69
zděná stěna 2 NP	23,68	x	1,35 = 31,97	3,40	80,51	108,69
zděná stěna 3 NP	13,14	x	1,35 = 17,73	3,40	44,66	60,29
(A) reakce od podepřených žb desek	24,95	x	1,30 = 32,44	3,40	84,84	110,30
(B) zatížení od reakcí ocelových nosníků	14,77	x	1,25 = 18,46	3,40	50,22	62,77
(C) reakce od stropních trámů nad 1. PP	13,83	x	1,41 = 19,47	3,00	41,50	58,40

$463,98$	$619,48$ [kN]
$q_k = 154,66$	$q_d = 206,49$ [kN.m <sup>-1</sup> ]
délka prahu=	3,00 m

**ZS2(A)\_MP CELKOVÉ ZATÍŽENÍ JEDNÉ MIKROPILOTY ( s rezervou pro studio v 3. NP)**

Celkové zatížení na jednu pilotu

$\Sigma Q_{n,1} = 463,98$	$Q_{d,1} = 619,48$ [kN]	délka prahu:	3,0 m
$Q_{n,1} = 115,99$	$Q_{d,1} = 154,87$ [kN]	počet pilot na práh:	4,0 ks
		osová vzdálenost MP:	0,8 m

**ZS2(B) CELKOVÉ ZATÍŽENÍ ZÁKLADOVÉ SPÁRY (BEZ rezervy pro studio v 3. NP)**

CELKOVÉ ZATÍŽENÍ -  $q_n / q_d$  - líniové

popis	charakt.	$\gamma_f$	návrhové	délka [m]	$Q_k$	$Q_d$
žb základový práh	6,25		8,44	3,00	18,75	25,31
zděná stěna 1. PP	21,00		28,34	3,00	62,99	85,03
zděná stěna 1. NP	23,68		31,97	3,40	80,51	108,69
zděná stěna 2 NP	23,68		31,97	3,40	80,51	108,69
(A) reakce od podepřených žb desek	12,48		16,22	3,40	42,42	55,15
(B) zatížení od reakcí ocelových nosníků	7,38		9,23	3,40	25,11	31,38
(C) reakce od stropních trámů nad 1. PP	13,83	x	1,41 = 19,47	3,00	41,50	58,40

$351,79$	$472,66$ [kN]
$q_k = 117,26$	$q_d = 157,55$ [kN.m <sup>-1</sup> ]
délka prahu=	3,00 m

**ZS2(B)\_MP CELKOVÉ ZATÍŽENÍ JEDNÉ MIKROPILOTY (BEZ rezervy pro studio v 3. NP)**

Celkové zatížení na jednu pilotu

$\Sigma Q_{n,1} = 351,79$	$Q_{d,1} = 472,66$ [kN]	délka prahu:	3,0 m
$Q_{n,1} = 117,26$	$Q_{d,1} = 157,55$ [kN]	počet pilot na práh:	3,0 ks
		osová vzdálenost MP:	1,0 m

**PŘÍLOHA Č. II.1 - OCEL: ZAJIŠTĚNÍ BOURANÝCH KONSTRUKCÍ****p1 ocelový překlád - 1.PP (m.č. S01)****(A) DATA****(A.1) Navržený profil**

		POČET SPOLUPŮSOBÍCÍCH NOSNÍKŮ $n =$		KS	
<b>I180</b>	ocel třídy S235	mez kluzu / modul pružnosti	$f_y =$	235,0 MPa	$E_{sd} =$ 210000 MPa
	Průřez (I 180)	plocha průřezu / vlastní váha	$A =$	2790 mm <sup>2</sup>	$m =$ 21,9 kg.m <sup>-1</sup>
		rozměry - výška / šířka	$h =$	180 mm	$b =$ 82 mm
		tloušťka - stojina / pásnice	$t_w =$	6,9 mm	$t_f =$ 10,4 mm
		průřezový modul	$W_{y,el} =$	160000 mm <sup>3</sup>	$W_{z,el} =$ 19800 mm <sup>3</sup>
		moment setrvačnosti	$I_y =$	14400000 mm <sup>4</sup>	$I_z =$ 812000 mm <sup>4</sup>
		poloměr setrvačnosti	$i_y =$	72,0 mm	$i_z =$ 17,1 mm
		plastický průřezový modul / poloměr zaoblení	$W_{y,pl} =$	187000 mm <sup>3</sup>	$r =$ 6,9 mm
Geometrie:		světélé rozpětí nosníku	$l_0 =$	3,04 m	3040 mm
		rozpětí nosníku $L = 1,05 * l_0$	$L =$	3,19 m	3192 mm

**(A.2) Stanovení zatížení**

(a) Zdivo mezi nosníky	šířka/výška	$\check{s} =$	440 mm	$v =$	200 mm
	oběmová hmotnost materiálu zdiva	$\rho =$	18,00 kN/m <sup>3</sup>	(cihelné zdivo)	

**(b) Reakce od stropní k-ce**Stropy vynášení překladem

světélé rozpětí stropu 1 / podíl zatížení do překladu	$l_1 =$	1,97 m	=	1970 mm	50%
světélé rozpětí stropu 2 / podíl zatížení do překladu	$l_2 =$	1,96 m	=	1960 mm	50%
výsledná zatěžovací šířka	$b =$	1,97 m	=	1965 mm	
tloušťka desky	$h_s =$	0,11 m	=	110 mm	
zatěžovací šířka	$b =$	1,00 m			
Zatížení stropu - $q_n / q_d$ - plošné					
vlastní tíha desky	$g_k =$	2,75	[kN.m <sup>-2</sup> ]	$g_d =$	3,71 [kN.m <sup>-2</sup> ]
stálé zatížení (podlaha)	$g_k =$	1,02	[kN.m <sup>-2</sup> ]	$g_d =$	1,37 [kN.m <sup>-2</sup> ]
stálé zatížení (podhled)	$g_k =$	0,00	[kN.m <sup>-2</sup> ]	$g_d =$	0,00 [kN.m <sup>-2</sup> ]
užitné zatížení	$q_k =$	5,00	[kN.m <sup>-2</sup> ]	$q_d =$	7,50 [kN.m <sup>-2</sup> ]
reakce od žb stropní desky	$r_k =$	17,23	kN/m	$r_d =$	24,7283 kN/m

**CELKOVÉ ZATÍŽENÍ PŘEKLADU -  $q_n / q_d$  - liniové****zatížení [kN.m<sup>-1</sup>]**

popis	charakt.	$\gamma_f$	návrhové	součinitele [-]
2 x reakce od žb stropní desky	34,45	x 1,44	49,46	$\gamma_g =$ 1,35 -
tíha zdiva mezi nosíky	1,58	x 1,35	2,14	$\gamma_g =$ 1,50 -
vl. tíha ocelových nosníků	0,44	x 1,35	0,59	$\gamma_{M0,1} =$ 1,0 -
$q_n =$	36,47		$q_d =$ 52,19	[kN.m <sup>-1</sup> ]

**(A.3) Stanovení vnitřních sil**Reakce nosníku (max. smyková síla  $V_{z,Ed}$ ):

$$A = B = 1/2 * q_d * L = 1/2 * 52,19 * 3,19$$

$$A = B = 83,29 \text{ kN}$$

Maximální výpočtový moment

$$M_{y,Ed} = 1/8 * q_d * L^2 = 1/8 * 52,19 * 3,19^2$$

$$M_{y,Ed} = 66,46 \text{ kN.m}$$

**(A.4) Klasifikace průřezu**

parametr $\varepsilon = \sqrt{235 / f_y}$	=	$\sqrt{235 / 235}$	=	1,00
vnitřní tlačená část (stojina v prostém ohybu)	$c = h - 2 * t_f - 2 * r$	=	$180 - 2 * 10,4 - 2 * 6,9$	= 145,4
	$c / t_w = 145,4 / 6,9$	=	21,07	< $72 * \varepsilon = 72,00$ Třída 1
vnitřní tlačená část (stojina v prostém ohybu)	$c = (b - t_w - 2 * r) / 2$	=	$(82 - 6,9 - 2 * 6,9) / 2$	= 30,65
	$c / t_f = 30,7 / 10,4$	=	2,95	< $9 * \varepsilon = 9,00$ Třída 1

**(B) POSUDEK****(B.1) Posouzení MSÚ - smyková únosnost****klasifikace průřezu - třída 1**

$$V_{c,Rd} = V_{pl,Rd}$$

smyková plocha

$$A_{v,z} = A - 2 * b * t_f + (t_w + 2 * r) * t_f$$

$$2790 - 2 * 82 * 10,4 + (6,9 + 2 * 6,9) * 10,4$$

$$A_{v,z} = 1300 \text{ mm}^2$$

návrhová plastická únosnost ve smyku

$$V_{pl,z,Rd} = n * A_{v,z} * (f_y / \sqrt{3}) / \gamma_{M0}$$

$$2 * 1300 * (235 / \sqrt{3}) / 1,1$$

$$V_{pl,z,Rd} = 352,67 \text{ kN}$$

$$V_{z,Ed} / V_{pl,z,Rd} = 83,29 / 352,67$$

$$= 0,24 < 1,00 \text{ VYHOVUJE}$$

## (B.2) Posouzení MSÚ - ohybové únosnost

klasifikace průřezu - třída 1

návrhová únosnost průřezu v ohybu

$$M_{c,Rd} = n * W_{y,pl} * f_y / \gamma_{M0} =$$

$$M_{c,Rd} = M_{pl,Rd}$$

$$2 * 187000 * 235 / 1 / 1000000$$

$$M_{c,Rd} = 87,89 \text{ kN.m}$$

$$M_{y,Ed} / M_{c,Rd} = 66,46 / 87,89 =$$

$$0,76 < 1,00 \text{ VYHOVUJE}$$

## (B.2) Posouzení MSP - dovolený průhyb

$$\delta_{max} = L / 400 = 3192 / 400$$

$$\delta_{max} = 8,0 \text{ mm}$$

max.svislý průhyb (prostý nosník, spojitě zat.)

$$w_{z,qk} = (5 * q_n * L^4) / (384 * E_{sd} * n * I_y)$$

$$w_{z,qk} = (5 * 36,47 * 3040^4) / (384 * 2 * 210000 * 14400000)$$

$$w_{z,qk} = 6,7 \text{ mm}$$

$$w_{z,qk} / \delta_{max} = 6,71 / 7,98 =$$

$$0,84 < 1,00 \text{ VYHOVUJE}$$

Navržený prvek 2x I180 je vyhovující dle ČSN EN 1993-1-1.

Využití průřezu nosníku dle MSÚ 76%

Využití průřezu nosníku dle MSP 84%

**p2** ocelový překlád v 1. PP (m.č. S03)

## (A) DATA

## (A.1) Navržený profil

POČET SPOLUP. NOSNÍKŮ n = 2 KS

I200

ocel třídy S235 mez kluzu / modul pružnosti

$$f_y = 235,0 \text{ MPa}$$

$$E_{sd} = 210000 \text{ MPa}$$

Průřez (I 200) plocha průřezu / vlastní váha

$$A = 3340 \text{ mm}^2$$

$$m = 26,2 \text{ kg.m}^{-1}$$

rozměry - výška / šířka

$$h = 200 \text{ mm}$$

$$b = 90 \text{ mm}$$

tloušťky - stojina / pásnice

$$t_w = 7,5 \text{ mm}$$

$$t_f = 11,3 \text{ mm}$$

průřezový modul

$$W_{y,el} = 214000 \text{ mm}^3$$

$$W_{z,el} = 25900 \text{ mm}^3$$

moment setrvačnosti

$$I_y = 21400000 \text{ mm}^4$$

$$I_z = 1E+06 \text{ mm}^4$$

poloměr setrvačnosti

$$i_y = 80,0 \text{ mm}$$

$$i_z = 18,7 \text{ mm}$$

plastický průřezový modul / poloměr zaoblení

$$W_{y,pl} = 248000 \text{ mm}^3$$

$$r = 7,5 \text{ mm}$$

Geometrie: světlé rozpětí nosníku

$$l_0 = 1,50 \text{ m}$$

$$1500 \text{ mm}$$

rozpětí nosníku L = 1,05 \* l<sub>0</sub>

$$L = 1,58 \text{ m}$$

$$1575 \text{ mm}$$

## (A.2) Stanovení zatížení

Zdivo mezi nosníky

šířka/výška

$$\dot{s} = 300 \text{ mm}$$

$$v = 300 \text{ mm}$$

oběhová hmotnost materiálu zdiva

$$\rho = 18,00 \text{ kN/m}^3$$

(cihelné zdivo)

100% reakce od horní stavby

$$r_k = 187,60 \text{ kN/m}$$

$$r_d = 246,108 \text{ kN/m}$$

CELKOVÉ ZATÍŽENÍ STROPU - q<sub>n</sub> / q<sub>d</sub> - na osuzatížení [kN.m<sup>-1</sup>]

popis	charakt.	γ <sub>a,g</sub>	návrhové
zdivo nad překládem 1. PP	1,62	x 1,35	2,19
reakce od horní stavby	187,60	x 1,31	246,11
vl. tíha nosníku	0,52	x 1,35	0,71

kombinace pro MSP / MSÚ

$$q_k = 189,75$$

$$q_d = 249,00 \text{ [kN.m}^{-1}\text{]}$$

$$\gamma_{k/d} = 1,31$$

zatížení od podélného nosníku

$$P_k = 32,22$$

$$P_d = 45,30 \text{ [kN]}$$

$$x_{l/2} = 0,79 \text{ m}$$

## (A.3) Stanovení vnitřních sil

$$A_d = B_d = 1/2 * q_d * L + 1/2 * P_d = 1/2 * 249,00 * 1,58 + 1/2 * 45,30$$

Reakce nosníku (max. smyková síla V<sub>z,Ed</sub>):

$$A_d = B_d = 218,74 \text{ kN}$$

$$A_k = B_k = 165,54 \text{ kN}$$

Maximální výpočtový moment

$$M_{y,Ed} = 1/8 * q_d * L^2 + 1/4 * P_d * L = 1/8 * 249,00 * 1,58^2 + 1/4 * 45,30 * 1,58$$

$$M_{y,Ed} = 95,05 \text{ kN.m}$$

## (A.4) Klasifikace průřezu

$$\text{parametr } \varepsilon = \sqrt{(235 / f_y)} = \sqrt{(235 / 235)} = 1,00$$

vnitřní tlačená část (stojina v prostém ohybu)

$$c = h - 2 * t_f - 2 * r = 200 - 2 * 11,3 - 2 * 7,5 = 162,4$$

$$c / t_w = 162,4 / 7,5 = 21,65 < 72 * \varepsilon = 72,00 \text{ Třída 1}$$

vnitřní tlačená část (stojina v prostém ohybu)

$$c = (b - t_w - 2 * r) / 2 = (90 - 7,5 - 2 * 7,5) / 2 = 33,75$$

$$c / t_f = 33,8 / 11,3 = 2,99 < 9 * \varepsilon = 9,00 \text{ Třída 1}$$

**(B) POSUDEK****(B.1) Posouzení MSÚ - ohybové únosnost**

klasifikace průřezu - třída 1

$$M_{c,Rd} = M_{pl,Rd}$$

návrhová únosnost průřezu v ohybu

$$M_{c,Rd} = n \cdot W_{y,pl} \cdot f_y / \gamma_{M0} =$$

$$2 \cdot 248000 \cdot 235 / 1 / 1000000$$

$$M_{c,Rd} = 116,56 \text{ kN.m}$$

$$M_{y,Ed} / M_{c,Rd} = 95,05 / 116,56 =$$

$$0,82 < 1,00 \text{ VYHOVUJE}$$

**(B.2) Posouzení MSÚ - smyková únosnost**

klasifikace průřezu - třída 1

$$V_{c,Rd} = V_{pl,Rd}$$

smyková plocha

$$A_{v,z} = A - 2 \cdot b \cdot t_f + (t_w + 2 \cdot r) \cdot t_f =$$

$$3340 - 2 \cdot 90 \cdot 11,3 + (7,5 + 2 \cdot 7,5) \cdot 11,3$$

$$A_{v,z} = 1560 \text{ mm}^2$$

návrhová plastická únosnost ve smyku

$$V_{pl,z,Rd} = n \cdot A_{v,z} \cdot (f_y / \sqrt{3}) / \gamma_{M0} =$$

$$2 \cdot 1560 \cdot (235 / \sqrt{3}) / 1000$$

$$V_{pl,z,Rd} = 423,38 \text{ kN}$$

$$V_{z,Ed} / V_{pl,z,Rd} = 218,74 / 423,38 =$$

$$0,52 < 1,00 \text{ VYHOVUJE}$$

**(B.2) Posouzení MSP - dovolený průhyb**

$$\delta_{max} = L / 600 = 1575 / 600$$

dovolенý průhyb

$$\delta_{max} = 2,6 \text{ mm}$$

max.svislý průhyb

$$w_{z,qk} = (5 \cdot q_n \cdot L^4) / (384 \cdot E_{sd} \cdot n \cdot I_y)$$

$$w_{z,qk} = (5 \cdot 189,75 \cdot 1575^4) / (384 \cdot 210000 \cdot 2 \cdot 21400000)$$

$$w_{z,qk} = 1,7 \text{ mm}$$

max.svislý průhyb (prostý nosník, bodové zat.)

$$w_{z,pk} = (P_k \cdot L^3) / (48 \cdot E_{sd} \cdot n \cdot I_y)$$

$$w_{z,pk} = (32,22 \cdot 1000 \cdot 1575^3) / (48 \cdot 210000 \cdot 2 \cdot 21400000)$$

$$w_{z,pk} = 0,3 \text{ mm}$$

$$w_z = w_{z,qk} + w_{z,pk} = 1,7 + 0,3$$

$$w_z = 2,0 \text{ mm}$$

$$w_{z,qk} / \delta_{max} = 1,98 / 2,63 =$$

$$0,76 < 1,00 \text{ VYHOVUJE}$$

**Navržený prvek 2x I200 je vyhovující dle ČSN EN 1993-1-1.**

Využití průřezu nosníku dle MSÚ 82%

Využití průřezu nosníku dle MSP 76%

**p3 ocelový překlád v 1. NP (m.č. 002)****(A) DATA****(A.1) Navržený profil**POČET SPOLUP. NOSNÍKŮ  $n = 2$  KS**I100**

cel. třídy S235

mez kluzu / modul pružnosti

$$f_y = 235,0 \text{ MPa}$$

$$E_{sd} = 210000 \text{ MPa}$$

Průřez (I 100)

plocha průřezu / vlastní váha

$$A = 1060 \text{ mm}^2$$

$$m = 8,3 \text{ kg.m}^{-1}$$

rozměry - výška / šířka

$$h = 100 \text{ mm}$$

$$b = 50 \text{ mm}$$

tloušťky - stojina / pásnice

$$t_w = 4,5 \text{ mm}$$

$$t_f = 6,8 \text{ mm}$$

průřezový modul

$$W_{y,el} = 34100 \text{ mm}^3$$

$$W_{z,el} = 4860 \text{ mm}^3$$

moment setrvačnosti

$$I_y = 1700000 \text{ mm}^4$$

$$I_z = 122000 \text{ mm}^4$$

poloměr setrvačnosti

$$i_y = 40,0 \text{ mm}$$

$$i_z = 10,7 \text{ mm}$$

plastický průřezový modul / poloměr zaoblení

$$W_{y,pl} = 39800 \text{ mm}^3$$

$$r = 4,5 \text{ mm}$$

Geometrie:

světélé rozpětí nosníku

$$l_0 = 0,85 \text{ m} =$$

$$850 \text{ mm}$$

rozpětí nosníku  $L = 1,05 \cdot l_0$ 

$$L = 0,89 \text{ m} =$$

$$892,5 \text{ mm}$$

**(A.2) Stanovení zatížení**

(a) zdívo pod stropem

Zdívo mezi nosníky

šířka/výška

$$\check{s} = 600 \text{ mm}$$

$$v = 500 \text{ mm}$$

objemová hmotnost materiálu zdíva

$$\rho = 18,00 \text{ kN/m}^3$$

(cihelné zdívo)

(b) reakce od stropní desky

$$r_k = 6,56 \text{ kN/m}$$

$$r_d = 9,21 \text{ kN/m}$$

Zdívo mezi nosníky

šířka/výška

$$\check{s} = 600 \text{ mm}$$

objemová hmotnost materiálu zdíva

$$\rho = 18,00 \text{ kN/m}^3$$

(cihelné zdívo)

TROJÚHELNÍK ZDÍVA (rrt,  $\alpha=60^\circ$ )

$$g_k^* = 3,97 \text{ kN/m}$$

CELKOVÉ ZATÍŽENÍ STROPU -  $q_n / q_d$  - na osuzatížení  $[\text{kN.m}^{-1}]$ 

popis	charakt.	$\gamma_{a,g}$	návrhové
zdívo nad překládem	5,40	x 1,35	7,29
reakce od žb desky stropu	6,56	x 1,41	9,21
zdívo na nad stropem _TROJÚHELNÍK	3,97	x 1,35	5,36
vl. tíha nosníku	0,17	x 1,35	0,23

kombinace pro MSP / MSÚ

$$q_k = 16,09$$

$$q_d = 22,09 \text{ [kN.m}^{-1}]$$

$$\gamma_{k/d} = 1,37$$

zatížení od podélného nosníku

$$P_k = 0,00$$

$$P_d = 0,00 \text{ [kN]}$$

$$x_{l/2} = 0,45 \text{ m}$$

## (A.3) Stanovení vnitřních sil

Reakce nosníku (max. smyková síla  $V_{z,Ed}$ ):

$$A_d = B_d = 1/2 \cdot q_d \cdot L + 1/2 \cdot P_d = 1/2 \cdot 22,09 \cdot 0,89 + 1/2 \cdot 0,00$$

$$A_d = B_d = 9,86 \text{ kN}$$

$$A_k = B_k = 7,18 \text{ kN}$$

Maximální výpočtový moment

$$M_{y,Ed} = 1/8 \cdot q_d \cdot L^2 + 1/4 \cdot P_d \cdot L = 1/8 \cdot 22,09 \cdot 0,89^2 + 1/4 \cdot 0,00 \cdot 0,89$$

$$M_{y,Ed} = 2,20 \text{ kN.m}$$

## (A.4) Klasifikace průřezu

vnitřní tlačená část (stojina v prostém ohybu)

$$\text{parametr } \varepsilon = \sqrt{(235 / f_y)} = \sqrt{(235 / 235)} = 1,00$$

$$c = h - 2 \cdot t_f - 2 \cdot r = 100 - 2 \cdot 6,8 - 2 \cdot 4,5 = 77,4$$

$$c / t_w = 77,4 / 4,5 = 17,20 < 72 \cdot \varepsilon = 72,00 \text{ Třída 1}$$

vnitřní tlačená část (stojina v prostém ohybu)

$$c = (b - t_w - 2 \cdot r) / 2 = (50 - 4,5 - 2 \cdot 4,5) / 2 = 18,25$$

$$c / t_f = 18,3 / 6,8 = 2,68 < 9 \cdot \varepsilon = 9,00 \text{ Třída 1}$$

## (B) POSUDEK

## (B.1) Posouzení MSÚ - ohybové únosnost

klasifikace průřezu - třída 1

$$M_{c,Rd} = M_{pl,Rd}$$

návrhová únosnost průřezu v ohybu

$$M_{c,Rd} = n \cdot W_{y,pl} \cdot f_y / \gamma_{M0} =$$

$$2 \cdot 39800 \cdot 235 / 1 / 1000000$$

$$M_{c,Rd} = 18,71 \text{ kN.m}$$

$$M_{y,Ed} / M_{c,Rd} = 2,20 / 18,71 = 0,12 < 1,00 \text{ VYHOVUJE}$$

## (B.2) Posouzení MSÚ - smyková únosnost

klasifikace průřezu - třída 1

$$V_{c,Rd} = V_{pl,Rd}$$

smyková plocha

$$A_{v,z} = A - 2 \cdot b \cdot t_f + (t_w + 2 \cdot r) \cdot t_f =$$

$$1060 - 2 \cdot 50 \cdot 6,8 + (4,5 + 2 \cdot 4,5) \cdot 6,8$$

$$A_{v,z} = 472 \text{ mm}^2$$

návrhová plastická únosnost ve smyku

$$V_{pl,z,Rd} = n \cdot A_{v,z} \cdot (f_y / \sqrt{3}) / \gamma_{M0} =$$

$$2 \cdot 472 \cdot (235 / \sqrt{3}) / 1000000$$

$$V_{pl,z,Rd} = 128,03 \text{ kN}$$

$$V_{z,Ed} / V_{pl,z,Rd} = 9,86 / 128,03 = 0,08 < 1,00 \text{ VYHOVUJE}$$

## (B.2) Posouzení MSP - dovolený průhyb

dovolенý průhyb

$$\delta_{max} = L / 600 = 892,5 / 600$$

$$\delta_{max} = 1,5 \text{ mm}$$

max.svislý průhyb

$$w_{z,qk} = (5 \cdot q_n \cdot L^4) / (384 \cdot E_{sd} \cdot n \cdot I_y)$$

$$w_{z,qk} = (5 \cdot 16,09 \cdot 892,5^4) / (384 \cdot 210000 \cdot 2 \cdot 1700000)$$

$$w_{z,qk} = 0,2 \text{ mm}$$

max.svislý průhyb (prostý nosník, bodové zat.)

$$w_{z,pk} = (P_k \cdot L^3) / (48 \cdot E_{sd} \cdot n \cdot I_y)$$

$$w_{z,pk} = (0,00 \cdot 1000 \cdot 892,5^3) / (48 \cdot 210000 \cdot 2 \cdot 1700000)$$

$$w_{z,pk} = 0,0 \text{ mm}$$

$$w_z = w_{z,qk} + w_{z,pk} = 0,2 + 0,0$$

$$w_z = 0,2 \text{ mm}$$

$$w_{z,qk} / \delta_{max} = 0,19 / 1,49 = 0,13 < 1,00 \text{ VYHOVUJE}$$

Navržený prvek 2x I100 je vyhovující dle ČSN EN 1993-1-1.

Využití průřezu nosníku dle MSÚ

12%

Využití průřezu nosníku dle MSP

13%

**p4** ocelový překlád nad oknem - 2., 3., 4. a 5. NP

## (A) DATA

## (A.1) Navržený profil

POČET SPOLUP. NOSNÍKŮ  $n = 2$  KS

I140

ocel třídy S235

mez kluzu / modul pružnosti

$$f_y = 235,0 \text{ MPa}$$

$$E_{sd} = 210000 \text{ MPa}$$

Průřez (I 140)

plocha průřezu / vlastní váha

$$A = 1820 \text{ mm}^2$$

$$m = 14,3 \text{ kg.m}^{-1}$$

rozměry - výška / šířka

$$h = 140 \text{ mm}$$

$$b = 66 \text{ mm}$$

tloušťky - stojina / pásnice

$$t_w = 5,7 \text{ mm}$$

$$t_f = 8,6 \text{ mm}$$

průřezový modul

$$W_{y,el} = 81800 \text{ mm}^3$$

$$W_{z,el} = 10600 \text{ mm}^3$$

moment setrvačnosti

$$I_y = 5720000 \text{ mm}^4$$

$$I_z = 351000 \text{ mm}^4$$

poloměr setrvačnosti

$$i_y = 56,0 \text{ mm}$$

$$i_z = 13,9 \text{ mm}$$

plastický průřezový modul / poloměr zaoblení

$$W_{y,pl} = 95200 \text{ mm}^3$$

$$r = 5,7 \text{ mm}$$

Geometrie:

světélé rozpětí nosníku

$$l_0 = 1,70 \text{ m}$$

$$= 1700 \text{ mm}$$

rozpětí nosníku  $L = 1,05 \cdot l_0$ 

$$L = 1,79 \text{ m}$$

$$= 1785 \text{ mm}$$

## (A.2) Stanovení zatížení

Zdivo mezi nosníky

šířka/výška

$$\check{s} = 480 \text{ mm}$$

$$v = 1670 \text{ mm}$$

objemová hmotnost materiálu zdiva

$$\rho = 18,00 \text{ kN/m}^3$$

(cihelné zdivo)

CELKOVÉ ZATÍŽENÍ STROPU -  $q_n$  /  $q_d$  - na osuzatížení  $[\text{kN.m}^{-1}]$ 

popis	charakt.	$\gamma_{g,g}$	návrhové
zdivo nad překládou	14,43	x 1,35	19,48



vl. tíha nosníku	0,29	x 1,35	0,39		
kombinace pro MSP / MSÚ	$q_k = 14,71$		$q_d = 19,86$	[kN.m <sup>-1</sup> ]	$\gamma_{k/d} = 1,35$
zatížení od podélného nosníku	$P_k = 30,36$		$P_d = 42,51$	[kN]	$x_{l/2} = 0,89$ m

(A.3) Stanovení vnitřních sil	$A_d = B_d = 1/2 * q_d * L + 1/2 * P_d = 1/2 * 19,86 * 1,79 + 1/2 * 42,51$
Reakce nosníku (max. smyková síla $V_{z,Ed}$ ):	$A_d = B_d = 38,98$ kN
	$A_k = B_k = 28,31$ kN
Maximální výpočtový moment	$M_{y,Ed} = 1/8 * q_d * L^2 + 1/4 * P_d * L = 1/8 * 19,86 * 1,79^2 + 1/4 * 42,51 * 1,79$
	$M_{y,Ed} = 26,88$ kN.m

(A.4) Klasifikace průřezu	parametr $\varepsilon = \sqrt{(235 / f_y)} = \sqrt{(235 / 235)} = 1,00$
vnitřní tlačená část (stojina v prostém ohybu)	$c = h - 2 * t_f - 2 * r = 140 - 2 * 8,6 - 2 * 5,7 = 111,4$
	$c / t_w = 111,4 / 5,7 = 19,54 < 72 * \varepsilon = 72,00$ Třída 1
vnitřní tlačená část (stojina v prostém ohybu)	$c = (b - t_w - 2 * r) / 2 = (66 - 5,7 - 2 * 5,7) / 2 = 24,45$
	$c / t_f = 24,5 / 8,6 = 2,84 < 9 * \varepsilon = 9,00$ Třída 1

**(B) POSUDEK**

(B.1) Posouzení MSÚ - ohybové únosnost	klasifikace průřezu - třída 1	$M_{c,Rd} = M_{pl,Rd}$
návrhová únosnost průřezu v ohybu	$M_{c,Rd} = n * W_{y,pl} * f_y / \gamma_{M0} = 2 * 95200 * 235 / 1 / 1000000$	
	$M_{c,Rd} = 44,74$ kN.m	
	$M_{y,Ed} / M_{c,Rd} = 26,88 / 44,74 = 0,60 < 1,00$	<b>VYHOVUJE</b>

(B.2) Posouzení MSÚ - smyková únosnost	klasifikace průřezu - třída 1	$V_{c,Rd} = V_{pl,Rd}$
smyková plocha	$A_{v,z} = A - 2 * b * t_f + (t_w + 2 * r) * t_f = 1820 - 2 * 66 * 8,6 + (5,7 + 2 * 5,7) * 8,6$	
	$A_{v,z} = 832$ mm <sup>2</sup>	
návrhová plastická únosnost ve smyku	$V_{pl,z,Rd} = n * A_{v,z} * (f_y / \sqrt{3}) / \gamma_{M0} = 2 * 832 * (235 / \sqrt{3}) / 1000000$	
	$V_{pl,z,Rd} = 225,73$ kN	
	$V_{z,Ed} / V_{pl,z,Rd} = 38,98 / 225,73 = 0,17 < 1,00$	<b>VYHOVUJE</b>

(B.2) Posouzení MSP - dovolený průhyb	$\delta_{max} = L / 600 = 1785 / 600$
dovolený průhyb	$\delta_{max} = 3,0 \text{ mm}$
max.svislý průhyb	$w_{z,qk} = (5 * q_n * L^4) / (384 * E_{sd} * n * I_y)$
	$w_{z,qk} = (5 * 14,71 * 1785^4) / (384 * 210000 * 2 * 5720000)$
	$w_{z,qk} = 0,8 \text{ mm}$
max.svislý průhyb (prostý nosník, bodové zat.)	$w_{z,Pk} = (P_k * L^3) / (48 * E_{sd} * n * I_y)$
	$w_{z,Pk} = (30,36 * 1000 * 1785^3) / (48 * 210000 * 2 * 5720000)$
	$w_{z,Pk} = 1,5 \text{ mm}$
	$w_z = w_{z,qk} + w_{z,Pk} = 0,8 + 1,5$
	$w_z = 2,3 \text{ mm}$
	$w_{z,qk} / \delta_{max} = 2,31 / 2,98 = 0,78 < 1,00$
	<b>VYHOVUJE</b>

**Navržený prvek 2x I140 je vyhovující dle ČSN EN 1993-1-1.**

Využití průřezu nosníku dle MSÚ 60% . Využití průřezu nosníku dle MSP 78% .

**p5 ocelový překlád - 6.NP (m.č. 501)****(A) DATA****(A.1) Navržený profil**

<b>I100</b>	cel třídy S235	mez kluzu / modul pružnosti	$f_y = 235,0$ MPa	$E_{sd} = 210000$ MPa
	Průřez (I 100)	plocha průřezu / vlastní váha	$A = 1060$ mm <sup>2</sup>	$m = 8,3$ kg.m <sup>-1</sup>
		rozměry - výška / šířka	$h = 100$ mm	$b = 50$ mm
		tloušťky - stojina / pásnice	$t_w = 4,5$ mm	$t_f = 6,8$ mm
		průřezový modul	$W_{y,el} = 34100$ mm <sup>3</sup>	$W_{z,el} = 4860$ mm <sup>3</sup>
		moment setrvačnosti	$I_y = 1700000$ mm <sup>4</sup>	$I_z = 122000$ mm <sup>4</sup>
		poloměr setrvačnosti	$i_y = 40,0$ mm	$i_z = 10,7$ mm
		plastický průřezový modul / poloměr zaoblení	$W_{y,pl} = 39800$ mm <sup>3</sup>	$r = 4,5$ mm

Geometrie:	světélé rozpětí nosníku	$l_0 = 1,70$ m = 1700 mm
	rozpětí nosníku $L = 1,05 * l_0$	$L = 1,79$ m = 1785 mm

**(A.2) Stanovení zatížení**



(a) Zdivo mezi nosníky	šířka/výška	$\delta = 350$ mm	$v = 1150$ mm
	objemová hmotnost materiálu zdiva	$\rho = 18,00$ kN/m <sup>3</sup>	(cihelné zdivo)

## (b) Reakce od stropní k-ce

Stropy vynášení překladem

světél rozpětí stropu 1 / podíl zatížení do překladu	$l_1 = 4,40$ m =	4400 mm	50%
světél rozpětí stropu 2 / podíl zatížení do překladu	$l_2 = 0,00$ m =	0 mm	0%
výsledná zatěžovací šířka	$b = 2,20$ m =	2200 mm	
tloušťka desky	$h_s = 0,11$ m =	110 mm	
zatěžovací šířka	$b = 1,00$ m		
Zatížení stropu - $q_n$ / $q_d$ - plošné			
vlastní tíha desky	$g_k = 2,75$ [kN.m <sup>-2</sup> ]	$g_d = 3,71$ [kN.m <sup>-2</sup> ]	
stálé zatížení (podlaha)	$g_k = 0,11$ [kN.m <sup>-2</sup> ]	$g_d = 0,15$ [kN.m <sup>-2</sup> ]	
stálé zatížení (podhled)	$g_k = 0,00$ [kN.m <sup>-2</sup> ]	$g_d = 0,00$ [kN.m <sup>-2</sup> ]	
sníh	$s_k = 0,84$ [kN.m <sup>-2</sup> ]	$q_d = 1,26$ [kN.m <sup>-2</sup> ]	

reakce od žb stropní desky  $r_k = 8,15$  kN/m  $r_d = 11,2772$  kN/m

CELKOVÉ ZATÍŽENÍ PŘEKLADU -  $q_n$  /  $q_d$  - liniovézatížení [kN.m<sup>-1</sup>]

popis	charakt.	$\gamma_f$	návrhové	součinitele [-]
1 x reakce od žb stropní desky	8,15	x 1,38	11,28	$\gamma_q = 1,35$ -
tíha zdiva mezi nosíky	7,25	x 1,35	9,78	$\gamma_q = 1,50$ -
vl. tíha ocelových nosníků	0,17	x 1,35	0,23	$\gamma_{M0,1} = 1,0$ -
$q_n =$	15,56		$q_d = 21,28$ [kN.m <sup>-1</sup> ]	

## (A.3) Stanovení vnitřních sil

Reakce nosíku (max. smyková síla  $V_{z,Ed}$ ):

$$A = B = 1/2 \cdot q_d \cdot L = 1/2 \cdot 21,28 \cdot 1,79$$

$$A = B = 19,00 \text{ kN}$$

Maximální výpočtový moment

$$M_{y,Ed} = 1/8 \cdot q_d \cdot L^2 = 1/8 \cdot 21,28 \cdot 1,79^2 \cdot 1,79$$

$$M_{y,Ed} = 8,48 \text{ kN.m}$$

## (A.4) Klasifikace průřezu

parametr $\varepsilon = \sqrt{235 / f_y}$	=	$\sqrt{235 / 235}$	=	1,00
vnitřní tlačená část (stojina v prostém ohybu)	$c = h - 2 \cdot t_f - 2 \cdot r$	=	$100 - 2 \cdot 6,8 - 2 \cdot 4,5$	= 77,4
	$c / t_w = 77,4 / 4,5$	=	17,20	< $72 \cdot \varepsilon = 72,00$ Třída 1
vnitřní tlačená část (stojina v prostém ohybu)	$c = (b - t_w - 2 \cdot r) / 2$	=	$(50 - 4,5 - 2 \cdot 4,5) / 2$	= 18,25
	$c / t_f = 18,3 / 6,8$	=	2,68	< $9 \cdot \varepsilon = 9,00$ Třída 1

## (B) POSUDEK

## (B.1) Posouzení MSÚ - smyková únosnost

klasifikace průřezu - třída 1

$$V_{c,Rd} = V_{pl,Rd}$$

smyková plocha

$$A_{v,z} = A - 2 \cdot b \cdot t_f + (t_w + 2 \cdot r) \cdot t_f =$$

$$A_{v,z} = 472 \text{ mm}^2$$

$$1060 - 2 \cdot 50 \cdot 6,8 + (4,5 + 2 \cdot 4,5) \cdot 6,8$$

návrhová plastická únosnost ve smyku

$$V_{pl,z,Rd} = n \cdot A_{v,z} \cdot (f_y / \sqrt{3}) / \gamma_{M0} =$$

$$V_{pl,z,Rd} = 128,03 \text{ kN}$$

$$2 \cdot 472 \cdot (235 / \sqrt{3}) / 1 / 1000$$

$$V_{z,Ed} / V_{pl,z,Rd} = 19,00 / 128,03 = 0,15 < 1,00 \text{ VYHOVUJE}$$

## (B.2) Posouzení MSÚ - ohybové únosnost

klasifikace průřezu - třída 1

$$M_{c,Rd} = M_{pl,Rd}$$

návrhová únosnost průřezu v ohybu

$$M_{c,Rd} = n \cdot W_{y,pl} \cdot f_y / \gamma_{M0} =$$

$$M_{c,Rd} = 18,71 \text{ kN.m}$$

$$2 \cdot 39800 \cdot 235 / 1 / 1000000$$

$$M_{y,Ed} / M_{c,Rd} = 8,48 / 18,71 = 0,45 < 1,00 \text{ VYHOVUJE}$$

## (B.2) Posouzení MSP - dovolený průhyb

$$\delta_{max} = L / 600 = 1785 / 600$$

$$\delta_{max} = 3,0 \text{ mm}$$

max.svislý průhyb (prostý nosník, spojitě zat.)

$$w_{z,qk} = (5 \cdot q_n \cdot L^4) / (384 \cdot E_{sd} \cdot n \cdot I_y)$$

$$w_{z,qk} = (5 \cdot 15,56 \cdot 1700^4) / (384 \cdot 2 \cdot 210000 \cdot 1700000)$$

$$w_{z,qk} = 2,4 \text{ mm}$$

$$w_{z,qk} / \delta_{max} = 2,37 / 2,98 = 0,80 < 1,00 \text{ VYHOVUJE}$$

Navržený prvek 2x I100 je vyhovující dle ČSN EN 1993-1-1.

Využití průřezu nosníku dle MSÚ 45%

Využití průřezu nosníku dle MSP 80%

**p6 ocelová výměna pod deskou ds.3 - 1.PP (m.č. S02)****(A) DATA**POČET SPOLUP. NOSNÍKŮ  $n = 1$  KS

<b>180</b>	ocel třídy S235	mez kluzu / modul pružnosti	$f_y =$	235,0 MPa	$E_{sd} =$	210000 MPa
	Průřez (I 80)	plocha průřezu / vlastní váha	$A =$	757 mm <sup>2</sup>	$m =$	5,9 kg.m <sup>-1</sup>
		rozměry - výška / šířka	$h =$	80 mm	$b =$	42 mm
		tloušťky - stojina / pásnice	$t_w =$	3,9 mm	$t_f =$	5,9 mm
		průřezový modul	$W_{y,el} =$	19400 mm <sup>3</sup>	$W_{z,el} =$	2990 mm <sup>3</sup>
		moment setrvačnosti	$I_y =$	777000 mm <sup>4</sup>	$I_z =$	62800 mm <sup>4</sup>
		poloměr setrvačnosti	$i_y =$	32,0 mm	$i_z =$	9,1 mm
		plastický průřezový modul / poloměr zaoblení	$W_{y,pl} =$	22800 mm <sup>3</sup>	$r =$	3,9 mm
Geometrie:						
		světélé rozpětí nosníku	$l_0 =$	1,05 m	1050 mm	
		rozpětí nosníku $L = 1,05 * l_0$	$L =$	1,10 m	1102,5 mm	
		max. osová vzdálenost nosníků	$o_0 =$	0,00 m		

**(A.1) Stanovení zatížení**CELKOVÉ ZATÍŽENÍ STROPU -  $q_n$  /  $q_d$  - plošné

Součinitele:

skladba střešního pláště	$g_k =$	0,00 [kN.m <sup>-2</sup> ]	$\gamma_{M0} =$	1,00 -
plechobetonová nosná deska	$g_k =$	0,00 [kN.m <sup>-2</sup> ]	$\gamma_g =$	1,35 -
sníh	$s_k =$	0,00 [kN.m <sup>-2</sup> ]	$\gamma_q =$	1,50 -

CELKOVÉ ZATÍŽENÍ STROPU -  $q_n$  /  $q_d$  - na osuzatížení [kN.m<sup>-1</sup>]

popis	charakt.	$\gamma_{g,q}$	návrhové
skladba střešního pláště	0,00	x 1,35	0,00
plechobetonová nosná deska	0,00	x 1,35	0,00
vl. tíha nosníku	0,06	x 1,35	0,08
reakce od desky ds.3	14,39	x 1,42	20,50
sníh	0,00	x 1,50	0,00

kombinace pro MSP / MSÚ	$q_k =$	14,45	$q_d =$	20,58 [kN.m <sup>-1</sup> ]	$\gamma_{k/d} =$	1,42 -
-------------------------	---------	-------	---------	-----------------------------	------------------	--------

zatížení od podélného l	$P_k =$	0,00	$P_d =$	0,00 [kN]	$x_{l/2} =$	0,55 m
-------------------------	---------	------	---------	-----------	-------------	--------

**(A.2) Stanovení vnitřních sil**Reakce nosníku (max. smyková síla  $V_{z,Ed}$ ):

$$A_d = B_d = 1/2 * q_d * L + 1/2 * P_d = 1/2 * 20,58 * 1,10 + 1/2 * 0,00$$

$$A_d = B_d = 11,34 \text{ kN}$$

$$A_k = B_k = 7,96 \text{ kN}$$

Maximální výpočtový moment

$$M_{y,Ed} = 1/8 * q_d * L^2 + 1/4 * P_d * L = 1/8 * 20,58 * 1,10^2 + 1/4 * 0,00 * 1,10$$

$$M_{y,Ed} = 3,13 \text{ kN.m}$$

**(B) POSUDEK**

Klasifikace průřezu

$$\text{parametr } \varepsilon = \sqrt{(235 / f_y)} = \sqrt{(235 / 235)} = 1,00$$

vnitřní tlačená část (stojina v prostém ohybu)

$$c = h - 2 * t_f - 2 * r = 80 - 2 * 5,9 - 2 * 3,9 = 60,4$$

$$c / t_w = 60,4 / 3,9 = 15,49 < 72 * \varepsilon = 72,00 \text{ Třída 1}$$

vnitřní tlačená část (stojina v prostém ohybu)

$$c = (b - t_w - 2 * r) / 2 = (42 - 3,9 - 2 * 3,9) / 2 = 15,15$$

$$c / t_f = 15,2 / 5,9 = 2,57 < 9 * \varepsilon = 9,00 \text{ Třída 1}$$

Posouzení MSÚ - momentová únosnost

klasifikace průřezu - třída 1

$$M_{c,Rd} = M_{pl,Rd}$$

návrhová únosnost průřezu v ohybu

$$M_{c,Rd} = n * W_{y,pl} * f_y / \gamma_{M0} = 1 * 22800 * 235 / 1 / 1000000$$

$$M_{c,Rd} = 5,36 \text{ kN.m}$$

$$M_{y,Ed} / M_{c,Rd} = 3,13 / 5,36 = 0,58 < 1,00 \text{ VYHOVUJE}$$

Posouzení MSÚ - smyková únosnost

klasifikace průřezu - třída 1

$$V_{c,Rd} = V_{pl,Rd}$$

smyková plocha

$$A_{v,z} = A - 2 * b * t_f + (t_w + 2 * r) * t_f = 757 - 2 * 42 * 5,9 + (3,9 + 2 * 3,9) * 5,9$$

$$A_{v,z} = 330 \text{ mm}^2$$

návrhová plastická únosnost ve smyku

$$V_{pl,z,Rd} = n * A_{v,z} * (f_y / \sqrt{3}) / \gamma_{M0} = 1 * 330 * (235 / \sqrt{3}) / 1 / 1000$$

$$V_{pl,z,Rd} = 44,83 \text{ kN}$$

$$V_{z,Ed} / V_{pl,z,Rd} = 11,34 / 44,83 = 0,25 < 1,00 \text{ VYHOVUJE}$$

Posouzení MSP - průhyb

$$\delta_{max} = L / 600 = 1102,5 / 600$$

dovolený průhyb

$$\delta_{max} = 1,8 \text{ mm}$$

max.svislý průhyb

$$w_{z,qk} = (5 * q_n * L^4) / (384 * E_{sd} * n * I_y)$$

$$w_{z,qk} = (5 * 14,45 * 1102,5^4) / (384 * 210000 * 1 * 777000)$$

$$w_{z,qk} = 1,7 \text{ mm}$$

max.svislý průhyb (prostý nosník, bodové zat.)

$$w_{z,Pk} = (P_k * L^3) / (48 * E_{sd} * n * I_y)$$

$$w_{z,Pk} = (0,00 * 1000 * 1102,5^3) / (48 * 210000 * 1 * 777000)$$

$$w_{z,Pk} = 0,0 \quad \text{mm}$$

$$w_z = w_{z,qk} + w_{z,Pk} = 1,7 + 0,0$$

$$w_z = 1,7 \quad \text{mm} \quad L / 647$$

$$w_{z,qk} / \delta_{max} = 1,70 / 1,84 = 0,93 < 1,00 \quad \text{VYHOVUJE}$$

Ocelový nosník konstrukce	p6	je vyhovující dle ČSN EN 1993-1-1.
Využití průřezu nosníku dle MSÚ	58%	. Využití průřezu nosníku dle MSP 93% .
<b>Z KONSTRUKČNÍHO HLEDISKA BUDE POUŽIT PROFIL HEB 100 (S235), KTERÝ BEZPEČNĚ VYHOVÍ!</b>		

**PŘÍLOHA Č. II.2 - OCEL: PRVKY ZESÍLENÍ, DOPLNĚNÍ STROPŮ****z1** prostě uložená ocelová výměna (podchycení žb desky)

## zesilující nosník stropů nad 1. PP

POČET NOSNÍKŮ  $n = 1$  KS

<b>Jákl</b>	Ocel třídy S235	mez kluzu / modul pružnosti	$f_y = 235,0$ MPa	$E_{sd} = 210000$ MPa
200/120/8		plocha průřezu / vlastní váha	$A = 4864,0$ mm <sup>2</sup>	$m = 38,0$ kg.m <sup>-1</sup>
		rozměry - výška / šířka	$h = 200,0$ mm	$b = 120$ mm
		tloušťky - stojina / pásnice	$t_w = 8,0$ mm	$t_f = 8$ mm
		moment setrvačnosti	$I_y = 26010965,3$ mm <sup>4</sup>	$I_z = 11552085$ mm <sup>4</sup>
		poloměr setrvačnosti	$i_y = 73,1$ mm	$i_z = 49$ mm
		plastický průřezový modul	$W_{y,pl} = 260109,7$ mm <sup>3</sup>	$W_{z,pl} = 192535$ mm <sup>3</sup>
Geometrie:		světélé rozpětí nosníku	$l_0 = 4,55$ m =	4550 mm
		rozpětí nosníku $L = 1,025 * l_0$	$L = 4,66$ m =	4663,75 mm
		délka (šířka desky)	$l_n = 2,10$ m =	2100 mm
		počet nových podpor desky (pravidelně rozmístěny)	$n = 1$ ks	
		osa nosníků	$b = 1,05$ m =	1050 mm 50%

CELKOVÉ ZATÍŽENÍ STROPU -  $q_n / q_d$  - plošnézatížení [kN.m<sup>-1</sup>]

popis	charakt.	$\gamma_f$	návrhové	Součinitele:
100% reakce od desky	9,50	x 1,43	13,59	$\gamma_{M0,1} = 1,0$ -
akustická přídka	0,00	x 1,35	0,00	$\gamma_g = 1,35$ -
vlastní váha I profilu	0,38	x 1,35	0,51	$\gamma_q = 1,50$ -
$q_n =$	9,88		$q_d = 14,10$ [kN.m <sup>-1</sup> ]	

Reakce nosníku (max. smyková síla  $V_{z,Ed}$ ):

$$A = B = 1/2 * q_d * L = 1/2 * 14,10 * 4,66$$

$$A = B = 32,88 \text{ kN} \quad (23,03)$$

Maximální výpočtový moment

$$M_{y,Ed} = 1/8 * q_d * L^2 = 1/8 * 14,10 * 4,66^2$$

$$M_{y,Ed} = 38,34 \text{ kN.m}$$

Posouzení MSÚ - momentová únosnost

klasifikace průřezu - třída 1

$$M_{c,Rd} = M_{pl,Rd}$$

návrhová únosnost průřezu v ohybu

$$M_{c,Rd} = n * W_{y,pl} * f_y / \gamma_{M0} =$$

$$1 * 260109,653333333 * 235 / 1 / 1000000$$

$$M_{c,Rd} = 61,13 \text{ kN.m}$$

$$M_{y,Ed} / M_{c,Rd} = 38,34 / 61,13 = 0,63 < 1,00 \text{ VYHOVUJE}$$

Posouzení MSÚ - smyková únosnost

klasifikace průřezu - třída 1

$$V_{c,Rd} = V_{pl,Rd}$$

smyková plocha

$$A_{v,z} = A - 2 * b * t_f =$$

$$4864 - 2 * 120 * 8$$

$$A_{v,z} = 2944 \text{ mm}^2$$

návrhová plastická únosnost ve smyku

$$V_{pl,z,Rd} = n * A_{v,z} * (f_y / \sqrt{3}) / \gamma_{M0} =$$

$$1 * 2944 * (235 / \sqrt{3}) / 1 / 1000$$

$$V_{pl,z,Rd} = 399,43 \text{ kN}$$

$$V_{z,Ed} / V_{pl,z,Rd} = 32,88 / 399,43 = 0,08 < 1,00 \text{ VYHOVUJE}$$

Posouzení MSP - průhyb

dovolený průhyb

$$\delta_{max} = L / 400 = 4663,75 / 400$$

$$\delta_{max} = 11,7 \text{ mm}$$

max.svislý průhyb (prostý nosník, spojitě zat.)

$$w_{z,qk} = (5 * q_n * L^4) / (384 * E_{sd} * n * I_y)$$

$$w_{z,qk} = (5 * 9,88 * 4663,75^4) / (384 * 1 * 210000 * 26010965,3333333)$$

$$w_{z,qk} = 11,1 \text{ mm} \quad (L / 419)$$

$$w_{z,qk} / \delta_{max} = 11,1 / 11,66 = 0,96 < 1,00$$

Výsledek akceptován vzhledem ke zjednodušení modelu na stranu bezpečnou!

Ocelová výměna **z1** jsou vyhovující dle ČSN EN 1993-1-1

Využití průřezu nosníku dle MSÚ

63%

Využití průřezu nosníku dle MSP

96%

**z2** prostě uložená ocelová výměna pro uložení zesilujícího nosníku

## výměna strop nad 1. PP

**(A) DATA**POČET SPOLUP. NOSNÍKŮ  $n = 2$  KS

<b>I140</b>	Ocel třídy S235	mez kluzu / modul pružnosti	$f_y = 235,0$ MPa	$E_{sd} = 210000$ MPa
	Průřez (I 140)	plocha průřezu / vlastní váha	$A = 1820$ mm <sup>2</sup>	$m = 14,3$ kg.m <sup>-1</sup>
		rozměry - výška / šířka	$h = 140$ mm	$b = 66$ mm
		tloušťky - stojina / pásnice	$t_w = 5,7$ mm	$t_f = 8,6$ mm
		průřezový modul	$W_{y,el} = 81800$ mm <sup>3</sup>	$W_{z,el} = 10600$ mm <sup>3</sup>
		moment setrvačnosti	$I_y = 5720000$ mm <sup>4</sup>	$I_z = 351000$ mm <sup>4</sup>

poloměr setrvačnosti	$i_y =$	56,0 mm	$i_z =$	13,9 mm
plastický průřezový modul / poloměr zaoblení	$W_{y,pl} =$	95200 mm <sup>3</sup>	$r =$	5,7 mm
Geometrie:	světélé rozpětí nosníku	$l_0 =$	2,17 m	2170 mm
	rozpětí nosníku $L = 1,05 \cdot l_0$	$L =$	2,28 m	2278,5 mm
	max. osová vzdálenost nosníků	$o_0 =$	0,00 m	

## (A.1) Stanovení zatížení

CELKOVÉ ZATÍŽENÍ STROPU -  $q_n / q_d$  - plošné

skladba střešního pláště

$g_k = 0,00 \text{ [kN.m}^{-2}\text{]}$

Součinitele:

$\gamma_{M0} = 1,00$

plechobetonová nosná deska

$g_k = 0,00 \text{ [kN.m}^{-2}\text{]}$

$\gamma_g = 1,35$

sníh

$s_k = 0,00 \text{ [kN.m}^{-2}\text{]}$

$\gamma_q = 1,50$

CELKOVÉ ZATÍŽENÍ STROPU -  $q_n / q_d$  - na osuzatížení [kN.m<sup>-1</sup>]

popis	charakt.	$\gamma_{a,q}$	návrhové
skladba střešního pláště	0,00	x 1,35	0,00
plechobetonová nosná deska	0,00	x 1,35	0,00
vl. tíha nosníku	0,29	x 1,35	0,39
sníh	0,00	x 1,50	0,00

kombinace pro MSP / MSÚ

 $q_k =$ 

0,29

 $q_d =$ 

0,39

[kN.m<sup>-1</sup>] $\gamma_{k/d} =$ 

1,35

zatížení od podélného l

 $P_k =$ 

46,06

 $P_d =$ 

65,77

[kN]

 $x_{l/2} =$ 

1,14

m

## (A.2) Stanovení vnitřních sil

Reakce nosníku (max. smyková síla  $V_{z,Ed}$ ):

$A_d = B_d = 1/2 \cdot q_d \cdot L + 1/2 \cdot P_d = 1/2 \cdot 0,39 \cdot 2,28 + 1/2 \cdot 65,77$

$A_d = B_d = 33,32 \text{ kN}$

$A_k = B_k = 23,36 \text{ kN}$

Maximální výpočtový moment

$M_{y,Ed} = 1/8 \cdot q_d \cdot L^2 + 1/4 \cdot P_d \cdot L = 1/8 \cdot 0,39 \cdot 2,28^2 + 1/4 \cdot 65,77 \cdot 2,28$

$M_{y,Ed} = 37,71 \text{ kN.m}$

## (B) POSUDEK

Klasifikace průřezu

parametr  $\varepsilon = \sqrt{(235 / f_y)} = \sqrt{(235 / 235)} = 1,00$

vnitřní tlačená část (stojina v prostém ohybu)

$c = h - 2 \cdot t_f - 2 \cdot r = 140 - 2 \cdot 8,6 - 2 \cdot 5,7 = 111,4$

$c / t_w = 111,4 / 5,7 = 19,54 < 72 \cdot \varepsilon = 72,00$

Třída 1

vnitřní tlačená část (stojina v prostém ohybu)

$c = (b - t_w - 2 \cdot r) / 2 = (66 - 5,7 - 2 \cdot 5,7) / 2 = 24,45$

$c / t_f = 24,5 / 8,6 = 2,84 < 9 \cdot \varepsilon = 9,00$

Třída 1

Posouzení MSÚ - momentová únosnost

klasifikace průřezu - třída 1

$M_{c,Rd} = M_{pl,Rd}$

návrhová únosnost průřezu v ohybu

$M_{c,Rd} = n \cdot W_{y,pl} \cdot f_y / \gamma_{M0} = 2 \cdot 95200 \cdot 235 / 1 / 1000000$

$M_{c,Rd} = 44,74 \text{ kN.m}$

$M_{y,Ed} / M_{c,Rd} = 37,71 / 44,74 = 0,84 < 1,00$  **VYHOVUJE**

Posouzení MSÚ - smyková únosnost

klasifikace průřezu - třída 1

$V_{c,Rd} = V_{pl,Rd}$

smyková plocha

$A_{v,z} = A - 2 \cdot b \cdot t_f + (t_w + 2 \cdot r) \cdot t_f = 1820 - 2 \cdot 66 \cdot 8,6 + (5,7 + 2 \cdot 5,7) \cdot 8,6$

$A_{v,z} = 832 \text{ mm}^2$

návrhová plastická únosnost ve smyku

$V_{pl,z,Rd} = n \cdot A_{v,z} \cdot (f_y / \sqrt{3}) / \gamma_{M0} = 2 \cdot 832 \cdot (235 / \sqrt{3}) / 1 / 1000$

$V_{pl,z,Rd} = 225,73 \text{ kN}$

$V_{z,Ed} / V_{pl,z,Rd} = 33,32 / 225,73 = 0,15 < 1,00$  **VYHOVUJE**

Posouzení MSP - průhyb

$\delta_{max} = L / 400 = 2278,5 / 400$

dovolený průhyb

$\delta_{max} = 5,7 \text{ mm}$

max.svislý průhyb

$w_{z,qk} = (5 \cdot q_n \cdot L^4) / (384 \cdot E_{sd} \cdot n \cdot I_y)$

$w_{z,qk} = (5 \cdot 0,29 \cdot 2278,5^4) / (384 \cdot 210000 \cdot 2 \cdot 5720000)$

$w_{z,qk} = 0,0 \text{ mm}$

max.svislý průhyb (prostý nosník, bodové zat.)

$w_{z,Pk} = (P_k \cdot L^3) / (48 \cdot E_{sd} \cdot n \cdot I_y)$

$w_{z,Pk} = (46,06 \cdot 1000 \cdot 2278,5^3) / (48 \cdot 210000 \cdot 2 \cdot 5720000)$

$w_{z,Pk} = 4,7 \text{ mm}$

$w_z = w_{z,qk} + w_{z,Pk} = 0,0 + 4,7$

$w_z = 4,8 \text{ mm}$

$w_{z,qk} / \delta_{max} = 4,77 / 5,70 = 0,84 < 1,00$  **VYHOVUJE**

Ocelová výměna z2 je vyhovující dle ČSN EN 1993-1-1.  
 Využití průřezu nosníku dle MSÚ 84% . Využití průřezu nosníku dle MSP 84% .

**z3** prostě uložená ocelová výměna (vynesení příčky)

## zesilující nosník stropů nad 1. PP pod studiem

POČET NOSNÍKŮ  $n = 1$  KS

<b>Jákl</b>	Ocel třídy S235	mez kluzu / modul pružnosti	$f_y = 235,0$ MPa	$E_{sd} = 210000$ MPa
300/150/12,5		plocha průřezu / vlastní váha	$A = 10625,0$ mm <sup>2</sup>	$m = 83,1$ kg.m <sup>-1</sup>
		rozměry - výška / šířka	$h = 300,0$ mm	$b = 150$ mm
		tloušťky - stojina / pásnice	$t_w = 12,5$ mm	$t_f = 13$ mm
		moment setrvačnosti	$I_y = 120865885,4$ mm <sup>4</sup>	$I_z = 39615885$ mm <sup>4</sup>
		poloměr setrvačnosti	$i_y = 106,7$ mm	$i_z = 61$ mm
		plastický průřezový modul	$W_{y,pl} = 805772,6$ mm <sup>3</sup>	$W_{z,pl} = 528212$ mm <sup>3</sup>
Geometrie:	světlé rozpětí nosníku	$l_0 = 4,90$ m =	4900 mm	
	rozpětí nosníku $L = 1,025 \cdot l_0$	$L = 5,02$ m =	5022,5 mm	
	zatěžovací pás	$b = 1,00$ m =	1000 mm	

CELKOVÉ ZATÍŽENÍ STROPU -  $q_n / q_d$  - plošné

popis	charakt.	$\gamma_f$	návrhové	Součinitele:
reakce od desky	6,58	x 1,41	9,30	$\gamma_{M0,1} = 1,0$ -
zděná příčka	14,06	x 1,35	18,98	$\gamma_g = 1,35$ -
akustická příčka	1,62	x 1,35	2,18	$\gamma_q = 1,50$ -
podhled	0,21	x 1,35	0,28	
vlastní váha I profilu	0,83	x 1,35	1,12	
	$q_n = 23,29$		$q_d = 31,86$ [kN.m <sup>-1</sup> ]	

Reakce nosníku (max. smyková síla  $V_{z,Ed}$ ):

$$A = B = 1/2 \cdot q_d \cdot L = 1/2 \cdot 31,86 \cdot 5,02$$

$$A = B = 80,01 \text{ kN} \quad (58,50)$$

Maximální výpočtový moment

$$M_{y,Ed} = 1/8 \cdot q_d \cdot L^2 = 1/8 \cdot 31,86 \cdot 5,02^2 \cdot 5,02$$

$$M_{y,Ed} = 100,47 \text{ kN.m}$$

Klasifikace průřezu

parametr  $\varepsilon = \sqrt{235 / f_y} = \sqrt{235 / 235} = 1,00$

vnitřní tlačená část (stojina v prostém ohybu)

$$c = h - 2 \cdot t_f = 300 - 2 \cdot 12,5 = 275$$

$$c / t_w = 275,0 / 12,5 = 22,00 < 72 \cdot \varepsilon = 72,00 \quad \text{Třída 1}$$

vnitřní tlačená část (stojina v prostém ohybu)

$$c = b - 2 \cdot t_w = (150 - 2 \cdot 12,5) = 125$$

$$c / t_f = 125,0 / 12,5 = 10,00 < 14 \cdot \varepsilon = 14,00 \quad \text{Třída 3}$$

Posouzení MSÚ - momentová únosnost

klasifikace průřezu - třída 1

$$M_{c,Rd} = M_{pl,Rd}$$

návrhová únosnost průřezu v ohybu

$$M_{c,Rd} = n \cdot W_{y,pl} \cdot f_y / \gamma_{M0} = 1 \cdot 805772,6 \cdot 235 / 1 / 1000000$$

$$M_{c,Rd} = 189,36 \text{ kN.m}$$

$$M_{y,Ed} / M_{c,Rd} = 100,47 / 189,36 = 0,53 < 1,00 \quad \text{VYHOVUJE}$$

Posouzení MSÚ - smyková únosnost

klasifikace průřezu - třída 1

$$V_{c,Rd} = V_{pl,Rd}$$

smyková plocha

$$A_{v,z} = A - 2 \cdot b \cdot t_f = 10625 - 2 \cdot 150 \cdot 12,5$$

$$A_{v,z} = 6875 \text{ mm}^2$$

návrhová plastická únosnost ve smyku

$$V_{pl,Rd} = n \cdot A_{v,z} \cdot (f_y / \sqrt{3}) / \gamma_{M0} = 1 \cdot 6875 \cdot (235 / \sqrt{3}) / 1 / 1000$$

$$V_{pl,Rd} = 932,78 \text{ kN}$$

$$V_{z,Ed} / V_{pl,Rd} = 80,01 / 932,78 = 0,09 < 1,00 \quad \text{VYHOVUJE}$$

Posouzení MSP - průhyb

dovolený průhyb

$$\delta_{max} = L / 600 = 5022,5 / 600$$

$$\delta_{max} = 8,4 \text{ mm}$$

max.svislý průhyb (prostý nosník, spojitě zat.)

$$w_{z,qk} = (5 \cdot q_n \cdot L^4) / (384 \cdot E_{sd} \cdot n \cdot I_y)$$

$$w_{z,qk} = (5 \cdot 23,29 \cdot 5022,5^4) / (384 \cdot 1 \cdot 210000 \cdot 120865885,416667)$$

$$w_{z,qk} = 7,6 \text{ mm} \quad (L / 661)$$

$$w_{z,qk} / \delta_{max} = 7,60 / 8,37 = 0,91 < 1,00$$

Výsledek akceptován vzhledem ke zjednodušení modelu na stranu bezpečnou!

Ocelová výměna	<b>z3</b>	jsou vyhovující dle ČSN EN 1993-1-1
Využití průřezu nosníku dle MSÚ	53%	Využití průřezu nosníku dle MSP 91%

**z4.a** prostě uložená ocelová výměna (podchycení žb desky)

## strop vynášející samoobslužné studio

POČET NOSNÍKŮ  $n = 1$  KS

<b>Jákl</b>	Ocel třídy S235	mez kluzu / modul pružnosti	$f_y = 235,0$ MPa	$E_{sd} = 210000$ MPa
200/120/6		plocha průřezu / vlastní váha	$A = 3696,0$ mm <sup>2</sup>	$m = 28,9$ kg.m <sup>-1</sup>

rozměry - výška / šířka	$h = 200,0$ mm	$b = 120$ mm
tloušťky - stojina / pásnice	$t_w = 6,0$ mm	$t_f = 6$ mm
moment setrvačnosti	$I_y = 20197952,0$ mm <sup>4</sup>	$I_z = 9064512$ mm <sup>4</sup>
poloměr setrvačnosti	$i_y = 73,9$ mm	$i_z = 50$ mm
plastický průřezový modul	$W_{y,pl} = 201979,5$ mm <sup>3</sup>	$W_{z,pl} = 151075$ mm <sup>3</sup>
Geometrie:		
světélé rozpětí nosníku	$l_0 = 4,00$ m	4000 mm
rozpětí nosníku $L = 1,025 \cdot l_0$	$L = 4,10$ m	4100 mm

CELKOVÉ ZATÍŽENÍ STROPU - $q_n$ / $q_d$ - plošné		zatížení [kN.m <sup>-1</sup> ]		Součinitele:
popis	charakt.	$\gamma_f$	návrhové	
100% reakce od desky	8,11	x 1,40	11,37	$\gamma_{M0,1} = 1,0$ -
akustická přídka	0,00	x 1,35	0,00	$\gamma_q = 1,35$ -
vlastní váha I profilu	0,29	x 1,35	0,39	$\gamma_q = 1,50$ -
	$q_n = 8,40$		$q_d = 11,76$ [kN.m <sup>-1</sup> ]	

Reakce nosníku (max. smyková síla $V_{z,Ed}$ ):	$A = B = 1/2 \cdot q_d \cdot L = 1/2 \cdot 11,76 \cdot 4,10$	1,4
	$A = B = 24,10$ kN	17,2
Maximální výpočtový moment	$M_{y,Ed} = 1/8 \cdot q_d \cdot L^2 = 1/8 \cdot 11,76 \cdot 4,10 \cdot 4,10$	
	$M_{y,Ed} = 24,70$ kN.m	

Klasifikace průřezu	parametr $\varepsilon = \sqrt{(235 / f_y)}$	$= \sqrt{(235 / 235)} =$	1,00
vnitřní tlačná část (stojina v prostém ohybu)	$c = h - 2 \cdot t_f$	$= 200 - 2 \cdot 6 =$	188
	$c / t_w = 188,0 / 6,0 = 31,33$	$< 72 \cdot \varepsilon = 72,00$	Třída 1
vnitřní tlačná část (stojina v prostém ohybu)	$c = (b - t_w)$	$= (120 - 6) / 2 =$	114
	$c / t_f = 114,0 / 6,0 = 19,00$	$> 14 \cdot \varepsilon = 14,00$	Třída 4

Posouzení MSÚ - momentová únosnost	klasifikace průřezu - třída 1	$M_{c,Rd} = M_{pl,Rd}$
návrhová únosnost průřezu v ohybu	$M_{c,Rd} = n \cdot W_{y,pl} \cdot f_y / \gamma_{M0} = 1 \cdot 201979,52 \cdot 235 / 1 / 1\,000\,000$	
	$M_{c,Rd} = 47,47$ kN.m	
	$M_{y,Ed} / M_{c,Rd} = 24,70 / 47,47 = 0,52$	$< 1,00$ <b>VYHOVUJE</b>

Posouzení MSÚ - smyková únosnost	klasifikace průřezu - třída 1	$V_{c,Rd} = V_{pl,Rd}$
smyková plocha	$A_{v,z} = A - 2 \cdot b \cdot t_f + (t_w + 2 \cdot r) \cdot t_f = 3696 - 2 \cdot 120 \cdot 6$	
	$A_{v,z} = 2256$ mm <sup>2</sup>	
návrhová plastická únosnost ve smyku	$V_{pl,z,Rd} = n \cdot A_{v,z} \cdot (f_y / \sqrt{3}) / \gamma_{M0} = 1 \cdot 2256 \cdot (235 / \sqrt{3}) / 1 / 1\,000$	
	$V_{pl,z,Rd} = 306,09$ kN	
	$V_{z,Ed} / V_{pl,z,Rd} = 24,10 / 306,09 = 0,08$	$< 1,00$ <b>VYHOVUJE</b>

Posouzení MSP - průhyb	dovolený průhyb	$\delta_{max} = L / 400 = 4100 / 400$
		$\delta_{max} = 10,3$ mm
max.svislý průhyb (prostý nosník, spojitě zat.)	$w_{z,qk} = (5 \cdot q_n \cdot L^4) / (384 \cdot E_{sd} \cdot n \cdot I_y)$	
	$w_{z,qk} = (5 \cdot 8,40 \cdot 4100^4) / (384 \cdot 1 \cdot 210000 \cdot 20197952)$	
	$w_{z,qk} = 7,3$ mm	
	$w_{z,qk} / \delta_{max} = 7,29 / 10,25 = 0,71$	$< 1,00$

Ocelová výměna	z4.a	jsou vyhovující dle ČSN EN 1993-1-1
Využití průřezu nosníku dle MSÚ	52%	Využití průřezu nosníku dle MSP 71%

**z5** **prostě uložená ocelová výměna** (podchycení žb desky)**strop vynášející samoobslužné studio**POČET NOSNÍKŮ  $n = 1$  KS

Jákl	Ocel třídy S235	mez kluzu / modul pružnosti	$f_y = 235,0$ MPa	$E_{sd} = 210000$ MPa
200/120/8		plocha průřezu / vlastní váha	$A = 4864,0$ mm <sup>2</sup>	$m = 38,0$ kg.m <sup>-1</sup>
		rozměry - výška / šířka	$h = 200,0$ mm	$b = 120$ mm
		tloušťky - stojina / pásnice	$t_w = 8,0$ mm	$t_f = 8$ mm
		moment setrvačnosti	$I_y = 26010965,3$ mm <sup>4</sup>	$I_z = 11552085$ mm <sup>4</sup>
		poloměr setrvačnosti	$i_y = 73,1$ mm	$i_z = 49$ mm
		plastický průřezový modul	$W_{y,pl} = 260109,7$ mm <sup>3</sup>	$W_{z,pl} = 192535$ mm <sup>3</sup>
Geometrie:		světélé rozpětí nosníku	$l_0 = 4,00$ m	4000 mm
		rozpětí nosníku $L = 1,025 \cdot l_0$	$L = 4,10$ m	4100 mm

CELKOVÉ ZATÍŽENÍ STROPU - q <sub>n</sub> / q <sub>d</sub> - plošné			zatížení [kN.m <sup>-1</sup> ]		
	popis	charakt.	γ <sub>f</sub>	návrhové	Součinitele:
100%	reakce od desky	8,11	x 1,40	11,37	γ <sub>M0,1</sub> = 1,0 -
	akustická příčka	3,71	x 1,35	5,01	γ <sub>g</sub> = 1,35 -
	vlastní váha I profilu	0,38	x 1,35	0,51	γ <sub>q</sub> = 1,50 -
		q <sub>n</sub> = 12,20		q <sub>d</sub> = 16,88	[kN.m <sup>-1</sup> ]
Reakce nosníku (max. smyková síla V <sub>z,Ed</sub> ):					
		A = B = 1/2 * q <sub>d</sub> * L	= 1/2 * 16,88 * 4,10		1,4
		A = B =	34,61 kN		25,0
Maximální výpočtový moment					
		M <sub>y,Ed</sub> = 1/8 * q <sub>d</sub> * L <sup>2</sup>	= 1/8 * 16,88 * 4,10 * 4,10		
		M <sub>y,Ed</sub> =	35,48 kN.m		
Klasifikace průřezu					
	parametr ε = √(235 / f <sub>y</sub> )	= √(235 / 235)	=	1,00	
	vnitřní tlačená část (stojina v prostém ohybu)	c = h - 2*t <sub>f</sub>	= 200 - 2*8 =	184	
		c / t <sub>w</sub> = 184,0 / 8,0 =	23,00 < 72 * ε =	72,00	Třída 1
	vnitřní tlačená část (stojina v prostém ohybu)	c = (b - t <sub>w</sub> )	= (120 - 8) / 2 =	112	
		c / t <sub>f</sub> = 112,0 / 8,0 =	14,00 > 14 * ε =	14,00	Třída 4
Posouzení MSÚ - momentová únosnost					
	klasifikace průřezu - třída 1			M <sub>c,Rd</sub> = M <sub>pl,Rd</sub>	
	návrhová únosnost průřezu v ohybu	M <sub>c,Rd</sub> = n * W <sub>y,pl</sub> * f <sub>y</sub> / γ <sub>M0</sub> =	1 * 260109,653333333 * 235 / 1 / 1 000 000		
		M <sub>c,Rd</sub> =	61,13 kN.m		
		M <sub>y,Ed</sub> / M <sub>c,Rd</sub> = 35,48 / 61,13	=	0,58 < 1,00	VYHOVUJE
Posouzení MSÚ - smyková únosnost					
	klasifikace průřezu - třída 1			V <sub>c,Rd</sub> = V <sub>pl,Rd</sub>	
	smyková plocha	A <sub>v,z</sub> = A - 2*b*t <sub>f</sub> + (t <sub>w</sub> + 2*r)*t <sub>f</sub> =	4864 - 2*120*8		
		A <sub>v,z</sub> =	2944 mm <sup>2</sup>		
	návrhová plastická únosnost ve smyku	V <sub>pl,z,Rd</sub> = n*A <sub>v,z</sub> * (f <sub>y</sub> / √3) / γ <sub>M0</sub> =	1 * 2 944 * (235 / √3) / 1 / 1 000		
		V <sub>pl,z,Rd</sub> =	399,43 kN		
		V <sub>z,Ed</sub> / V <sub>pl,z,Rd</sub> = 34,61 / 399,43	=	0,09 < 1,00	VYHOVUJE
Posouzení MSP - průhyb					
	dovolený průhyb	δ <sub>max</sub> =	L / 400 = 4100 / 400		
		δ <sub>max</sub> =	10,3 mm		
	max.svislý průhyb (prostý nosník, spojitě zat.)	w <sub>z,qk</sub> = (5 * q <sub>n</sub> * L <sup>4</sup> ) / (384 * E <sub>sd</sub> * n * I <sub>y</sub> )			
		w <sub>z,qk</sub> = (5 * 12,20 * 4100 <sup>4</sup> ) / (384 * 1 * 210000 * 26010965,3333333)			
		w <sub>z,qk</sub> =	8,2 mm		
		w <sub>z,qk</sub> / δ <sub>max</sub> = 8,22 / 10,25	=	0,80 < 1,00	

Ocelová výměna z5 jsou vyhovující dle ČSN EN 1993-1-1

Využití průřezu nosníku dle MSÚ 58% Využití průřezu nosníku dle MSP 80%

**z4.b** prostě uložená ocelová výměna (podchycení žb desky)

## strop nad 3. NP (pod m.č.313)

**(A) DATA**

## (A.1) Navržený profil

POČET SPOLUP. NOSNÍKŮ  $n = 1$  KS

Jákl	Ocel třídy S235	mez kluzu / modul pružnosti	$f_y = 235,0$ MPa	$E_{sd} = 210000$ MPa
200/120/6		plocha průřezu / vlastní váha	$A = 3696,0$ mm <sup>2</sup>	$m = 28,9$ kg.m <sup>-1</sup>
		rozměry - výška / šířka	$h = 200,0$ mm	$b = 120$ mm
		tloušťky - stojina / pásnice	$t_w = 6,0$ mm	$t_f = 6$ mm
		moment setrvačnosti	$I_y = 20197952,0$ mm <sup>4</sup>	$I_z = 9064512$ mm <sup>4</sup>
		poloměr setrvačnosti	$i_y = 73,9$ mm	$i_z = 50$ mm
		plastický průřezový modul	$W_{y,pl} = 201979,5$ mm <sup>3</sup>	$W_{z,pl} = 151075$ mm <sup>3</sup>

Geometrie:	světélé rozpětí nosníku	$l_0 = 3,50$ m =	3500 mm
	rozpětí nosníku $L = 1,05 * l_0$	$L = 3,68$ m =	3675 mm

## (A.2) Stanovení zatížení

CELKOVÉ ZATÍŽENÍ STROPU - $q_n$ / $q_d$ - na osu		zatížení [kN.m <sup>-1</sup> ]	
popis	charakt.	$\gamma_{a,q}$	návrhové
reakce - od žb desky	9,50	x 1,43	13,59
vl. tíha nosníku	0,29	x 1,35	0,39
kombinace pro MSP / MSÚ	$q_k = 9,79$		$q_d = 13,98$ [kN.m <sup>-1</sup> ]

 $\gamma_{k/d} = 1,43$  -

SDK příčka	$g_k = 0,90$ [kN.m <sup>-1</sup> ]	$l_p = 1,05$ m
------------	------------------------------------	----------------



zatížení bodové v l/2

 $P_k = 0,95$  $P_d = 1,28$  [kN] $x_{l/2} = 1,84$  m

## (A.3) Stanovení vnitřních sil

Reakce nosníku (max. smyková síla  $V_{z,Ed}$ ):

$$A_d = B_d = 1/2 \cdot q_d \cdot L + 1/2 \cdot P_d = 1/2 \cdot 13,98 \cdot 3,68 + 1/2 \cdot 1,28$$

$$A_d = B_d = 26,32 \text{ kN}$$

$$A_k = B_k = 18,45 \text{ kN}$$

Maximální výpočtový moment

$$M_{y,Ed} = 1/8 \cdot q_d \cdot L^2 + 1/4 \cdot P_d \cdot L = 1/8 \cdot 13,98 \cdot 3,68^2 + 1/4 \cdot 1,28 \cdot 3,68$$

$$M_{y,Ed} = 24,77 \text{ kN.m}$$

## (A.4) Klasifikace průřezu

vnitřní tlačená část (stojina v prostém ohybu)

$$\text{parametr } \varepsilon = \sqrt{(235 / f_y)} = \sqrt{(235 / 235)} = 1,00$$

$$c = h - 2 \cdot t_f - 2 \cdot r = 200 - 2 \cdot 6 - 2 \cdot 151075,2 = -301962$$

$$c / t_w = -301962,4 / 6 = -50327,07 < 72 \cdot \varepsilon = 72,00 \text{ Třída 1}$$

vnitřní tlačená část (stojina v prostém ohybu)

$$c = (b - t_w - 2 \cdot r) / 2 = (120 - 6 - 2 \cdot 151075,2) / 2 = -151018$$

$$c / t_f = -151018,2 / 6 = -25169,70 < 9 \cdot \varepsilon = 9,00 \text{ Třída 1}$$

## (B) POSUDEK

## (B.1) Posouzení MSÚ - ohybové únosnost

klasifikace průřezu - třída 1

$$M_{c,Rd} = M_{pl,Rd}$$

návrhová únosnost průřezu v ohybu

$$M_{c,Rd} = n \cdot W_{y,pl} \cdot f_y / \gamma_{M0} =$$

$$1 \cdot 201979,52 \cdot 235 / 1 / 1000000$$

$$M_{c,Rd} = 47,47 \text{ kN.m}$$

$$M_{y,Ed} / M_{c,Rd} = 24,77 / 47,47 = 0,52 < 1,00 \text{ VYHOVUJE}$$

## (B.2) Posouzení MSÚ - smyková únosnost

klasifikace průřezu - třída 1

$$V_{c,Rd} = V_{pl,Rd}$$

smyková plocha

$$A_{v,z} = A - 2 \cdot b \cdot t_f =$$

$$3696 - 2 \cdot 120 \cdot 6$$

$$A_{v,z} = 2256 \text{ mm}^2$$

návrhová plastická únosnost ve smyku

$$V_{pl,z,Rd} = n \cdot A_{v,z} \cdot (f_y / \sqrt{3}) / \gamma_{M0} =$$

$$1 \cdot 2256 \cdot (235 / \sqrt{3}) / 1000$$

$$V_{pl,z,Rd} = 306,09 \text{ kN}$$

$$V_{z,Ed} / V_{pl,z,Rd} = 26,32 / 306,09 = 0,09 < 1,00 \text{ VYHOVUJE}$$

## (B.2) Posouzení MSP - dovolený průhyb

$$\delta_{max} = L / 400 = 3675 / 400$$

dovolený průhyb

$$\delta_{max} = 9,2 \text{ mm}$$

max.svislý průhyb

$$w_{z,qk} = (5 \cdot q_n \cdot L^4) / (384 \cdot E_{sd} \cdot n \cdot I_y)$$

$$w_{z,qk} = (5 \cdot 9,79 \cdot 3675^4) / (384 \cdot 210000 \cdot 1 \cdot 20197952)$$

$$w_{z,qk} = 5,5 \text{ mm}$$

max.svislý průhyb (prostý nosník, bodové zat.)

$$w_{z,pk} = (P_k \cdot L^3) / (48 \cdot E_{sd} \cdot n \cdot I_y)$$

$$w_{z,pk} = (0,95 \cdot 1000 \cdot 3675^3) / (48 \cdot 210000 \cdot 1 \cdot 20197952)$$

$$w_{z,pk} = 0,2 \text{ mm}$$

$$w_z = w_{z,qk} + w_{z,pk} = 5,5 + 0,2$$

$$w_z = 5,7 \text{ mm}$$

$$w_{z,qk} / \delta_{max} = 5,71 / 9,19 = 0,62 < 1,00 \text{ VYHOVUJE}$$

Ocelová výměna **z4.b** jsou vyhovující dle ČSN EN 1993-1-1

Využití průřezu nosníku dle MSÚ

52%

Využití průřezu nosníku dle MSP

62%

## PŘÍLOHA Č. II.3 - OCEL: OSTATNÍ PRVKY

**nv1** - montážní nosník výtahu (prostý nosník)

výtahová šachta

### (A) DATA

POČET SPOLUP. NOSNÍKŮ  $n = 1$  KS

<b>I140</b>	ocel třídy S235	mez kluzu / modul pružnosti	$f_y =$	235,0 MPa	$E_{sd} =$	210000 MPa
	Průřez (I 140)	plocha průřezu / vlastní váha	$A =$	1820 mm <sup>2</sup>	$m =$	14,3 kg.m <sup>-1</sup>
		rozměry - výška / šířka	$h =$	140 mm	$b =$	66 mm
		tloušťky - stojina / pásnice	$t_w =$	5,7 mm	$t_f =$	8,6 mm
		průřezový modul	$W_{y,el} =$	81800 mm <sup>3</sup>	$W_{z,el} =$	10600 mm <sup>3</sup>
		moment setrvačnosti	$I_y =$	5720000 mm <sup>4</sup>	$I_z =$	351000 mm <sup>4</sup>
		poloměr setrvačnosti	$i_y =$	56,0 mm	$i_z =$	13,9 mm
		plastický průřezový modul / poloměr zaoblení	$W_{y,pl} =$	95200 mm <sup>3</sup>	$r =$	5,7 mm
Geometrie:			$l_0 =$	2,70 m	$=$	2700 mm
			$L =$	2,84 m	$=$	2835 mm
max. osová vzdálenost nosníků			$o_0 =$	0,00 m		

### (A.1) Stanovení zatížení

CELKOVÉ ZATÍŽENÍ STROPU -  $q_n$  /  $q_d$  - plošné  
skladba střešního pláště  
plechobetonová nosná deska  
sníh

Součinitele:

$g_k =$	0,00	[kN.m <sup>-2</sup> ]	$\gamma_{M0} =$	1,00	-
$g_k =$	0,00	[kN.m <sup>-2</sup> ]	$\gamma_g =$	1,35	-
$s_k =$	0,00	[kN.m <sup>-2</sup> ]	$\gamma_q =$	1,50	-

CELKOVÉ ZATÍŽENÍ STROPU -  $q_n$  /  $q_d$  - na osu

zatížení [kN.m<sup>-1</sup>]

popis	charakt.	$\gamma_{g,q}$	návrhové
skladba střešního pláště	0,00	x 1,35	0,00
plechobetonová nosná deska	0,00	x 1,35	0,00
vl. tíha nosníku	0,14	x 1,35	0,19
sníh	0,00	x 1,50	0,00

kombinace pro MSP / MSÚ  $q_k = 0,14$   $q_d = 0,19$  [kN.m<sup>-1</sup>]  $\gamma_{k/d} = 1,35$  -

zatížení od podélného l  $P_k = 20,00$   $P_d = 27,00$  [kN]  $x_{l/2} = 1,42$  m

### (A.2) Stanovení vnitřních sil

Reakce nosníku (max. smyková síla  $V_{z,Ed}$ ):

$$A_d = B_d = 1/2 * q_d * L + 1/2 * P_d = 1/2 * 0,19 * 2,84 + 1/2 * 27,00$$

$$A_d = B_d = 13,77 \text{ kN}$$

$$A_k = B_k = 10,20 \text{ kN}$$

Maximální výpočtový moment

$$M_{y,Ed} = 1/8 * q_d * L^2 + 1/4 * P_d * L = 1/8 * 0,19 * 2,84^2 * 2,84 + 1/4 * 27,00 * 2,84$$

$$M_{y,Ed} = 19,33 \text{ kN.m}$$

## (B) POSUDEK

Klasifikace průřezu

$$\text{parametr } \varepsilon = \sqrt{(235 / f_y)} = \sqrt{(235 / 235)} = 1,00$$

vnitřní tlačená část (stojina v prostém ohybu)

$$c = h - 2 * t_f - 2 * r = 140 - 2 * 8,6 - 2 * 5,7 = 111,4$$

$$c / t_w = 111,4 / 5,7 = 19,54 < 72 * \varepsilon = 72,00 \text{ Třída 1}$$

vnitřní tlačená část (stojina v prostém ohybu)

$$c = (b - t_w - 2 * r) / 2 = (66 - 5,7 - 2 * 5,7) / 2 = 24,45$$

$$c / t_f = 24,45 / 8,6 = 2,84 < 9 * \varepsilon = 9,00 \text{ Třída 1}$$

Posouzení MSÚ - momentová únosnost

klasifikace průřezu - třída 1

$$M_{c,Rd} = M_{pl,Rd}$$

návrhová únosnost průřezu v ohybu

$$M_{c,Rd} = n * W_{y,pl} * f_y / \gamma_{M0} = 1 * 95200 * 235 / 1 / 1000000$$

$$M_{c,Rd} = 22,37 \text{ kN.m}$$

$$M_{y,Ed} / M_{c,Rd} = 19,33 / 22,37 = 0,86 < 1,00 \text{ VYHOVUJE}$$

Posouzení MSÚ - smyková únosnost

klasifikace průřezu - třída 1

$$V_{c,Rd} = V_{pl,Rd}$$

smyková plocha

$$A_{v,z} = A - 2 * b * t_f + (t_w + 2 * r) * t_f = 1820 - 2 * 66 * 8,6 + (5,7 + 2 * 5,7) * 8,6$$

$$A_{v,z} = 832 \text{ mm}^2$$

návrhová plastická únosnost ve smyku

$$V_{pl,z,Rd} = n * A_{v,z} * (f_y / \sqrt{3}) / \gamma_{M0} = 1 * 832 * (235 / \sqrt{3}) / 1 / 1000$$

$$V_{pl,z,Rd} = 112,86 \text{ kN}$$

$$V_{z,Ed} / V_{pl,z,Rd} = 13,77 / 112,86 = 0,12 < 1,00 \text{ VYHOVUJE}$$

Posouzení MSP - průhyb

$$\delta_{max} = L / 300 = 2835 / 300$$

dovolený průhyb

$$\delta_{max} = 9,5 \text{ mm}$$

max.svislý průhyb

$$w_{z,qk} = (5 * q_n * L^4) / (384 * E_{sd} * n * I_y)$$

$$w_{z,qk} = (5 * 0,14 * 2835^4) / (384 * 210000 * 1 * 5720000)$$

$$w_{z,qk} = 0,1 \text{ mm}$$

max.svislý průhyb (prostý nosník, bodové zat.)

$$w_{z,Pk} = (P_k \cdot L^3) / (48 \cdot E_{sd} \cdot n \cdot I_y)$$

$$w_{z,Pk} = (20,00 \cdot 1000 \cdot 2835^3) / (48 \cdot 210000 \cdot 1 \cdot 5720000)$$

$$w_{z,Pk} = 7,9 \text{ mm}$$

$$w_z = w_{z,qk} + w_{z,Pk} = 0,1 + 7,9$$

$$w_z = 8,0 \text{ mm} \quad L / 354$$

$$w_{z,qk} / \delta_{max} = 8,00 / 9,45 = 0,85 < 1,00 \quad \text{VYHOVUJE}$$

Ocelový nosník konstrukce nv1 je vyhovující dle ČSN EN 1993-1-1.  
 Využití průřezu nosníku dle MSÚ 86% . Využití průřezu nosníku dle MSP 85% .

**nv2** - nosník pro kotvení vodítek výtahu (prostý nosník)

výťahová šachta

**(A) DATA**POČET SPOLUP. NOSNÍKŮ  $n = 1$  KS

Jákl	Ocel třídy S235	mez kluzu / modul pružnosti	$f_y = 235,0$ MPa	$E_{sd} = 210000$ MPa
60/100/3		plocha průřezu / vlastní váha	$A = 924,0$ mm <sup>2</sup>	$m = 7,2$ kg.m <sup>-1</sup>
		rozměry - výška / šířka	$h = 60,0$ mm	$b = 100$ mm
		tloušťky - stojina / pásnice	$t_w = 3,0$ mm	$t_f = 3$ mm
		moment setrvačnosti	$I_y = 566532,0$ mm <sup>4</sup>	$I_z = #####$ mm <sup>4</sup>
		poloměr setrvačnosti	$i_y = 24,8$ mm	$i_z = 37$ mm
		plastický průřezový modul	$W_{y,pl} = 18884,4$ mm <sup>3</sup>	$W_{z,pl} = 25247$ mm <sup>3</sup>
Geometrie:	světlé rozpětí nosníku	$l_0 = 1,95$ m =	1950 mm	
	rozpětí nosníku $L = 1,05 \cdot l_0$	$L = 2,05$ m =	2047,5 mm	
	max. osová vzdálenost nosníků	$o_0 = 0,00$ m		

**(A.1) Stanovení zatížení**CELKOVÉ ZATÍŽENÍ STROPU -  $q_n / q_d$  - plošné

skladba střešního pláště

plechobetonová nosná deska

sníh

$g_k = 0,00$ [kN.m <sup>-2</sup> ]	$\gamma_{M0} = 1,00$ -
$g_k = 0,00$ [kN.m <sup>-2</sup> ]	$\gamma_g = 1,35$ -
$s_k = 0,00$ [kN.m <sup>-2</sup> ]	$\gamma_q = 1,50$ -

Součinitele:

CELKOVÉ ZATÍŽENÍ STROPU -  $q_n / q_d$  - na osuzatížení [kN.m<sup>-1</sup>]

popis	charakt.	$\gamma_{a,g}$	návrhové
skladba střešního pláště	0,00	x 1,35	0,00
plechobetonová nosná deska	0,00	x 1,35	0,00
vl. tíha nosníku	0,07	x 1,35	0,10
sníh	0,00	x 1,50	0,00
kombinace pro MSP / MSÚ	$q_k = 0,07$	$q_d = 0,10$	[kN.m <sup>-1</sup> ]

zatížení od podélného l

 $P_k = 1,31$  $P_d = 1,97$  [kN] $x_{l/2} = 1,02$  m**(A.2) Stanovení vnitřních sil**Reakce nosníku (max. smyková síla  $V_{z,Ed}$ ):

$$A_d = B_d = 1/2 \cdot q_d \cdot L + 1/2 \cdot P_d = 1/2 \cdot 0,10 \cdot 2,05 + 1/2 \cdot 1,97$$

$$A_d = B_d = 1,08 \text{ kN}$$

$$A_k = B_k = 0,73 \text{ kN}$$

Maximální výpočtový moment

$$M_{y,Ed} = 1/8 \cdot q_d \cdot L^2 + 1/4 \cdot P_d \cdot L = 1/8 \cdot 0,10 \cdot 2,05^2 + 1/4 \cdot 1,97 \cdot 2,05$$

$$M_{y,Ed} = 1,06 \text{ kN.m}$$

**(B) POSUDEK**

Klasifikace průřezu

$$\text{parametr } \varepsilon = \sqrt{(235 / f_y)} = \sqrt{(235 / 235)} = 1,00$$

vnitřní tlačená část (stojina v prostém ohybu)

$$c = h - 2 \cdot t_f - 2 \cdot r = 60 - 2 \cdot 3 - 2 \cdot 25247,44 = -50441$$

$$c / t_w = -50440,9 / 3,0 = -16813,63 < 72 \cdot \varepsilon = 72,00 \quad \text{Třída 1}$$

vnitřní tlačená část (stojina v prostém ohybu)

$$c = (b - t_w - 2 \cdot r) / 2 = (100 - 3 - 2 \cdot 25247,44) / 2 = -25199$$

$$c / t_f = -25198,9 / 3,0 = -8399,65 < 9 \cdot \varepsilon = 9,00 \quad \text{Třída 1}$$

Posouzení MSÚ - momentová únosnost

klasifikace průřezu - třída 1

$$M_{c,Rd} = M_{pl,Rd}$$

návrhová únosnost průřezu v ohybu

$$M_{c,Rd} = n \cdot W_{y,pl} \cdot f_y / \gamma_{M0} = 1 \cdot 18884,4 \cdot 235 / 1 / 1000000$$

$$M_{c,Rd} = 4,44 \text{ kN.m}$$

$$M_{y,Ed} / M_{c,Rd} = 1,06 / 4,44 =$$

$$0,24 < 1,00 \quad \text{VYHOVUJE}$$

Posouzení MSÚ - smyková únosnost

klasifikace průřezu - třída 1

$$V_{c,Rd} = V_{pl,Rd}$$

smyková plocha

$$A_{v,z} = A - 2 \cdot b \cdot t_f + (t_w + 2 \cdot r) \cdot t_f =$$

$$924 - 2 \cdot 100 \cdot 3 + (3 + 2 \cdot 25247,44) \cdot 3$$

	$A_{v,z} = 151818 \text{ mm}^2$	
návrhová plastická únosnost ve smyku	$V_{pl,z,Rd} = n \cdot A_{v,z} \cdot (f_y / \sqrt{3}) / \gamma_{M0} = 1 \cdot 151818 \cdot (235 / \sqrt{3}) / 1,1000$	
	$V_{pl,z,Rd} = 20598,21 \text{ kN}$	
	$V_{z,Ed} / V_{pl,z,Rd} = 1,08 / 20598,21 = 0,00 < 1,00$	<b>VYHOVUJE</b>
Posouzení MSP - průhyb	$\delta_{max} = L / 300 = 2047,5 / 300$	
dovolený průhyb	$\delta_{max} = 6,8 \text{ mm}$	
max.svislý průhyb	$w_{z,qk} = (5 \cdot q_n \cdot L^4) / (384 \cdot E_{sd} \cdot n \cdot I_y)$	
	$w_{z,qk} = (5 \cdot 0,07 \cdot 2047,5^4) / (384 \cdot 210000 \cdot 1 \cdot 566532)$	
	$w_{z,qk} = 0,1 \text{ mm}$	
max.svislý průhyb (prostý nosník, bodové zat.)	$w_{z,Pk} = (P_k \cdot L^3) / (48 \cdot E_{sd} \cdot n \cdot I_y)$	
	$w_{z,Pk} = (1,31 \cdot 1000 \cdot 2047,5^3) / (48 \cdot 210000 \cdot 1 \cdot 566532)$	
	$w_{z,Pk} = 2,0 \text{ mm}$	
	$w_z = w_{z,qk} + w_{z,Pk} = 0,1 + 2,0$	
	$w_z = 2,1 \text{ mm}$	$L / 970$
	$w_{z,qk} / \delta_{max} = 2,11 / 6,83 = 0,31 < 1,00$	<b>VYHOVUJE</b>

Ocelový nosník konstrukce nv2 je vyhovující dle ČSN EN 1993-1-1.  
 Využití průřezu nosníku dle MSÚ 24% . Využití průřezu nosníku dle MSP 31% .

**r** - nosník pro vynesení příček (prostý nosník)

v podlaze

### (A) DATA

#### (A.1) Navržený profil

<b>Jákl</b>	Ocel třídy S235	mez kluzu / modul pružnosti	$f_y = 235,0 \text{ MPa}$	$E_{sd} = 210000 \text{ MPa}$
<b>80/50/3</b>		plocha průřezu / vlastní váha	$A = 744,0 \text{ mm}^2$	$m = 5,8 \text{ kg.m}^{-1}$
		rozměry - výška / šířka	$h = 80,0 \text{ mm}$	$b = 50 \text{ mm}$
		tloušťky - stojina / pásnice	$t_w = 3,0 \text{ mm}$	$t_f = 3 \text{ mm}$
		moment setrvačnosti	$I_y = 647512,0 \text{ mm}^4$	$I_z = 308032 \text{ mm}^4$
		poloměr setrvačnosti	$i_y = 29,5 \text{ mm}$	$i_z = 20 \text{ mm}$
		plastický průřezový modul	$W_{y,pl} = 16187,8 \text{ mm}^3$	$W_{z,pl} = 12321 \text{ mm}^3$
Geometrie:	světélé rozpětí nosníku	$l_0 = 2,11 \text{ m}$	$= 2110 \text{ mm}$	
	rozpětí nosníku $L = 1,0 \cdot l_0$	$L = 2,11 \text{ m}$	$= 2110 \text{ mm}$	

#### (A.2) Stanovení zatížení

Zdivo	šířka/výška	$\check{s} = 0 \text{ mm}$	$v = 0 \text{ mm}$
	oběmová hmotnost materiálu zdiva	$\rho = 0,00 \text{ kN/m}^3$	(cihelné zdivo)

tíha příčky	$r_k = 0,90 \text{ kN/m}$	$r_d = 1,22 \text{ kN/m}$
-------------	---------------------------	---------------------------

CELKOVÉ ZATÍŽENÍ STROPU - $q_n / q_d$ - na osu		zatížení $[\text{kN.m}^{-1}]$	
popis	charakt.	$\gamma_{a,g}$	návrhové
zdivo nad prvekem	0,00	x 1,35	0,00
příčka	0,90	x 1,35	1,22
vl. tíha nosníku	0,06	x 1,35	0,08
kombinace pro MSP / MSÚ	$q_k = 0,96$		$q_d = 1,29 \text{ [kN.m}^{-1}]$
			$\gamma_{k/d} = 1,35$
zatížení od podélného nosníku	$P_k = 0,00$		$P_d = 0,00 \text{ [kN]}$
			$x_{l/2} = 1,06 \text{ m}$

#### (A.3) Stanovení vnitřních sil

Reakce nosníku (max. smyková síla $V_{z,Ed}$ ):	$A_d = B_d = 1/2 \cdot q_d \cdot L + 1/2 \cdot P_d = 1/2 \cdot 1,29 \cdot 2,11 + 1/2 \cdot 0,00$	
	$A_d = B_d = 1,36 \text{ kN}$	
Maximální výpočtový moment	$A_k = B_k = 1,01 \text{ kN}$	
	$M_{y,Ed} = 1/8 \cdot q_d \cdot L^2 + 1/4 \cdot P_d \cdot L = 1/8 \cdot 1,29 \cdot 2,11^2 + 1/4 \cdot 0,00 \cdot 2,11$	
	$M_{y,Ed} = 0,72 \text{ kN.m}$	

#### (A.4) Klasifikace průřezu

parametr $\varepsilon = \sqrt{(235 / f_y)}$	$= \sqrt{(235 / 235)} = 1,00$	
vnitřní tlačená část (stojina v prostém ohybu)	$c = h - 2 \cdot t_f - 2 \cdot r = 80 - 2 \cdot 3 - 2 \cdot 12321,28 = -24569$	
	$c / t_w = -24568,6 / 3,0 = -8189,52 < 72 \cdot \varepsilon = 72,00$	Třída 1
vnitřní tlačená část (stojina v prostém ohybu)	$c = (b - t_w - 2 \cdot r) / 2 = (50 - 3 - 2 \cdot 12321,28) / 2 = -12298$	

$$c / t_f = -12\,297,8 / 3,0 = -4099,26 < 9 \cdot \varepsilon = 9,00 \quad \text{Třída 1}$$

**(B) POSUDEK**

(B.1) Posouzení MSÚ - ohybové únosnost

klasifikace průřezu - třída 1

návrhová únosnost průřezu v ohybu

$$M_{c,Rd} = n \cdot W_{y,pl} \cdot f_y / \gamma_{M0} =$$

$$M_{c,Rd} = M_{pl,Rd}$$

$$1 \cdot 16187,8 \cdot 235 / 1 / 1\,000\,000$$

$$M_{c,Rd} = 3,80 \quad \text{kN.m}$$

$$M_{y,Ed} / M_{c,Rd} = 0,72 / 3,80 =$$

$$0,19 < 1,00 \quad \text{VYHOVUJE}$$

(B.2) Posouzení MSÚ - smyková únosnost

klasifikace průřezu - třída 1

smyková plocha

$$A_{v,z} = A - 2 \cdot b \cdot t_f + (t_w + 2 \cdot r) \cdot t_f =$$

$$V_{c,Rd} = V_{pl,Rd}$$

$$744 - 2 \cdot 50 \cdot 3 + (3 + 2 \cdot 12321,28) \cdot 3$$

$$A_{v,z} = 74381 \quad \text{mm}^2$$

návrhová plastická únosnost ve smyku

$$V_{pl,z,Rd} = n \cdot A_{v,z} \cdot (f_y / \sqrt{3}) / \gamma_{M0} =$$

$$1 \cdot 74\,381 \cdot (235 / \sqrt{3}) / 1\,000$$

$$V_{pl,z,Rd} = 10091,77 \quad \text{kN}$$

$$V_{z,Ed} / V_{pl,z,Rd} = 1,36 / 10\,091,77 =$$

$$0,00 < 1,00 \quad \text{VYHOVUJE}$$

(B.2) Posouzení MSP - dovolený průhyb

$$\delta_{max} = L / 600 = 2110 / 600$$

dovolený průhyb

$$\delta_{max} = 3,5 \quad \text{mm}$$

max.svislý průhyb

$$w_{z,qk} = (5 \cdot q_n \cdot L^4) / (384 \cdot E_{sd} \cdot n \cdot I_y)$$

$$w_{z,qk} = (5 \cdot 0,96 \cdot 2110^4) / (384 \cdot 210000 \cdot 1 \cdot 647512)$$

$$w_{z,qk} = 1,8 \quad \text{mm}$$

max.svislý průhyb (prostý nosník, bodové zat.)

$$w_{z,Pk} = (P_k \cdot L^3) / (48 \cdot E_{sd} \cdot n \cdot I_y)$$

$$w_{z,Pk} = (0,00 \cdot 1000 \cdot 2110^3) / (48 \cdot 210000 \cdot 1 \cdot 647512)$$

$$w_{z,Pk} = 0,0 \quad \text{mm}$$

$$w_z = w_{z,qk} + w_{z,Pk} = 1,8 + 0,0$$

$$w_z = 1,8 \quad \text{mm}$$

$$w_{z,qk} / \delta_{max} = 1,82 / 3,52 = 0,52 < 1,00 \quad \text{VYHOVUJE}$$

**Navržený prvek 1x Jákl je vyhovující dle ČSN EN 1993-1-1.**

Využití průřezu nosníku dle MSÚ 19%

Využití průřezu nosníku dle MSP 52%

**- nosník zastropení - typ X5 (prostý nosník)****(A) DATA**POČET SPOLUP. NOSNÍKŮ  $n = 1$  KS**U 100**

cel třídy S235

mez kluzu / modul pružnosti

$$f_y = 235,0 \quad \text{MPa}$$

$$E_{sd} = 210000 \quad \text{MPa}$$

Průřez (U 100)

plocha průřezu / vlastní váha

$$A = 1350 \quad \text{mm}^2$$

$$m = 10,6 \quad \text{kg.m}^{-1}$$

rozměry - výška / šířka

$$h = 100 \quad \text{mm}$$

$$b = 50 \quad \text{mm}$$

tloušťky - stojina / pásnice

$$t_w = 6,0 \quad \text{mm}$$

$$t_f = 8,5 \quad \text{mm}$$

průřezový modul

$$W_{y,el} = 41100 \quad \text{mm}^3$$

$$W_{z,el} = 8450 \quad \text{mm}^3$$

moment setrvačnosti

$$I_y = 2050000 \quad \text{mm}^4$$

$$I_z = 291000 \quad \text{mm}^4$$

poloměr setrvačnosti

$$i_y = 39,1 \quad \text{mm}$$

$$i_z = 14,7 \quad \text{mm}$$

plastický průřezový modul / poloměr zaoblení

$$W_{y,pl} = 49000 \quad \text{mm}^3$$

$$r = 8,5 \quad \text{mm}$$

Geometrie:

světlé rozpětí nosníku

$$l_0 = 1,90 \quad \text{m}$$

$$1900 \quad \text{mm}$$

rozpětí nosníku  $L = 1,05 \cdot l_0$ 

$$L = 2,00 \quad \text{m}$$

$$1995 \quad \text{mm}$$

zatěžovací šířka

$$b = 0,37 \quad \text{m}$$

(A.1) Stanovení zatížení

CELKOVÉ ZATÍŽENÍ STROPU -  $q_n / q_d$  - plošné

Součinitele:

STÁLÉ ZATÍŽENÍ

$$g_k = 3,50 \quad [\text{kN.m}^{-2}]$$

$$\gamma_{M0} = 1,00 \quad -$$

UŽITNÉ ZATÍŽENÍ

$$g_k = 2,50 \quad [\text{kN.m}^{-2}]$$

$$\gamma_g = 1,35 \quad -$$

$$\gamma_q = 1,50 \quad -$$

CELKOVÉ ZATÍŽENÍ STROPU -  $q_n / q_d$  - na osuzatížení  $[\text{kN.m}^{-1}]$ 

popis	charakt.	$\gamma_{a,q}$	návrhové
STÁLÉ ZATÍŽENÍ	1,30	x 1,35	1,75
UŽITNÉ ZATÍŽENÍ	0,93	x 1,50	1,39
vl. tíha nosníku	0,11	x 1,35	0,14

kombinace pro MSP / MSÚ

$$q_k = 2,33$$

$$q_d = 3,28$$

$$[\text{kN.m}^{-1}]$$

$$\gamma_{k/d} = 1,41 \quad -$$

zatížení od podélného l

$$P_k = 1,00$$

$$P_d = 1,50$$

$$[\text{kN}]$$

$$x_{l/2} = 1,00 \quad \text{m}$$

(A.2) Stanovení vnitřních sil

Reakce nosníku (max. smyková síla  $V_{z,Ed}$ ):

$$A_d = B_d = 1/2 \cdot q_d \cdot L + 1/2 \cdot P_d = 1/2 \cdot 3,28 \cdot 2,00 + 1/2 \cdot 1,50$$

$$\begin{aligned}
 A_d = B_d &= 4,02 \text{ kN} \\
 A_k = B_k &= 2,82 \text{ kN} \\
 \text{Maximální výpočtový moment} \quad M_{y,Ed} &= 1/8 \cdot q_d \cdot L^2 + 1/4 \cdot P_d \cdot L = 1/8 \cdot 3,28 \cdot 2,00^2 \cdot 2,00 + 1/4 \cdot 1,50 \cdot 2,00 \\
 M_{y,Ed} &= 2,38 \text{ kN.m}
 \end{aligned}$$

**(B) POSUDEK**

**Klasifikace průřezu**

parametr  $\varepsilon = \sqrt{(235 / f_y)} = \sqrt{(235 / 235)} = 1,00$

vnitřní tlačená část (stojina v prostém ohybu)  $c = h - 2 \cdot t_f - 2 \cdot r = 100 - 2 \cdot 8,5 - 2 \cdot 8,5 = 66$

$c / t_w = 66,0 / 6,0 = 11,00 < 72 \cdot \varepsilon = 72,00$  Třída 1

vnitřní tlačená část (stojina v prostém ohybu)  $c = (b - t_w - 2 \cdot r) / 2 = (50 - 6 - 2 \cdot 8,5) / 2 = 13,5$

$c / t_f = 13,5 / 8,5 = 1,59 < 9 \cdot \varepsilon = 9,00$  Třída 1

**Posouzení MSÚ - momentová únosnost** *klasifikace průřezu - třída 1*  $M_{c,Rd} = M_{pl,Rd}$

návrhová únosnost průřezu v ohybu  $M_{c,Rd} = n \cdot W_{y,pl} \cdot f_y / \gamma_{M0} = 1 \cdot 49000 \cdot 235 / 1 / 1000000$

$M_{c,Rd} = 11,52 \text{ kN.m}$

$M_{y,Ed} / M_{c,Rd} = 2,38 / 11,52 = 0,21 < 1,00$  **VYHOVUJE**

**Posouzení MSÚ - smyková únosnost** *klasifikace průřezu - třída 1*  $V_{c,Rd} = V_{pl,Rd}$

smyková plocha  $A_{v,z} = h \cdot t = 600 \text{ mm}^2$

návrhová plastická únosnost ve smyku  $V_{pl,z,Rd} = n \cdot A_{v,z} \cdot (f_y / \sqrt{3}) / \gamma_{M0} = 1 \cdot 600 \cdot (235 / \sqrt{3}) / 1 / 1000$

$V_{pl,z,Rd} = 81,41 \text{ kN}$

$V_{z,Ed} / V_{pl,z,Rd} = 4,02 / 81,41 = 0,05 < 1,00$  **VYHOVUJE**

**Posouzení MSP - průhyb**

dovolený průhyb  $\delta_{max} = L / 600 = 1995 / 600$

$\delta_{max} = 3,3 \text{ mm}$

max.svislý průhyb  $w_{z,qk} = (5 \cdot q_n \cdot L^4) / (384 \cdot E_{sd} \cdot n \cdot I_y)$

$w_{z,qk} = (5 \cdot 2,33 \cdot 1995^4) / (384 \cdot 210000 \cdot 1 \cdot 2050000)$

$w_{z,qk} = 1,1 \text{ mm}$

max.svislý průhyb (prostý nosník, bodové zat.)  $w_{z,Pk} = (P_k \cdot L^3) / (48 \cdot E_{sd} \cdot n \cdot I_y)$

$w_{z,Pk} = (1,00 \cdot 1000 \cdot 1995^3) / (48 \cdot 210000 \cdot 1 \cdot 2050000)$

$w_{z,Pk} = 0,4 \text{ mm}$

$w_z = w_{z,qk} + w_{z,Pk} = 1,1 + 0,4$

$w_z = 1,5 \text{ mm}$   $L / 1331$

$w_{z,qk} / \delta_{max} = 1,50 / 3,33 = 0,45 < 1,00$  **VYHOVUJE**

Ocelový nosník konstrukce - je vyhovující dle ČSN EN 1993-1-1.  
 Využití průřezu nosníku dle MSÚ 21% . Využití průřezu nosníku dle MSP 45% .

**p7 - překlad v nové stěně zadních studií (prostý nosník)****(A) DATA**POČET SPOLUP. NOSNÍKŮ  $n = 2$  KS

<b>I/140</b>	ocel třídy S235	mez kluzu / modul pružnosti	$f_y = 235,0 \text{ MPa}$	$E_{sd} = 210000 \text{ MPa}$
	Průřez (I 140)	plocha průřezu / vlastní váha	$A = 1820 \text{ mm}^2$	$m = 14,3 \text{ kg.m}^{-1}$
		rozměry - výška / šířka	$h = 140 \text{ mm}$	$b = 66 \text{ mm}$
		tloušťky - stojina / pásnice	$t_w = 5,7 \text{ mm}$	$t_f = 8,6 \text{ mm}$
		průřezový modul	$W_{y,el} = 81800 \text{ mm}^3$	$W_{z,el} = 10600 \text{ mm}^3$
		moment setrvačnosti	$I_y = 5720000 \text{ mm}^4$	$I_z = 351000 \text{ mm}^4$
		poloměr setrvačnosti	$i_y = 56,0 \text{ mm}$	$i_z = 13,9 \text{ mm}$
		plastický průřezový modul / poloměr zaoblení	$W_{y,pl} = 95200 \text{ mm}^3$	$r = 5,7 \text{ mm}$
<b>Geometrie:</b>		světlé rozpětí nosníku	$l_0 = 1,30 \text{ m} = 1300 \text{ mm}$	
		rozpětí nosníku $L = 1,05 \cdot l_0$	$L = 1,37 \text{ m} = 1365 \text{ mm}$	
		zatěžovací šířka	$b = 0,00 \text{ m}$	

**(A.1) Stanovení zatížení**CELKOVÉ ZATÍŽENÍ STROPU -  $q_n / q_d$  - plošné

STÁLÉ ZATÍŽENÍ

$$g_k = 0,00 \text{ [kN.m}^{-2}\text{]}$$

Součinitele:

$$\gamma_{M0} = 1,00 -$$

UŽITNÉ ZATÍŽENÍ

$$g_k = 0,00 \text{ [kN.m}^{-2}\text{]}$$

$$\gamma_g = 1,35 -$$

$$\gamma_q = 1,50 -$$

CELKOVÉ ZATÍŽENÍ STROPU -  $q_n / q_d$  - na osuzatížení  $[\text{kN.m}^{-1}]$ 

popis	charakt.	$\gamma_{g,q}$	návrhové
STÁLÉ ZATÍŽENÍ	0,00	x 1,35	0,00

UŽITNÉ ZATÍŽENÍ	0,00	x 1,50	0,00		
reakce do překladu v 1. NP	42,00	x 1,31	55,00		
vl. tíha nosníku	0,29	x 1,35	0,39		
kombinace pro MSP / MSÚ	$q_k =$	42,29	$q_d =$	55,39 [kN.m <sup>-1</sup> ]	$\gamma_{k/d} =$ 1,31 -
zatížení od podélného I	$P_k =$	12,00	$P_d =$	15,00 [kN]	$x_{l/2} =$ 0,68 m

## (A.2) Stanovení vnitřních sil

Reakce nosníku (max. smyková síla $V_{z,Ed}$ ):	$A_d = B_d = 1/2 \cdot q_d \cdot L + 1/2 \cdot P_d = 1/2 \cdot 55,39 \cdot 1,37 + 1/2 \cdot 15,00$	
	$A_d = B_d =$	45,30 kN
	$A_k = B_k =$	34,86 kN
Maximální výpočtový moment	$M_{y,Ed} = 1/8 \cdot q_d \cdot L^2 + 1/4 \cdot P_d \cdot L = 1/8 \cdot 55,39 \cdot 1,37^2 + 1/4 \cdot 15,00 \cdot 1,37$	
	$M_{y,Ed} =$	18,02 kN.m

## (B) POSUDEK

Klasifikace průřezu	parametr $\varepsilon = \sqrt{(235 / f_y)} = \sqrt{(235 / 235)} =$	1,00	
vnitřní tlačená část (stojina v prostém ohybu)	$c = h - 2 \cdot t_f - 2 \cdot r = 140 - 2 \cdot 8,6 - 2 \cdot 5,7 =$	111,4	
	$c / t_w = 111,4 / 5,7 = 19,54 < 72 \cdot \varepsilon = 72,00$		Třída 1
vnitřní tlačená část (stojina v prostém ohybu)	$c = (b - t_w - 2 \cdot r) / 2 = (66 - 5,7 - 2 \cdot 5,7) / 2 =$	24,45	
	$c / t_f = 24,5 / 8,6 = 2,84 < 9 \cdot \varepsilon = 9,00$		Třída 1
Posouzení MSÚ - momentová únosnost	klasifikace průřezu - třída 1	$M_{c,Rd} = M_{pl,Rd}$	
návrhová únosnost průřezu v ohybu	$M_{c,Rd} = n \cdot W_{y,pl} \cdot f_y / \gamma_{M0} =$	$2 \cdot 95200 \cdot 235 / 1 / 1\,000\,000$	
	$M_{c,Rd} =$	44,74 kN.m	
	$M_{y,Ed} / M_{c,Rd} = 18,02 / 44,74 =$	0,40	< 1,00 <b>VYHOVUJE</b>
Posouzení MSÚ - smyková únosnost	klasifikace průřezu - třída 1	$V_{c,Rd} = V_{pl,Rd}$	
smyková plocha	$A_{v,z} = h \cdot t$		
	$A_{v,z} =$	798 mm <sup>2</sup>	
návrhová plastická únosnost ve smyku	$V_{pl,z,Rd} = n \cdot A_{v,z} \cdot (f_y / \sqrt{3}) / \gamma_{M0} =$	$2 \cdot 798 \cdot (235 / \sqrt{3}) / 1 / 1\,000$	
	$V_{pl,z,Rd} =$	216,54 kN	
	$V_{z,Ed} / V_{pl,z,Rd} = 45,30 / 216,54 =$	0,21	< 1,00 <b>VYHOVUJE</b>
Posouzení MSP - průhyb	$\delta_{max} = L / 600 = 1365 / 600$		
dovolený průhyb	$\delta_{max} =$	2,3 mm	
max.svislý průhyb	$w_{z,qk} = (5 \cdot q_n \cdot L^4) / (384 \cdot E_{sd} \cdot n \cdot I_y)$		
	$w_{z,qk} = (5 \cdot 42,29 \cdot 1365^4) / (384 \cdot 210000 \cdot 2 \cdot 5720000)$		
	$w_{z,qk} =$	0,8 mm	
max.svislý průhyb (prostý nosník, bodové zat.)	$w_{z,pk} = (P_k \cdot L^3) / (48 \cdot E_{sd} \cdot n \cdot I_y)$		
	$w_{z,pk} = (12,00 \cdot 1000 \cdot 1365^3) / (48 \cdot 210000 \cdot 2 \cdot 5720000)$		
	$w_{z,pk} =$	0,3 mm	
	$w_z = w_{z,qk} + w_{z,pk} = 0,8 + 0,3$		
	$w_z =$	1,1 mm	L / 1287
	$w_{z,qk} / \delta_{max} = 1,06 / 2,28 =$	0,47	< 1,00 <b>VYHOVUJE</b>

Ocelový nosník konstrukce p7 je vyhovující dle ČSN EN 1993-1-1.  
Využití průřezu nosníku dle MSÚ 40% . Využití průřezu nosníku dle MSP 47% .

**-** - nosník pro vynesení chladicí jednotky na střeše (prostý nosník)

## (A) DATA

## (A.1) Navržený profil

Jákl	Ocel třídy S235	mez kluzu / modul pružnosti	$f_y =$	235,0 MPa	$E_{sd} =$	210000 MPa
100/60/3		plocha průřezu / vlastní váha	$A =$	924,0 mm <sup>2</sup>	$m =$	7,2 kg.m <sup>-1</sup>
		rozměry - výška / šířka	$h =$	100,0 mm	$b =$	60 mm
		tloušťky - stojina / pásnice	$t_w =$	3,0 mm	$t_f =$	3 mm
		moment setrvačnosti	$I_y =$	1262372,0 mm <sup>4</sup>	$I_z =$	566532 mm <sup>4</sup>
		poloměr setrvačnosti	$i_y =$	37,0 mm	$i_z =$	25 mm
		plastický průřezový modul	$W_{y,pl} =$	25247,4 mm <sup>3</sup>	$W_{z,pl} =$	18884 mm <sup>3</sup>
Geometrie:	světélé rozpětí nosníku	$l_0 =$	2,05 m	=	2050 mm	
	rozpětí nosníku $L = 1,0 \cdot l_0$	$L =$	2,05 m	=	2050 mm	

## (A.2) Stanovení zatížení

Zdivo šířka/výška  $\bar{s} = 0$  mm  $v = 0$  mm  
oběmová hmotnost materiálů zdiva  $\rho = 0,00$  kN/m<sup>3</sup> (cihelné zdivo)

tíha příčky  $r_k = 0,00$  kN/m  $r_d = 0,00$  kN/m

CELKOVÉ ZATÍŽENÍ STROPU -  $q_n / q_d$  - na osu

popis	charakt.	$\gamma_{d,g}$	návrhové
zdivo nad prvkem	0,00	x 1,35	0,00
příčka	0,00	x 0,00	0,00
vl. tíha nosníku	0,07	x 1,35	0,10

kombinace pro MSP / MSÚ  $q_k = 0,07$   $q_d = 0,10$  [kN.m<sup>-1</sup>]  $\gamma_{k/d} = 1,35$  -

zatížení od podélného nosníku  $P_k = 2,60$   $P_d = 3,51$  [kN]  $x_{l/2} = 1,03$  m

## (A.3) Stanovení vnitřních sil

Reakce nosníku (max. smyková síla  $V_{z,Ed}$ ):  $A_d = B_d = 1/2 \cdot q_d \cdot L + 1/2 \cdot P_d = 1/2 \cdot 0,10 \cdot 2,05 + 1/2 \cdot 3,51$   
 $A_d = B_d = 1,85$  kN  
 $A_k = B_k = 1,37$  kN  
Maximální výpočtový moment  $M_{y,Ed} = 1/8 \cdot q_d \cdot L^2 + 1/4 \cdot P_d \cdot L = 1/8 \cdot 0,10 \cdot 2,05^2 + 1/4 \cdot 3,51 \cdot 2,05$   
 $M_{y,Ed} = 1,85$  kN.m

## (A.4) Klasifikace průřezu

parametr  $\varepsilon = \sqrt{(235 / f_y)} = \sqrt{(235 / 235)} = 1,00$   
vnitřní tlačená část (stojina v prostém ohybu)  $c = h - 2 \cdot t_f - 2 \cdot r = 100 - 2 \cdot 3 - 2 \cdot 18884,4 = -37675$   
 $c / t_w = -37675 / 3,0 = -12558,27 < 72 \cdot \varepsilon = 72,00$  Třída 1  
vnitřní tlačená část (stojina v prostém ohybu)  $c = (b - t_w - 2 \cdot r) / 2 = (60 - 3 - 2 \cdot 18884,4) / 2 = -18856$   
 $c / t_f = -18856 / 3,0 = -6285,30 < 9 \cdot \varepsilon = 9,00$  Třída 1

## (B) POSUDEK

## (B.1) Posouzení MSÚ - ohybové únosnost

klasifikace průřezu - třída 1  $M_{c,Rd} = M_{pl,Rd}$   
návrhová únosnost průřezu v ohybu  $M_{c,Rd} = n \cdot W_{y,pl} \cdot f_y / \gamma_{M0} = 1 \cdot 25247,44 \cdot 235 / 1 / 1000000$   
 $M_{c,Rd} = 5,93$  kN.m  
 $M_{y,Ed} / M_{c,Rd} = 1,85 / 5,93 = 0,31 < 1,00$  **VYHOVUJE**

## (B.2) Posouzení MSÚ - smyková únosnost

klasifikace průřezu - třída 1  $V_{c,Rd} = V_{pl,Rd}$   
smyková plocha  $A_{v,z} = A - 2 \cdot b \cdot t_f + (t_w + 2 \cdot r) \cdot t_f = 924 - 2 \cdot 60 \cdot 3 + (3 + 2 \cdot 18884,4) \cdot 3$   
 $A_{v,z} = 113879$  mm<sup>2</sup>  
návrhová plastická únosnost ve smyku  $V_{pl,z,Rd} = n \cdot A_{v,z} \cdot (f_y / \sqrt{3}) / \gamma_{M0} = 1 \cdot 113879 \cdot (235 / \sqrt{3}) / 100000$   
 $V_{pl,z,Rd} = 15450,85$  kN  
 $V_{z,Ed} / V_{pl,z,Rd} = 1,85 / 15450,85 = 0,00 < 1,00$  **VYHOVUJE**

## (B.2) Posouzení MSP - dovolený průhyb

dovolený průhyb  $\delta_{max} = L / 600 = 2050 / 600$   
max.svislý průhyb  $\delta_{max} = 3,4$  mm  
 $w_{z,qk} = (5 \cdot q_n \cdot L^4) / (384 \cdot E_{sd} \cdot n \cdot I_y)$   
 $w_{z,qk} = (5 \cdot 0,07 \cdot 2050^4) / (384 \cdot 210000 \cdot 1 \cdot 1262372)$   
 $w_{z,qk} = 0,1$  mm  
max.svislý průhyb (prostý nosník, bodové zat.)  $w_{z,Pk} = (P_k \cdot L^3) / (48 \cdot E_{sd} \cdot n \cdot I_y)$   
 $w_{z,Pk} = (2,60 \cdot 1000 \cdot 2050^3) / (48 \cdot 210000 \cdot 1 \cdot 1262372)$   
 $w_{z,Pk} = 1,8$  mm  
 $w_z = w_{z,qk} + w_{z,Pk} = 0,1 + 1,8$   
 $w_z = 1,8$  mm  
 $w_{z,qk} / \delta_{max} = 1,82 / 3,42 = 0,53 < 1,00$  **VYHOVUJE**

Navržený prvek 1x 100/60/3 je vyhovující dle ČSN EN 1993-1-1.

Využití průřezu nosníku dle MSÚ 31% . Využití průřezu nosníku dle MSP 53% .

**N7** - nosník pro vynesení opláštění (prostý nosník)

přístřešek

## (A) DATA

## (A.1) Navržený profil

POČET SPOLUP. NOSNÍKŮ  $n = 1$  KS

Jákl Ocel třídy S235 mez kluzu / modul pružnosti  $f_y = 235,0$  MPa  $E_{sd} = 210000$  MPa



120/60/4	plocha průřezu / vlastní váha	$A =$	1376,0 mm <sup>2</sup>	$m =$	10,8 kg.m <sup>-1</sup>
	rozměry - výška / šířka	$h =$	120,0 mm	$b =$	60 mm
	tloušťky - stojina / pásnice	$t_w =$	4,0 mm	$t_f =$	4 mm
	moment setrvačnosti	$I_y =$	2551978,7 mm <sup>4</sup>	$I_z =$	847659 mm <sup>4</sup>
	poloměr setrvačnosti	$i_y =$	43,1 mm	$i_z =$	25 mm
	plastický průřezový modul	$W_{y,pl} =$	42533,0 mm <sup>3</sup>	$W_{z,pl} =$	28255 mm <sup>3</sup>
	Geometrie:				
	světlé rozpětí nosníku	$l_0 =$	3,83 m =	3830 mm	
	rozpětí nosníku $L = 1,0 \cdot l_0$	$L =$	3,83 m =	3830 mm	

### (A.2) Stanovení zatížení

Zdvo šírka/výška  $s = 0$  mm  $v = 0$  mm  
oběmová hmotnosť materiálu zdvo  $\rho = 0,00$  kN/m<sup>3</sup> (cihelné zdvo)

tíha příčky  $r_k = 0,80$  kN/m  $r_d = 1,08$  kN/m

CELKOVÉ ZATÍŽENÍ STROPY - $q_n / q_d$ - na osu		zatížení $[kN.m^{-1}]$			
popis	charakt.	$\gamma_{g,g}$	návrhové		
zdivo nad prvkem	0,00	x 1,35	0,00		
příčka	0,80	x 1,35	1,08		
vl. tíha nosníku	0,11	x 1,35	0,15		
kombinace pro MSP / MSÚ	$q_k =$	0,91	$q_d =$	1,23 $[kN.m^{-1}]$	$\gamma_{k/d} =$ 1,35
zatížení od podélného nosníku	$P_k =$	1,48	$P_d =$	2,00 $[kN]$	$x_{l/2} =$ 1,92 m

### (A.3) Stanovení vnitřních sil

Stanovení vnitřních sil	$A_d = B_d = 1/2 \cdot q_d \cdot L + 1/2 \cdot P_d$	$= 1/2 \cdot 1,23 \cdot 3,83 + 1/2 \cdot 2,00$
Reakce nosníku (max. smyková síla $V_{z,Ed}$ ):	$A_d = B_d$	3,35 kN
	$A_k = B_k$	2,48 kN
Maximální výpočtový moment	$M_{y,Ed} = 1/8 \cdot q_d \cdot L^2 + 1/4 \cdot P_d \cdot L$	$= 1/8 \cdot 1,23 \cdot 3,83^2 + 1/4 \cdot 2,00 \cdot 3,83$
	$M_{y,Ed}$	4,16 kN.m

#### (A.4) Klasifikace průřezu

<b>říkace průřezu</b>	parametr $\varepsilon = \sqrt{(235 / f_y)} = \sqrt{(235 / 235)} =$	<b>1,00</b>	
vnitřní tlačená část (stojina v prostém ohybu)	$c = h - 2*t_f - 2*r = 120 - 2*4 - 2*28255,288888 - 56399$		
	$c / t_w = -56\,398,6 / 4,(\text{ }-14099,64 < 72 * \varepsilon =$	<b>72,00</b>	<b>Třída 1</b>
vnitřní tlačená část (stojina v prostém ohybu)	$c = (b - t_w - 2*r) / 2 = (60 - 4 - 2*28255,288888) - 28227$		
	$c / t_f = -28\,227,3 / 4,(\text{ }-7056,82 < 9 * \varepsilon =$	<b>9,00</b>	<b>Třída 1</b>

**(B) POSUDEK**

(B.1) Posouzení MSÚ - ohybové únosnost

SÚ - ohybové únosnost	klasifikace průřezu - třída 1	$M_{c,Rd} = M_{pl,Rd}$
návrhová únosnost průřezu v ohybu	$M_{c,Rd} = n * W_{y,pl} * f_y / \gamma_{M0} =$	$1 * 42532,97777777778 * 235 / 1 / 1\ 000\ 000$
	$M_{c,Rd} = 10,00$ kN.m	
	$M_{y,Ed} / M_{c,Rd} = 4,16 / 10,00 =$	$0,42 < 1,00$ <b>VYHOVUJE</b>

(B.2) Posouzení MSÚ - smyková únosnost

MSÚ - smyková únosnosť	klasifikace průřezu - třída 1	$V_{c,Rd} = V_{pl,Rd}$
smyková plocha	$A_{v,z} = A \cdot 2^*b^*t_l + (t_w + 2^*r)^*t_l =$ $A_{v,z} = 226954 \text{ mm}^2$	$1376 - 2^*60^*4 + (4 + 2^*28255,2888888889)^*4$
návrhová plastická únosnosť ve smyku	$V_{pl,z,Rd} = n^*A_{v,z}^*(f_y / \sqrt{3}) / \gamma_{M0} =$ $V_{pl,z,Rd} = 30792,55 \text{ kN}$	$1^*226\,954^*(235 / \sqrt{3}) / 1 / 1000$
	$V_{z,Ed} / V_{pl,z,Rd} = 3,35 / 30\,792,55 =$ $0,00 < 1,00$	<b>VYHOVUJE</b>

(B.2) Posouzení MSP - dovolený průhyb

uzení MSP - dovolený průhyb	$\delta_{max} = L / 300 = 3830 / 300$
dovolený průhyb	$\delta_{max} = 12,8 \text{ mm}$
max.svislý průhyb	$w_{z,qk} = (5 \cdot q_n \cdot L^4) / (384 \cdot E_{sd} \cdot n \cdot I_y)$
	$w_{z,qk} = (5 \cdot 0,91 \cdot 3830^4) / (384 \cdot 210000 \cdot 1 \cdot 2551978,666666667)$
	$w_{z,qk} = 4,7 \text{ mm}$
max.svislý průhyb (prostý nosník, bodové zat.)	$w_{z,Pk} = (P_k \cdot L^3) / (48 \cdot E_{sd} \cdot n \cdot I_y)$
	$w_{z,Pk} = (1,48 \cdot 1000 \cdot 3830^3) / (48 \cdot 210000 \cdot 1 \cdot 2551978,666666667)$
	$w_{z,Pk} = 3,2 \text{ mm}$
	$w_z = w_{z,qk} + w_{z,Pk} = 4,7 + 3,2$
	$w_z = 8,0 \text{ mm}$

$$w_{z,qk} / \delta_{max} = 7,98 / 12,77 = 0,63 < 1,00 \quad \text{VYHOVUJE}$$

**Navržený prvek 1x Jákl je vyhovující dle ČSN EN 1993-1-1.**

Využití průřezu nosníku dle MSÚ 42% Využití průřezu nosníku dle MSP 63%

**N2** - nosník pro vynesení opláštění (prostý nosník)

přístřešek

### (A) DATA

#### (A.1) Navržený profil

Jákl		Ocel třídy S235	mez kluzu / modul pružnosti	$f_y = 235,0$ MPa	$E_{sd} = 210000$ MPa
100/60/4			plocha průřezu / vlastní váha	$A = 1216,0$ mm <sup>2</sup>	$m = 9,5$ kg.m <sup>-1</sup>
			rozměry - výška / šířka	$h = 100,0$ mm	$b = 60$ mm
			tloušťky - stojina / pásnice	$t_w = 4,0$ mm	$t_f = 4$ mm
			moment setrvačnosti	$I_y = 1625685,3$ mm <sup>4</sup>	$I_z = 722005$ mm <sup>4</sup>
			poloměr setrvačnosti	$i_y = 36,6$ mm	$i_z = 24$ mm
			plastický průřezový modul	$W_{y,pl} = 32513,7$ mm <sup>3</sup>	$W_{z,pl} = 24067$ mm <sup>3</sup>
Geometrie:		světél rozpětí nosníku	$l_0 = 3,14$ m	3140 mm	
		rozpětí nosníku $L = 1,0 \cdot l_0$	$L = 3,14$ m	3140 mm	

#### (A.2) Stanovení zatížení

Zdivo	šířka/výška	$\check{s} = 0$ mm	$v = 0$ mm
oběmová hmotnost materiálů zdiva		$\rho = 0,00$ kN/m <sup>3</sup>	(cihelné zdivo)
tláha příčky		$r_k = 1,60$ kN/m	$r_d = 2,16$ kN/m

CELKOVÉ ZATÍŽENÍ STROPU - $q_n / q_d$ - na osu		zatížení [kN.m <sup>-1</sup> ]	
popis	charakt.	$\gamma_{d,q}$	návrhové
zdivo nad prvkem	0,00	x 1,35	0,00
příčka	1,60	x 1,35	2,16
vl. tíha nosníku	0,10	x 1,35	0,13
kombinace pro MSP / MSÚ	$q_k = 1,70$		$q_d = 2,29$ [kN.m <sup>-1</sup> ]

$$\gamma_{k/d} = 1,35$$

$$\text{zatížení od podélného nosníku} \quad P_k = 0,00 \quad P_d = 0,00 \text{ [kN]} \quad x_{l/2} = 1,57 \text{ m}$$

#### (A.3) Stanovení vnitřních sil

Reakce nosníku (max. smyková síla $V_{z,Ed}$ ):	$A_d = B_d = 1/2 \cdot q_d \cdot L + 1/2 \cdot P_d = 1/2 \cdot 2,29 \cdot 3,14 + 1/2 \cdot 0,00$
	$A_d = B_d = 3,59$ kN
Maximální výpočtový moment	$A_k = B_k = 2,66$ kN
	$M_{y,Ed} = 1/8 \cdot q_d \cdot L^2 + 1/4 \cdot P_d \cdot L = 1/8 \cdot 2,29 \cdot 3,14^2 + 1/4 \cdot 0,00 \cdot 3,14$
	$M_{y,Ed} = 2,82$ kN.m

#### (A.4) Klasifikace průřezu

parametr $\varepsilon = \sqrt{(235 / f_y)}$	$= \sqrt{(235 / 235)} = 1,00$
vnitřní tlačená část (stojina v prostém ohybu)	$c = h - 2 \cdot t_f - 2 \cdot r = 100 - 2 \cdot 4 - 2 \cdot 24066,8444 \cdot -48042$
	$c / t_w = -48 041,7 / 4,0 = -12010,42 < 72 \cdot \varepsilon = 72,00$ Třída 1
vnitřní tlačená část (stojina v prostém ohybu)	$c = (b - t_w - 2 \cdot r) / 2 = (60 - 4 - 2 \cdot 24066,844444 \cdot -24039$
	$c / t_f = -24 038,8 / 4,0 = -6009,71 < 9 \cdot \varepsilon = 9,00$ Třída 1

### (B) POSUDEK

#### (B.1) Posouzení MSÚ - ohybové únosnost

klasifikace průřezu - třída 1	$M_{c,Rd} = M_{pl,Rd}$
návrhová únosnost průřezu v ohybu	$M_{c,Rd} = n \cdot W_{y,pl} \cdot f_y / \gamma_{M0} = 1 \cdot 32513,7066666667 \cdot 235 / 1 / 1 000 000$
	$M_{c,Rd} = 7,64$ kN.m
$M_{y,Ed} / M_{c,Rd} = 2,82 / 7,64$	$= 0,37 < 1,00$ VYHOVUJE

#### (B.2) Posouzení MSÚ - smyková únosnost

klasifikace průřezu - třída 1	$V_{c,Rd} = V_{pl,Rd}$
smyková plocha	$A_{v,z} = A - 2 \cdot b \cdot t_f + (t_w + 2 \cdot r) \cdot t_f = 1216 - 2 \cdot 60 \cdot 4 + (4 + 2 \cdot 24066,8444444444) \cdot 4$
	$A_{v,z} = 193287$ mm <sup>2</sup>
návrhová plastická únosnost ve smyku	$V_{pl,z,Rd} = n \cdot A_{v,z} \cdot (f_y / \sqrt{3}) / \gamma_{M0} = 1 \cdot 193 287 \cdot (235 / \sqrt{3}) / 1 / 1000$
	$V_{pl,z,Rd} = 26224,63$ kN
$V_{z,Ed} / V_{pl,z,Rd} = 3,59 / 26 224,63$	$= 0,00 < 1,00$ VYHOVUJE

## (B.2) Posouzení MSP - dovolený průhyb

$$\begin{aligned}
 \delta_{\max} &= L / 300 = 3140 / 300 \\
 \delta_{\max} &= 10,5 \text{ mm} \\
 w_{z,qk} &= (5 \cdot q_n \cdot L^4) / (384 \cdot E_{sd} \cdot n \cdot I_y) \\
 w_{z,qk} &= (5 \cdot 1,70 \cdot 3140^4) / (384 \cdot 210000 \cdot 1 \cdot 1625685,33333333) \\
 w_{z,qk} &= 6,3 \text{ mm} \\
 w_{z,pk} &= (P_k \cdot L^3) / (48 \cdot E_{sd} \cdot n \cdot I_y) \\
 w_{z,pk} &= (0,00 \cdot 1000 \cdot 3140^3) / (48 \cdot 210000 \cdot 1 \cdot 1625685,33333333) \\
 w_{z,pk} &= 0,0 \text{ mm} \\
 w_z &= w_{z,qk} + w_{z,pk} = 6,3 + 0,0 \\
 w_z &= 6,3 \text{ mm} \\
 w_{z,qk} / \delta_{\max} &= 6,28 / 10,47 = 0,60 < 1,00 \text{ } \mathbf{VYHOVUJE}
 \end{aligned}$$

**Navržený prvek 1x Jákl je vyhovující dle ČSN EN 1993-1-1.**

Využití průřezu nosníku dle MSÚ 37%

Využití průřezu nosníku dle MSP 60%

**- nosník pro vynesení dieslagregátu (DA) (prostý nosník)**

## (A) DATA

## (A.1) Navržený profil

POČET SPOLUP. NOSNÍKŮ  $n = 1$  KS

<b>I140</b>	cel třídy S235	mez kluzu / modul pružnosti	$f_y = 235,0$ MPa	$E_{sd} = 210000$ MPa
	Průřez (I 140)	plocha průřezu / vlastní váha	$A = 1820$ mm <sup>2</sup>	$m = 14,3$ kg.m <sup>-1</sup>
		rozměry - výška / šířka	$h = 140$ mm	$b = 66$ mm
		tloušťky - stojina / pásnice	$t_w = 5,7$ mm	$t_f = 8,6$ mm
		průřezový modul	$W_{y,el} = 81800$ mm <sup>3</sup>	$W_{z,el} = 10600$ mm <sup>3</sup>
		moment setrvačnosti	$I_y = 5720000$ mm <sup>4</sup>	$I_z = 351000$ mm <sup>4</sup>
		poloměr setrvačnosti	$i_y = 56,0$ mm	$i_z = 13,9$ mm
		plastický průřezový modul / poloměr zaoblení	$W_{y,pl} = 95200$ mm <sup>3</sup>	$r = 5,7$ mm

Geometrie:	světlé rozpětí nosníku	$l_0 = 3,25$ m =	3250 mm
	rozpětí nosníku $L = 1,0 \cdot l_0$	$L = 3,25$ m =	3250 mm

## (A.2) Stanovení zatížení

CELKOVÉ ZATÍŽENÍ STROPU -  $q_n / q_d$  - na osu

popis	charakt.	$\gamma_{g,q}$	zatížení [kN.m <sup>-1</sup> ]	návrhové
zdivo nad prvkem	0,00	x 1,35	0,00	0,00
příčka	0,00	x 0,00	0,00	0,00
vl. tíha nosníku	0,14	x 1,35	0,19	0,19

kombinace pro MSP / MSÚ  $q_k = 0,14$   $q_d = 0,19$  [kN.m<sup>-1</sup>]  $\gamma_{k/d} = 1,35$

zatížení od podélného nosníku  $P_k = 10,00$   $P_d = 13,50$  [kN]  $x_{l/2} = 1,63$  m

## (A.3) Stanovení vnitřních sil

Reakce nosníku (max. smyková síla  $V_{z,Ed}$ ):

$$A_d = B_d = 1/2 \cdot q_d \cdot L + 1/2 \cdot P_d = 1/2 \cdot 0,19 \cdot 3,25 + 1/2 \cdot 13,50$$

$$A_d = B_d = 7,06 \text{ kN}$$

$$A_k = B_k = 5,23 \text{ kN}$$

Maximální výpočtový moment

$$M_{y,Ed} = 1/8 \cdot q_d \cdot L^2 + 1/4 \cdot P_d \cdot L = 1/8 \cdot 0,19 \cdot 3,25^2 + 1/4 \cdot 13,50 \cdot 3,25$$

$$M_{y,Ed} = 11,22 \text{ kN.m}$$

## (A.4) Klasifikace průřezu

$$\text{parametr } \varepsilon = \sqrt{(235 / f_y)} = \sqrt{(235 / 235)} = 1,00$$

vnitřní tlačená část (stojina v prostém ohybu)

$$c = h - 2 \cdot t_f - 2 \cdot r = 140 - 2 \cdot 8,6 - 2 \cdot 5,7 = 111,4$$

$$c / t_w = 111,4 / 5,7 = 19,54 < 72 \cdot \varepsilon = 72,00 \text{ Třída 1}$$

vnitřní tlačená část (stojina v prostém ohybu)

$$c = (b - t_w - 2 \cdot r) / 2 = (66 - 5,7 - 2 \cdot 5,7) / 2 = 24,45$$

$$c / t_f = 24,5 / 8,6 = 2,84 < 9 \cdot \varepsilon = 9,00 \text{ Třída 1}$$

## (B) POSUDEK

## (B.1) Posouzení MSÚ - ohybové únosnost

klasifikace průřezu - třída 1

$$M_{c,Rd} = M_{pl,Rd}$$

návrhová únosnost průřezu v ohybu

$$M_{c,Rd} = n \cdot W_{y,pl} \cdot f_y / \gamma_{M0} = 1 \cdot 95200 \cdot 235 / 1 / 1000000$$

$$M_{c,Rd} = 22,37 \text{ kN.m}$$

$$M_{y,Ed} / M_{c,Rd} = 11,22 / 22,37 = 0,50 < 1,00 \text{ } \mathbf{VYHOVUJE}$$

## (B.2) Posouzení MSÚ - smyková únosnost

klasifikace průřezu - třída 1

$$V_{c,Rd} = V_{pl,Rd}$$

smyková plocha

$$A_{v,z} = A - 2 \cdot b \cdot t_f + (t_w + 2 \cdot r) \cdot t_f = 1820 - 2 \cdot 66 \cdot 8,6 + (5,7 + 2 \cdot 5,7) \cdot 8,6$$

$$\begin{aligned}
 A_{v,z} &= 832 \text{ mm}^2 \\
 \text{návrhová plastická únosnost ve smyku} \quad V_{pl,z,Rd} &= n \cdot A_{v,z} \cdot (f_y / \sqrt{3}) / \gamma_{M0} = 1 \cdot 832 \cdot (235 / \sqrt{3}) / 1,1000 \\
 V_{pl,z,Rd} &= 112,86 \text{ kN} \\
 V_{z,Ed} / V_{pl,z,Rd} &= 7,06 / 112,86 = 0,06 < 1,00 \quad \text{VYHOVUJE}
 \end{aligned}$$

(B.2) Posouzení MSP - dovolený průhyb

$$\begin{aligned}
 \delta_{max} &= L / 500 = 3250 / 500 \\
 \text{dovolený průhyb} \quad \delta_{max} &= 6,5 \text{ mm} \\
 \text{max.svislý průhyb} \quad w_{z,qk} &= (5 \cdot q_n \cdot L^4) / (384 \cdot E_{sd} \cdot n \cdot I_y) \\
 w_{z,qk} &= (5 \cdot 0,14 \cdot 3250^4) / (384 \cdot 210000 \cdot 1 \cdot 5720000) \\
 w_{z,qk} &= 0,2 \text{ mm} \\
 \text{max.svislý průhyb (prostý nosník, bodové zat.)} \quad w_{z,Pk} &= (P_k \cdot L^3) / (48 \cdot E_{sd} \cdot n \cdot I_y) \\
 w_{z,Pk} &= (10,00 \cdot 1000 \cdot 3250^3) / (48 \cdot 210000 \cdot 1 \cdot 5720000) \\
 w_{z,Pk} &= 6,0 \text{ mm} \\
 w_z &= w_{z,qk} + w_{z,Pk} = 0,2 + 6,0 \\
 w_z &= 6,1 \text{ mm} \quad (L / 530) \\
 w_{z,qk} / \delta_{max} &= 6,13 / 6,50 = 0,94 < 1,00 \quad \text{VYHOVUJE}
 \end{aligned}$$

*Navržený prvek 1x I140 je vyhovující dle ČSN EN 1993-1-1.*

Využití průřezu nosníku dle MSÚ

50%

Využití průřezu nosníku dle MSP

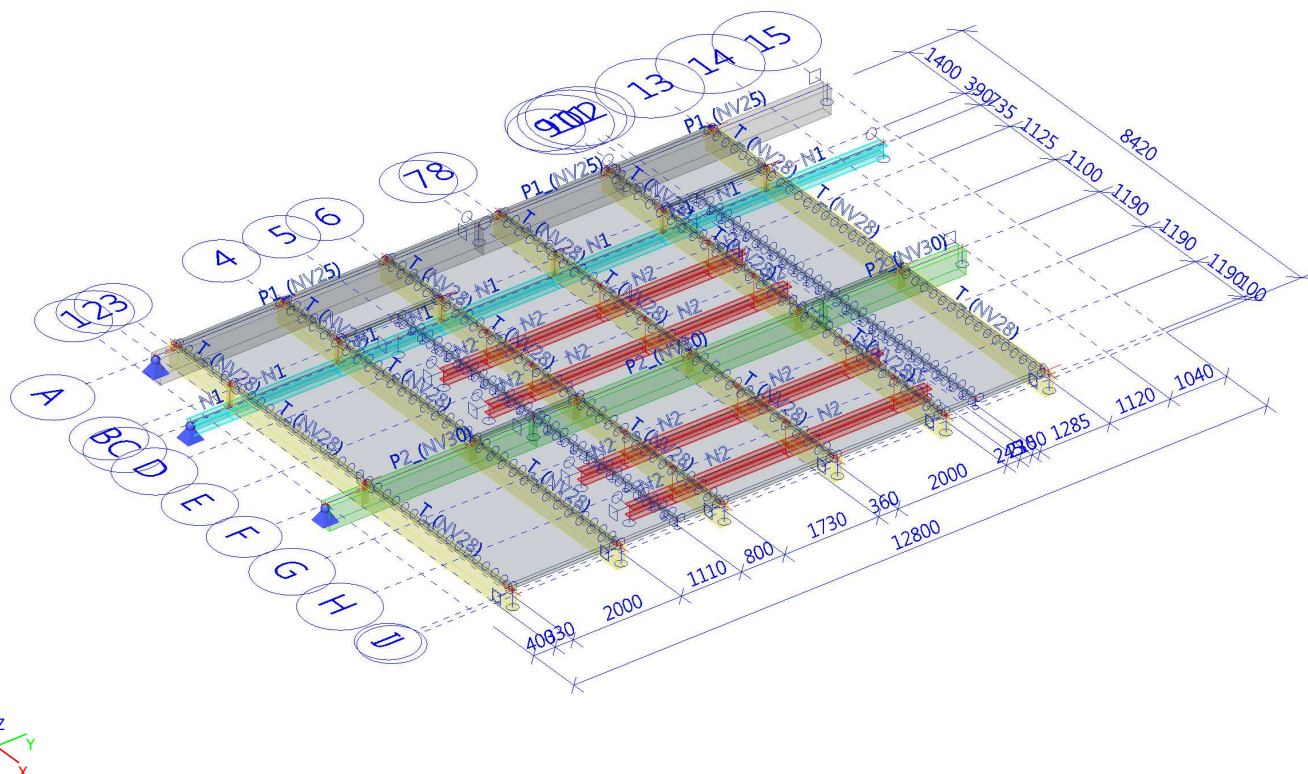
94%

## 1. Obsah

1. Obsah	1
2. Data	1
2.1. Výpočtový model	1
2.2. Materiály	2
2.3. Průřezy	2
2.4. Zatěžovací stavy	2
2.4.1. Zatěžovací stavy - ZS1	2
2.4.1.1. ZS2 / Hodnota pro výpočet	2
2.4.2. Zatěžovací stavy - ZS2	2
2.4.2.1. ZS2 / Hodnota pro výpočet	3
2.4.3. Zatěžovací stavy - ZS3	3
2.4.3.1. ZS2 / Hodnota pro výpočet	3
2.4.4. Zatěžovací stavy - ZS4	4
2.4.4.1. ZS2 / Hodnota pro výpočet	4
2.4.5. Zatěžovací stavy - ZS5	4
2.4.5.1. ZS2 / Hodnota pro výpočet	5
2.4.6. Zatěžovací stavy - ZS6	5
2.4.6.1. ZS2 / Hodnota pro výpočet	5
2.5. Klíč kombinace	6
3. Výsledky	6
3.1. Vnitřní síly na prutu	6
3.2. 3D přemístění	7
3.3. Reakce; R <sub>z</sub> (charakteristické hodnoty)	8
3.4. Reakce; R <sub>z</sub> (návrhové hodnoty)	8
3.5. Reakce; R <sub>z</sub> -podpory ocelových nosníků	10
3.6. Reakce; R <sub>z</sub> -všechny podpory	10
4. Posudek	11
4.1. Posudek ocelových prvků na MSÚ EC-EN 1993	11
4.2. Relativní deformace	11

## 2. Data

### 2.1. Výpočtový model

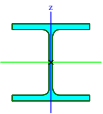
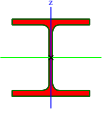


## 2.2. Materiály

Ocel EC3

Jméno	Jednotková hmotnost [kg/m <sup>3</sup> ]	E [MPa] G [MPa]	Poisson - nu Tep.roztaž. [m/mK]	Dolní mez [mm]	Horní mez [mm]	Fy (rozsah) [MPa]	Fu (rozsah) [MPa]
S 235	7850,0	2,1000e+05 8,0769e+04	0.3 0,00	0 40	40 80	235,0 215,0	360,0 360,0

## 2.3. Průřezy

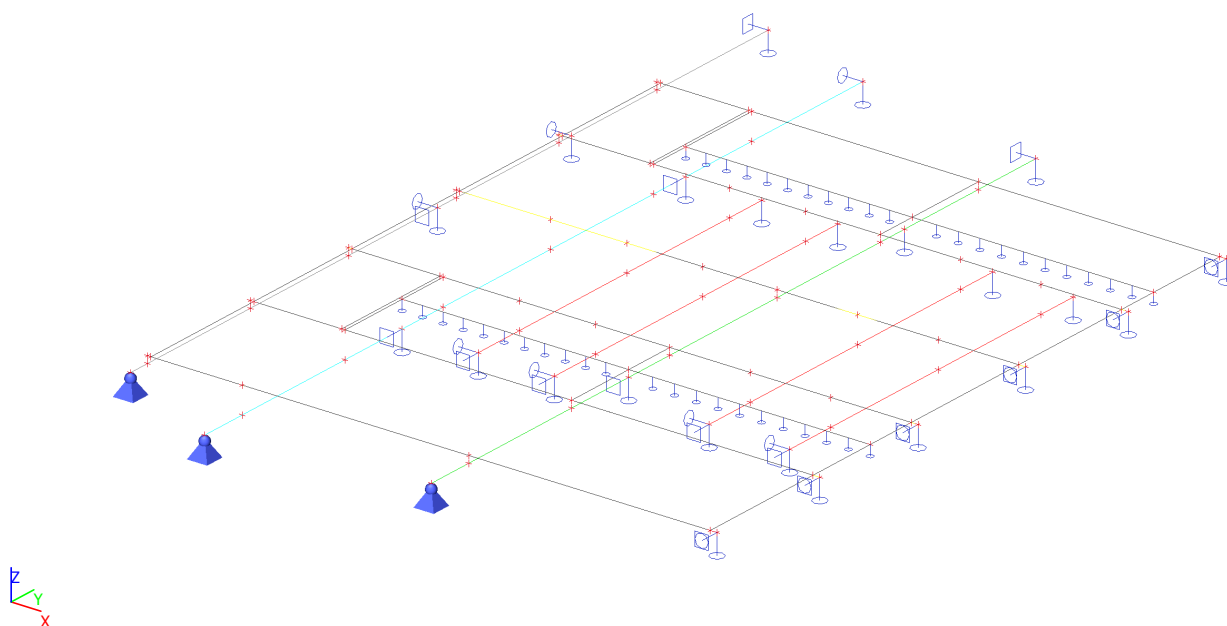
Jméno	Typ	Kód tvaru	Typ tvaru	Materiál	Výroba	Posudek rovinného vzpěru y-y Posudek rovinného vzpěru z-z	Obrázek
N1	HEB200	1 - I průřez	Tenkostěnný	S 235	válcovaný	b  c	
N2	HEB200	1 - I průřez	Tenkostěnný	S 235	válcovaný	b  c	

## 2.4. Zatěžovací stavy

### 2.4.1. Zatěžovací stavy - ZS1

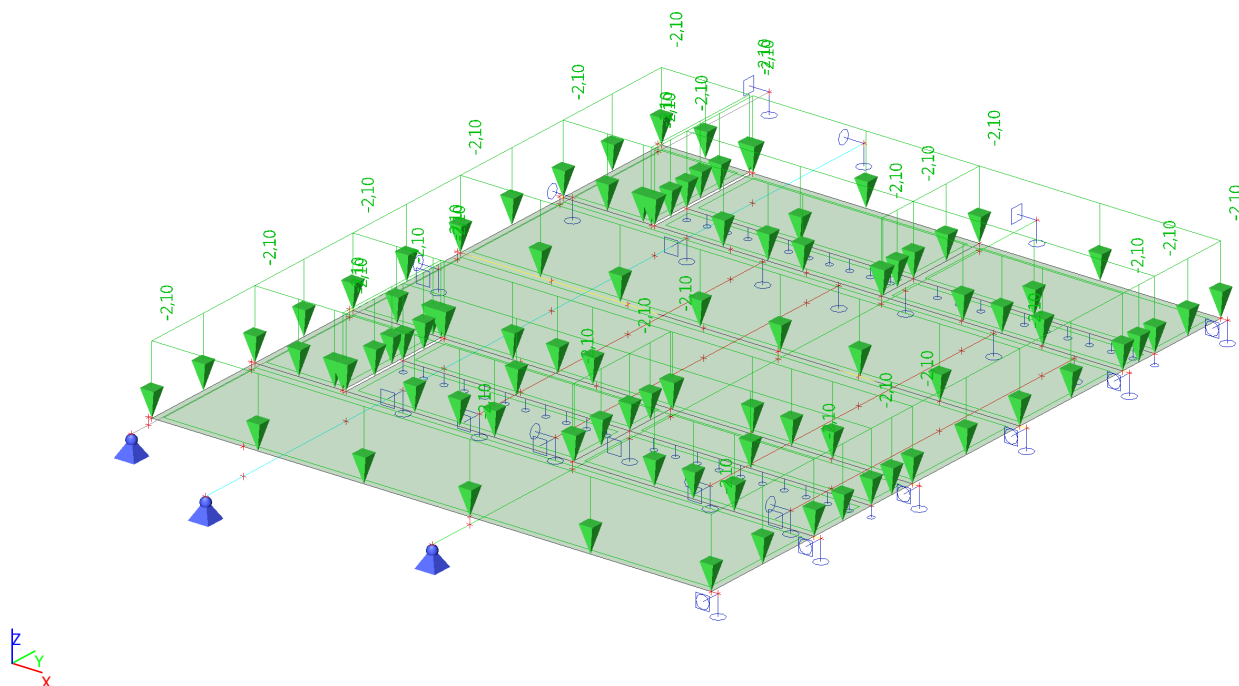
Jméno	Popis	Typ zatížení	Skupina zatížení
ZS1	Vlastní tíha	Vlastní tíha	SZ1

#### 2.4.1.1. ZS2 / Hodnota pro výpočet

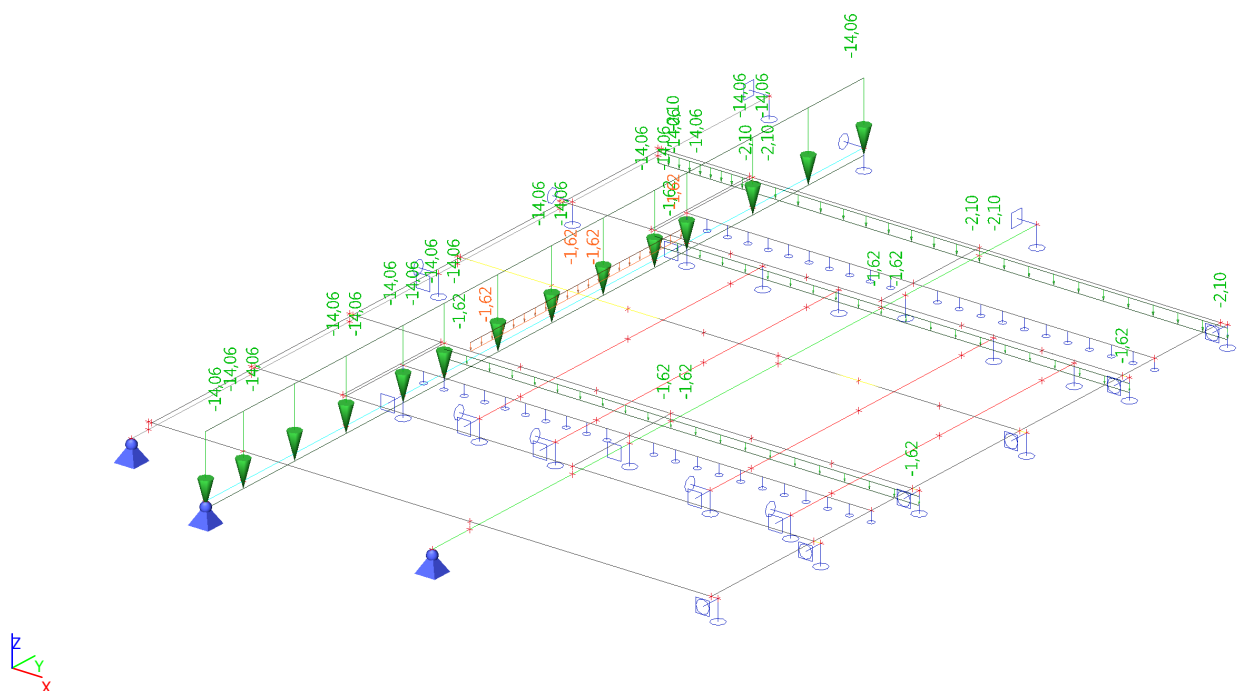


### 2.4.2. Zatěžovací stavy - ZS2

Jméno	Popis	Typ zatížení	Skupina zatížení
ZS2	g1(k)-stálé zatížení plošné	Standard	SZ1

**2.4.2.1. ZS2 / Hodnota pro výpočet****2.4.3. Zatěžovací stavy - ZS3**

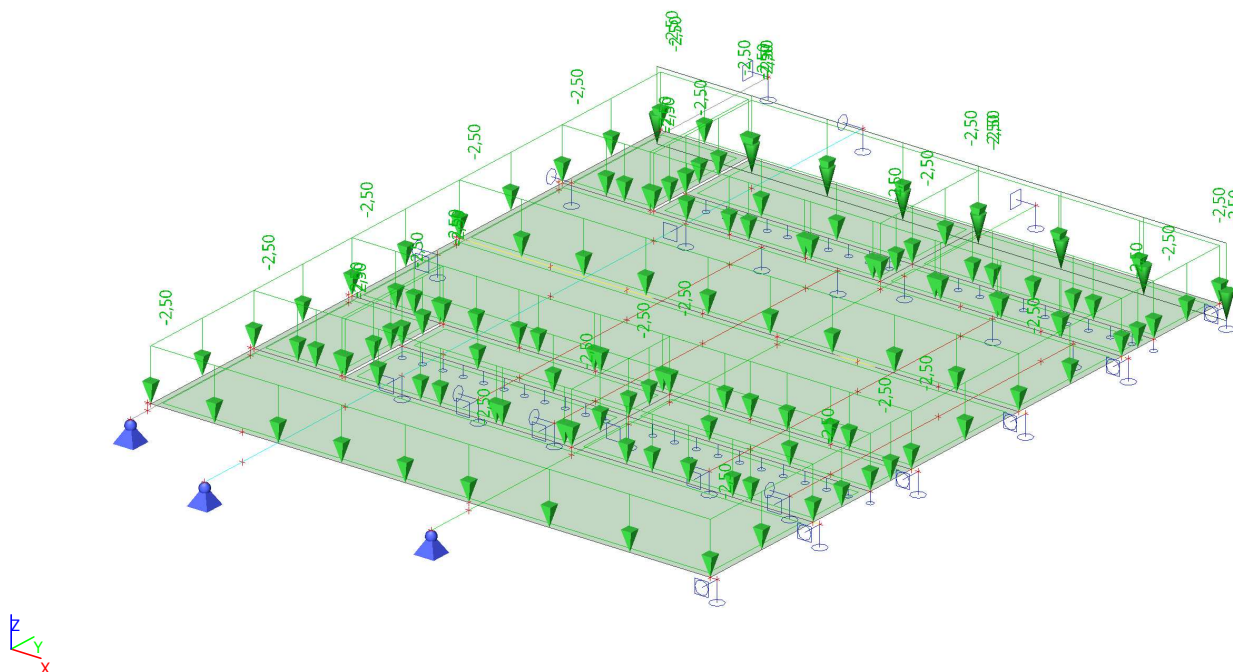
Jméno	Popis	Typ zatížení	Skupina zatížení
ZS3	g2(k)-stálé zatížení liniové	Standard	SZ1

**2.4.3.1. ZS2 / Hodnota pro výpočet**



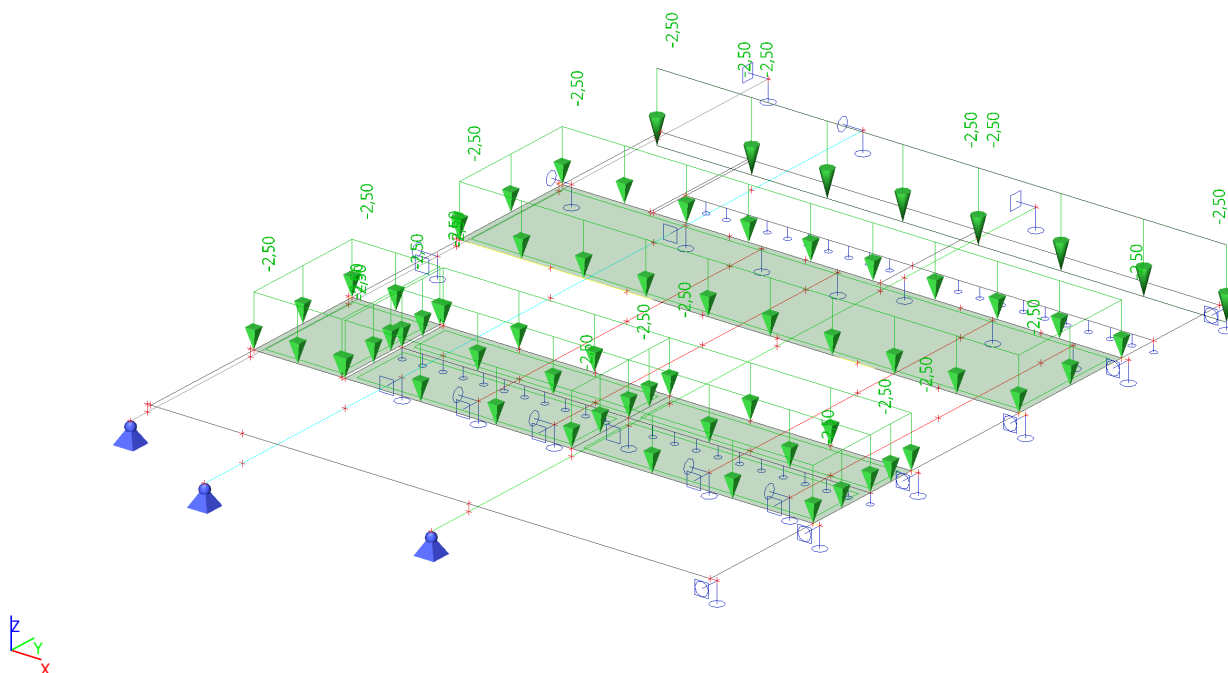
**2.4.4. Zatěžovací stavy - ZS4**

Jméno	Popis	Typ zatížení	Skupina zatížení
ZS4	q1(k)_full-užitné zatížení plošné	Statické	kat. B

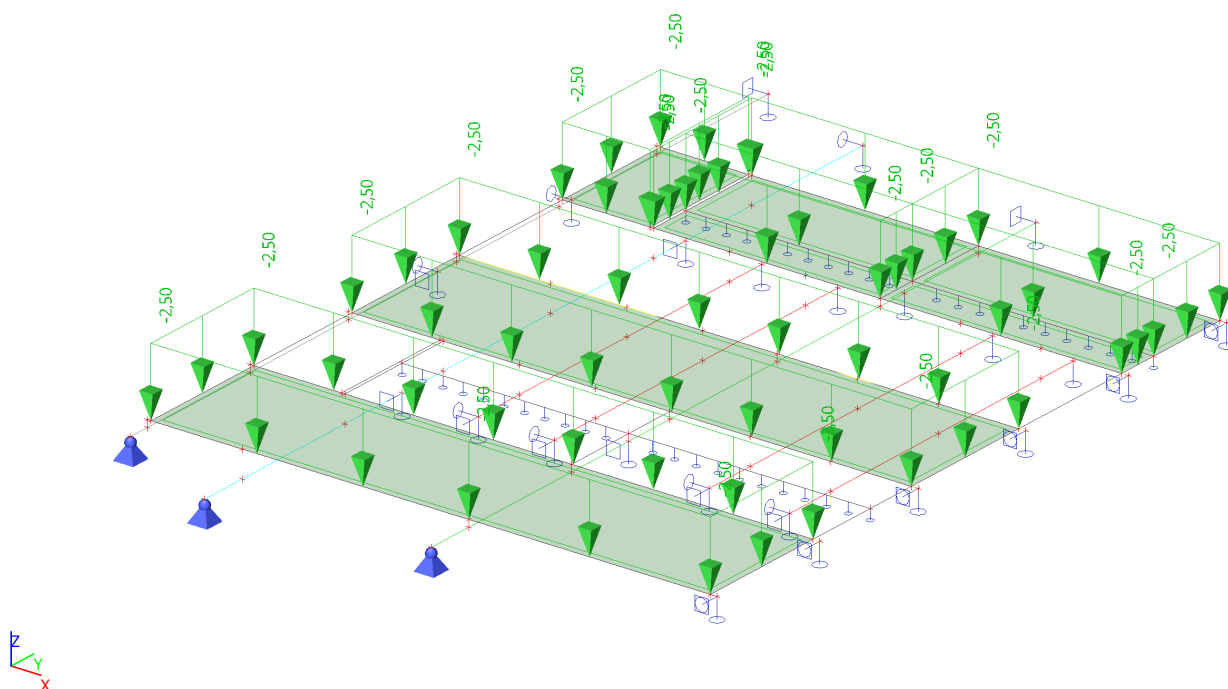
**2.4.4.1. ZS2 / Hodnota pro výpočet****2.4.5. Zatěžovací stavy - ZS5**

Jméno	Popis	Typ zatížení	Skupina zatížení
ZS5	q2(k)_cheesb.-užitné zatížení plošné	Statické	kat. B



**2.4.5.1. ZS2 / Hodnota pro výpočet****2.4.6. Zatěžovací stavy - ZS6**

Jméno	Popis	Typ zatížení	Skupina zatížení
ZS6	q3(k)_cheesb.-užitné zatížení plošné	Statické	kat. B

**2.4.6.1. ZS2 / Hodnota pro výpočet**

## 2.5. Klíč kombinace

Klíč kombinace

Jméno	Popis kombinací
1	ZS1*1,35 +ZS2*1,35 +ZS3*1,35 +ZS4*1,05
2	ZS1*1,15 +ZS2*1,15 +ZS3*1,15 +ZS4*1,50
3	ZS1*1,35 +ZS2*1,35 +ZS3*1,35 +ZS5*1,05
4	ZS1*1,00 +ZS2*1,00 +ZS3*1,00 +ZS4*1,50
5	ZS1*1,00 +ZS2*1,00 +ZS3*1,00
6	ZS1*1,00 +ZS2*1,00 +ZS3*1,00 +ZS4*1,00
7	ZS1*1,00 +ZS2*1,00 +ZS3*1,00 +ZS6*1,00
8	ZS1*1,00 +ZS2*1,00 +ZS3*1,00 +ZS5*1,00
9	ZS1*1,35 +ZS2*1,35 +ZS3*1,35
10	ZS1*1,35 +ZS2*1,35 +ZS3*1,35 +ZS6*1,05
11	ZS1*1,00 +ZS2*1,00 +ZS3*1,00 +ZS5*1,50
12	ZS1*1,15 +ZS2*1,15 +ZS3*1,15 +ZS6*1,50
13	ZS1*1,15 +ZS2*1,15 +ZS3*1,15 +ZS5*1,50
14	ZS1*1,00 +ZS2*1,00 +ZS3*1,00 +ZS6*1,50

## 3. Výsledky

### 3.1. Vnitřní síly na prutu

Lineární výpočet, Extrém : Průřez, Systém : Hlavní

Výběr : Vše

Třída : Všechny MSU

Dílec	css	dx [m]	Stav	N [kN]	Vy [kN]	Vz [kN]	Mx [kNm]	My [kNm]	Mz [kNm]
B14	T_(NV28) - Obdélník	0,000	MSÚ-Sada B (auto)/1	<b>-78,37</b>	-0,96	7,78	0,19	0,00	-0,27
B9	T_(NV28) - Obdélník	1,400	MSÚ-Sada B (auto)/1	<b>339,35</b>	-0,13	-19,27	0,02	0,00	-0,42
B4	T_(NV28) - Obdélník	3,570	MSÚ-Sada B (auto)/2	0,00	<b>-7,72</b>	-16,62	<b>1,49</b>	1,67	0,77
B14	T_(NV28) - Obdélník	3,570	MSÚ-Sada B (auto)/2	0,00	<b>6,58</b>	-20,05	<b>-1,27</b>	2,04	-0,66
B10	T_(NV28) - Obdélník	3,670	MSÚ-Sada B (auto)/1	0,00	0,07	<b>-45,32</b>	-0,01	0,00	0,00
B9	T_(NV28) - Obdélník	0,000	MSÚ-Sada B (auto)/1	0,00	0,00	<b>72,03</b>	0,00	0,00	0,00
B10	T_(NV28) - Obdélník	3,570	MSÚ-Sada B (auto)/1	72,30	0,07	-20,06	-0,01	<b>-5,28</b>	0,05
B27	T_(NV28) - Obdélník	1,125	MSÚ-Sada B (auto)/1	201,55	-0,24	-5,46	0,05	<b>18,48</b>	0,16
B5	T_(NV28) - Obdélník	1,400	MSÚ-Sada B (auto)/2	-25,02	0,24	-16,31	-0,05	0,00	<b>-1,18</b>
B11	T_(NV28) - Obdélník	1,400	MSÚ-Sada B (auto)/1	48,89	-2,37	-12,94	0,46	0,00	<b>2,04</b>
B21	N1 - HEB200	0,000	MSÚ-Sada B (auto)/3	<b>0,00</b>	0,00	-61,23	0,00	-5,05	0,00
B19	N1 - HEB200	0,000	MSÚ-Sada B (auto)/1	<b>0,00</b>	0,00	23,87	0,00	5,05	0,00
B18	N1 - HEB200	0,000	MSÚ-Sada B (auto)/1	0,00	<b>0,00</b>	-63,86	<b>0,00</b>	15,53	0,00
B22	N1 - HEB200	0,000	MSÚ-Sada B (auto)/1	0,00	<b>0,00</b>	14,25	0,00	15,40	0,00
B18	N1 - HEB200	1,110	MSÚ-Sada B (auto)/1	0,00	0,00	<b>-85,83</b>	0,00	<b>-67,55</b>	0,00
B37	N1 - HEB200	0,000	MSÚ-Sada B (auto)/1	0,00	0,00	<b>98,66</b>	0,00	-67,55	0,00
B21	N1 - HEB200	0,000	MSÚ-Sada B (auto)/1	0,00	0,00	-65,97	<b>0,00</b>	-5,29	<b>0,00</b>
B17	N1 - HEB200	0,909	MSÚ-Sada B (auto)/1	0,00	0,00	-0,21	0,00	<b>27,53</b>	0,00
B42	N2 - HEB200	0,000	MSÚ-Sada B (auto)/1	<b>0,00</b>	0,00	-8,27	0,00	23,92	0,00
B53	N2 - HEB200	0,000	MSÚ-Sada B (auto)/1	0,00	<b>0,00</b>	-1,57	0,00	9,92	0,00
B51	N2 - HEB200	0,000	MSÚ-Sada B (auto)/1	0,00	<b>0,00</b>	9,94	<b>0,00</b>	0,00	0,00
B46	N2 - HEB200	2,000	MSÚ-Sada B (auto)/1	0,00	0,00	<b>-10,83</b>	0,00	5,72	0,00
B43	N2 - HEB200	0,000	MSÚ-Sada B (auto)/1	0,00	0,00	<b>14,90</b>	0,00	0,00	0,00
B39	N2 - HEB200	0,000	MSÚ-Sada B (auto)/1	0,00	0,00	12,71	<b>0,00</b>	0,00	0,00
B44	N2 - HEB200	2,090	MSÚ-Sada B (auto)/1	0,00	0,00	5,90	0,00	<b>25,76</b>	0,00
B46	N2 - HEB200	0,000	MSÚ-Sada B (auto)/4	0,00	0,00	-8,16	0,00	22,45	<b>0,00</b>
B52	N2 - HEB200	2,090	MSÚ-Sada B (auto)/1	0,00	0,00	0,22	0,00	9,92	<b>0,00</b>
B28	P1_(NV25) - Obdélník	0,000	MSÚ-Sada B (auto)/1	<b>0,00</b>	0,00	37,24	0,00	0,00	0,00
B156	P1_(NV25) - Obdélník	0,800	MSÚ-Sada B (auto)/1	<b>0,00</b>	0,00	27,95	0,00	50,62	0,00
B153	P1_(NV25) - Obdélník	2,360	MSÚ-Sada B (auto)/1	0,00	<b>0,00</b>	-27,31	<b>0,00</b>	6,79	0,00
B155	P1_(NV25) - Obdélník	0,000	MSÚ-Sada B (auto)/1	0,00	<b>0,00</b>	63,80	0,00	0,00	0,00
B156	P1_(NV25) - Obdélník	5,365	MSÚ-Sada B (auto)/1	0,00	0,00	<b>-93,45</b>	0,00	0,00	0,00
B153	P1_(NV25) - Obdélník	0,000	MSÚ-Sada B (auto)/1	0,00	0,00	<b>67,74</b>	<b>0,00</b>	0,00	0,00
B157	P1_(NV25) - Obdélník	2,555	MSÚ-Sada B (auto)/2	0,00	0,00	-48,38	0,00	<b>-30,36</b>	0,00
B156	P1_(NV25) - Obdélník	2,890	MSÚ-Sada B (auto)/1	0,00	0,00	21,19	0,00	<b>101,97</b>	0,00
B153	P1_(NV25) - Obdélník	2,605	MSÚ-Sada B (auto)/1	0,00	0,00	-28,10	0,00	0,00	<b>0,00</b>

Dílec	css	dx [m]	Stav	N [kN]	Vy [kN]	Vz [kN]	Mx [kNm]	My [kNm]	Mz [kNm]
B156	P1_(NV25) - Obdélník	0,800	MSÚ-Sada B (auto)/1	0,00	0,00	61,98	0,00	50,62	<b>0,00</b>

### 3.2. 3D přemístění

Lineární výpočet

Třída: Všechny MSP

Výběr: Vše

Filtr: Vrstva = ocel\_výměny

Poloha: V uzlech s průměrováním na makro. Systém: LSS prvku síť

**Výsledky na 1D dílci:**

Extrém 1D: Globální

Jméno	dx [m]	Vlákn	Stav	ux [mm]	uy [mm]	uz [mm]	φx [mrad]	φy [mrad]	φz [mrad]	U <sub>total</sub> [mm]
B15	0,000	13	MSP-Char (auto)/1	0,0	0,0	0,0	0,0	1,8	0,0	<b>0,0</b>
B44	1,900	15	MSP-Char (auto)/2	0,1	0,1	-4,7	0,0	0,1	0,0	<b>4,7</b>

Jméno	Klíč kombinace
MSP-Char (auto)/1	ZS1 + ZS2 + ZS3
MSP-Char (auto)/2	ZS1 + ZS2 + ZS3 + ZS4

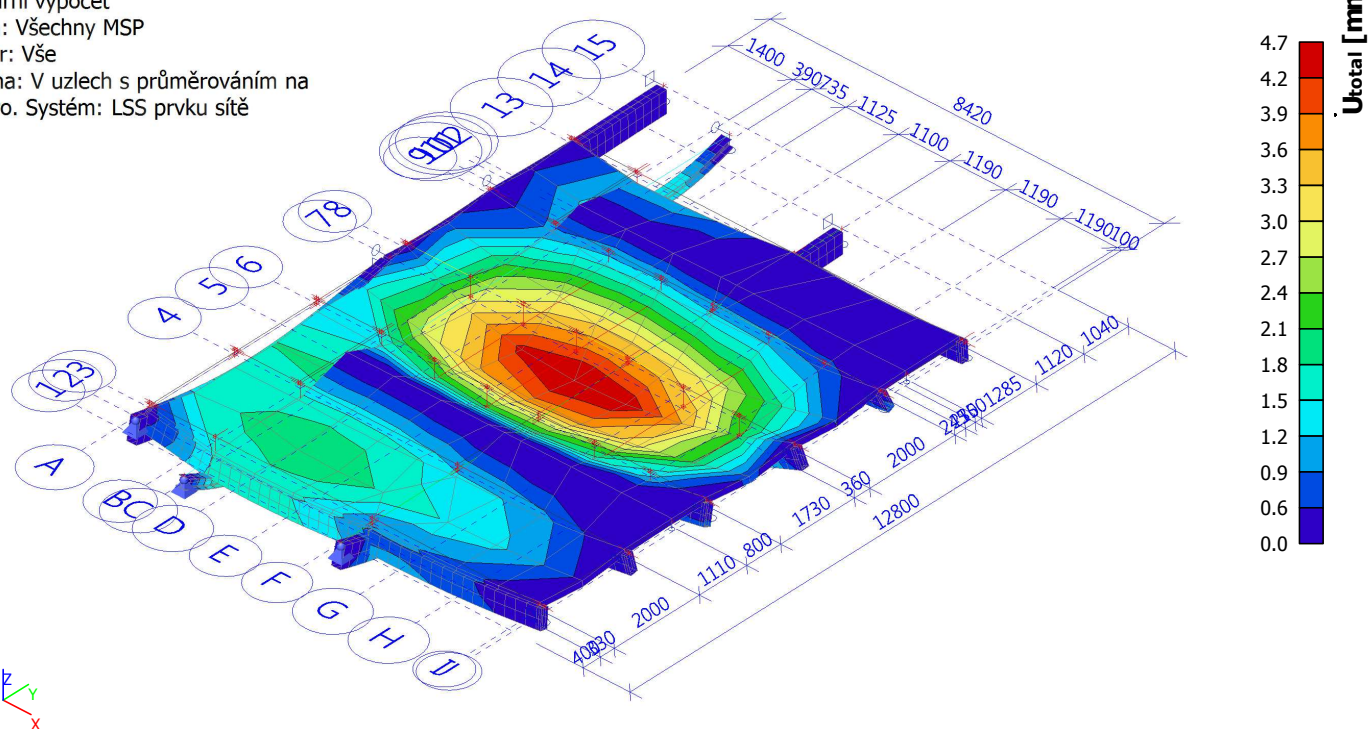
Hodnoty: **U<sub>total</sub>**

Lineární výpočet

Třída: Všechny MSP

Výběr: Vše

Poloha: V uzlech s průměrováním na makro. Systém: LSS prvku síť



Hodnoty:  $U_{total}$ 

Lineární výpočet

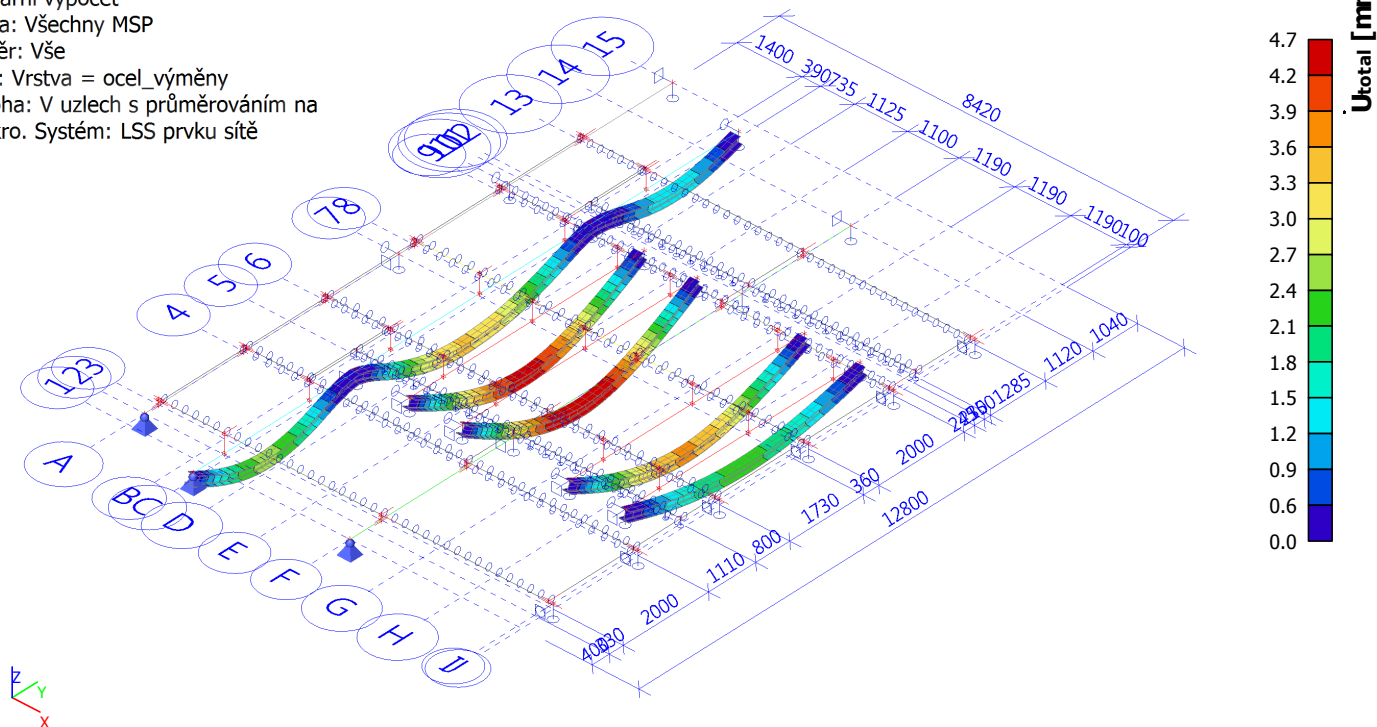
Třída: Všechny MSP

Výběr: Vše

Filtr: Vrstva = ocel\_výměny

Poloha: V uzlech s průměrováním na

makro. Systém: LSS prvku sítě



### 3.3. Reakce; $R_z$ (charakteristické hodnoty)

Lineární výpočet, Extrém : Uzel

Výběr : Sn11, Sn12, Sn17, Sn18, Sn19, Sn20, Sn21, Sn22, Sn23, Sn24, Sn25, Sn26, Sle4, Sle5, Sle6, Sle7

Třída : Všechny MSP

Podpora	Stav	dx [m]	Rx [kN]	Ry [kN]	Rz [kN]
Sn11/N29	MSP-Char (auto)/5		0,00	0,00	20,07
Sn11/N29	MSP-Char (auto)/6		0,00	0,00	21,41
Sn12/N28	MSP-Char (auto)/5		0,00	0,00	22,21
Sn12/N28	MSP-Char (auto)/6		0,00	0,00	26,03
Sn17/N67	MSP-Char (auto)/5		0,00	0,00	117,74
Sn17/N67	MSP-Char (auto)/6		0,00	0,00	142,07
Sn18/N70	MSP-Char (auto)/5		0,00	0,00	91,19
Sn18/N70	MSP-Char (auto)/6		0,00	0,00	109,41
Sn19/N84	MSP-Char (auto)/6		0,00	0,00	9,87
Sn19/N84	MSP-Char (auto)/5		0,00	0,00	7,84
Sn20/N85	MSP-Char (auto)/5		0,00	0,00	5,86
Sn20/N85	MSP-Char (auto)/6		0,00	0,00	7,34
Sn20/N86	MSP-Char (auto)/5		0,00	0,00	8,99
Sn21/N86	MSP-Char (auto)/6		0,00	0,00	11,62
Sn22/N90	MSP-Char (auto)/5		0,00	0,00	5,78
Sn22/N90	MSP-Char (auto)/6		0,00	0,00	7,31
Sn23/N97	MSP-Char (auto)/6		0,00	0,00	11,32
Sn23/N97	MSP-Char (auto)/5		0,00	0,00	8,68

Podpora	Stav	dx [m]	Rx [kN]	Ry [kN]	Rz [kN]
Sn24/N98	MSP-Char (auto)/5		0,00	0,00	5,03
Sn24/N98	MSP-Char (auto)/6		0,00	0,00	6,52
Sn25/N102	MSP-Char (auto)/6		0,00	0,00	7,76
Sn25/N102	MSP-Char (auto)/5		0,00	0,00	5,95
Sn26/N103	MSP-Char (auto)/5		0,00	0,00	5,10
Sn26/N103	MSP-Char (auto)/6		0,00	0,00	6,63
Sle4/S8	MSP-Char (auto)/5	0,000	0,00	0,00	-0,33
Sle4/S8	MSP-Char (auto)/8	0,000	0,00	0,00	-0,90
Sle4/S8	MSP-Char (auto)/6	1,005	0,00	0,00	10,68
Sle5/S10	MSP-Char (auto)/5	0,000	0,00	0,00	-2,29
Sle5/S10	MSP-Char (auto)/8	0,000	0,00	0,00	-3,23
Sle5/S10	MSP-Char (auto)/6	1,071	0,00	0,00	10,85
Sle6/S12	MSP-Char (auto)/5	0,000	0,00	0,00	0,42
Sle6/S12	MSP-Char (auto)/7	0,000	0,00	0,00	-0,14
Sle6/S12	MSP-Char (auto)/6	2,010	0,00	0,00	9,34
Sle7/S14	MSP-Char (auto)/5	0,000	0,00	0,00	-3,64
Sle7/S14	MSP-Char (auto)/7	0,000	0,00	0,00	-4,85
Sle7/S14	MSP-Char (auto)/6	1,071	0,00	0,00	10,60

### 3.4. Reakce; $R_z$ (návrhové hodnoty)

Lineární výpočet, Extrém : Uzel

Výběr : Sn11, Sn12, Sn17, Sn18, Sn19, Sn20, Sn21, Sn22, Sn23, Sn24, Sn25, Sn26, Sle4, Sle5, Sle6, Sle7

Třída : Všechny MSU

Podpora	Stav	dx [m]	Rx [kN]	Ry [kN]	Rz [kN]
Sn11/N29	MSU-Sada B (auto)/5		0,00	0,00	20,07
Sn11/N29	MSU-Sada B (auto)/1		0,00	0,00	28,50

Podpora	Stav	dx [m]	Rx [kN]	Ry [kN]	Rz [kN]
Sn11/N29	MSÚ-Sada B (auto)/9		0,00	<b>0,00</b>	27,09
Sn12/N28	MSÚ-Sada B (auto)/5		<b>0,00</b>	<b>0,00</b>	<b>22,21</b>
Sn12/N28	MSÚ-Sada B (auto)/1		<b>0,00</b>	<b>0,00</b>	<b>34,00</b>
Sn12/N28	MSÚ-Sada B (auto)/9		0,00	0,00	29,98
Sn17/N67	MSÚ-Sada B (auto)/9		<b>0,00</b>	<b>0,00</b>	158,95
Sn17/N67	MSÚ-Sada B (auto)/5		0,00	0,00	<b>117,74</b>
Sn17/N67	MSÚ-Sada B (auto)/1		0,00	0,00	<b>184,49</b>
Sn18/N70	MSÚ-Sada B (auto)/9		<b>0,00</b>	<b>0,00</b>	123,11
Sn18/N70	MSÚ-Sada B (auto)/5		0,00	0,00	<b>91,19</b>
Sn18/N70	MSÚ-Sada B (auto)/1		0,00	0,00	<b>142,24</b>
Sn19/N84	MSÚ-Sada B (auto)/1		<b>0,00</b>	0,00	<b>12,71</b>
Sn19/N84	MSÚ-Sada B (auto)/5		<b>0,00</b>	0,00	<b>7,84</b>
Sn19/N84	MSÚ-Sada B (auto)/9		0,00	<b>0,00</b>	10,58
Sn20/N85	MSÚ-Sada B (auto)/9		<b>0,00</b>	<b>0,00</b>	7,90
Sn20/N85	MSÚ-Sada B (auto)/5		0,00	0,00	<b>5,86</b>
Sn20/N85	MSÚ-Sada B (auto)/1		0,00	0,00	<b>9,46</b>
Sn21/N86	MSÚ-Sada B (auto)/9		<b>0,00</b>	<b>0,00</b>	12,14
Sn21/N86	MSÚ-Sada B (auto)/4		<b>0,00</b>	0,00	12,94
Sn21/N86	MSÚ-Sada B (auto)/5		0,00	0,00	<b>8,99</b>
Sn21/N86	MSÚ-Sada B (auto)/1		0,00	0,00	<b>14,90</b>
Sn21/N86	MSÚ-Sada B (auto)/2		0,00	0,00	14,27
Sn22/N90	MSÚ-Sada B (auto)/9		<b>0,00</b>	<b>0,00</b>	7,80
Sn22/N90	MSÚ-Sada B (auto)/5		0,00	0,00	<b>5,78</b>
Sn22/N90	MSÚ-Sada B (auto)/1		0,00	0,00	<b>9,41</b>
Sn23/N97	MSÚ-Sada B (auto)/1		<b>0,00</b>	0,00	<b>14,49</b>
Sn23/N97	MSÚ-Sada B (auto)/5		<b>0,00</b>	0,00	<b>8,68</b>
Sn23/N97	MSÚ-Sada B (auto)/9		0,00	<b>0,00</b>	11,71
Sn24/N98	MSÚ-Sada B (auto)/9		<b>0,00</b>	<b>0,00</b>	6,79
Sn24/N98	MSÚ-Sada B (auto)/5		0,00	0,00	<b>5,03</b>
Sn24/N98	MSÚ-Sada B (auto)/1		0,00	0,00	<b>8,35</b>
Sn25/N102	MSÚ-Sada B (auto)/1		<b>0,00</b>	0,00	<b>9,94</b>
Sn25/N102	MSÚ-Sada B (auto)/5		<b>0,00</b>	0,00	<b>5,95</b>
Sn25/N102	MSÚ-Sada B (auto)/9		0,00	<b>0,00</b>	8,03
Sn26/N103	MSÚ-Sada B (auto)/9		<b>0,00</b>	<b>0,00</b>	6,88
Sn26/N103	MSÚ-Sada B (auto)/5		0,00	0,00	<b>5,10</b>
Sn26/N103	MSÚ-Sada B (auto)/1		0,00	0,00	<b>8,49</b>
Sle4/S8	MSÚ-Sada B (auto)/9	0,000	<b>0,00</b>	<b>0,00</b>	-0,45
Sle4/S8	MSÚ-Sada B (auto)/13	0,000	0,00	0,00	<b>-1,23</b>
Sle4/S8	MSÚ-Sada B (auto)/2	1,005	0,00	0,00	<b>13,43</b>
Sle5/S10	MSÚ-Sada B (auto)/9	0,000	<b>0,00</b>	<b>0,00</b>	-3,10
Sle5/S10	MSÚ-Sada B (auto)/3	0,000	0,00	0,00	<b>-4,08</b>
Sle5/S10	MSÚ-Sada B (auto)/2	1,071	0,00	0,00	<b>13,73</b>
Sle6/S12	MSÚ-Sada B (auto)/9	0,000	<b>0,00</b>	<b>0,00</b>	0,57
Sle6/S12	MSÚ-Sada B (auto)/14	0,000	0,00	0,00	<b>-0,42</b>
Sle6/S12	MSÚ-Sada B (auto)/2	2,010	0,00	0,00	<b>11,80</b>
Sle7/S14	MSÚ-Sada B (auto)/9	0,000	<b>0,00</b>	<b>0,00</b>	-4,91
Sle7/S14	MSÚ-Sada B (auto)/10	0,000	0,00	0,00	<b>-6,19</b>
Sle7/S14	MSÚ-Sada B (auto)/2	1,071	0,00	0,00	<b>13,40</b>

### 3.5. Reakce; $R_z$ -podpory ocelových nosníků

Hodnoty:  $R_z$ 

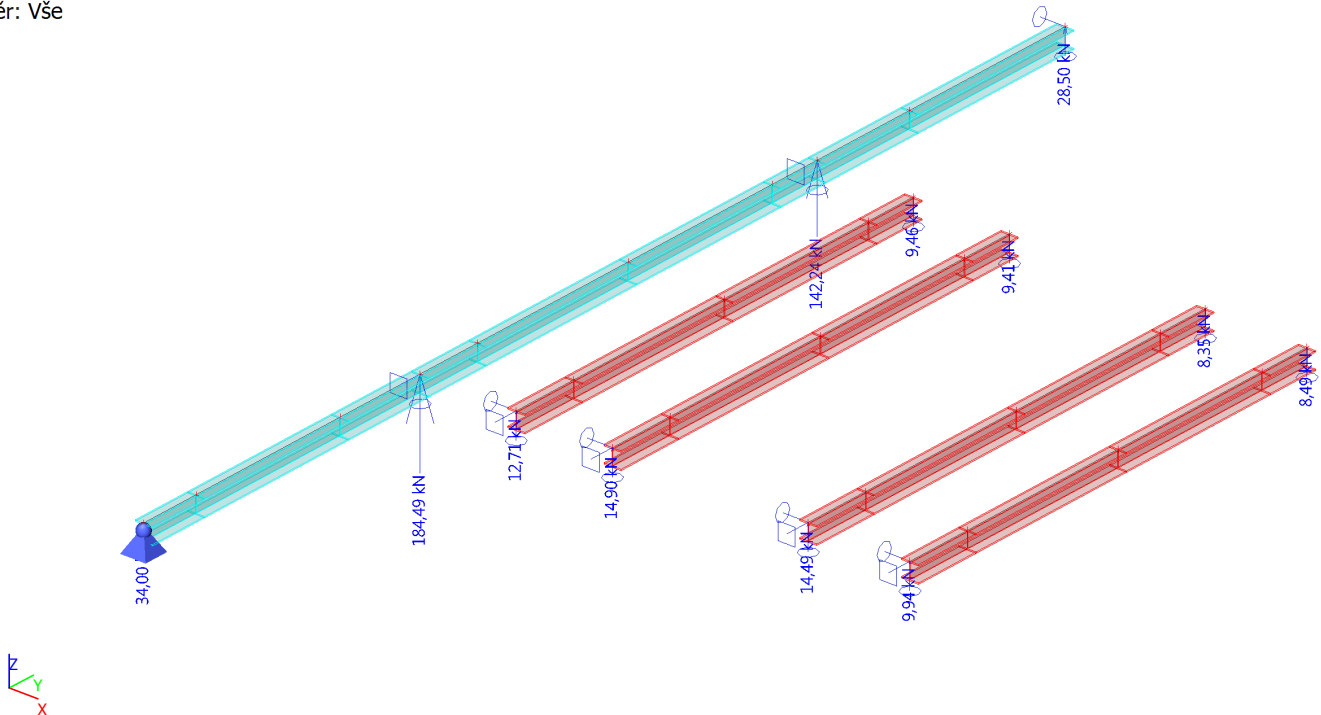
Lineární výpočet

Třída: Všechny MSU

Systém: Globální

Extrém: Dílec

Výběr: Vše



### 3.6. Reakce; $R_z$ -všechny podpory

Hodnoty:  $R_z$ 

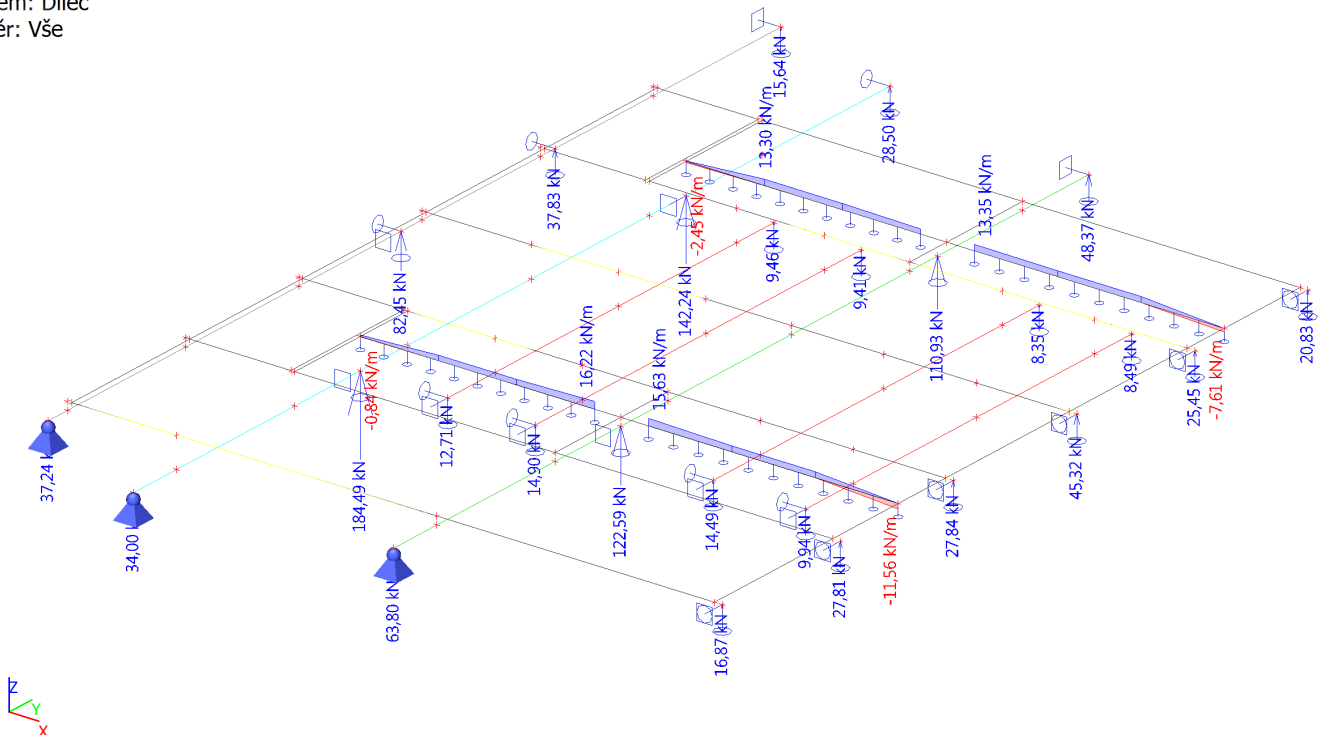
Lineární výpočet

Třída: Všechny MSU

Systém: Globální

Extrém: Dílec

Výběr: Vše



## 4. Posudek

### 4.1. Posudek ocelových prvků na MSÚ EC-EN 1993

Lineární výpočet

Třída: Všechny MSU

Souřadný systém: Hlavní

Extrém 1D: Průřez

Výběr: Vše

Celkový posudek

Jméno	dx [m]	Stav	Průřez	Materiál	UC <sub>Celkový</sub> [-]	UC <sub>Průřez</sub> [-]	UC <sub>Stabilita</sub> [-]
B18	1,110	MSÚ-Sada B (auto)/1	N1 - HEB200	S 235	<b>0,60</b>	0,45	0,60
B44	2,090	MSÚ-Sada B (auto)/1	N2 - HEB200	S 235	<b>0,17</b>	0,17	0,00

Jméno	Klíč kombinace
MSÚ-Sada B (auto)/1	1.35*ZS1 + 1.35*ZS2 + 1.35*ZS3 + 1.05*ZS4

Hodnoty: UC<sub>Celkový</sub>

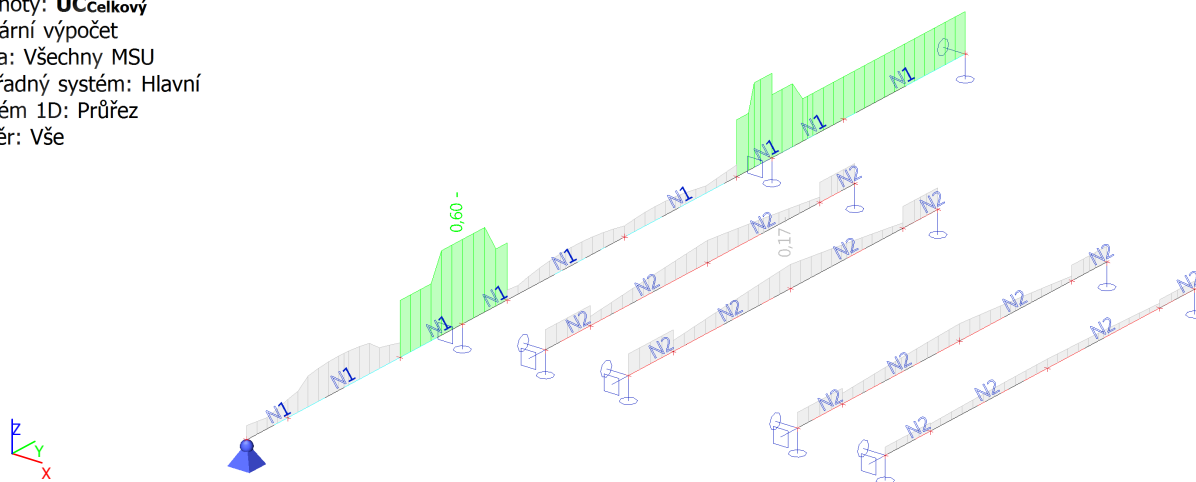
Lineární výpočet

Třída: Všechny MSU

Souřadný systém: Hlavní

Extrém 1D: Průřez

Výběr: Vše



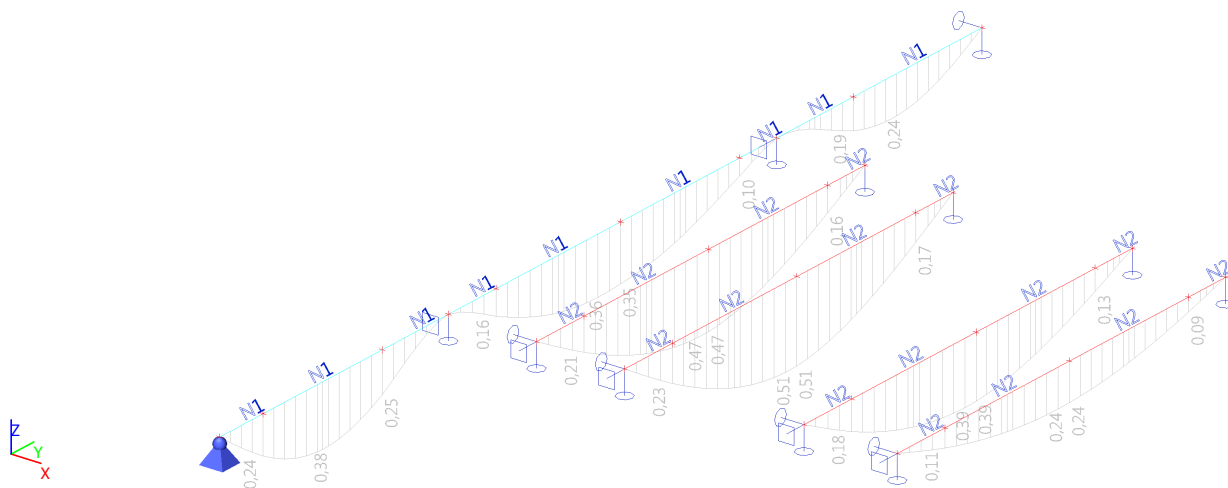
### 4.2. Relativní deformace

Lineární výpočet, Extrém : Globální, Systém : Hlavní

Výběr : Vše

Třída : Všechny MSP

Dílec	dx [m]	Stav - kombinace	uy [mm]	Rel uy [1/xx]	uz [mm]	Rel uz [1/xx]	Posudek uy [-]	Posudek uz [-]
B54	0,625	MSP-Char (auto)/6	<b>-0,2</b>	1/10000	0,0	0	0,02	0,00
B40	0,625	MSP-Char (auto)/6	<b>0,4</b>	<b>1/10000</b>	0,0	0	<b>0,04</b>	0,00
B3	0,000	MSP-Char (auto)/6	0,0	<b>1/5740</b>	0,0	1/1165	<b>0,03</b>	0,17
B44	1,900	MSP-Char (auto)/6	0,1	1/10000	<b>-4,7</b>	<b>1/1177</b>	0,01	<b>0,51</b>
B9	0,000	MSP-Char (auto)/6	0,0	1/10000	<b>0,1</b>	<b>1/424</b>	0,01	<b>0,47</b>



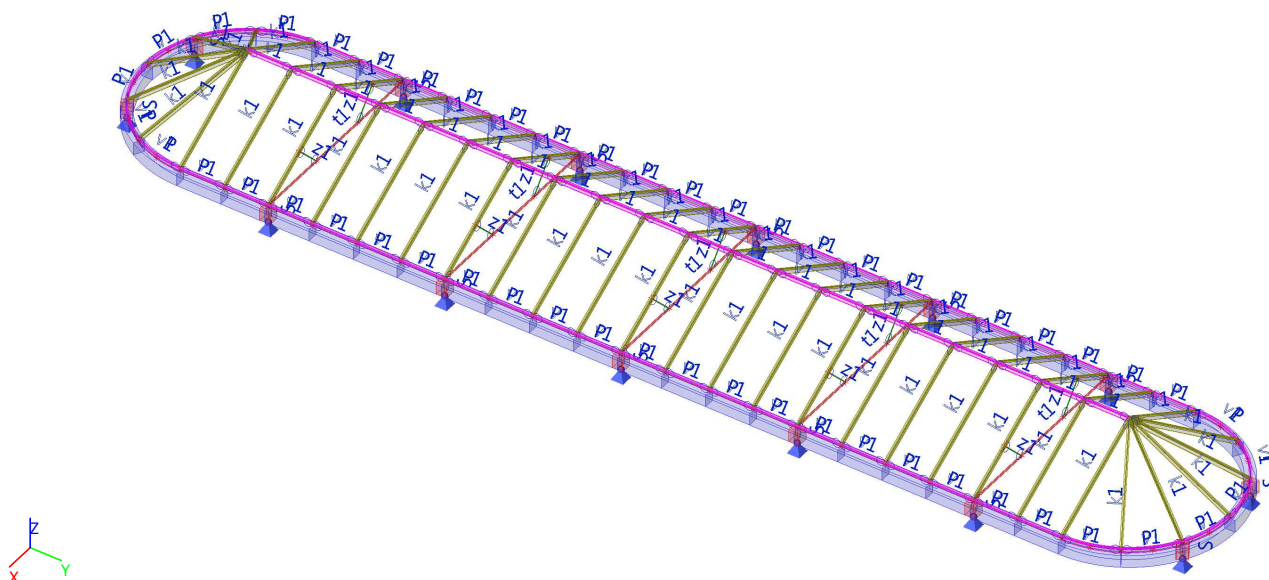


## 1. Obsah

1. Obsah	1
2. Data	1
2.1. Výpočtový model	1
2.2. Materiály	1
2.3. Průřezy	2
2.4. Zatěžovací stavy	3
2.4.1. Zatěžovací stavy - ZS1	3
2.4.1.1. ZS1 / Hodnota pro výpočet	3
2.4.2. Zatěžovací stavy - ZS2	3
2.4.2.1. ZS1 / Hodnota pro výpočet	4
2.4.3. Zatěžovací stavy - ZS3	4
2.4.3.1. ZS1 / Hodnota pro výpočet	4
2.4.4. Zatěžovací stavy - ZS4	4
2.4.4.1. ZS1 / Hodnota pro výpočet	5
2.4.5. Zatěžovací stavy - ZS5	5
2.4.5.1. ZS1 / Hodnota pro výpočet	5
2.4.6. Zatěžovací stavy - 3DVitr1	5
2.4.6.1. ZS1 / Hodnota pro výpočet	6
2.4.7. Zatěžovací stavy - 3DVitr2	6
2.4.7.1. ZS1 / Hodnota pro výpočet	6
2.4.8. Zatěžovací stavy - 3DVitr3	6
2.4.8.1. ZS1 / Hodnota pro výpočet	7
2.4.9. Zatěžovací stavy - 3DVitr4	7
2.4.9.1. ZS1 / Hodnota pro výpočet	7
3. Výsledky	7
3.1. Vnitřní síly na prutu	7
3.2. 3D přemístění	9
4. Posudek	10
4.1. Posudek ocelových prvků na MSÚ EC-EN 1993	10
4.2. Relativní deformace	11
4.3. Požární odolnost ocelových prvků EC-EN 1993	11

## 2. Data

### 2.1. Výpočtový model



### 2.2. Materiály

Ocel EC3

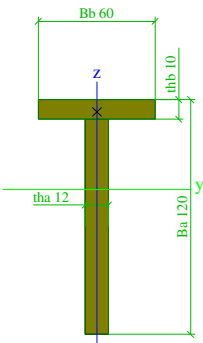
Jméno	Jednotková hmotnost [kg/m <sup>3</sup> ]	E [MPa] G [MPa]	Poisson - nu Tep.roztaž. [m/mK]	Dolní mez [mm]	Horní mez [mm]	Fy (rozsah) [MPa]	Fu (rozsah) [MPa]
S 235	7850,0	2,1000e+05 8,0769e+04	0.3 0,00	0 40	40 80	235,0 215,0	360,0 360,0

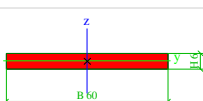
Jméno	Jednotková hmotnost [kg/m <sup>3</sup> ]	E [MPa] G [MPa]	Poisson - nu Tep.roztaž. [m/mK]	Dolní mez [mm]	Horní mez [mm]	Fy (rozsah) [MPa]	Fu (rozsah) [MPa]
S 355	7850,0	2,1000e+05 8,0769e+04	0.3 0,00	0 40	40 80	355,0 335,0	490,0 470,0

Beton EC2

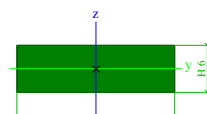
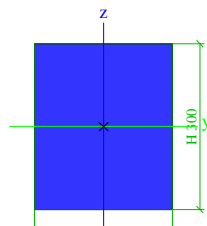
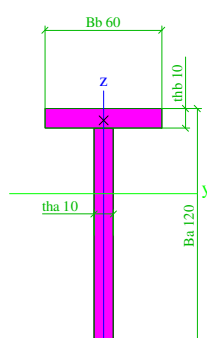
Jméno	Typ	Jednotková hmotnost [kg/m <sup>3</sup> ]	E [MPa]	Poisson - nu	Tep.roztaž. [m/mK]	Charakteristická válnová pevnost v tlaku fck(28) [MPa]
C20/25	Beton	2500,0	3,0000e+04	0.2	0,00	20,00

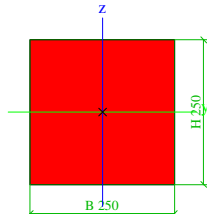
## 2.3. Průřezy

k1		
Typ	Tw	
Detailní	120; 12; 60; 10	
Kód tvaru	6 - T průřez	
Typ tvaru	Tenkostěnný	
Materiál	S 355	
Výroba	svařovaný	
Posudek rovinného vzpěru y-y, Posudek rovinného vzpěru z-z	c	c
Obrázek		

t1		
Typ	Plný obdélník	
Detailní	6; 60	
Kód tvaru	7 - Plný obdélníkový průřez	
Typ tvaru	Tenkostěnný	
Materiál	S 355	
Výroba	válcovaný	
Posudek rovinného vzpěru y-y, Posudek rovinného vzpěru z-z	c	c
Obrázek		

z1		
Typ	Plný obdélník	
Detailní	6; 20	
Kód tvaru	7 - Plný obdélníkový průřez	
Typ tvaru	Tenkostěnný	
Materiál	S 355	
Výroba	válcovaný	
Posudek rovinného vzpěru y-y, Posudek rovinného vzpěru z-z	c	c

Obrázek			
P			
Typ	Obdélník		
Detailní	300; 250		
Typ tvaru	Tlustostěnný		
Materiál	C20/25		
Výroba	beton		
Obrázek			
v1			
Typ	Tw		
Detailní	120; 10; 60; 10		
Kód tvaru	6 - T průřez		
Typ tvaru	Tenkostěnný		
Materiál	S 355		
Výroba	svařovaný		
Posudek rovinného vzpěru y-y, Posudek rovinného vzpěru z-z	c		c
Obrázek			
S			
Typ	Obdélník		
Detailní	250; 250		
Typ tvaru	Tlustostěnný		

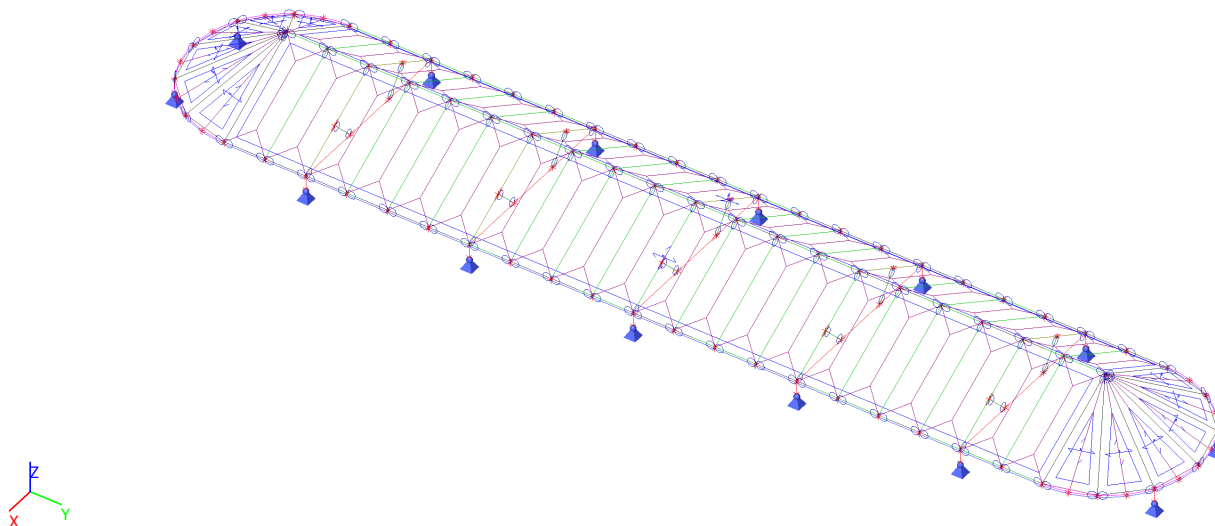
Materiál	C20/25	
Výroba	beton	
Obrázek		

**Vysvětlivky symbolů**

Kód tvaru	h - Výška b - Šířka pásnice t - Tloušťka pásnice s - Tloušťky stojiny r - Poloměr u přechodu pásnice a stojiny r1 - Poloměr u hrany pásnice r2 - Poloměr u přechodu pásnice a stojiny a1 - Sklon pásnice a2 - Sklon stojiny
-----------	---

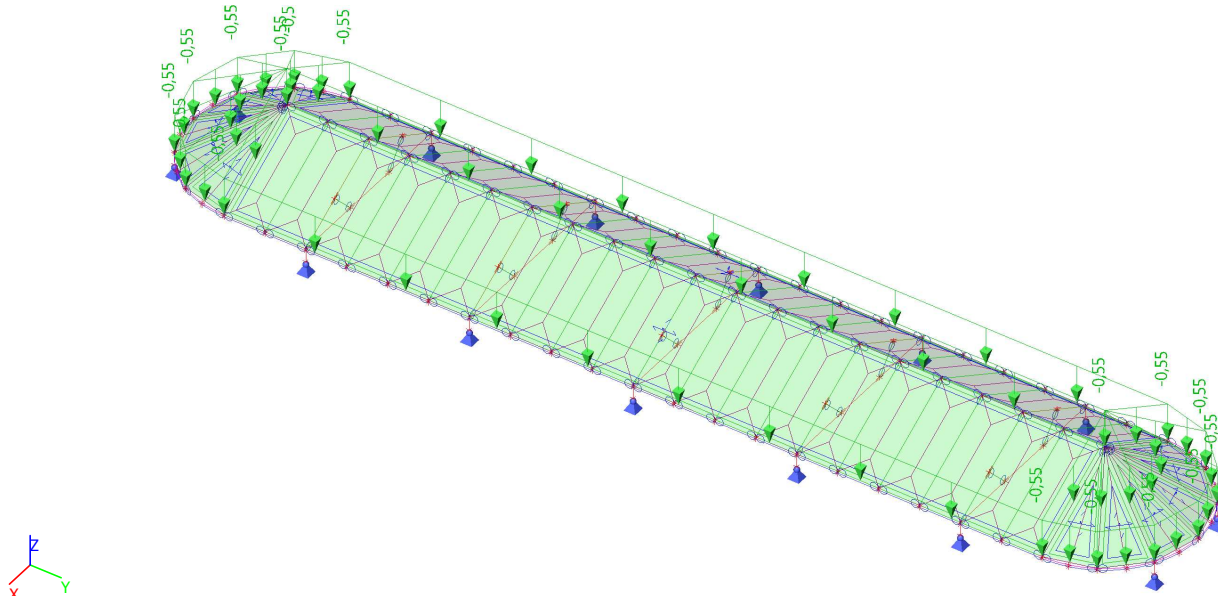
**2.4. Zatěžovací stavy****2.4.1. Zatěžovací stavy - ZS1**

Jméno	Popis	Typ zatížení	Skupina zatížení
ZS1	Vlastní tíha	Vlastní tíha	SZ1

**2.4.1.1. ZS1 / Hodnota pro výpočet****2.4.2. Zatěžovací stavy - ZS2**

Jméno	Popis	Typ zatížení	Skupina zatížení
ZS2	sklo	Standard	SZ1

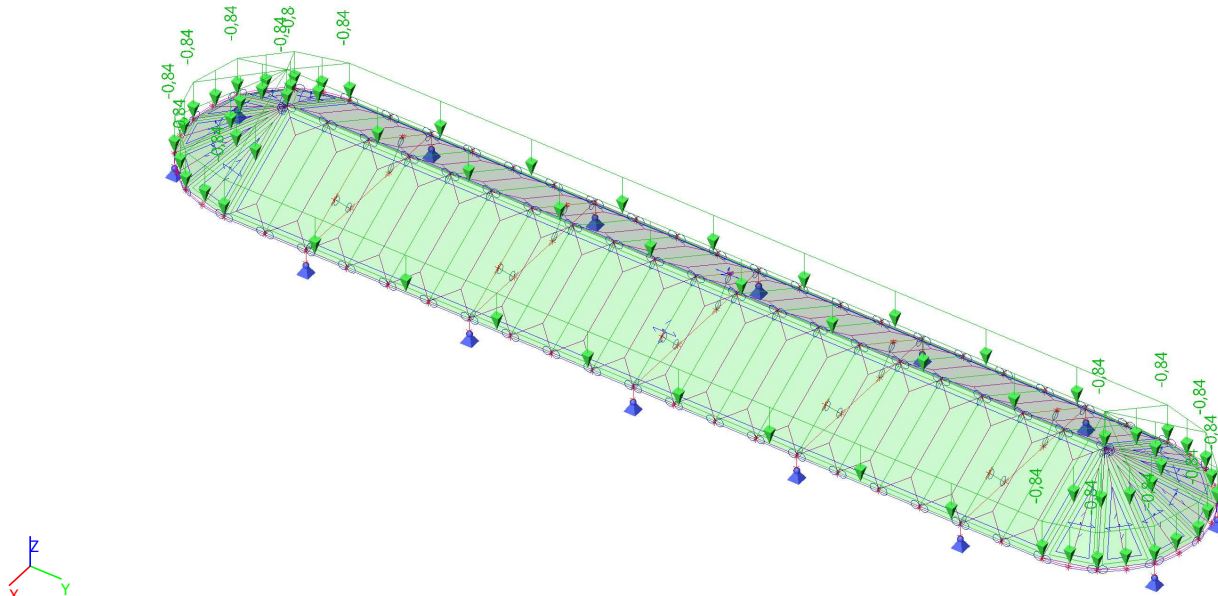
#### 2.4.2.1. ZS1 / Hodnota pro výpočet



### 2.4.3. Zatěžovací stavy - ZS3

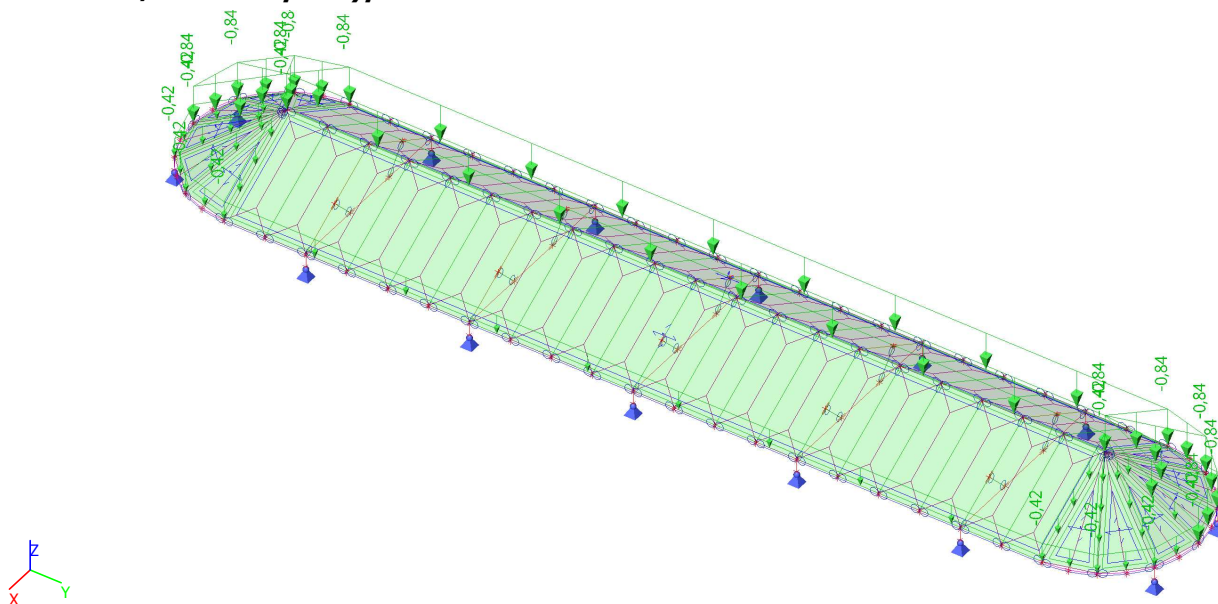
Jméno	Popis	Typ zatížení	Skupina zatížení
ZS3	sníh (1:1)	Statické	snow

#### 2.4.3.1. ZS1 / Hodnota pro výpočet

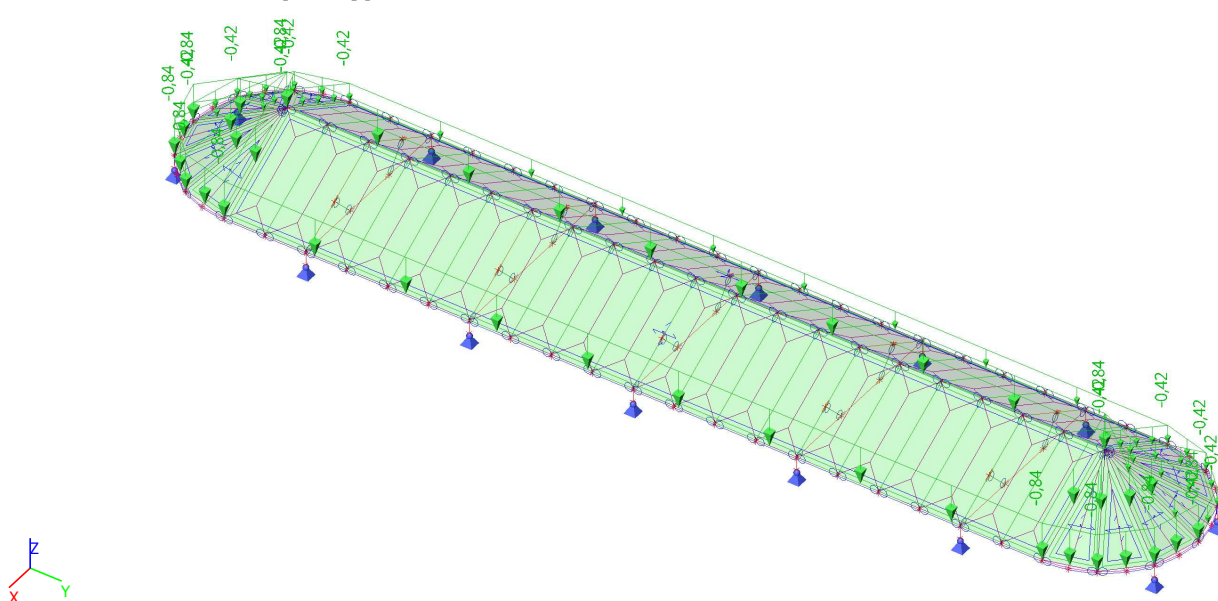


#### 2.4.4. Zatěžovací stavy - ZS4

Jméno	Popis	Typ zatížení	Skupina zatížení
ZS4	sníh (1;0,5)	Statické	snow

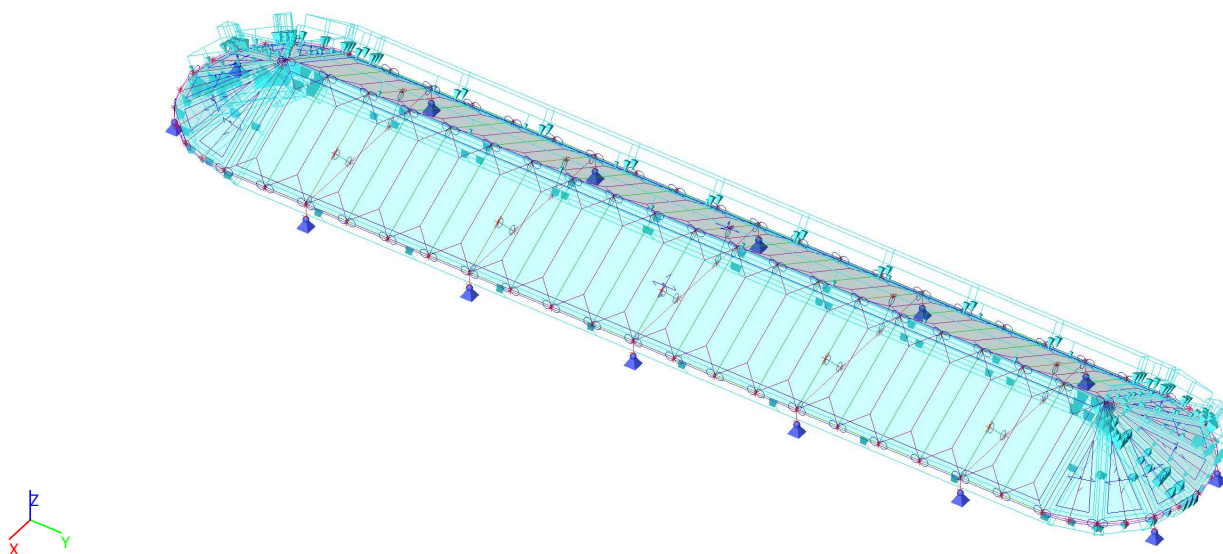
**2.4.4.1. ZS1 / Hodnota pro výpočet****2.4.5. Zatěžovací stavy - ZS5**

Jméno	Popis	Typ zatížení	Skupina zatížení
ZS5	sníh (0,5;1)	Statické	snow

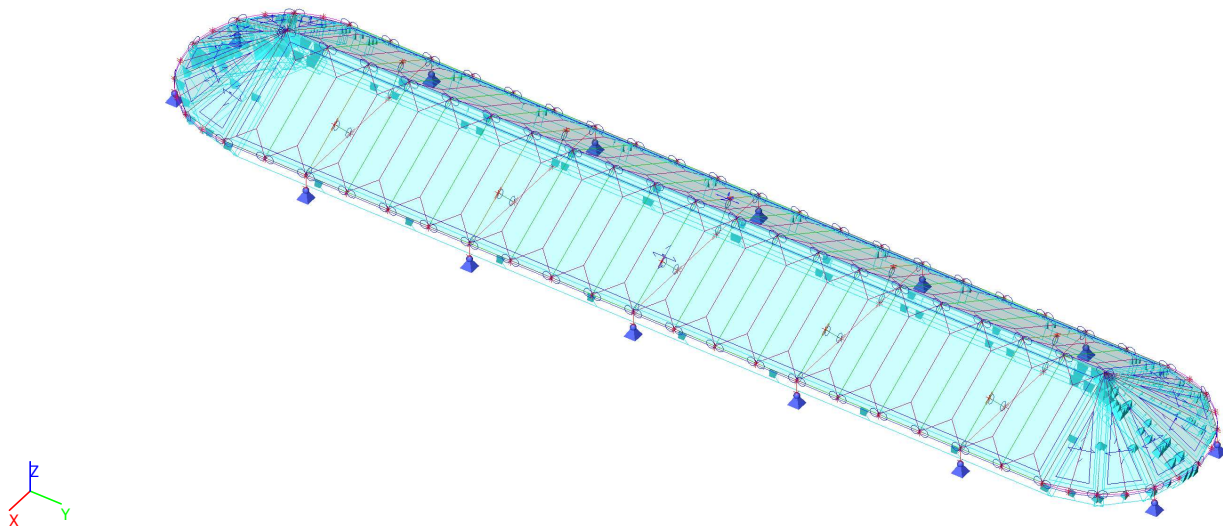
**2.4.5.1. ZS1 / Hodnota pro výpočet****2.4.6. Zatěžovací stavy - 3DVítr1**

Jméno	Popis	Typ zatížení	Skupina zatížení
3DVítr1	0, + CPE, + CPI	Statické	snow2

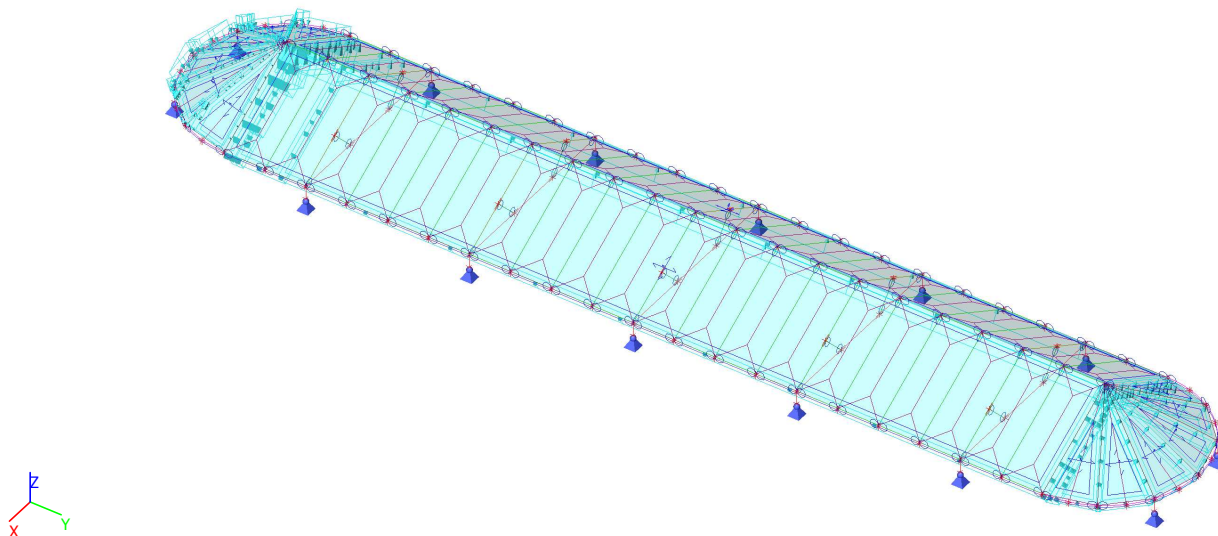


**2.4.6.1. ZS1 / Hodnota pro výpočet****2.4.7. Zatěžovací stavy - 3DVítr2**

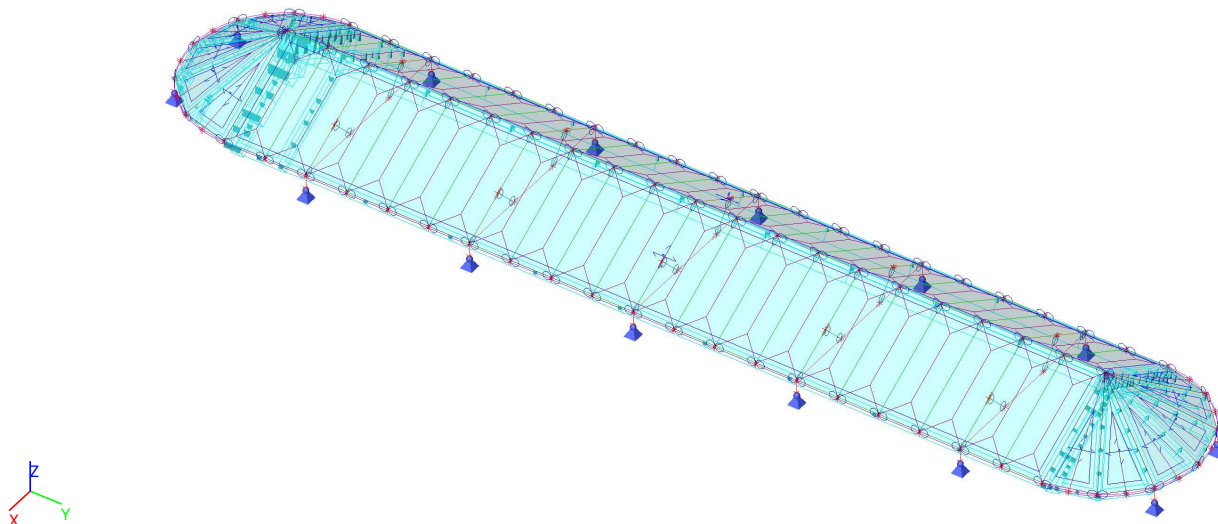
Jméno	Popis	Typ zatížení	Skupina zatížení
3DVítr2	0, - CPE, + CPI	Statické	snow2

**2.4.7.1. ZS1 / Hodnota pro výpočet****2.4.8. Zatěžovací stavy - 3DVítr3**

Jméno	Popis	Typ zatížení	Skupina zatížení
3DVítr3	90, + CPE, + CPI	Statické	snow2

**2.4.8.1. ZS1 / Hodnota pro výpočet****2.4.9. Zatěžovací stavy - 3DVitr4**

Jméno	Popis	Typ zatížení	Skupina zatížení
3DVitr4	90, - CPE, + CPI	Statické	snow2

**2.4.9.1. ZS1 / Hodnota pro výpočet****3. Výsledky****3.1. Vnitřní síly na prutu**

Nelineární výpočet, Extrém : Průřez, Systém : Hlavní

Výběr : Vše

Třída : RC\_NK\_MSÚ-Sada B (auto)

Dílec	css	dx [m]	Stav	N [kN]	Vy [kN]	Vz [kN]	Mx [kNm]	My [kNm]	Mz [kNm]
B121	k1 - Tw	0,000	NK_MSÚ-Sada B (auto).4	<b>-11,26</b>	0,01	1,48	0,01	-0,01	-0,01
B129	k1 - Tw	2,806	NK_MSÚ-Sada B (auto).9	<b>4,79</b>	-0,01	-1,11	0,00	0,00	-0,01

Dílec	css	dx [m]	Stav	N [kN]	Vy [kN]	Vz [kN]	Mx [kNm]	My [kNm]	Mz [kNm]
B131	k1 - Tw	0,000	NK_MSÚ-Sada B (auto).7	-6,49	<b>-0,10</b>	1,15	<b>-0,01</b>	-0,01	0,01
B120	k1 - Tw	0,000	NK_MSÚ-Sada B (auto).7	-6,49	<b>0,10</b>	1,15	<b>0,01</b>	-0,01	-0,01
B33	k1 - Tw	2,806	NK_MSÚ-Sada B (auto).4	-4,34	0,00	<b>-2,48</b>	0,00	0,00	0,00
B5	k1 - Tw	0,000	NK_MSÚ-Sada B (auto).8	-5,99	0,00	<b>2,50</b>	0,00	0,00	0,00
B4	k1 - Tw	1,403	NK_MSÚ-Sada B (auto).2	0,40	0,00	0,00	0,00	<b>-0,40</b>	0,00
B28	k1 - Tw	1,403	NK_MSÚ-Sada B (auto).4	-5,56	0,00	0,00	0,00	<b>2,02</b>	0,00
B131	k1 - Tw	1,091	NK_MSÚ-Sada B (auto).9	-5,22	0,00	0,11	-0,01	0,60	<b>-0,04</b>
B120	k1 - Tw	1,091	NK_MSÚ-Sada B (auto).9	-5,22	0,00	0,11	0,01	0,60	<b>0,04</b>
B109	t1 - Plný obdélník	1,640	NK_MSÚ-Sada B (auto).1	<b>20,27</b>	0,02	0,00	0,00	0,00	0,03
B7	t1 - Plný obdélník	3,120	NK_MSÚ-Sada B (auto).45	6,92	<b>-0,07</b>	0,00	0,00	0,00	-0,02
B109	t1 - Plný obdélník	0,000	NK_MSÚ-Sada B (auto).68	14,97	<b>0,06</b>	0,00	0,00	0,00	0,00
B115	t1 - Plný obdélník	1,640	NK_MSÚ-Sada B (auto).19	7,90	-0,01	<b>0,00</b>	0,00	0,00	0,03
B7	t1 - Plný obdélník	1,640	NK_MSÚ-Sada B (auto).19	7,90	-0,01	<b>0,00</b>	0,00	0,00	0,03
B7	t1 - Plný obdélník	1,640	NK_MSÚ-Sada B (auto).7	9,82	-0,01	0,00	<b>0,00</b>	0,00	0,03
B115	t1 - Plný obdélník	1,640	NK_MSÚ-Sada B (auto).7	9,82	-0,01	0,00	<b>0,00</b>	0,00	0,03
B115	t1 - Plný obdélník	4,840	NK_MSÚ-Sada B (auto).7	9,72	-0,02	0,00	0,00	<b>0,00</b>	0,00
B7	t1 - Plný obdélník	4,840	NK_MSÚ-Sada B (auto).7	9,72	-0,02	0,00	0,00	<b>0,00</b>	0,00
B7	t1 - Plný obdélník	3,120	NK_MSÚ-Sada B (auto).20	5,46	-0,06	0,00	0,00	0,00	<b>-0,03</b>
B109	t1 - Plný obdélník	3,120	NK_MSÚ-Sada B (auto).6	17,26	0,01	0,00	0,00	0,00	<b>0,05</b>
B8	z1 - Plný obdélník	0,840	NK_MSÚ-Sada B (auto).40	<b>0,00</b>	0,00	0,00	0,00	0,00	0,00
B9	z1 - Plný obdélník	0,000	NK_MSÚ-Sada B (auto).45	<b>0,17</b>	0,00	0,00	0,00	0,00	0,00
B9	z1 - Plný obdélník	0,893	NK_MSÚ-Sada B (auto).11	0,08	<b>0,00</b>	0,00	0,00	0,00	0,00
B9	z1 - Plný obdélník	0,000	NK_MSÚ-Sada B (auto).11	0,09	<b>0,00</b>	0,00	0,00	0,00	0,00
B117	z1 - Plný obdélník	0,000	NK_MSÚ-Sada B (auto).7	0,00	0,00	<b>0,00</b>	0,00	<b>0,00</b>	0,00
B8	z1 - Plný obdélník	0,000	NK_MSÚ-Sada B (auto).7	0,00	0,00	<b>0,00</b>	0,00	<b>0,00</b>	0,00
B116	z1 - Plný obdélník	0,000	NK_MSÚ-Sada B (auto).4	0,11	0,00	0,00	<b>0,00</b>	0,00	0,00
B9	z1 - Plný obdélník	0,000	NK_MSÚ-Sada B (auto).4	0,11	0,00	0,00	<b>0,00</b>	0,00	0,00
B9	z1 - Plný obdélník	0,446	NK_MSÚ-Sada B (auto).11	0,08	0,00	0,00	0,00	0,00	<b>0,00</b>
B10	v1 - Tw	0,000	NK_MSÚ-Sada B (auto).1	<b>-17,61</b>	-0,07	<b>0,61</b>	0,00	0,00	0,05
B15	v1 - Tw	0,000	NK_MSÚ-Sada B (auto).4	<b>14,01</b>	0,16	0,24	0,00	0,02	-0,03
B136	v1 - Tw	0,000	NK_MSÚ-Sada B (auto).4	2,82	<b>-0,77</b>	0,10	-0,01	0,00	0,16
B125	v1 - Tw	0,000	NK_MSÚ-Sada B (auto).4	2,82	<b>0,77</b>	0,10	0,01	0,00	-0,16
B10	v1 - Tw	1,060	NK_MSÚ-Sada B	-17,61	-0,07	<b>-0,61</b>	0,00	0,00	-0,02



Dílec	css	dx [m]	Stav	N [kN]	Vy [kN]	Vz [kN]	Mx [kNm]	My [kNm]	Mz [kNm]
			(auto).1						
B123	v1 - Tw	1,267	NK_MSÚ-Sada B (auto).18	-0,60	0,15	-0,09	<b>-0,01</b>	0,00	0,01
B128	v1 - Tw	0,000	NK_MSÚ-Sada B (auto).18	-0,60	-0,14	0,09	<b>0,01</b>	0,00	0,01
B10	v1 - Tw	0,530	NK_MSÚ-Sada B (auto).2	-3,38	0,01	0,01	0,00	<b>-0,02</b>	0,00
B10	v1 - Tw	0,530	NK_MSÚ-Sada B (auto).1	-17,61	-0,07	0,00	0,00	<b>0,21</b>	0,02
B124	v1 - Tw	1,267	NK_MSÚ-Sada B (auto).4	2,60	-0,77	-0,10	-0,01	0,00	<b>-0,17</b>
B135	v1 - Tw	1,267	NK_MSÚ-Sada B (auto).4	2,63	0,59	-0,07	0,01	0,00	<b>0,17</b>
B146	P - Obdélník	0,000	NK_MSÚ-Sada B (auto).4	<b>-12,99</b>	4,65	-11,54	-0,76	2,97	-0,52
B191	P - Obdélník	0,634	NK_MSÚ-Sada B (auto).4	<b>15,83</b>	1,07	-3,07	0,85	-2,47	-0,65
B155	P - Obdélník	0,000	NK_MSÚ-Sada B (auto).4	-4,79	<b>-9,32</b>	-10,33	-0,44	3,62	1,68
B173	P - Obdélník	0,000	NK_MSÚ-Sada B (auto).4	-4,79	<b>9,32</b>	12,57	0,44	-8,51	-8,19
B179	P - Obdélník	1,060	NK_MSÚ-Sada B (auto).1	-9,18	-7,31	<b>-14,43</b>	2,53	-10,51	-4,85
B149	P - Obdélník	0,000	NK_MSÚ-Sada B (auto).1	-9,18	7,31	<b>14,43</b>	-2,53	<b>-10,51</b>	-4,85
B145	P - Obdélník	0,000	NK_MSÚ-Sada B (auto).7	2,10	1,11	-0,78	<b>-4,37</b>	0,80	-1,13
B183	P - Obdélník	0,000	NK_MSÚ-Sada B (auto).7	2,10	-1,11	3,02	<b>4,37</b>	-1,21	0,05
B160	P - Obdélník	0,000	NK_MSÚ-Sada B (auto).4	10,25	2,13	-3,25	-0,69	<b>4,77</b>	-3,49
B155	P - Obdélník	1,060	NK_MSÚ-Sada B (auto).4	-4,79	-9,32	-12,57	-0,44	-8,51	<b>-8,19</b>
B170	P - Obdélník	1,060	NK_MSÚ-Sada B (auto).1	-8,39	8,16	-13,95	-1,76	-9,56	<b>7,60</b>
B199	S - Obdélník	0,000	NK_MSÚ-Sada B (auto).4	<b>-35,28</b>	0,00	1,53	0,00	0,00	0,00
B207	S - Obdélník	0,000	NK_MSÚ-Sada B (auto).1	-20,93	<b>-13,97</b>	-9,33	0,00	0,00	0,00
B197	S - Obdélník	0,000	NK_MSÚ-Sada B (auto).32	-18,26	<b>3,03</b>	-0,98	0,00	0,00	0,00
B192	S - Obdélník	0,000	NK_MSÚ-Sada B (auto).1	-20,93	-1,10	<b>-16,76</b>	0,00	0,00	0,00
B193	S - Obdélník	0,000	NK_MSÚ-Sada B (auto).4	-18,93	-1,98	<b>17,42</b>	0,00	0,00	0,00
B192	S - Obdélník	0,300	NK_MSÚ-Sada B (auto).1	-20,40	-1,10	-16,76	0,00	<b>-5,03</b>	-0,33
B193	S - Obdélník	0,300	NK_MSÚ-Sada B (auto).4	-18,40	-1,98	17,42	0,00	<b>5,23</b>	-0,59
B207	S - Obdélník	0,300	NK_MSÚ-Sada B (auto).1	-20,40	-13,97	-9,33	0,00	-2,80	<b>-4,19</b>
B197	S - Obdélník	0,300	NK_MSÚ-Sada B (auto).32	-17,73	3,03	-0,98	0,00	-0,29	<b>0,91</b>

### 3.2. 3D přemístění

Nelineární výpočet

Třída: RC\_NK\_MSP-Char (auto)

Výběr: Vše

Poloha: V uzlech s průměrováním na makro. Systém: LSS prvku sítě

**Výsledky na 1D dílci:**

Extrém 1D: Globální

Jméno	dx [m]	Vlákn	Stav	u <sub>x</sub> [mm]	u <sub>y</sub> [mm]	u <sub>z</sub> [mm]	φ <sub>x</sub> [mrad]	φ <sub>y</sub> [mrad]	φ <sub>z</sub> [mrad]	U <sub>total</sub> [mm]
B198	0,000	2	NK_MSP-Char (auto).1	0,0	0,0	0,0	0,0	1,4	0,0	<b>0,0</b>
B109	2,462	7	NK_MSP-Char (auto).1	0,0	-3,1	0,0	0,0	0,0	0,0	<b>3,1</b>

Hodnoty: **U<sub>total</sub>**

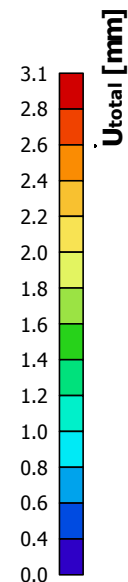
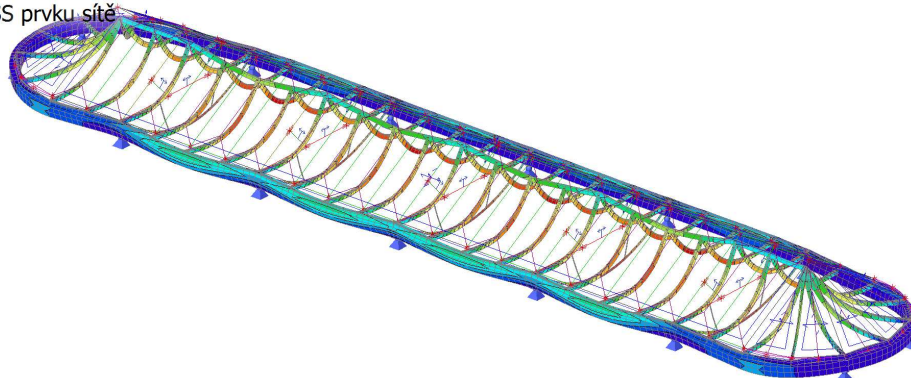
Nelineární výpočet

Třída: RC\_NK\_MSP-Char (auto)

Výběr: Vše

Poloha: V uzlech s průměrováním na

makro. Systém: LSS prvku sítě



## 4. Posudek

### 4.1. Posudek ocelových prvků na MSÚ EC-EN 1993

Nelineární výpočet

Třída: RC\_NK\_MSÚ-Sada B (auto)

Souřadný systém: Hlavní

Extrém 1D: Průřez

Výběr: Vše

Celkový posudek

Jméno	dx [m]	Stav	Průřez	Materiál	UC <sub>Celkový</sub> [-]	UC <sub>Průřez</sub> [-]	UC <sub>Stabilita</sub> [-]
B121	0,624	NK_MSÚ-Sada B (auto).14	k1 - Tw (120; 12; 60; 10)	S 355	<b>0,35</b>	0,06	0,35
B109	1,640+	NK_MSÚ-Sada B (auto).1	t1 - Plný obdélník (6; 60)	S 355	<b>0,16</b>	0,16	0,07
B9	0,446-	NK_MSÚ-Sada B (auto).45	z1 - Plný obdélník (6; 20)	S 355	<b>0,00</b>	0,00	0,00
B10	0,000	NK_MSÚ-Sada B (auto).1	v1 - Tw (120; 10; 60; 10)	S 355	<b>0,10</b>	0,05	0,10

Hodnoty: **UC<sub>Celkový</sub>**

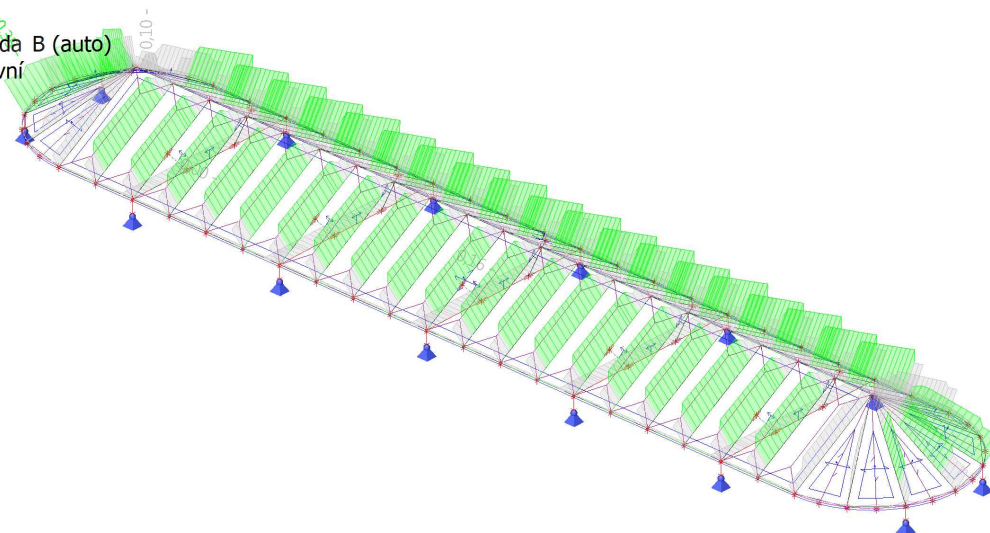
Nelineární výpočet

Třída: RC\_NK\_MSÚ-Sada B (auto)

Souřadný systém: Hlavní

Extrém 1D: Průřez

Výběr: Vše



## 4.2. Relativní deformace

Nelineární výpočet, Extrém : Globální, Systém : Hlavní

Výběr : Vše

Třída : RC\_NK\_MSP-Char (auto)

Dílec	dx [m]	Stav - kombinace	uy [mm]	Rel uy [1/xx]	uz [mm]	Rel uz [1/xx]	Posudek uy [-]	Posudek uz [-]
B175	1,060	NK_MSP-Char (auto).4	<b>-0,7</b>	1/10000	-0,2	1/10000	0,01	0,01
B109	0,000	NK_MSP-Char (auto).4	<b>2,8</b>	<b>1/586</b>	0,0	0	<b>0,34</b>	0,00
B109	2,380	NK_MSP-Char (auto).1	-0,3	<b>1/4464</b>	0,0	0	<b>0,04</b>	0,00
B3	1,403	NK_MSP-Char (auto).9	0,0	1/10000	<b>-1,8</b>	1/1550	0,00	0,16
B53	0,000	NK_MSP-Char (auto).4	0,0	0	<b>2,5</b>	<b>1/517</b>	0,00	<b>0,48</b>
B198	0,300	NK_MSP-Char (auto).8	0,0	0	-0,8	<b>1/379</b>	0,00	<b>0,53</b>

## 4.3. Požární odolnost ocelových prvků EC-EN 1993

Nelineární výpočet

Třída: RC\_NK\_Požár

Souřadný systém: Hlavní

Extrém 1D: Průřez

Výběr: Vše

**Celkový posudek**

Jméno	dx [m]	Stav	Průřez	Materiál	UC <sub>Celkový</sub> [-]	UC <sub>Teplota</sub> [-]	UC <sub>Průřez</sub> [-]	UC <sub>Stabilita</sub> [-]
B121	1,091	NK_Požár.1	k1 - Tw (120; 12; 60; 10)	S 355	<b>0,80</b>	0,00	0,08	0,80
B109	1,640+	NK_Požár.1	t1 - Plný obdélník (6; 60)	S 355	<b>0,32</b>	0,00	0,32	0,15
B9	0,446-	NK_Požár.2	z1 - Plný obdélník (6; 20)	S 355	<b>0,03</b>	0,00	0,01	0,03
B10	0,177	NK_Požár.6	v1 - Tw (120; 10; 60; 10)	S 355	<b>0,31</b>	0,00	0,17	0,31

Hodnoty: **UC<sub>celkový</sub>**

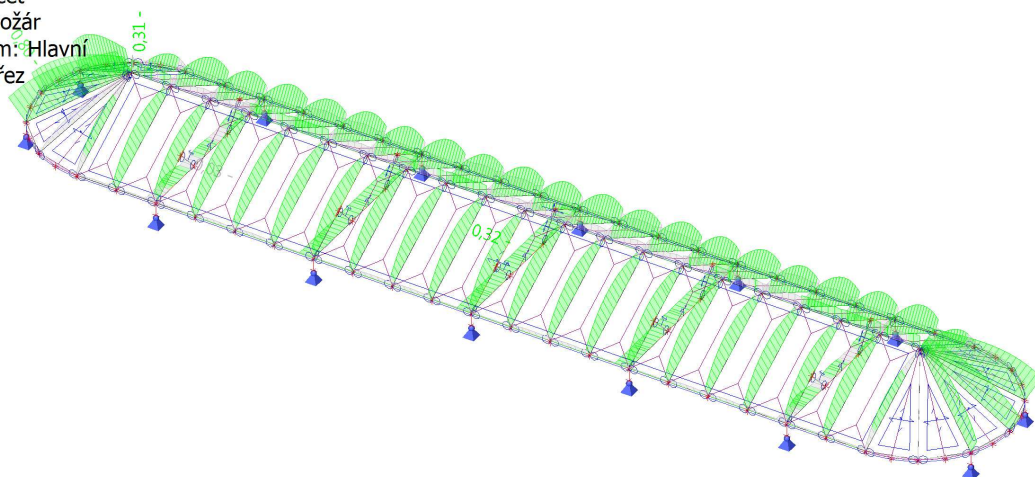
Nelineární výpočet

Třída: RC\_NK\_Požár

Souřadný systém: Hlavní

Extrém 1D: Průřez

Výběr: Vše

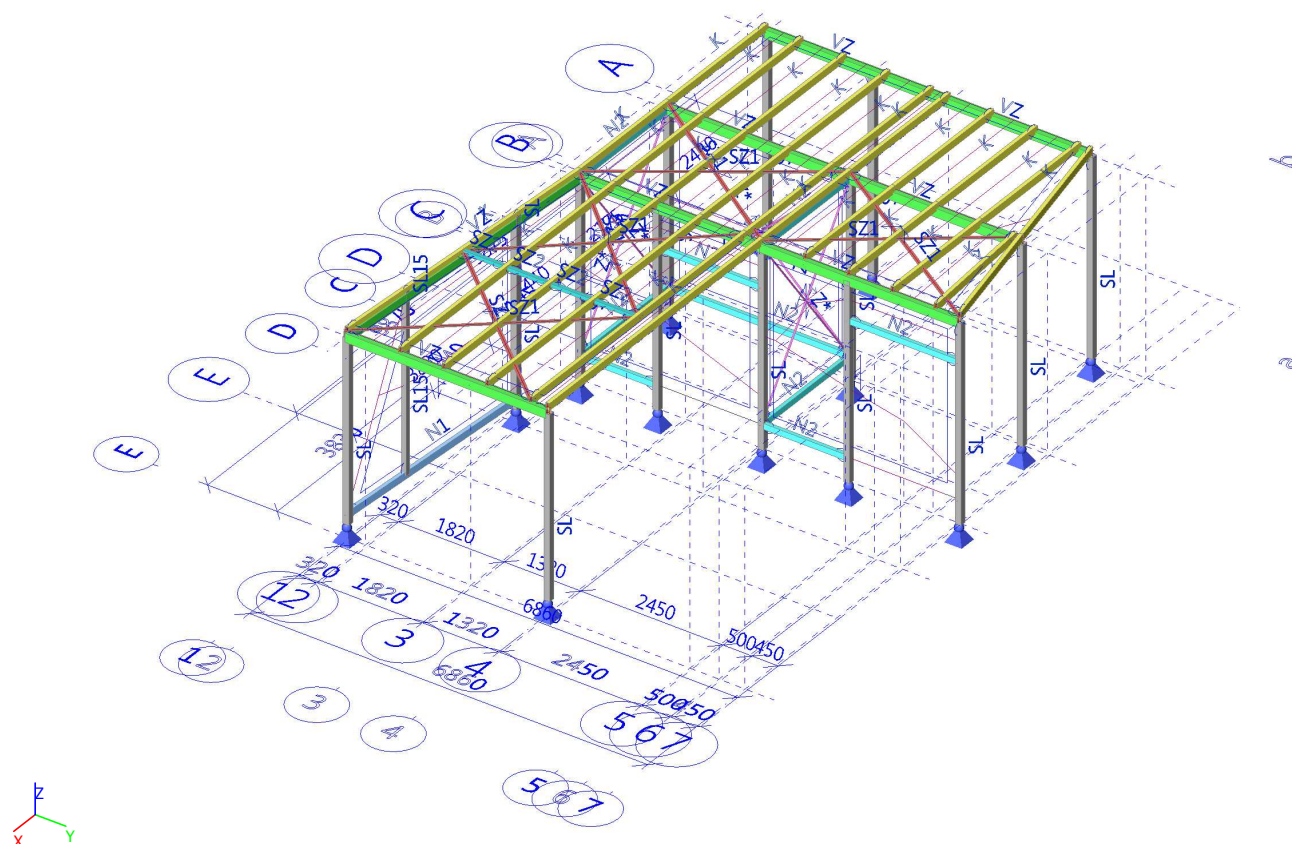


**1. Obsah**

1. Obsah	1
2. Data	2
2.1. Výpočtový model	2
2.2. Materiály	2
2.3. Průřezy	2
2.4. Zatěžovací stavy	4
2.4.1. Zatěžovací stavy - ZS1	4
2.4.2. Zatěžovací stavy - ZS2	4
2.4.3. Zatěžovací stavy - ZS3	5
2.4.4. Zatěžovací stavy - 3DVítr1	5
2.4.5. Zatěžovací stavy - 3DVítr2	6
2.4.6. Zatěžovací stavy - 3DVítr3	6
2.4.7. Zatěžovací stavy - 3DVítr4	7
2.4.8. Zatěžovací stavy - 3DVítr5	7
2.4.9. Zatěžovací stavy - 3DVítr6	8
2.4.10. Zatěžovací stavy - 3DVítr7	8
2.4.11. Zatěžovací stavy - 3DVítr8	9
2.4.12. Zatěžovací stavy - 3DVítr9	9
2.4.13. Zatěžovací stavy - 3DVítr10	10
2.4.14. Zatěžovací stavy - 3DVítr11	10
2.4.15. Zatěžovací stavy - 3DVítr12	11
2.4.16. Zatěžovací stavy - 3DVítr13	11
2.4.17. Zatěžovací stavy - 3DVítr14	12
2.4.18. Zatěžovací stavy - 3DVítr15	12
2.4.19. Zatěžovací stavy - 3DVítr16	13
2.4.20. Zatěžovací stavy - Q	13
2.5. Kombinace	14
3. Výsledky	15
3.1. Vnitřní síly na prutu	15
3.2. 3D přemístění	18
3.3. 3D přemístění; U_total	19
3.4. Reakce	19
4. Posudek	21
4.1. Posudek ocelových prvků na MSÚ EC-EN 1993	21
4.2. Požární odolnost ocelových prvků EC-EN 1993	22

## 2. Data

### 2.1. Výpočtový model



### 2.2. Materiály

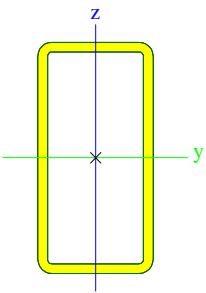
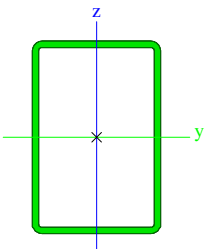
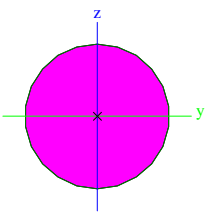
Ocel EC3

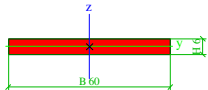
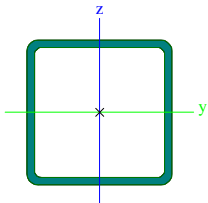
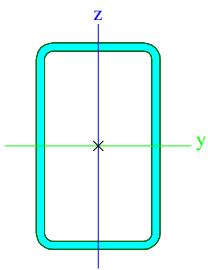
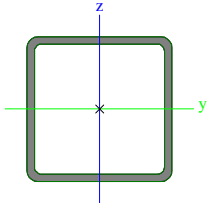
Jméno	Jednotková hmotnost [kg/m <sup>3</sup> ]	E [MPa] G [MPa]	Poisson - nu Tep.roztaž. [m/mK]	Dolní mez [mm]	Horní mez [mm]	Fy (rozsah) [MPa]	Fu (rozsah) [MPa]
S 235	7850,0	2,1000e+05 8,0769e+04	0.3 0,00	0 40	40 80	235,0 215,0	360,0 360,0
S 355	7850,0	2,1000e+05 8,0769e+04	0.3 0,00	0 40	40 80	355,0 335,0	490,0 470,0

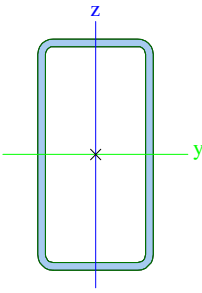
### 2.3. Průřezy

SL		
Typ	SHS100/100/6.0	
Kód tvaru	2 - Obdélníkové uzavřené průřezy	
Typ tvaru	Tenkostěnný	
Materiál	S 235	
Výroba	válcovaný	
Posudek rovinného vzpěru y-y, Posudek rovinného vzpěru z-z	a	a

Obrázek		
K		
Typ	RHS120/60/5.0	
Kód tvaru	2 - Obdélníkové uzavřené průřezy	
Typ tvaru	Tenkostěnný	
Materiál	S 235	
Výroba	válcovaný	

Posudek rovinného vzpěru y-y, Posudek rovinného vzpěru z-z Obrázek	a	a
		
<b>VZ</b>		
Typ Kód tvaru	RHS150/100/5.0 2 - Obdélníkové uzavřené průřezy	
Typ tvaru	Tenkostěnný	
Materiál	S 235	
Výroba	válcovaný	
Posudek rovinného vzpěru y-y, Posudek rovinného vzpěru z-z Obrázek	a	a
		
<b>Z*</b>		
Typ Kód tvaru	RD24 11 - Plný kruhový průřez	
Typ tvaru	Tlustostěnný	
Materiál	S 355	
Výroba	válcovaný	
Posudek rovinného vzpěru y-y, Posudek rovinného vzpěru z-z Obrázek	c	c
		
<b>SZ1</b>		
Typ Detailní Kód tvaru	Plný obdélník 6; 60 7 - Plný obdélníkový průřez	
Typ tvaru	Tenkostěnný	
Materiál	S 355	
Výroba	válcovaný	
Posudek rovinného vzpěru y-y, Posudek rovinného vzpěru z-z	c	c

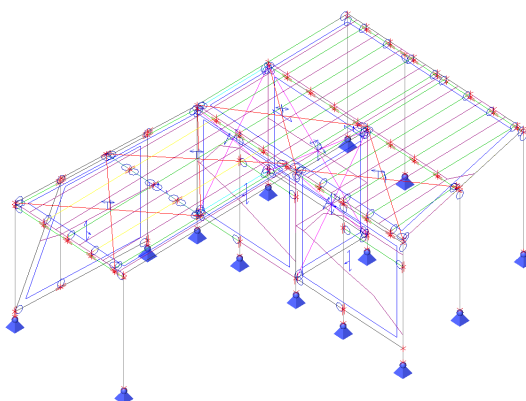
Obrázek		
<b>SZ2</b>		
Typ Kód tvaru	SHS60/60/3.0 2 - Obdélníkové uzavřené průřezy	
Typ tvaru	Tenkostěnný	
Materiál	S 235	
Výroba	válcovaný	
Posudek rovinného vzpěru y-y, Posudek rovinného vzpěru z-z Obrázek	a	a
		
<b>N2</b>		
Typ Kód tvaru	RRK100/60/4 2 - Obdélníkové uzavřené průřezy	
Typ tvaru	Tenkostěnný	
Materiál	S 235	
Výroba	válcovaný	
Posudek rovinného vzpěru y-y, Posudek rovinného vzpěru z-z Obrázek	a	a
		
<b>SL15</b>		
Typ Kód tvaru	SHS80/80/4.0 2 - Obdélníkové uzavřené průřezy	
Typ tvaru	Tenkostěnný	
Materiál	S 235	
Výroba	válcovaný	
Posudek rovinného vzpěru y-y, Posudek rovinného vzpěru z-z Obrázek	a	a
		
<b>N1</b>		
Typ Kód tvaru	RRK120/60/4 2 - Obdélníkové uzavřené průřezy	

Typ tvaru	Tenkostěnný	
Materiál	S 235	
Výroba	válcovaný	
Posudek rovinného vzpěru y-y, Posudek rovinného vzpěru z-z Obrázek	a	a
		

## 2.4. Zatěžovací stavy

### 2.4.1. Zatěžovací stavy - ZS1

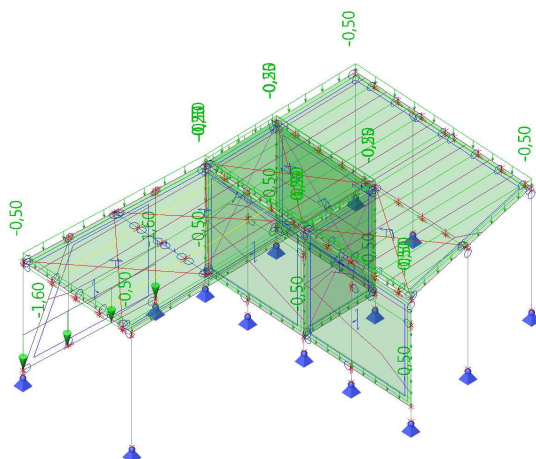
Jméno	Popis	Typ zatížení	Skupina zatížení
ZS1	Vlastní tíha	Vlastní tíha	SZ1



### 2.4.2. Zatěžovací stavy - ZS2

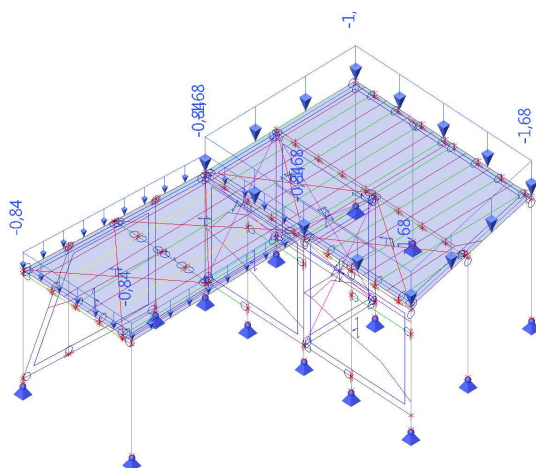
Jméno	Popis	Typ zatížení	Skupina zatížení
ZS2	stálé zatížení	Standard	SZ1





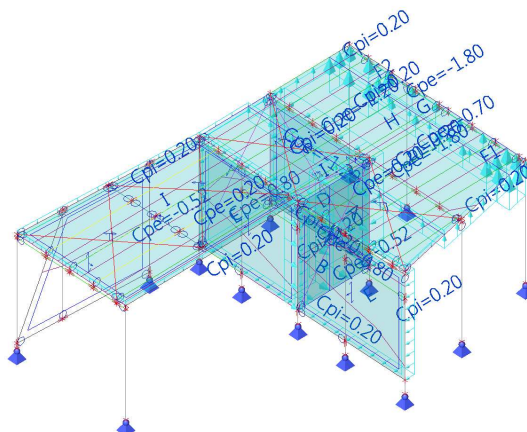
### 2.4.3. Zatěžovací stavy - ZS3

Jméno	Popis	Typ zatížení	Skupina zatížení
ZS3	sníh	Statické	sníh



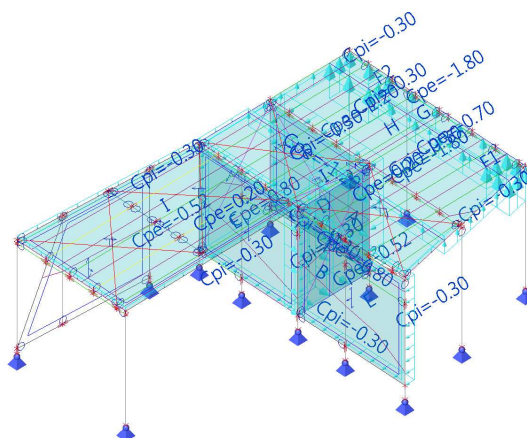
### 2.4.4. Zatěžovací stavy - 3DVítr1

Jméno	Popis	Typ zatížení	Skupina zatížení
3DVítr1	0, + CPE, + CPI	Statické	vítr0-steny7



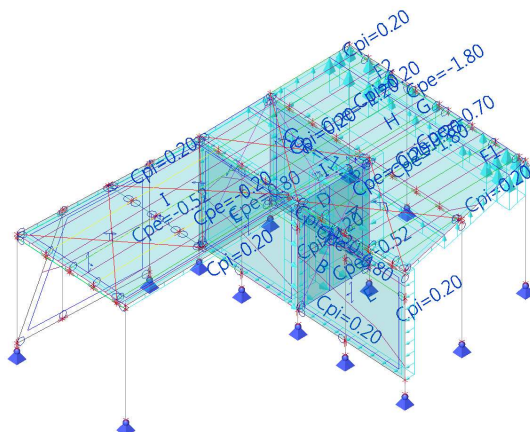
#### 2.4.5. Zatěžovací stavy - 3DVítr2

Jméno	Popis	Typ zatížení	Skupina zatížení
3DVítr2	0, + CPE, - CPI	Statické	vítr0-steny7



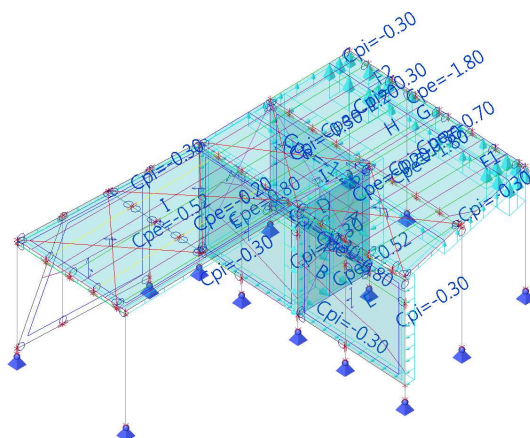
#### 2.4.6. Zatěžovací stavy - 3DVítr3

Jméno	Popis	Typ zatížení	Skupina zatížení
3DVítr3	0, - CPE, + CPI	Statické	vítr0-steny7



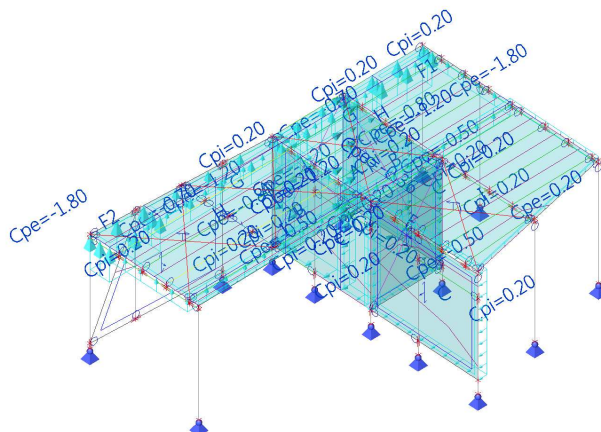
#### 2.4.7. Zatěžovací stavy - 3DVítr4

Jméno	Popis	Typ zatížení	Skupina zatížení
3DVítr4	0, - CPE, - CPI	Statické	vítr0-steny7



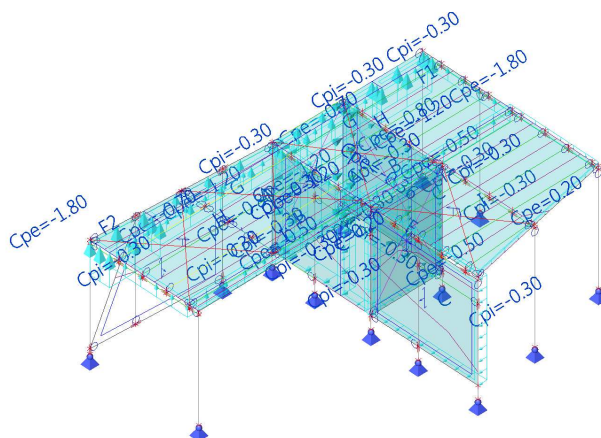
#### 2.4.8. Zatěžovací stavy - 3DVítr5

Jméno	Popis	Typ zatížení	Skupina zatížení
3DVítr5	90, + CPE, + CPI	Statické	vítr0-steny7



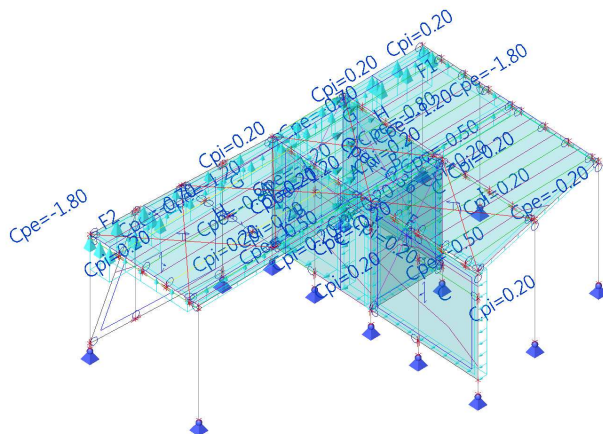
#### 2.4.9. Zatěžovací stavy - 3DVítr6

Jméno	Popis	Typ zatížení	Skupina zatížení
3DVítr6	90, + CPE, - CPI	Statické	vítr0-steny7



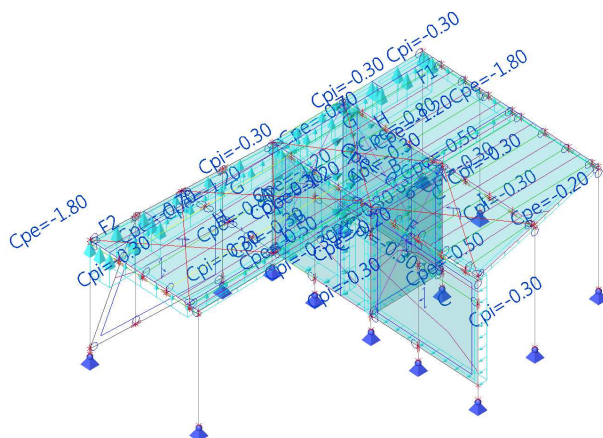
#### 2.4.10. Zatěžovací stavy - 3DVítr7

Jméno	Popis	Typ zatížení	Skupina zatížení
3DVítr7	90, - CPE, + CPI	Statické	vítr0-steny7



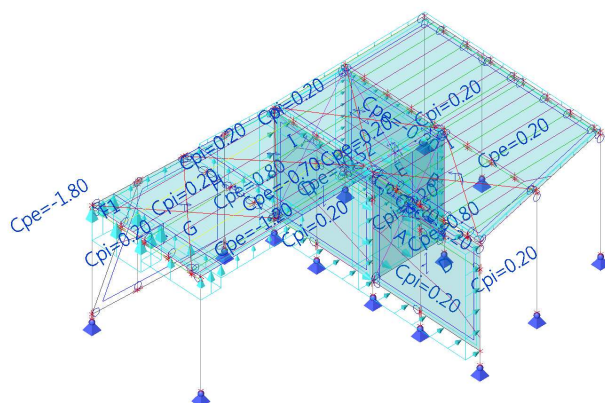
#### 2.4.11. Zatěžovací stavy - 3DVítr8

Jméno	Popis	Typ zatížení	Skupina zatížení
3DVítr8	90, - CPE, - CPI	Statické	vítr0-steny7



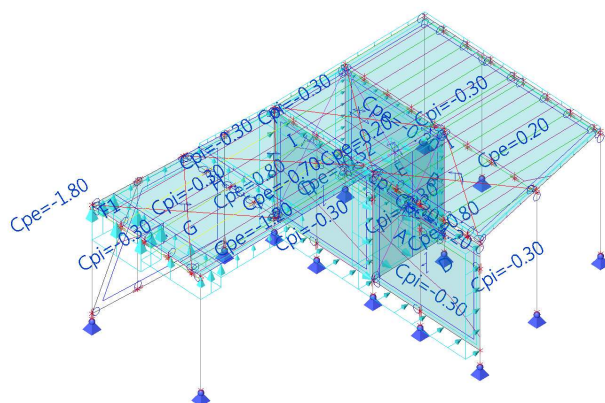
#### 2.4.12. Zatěžovací stavy - 3DVítr9

Jméno	Popis	Typ zatížení	Skupina zatížení
3DVítr9	180, + CPE, + CPI	Statické	vítr0-steny7



#### 2.4.13. Zatěžovací stavy - 3DVítr10

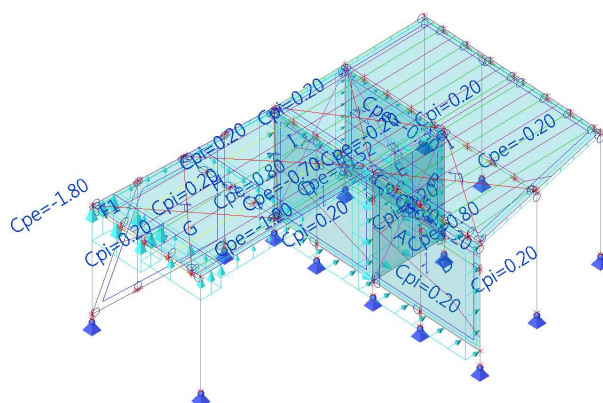
Jméno	Popis	Typ zatížení	Skupina zatížení
3DVítr10	180, + CPE, - CPI	Statické	vítr0-steny7



#### 2.4.14. Zatěžovací stavy - 3DVítr11

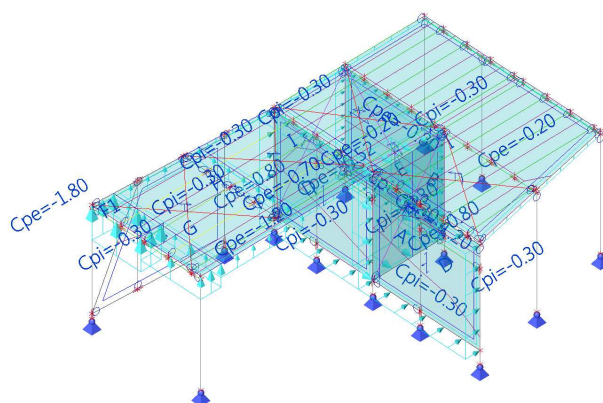
Jméno	Popis	Typ zatížení	Skupina zatížení
3DVítr11	180, - CPE, + CPI	Statické	vítr0-steny7





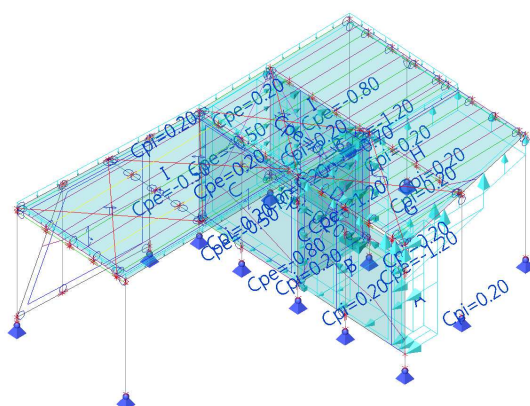
#### 2.4.15. Zatěžovací stavy - 3DVítr12

Jméno	Popis	Typ zatížení	Skupina zatížení
3DVítr12	180, - CPE, - CPI	Statické	vítr0-steny7



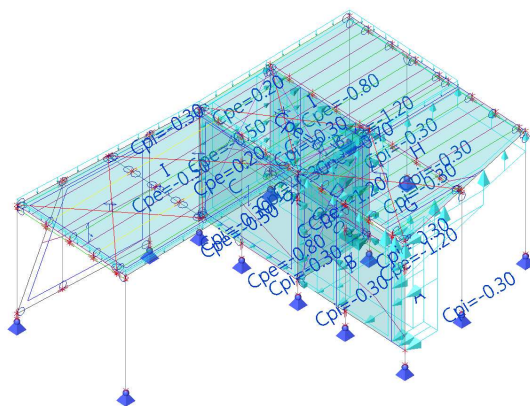
#### 2.4.16. Zatěžovací stavy - 3DVítr13

Jméno	Popis	Typ zatížení	Skupina zatížení
3DVítr13	270, + CPE, + CPI	Statické	vítr0-steny7



#### 2.4.17. Zatěžovací stavy - 3DVítr14

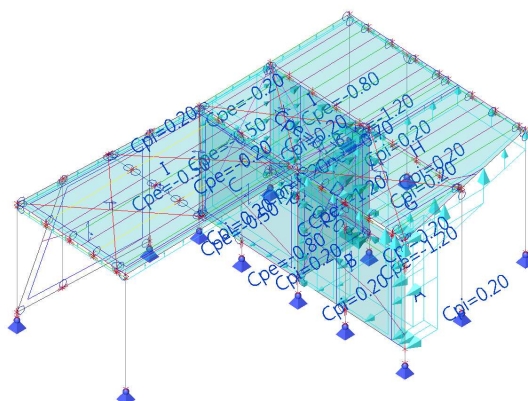
Jméno	Popis	Typ zatížení	Skupina zatížení
3DVítr14	270, + CPE, - CPI	Statické	vítr0-steny7



#### 2.4.18. Zatěžovací stavy - 3DVítr15

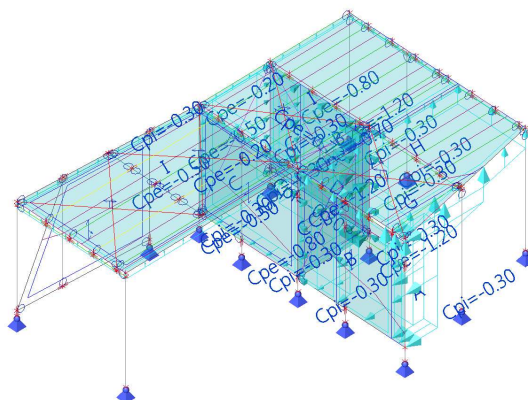
Jméno	Popis	Typ zatížení	Skupina zatížení
3DVítr15	270, - CPE, + CPI	Statické	vítr0-steny7





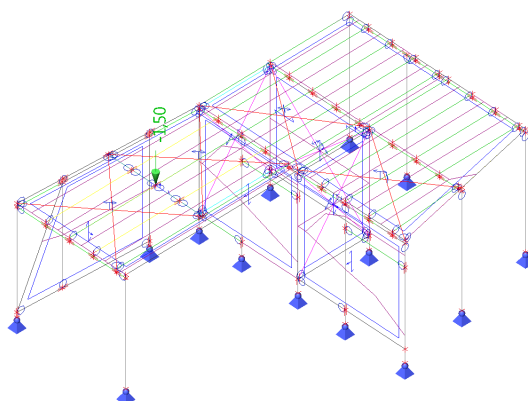
#### 2.4.19. Zatěžovací stavy - 3DVítr16

Jméno	Popis	Typ zatížení	Skupina zatížení
3DVítr16	270, - CPE, - CPI	Statické	vítr0-steny7



#### 2.4.20. Zatěžovací stavy - Q

Jméno	Popis	Typ zatížení	Skupina zatížení
Q	užitné - lokální účinek	Statické	užitné H



## 2.5. Kombinace

Jméno	Typ	Zatěžovací stavy	Souč. [-]
MSÚ-Sada B (auto)	EN-MSÚ (STR/GEO) Soubor B	ZS1 - Vlastní tíha	1,00
		ZS2 - stálé zatížení	1,00
		ZS3 - sníh	1,00
		3DVítr1 - 0, + CPE, + CPI	1,00
		3DVítr2 - 0, + CPE, - CPI	1,00
		3DVítr3 - 0, - CPE, + CPI	1,00
		3DVítr4 - 0, - CPE, - CPI	1,00
		3DVítr5 - 90, + CPE, + CPI	1,00
		3DVítr6 - 90, + CPE, - CPI	1,00
		3DVítr7 - 90, - CPE, + CPI	1,00
		3DVítr8 - 90, - CPE, - CPI	1,00
		3DVítr9 - 180, + CPE, + CPI	1,00
		3DVítr10 - 180, + CPE, - CPI	1,00
		3DVítr11 - 180, - CPE, + CPI	1,00
		3DVítr12 - 180, - CPE, - CPI	1,00
		3DVítr13 - 270, + CPE, + CPI	1,00
		3DVítr14 - 270, + CPE, - CPI	1,00
		3DVítr15 - 270, - CPE, + CPI	1,00
		3DVítr16 - 270, - CPE, - CPI	1,00
		Q - užité - lokální účinek	1,00
MSP-Char (auto)	EN-MSP charakteristická	ZS1 - Vlastní tíha	1,00
		ZS2 - stálé zatížení	1,00
		ZS3 - sníh	1,00
		3DVítr1 - 0, + CPE, + CPI	1,00
		3DVítr2 - 0, + CPE, - CPI	1,00
		3DVítr3 - 0, - CPE, + CPI	1,00
		3DVítr4 - 0, - CPE, - CPI	1,00
		3DVítr5 - 90, + CPE, + CPI	1,00
		3DVítr6 - 90, + CPE, - CPI	1,00
		3DVítr7 - 90, - CPE, + CPI	1,00
		3DVítr8 - 90, - CPE, - CPI	1,00
		3DVítr9 - 180, + CPE, + CPI	1,00
		3DVítr10 - 180, + CPE, - CPI	1,00
		3DVítr11 - 180, - CPE, + CPI	1,00
		3DVítr12 - 180, - CPE, - CPI	1,00
		3DVítr13 - 270, + CPE, + CPI	1,00
		3DVítr14 - 270, + CPE, - CPI	1,00
		3DVítr15 - 270, - CPE, + CPI	1,00
		3DVítr16 - 270, - CPE, - CPI	1,00
		Q - užité - lokální účinek	1,00
Požár (1)	EN-mimořádné 1	ZS1 - Vlastní tíha	1,00
		ZS2 - stálé zatížení	1,00

Jméno	Typ	Zatěžovací stavy	Souč. [-]
		ZS3 - sníh	1,00
		3DVítr1 - 0, + CPE, + CPI	1,00
		3DVítr2 - 0, + CPE, - CPI	1,00
		3DVítr3 - 0, - CPE, + CPI	1,00
		3DVítr4 - 0, - CPE, - CPI	1,00
		3DVítr5 - 90, + CPE, + CPI	1,00
		3DVítr6 - 90, + CPE, - CPI	1,00
		3DVítr7 - 90, - CPE, + CPI	1,00
		3DVítr8 - 90, - CPE, - CPI	1,00
		3DVítr9 - 180, + CPE, + CPI	1,00
		3DVítr10 - 180, + CPE, - CPI	1,00
		3DVítr11 - 180, - CPE, + CPI	1,00
		3DVítr12 - 180, - CPE, - CPI	1,00
		3DVítr13 - 270, + CPE, + CPI	1,00
		3DVítr14 - 270, + CPE, - CPI	1,00
		3DVítr15 - 270, - CPE, + CPI	1,00
		3DVítr16 - 270, - CPE, - CPI	1,00
		Q - užité - lokální účinek	1,00

### 3. Výsledky

#### 3.1. Vnitřní síly na prutu

Nelineární výpočet, Extrém : Průřez, Systém : Hlavní

Výběr : Vše

Třída : RC\_NK\_MSÚ-Sada B (auto)

Dílec	css	dx [m]	Stav	N [kN]	Vy [kN]	Vz [kN]	Mx [kNm]	My [kNm]	Mz [kNm]
B9	SL - SHS100/100/6.0	0,000	NK_MSÚ-Sada B (auto).1	<b>-46,43</b>	0,89	-3,08	0,04	-0,46	-0,46
B10	SL - SHS100/100/6.0	0,400	NK_MSÚ-Sada B (auto).2	<b>4,29</b>	-0,66	-5,18	0,04	-2,03	-0,22
B7	SL - SHS100/100/6.0	0,000	NK_MSÚ-Sada B (auto).6	-2,92	<b>-2,14</b>	-0,68	-0,01	-0,03	-0,03
B9	SL - SHS100/100/6.0	0,200	NK_MSÚ-Sada B (auto).3	-32,29	<b>1,99</b>	0,37	0,02	-0,25	0,08
B134	SL - SHS100/100/6.0	0,100	NK_MSÚ-Sada B (auto).7	-5,97	-0,56	<b>-11,16</b>	0,07	0,00	0,79
B9	SL - SHS100/100/6.0	0,000	NK_MSÚ-Sada B (auto).4	-0,01	0,84	<b>2,18</b>	-0,01	0,00	0,00
B10	SL - SHS100/100/6.0	2,720	NK_MSÚ-Sada B (auto).2	-6,74	0,01	1,93	<b>-0,43</b>	-0,52	-0,01
B10	SL - SHS100/100/6.0	3,400	NK_MSÚ-Sada B (auto).4	-12,76	-0,02	-1,04	<b>0,40</b>	-0,55	0,00
B9	SL - SHS100/100/6.0	0,400	NK_MSÚ-Sada B (auto).5	-42,33	0,35	-4,84	0,05	<b>-2,37</b>	-0,29
B134	SL - SHS100/100/6.0	0,000	NK_MSÚ-Sada B (auto).7	-6,00	-0,56	-11,16	0,07	<b>1,12</b>	0,84
B40	SL - SHS100/100/6.0	3,400	NK_MSÚ-Sada B (auto).1	-11,57	-0,44	0,04	0,00	0,00	<b>-1,72</b>
B7	SL - SHS100/100/6.0	3,400	NK_MSÚ-Sada B (auto).1	-11,12	0,75	0,04	-0,05	0,00	<b>1,58</b>
B29	Z* - RD24	0,000	NK_MSÚ-Sada B (auto).8	<b>-0,07</b>	0,00	0,05	0,00	0,00	0,00
B30	Z* - RD24	0,000	NK_MSÚ-Sada B (auto).5	<b>18,09</b>	<b>0,01</b>	0,01	0,00	0,00	-0,01
B30	Z* - RD24	3,705	NK_MSÚ-Sada B (auto).5	17,97	<b>-0,03</b>	-0,01	0,00	<b>0,00</b>	<b>-0,02</b>
B28	Z* - RD24	4,343	NK_MSÚ-Sada B (auto).8	-0,07	0,00	<b>-0,08</b>	0,00	0,00	0,00
B28	Z* - RD24	0,000	NK_MSÚ-Sada B (auto).8	0,07	0,00	<b>0,07</b>	0,00	0,00	0,00
B27	Z* - RD24	0,000	NK_MSÚ-Sada B (auto).1	1,54	0,00	0,04	<b>0,00</b>	0,00	0,00
B28	Z* - RD24	4,343	NK_MSÚ-Sada B (auto).5	-0,06	0,00	-0,06	<b>0,00</b>	0,00	0,00

Dílec	css	dx [m]	Stav	N [kN]	Vy [kN]	Vz [kN]	Mx [kNm]	My [kNm]	Mz [kNm]
B28	Z* - RD24	2,171	NK_MSÚ-Sada B (auto).8	0,00	0,00	0,00	0,00	<b>0,08</b>	0,00
B29	Z* - RD24	0,000	NK_MSÚ-Sada B (auto).4	9,41	-0,01	0,01	0,00	0,00	<b>0,01</b>
B94	VZ - RHS150/100/5.0	1,440	NK_MSÚ-Sada B (auto).7	<b>-6,08</b>	-0,06	-1,21	0,32	-1,52	-0,04
B94	VZ - RHS150/100/5.0	2,277	NK_MSÚ-Sada B (auto).7	<b>5,05</b>	-0,01	2,75	0,08	-0,49	0,05
B60	VZ - RHS150/100/5.0	2,850	NK_MSÚ-Sada B (auto).3	-1,18	<b>-4,31</b>	-12,11	0,12	-4,22	0,56
B61	VZ - RHS150/100/5.0	2,850	NK_MSÚ-Sada B (auto).3	-1,47	<b>5,03</b>	-10,59	-0,16	1,07	-0,85
B60	VZ - RHS150/100/5.0	3,140	NK_MSÚ-Sada B (auto).1	-2,65	-2,95	<b>-12,80</b>	0,09	-8,04	0,02
B71	VZ - RHS150/100/5.0	0,000	NK_MSÚ-Sada B (auto).1	-1,75	0,05	<b>13,51</b>	0,52	<b>-8,72</b>	-0,02
B94	VZ - RHS150/100/5.0	3,950	NK_MSÚ-Sada B (auto).3	0,39	-0,07	-3,16	<b>-0,38</b>	4,39	-0,01
B94	VZ - RHS150/100/5.0	0,000	NK_MSÚ-Sada B (auto).5	-4,80	0,09	-0,67	<b>0,59</b>	0,00	-0,29
B62	VZ - RHS150/100/5.0	1,670	NK_MSÚ-Sada B (auto).7	0,00	0,06	2,21	0,01	<b>6,62</b>	-0,02
B72	VZ - RHS150/100/5.0	0,000	NK_MSÚ-Sada B (auto).4	-2,42	1,68	0,72	0,17	-0,47	<b>-1,14</b>
B72	VZ - RHS150/100/5.0	0,000	NK_MSÚ-Sada B (auto).5	-0,08	-2,31	1,96	0,15	-1,40	<b>1,81</b>
B85	K - RHS120/60/5.0	2,967	NK_MSÚ-Sada B (auto).7	<b>-5,04</b>	-0,13	-0,35	-0,62	1,46	0,05
B88	K - RHS120/60/5.0	1,087	NK_MSÚ-Sada B (auto).1	<b>6,52</b>	-0,04	0,03	0,02	-0,47	-0,05
B85	K - RHS120/60/5.0	2,640	NK_MSÚ-Sada B (auto).1	-4,56	<b>-0,18</b>	0,08	-0,44	1,30	0,13
B85	K - RHS120/60/5.0	1,440	NK_MSÚ-Sada B (auto).3	-4,92	<b>0,20</b>	3,54	<b>0,74</b>	-2,01	-0,11
B98	K - RHS120/60/5.0	2,175	NK_MSÚ-Sada B (auto).3	0,04	0,04	<b>-5,28</b>	0,00	-4,78	0,02
B99	K - RHS120/60/5.0	0,000	NK_MSÚ-Sada B (auto).7	0,01	0,02	<b>5,12</b>	0,00	-4,75	-0,02
B85	K - RHS120/60/5.0	2,640	NK_MSÚ-Sada B (auto).3	-4,94	-0,17	-0,06	<b>-0,66</b>	1,54	0,12
B99	K - RHS120/60/5.0	0,000	NK_MSÚ-Sada B (auto).3	0,01	0,00	5,12	0,00	<b>-4,79</b>	0,02
B101	K - RHS120/60/5.0	3,221	NK_MSÚ-Sada B (auto).7	0,01	0,00	0,02	0,00	<b>3,44</b>	0,00
B84	K - RHS120/60/5.0	2,221	NK_MSÚ-Sada B (auto).2	-1,65	-0,14	-0,17	0,06	0,00	<b>-0,25</b>
B84	K - RHS120/60/5.0	2,221	NK_MSÚ-Sada B (auto).4	-0,01	0,15	-0,14	0,00	0,00	<b>0,25</b>
B109	SZ1 - Plný obdélník	4,036	NK_MSÚ-Sada B (auto).1	<b>0,00</b>	0,00	-0,06	0,00	-0,04	0,00
B116	SZ1 - Plný obdélník	0,273	NK_MSÚ-Sada B (auto).5	<b>3,62</b>	0,00	0,02	0,00	0,00	0,00
B111	SZ1 - Plný obdélník	3,881	NK_MSÚ-Sada B (auto).7	0,52	<b>0,00</b>	-0,06	0,00	-0,02	0,00
B112	SZ1 - Plný obdélník	4,000	NK_MSÚ-Sada B (auto).7	0,00	<b>0,00</b>	-0,06	0,00	-0,04	<b>0,00</b>
B114	SZ1 - Plný obdélník	4,122	NK_MSÚ-Sada B (auto).8	0,00	0,00	<b>-0,08</b>	0,00	<b>-0,05</b>	0,00
B114	SZ1 - Plný obdélník	0,000	NK_MSÚ-Sada B (auto).8	0,00	0,00	<b>0,08</b>	0,00	-0,05	0,00
B111	SZ1 - Plný obdélník	0,000	NK_MSÚ-Sada B (auto).1	0,48	0,00	0,06	<b>0,00</b>	-0,03	0,00
B112	SZ1 - Plný obdélník	0,000	NK_MSÚ-Sada B (auto).7	0,00	0,00	0,06	<b>0,00</b>	-0,04	0,00
B114	SZ1 - Plný obdélník	2,061	NK_MSÚ-Sada B	0,00	0,00	0,00	0,00	<b>0,03</b>	0,00

Dílec	css	dx [m]	Stav	N [kN]	Vy [kN]	Vz [kN]	Mx [kNm]	My [kNm]	Mz [kNm]
			(auto).8						
B113	SZ1 - Plný obdélník	4,000	NK_MSÚ-Sada B (auto).7	0,00	0,00	-0,06	0,00	-0,04	<b>0,00</b>
B121	SZ2 - SHS60/60/3.0	0,750	NK_MSÚ-Sada B (auto).3	<b>-0,51</b>	0,00	0,17	0,02	0,63	0,00
B117	SZ2 - SHS60/60/3.0	0,750	NK_MSÚ-Sada B (auto).3	-0,48	<b>0,00</b>	0,49	0,04	0,49	0,00
B120	SZ2 - SHS60/60/3.0	0,000	NK_MSÚ-Sada B (auto).3	-0,35	<b>0,00</b>	-2,38	-0,01	0,49	0,00
B120	SZ2 - SHS60/60/3.0	0,760	NK_MSÚ-Sada B (auto).3	-0,36	0,00	<b>-2,42</b>	-0,01	<b>-1,33</b>	<b>0,00</b>
B117	SZ2 - SHS60/60/3.0	0,000	NK_MSÚ-Sada B (auto).3	-0,48	0,00	<b>0,54</b>	0,04	0,11	0,00
B122	SZ2 - SHS60/60/3.0	0,000	NK_MSÚ-Sada B (auto).7	-0,38	0,00	-0,16	<b>-0,04</b>	<b>0,64</b>	<b>0,00</b>
B120	SZ2 - SHS60/60/3.0	0,760	NK_MSÚ-Sada B (auto).6	-0,12	0,00	0,08	<b>0,04</b>	0,11	0,00
B138	N2 - RRK100/60/4	1,087	NK_MSÚ-Sada B (auto).5	<b>-15,63</b>	-0,10	0,00	-0,03	1,26	-0,15
B124	N2 - RRK100/60/4	2,175	NK_MSÚ-Sada B (auto).10	<b>1,27</b>	0,15	-0,10	-0,03	0,00	0,01
B126	N2 - RRK100/60/4	0,000	NK_MSÚ-Sada B (auto).5	0,18	<b>-1,76</b>	1,60	-0,01	0,00	0,30
B132	N2 - RRK100/60/4	1,500	NK_MSÚ-Sada B (auto).5	0,02	<b>1,79</b>	-1,53	-0,02	0,00	0,30
B138	N2 - RRK100/60/4	2,175	NK_MSÚ-Sada B (auto).1	-15,54	0,49	<b>-2,96</b>	-0,06	0,00	0,12
B138	N2 - RRK100/60/4	0,000	NK_MSÚ-Sada B (auto).1	-15,54	-0,38	<b>2,96</b>	-0,05	0,00	0,13
B125	N2 - RRK100/60/4	0,000	NK_MSÚ-Sada B (auto).4	0,22	0,40	0,58	<b>-0,13</b>	0,00	-0,03
B125	N2 - RRK100/60/4	0,000	NK_MSÚ-Sada B (auto).5	-0,26	-0,64	0,67	<b>0,16</b>	0,00	0,11
B137	N2 - RRK100/60/4	1,087	NK_MSÚ-Sada B (auto).10	0,32	0,06	0,00	-0,02	<b>-0,01</b>	-0,01
B138	N2 - RRK100/60/4	1,087	NK_MSÚ-Sada B (auto).1	-15,55	-0,05	0,00	-0,05	<b>1,62</b>	-0,12
B128	N2 - RRK100/60/4	0,000	NK_MSÚ-Sada B (auto).9	-0,04	1,24	1,32	-0,05	0,00	<b>-0,63</b>
B128	N2 - RRK100/60/4	1,570	NK_MSÚ-Sada B (auto).4	0,66	-0,06	0,00	-0,08	1,03	<b>0,53</b>
B129	N1 - RRK120/60/4	2,510	NK_MSÚ-Sada B (auto).7	<b>-0,22</b>	-0,05	1,33	0,04	-0,03	0,05
B129	N1 - RRK120/60/4	0,000	NK_MSÚ-Sada B (auto).6	<b>0,44</b>	0,03	1,98	0,03	0,00	-0,05
B129	N1 - RRK120/60/4	3,840	NK_MSÚ-Sada B (auto).3	0,02	<b>-0,08</b>	-1,28	0,03	0,00	-0,04
B129	N1 - RRK120/60/4	2,510	NK_MSÚ-Sada B (auto).5	0,40	<b>0,07</b>	-2,56	0,05	-0,25	0,06
B129	N1 - RRK120/60/4	2,510	NK_MSÚ-Sada B (auto).8	0,15	0,02	<b>-3,03</b>	0,01	-0,36	0,03
B129	N1 - RRK120/60/4	0,000	NK_MSÚ-Sada B (auto).8	0,16	0,02	<b>2,74</b>	0,01	0,00	-0,02
B129	N1 - RRK120/60/4	2,510	NK_MSÚ-Sada B (auto).4	0,14	-0,02	-2,26	<b>-0,02</b>	-0,31	-0,01
B129	N1 - RRK120/60/4	2,510	NK_MSÚ-Sada B (auto).1	0,22	0,02	1,38	<b>0,07</b>	-0,11	0,03
B129	N1 - RRK120/60/4	2,510	NK_MSÚ-Sada B (auto).9	0,11	-0,02	-2,31	-0,02	<b>-0,42</b>	-0,01
B129	N1 - RRK120/60/4	1,255	NK_MSÚ-Sada B (auto).8	0,15	0,02	-0,14	0,01	<b>1,63</b>	0,00
B129	N1 - RRK120/60/4	0,000	NK_MSÚ-Sada B (auto).5	0,41	0,06	2,36	0,05	0,00	<b>-0,10</b>
B129	N1 - RRK120/60/4	3,840	NK_MSÚ-Sada B (auto).5	0,38	0,06	-1,12	0,07	0,00	<b>0,08</b>

Dílec	css	dx [m]	Stav	N [kN]	Vy [kN]	Vz [kN]	Mx [kNm]	My [kNm]	Mz [kNm]
B135	SL15 - SHS80/80/4.0	0,000	NK_MSÚ-Sada B (auto).3	<b>-1,50</b>	<b>0,46</b>	4,60	-0,06	-0,46	0,65
B131	SL15 - SHS80/80/4.0	3,000	NK_MSÚ-Sada B (auto).8	<b>5,20</b>	0,04	0,04	-0,01	0,10	0,10
B131	SL15 - SHS80/80/4.0	3,000	NK_MSÚ-Sada B (auto).6	3,99	<b>-0,01</b>	0,01	-0,03	0,03	-0,04
B135	SL15 - SHS80/80/4.0	0,100	NK_MSÚ-Sada B (auto).7	-1,46	0,43	<b>4,70</b>	-0,05	0,00	0,65
B135	SL15 - SHS80/80/4.0	0,000	NK_MSÚ-Sada B (auto).1	-1,02	0,45	4,22	<b>-0,08</b>	-0,42	0,43
B131	SL15 - SHS80/80/4.0	0,000	NK_MSÚ-Sada B (auto).4	3,63	0,04	0,01	<b>0,03</b>	0,00	-0,01
B135	SL15 - SHS80/80/4.0	0,000	NK_MSÚ-Sada B (auto).7	-1,47	0,43	4,70	-0,05	<b>-0,47</b>	0,61
B131	SL15 - SHS80/80/4.0	3,000	NK_MSÚ-Sada B (auto).7	4,12	0,10	0,05	0,00	<b>0,15</b>	0,25
B135	SL15 - SHS80/80/4.0	0,000	NK_MSÚ-Sada B (auto).6	1,05	0,21	2,42	-0,03	-0,24	<b>-0,05</b>
B135	SL15 - SHS80/80/4.0	0,100	NK_MSÚ-Sada B (auto).3	-1,49	0,46	4,60	-0,06	0,00	<b>0,69</b>

### 3.2. 3D přemístění

Nelineární výpočet

Třída: RC\_NK\_MSP-Char (auto)

Výběr: Vše

Poloha: V uzlech s průměrováním na makro. Systém: LSS prvku sítě

**Výsledky na 1D dílci:**

Extrém 1D: Průřez

Jméno	dx [m]	Vlákn	Stav	Průřez	ux [mm]	uy [mm]	uz [mm]	φx [mrad]	φy [mrad]	φz [mrad]	Utotal [mm]
B130	0,000	14	NK_MSP-Char (auto).10	SL - SHS100/100/6.0	0,0	0,0	0,0	0,0	1,2	0,0	<b>0,0</b>
B38	3,150	3	NK_MSP-Char (auto).4	SL - SHS100/100/6.0	-0,1	6,8	2,3	0,8	-0,5	2,1	<b>7,2</b>
B28	4,343	7	NK_MSP-Char (auto).8	Z* - RD24	0,0	0,0	0,0	-0,7	-25,6	0,9	<b>0,0</b>
B28	2,171+	6	NK_MSP-Char (auto).2	Z* - RD24	0,2	2,2	-34,7	0,0	0,0	0,0	<b>34,8</b>
B60	0,000	9	NK_MSP-Char (auto).5	VZ - RHS150/100/5.0	-0,2	0,0	0,0	2,4	1,4	-0,2	<b>0,2</b>
B62	3,460	16	NK_MSP-Char (auto).4	VZ - RHS150/100/5.0	7,0	2,2	0,0	-0,5	-2,1	0,8	<b>7,3</b>
B96	1,631	10	NK_MSP-Char (auto).10	K - RHS120/60/5.0	0,0	0,0	0,0	-0,9	-0,1	-0,3	<b>0,1</b>
B101	2,928	15	NK_MSP-Char (auto).8	K - RHS120/60/5.0	0,6	1,0	-11,7	1,2	0,5	0,1	<b>11,8</b>
B110	3,665	5	NK_MSP-Char (auto).8	SZ1 - Plný obdélník (6; 60)	0,2	0,1	-0,1	-0,6	-1,9	0,2	<b>0,2</b>
B114	2,061-	5	NK_MSP-Char (auto).8	SZ1 - Plný obdélník (6; 60)	-0,6	1,1	-99,1	0,3	-4,0	0,1	<b>99,1</b>
B120	0,760	12	NK_MSP-Char (auto).10	SZ2 - SHS60/60/3.0	0,8	-0,2	-0,9	-0,8	-0,4	-0,2	<b>1,3</b>
B121	0,375-	7	NK_MSP-Char (auto).8	SZ2 - SHS60/60/3.0	-0,9	0,7	-11,5	-1,8	-0,7	0,1	<b>11,6</b>
B128	0,000	14	NK_MSP-Char (auto).8	N2 - RRRK100/60/4	0,0	0,0	0,0	-0,1	3,4	1,2	<b>0,1</b>
B133	1,357	9	NK_MSP-Char (auto).4	N2 - RRRK100/60/4	2,6	5,8	-0,5	-1,0	-0,5	0,0	<b>6,3</b>
B129	0,000	6	NK_MSP-Char (auto).8	N1 - RRRK120/60/4	0,0	0,0	0,0	0,1	3,0	-0,1	<b>0,0</b>
B129	1,673	13	NK_MSP-Char (auto).5	N1 - RRRK120/60/4	-0,1	-0,3	-2,8	0,6	-0,2	-0,1	<b>2,9</b>
B131	0,000	7	NK_MSP-Char (auto).10	SL15 - SHS80/80/4.0	-1,4	-0,1	0,0	0,0	0,1	-0,4	<b>1,4</b>

Jméno	dx [m]	Vlákn	Stav	Průřez	u <sub>x</sub> [mm]	u <sub>y</sub> [mm]	u <sub>z</sub> [mm]	φ <sub>x</sub> [mrad]	φ <sub>y</sub> [mrad]	φ <sub>z</sub> [mrad]	U <sub>total</sub> [mm]
B135	0,100	4	NK_MSP-Char (auto).4	SL15 - SHS80/80/4.0	-1,7	6,1	-0,1	0,7	-0,1	2,1	6,3

### 3.3. 3D přemístění; U<sub>total</sub>

Hodnoty: **U<sub>total</sub>**

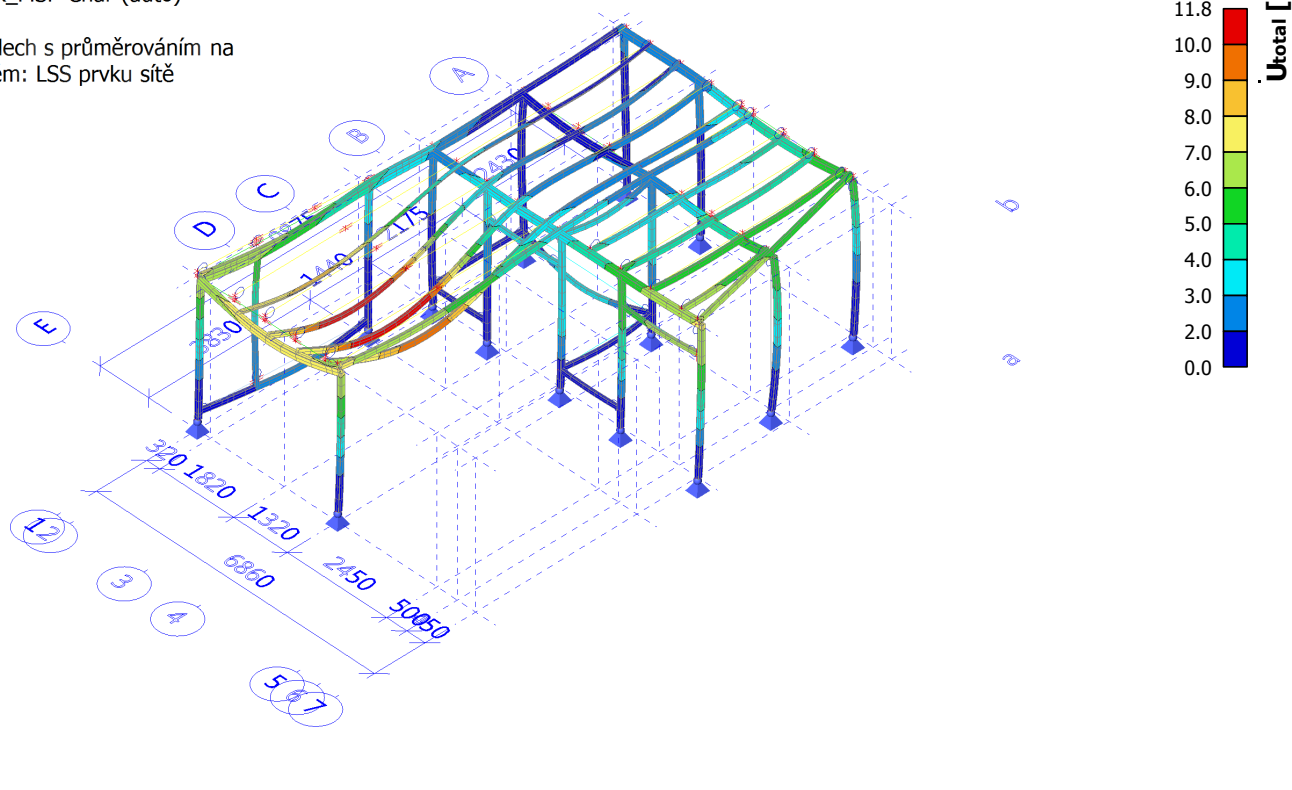
Nelineární výpočet

Třída: RC\_NK\_MSP-Char (auto)

Výběr: Vše

Poloha: V uzlech s průměrováním na

makro. Systém: LSS prvku sítě



### 3.4. Reakce

Nelineární výpočet, Extrém : Uzel

Výběr : Vše

Třída : RC\_NK\_MSP-Char (auto)

Podpora	Stav	R <sub>x</sub> [kN]	R <sub>y</sub> [kN]	R <sub>z</sub> [kN]
Sn1/N7	NK_MSP-Char (auto).8	<b>-1,11</b>	-0,98	6,43
Sn1/N7	NK_MSP-Char (auto).3	<b>0,73</b>	<b>0,07</b>	7,49
Sn1/N7	NK_MSP-Char (auto).6	0,39	<b>-1,52</b>	<b>3,59</b>
Sn1/N7	NK_MSP-Char (auto).5	-0,01	-0,08	<b>10,95</b>
Sn1/N7	NK_MSP-Char (auto).1	0,13	-0,99	4,30
Sn3/N10	NK_MSP-Char (auto).3	<b>-1,39</b>	0,67	<b>3,99</b>
Sn3/N10	NK_MSP-Char (auto).1	<b>3,16</b>	0,02	22,09
Sn3/N10	NK_MSP-Char (auto).6	2,39	<b>-0,56</b>	18,87
Sn3/N10	NK_MSP-Char (auto).5	-0,21	<b>1,39</b>	24,35
Sn3/N10	NK_MSP-Char (auto).2	1,98	0,69	<b>33,61</b>

Podpora	Stav	R <sub>x</sub> [kN]	R <sub>y</sub> [kN]	R <sub>z</sub> [kN]
Sn4/N11	NK_MSP-Char (auto).7	<b>-1,30</b>	<b>0,55</b>	14,77
Sn4/N11	NK_MSP-Char (auto).4	<b>3,55</b>	<b>-0,50</b>	3,76
Sn4/N11	NK_MSP-Char (auto).1	3,45	-0,44	<b>0,44</b>
Sn4/N11	NK_MSP-Char (auto).8	-0,63	-0,13	<b>17,61</b>
Sn6/N15	NK_MSP-Char (auto).8	<b>-1,03</b>	<b>-0,02</b>	<b>4,96</b>
Sn6/N15	NK_MSP-Char (auto).3	<b>0,91</b>	-0,13	<b>0,31</b>
Sn6/N15	NK_MSP-Char (auto).9	0,85	<b>-0,16</b>	1,04
Sn6/N15	NK_MSP-Char (auto).1	0,19	-0,02	1,76
Sn7/N81	NK_MSP-Char (auto).5	<b>-0,01</b>	0,01	<b>1,72</b>
Sn7/N81	NK_MSP-Char (auto).10	<b>0,00</b>	-0,03	<b>0,46</b>

Podpora	Stav	Rx [kN]	Ry [kN]	Rz [kN]
Sn7/N81	NK_MSP-Char (auto).3	0,00	<b>-0,04</b>	0,89
Sn7/N81	NK_MSP-Char (auto).4	0,00	<b>0,09</b>	1,40
Sn7/N81	NK_MSP-Char (auto).1	0,00	0,07	0,99
Sn8/N83	NK_MSP-Char (auto).8	<b>-0,12</b>	0,12	<b>9,56</b>
Sn8/N83	NK_MSP-Char (auto).6	<b>0,27</b>	-0,06	<b>5,04</b>
Sn8/N83	NK_MSP-Char (auto).1	0,24	<b>-0,07</b>	5,69
Sn8/N83	NK_MSP-Char (auto).5	0,03	<b>0,13</b>	9,53
Sn9/N85	NK_MSP-Char (auto).3	<b>-0,02</b>	0,00	3,00
Sn9/N85	NK_MSP-Char (auto).4	<b>0,03</b>	0,01	4,41
Sn9/N85	NK_MSP-Char (auto).9	-0,02	<b>0,00</b>	4,47
Sn9/N85	NK_MSP-Char (auto).2	0,02	<b>0,01</b>	6,14
Sn9/N85	NK_MSP-Char (auto).6	0,02	0,00	<b>2,15</b>
Sn9/N85	NK_MSP-Char (auto).8	0,00	0,00	<b>6,97</b>
Sn9/N85	NK_MSP-Char (auto).1	0,03	0,01	2,88
Sn10/N87	NK_MSP-Char (auto).3	<b>-0,20</b>	<b>0,03</b>	<b>1,97</b>
Sn10/N87	NK_MSP-Char (auto).4	<b>0,19</b>	<b>-0,09</b>	3,75
Sn10/N87	NK_MSP-Char (auto).2	0,11	-0,08	<b>4,25</b>
Sn10/N87	NK_MSP-Char (auto).1	0,19	-0,07	2,91
Sn11/N89	NK_MSP-Char (auto).2	<b>-0,04</b>	<b>-0,34</b>	<b>8,92</b>
Sn11/N89	NK_MSP-Char (auto).3	<b>0,00</b>	-0,03	1,97
Sn11/N89	NK_MSP-Char (auto).7	0,00	<b>-0,03</b>	<b>1,95</b>
Sn11/N89	NK_MSP-Char (auto).1	-0,01	-0,12	3,36
Sn12/N91	NK_MSP-Char (auto).2	<b>-0,02</b>	-0,22	<b>5,37</b>
Sn12/N91	NK_MSP-Char (auto).3	<b>0,00</b>	-0,10	<b>1,61</b>

Podpora	Stav	Rx [kN]	Ry [kN]	Rz [kN]
Sn12/N91	NK_MSP-Char (auto).5	-0,01	<b>-0,25</b>	5,07
Sn12/N91	NK_MSP-Char (auto).1	-0,01	<b>-0,04</b>	2,22
Sn13/N93	NK_MSP-Char (auto).6	<b>0,00</b>	<b>0,01</b>	3,50
Sn13/N93	NK_MSP-Char (auto).5	<b>0,02</b>	<b>0,03</b>	10,73
Sn13/N93	NK_MSP-Char (auto).10	0,00	0,01	<b>3,20</b>
Sn13/N93	NK_MSP-Char (auto).2	0,01	0,03	<b>10,97</b>
Sn13/N93	NK_MSP-Char (auto).1	0,00	0,01	4,32
Sn14/N175	NK_MSP-Char (auto).6	<b>-0,22</b>	0,04	7,01
Sn14/N175	NK_MSP-Char (auto).8	<b>0,14</b>	0,15	<b>10,66</b>
Sn14/N175	NK_MSP-Char (auto).10	-0,03	<b>0,03</b>	<b>6,60</b>
Sn14/N175	NK_MSP-Char (auto).5	0,05	<b>0,17</b>	10,62
Sn14/N175	NK_MSP-Char (auto).1	-0,21	0,07	7,56
Sn15/N191	NK_MSP-Char (auto).10	<b>-0,90</b>	0,03	<b>7,64</b>
Sn15/N191	NK_MSP-Char (auto).4	<b>1,17</b>	-0,17	17,22
Sn15/N191	NK_MSP-Char (auto).1	1,14	<b>-0,18</b>	11,57
Sn15/N191	NK_MSP-Char (auto).5	-0,07	<b>0,21</b>	20,97
Sn15/N191	NK_MSP-Char (auto).8	-0,05	0,13	<b>21,29</b>
Sn16/N197	NK_MSP-Char (auto).3	<b>-1,03</b>	0,04	4,60
Sn16/N197	NK_MSP-Char (auto).4	<b>1,33</b>	-0,10	5,97
Sn16/N197	NK_MSP-Char (auto).6	0,68	<b>-0,28</b>	<b>4,47</b>
Sn16/N197	NK_MSP-Char (auto).5	-0,21	<b>0,12</b>	6,97
Sn16/N197	NK_MSP-Char (auto).8	-0,16	-0,18	<b>7,20</b>
Sn16/N197	NK_MSP-Char (auto).1	1,29	-0,14	4,66

Nelineární výpočet, Extrém : Uzel

Výběr : Vše

Třída : RC\_NK\_MSÚ-Sada B (auto)

Podpora	Stav	Rx [kN]	Ry [kN]	Rz [kN]
Sn1/N7	NK_MSÚ-Sada B (auto).7	<b>-1,61</b>	-1,37	7,91
Sn1/N7	NK_MSÚ-Sada B (auto).4	<b>1,19</b>	<b>0,25</b>	8,80
Sn1/N7	NK_MSÚ-Sada B (auto).6	0,68	<b>-2,13</b>	<b>2,92</b>
Sn1/N7	NK_MSÚ-Sada B (auto).3	0,04	-0,01	<b>14,73</b>
Sn1/N7	NK_MSÚ-Sada B (auto).1	-0,24	-1,38	11,51

Podpora	Stav	Rx [kN]	Ry [kN]	Rz [kN]
Sn3/N10	NK_MSÚ-Sada B (auto).4	<b>-2,18</b>	0,84	<b>0,02</b>
Sn3/N10	NK_MSÚ-Sada B (auto).5	<b>4,67</b>	0,37	42,43
Sn3/N10	NK_MSÚ-Sada B (auto).6	3,49	<b>-1,01</b>	22,38
Sn3/N10	NK_MSÚ-Sada B (auto).3	-0,37	<b>1,97</b>	32,33
Sn3/N10	NK_MSÚ-Sada B (auto).1	2,92	0,91	<b>46,44</b>



Podpora	Stav	Rx [kN]	Ry [kN]	Rz [kN]
Sn4/N11	NK_MSÚ-Sada B (auto).4	<b>-1,99</b>	<b>0,78</b>	16,04
Sn4/N11	NK_MSÚ-Sada B (auto).5	<b>5,45</b>	<b>-0,72</b>	2,05
Sn4/N11	NK_MSÚ-Sada B (auto).2	5,20	-0,67	<b>-4,20</b>
Sn4/N11	NK_MSÚ-Sada B (auto).7	-0,97	-0,21	<b>23,03</b>
Sn4/N11	NK_MSÚ-Sada B (auto).1	3,48	-0,48	11,39
Sn6/N15	NK_MSÚ-Sada B (auto).7	<b>-1,50</b>	<b>-0,01</b>	<b>6,68</b>
Sn6/N15	NK_MSÚ-Sada B (auto).4	<b>1,44</b>	-0,17	<b>-0,68</b>
Sn6/N15	NK_MSÚ-Sada B (auto).3	0,30	<b>-0,21</b>	3,68
Sn6/N15	NK_MSÚ-Sada B (auto).1	-0,03	-0,09	4,23
Sn7/N81	NK_MSÚ-Sada B (auto).3	<b>-0,01</b>	0,02	<b>2,24</b>
Sn7/N81	NK_MSÚ-Sada B (auto).9	<b>0,00</b>	-0,06	<b>0,19</b>
Sn7/N81	NK_MSÚ-Sada B (auto).4	0,00	<b>-0,06</b>	0,85
Sn7/N81	NK_MSÚ-Sada B (auto).5	-0,01	<b>0,12</b>	1,73
Sn7/N81	NK_MSÚ-Sada B (auto).1	-0,01	0,10	2,18
Sn8/N83	NK_MSÚ-Sada B (auto).7	<b>-0,20</b>	0,16	<b>12,05</b>
Sn8/N83	NK_MSÚ-Sada B (auto).6	<b>0,37</b>	-0,11	<b>4,30</b>
Sn8/N83	NK_MSÚ-Sada B (auto).2	0,33	<b>-0,13</b>	5,27
Sn8/N83	NK_MSÚ-Sada B (auto).3	0,03	<b>0,18</b>	12,01
Sn8/N83	NK_MSÚ-Sada B (auto).1	0,17	0,00	10,73
Sn9/N85	NK_MSÚ-Sada B (auto).4	<b>-0,02</b>	<b>0,00</b>	2,71
Sn9/N85	NK_MSÚ-Sada B (auto).5	<b>0,04</b>	0,02	5,35
Sn9/N85	NK_MSÚ-Sada B (auto).1	0,03	<b>0,02</b>	7,95
Sn9/N85	NK_MSÚ-Sada B (auto).6	0,03	0,00	<b>1,43</b>
Sn9/N85	NK_MSÚ-Sada B (auto).7	0,00	0,01	<b>9,19</b>
Sn10/N87	NK_MSÚ-Sada B (auto).4	<b>-0,30</b>	<b>0,06</b>	<b>1,64</b>
Sn10/N87	NK_MSÚ-Sada B (auto).2	<b>0,28</b>	-0,09	3,05
Sn10/N87	NK_MSÚ-Sada B (auto).5	0,28	<b>-0,12</b>	4,66
Sn10/N87	NK_MSÚ-Sada B (auto).1	0,17	-0,11	<b>5,45</b>

Podpora	Stav	Rx [kN]	Ry [kN]	Rz [kN]
Sn11/N89	NK_MSÚ-Sada B (auto).1	<b>-0,06</b>	<b>-0,47</b>	<b>12,24</b>
Sn11/N89	NK_MSÚ-Sada B (auto).4	<b>0,00</b>	<b>0,00</b>	<b>1,32</b>
Sn12/N91	NK_MSÚ-Sada B (auto).1	<b>-0,03</b>	-0,30	<b>7,30</b>
Sn12/N91	NK_MSÚ-Sada B (auto).4	<b>0,00</b>	-0,10	<b>1,32</b>
Sn12/N91	NK_MSÚ-Sada B (auto).3	-0,02	<b>-0,34</b>	6,83
Sn12/N91	NK_MSÚ-Sada B (auto).2	-0,01	<b>-0,02</b>	2,24
Sn13/N93	NK_MSÚ-Sada B (auto).6	<b>0,00</b>	0,01	3,22
Sn13/N93	NK_MSÚ-Sada B (auto).3	<b>0,02</b>	<b>0,04</b>	14,67
Sn13/N93	NK_MSÚ-Sada B (auto).10	0,00	<b>0,01</b>	<b>2,39</b>
Sn13/N93	NK_MSÚ-Sada B (auto).1	0,02	0,03	<b>15,05</b>
Sn14/N175	NK_MSÚ-Sada B (auto).6	<b>-0,32</b>	0,03	6,52
Sn14/N175	NK_MSÚ-Sada B (auto).7	<b>0,22</b>	0,19	<b>13,19</b>
Sn14/N175	NK_MSÚ-Sada B (auto).9	-0,04	<b>0,01</b>	<b>5,88</b>
Sn14/N175	NK_MSÚ-Sada B (auto).3	0,08	<b>0,23</b>	13,13
Sn14/N175	NK_MSÚ-Sada B (auto).1	-0,12	0,20	12,31
Sn15/N191	NK_MSÚ-Sada B (auto).10	<b>-1,36</b>	0,03	<b>5,92</b>
Sn15/N191	NK_MSÚ-Sada B (auto).5	<b>1,73</b>	-0,24	21,89
Sn15/N191	NK_MSÚ-Sada B (auto).2	1,70	<b>-0,29</b>	11,82
Sn15/N191	NK_MSÚ-Sada B (auto).3	-0,12	<b>0,29</b>	27,62
Sn15/N191	NK_MSÚ-Sada B (auto).7	-0,09	0,17	<b>28,08</b>
Sn15/N191	NK_MSÚ-Sada B (auto).1	1,10	-0,08	27,94
Sn16/N197	NK_MSÚ-Sada B (auto).4	<b>-1,54</b>	0,08	4,52
Sn16/N197	NK_MSÚ-Sada B (auto).5	<b>1,96</b>	-0,16	7,32
Sn16/N197	NK_MSÚ-Sada B (auto).6	1,00	<b>-0,41</b>	<b>4,31</b>
Sn16/N197	NK_MSÚ-Sada B (auto).3	-0,33	<b>0,19</b>	8,78
Sn16/N197	NK_MSÚ-Sada B (auto).7	-0,26	-0,25	<b>9,13</b>
Sn16/N197	NK_MSÚ-Sada B (auto).1	1,24	-0,07	8,90

## 4. Posudek

### 4.1. Posudek ocelových prvků na MSÚ EC-EN 1993

Nelineární výpočet

Třída: RC\_NK\_MSÚ-Sada B (auto)

Souřadný systém: Hlavní

Extrém 1D: Průřez

Výběr: Vše

Na vybraných dílcích se vyskytuje 2 varování. 2 z nich je zobrazeno.

#### Celkový posudek

Jméno	dx [m]	Stav	Průřez	Materiál	UC <sub>Celkový</sub> [-]	UC <sub>Průřez</sub> [-]	UC <sub>Stabilita</sub> [-]	Chyby, upozornění, poznámky
B9	0,400+	NK_MSÚ-Sada B (auto).5	SL - SHS100/100/6.0	S 235	<b>0,38</b>	0,12	0,38	
B28	2,171-	NK_MSÚ-Sada B (auto).8	Z* - RD24	S 355	<b>0,17</b>	0,17	0,17	W2, W9
B71	0,000	NK_MSÚ-Sada B (auto).1	VZ - RHS150/100/5.0	S 235	<b>0,31</b>	0,31	0,29	
B99	0,000	NK_MSÚ-Sada B (auto).3	K - RHS120/60/5.0	S 235	<b>0,33</b>	0,33	0,00	
B114	4,122	NK_MSÚ-Sada B (auto).8	SZ1 - Plný obdélník (6; 60)	S 355	<b>0,28</b>	0,28	0,25	
B120	0,760	NK_MSÚ-Sada B (auto).3	SZ2 - SHS60/60/3.0	S 235	<b>0,40</b>	0,40	0,36	
B138	1,088-	NK_MSÚ-Sada B (auto).1	N2 - RRK100/60/4	S 235	<b>0,23</b>	0,18	0,23	
B129	1,255-	NK_MSÚ-Sada B (auto).8	N1 - RRK120/60/4	S 235	<b>0,14</b>	0,14	0,00	
B135	0,100	NK_MSÚ-Sada B (auto).3	SL15 - SHS80/80/4.0	S 235	<b>0,09</b>	0,09	0,08	

CH/V/P	Přítomno na dílcích
W2	B27, B28, B29, B30, B34, B35
W9	B27, B28, B29, B30, B34, B35

Hodnoty: **UC<sub>Celkový</sub>**

Nelineární výpočet

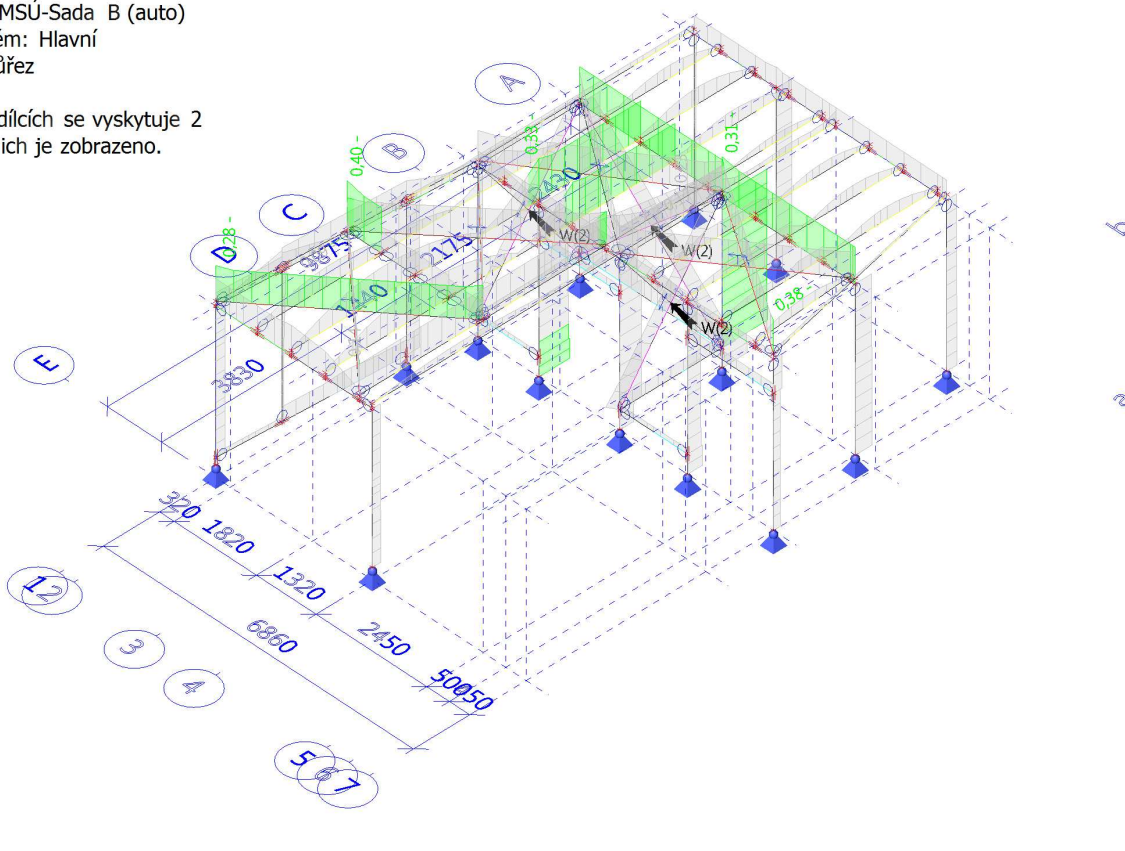
Třída: RC\_NK\_MSÚ-Sada B (auto)

Souřadný systém: Hlavní

Extrém 1D: Průřez

Výběr: Vše

Na vybraných dílcích se vyskytuje 2 varování. 2 z nich je zobrazeno.



#### 4.2. Požární odolnost ocelových prvků EC-EN 1993

Nelineární výpočet

Třída: RC\_NK\_Požár (1)

Souřadný systém: Hlavní

Extrém 1D: Průřez

Výběr: Vše

Na vybraných dílcích se vyskytuje 2 varování. 2 z nich je zobrazeno.

**Celkový posudek**

Jméno	dx [m]	Stav	Průřez	Materiál	UC <sub>Celkový</sub> [-]	UC <sub>Teplota</sub> [-]	UC <sub>Průřez</sub> [-]	UC <sub>Stabilita</sub> [-]	Chyby, upozornění, poznámky
B123	0,400-	NK_Požár (1).1	SL - SHS100/100/6.0	S 235	<b>0,65</b>	0,00	0,08	0,65	
B28	2,171-	NK_Požár (1).4	Z* - RD24	S 355	<b>0,69</b>	0,00	0,48	0,69	W2, W9
B94	3,950+	NK_Požár (1).1	VZ - RHS150/100/5.0	S 235	<b>0,41</b>	0,00	0,41	0,00	
B100	2,175	NK_Požár (1).1	K - RHS120/60/5.0	S 235	<b>0,59</b>	0,00	0,48	0,59	
B114	4,122	NK_Požár (1).1	SZ1 - Plný obdélník (6; 60)	S 355	<b>0,97</b>	0,00	0,97	0,97	
B120	0,760	NK_Požár (1).1	SZ2 - SHS60/60/3.0	S 235	<b>0,61</b>	0,00	0,60	0,61	
B138	1,088+	NK_Požár (1).1	N2 - RRK100/60/4	S 235	<b>0,57</b>	0,00	0,38	0,57	
B129	1,255-	NK_Požár (1).1	N1 - RRK120/60/4	S 235	<b>0,46</b>	0,00	0,46	0,00	
B135	0,000	NK_Požár (1).1	SL15 - SHS80/80/4.0	S 235	<b>0,18</b>	0,00	0,18	0,00	

CH/V/P	Přítomno na dílcích
W2	B27, B28, B29, B30, B34, B35
W9	B27, B28, B29, B30, B34, B35

Hodnoty: **UC<sub>Celkový</sub>**

Nelineární výpočet

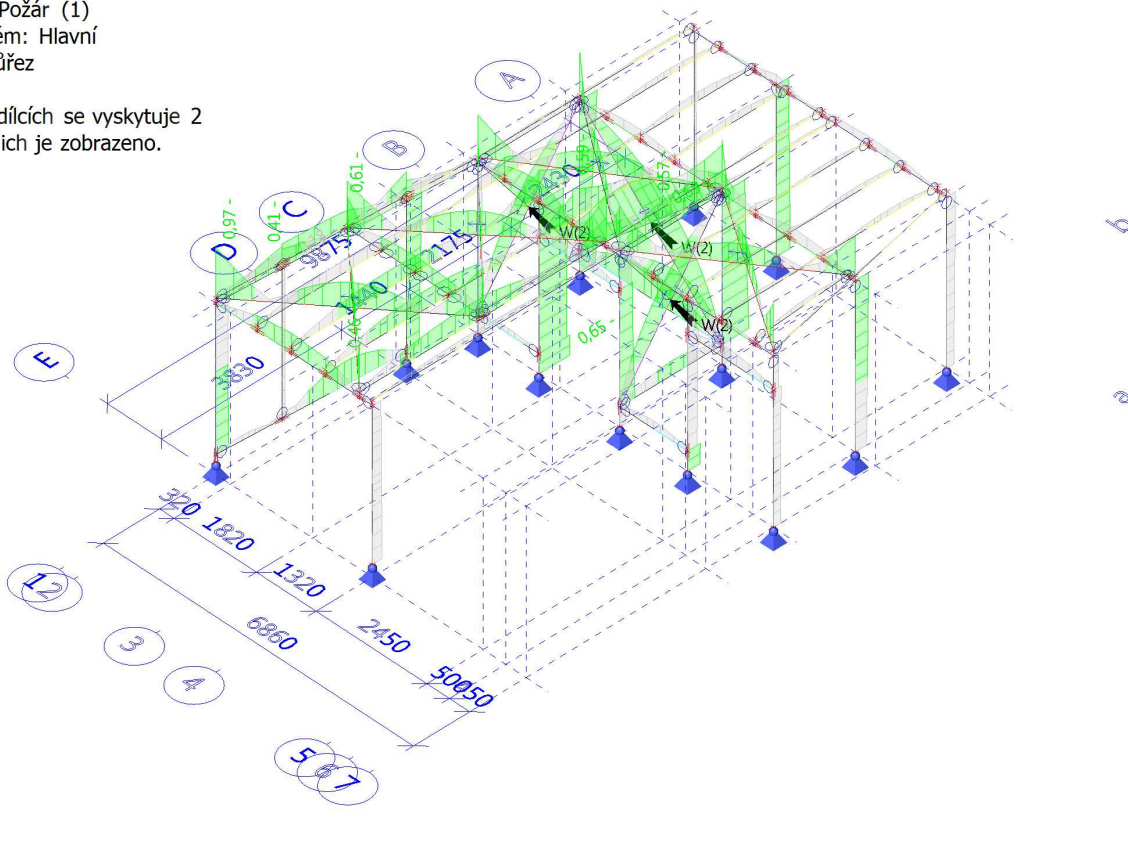
Třída: RC\_NK\_Požár (1)

Souřadný systém: Hlavní

Extrém 1D: Průřez

Výběr: Vše

Na vybraných dílcích se vyskytuje 2 varování. 2 z nich je zobrazeno.



**PŘÍLOHA Č. III.1 - BETON: STAVAJÍCÍ PRVKY STŘECHY**

(01) **NV13** (d) - **monol. deska mezi žb trámy T**

**STŘECHA**

**(A) DATA**

vyztužení: ocel hladká

beton: **C16/20**

charakteristická pevnost: ocel/beton

$f_{yk} = -$

$f_{ck} = 16 \text{ MPa}$

návrhová pevnost: ocel/beton

$f_{yd} = 180 \text{ MPa}$

$f_{cd} = 11 \text{ MPa}$

$\lambda = 0,8$

$\gamma_s = -$

$\gamma_c = 1,5$

$\eta = 1,0$

spodní týžď

č.p.	1	2	3	4	5	6
$\phi$ [mm]	8	8	8	8	8	8
$c_{nom}$ [mm]	10	10	10	10	10	10
osy [mm]	120	110	100	130	110	120
$d_i$ [mm]	76	76	76	76	76	76
$a_i$ [mm <sup>2</sup> ]	50	50	50	50	50	50

č.p.	7	8	-	-	-	-
$\phi$ [mm]	8	8				
$c_{nom}$ [mm]	10	10				
osy [mm]	160	60				
$d_i$ [mm]	76	76	0	0	0	0
$a_i$ [mm <sup>2</sup> ]	50	50	0	0	0	0

Geometrie:

světlé rozpětí desky

$l_0 = 1,98 \text{ m}$

= 1980 mm

tloušťka desky

$h_s = 0,09 \text{ m}$

= 90 mm

zatěžovací šířka

$b = 1,00 \text{ m}$

rozpětí nosníku

$l = l_0 * 1,05$

$l = 2,08 \text{ m}$

= 2079 mm

**(A.1) Stanovení zatížení**

CELKOVÉ ZATÍŽENÍ STROPU -  $q_n$  /  $q_d$  - plošné

stálé zatížení (střešní plášť)

$g_k = 0,11 \text{ [kN.m}^{-2}\text{]}$

$\gamma_g = 1,35$

stálé zatížení (podhled)

$g_k = 0,21 \text{ [kN.m}^{-2}\text{]}$

$\gamma_g = 1,50$

sníh

$s_k = 1,81 \text{ [kN.m}^{-2}\text{]}$

ZATÍŽENÍ BODOVÉ -  $P_k$  /  $P_d$  - bodové

reakce od akustické příčky

$P_k = 0,00$

$P_d = 0,00 \text{ [kN]}$

$c = 0,000 \text{ m}$

$d = 2,079 \text{ m}$

CELKOVÉ ZATÍŽENÍ STROPU -  $q_n$  /  $q_d$  - na osu

zatížení [kN.m<sup>-1</sup>]

popis	charakt.	$\gamma_{g,q}$	návrhové
zatížení stropu - stálé	0,32	x 1,35	0,43
zatížení stropu - užité	1,81	x 1,50	2,72
spodní omítka	0,10	x 1,35	0,14
vlastní tíha desky	2,25	x 1,35	3,04
kombinace pro MSP / MSÚ	$q_k = 4,48$		$q_d = 6,32 \text{ [kN.m}^{-1}\text{]}$

5 mm

**(A.2) Stanovení vnitřních sil**

Reakce desky

$a = 1/2 * q_d * L + 1/L * P_d * d = 1/2 * 6,32 * 2,08 + 1/2,08 * 0,00 * 2,079$

$a = 6,57 \text{ kN/m}$  (4,66)

(reakce od stálého zatížení)

$a_{z,d}(g) = 3,60 \text{ kN/m}$  (2,67)

(reakce od užitého zatížení)

$a_{z,d}(q) = 2,83 \text{ kN/m}$  (1,89)

$b = 1/2 * q_d * L + 1/L * P_d * c = 1/2 * 6,32 * 2,08 + 1/2,08 * 0,00 * 0$

$b = 6,57 \text{ kN/m}$  (4,66)

(reakce od stálého zatížení)

$b_{z,d}(g) = 3,60 \text{ kN/m}$  (2,67)

(reakce od užitého zatížení)

$b_{z,d}(q) = 2,83 \text{ kN/m}$  (1,89)

reakce bez příčky

$r^* = 6,57 \text{ kN/m}$  (4,66)

Maximální smyková síla

$v_{z,Ed} = 6,57 \text{ kN/m}$  (4,66)

Maximální výpočtový moment

$m_{y,Ed} = 1/8 * q_d * L^2 + 1/L * P_d * c * d = 1/8 * 6,32 * 2,08^2 + 1/2,08 * 0,00 * 0,00 * 2,08$

$m_{y,Ed} = 3,42 \text{ kN.m/m}$

**(B) POSUDEK**

**(B.1) Posouzení MSÚ - smyková únosnost**

celková únosnost ve smyku

$v_{z,Rd} =$  (viz příloha - Beton EC)

$v_{z,Rd} = 37,17 \text{ kN/m}$

$v_{z,Ed} / v_{z,Rd} = 6,57 / 37,17 = 0,18 < 1,00$

**vyhovuje**

**(B.2) Posouzení MSÚ - momentová únosnost**

$$x = \frac{\sum a_{s,i} \cdot f_{yd}}{b \cdot \lambda \cdot \eta \cdot f_{cd}} = (402 \cdot 180,00) / (1000 \cdot 0,8 \cdot 1 \cdot 10,67)$$

poloha neutrální osy od horního líce průřezu  $x = 8 \text{ mm}$

poloha težiště ocelových výztuží  $d_T = \frac{\sum (a_{s,i} \cdot d_i)}{\sum a_{s,i}} = 30\,561 / 402$

$d_T = 76 \text{ mm}$

celkový moment únosnosti  $m_{c,Rd} = \frac{\sum (a_{s,i} \cdot f_{yd}) \cdot (d_T - 0,5 \cdot \lambda \cdot x)}{1000} = 402 \cdot 180 \cdot (0,08 - 0,5 \cdot 0,8 \cdot 0,008)$

$m_{c,Rd} = 5,26 \text{ kN.m}$

$m_{y,Ed} / m_{c,Rd} = 3,42 / 5,26 = 0,65 < 1,00 \text{ VYHOVUJE}$

Stávající prvek stropní konstrukce v místě sondy **NV13** vyhovuje dle ČSN EN 1992-1-1 na nový stav.

Využití průřezu desky dle MSÚ v ohybu je 65% . Využití průřezu desky dle MSÚ ve smyku je 18% .

(02) **NV13** (d) - **monol. deska mezi žb trámy T**  
(A) DATA

**STŘECHA**

vyztužení: ocel hladká

beton: **C16/20**

charakteristická pevnost: ocel/beton

$f_{yk} = -$

$f_{ck} = 16 \text{ MPa}$

návrhová pevnost: ocel/beton

$f_{yd} = 180 \text{ MPa}$

$f_{cd} = 11 \text{ MPa}$

$\lambda = 0,8$

$\gamma_s = -$

$\gamma_c = 1,5$

$\eta = 1,0$

spodní týžď

č.p.	1	2	3	4	5	6
$\phi$ [mm]	8	8	8	8	8	8
$c_{nom}$ [mm]	12,5	12,5	12,5	12,5	12,5	12,5
osy [mm]	120	110	100	130	120	160
$d_i$ [mm]	73,5	73,5	73,5	73,5	73,5	73,5
$a_i$ [mm <sup>2</sup> ]	50	50	50	50	50	50

č.p.	7	8	-	-	-	-
$\phi$ [mm]	8	8				
$c_{nom}$ [mm]	12,5	12,5				
osy [mm]	60	150				
$d_i$ [mm]	73,5	73,5	0	0	0	0
$a_i$ [mm <sup>2</sup> ]	50	50	0	0	0	0

Geometrie:

světlé rozpětí desky

$l_0 = 1,98 \text{ m}$

1980 mm

tloušťka desky

$h_s = 0,09 \text{ m}$

90 mm

zatěžovací šířka

$b = 1,00 \text{ m}$

rozpětí nosníku

$l = l_0 \cdot 1,05$

$l = 2,08 \text{ m}$

2079 mm

(A.1) Stanovení zatížení

CELKOVÉ ZATÍŽENÍ STROPU -  $q_n / q_d$  - plošné

stálé zatížení (podlaha)

$g_k = 0,11 \text{ [kN.m}^{-2}\text{]}$

$\gamma_g = 1,35$

stálé zatížení (podhled)

$g_k = 0,21 \text{ [kN.m}^{-2}\text{]}$

$\gamma_q = 1,50$

sníh

$s_k = 0,84 \text{ [kN.m}^{-2}\text{]}$

ZATÍŽENÍ BODOVÉ -  $P_k / P_d$  - bodové

$n = 100\%$

reakce od akustické příčky n%

$n \cdot P_k = 0,00$

$n \cdot P_d = 0,00 \text{ [kN]}$

$c = 0,000 \text{ m}$

$d = 2,079 \text{ m}$

CELKOVÉ ZATÍŽENÍ STROPU -  $q_n / q_d$  - na osu

zatížení [kN.m<sup>-1</sup>]

popis	charakt.	$\gamma_{g,q}$	návrhové
zatížení stropu - stálé	0,32	x 1,35	0,43
zatížení stropu - užité	0,84	x 1,50	1,26
vlastní tíha desky	2,25	x 1,35	3,04
kombinace pro MSP / MSÚ	$q_k = 3,41$		$q_d = 4,73 \text{ [kN.m}^{-1}\text{]}$

(A.2) Stanovení vnitřních sil

Reakce desky

$a = 1/2 \cdot q_d \cdot L + 1/L \cdot P_d \cdot d = 1/2 \cdot 4,73 \cdot 2,08 + 1/2,08 \cdot 0,00 \cdot 2,079$

$a = 4,91 \text{ kN/m} \quad (3,54)$

(reakce od stálého zatížení)

$a_{z,d}(g) = 3,60 \text{ kN/m} \quad (2,67)$

(reakce od užitého zatížení)

$a_{z,d}(q) = 1,31 \text{ kN/m} \quad (0,87)$

$b = 1/2 \cdot q_d \cdot L + 1/L \cdot P_d \cdot c = 1/2 \cdot 4,73 \cdot 2,08 + 1/2,08 \cdot 0,00 \cdot 0$

$b = 4,91 \text{ kN/m} \quad (3,54)$

(reakce od stálého zatížení)

$b_{z,d}(g) = 3,60 \text{ kN/m} \quad (2,67)$

(reakce od užitého zatížení)

$b_{z,d}(q) = 1,31 \text{ kN/m} \quad (0,87)$

reakce bez příčky

$r^* = 4,91 \text{ kN/m} \quad (3,54)$

Maximální smyková síla

$v_{z,Ed} = 4,91 \text{ kN/m} \quad (3,54)$

$$\begin{aligned}
 \text{Maximální výpočtový moment} \quad m_{y,Ed} &= 1/8 \cdot q_d \cdot L^2 + 1/L \cdot P_d \cdot c \cdot d = 1/8 \cdot 4,73 \cdot 2,08^2 + 1/2,08 \cdot 0,00 \cdot 0,00 \cdot 2,08 \\
 m_{y,Ed} &= 2,55 \quad \text{kN.m/m} \\
 \text{Maximální výpočtový moment} \quad m_{y,Ed} &= 1/2 \cdot q_d \cdot c \cdot d + 1/L \cdot P_d \cdot c \cdot d = 1/8 \cdot 4,73 \cdot 2,08 \cdot 2,08 + 1/2,08 \cdot 0,00 \cdot 0,00 \cdot 2,08 \\
 [v \text{ místě působitě bodové síly } (x=c)] \quad m_{y,Ed} &= 0,00 \quad \text{kN.m/m}
 \end{aligned}$$

**(B) POSUDEK****(B.1) Posouzení MSÚ - smyková únosnost**

$$\begin{aligned}
 \text{celková únosnost ve smyku} \quad V_{z,Rd} &= \quad (\text{viz příloha - Beton EC}) \\
 V_{z,Rd} &= 41,78 \quad \text{kN/m} \\
 V_{z,Ed} / V_{z,Rd} &= 4,91 / 41,78 = 0,12 < 1,00 \quad \text{VYHOVUJE}
 \end{aligned}$$

**(B.2) Posouzení MSÚ - momentová únosnost**

$$\begin{aligned}
 x &= \frac{\sum a_{s,i} \cdot f_{yd}}{b \cdot \lambda \cdot \eta \cdot f_{cd}} = (402 \cdot 180,00) / (1000 \cdot 0,8 \cdot 1 \cdot 10,67) \\
 \text{poloha neutrální osy od horního líce průřezu} \quad x &= 8 \quad \text{mm} \\
 \text{poloha težiště ocelových výztuží} \quad d_T &= \frac{\sum (a_{s,i} \cdot d_i)}{\sum a_{s,i}} = 29 \, 556 / 402 \\
 d_T &= 74 \quad \text{mm} \\
 \text{celkový moment únosnosti} \quad m_{c,Rd} &= \frac{\sum (a_{s,i} \cdot f_{yd}) \cdot (d_T - 0,5 \cdot \lambda \cdot x)}{m_{c,Rd}} = 402 \cdot 180 \cdot (0,07 - 0,5 \cdot 0,8 \cdot 0,008) \\
 m_{c,Rd} &= 5,07 \quad \text{kN.m} \\
 m_{y,Ed} / m_{c,Rd} &= 2,55 / 5,07 = 0,50 < 1,00 \quad \text{VYHOVUJE}
 \end{aligned}$$

Stávající prvek stropní konstrukce v místě sondy **NV13** vyhovuje dle ČSN EN 1992-1-1 na nový stav.

Využití průřezu desky dle MSÚ v ohybu je 50% . Využití průřezu desky dle MSÚ ve smyku je 12% .

**(03) NV12 (T) - monol. trám strop (T-průřez)****STŘECHA****(A) DATA**

vyztužení: ocel hladká		beton: <b>C16/20</b>				
charakteristická pevnost : ocel/beton	$f_{yk} =$	-	$f_{ck} =$	16 MPa	$\lambda =$	0,8
návrhová pevnost: ocel/beton	$f_{yd} =$	180 MPa	$f_{cd} =$	11 MPa	$\eta =$	1,0
	$\gamma_s =$	-	$\gamma_c =$	1,5		
↑						
spodní výztuž	č.p.	1	2	3	4	-
	$\phi$ [mm]	20	20	20	20	0
	$c_{nom}$ [mm]	45	50	30	70	0
	osy [mm]	35	60	90	105	0
	$d_i$ [mm]	295	290	310	270	0
	$A_i$ [mm <sup>2</sup> ]	314	314	314	314	0

Geometrie:

světélé rozpětí žb trámy	$l_n =$	4,40 m	=	4400 mm
výška trámu	$h =$	0,35 m	=	350 mm
šířka trámu	$b_w =$	0,16 m	=	160 mm
tloušťka desky	$h_f =$	0,09 m	=	90 mm
účinné rozpětí trámu (dle způsobu uložení)	$l_o =$	4,59 m	(1,0 * $L_{eff}$ - prostý nosník)	
osová vzdálenost trámů (zatěžovací šířka)	$b =$	2,14 m		
vzdálenost mezi trámy zleva	$(2)b_1 =$	1,99 m		
vzdálenost mezi trámy zprava	$(2)b_2 =$	1,97 m		
spolupůsobící šířka	$b_{eff} =$	1,47 m		
šířka podpory	$t_1 =$	0,19 m	$t_2 =$	0,19 m
Účinné rozpětí nosníku	$L_{eff} = l_n + a_1 + a_2$			
	$L_{eff} =$	4,59 m		

**(A.1) Stanovení zatížení**

$$\text{reakce od žb desky} \quad r_k = 4,66 \quad [\text{kN.m}^{-1}] \quad r_d = 6,57 \quad [\text{kN.m}^{-1}]$$

CELKOVÉ ZATÍŽENÍ STROPU -  $q_n / q_d$  - na osu

popis	charakt.	$\gamma_{g,q}$	návrhové	Součinitele zatížení:
2x reakce od žb desky	9,32	x -	13,15	$\gamma_g = 1,35$ -
vlastní tíha nosníku	1,40	x 1,35	1,89	$\gamma_q = 1,50$ -
kombinace pro MSP / MSÚ	$q_k = 10,72$		$q_d = 15,04$ [kN.m <sup>-1</sup> ]	

**(A.2) Stanovení vnitřních sil**

dle TP 51, tab. C35 - Prostý nosník - zatížení spojitě

$$\begin{aligned}
 \text{Reakce nosníku (odpovídá } V_{z,Ed}) \quad A = B &= 1/2 \cdot q_d \cdot L_{eff} = 1/2 \cdot 15,04 \cdot 4,59 \\
 A = B &= 34,51 \quad \text{kN} \quad (24,60) \\
 \text{Maximální výpočtový moment} \quad M_{y,Ed} &= 1/8 \cdot q_d \cdot L_{eff}^2 = 1/8 \cdot 15,04 \cdot 4,59^2 \\
 M_{y,Ed} &= 39,60 \quad \text{kN.m}
 \end{aligned}$$



## (B) POSUDEK

### (B.1) Posouzení MSÚ - smyková únosnost

celková únosnost ve smyku  $V_{z,Rd} =$  (viz příloha - Beton EC)

$V_{z,Rd} = 112,44$  kN/m

$V_{z,Ed} / V_{z,Rd} = 34,51 / 112,44 = 0,31 < 1,00$  **VYHOVUJE**

### (B.2) Posouzení MSÚ - momentová únosnost

$x = \frac{\Sigma A_{s,i} \cdot f_{yd}}{b_{eff} \cdot \lambda \cdot \eta \cdot f_{cd}} = (1\,257 \cdot 180,00) / (1474 \cdot 0,8 \cdot 1 \cdot 10,67) = 18$  mm

poloha neutrální osy od horního líce průřezu  $x = 18$  mm  $x < h_f = 90$  mm

poloha těžiště ocelových výztuží  $d_T = \Sigma(A_{s,i} \cdot d_i) / \Sigma A_{s,i} = 365\,996 / 1\,257 = 291$  mm

celkový moment únosnosti  $M_{c,Rd} = \Sigma A_{s,i} \cdot f_{yd} \cdot (d_T - 0,5 \cdot \lambda \cdot x) = 1\,257 \cdot 180 \cdot (0,29 - 0,5 \cdot 0,8 \cdot 0,018) = 64,25$  kN.m

$M_{y,Ed} / M_{c,Rd} = 39,60 / 64,25 = 0,62 < 1,00$  **VYHOVUJE**

Stávající prvek stropní konstrukce v místě sondy NV12	vyhovuje dle ČSN EN 1992-1-1 na nový stav.
Využití průřezu nosníku dle MSÚ na ohyb je 62%	Využití průřezu nosníku dle MSÚ ve smyku je 31%

## (04) NV12 (T\*) - monol. trám strop (T-průřez) - ZKRÁCENÝ

## STŘECHA

### (A) DATA

vyztužení: ocel hladká	beton: C16/20
charakteristická pevnost : ocel/beton $f_{yk} = -$	$f_{ck} = 16$ MPa
návrhová pevnost: ocel/beton $f_{yd} = 180$ MPa	$f_{cd} = 11$ MPa
$\gamma_s = -$	$\gamma_c = 1,5$
	$\lambda = 0,8$
	$\eta = 1,0$
spodní výztuž	
Geometrie:	
světélé rozpětí žb trámy $l_n = 2,12$ m = 2120 mm	ZKRÁCENÁ DÉLKA!
výška trámu $h = 0,35$ m = 350 mm	
šířka trámu $b_w = 0,16$ m = 160 mm	
tloušťka desky $h_f = 0,09$ m = 90 mm	
účinné rozpětí trámu (dle způsobu uložení) $l_o = 2,31$ m	(1,0 * $L_{eff}$ - prostý nosník)
osová vzdálenost trámů (zatěžovací šířka) $b = 2,14$ m	
vzdálenost mezi trámy zleva $(2)b_1 = 1,99$ m	
vzdálenost mezi trámy zprava $(2)b_2 = 1,97$ m	
spolupůsobící šířka $b_{eff} = 1,02$ m	
šířka podpory $t_1 = 0,19$ m	$t_2 = 0,19$ m
Účinné rozpětí nosníku $L_{eff} = l_n + a_1 + a_2$	
$L_{eff} = 2,31$ m	

### (A.1) Stanovení zatížení

reakce od žb desky  $r_k = 4,66$  [kN.m<sup>-1</sup>]  $r_d = 6,57$  [kN.m<sup>-1</sup>]

CELKOVÉ ZATÍŽENÍ STROPU - $q_n / q_d$ - na osu		zatížení [kN.m <sup>-1</sup> ]		Součinitele zatížení:
popis	charakt.	$\gamma_{g,q}$	návrhové	
2x reakce od žb desky	9,32	x -	13,15	$\gamma_g = 1,35$ -
vlastní tíha nosníku	1,40	x 1,35	1,89	$\gamma_q = 1,50$ -
kombinace pro MSP / MSÚ	$q_k = 10,72$		$q_d = 15,04$ [kN.m <sup>-1</sup> ]	

### (A.2) Stanovení vnitřních sil

dle TP 51, tab. C35 - Prostý nosník - zatížení spojitě

Reakce nosníku (odpovídá  $V_{z,Ed}$ )  $A = B = 1 / 2 \cdot q_d \cdot L_{eff} = 1 / 2 \cdot 15,04 \cdot 2,31 = 17,37$  kN

Maximální výpočtový moment  $M_{y,Ed} = 1 / 8 \cdot q_d \cdot L_{eff}^2 = 1 / 8 \cdot 15,04 \cdot 2,31^2 = 10,03$  kN.m

## (B) POSUDEK

### (B.1) Posouzení MSÚ - smyková únosnost

třmínky  $\phi$  8 mm, osově po cca 160-390 mm + 2x hup

celková únosnost ve smyku  $V_{z,Rd} =$  (viz příloha - Beton EC)

$$V_{z,Rd} = 112,44 \text{ kN/m}$$

$$V_{z,Ed} / V_{z,Rd} = 17,37 / 112,44 = 0,15 < 1,00 \quad \text{VYHOVUJE}$$

## (B.2) Posouzení MSÚ - momentová únosnost

$$x = \frac{\sum A_{s,i} \cdot f_{yd}}{b_{eff} \cdot \lambda \cdot \eta \cdot f_{cd}} = \frac{(1257 \cdot 180,00)}{(1018 \cdot 0,8 \cdot 1 \cdot 10,67)} = 26 \text{ mm}$$

poloha neutrálné osy od horního líce průřezu  $x = 26 \text{ mm}$   $x < h_f = 90 \text{ mm}$

poloha težiště ocelových výztuží  $d_T = \frac{\sum (A_{s,i} \cdot d_i)}{\sum A_{s,i}} = 365996 / 1257 = 291 \text{ mm}$

celkový moment únosnosti  $M_{c,Rd} = \sum A_{s,i} \cdot f_{yd} \cdot (d_T - 0,5 \cdot \lambda \cdot x) = 1257 \cdot 180 \cdot (0,29 - 0,5 \cdot 0,8 \cdot 0,026) = 63,52 \text{ kN.m}$

$$M_{y,Ed} / M_{c,Rd} = 10,03 / 63,52 = 0,16 < 1,00 \quad \text{VYHOVUJE}$$

Stávající prvek stropní konstrukce v místě sondy **NV12** vyhovuje dle ČSN EN 1992-1-1 na nový stav.

Využití průřezu nosníku dle MSÚ na ohyb je 16% . Využití průřezu nosníku dle MSÚ ve smyku je 15% .

(05) **NV14** (P) - monol. spojitý průvlak stropu

## STŘECHA

## (A) DATA

vyztužení: ocel hladká

beton: **C16/20**

charakteristická pevnost : ocel/beton

 $f_{yk} = -$  $f_{ck} = 16 \text{ MPa}$ 

návrhová pevnost: ocel/beton

 $f_{yd} = 180 \text{ MPa}$  $f_{cd} = 11 \text{ MPa}$  $\lambda = 0,8$  $\gamma_s = -$  $\gamma_c = 1,5$  $\eta = 1,0$ 

spodní výztuž

č.p.	1	2	3	4
$\phi$ [mm]	20	20	20	20
$c_{nom}$ [mm]	15	30	15	15
$d_i$ [mm]	385	370	385	385
$A_i$ [mm <sup>2</sup> ]	314	314	314	314

Geometrie:

výška trámu  $h = 0,41 \text{ m} = 410 \text{ mm}$

šířka trámu  $b_w = 0,32 \text{ m} = 320 \text{ mm}$

světélé rozpětí žb trámy  $l_n = 4,07 \text{ m} = 4070 \text{ mm}$

$L_{eff} = 4,27 \text{ m}$

## (A.1) Stanovení zatížení

Zdivo nad průvlakem šířka/výška  $\check{s} = 320 \text{ mm}$   $v = 450 \text{ mm}$

objemová hmotnost materiálů zdiva  $\rho = 18,00 \text{ kN/m}^3$  (cihelné zdivo)

Věvec šířka/výška  $\check{s} = 320 \text{ mm}$   $v = 200 \text{ mm}$

objemová hmotnost materiálů zdiva  $\rho = 25,00 \text{ kN/m}^3$  (žb)

CELKOVÉ ZATÍŽENÍ -  $q_n / q_d$  - na osuzatížení [kN.m<sup>-1</sup>]

popis	charakt.	$\gamma_{g,q}$	návrhové
reakce světélíky osy rámu po 1,0 m	5,00	x 1,40	7,00
tíha zdiva + věvec	4,19	x 1,35	5,66
vlastní tíha nosníku	3,28	x 1,35	4,43

Součinitele zatížení:

 $\gamma_g = 1,35$  $\gamma_q = 1,50$ 

kombinace pro MSP / MSÚ

 $q_k = 12,47$  $q_d = 17,09$ [kN.m<sup>-1</sup>]ZATÍŽENÍ BODOVÉ -  $P_k / P_d$  - bodové

reakce od NV12	$P_k = 24,60$	$P_d = 34,51$	[kN]
	$P_k = 24,60$	$P_d = 34,51$	[kN]

c= 2,137 m

d= 2,137 m

## (A.2) Stanovení vnitřních sil

Reakce desky

$$A = 1/2 \cdot q_d \cdot L + 1/L \cdot P_d \cdot d = 1/2 \cdot 17,09 \cdot 4,27 + 1/4,27 \cdot 34,51 \cdot 2,137 = 53,77 \text{ kN/m}$$

(38,95)

$$B = 1/2 \cdot q_d \cdot L + 1/L \cdot P_d \cdot c = 1/2 \cdot 17,09 \cdot 4,27 + 1/4,27 \cdot 34,51 \cdot 2,137 = 53,77 \text{ kN/m}$$

(38,95)

Maximální smyková síla

$$V_{z,Ed} = 53,77 \text{ kN/m}$$

(38,95)

Maximální výpočtový moment

$$M_{y,Ed} = 1/8 \cdot q_d \cdot L^2 + 1/L \cdot P_d \cdot c \cdot d = 1/8 \cdot 17,09 \cdot 4,27^2 + 1/4,27 \cdot 34,51 \cdot 2,14 \cdot 2,14 = 75,88 \text{ kN.m}$$

## (B) POSUDEK

## (B.1) Posouzení MSÚ - smyková únosnost

třmínky  $\phi$  8 mm, krytí 10 mm, osově po cca 280 mm



celková únosnost ve smyku  $V_{z,Rd} =$  (viz příloha - Beton EC)

$V_{z,Rd} = 56,64 \text{ kN/m}$

$V_{z,Ed} / V_{z,Rd} = 53,77 / 56,64 = 0,95 < 1,00$  **VYHOVUJE**

## (B.2) Posouzení MSÚ - momentová únosnost

$x = \frac{\sum A_{s,i} \cdot f_{yd}}{b_{eff} \cdot \lambda \cdot \eta \cdot f_{cd}} = (1\,257 \cdot 180) / (320 \cdot 0,8 \cdot 1 \cdot 10,67) =$

poloha neutrálné osy od horního líce průřezu  $x = 83 \text{ mm}$

poloha těžiště ocelových výztuží  $d_T = \frac{\sum (A_{s,i} \cdot d_i)}{\sum A_{s,i}} = 479\,093 / 1\,257$

$d_T = 381 \text{ mm}$

celkový moment únosnosti  $M_{c,Rd} = \sum A_{s,i} \cdot f_{yd} \cdot (d_T - 0,5 \cdot \lambda \cdot x) = 1\,257 \cdot 180 \cdot (0,38 - 0,5 \cdot 0,8 \cdot 0,083)$

$M_{c,Rd} = 78,74 \text{ kN.m}$

$M_{y,Ed} / M_{c,Rd} = 75,88 / 78,74 = 0,96 < 1,00$  **VYHOVUJE**

Stávající prvek stropní konstrukce v místě sondy **NV14** vyhovuje dle ČSN EN 1992-1-1 na stávající stav.

Využití průřezu nosníku dle MSÚ na ohyb je 96% . Využití průřezu nosníku dle MSÚ ve smyku je 95% .

**PŘÍLOHA Č. III.2a - BETON: STÁVAJÍCÍ PRVKY STROPŮ NAD 1.PP AŽ 3. NP**(01) **NV6** (d) - monol. deska mezi žb trámy T**(A) DATA****BEZ PŘÍČEK - STROPY NAD NP**

vyztužení: ocel hladká

beton: **C16/20**

charakteristická pevnost: ocel/beton

 $f_{yk} = -$  $f_{ck} = 16 \text{ MPa}$ 

návrhová pevnost: ocel/beton

 $f_{yd} = 180 \text{ MPa}$  $f_{cd} = 11 \text{ MPa}$  $\lambda = 0,8$  $\gamma_s = -$  $\gamma_c = 1,5$  $\eta = 1,0$ 

spodní týžď

č.p.	1	2	3	4	5	6
$\phi$ [mm]	8	8	8	8	8	8
$c_{nom}$ [mm]	10	10	10	10	10	10
osy [mm]	110	60	120	130	130	110
$d_i$ [mm]	81	81	81	81	81	81
$a_i$ [mm <sup>2</sup> ]	50	50	50	50	50	50

č.p.	7	8			-	-
$\phi$ [mm]	8	8				
$c_{nom}$ [mm]	10	10				
osy [mm]	160	120				
$d_i$ [mm]	81	81	0	0	0	0
$a_i$ [mm <sup>2</sup> ]	50	50	0	0	0	0

Geometrie:

světél rozpětí desky

 $l_o = 2,10 \text{ m} = 2100 \text{ mm}$ 

tloušťka desky

 $h_s = 0,10 \text{ m} = 95 \text{ mm}$ 

zatěžovací šířka

 $b = 1,00 \text{ m}$ 

rozpětí nosníku

 $l = l_o * 1,05$  $l = 2,21 \text{ m} = 2205 \text{ mm}$ **(A.1) Stanovení zatížení**CELKOVÉ ZATÍŽENÍ STROPY -  $q_n / q_d$  - plošné

stálé zatížení (podlaha)

 $g_k = 1,02 \text{ [kN.m}^{-2}\text{]}$  $\gamma_g = 1,35 -$ 

stálé zatížení (podhled)

 $g_k = 0,11 \text{ [kN.m}^{-2}\text{]}$  $\gamma_q = 1,50 -$ 

užitné zatížení

 $q_k = 2,50 \text{ [kN.m}^{-2}\text{]}$ ZATÍŽENÍ BODOVÉ -  $P_k / P_d$  - bodové $n = 100\%$ 

reakce od akustické příčky n%

 $n * P_k = 0,00$  $n * P_d = 0,00 \text{ [kN]}$  $c = 0,750 \text{ m}$  $d = 1,455 \text{ m}$ CELKOVÉ ZATÍŽENÍ STROPY -  $q_n / q_d$  - na osuzatížení [kN.m<sup>-1</sup>]

popis	charakt.	$\gamma_{g,q}$	návrhové
zatížení stropu - stálé	1,13	x 1,35	1,52
zatížení stropu - užitné	2,50	x 1,50	3,75
vlastní tíha desky	2,38	x 1,35	3,21

kombinace pro MSP / MSÚ  $q_k = 6,00$   $q_d = 8,48 \text{ [kN.m}^{-1}\text{]}$ **(A.2) Stanovení vnitřních sil**

Reakce desky

 $a = 1/2 * q_d * L + 1/L * P_d * d = 1/2 * 8,48 * 2,21 + 1/2,21 * 0,00 * 1,455$  $a = 9,35 \text{ kN/m}$ 

(6,62)

(reakce od stálého zatížení)

 $a_{z,d}(g) = 5,21 \text{ kN/m}$ 

(3,86)

(reakce od užitného zatížení)

 $a_{z,d}(q) = 4,13 \text{ kN/m}$ 

(2,76)

 $b = 1/2 * q_d * L + 1/L * P_d * c = 1/2 * 8,48 * 2,21 + 1/2,21 * 0,00 * 0,75$  $b = 9,35 \text{ kN/m}$ 

(6,62)

(reakce od stálého zatížení)

 $b_{z,d}(g) = 5,21 \text{ kN/m}$ 

(3,86)

(reakce od užitného zatížení)

 $b_{z,d}(q) = 4,13 \text{ kN/m}$ 

(2,76)

reakce bez příčky

 $r^* = 9,35 \text{ kN/m}$ 

(6,62)

Maximální smykova síla

 $v_{z,Ed} = 9,35 \text{ kN/m}$ 

(6,62)

Maximální výpočtový moment

 $m_{y,Ed} = 1/8 * q_d * L^2 + 1/L * P_d * c * d = 1/8 * 8,48 * 2,21^2 + 1/2,21 * 0,00 * 0,75 * 1,46$  $m_{y,Ed} = 5,15 \text{ kN.m/m}$ 

Maximální výpočtový moment

 $m_{y,Ed} = 1/2 * q_d * c * d + 1/L * P_d * c * d = 1/8 * 8,48 * 2,21^2 + 1/2,21 * 0,00 * 0,75 * 1,46$  $[v \text{ místě působí bodové síly (x=c)}]$   $m_{y,Ed} = 4,63 \text{ kN.m/m}$ **(B) POSUDEK****(B.1) Posouzení MSÚ - smykova únosnost**

celková únosnost ve smyku

 $v_{z,Rd} =$  (viz příloha - Beton EC) $v_{z,Rd} = 41,78 \text{ kN/m}$  $v_{z,Ed} / v_{z,Rd} = 9,35 / 41,78 = 0,22 < 1,00$ **VYHOVUJE**

## (B.2) Posouzení MSÚ - momentová únosnost

$$x = \frac{\sum a_{s,i} \cdot f_{yd}}{b \cdot \lambda \cdot \eta \cdot f_{cd}} = (402 \cdot 180,00) / (1000 \cdot 0,8 \cdot 1 \cdot 10,67)$$

poloha neutrálné osy od horního líce průřezu  $x = 8 \text{ mm}$

poloha težiště ocelových výztuží  $d_T = \frac{\sum(a_{s,i} \cdot d_i)}{\sum a_{s,i}} = 32\,572 / 402$

$d_T = 81 \text{ mm}$

celkový moment únosnosti  $m_{c,Rd} = \frac{\sum(a_{s,i} \cdot f_{yd}) \cdot (d_T - 0,5 \cdot \lambda \cdot x)}{m_{c,Rd}} = 402 \cdot 180 \cdot (0,08 - 0,5 \cdot 0,8 \cdot 0,008)$

$m_{c,Rd} = 5,62 \text{ kN.m}$

$m_{y,Ed} / m_{c,Rd} = 5,15 / 5,62 = 0,92 < 1,00 \text{ VYHOVUJE}$

Stávající prvek stropní konstrukce v místě sondy **NV6** vyhovuje dle ČSN EN 1992-1-1 na nový stav.

Využití průřezu desky dle MSÚ v ohybu je 92% . Využití průřezu desky dle MSÚ ve smyku je 22% .

(01\*) **NV6** (d) - monol. deska mezi žb trámy T**BEZ PŘÍČEK - STROPY NAD NP**

## (A) DATA

vyztužení: ocel hladká

beton: **C16/20**

charakteristická pevnost: ocel/beton

 $f_{yk} = -$  $f_{ck} = 16 \text{ MPa}$ 

návrhová pevnost: ocel/beton

 $f_{yd} = 180 \text{ MPa}$  $f_{cd} = 11 \text{ MPa}$  $\lambda = 0,8$  $\gamma_s = -$  $\gamma_c = 1,5$  $\eta = 1,0$ 

spodní týžď

č.p.	1	2	3	4	5	6
$\phi$ [mm]	8	8	8	8	8	8
$c_{nom}$ [mm]	10	10	10	10	10	10
osy [mm]	110	60	120	130	130	110
$d_i$ [mm]	81	81	81	81	81	81
$a_i$ [mm <sup>2</sup> ]	50	50	50	50	50	50

č.p.	7	8			-	-
$\phi$ [mm]	8	8				
$c_{nom}$ [mm]	10	10				
osy [mm]	160	120				
$d_i$ [mm]	81	81	0	0	0	0
$a_i$ [mm <sup>2</sup> ]	50	50	0	0	0	0

Geometrie:

světlé rozpětí desky

 $l_0 = 2,10 \text{ m} = 2100 \text{ mm}$ 

tloušťka desky

 $h_s = 0,10 \text{ m} = 95 \text{ mm}$ 

zatěžovací šířka

 $b = 1,00 \text{ m}$ 

rozpětí nosníku

 $l = l_0 \cdot 1,05$  $l = 2,21 \text{ m} = 2205 \text{ mm}$ 

## (A.1) Stanovení zatížení

CELKOVÉ ZATÍŽENÍ STROPY -  $q_n$  /  $q_d$  - plošné

stálé zatížení (podlaha F02)

 $g_k = 1,02 \text{ [kN.m}^{-2}]$   $\gamma_g = 1,35$ 

stálé zatížení (podhled P1+P5)

 $g_k = 0,44 \text{ [kN.m}^{-2}]$   $\gamma_g = 1,50$ 

užitné zatížení

 $q_k = 2,50 \text{ [kN.m}^{-2}]$ ZATÍŽENÍ BODOVÉ -  $P_k$  /  $P_d$  - bodové $n = 100\%$ 

reakce od akustické příčky n%

 $n \cdot P_k = 0,00$  $n \cdot P_d = 0,00$  $c = 0,750 \text{ m}$  $d = 1,455 \text{ m}$ CELKOVÉ ZATÍŽENÍ STROPY -  $q_n$  /  $q_d$  - na osuzatížení [kN.m<sup>-1</sup>]

popis	charakt.	$\gamma_{q,q}$	návrhové
zatížení stropu - stálé	1,46	x 1,35	1,97
zatížení stropu - užitné	2,50	x 1,50	3,75
vlastní tíha desky	2,38	x 1,35	3,21
kombinace pro MSP / MSÚ	$q_k = 6,33$		$q_d = 8,92$ [kN.m <sup>-1</sup> ]

## (A.2) Stanovení vnitřních sil

Reakce desky

 $a = 1/2 \cdot q_d \cdot L + 1/L \cdot P_d \cdot d = 1/2 \cdot 8,92 \cdot 2,21 + 1/2,21 \cdot 0,00 \cdot 1,455$  $a = 9,84 \text{ kN/m}$  (6,98)

(reakce od stálého zatížení)

 $a_{z,d}(g) = 5,70 \text{ kN/m}$  (4,22)

(reakce od užitného zatížení)

 $a_{z,d}(q) = 4,13 \text{ kN/m}$  (2,76) $b = 1/2 \cdot q_d \cdot L + 1/L \cdot P_d \cdot c = 1/2 \cdot 8,92 \cdot 2,21 + 1/2,21 \cdot 0,00 \cdot 0,75$  $b = 9,84 \text{ kN/m}$  (6,98)

(reakce od stálého zatížení)

 $b_{z,d}(g) = 5,70 \text{ kN/m}$  (4,22)

(reakce od užitého zatížení)	$b_{z,d}(q) =$	4,13 kN/m	(2,76)
reakce bez příčky	$r^* =$	9,84 kN/m	(6,98)
Maximální smyková síla	$V_{z,Ed} =$	9,84 kN/m	(6,98)
Maximální výpočtový moment	$m_{y,Ed} =$	$1/8 \cdot q_d \cdot L^2 + 1/L \cdot P_d \cdot c \cdot d$	$= 1/8 \cdot 8,92 \cdot 2,21^2 \cdot 2,21 + 1/2,21 \cdot 0,00 \cdot 0,75 \cdot 1,46$
	$m_{y,Ed} =$	5,42 kN.m/m	
Maximální výpočtový moment	$m_{y,Ed} =$	$1/2 \cdot q_d \cdot c \cdot d + 1/L \cdot P_d \cdot c \cdot d$	$= 1/8 \cdot 8,92 \cdot 2,21^2 \cdot 2,21 + 1/2,21 \cdot 0,00 \cdot 0,75 \cdot 1,46$
[v místě působí bodové síly ( $x=c$ )]	$m_{y,Ed} =$	4,87 kN.m/m	

**(B) POSUDEK****(B.1) Posouzení MSÚ - smyková únosnost**

celková únosnost ve smyku	$V_{z,Rd} =$	(viz příloha - Beton EC)
	$V_{z,Rd} =$	41,78 kN/m
	$V_{z,Ed} / V_{z,Rd} =$	9,84 / 41,78 = 0,24 < 1,00 <b>VYHOVUJE</b>

**(B.2) Posouzení MSÚ - momentová únosnost**

	$x =$	$\frac{\sum a_{s,i} \cdot f_{yd}}{b \cdot \lambda \cdot \eta \cdot f_{cd}}$	=	(402 * 180,00) / (1000 * 0,8 * 1 * 10,67)
poloha neutrálné osy od horního líce průřezu	$x =$	8 mm		
poloha těžiště ocelových výztuží	$d_T =$	$\Sigma(a_{s,i} \cdot d_i) / \Sigma a_{s,i}$	=	32 572 / 402
	$d_T =$	81 mm		
celkový moment únosnosti	$m_{c,Rd} =$	$\Sigma(a_{s,i} \cdot f_{yd}) \cdot (d_T - 0,5 \cdot \lambda \cdot x)$	=	402 * 180 * (0,08 - 0,5 * 0,8 * 0,008)
	$m_{c,Rd} =$	5,62 kN.m		
	$m_{y,Ed} / m_{c,Rd} =$	5,42 / 5,62 =	0,97 < 1,00 <b>VYHOVUJE</b>	

Stávající prvek stropní konstrukce v místě sondy **NV6** vyhovuje dle ČSN EN 1992-1-1 na nový stav.  
 Využití průřezu desky dle MSÚ v ohybu je 97% . Využití průřezu desky dle MSÚ ve smyku je 24% .

**(02) NV6 (d) - monol. deska mezi žb trámy T****SAMOOSLUŽNÉ STUDIO - STROP NAD 2. NP****(A) DATA**

	vyztužení: ocel hladká		beton: <b>C16/20</b>	
charakteristická pevnost: ocel/beton	$f_{yk} =$	-	$f_{ck} =$	16 MPa
návrhová pevnost: ocel/beton	$f_{yd} =$	180 MPa	$f_{cd} =$	11 MPa
	$\gamma_s =$	-	$\gamma_c =$	1,5
			$\lambda =$	0,8
			$\eta =$	1,0

spodní týžtuž

č.p.	1	2	3	4	5	6
$\phi$ [mm]	8	8	8	8	8	8
$c_{nom}$ [mm]	10	10	10	10	10	10
osy [mm]	110	60	120	130	130	110
$d_i$ [mm]	81	81	81	81	81	81
$a_i$ [mm <sup>2</sup> ]	50	50	50	50	50	50

č.p.	7	8			-	-
$\phi$ [mm]	8	8				
$c_{nom}$ [mm]	10	10				
osy [mm]	160	120				
$d_i$ [mm]	81	81	0	0	0	0
$a_i$ [mm <sup>2</sup> ]	50	50	0	0	0	0

Geometrie:

světélé rozpětí desky	$l_o =$	2,10 m	=	2100 mm
tloušťka desky	$h_s =$	0,10 m	=	95 mm
zatěžovací šířka	$b =$	1,00 m		
rozpětí nosníku	$l = l_o \cdot 1,05$			
	$l =$	2,21 m	=	2205 mm

**(A.1) Stanovení zatížení**CELKOVÉ ZATÍŽENÍ STROPU -  $q_n / q_d$  - plošné

stálé zatížení (podlaha)	$g_k =$	1,93 [kN.m <sup>-2</sup> ]	$\gamma_g =$	1,35 -
stálé zatížení (podhled P7+P4)	$g_k =$	0,55 [kN.m <sup>-2</sup> ]	$\gamma_g =$	1,50 -
užitné zatížení	$q_k =$	2,50 [kN.m <sup>-2</sup> ]		

ZATÍŽENÍ BODOVÉ -  $P_k / P_d$  - bodové

reakce od akustické příčky n%	$n \cdot P_k =$	3,71	$n \cdot P_d =$	5,01 [kN]	$c =$	0,750 m
					$d =$	1,455 m

CELKOVÉ ZATÍŽENÍ STROPU - $q_n / q_d$ - na osu		zatížení [kN.m <sup>-1</sup> ]	
popis	charakt.	$\gamma_{g,q}$	návrhové

zatížení stropu - stálé	2,48	x 1,35	3,35
zatížení stropu - užité	2,50	x 1,50	3,75
vlastní tíha desky	2,38	x 1,35	3,21
kombinace pro MSP / MSÚ	$q_k =$	7,36	$q_d =$ 10,31 [kN.m <sup>-1</sup> ]

## (A.2) Stanovení vnitřních sil

Reakce desky	$a = 1/2 \cdot q_d \cdot L + 1/L \cdot P_d \cdot d$	$= 1/2 \cdot 10,31 \cdot 2,21 + 1/2,21 \cdot 5,01 \cdot 1,455$
	$a =$	14,67 kN/m (10,56)
(reakce od stálého zatížení)	$a_{z,d}(g) =$	10,53 kN/m (7,80)
(reakce od užitého zatížení)	$a_{z,d}(q) =$	4,13 kN/m (2,76)
	$b = 1/2 \cdot q_d \cdot L + 1/L \cdot P_d \cdot c$	$= 1/2 \cdot 10,31 \cdot 2,21 + 1/2,21 \cdot 5,01 \cdot 0,75$
	$b =$	13,07 kN/m (9,37)
(reakce od stálého zatížení)	$b_{z,d}(g) =$	8,93 kN/m (6,62)
(reakce od užitého zatížení)	$b_{z,d}(q) =$	4,13 kN/m (2,76)
reakce bez příčky	$r^* =$	11,37 kN/m (8,11)
Maximální smyková síla	$V_{z,Ed} =$	14,67 kN/m (10,56)
Maximální výpočtový moment	$m_{y,Ed} = 1/8 \cdot q_d \cdot L^2 + 1/L \cdot P_d \cdot c \cdot d$	$= 1/8 \cdot 10,31 \cdot 2,21^2 \cdot 2,21 + 1/2,21 \cdot 5,01 \cdot 0,75 \cdot 1,46$
	$m_{y,Ed} =$	8,74 kN.m/m
Maximální výpočtový moment	$m_{y,Ed} = 1/2 \cdot q_d \cdot c \cdot d + 1/L \cdot P_d \cdot c \cdot d$	$= 1/8 \cdot 10,31 \cdot 2,21^2 \cdot 2,21 + 1/2,21 \cdot 5,01 \cdot 0,75 \cdot 1,46$
[v místě působí bodové síly (x=c)]	$m_{y,Ed} =$	8,10 kN.m/m

## (B) POSUDEK

## (B.1) Posouzení MSÚ - smyková únosnost

celková únosnost ve smyku	$V_{z,Rd} =$	(viz příloha - Beton EC)
	$V_{z,Rd} =$	41,78 kN/m
$V_{z,Ed} / V_{z,Rd} = 14,67 / 41,78 =$	0,35	< 1,00 <b>VYHOVUJE</b>

## (B.2) Posouzení MSÚ - momentová únosnost

	$x = \frac{\sum a_{s,i} \cdot f_{yd}}{b \cdot \lambda \cdot \eta \cdot f_{cd}}$	$= (402 \cdot 180,00) / (1000 \cdot 0,8 \cdot 1 \cdot 10,67)$
poloha neutrálné osy od horního líce průřezu	$x =$	8 mm
poloha těžiště ocelových výztuží	$d_T = \frac{\sum (a_{s,i} \cdot d_i)}{\sum a_{s,i}}$	$= 32\,572 / 402$
	$d_T =$	81 mm
celkový moment únosnosti	$m_{c,Rd} = \sum (a_{s,i} \cdot f_{yd}) \cdot (d_T - 0,5 \cdot \lambda \cdot x)$	$= 402 \cdot 180 \cdot (0,08 - 0,5 \cdot 0,8 \cdot 0,008)$
	$m_{c,Rd} =$	5,62 kN.m
$m_{y,Ed} / m_{c,Rd} = 8,74 / 5,62 =$	1,56	> 1,00 <b>NEVYHOVUJE</b>

Stávající prvek stropní konstrukce v místě sondy **NV6** NEVYHOVUJE dle ČSN EN 1992-1-1 na nový stav.

Využití průřezu desky dle MSÚ v ohybu je 156% . Využití průřezu desky dle MSÚ ve smyku je 35% .

(03) **NV6** (d) - monol. deska mezi žb trámy T**SAMOOSLUŽNÉ STUDIO - STROP NAD 2. NP**

## (A) DATA

vyztužení: ocel hladká	beton: <b>C16/20</b>
charakteristická pevnost: ocel/beton	$f_{yk} =$ - $f_{ck} =$ 16 MPa
návrhová pevnost: ocel/beton	$f_{yd} =$ 180 MPa $f_{cd} =$ 11 MPa $\lambda =$ 0,8
	$\gamma_s =$ - $\gamma_c =$ 1,5 $\eta =$ 1,0

spodní týžď

č.p.	1	2	3	4	5	6
$\phi$ [mm]	8	8	8	8	8	8
$c_{nom}$ [mm]	10	10	10	10	10	10
osy [mm]	110	60	120	130	130	110
$d_i$ [mm]	81	81	81	81	81	81
$a_i$ [mm <sup>2</sup> ]	50	50	50	50	50	50

č.p.	7	8			-	-
$\phi$ [mm]	8	8				
$c_{nom}$ [mm]	10	10				
osy [mm]	160	120				
$d_i$ [mm]	81	81	0	0	0	0
$a_i$ [mm <sup>2</sup> ]	50	50	0	0	0	0

Geometrie:

světél rozpětí desky	$l_0 =$	2,10 m	=	2100 mm
tloušťka desky	$h_s =$	0,10 m	=	95 mm
zatěžovací šířka	$b =$	1,00 m		
rozpětí nosníku	$l = l_0 \cdot 1,05$			
	$l =$	2,21 m	=	2205 mm

## (A.1) Stanovení zatížení

CELKOVÉ ZATÍŽENÍ STROPU -  $q_n / q_d$  - plošné

stálé zatížení (podlaha)	$g_k =$	1,93	[kN.m <sup>-2</sup> ]	$\gamma_g =$	1,35	-
stálé zatížení (podhled)	$g_k =$	0,55	[kN.m <sup>-2</sup> ]	$\gamma_g =$	1,50	-
užitné zatížení	$q_k =$	2,50	[kN.m <sup>-2</sup> ]			

ZATÍŽENÍ BODOVÉ -  $P_k / P_d$  - bodové

reakce od akustické přičky	$P_k =$	0,00	$P_d =$	0,00	[kN]	$c =$	0,000	m
						$d =$	2,205	m

CELKOVÉ ZATÍŽENÍ STROPU -  $q_n / q_d$  - na osu

		zatížení [kN.m <sup>-1</sup> ]		
popis	charakt.	$\gamma_{g,q}$	návrhové	
zatížení stropu - stálé	2,48	x 1,35	3,35	
50% zatížení stropu - užitné	1,25	x 1,50	1,88	
100% přičky rovnoběžné s deskou	3,71	x 1,35	5,01	
vlastní tíha desky	2,38	x 1,35	3,21	
kombinace pro MSP / MSÚ	$q_k =$	9,82	$q_d =$	13,44 [kN.m <sup>-1</sup> ] m

## (A.2) Stanovení vnitřních sil

Reakce desky

	$a = 1/2 \cdot q_d \cdot L + 1/L \cdot P_d \cdot d$	$= 1/2 \cdot 13,44 \cdot 2,21 + 1/2,21 \cdot 0,00 \cdot 2,205$
	$a =$	14,82 kN/m (10,82)
(reakce od stálého zatížení)	$a_{z,d}(g) =$	7,23 kN/m (5,36)
(reakce od užitného zatížení)	$a_{z,d}(q) =$	2,07 kN/m (1,38)
	$b = 1/2 \cdot q_d \cdot L + 1/L \cdot P_d \cdot c$	$= 1/2 \cdot 13,44 \cdot 2,21 + 1/2,21 \cdot 0,00 \cdot 0$
	$b =$	14,82 kN/m (10,82)
(reakce od stálého zatížení)	$b_{z,d}(g) =$	7,23 kN/m (5,36)
(reakce od užitného zatížení)	$b_{z,d}(q) =$	2,07 kN/m (1,38)
reakce bez přičky	$r^* =$	14,82 kN/m (10,82)
Maximální smyková síla	$v_{z,Ed} =$	14,82 kN/m (10,82)
Maximální výpočtový moment	$m_{y,Ed} = 1/8 \cdot q_d \cdot L^2 + 1/L \cdot P_d \cdot c \cdot d$	$= 1/8 \cdot 13,44 \cdot 2,21^2 + 1/2,21 \cdot 0,00 \cdot 0,00 \cdot 2,21$
	$m_{y,Ed} =$	8,17 kN.m/m

## (B) POSUDEK

## (B.1) Posouzení MSÚ - smyková únosnost

celková únosnost ve smyku

$V_{z,Rd} =$	(viz příloha - Beton EC)
$V_{z,Rd} =$	41,78 kN/m
$V_{z,Ed} / V_{z,Rd} =$	14,82 / 41,78 = 0,35 < 1,00 <b>VYHOVUJE</b>

## (B.2) Posouzení MSÚ - momentová únosnost

	$x = \frac{\sum a_{s,i} \cdot f_{yd}}{b \cdot \lambda \cdot \eta \cdot f_{cd}}$	$= (402 \cdot 180,00) / (1000 \cdot 0,8 \cdot 1 \cdot 10,67)$
poloha neutrálné osy od horního líce průřezu	$x =$	8 mm
poloha těžiště ocelových výztuží	$d_T = \frac{\sum (a_{s,i} \cdot d_i)}{\sum a_{s,i}}$	$= 32\,572 / 402$
	$d_T =$	81 mm
celkový moment únosnosti	$m_{c,Rd} = \frac{\sum (a_{s,i} \cdot f_{yd}) \cdot (d_T - 0,5 \cdot \lambda \cdot x)}{1}$	$= 402 \cdot 180 \cdot (0,08 - 0,5 \cdot 0,8 \cdot 0,008)$
	$m_{c,Rd} =$	5,62 kN.m
	$m_{y,Ed} / m_{c,Rd} =$	8,17 / 5,62 = 1,45 > 1,00 <b>NEVYHOVUJE</b>

Stávající prvek stropní konstrukce v místě sondy **NV6** NEVYHOVUJE dle ČSN EN 1992-1-1 na nový stav.

Využití průřezu desky dle MSÚ v ohybu je 145% . Využití průřezu desky dle MSÚ ve smyku je 35% .

(04) **NV6** (d) - monol. deska mezi žb trámy T**WC - 1 PŘÍČKA V L/2 - STROP NAD 2. NP**

## (A) DATA

vyztužení: ocel hladká	beton: <b>C16/20</b>
charakteristická pevnost: ocel/beton	$f_{yk} =$ - $f_{ck} =$ 16 MPa
návrhová pevnost: ocel/beton	$f_{yd} =$ 180 MPa $f_{cd} =$ 11 MPa $\lambda =$ 0,8
	$\gamma_s =$ - $\gamma_c =$ 1,5 $\eta =$ 1,0

spodní týžtuž

č.p.	1	2	3	4	5	6
$\phi$ [mm]	8	8	8	8	8	8
$c_{nom}$ [mm]	10	10	10	10	10	10
osy [mm]	110	60	120	130	130	110
$d_i$ [mm]	81	81	81	81	81	81
$a_i$ [mm <sup>2</sup> ]	50	50	50	50	50	50

č.p.	7	8			-	-
$\phi$ [mm]	8	8				
$c_{nom}$ [mm]	10	10				
osy [mm]	160	120				
$d_i$ [mm]	81	81	0	0	0	0
$a_i$ [mm <sup>2</sup> ]	50	50	0	0	0	0

Geometrie:

světlé rozpětí desky	$l_0 =$	2,10 m	=	2100 mm
tloušťka desky	$h_s =$	0,10 m	=	95 mm
zatěžovací šířka	$b =$	1,00 m		
rozpětí nosníku	$l = l_0 * 1,05$			
	$l =$	2,21 m	=	2205 mm

## (A.1) Stanovení zatížení

CELKOVÉ ZATÍŽENÍ STROPU -  $q_n$  /  $q_d$  - plošné

stálé zatížení (podlaha)	$g_k =$	1,02	[kN.m <sup>-2</sup> ]	$\gamma_g =$	1,35	-
stálé zatížení (podhled)	$g_k =$	0,11	[kN.m <sup>-2</sup> ]	$\gamma_g =$	1,50	-
užitné zatížení	$q_k =$	2,00	[kN.m <sup>-2</sup> ]			

ZATÍŽENÍ BODOVÉ -  $P_k$  /  $P_d$  - bodové

reakce od příčky n%	$n * P_k =$	1,63	$n * P_d =$	2,19	[kN]	$c =$	1,103	m
						$d =$	1,103	m

CELKOVÉ ZATÍŽENÍ STROPU -  $q_n$  /  $q_d$  - na osu

CELKOVÉ ZATÍŽENÍ STROPU - $q_n$ / $q_d$ - na osu		zatížení [kN.m <sup>-1</sup> ]			
popis	charakt.	$\gamma_{g,q}$	návrhové		
zatížení stropu - stálé	1,13	x 1,35	1,52		
zatížení stropu - užitné	2,00	x 1,50	3,00		
vlastní tíha desky	2,38	x 1,35	3,21		
kombinace pro MSP / MSÚ	$q_k =$	5,50	$q_d =$	7,73	[kN.m <sup>-1</sup> ]

## (A.2) Stanovení vnitřních sil

Reakce desky

	$a = 1/2 * q_d * L + 1/L * P_d * d$	$= 1/2 * 7,73 * 2,21 + 1/2,21 * 2,19 * 1,1025$
	$a =$	9,62 kN/m (6,88)
(reakce od stálého zatížení)	$a_{z,d}(g) =$	6,31 kN/m (4,67)
(reakce od užitného zatížení)	$a_{z,d}(q) =$	3,31 kN/m (2,21)
	$b = 1/2 * q_d * L + 1/L * P_d * c$	$= 1/2 * 7,73 * 2,21 + 1/2,21 * 2,19 * 1,1025$
	$b =$	9,62 kN/m (6,88)
(reakce od stálého zatížení)	$b_{z,d}(g) =$	6,31 kN/m (4,67)
(reakce od užitného zatížení)	$b_{z,d}(q) =$	3,31 kN/m (2,21)
reakce bez příčky	$r^* =$	8,52 kN/m (6,07)
Maximální smyková síla	$v_{z,Ed} =$	9,62 kN/m (6,88)
Maximální výpočtový moment	$m_{y,Ed} = 1/8 * q_d * L^2 + 1/L * P_d * c * d$	$= 1/8 * 7,73 * 2,21^2 * 2,21 + 1/2,21 * 2,19 * 1,10 * 1,10$
	$m_{y,Ed} =$	5,91 kN.m/m

## (B) POSUDEK

## (B.1) Posouzení MSÚ - smyková únosnost

celková únosnost ve smyku

$V_{z,Rd} =$	(viz příloha - Beton EC)
$V_{z,Rd} =$	41,78 kN/m
$V_{z,Ed} / V_{z,Rd} =$	9,62 / 41,78 = 0,23 < 1,00

VYHOVUJE

## (B.2) Posouzení MSÚ - momentová únosnost

	$x = \frac{\sum a_{s,i} \cdot f_{yd}}{b \cdot \lambda \cdot \eta \cdot f_{cd}}$	$= (402 * 180,00) / (1000 * 0,8 * 1 * 10,67)$
poloha neutrálné osy od horního líce průřezu	$x =$	8 mm
poloha těžiště ocelových výztuží	$d_T = \frac{\sum (a_{s,i} \cdot d_i)}{\sum a_{s,i}}$	$= 32\,572 / 402$
	$d_T =$	81 mm
celkový moment únosnosti	$m_{c,Rd} = \frac{\sum (a_{s,i} \cdot f_{yd}) \cdot (d_T - 0,5 \cdot \lambda \cdot x)}{m_{c,Rd}}$	$= 402 * 180 * (0,08 - 0,5 * 0,8 * 0,008)$
	$m_{c,Rd} =$	5,62 kN.m
	$m_{y,Ed} / m_{c,Rd} =$	5,91 / 5,62 = 1,05 > 1,00

NEVYHOVUJE

Stávající prvek stropní konstrukce v místě sondy **NV6** NEVYHOVUJE dle ČSN EN 1992-1-1 na nový stav.

Využití průřezu desky dle MSÚ v ohybu je 105% . Využití průřezu desky dle MSÚ ve smyku je 23% .

**(A) DATA**

vyztužení: ocel hladká

beton: **C16/20**

charakteristická pevnost: ocel/beton

 $f_{yk} = -$  $f_{ck} = 16 \text{ MPa}$ 

návrhová pevnost: ocel/beton

 $f_{yd} = 180 \text{ MPa}$  $f_{cd} = 11 \text{ MPa}$  $\lambda = 0,8$  $\gamma_s = -$  $\gamma_c = 1,5$  $\eta = 1,0$ 

spodní týžtuž

č.p.	1	2	3	4	5	6
$\phi$ [mm]	8	8	8	8	8	8
$c_{nom}$ [mm]	10	10	10	10	10	10
osy [mm]	110	60	120	130	130	110
$d_i$ [mm]	81	81	81	81	81	81
$a_i$ [mm <sup>2</sup> ]	50	50	50	50	50	50

č.p.	7	8			-	-
$\phi$ [mm]	8	8				
$c_{nom}$ [mm]	10	10				
osy [mm]	160	120				
$d_i$ [mm]	81	81	0	0	0	0
$a_i$ [mm <sup>2</sup> ]	50	50	0	0	0	0

Geometrie:

světélé rozpětí desky

 $l_0 = 2,10 \text{ m} = 2100 \text{ mm}$ 

tloušťka desky

 $h_s = 0,10 \text{ m} = 95 \text{ mm}$ 

zatěžovací šířka

 $b = 1,00 \text{ m}$ 

rozpětí nosníku

 $l = l_0 \cdot 1,05$  $l = 2,21 \text{ m} = 2205 \text{ mm}$ **(A.1) Stanovení zatížení**CELKOVÉ ZATÍŽENÍ STROPU -  $q_n$  /  $q_d$  - plošné

stálé zatížení (podlaha)

 $g_k = 1,02 \text{ [kN.m}^{-2}\text{]}$  $\gamma_g = 1,35 -$ 

stálé zatížení (podhled)

 $g_k = 0,11 \text{ [kN.m}^{-2}\text{]}$  $\gamma_g = 1,50 -$ 

užitné zatížení

 $q_k = 2,00 \text{ [kN.m}^{-2}\text{]}$ ZATÍŽENÍ BODOVÉ -  $P_k$  /  $P_d$  - bodové $n = 100\%$ 

reakce od akustické přičky n%

 $n \cdot P_k = 1,63$  $n \cdot P_d = 2,19 \text{ [kN]}$  $c = 0,735 \text{ m L / 3 !}$  $d = 0,735 \text{ m L / 3 !}$  $c = 0,735 \text{ m L / 3 !}$ CELKOVÉ ZATÍŽENÍ STROPU -  $q_n$  /  $q_d$  - na osuzatížení [kN.m<sup>-1</sup>]

popis	charakt.	$\gamma_{g,q}$	návrhové
zatížení stropu - stálé	1,13	x 1,35	1,52
zatížení stropu - užitné	2,00	x 1,50	3,00
vlastní tíha desky	2,38	x 1,35	3,21
kombinace pro MSP / MSÚ	$q_k = 5,50$		$q_d = 7,73 \text{ [kN.m}^{-1}\text{]}$

**(A.2) Stanovení vnitřních sil**

Reakce desky

 $a = 1/2 \cdot q_d \cdot L + P_d = 1/2 \cdot 7,73 \cdot 2,21 + 2,19$  $a = 10,71 \text{ kN/m (7,69)}$ 

reakce bez přičky

 $r^* = 8,52 \text{ kN/m (6,07)}$ 

Maximální smyková síla

 $V_{z,Ed} = 10,71 \text{ kN/m}$ 

Maximální výpočtový moment

 $m_{y,Ed} = 1/8 \cdot q_d \cdot L^2 + P_d \cdot l/3 = 1/8 \cdot 7,73 \cdot 2,21^2 + 2,21 \cdot 2,19/3$  $m_{y,Ed} = 6,31 \text{ kN.m/m}$ **(B) POSUDEK****(B.1) Posouzení MSÚ - smyková únosnost**

celková únosnost ve smyku

 $V_{z,Rd} =$  (viz příloha - Beton EC) $V_{z,Rd} = 41,78 \text{ kN/m}$  $V_{z,Ed} / V_{z,Rd} = 10,71 / 41,78 = 0,26 < 1,00$ **VYHOVUJE****(B.2) Posouzení MSÚ - momentová únosnost** $x = \frac{\sum a_{s,i} \cdot f_{yd}}{b \cdot \lambda \cdot \eta \cdot f_{cd}} = (402 \cdot 180,00) / (1000 \cdot 0,8 \cdot 1 \cdot 10,67)$ 

poloha neutrálné osy od horního líce průřezu

 $x = 8 \text{ mm}$ 

poloha těžiště ocelových výztuží

 $d_T = \frac{\sum (a_{s,i} \cdot d_i)}{\sum a_{s,i}} = 32\,572 / 402$  $d_T = 81 \text{ mm}$ 

celkový moment únosnosti

 $m_{c,Rd} = \sum (a_{s,i} \cdot f_{yd}) \cdot (d_T - 0,5 \cdot \lambda \cdot x) = 402 \cdot 180 \cdot (0,08 - 0,5 \cdot 0,8 \cdot 0,008)$  $m_{c,Rd} = 5,62 \text{ kN.m}$  $m_{y,Ed} / m_{c,Rd} = 6,31 / 5,62 = 1,12 > 1,00$  **NEVYHOVUJE**



Stávající prvek stropní konstrukce v místě sondy **NV6** NEVYHOVUJE dle ČSN EN 1992-1-1 na nový stav.

Využití průřezu desky dle MSÚ v ohybu je 112% . Využití průřezu desky dle MSÚ ve smyku je 26% .

(06) **NV6** (d) - **monol. deska mezi žb trámy T****WC - 2 PŘÍČKY V L/3 A 2L/3 - STROP NAD 3. NP****(A) DATA**

vyztužení: ocel hladká

beton: **C16/20**

charakteristická pevnost: ocel/beton

 $f_{yk} = -$  $f_{ck} = 16 \text{ MPa}$ 

návrhová pevnost: ocel/beton

 $f_{yd} = 180 \text{ MPa}$  $f_{cd} = 11 \text{ MPa}$  $\lambda = 0,8$  $\gamma_s = -$  $\gamma_c = 1,5$  $\eta = 1,0$ 

spodní týžtuž

č.p.	1	2	3	4	5	6
$\phi$ [mm]	8	8	8	8	8	8
$c_{nom}$ [mm]	10	10	10	10	10	10
osy [mm]	110	60	120	130	130	110
$d_i$ [mm]	81	81	81	81	81	81
$a_i$ [mm <sup>2</sup> ]	50	50	50	50	50	50

č.p.	7	8			-	-
$\phi$ [mm]	8	8				
$c_{nom}$ [mm]	10	10				
osy [mm]	160	120				
$d_i$ [mm]	81	81	0	0	0	0
$a_i$ [mm <sup>2</sup> ]	50	50	0	0	0	0

Geometrie:

světél rozpětí desky

 $l_0 = 2,10 \text{ m} = 2100 \text{ mm}$ 

tloušťka desky

 $h_s = 0,10 \text{ m} = 95 \text{ mm}$ 

zatěžovací šířka

 $b = 1,00 \text{ m}$ 

rozpětí nosníku

 $l = l_0 \cdot 1,05$  $l = 2,21 \text{ m} = 2205 \text{ mm}$ **(A.1) Stanovení zatížení**CELKOVÉ ZATÍŽENÍ STROPU -  $q_n / q_d$  - plošné

stálé zatížení (podlaha)

 $g_k = 1,02 \text{ [kN.m}^{-2}\text{]}$  $\gamma_g = 1,35$ 

stálé zatížení (podhled)

 $g_k = 0,11 \text{ [kN.m}^{-2}\text{]}$  $\gamma_q = 1,50$ 

užitné zatížení

 $q_k = 2,00 \text{ [kN.m}^{-2}\text{]}$ ZATÍŽENÍ BODOVÉ -  $P_k / P_d$  - bodové $n = 100\%$ 

reakce od akustické příčky n%

 $n \cdot P_k = 0,44$  $1/2 \cdot P_d = 0,59 \text{ [kN]}$  $c = 0,735 \text{ m} \quad L / 3 !$  $d = 0,735 \text{ m} \quad L / 3 !$  $c = 0,735 \text{ m} \quad L / 3 !$ CELKOVÉ ZATÍŽENÍ STROPU -  $q_n / q_d$  - na osuzatížení [kN.m<sup>-1</sup>]

popis	charakt.	$\gamma_{q,q}$	návrhové
zatížení stropu - stálé	1,13	x 1,35	1,52
zatížení stropu - užitné	2,00	x 1,50	3,00
vlastní tíha desky	2,38	x 1,35	3,21
kombinace pro MSP / MSÚ	$q_k = 5,50$		$q_d = 7,73 \text{ [kN.m}^{-1}\text{]}$

**(A.2) Stanovení vnitřních sil**

Reakce desky

 $a = 1/2 \cdot q_d \cdot L + P_d = 1/2 \cdot 7,73 \cdot 2,21 + 0,59$  $a = 9,11 \text{ kN/m} \quad (6,50)$ 

reakce bez příčky

 $r^* = 8,52 \text{ kN/m} \quad (6,07)$ 

Maximální smyková síla

 $v_{z,Ed} = 9,11 \text{ kN/m}$ 

Maximální výpočtový moment

 $m_{y,Ed} = 1/8 \cdot q_d \cdot L^2 + P_d \cdot l/3 = 1/8 \cdot 7,73 \cdot 2,21^2 + 2,21 \cdot 0,59/3$  $m_{y,Ed} = 5,13 \text{ kN.m/m}$ **(B) POSUDEK****(B.1) Posouzení MSÚ - smyková únosnost**

celková únosnost ve smyku

 $v_{z,Rd} =$  (viz příloha - Beton EC) $v_{z,Rd} = 41,78 \text{ kN/m}$  $v_{z,Ed} / v_{z,Rd} = 9,11 / 41,78 = 0,22 < 1,00$ **VYHOVUJE****(B.2) Posouzení MSÚ - momentová únosnost** $x = \frac{\sum a_{s,i} \cdot f_{yd}}{b \cdot \lambda \cdot \eta \cdot f_{cd}} = (402 \cdot 180,00) / (1000 \cdot 0,8 \cdot 1 \cdot 10,67)$ 

poloha neutrálné osy od horního líce průřezu

 $x = 8 \text{ mm}$ 

poloha těžiště ocelových výztuží

 $d_T = \frac{\sum (a_{s,i} \cdot d_i)}{\sum a_{s,i}} = 32\,572 / 402$

$$d_T = 81 \text{ mm}$$

$$\text{celkový moment únosnosti } m_{c,Rd} = \Sigma(a_{s,i} \cdot f_{yd}) \cdot (d_T - 0,5 \cdot \lambda \cdot x) = 402 \cdot 180 \cdot (0,08 - 0,5 \cdot 0,8 \cdot 0,008) = 5,62 \text{ kN.m}$$

$$m_{c,Rd} = 5,62 \text{ kN.m}$$

$$m_{y,Ed} / m_{c,Rd} = 5,13 / 5,62 = 0,91 < 1,00 \text{ VYHOVUJE}$$

Stávající prvek stropní konstrukce v místě sondy **NV6** vyhovuje dle ČSN EN 1992-1-1 na nový stav.

Využití průřezu desky dle MSÚ v ohybu je 91% . Využití průřezu desky dle MSÚ ve smyku je 22% .

(07) **NV6** (d) - monol. deska mezi žb trámy T  
(A) DATA

**1 PŘÍČKA VE SMĚRU DESKY - STROP NAD 2. NP**

vyztužení: ocel hladká beton: **C16/20**  
 charakteristická pevnost: ocel/beton  $f_{yk} = -$   $f_{ck} = 16 \text{ MPa}$   
 návrhová pevnost: ocel/beton  $f_{yd} = 180 \text{ MPa}$   $f_{cd} = 11 \text{ MPa}$   $\lambda = 0,8$   
 $\gamma_s = -$   $\gamma_c = 1,5$   $\eta = 1,0$

spodní týžď

č.p.	1	2	3	4	5	6
$\phi$ [mm]	8	8	8	8	8	8
$c_{nom}$ [mm]	10	10	10	10	10	10
osy [mm]	110	60	120	130	130	110
$d_i$ [mm]	81	81	81	81	81	81
$a_i$ [mm <sup>2</sup> ]	50	50	50	50	50	50

č.p.	7	8			-	-
$\phi$ [mm]	8	8				
$c_{nom}$ [mm]	10	10				
osy [mm]	160	120				
$d_i$ [mm]	81	81	0	0	0	0
$a_i$ [mm <sup>2</sup> ]	50	50	0	0	0	0

Geometrie:

světél rozpětí desky  $l_o = 2,10 \text{ m} = 2100 \text{ mm}$   
 tloušťka desky  $h_s = 0,10 \text{ m} = 95 \text{ mm}$   
 zatěžovací šířka  $b = 1,00 \text{ m}$   
 rozpětí nosníku  $l = l_o \cdot 1,05$   
 $l = 2,21 \text{ m} = 2205 \text{ mm}$

#### (A.1) Stanovení zatížení

CELKOVÉ ZATÍŽENÍ STROPU -  $q_n / q_d$  - plošné

stálé zatížení (podlaha)  $g_k = 1,02 \text{ [kN.m}^{-2}]$   $\gamma_g = 1,35$  -  
 stálé zatížení (podhled)  $g_k = 0,11 \text{ [kN.m}^{-2}]$   $\gamma_g = 1,50$  -  
 užité zatížení  $q_k = 2,50 \text{ [kN.m}^{-2}]$

ZATÍŽENÍ BODOVÉ -  $P_k / P_d$  - bodové

reakce od akustické příčky  $P_k = 0,00$   $P_d = 0,00 \text{ [kN]}$   $c = 0,000 \text{ m}$   
 $d = 2,205 \text{ m}$

CELKOVÉ ZATÍŽENÍ STROPU -  $q_n / q_d$  - na osu

popis	charakt.	$\gamma_{g,q}$	zatížení [kN.m <sup>-1</sup> ]	návrhové
zatížení stropu - stálé	1,13	x 1,35	1,52	
zatížení stropu - užité	2,50	x 1,50	3,75	
100% příčky rovnoběžné s deskou	0,90	x 1,35	1,22	
vlastní tíha desky	2,38	x 1,35	3,21	
kombinace pro MSP / MSÚ	$q_k = 6,90$		$q_d = 9,69$	[kN.m <sup>-1</sup> ]

#### (A.2) Stanovení vnitřních sil

Reakce desky

$a = 1/2 \cdot q_d \cdot L + 1/L \cdot P_d \cdot d = 1/2 \cdot 9,69 \cdot 2,21 + 1/2,21 \cdot 0,00 \cdot 2,205$   
 $a = 10,69 \text{ kN/m}$  (7,61)  
 (reakce od stálého zatížení)  $a_{z,d}(g) = 5,21 \text{ kN/m}$  (3,86)  
 (reakce od užitého zatížení)  $a_{z,d}(q) = 4,13 \text{ kN/m}$  (2,76)  
 $b = 1/2 \cdot q_d \cdot L + 1/L \cdot P_d \cdot c = 1/2 \cdot 9,69 \cdot 2,21 + 1/2,21 \cdot 0,00 \cdot 0$   
 $b = 10,69 \text{ kN/m}$  (7,61)  
 (reakce od stálého zatížení)  $b_{z,d}(g) = 5,21 \text{ kN/m}$  (3,86)  
 (reakce od užitého zatížení)  $b_{z,d}(q) = 4,13 \text{ kN/m}$  (2,76)  
 reakce bez příčky  $r^* = 10,69 \text{ kN/m}$  (7,61)  
 Maximální smyková síla  $v_{z,Ed} = 10,69 \text{ kN/m}$  (7,61)  
 Maximální výpočtový moment  $m_{y,Ed} = 1/8 \cdot q_d \cdot L^2 + 1/L \cdot P_d \cdot c \cdot d = 1/8 \cdot 9,69 \cdot 2,21^2 \cdot 2,21 + 1/2,21 \cdot 0,00 \cdot 0,00 \cdot 2,21$   
 $m_{y,Ed} = 5,89 \text{ kN.m/m}$

**(B) POSUDEK****(B.1) Posouzení MSÚ - smyková únosnost**

celková únosnost ve smyku

$$V_{z,Rd} = \text{(viz příloha - Beton EC)}$$

$$V_{z,Rd} = 41,78 \text{ kN/m}$$

$$V_{z,Ed} / V_{z,Rd} = 10,69 / 41,78 = 0,26 < 1,00$$

**VYHOVUJE****(B.2) Posouzení MSÚ - momentová únosnost**

$$x = \frac{\sum a_{s,i} \cdot f_{yd}}{b \cdot \lambda \cdot \eta \cdot f_{cd}} = (402 \cdot 180,00) / (1000 \cdot 0,8 \cdot 1 \cdot 10,67)$$

poloha neutrálné osy od horního líce průřezu

$$x = 8 \text{ mm}$$

poloha težiště ocelových výztuží

$$d_T = \frac{\sum (a_{s,i} \cdot d_i)}{\sum a_{s,i}} = 32\,572 / 402$$

$$d_T = 81 \text{ mm}$$

celkový moment únosnosti

$$m_{c,Rd} = \frac{\sum (a_{s,i} \cdot f_{yd}) \cdot (d_T - 0,5 \cdot \lambda \cdot x)}{1} = 402 \cdot 180 \cdot (0,08 - 0,5 \cdot 0,8 \cdot 0,008)$$

$$m_{c,Rd} = 5,62 \text{ kN.m}$$

$$m_{y,Ed} / m_{c,Rd} = 5,89 / 5,62 = 1,05 > 1,00 \text{ NEVYHOVUJE}$$

Stávající prvek stropní konstrukce v místě sondy **NV6** NEVYHOVUJE dle ČSN EN 1992-1-1 na nový stav.

Využití průřezu desky dle MSÚ v ohybu je 105% . Využití průřezu desky dle MSÚ ve smyku je 26% .

**SDK PŘÍČKA BUDE VYNEŠENA VLASTNÍ KONSTRUKCÍ!****(08) NV6 (d) - monol. deska mezi žb trámy T****1 PŘÍČKA - STROPY NAD 3. NP****(A) DATA**

vyztužení: ocel hladká

beton: **C16/20**

charakteristická pevnost: ocel/beton

$$f_{yk} = -$$

$$f_{ck} = 16 \text{ MPa}$$

návrhová pevnost: ocel/beton

$$f_{yd} = 180 \text{ MPa}$$

$$f_{cd} = 11 \text{ MPa}$$

$$\lambda = 0,8$$

$$\gamma_s = -$$

$$\gamma_c = 1,5$$

$$\eta = 1,0$$

spodní týžtuž

č.p.	1	2	3	4	5	6
$\phi$ [mm]	8	8	8	8	8	8
$c_{nom}$ [mm]	10	10	10	10	10	10
osy [mm]	110	60	120	130	130	110
$d_i$ [mm]	81	81	81	81	81	81
$a_i$ [mm <sup>2</sup> ]	50	50	50	50	50	50

č.p.	7	8			-	-
$\phi$ [mm]	8	8				
$c_{nom}$ [mm]	10	10				
osy [mm]	160	120				
$d_i$ [mm]	81	81	0	0	0	0
$a_i$ [mm <sup>2</sup> ]	50	50	0	0	0	0

Geometrie:

světélé rozpětí desky

$$l_0 = 2,10 \text{ m} = 2100 \text{ mm}$$

tloušťka desky

$$h_s = 0,10 \text{ m} = 95 \text{ mm}$$

zatěžovací šířka

$$b = 1,00 \text{ m}$$

rozpětí nosníku

$$l = l_0 \cdot 1,05$$

$$l = 2,21 \text{ m} = 2205 \text{ mm}$$

**(A.1) Stanovení zatížení**CELKOVÉ ZATÍŽENÍ STROPY -  $q_n / q_d$  - plošné

stálé zatížení (podlaha)

$$g_k = 1,02 \text{ [kN.m}^{-2}\text{]} \quad \gamma_g = 1,35$$

stálé zatížení (podhled)

$$g_k = 0,11 \text{ [kN.m}^{-2}\text{]} \quad \gamma_g = 1,50$$

užitné zatížení

$$q_k = 2,50 \text{ [kN.m}^{-2}\text{]}$$

ZATÍŽENÍ BODOVÉ -  $P_k / P_d$  - bodové

$$n = 100\%$$

reakce od akustické příčky n%

$$n \cdot P_k = 0,90 \quad n \cdot P_d = 1,22 \text{ [kN]} \quad c = 0,400 \text{ m}$$

$$d = 1,805 \text{ m}$$

CELKOVÉ ZATÍŽENÍ STROPY -  $q_n / q_d$  - na osuzatížení [kN.m<sup>-1</sup>]

popis	charakt.	$\gamma_{g,q}$	návrhové
zatížení stropu - stálé	1,13	x 1,35	1,52
zatížení stropu - užitné	2,50	x 1,50	3,75
vlastní tíha desky	2,38	x 1,35	3,21
kombinace pro MSP / MSÚ	$q_k = 6,00$		$q_d = 8,48 \text{ [kN.m}^{-1}\text{]}$

**(A.2) Stanovení vnitřních sil**

Reakce desky

$$a = 1/2 \cdot q_d \cdot L + 1/L \cdot P_d \cdot d = 1/2 \cdot 8,48 \cdot 2,21 + 1/2,21 \cdot 1,22 \cdot 1,805$$

	$a = 10,34$	kN/m	(7,35)
(reakce od stálého zatížení)	$a_{z,d}(g) =$	6,21 kN/m	(4,60)
(reakce od užitého zatížení)	$a_{z,d}(q) =$	4,13 kN/m	(2,76)
	$b = 1/2 * q_d * L + 1/L * P_d * c$	$= 1/2 * 8,48 * 2,21 + 1/2,21 * 1,22 * 0,4$	
	$b = 9,57$	kN/m	(6,78)
(reakce od stálého zatížení)	$b_{z,d}(g) =$	5,43 kN/m	(4,02)
(reakce od užitého zatížení)	$b_{z,d}(q) =$	4,13 kN/m	(2,76)
reakce bez přičky	$r^* =$	9,35 kN/m	(6,62)
Maximální smyková síla	$V_{z,Ed} =$	10,34 kN/m	(7,35)
Maximální výpočtový moment	$m_{y,Ed} = 1/8 * q_d * L^2 + 1/L * P_d * c * d$	$= 1/8 * 8,48 * 2,21^2 + 1/2,21 * 1,22 * 0,40 * 1,81$	
	$m_{y,Ed} =$	5,55 kN.m/m	
Maximální výpočtový moment	$m_{y,Ed} = 1/2 * q_d * c * d + 1/L * P_d * c * d$	$= 1/8 * 8,48 * 2,21^2 + 1/2,21 * 1,22 * 0,40 * 1,81$	
[v místě působí bodové síly ( $x=c$ )]	$m_{y,Ed} =$	3,46 kN.m/m	

**(B) POSUDEK****(B.1) Posouzení MSÚ - smyková únosnost**

celková únosnost ve smyku	$V_{z,Rd} =$	(viz příloha - Beton EC)
	$V_{z,Rd} =$	41,78 kN/m
$V_{z,Ed} / V_{z,Rd} = 10,34 / 41,78 =$	0,25	< 1,00 <b>VYHOVUJE</b>

**(B.2) Posouzení MSÚ - momentová únosnost**

	$x = \frac{\sum a_{s,i} \cdot f_{yd}}{b \cdot \lambda \cdot \eta \cdot f_{cd}}$	$= (402 * 180,00) / (1000 * 0,8 * 1 * 10,67)$	
poloha neutrálné osy od horního líce průřezu	$x =$	8 mm	
poloha těžiště ocelových výztuží	$d_T = \frac{\sum (a_{s,i} \cdot d_i)}{\sum a_{s,i}}$	$= 32\,572 / 402$	
	$d_T =$	81 mm	
celkový moment únosnosti	$m_{c,Rd} = \sum (a_{s,i} \cdot f_{yd}) \cdot (d_T - 0,5 \cdot \lambda \cdot x)$	$= 402 * 180 * (0,08 - 0,5 * 0,8 * 0,008)$	
	$m_{c,Rd} =$	5,62 kN.m	
$m_{y,Ed} / m_{c,Rd} = 5,55 / 5,62 =$	0,99	< 1,00 <b>VYHOVUJE</b>	

Stávající prvek stropní konstrukce v místě sondy **NV6** vyhovuje dle ČSN EN 1992-1-1 na nový stav.

Využití průřezu desky dle MSÚ v ohybu je 99% . Využití průřezu desky dle MSÚ ve smyku je 25% .

(09) - **(d) - monol. deska mezi žb trámy T****CHÚC\_ PŘED VÝTAHEM STROPY NAD 1. A 2. NP****(A) DATA**

vyztužení: ocel hladká

beton: **C16/20**

charakteristická pevnost: ocel/beton

 $f_{yk} =$  $f_{ck} = 16$  MPa

návrhová pevnost: ocel/beton

 $f_{yd} = 180$  MPa $f_{cd} = 11$  MPa $\lambda = 0,8$  $\gamma_s =$  $\gamma_c = 1,5$  $\eta = 1,0$ 

spodní týžtuž

č.p.	1	2	3	4	5	6
$\phi$ [mm]	8	8	8	8	8	8
$c_{nom}$ [mm]	10	10	10	10	10	10
osy [mm]						
$d_i$ [mm]	101	101	101	101	101	101
$a_i$ [mm <sup>2</sup> ]	50	50	50	50	50	50

č.p.	7	-	-	-	-	-
$\phi$ [mm]	8					
$c_{nom}$ [mm]	10					
osy [mm]						
$d_i$ [mm]	101	0	0	0	0	0
$a_i$ [mm <sup>2</sup> ]	50	0	0	0	0	0

Geometrie:

světélé rozpětí desky

 $l_0 = 1,95$  m =

1950 mm

tloušťka desky

 $h_s = 0,12$  m =

115 mm

(ZE SONDY NV3)

zatěžovací šířka

 $b = 1,00$  m

rozpětí nosníku

 $l = l_0 * 1,05$  $l = 2,05$  m =

2047,5 mm

**(A.1) Stanovení zatížení**CELKOVÉ ZATÍŽENÍ STROPY -  $q_n / q_d$  - plošné

stálé zatížení (podlaha)

 $g_k = 1,02$  [kN.m<sup>-2</sup>] $\gamma_g = 1,35$  -

stálé zatížení (podhled)

 $g_k = 0,39$  [kN.m<sup>-2</sup>] $\gamma_q = 1,50$  -

užitné zatížení

 $q_k = 5,00$  [kN.m<sup>-2</sup>]

ZATÍŽENÍ BODOVÉ -  $P_k / P_d$  - bodové

n = 100%

reakce od akustické přičky n%

n\* $P_k$  =

0,00

n\* $P_d$  =

0,00

[kN]

c=

0,400 m

d= 1,648 m

CELKOVÉ ZATÍŽENÍ STROPU -  $q_n / q_d$  - na osuzatížení [kN.m<sup>-1</sup>]

popis	charakt.	$\gamma_{g,d}$	návrhové
zatížení stropu - stálé	1,40	x 1,35	1,89
zatížení stropu - užité	5,00	x 1,50	7,50
vlastní tíha desky	2,88	x 1,35	3,88
kombinace pro MSP / MSÚ	$q_k$ =	9,28	$q_d$ = 13,27 [kN.m <sup>-1</sup> ]

## (A.2) Stanovení vnitřních sil

Reakce desky

	$a = 1/2 * q_d * L + 1/L * P_d * d$	= 1/2 * 13,27 * 2,05 + 1/2,05 * 0,00 * 1,6475
	$a =$	13,59 kN/m (9,50)
(reakce od stálého zatížení)	$a_{z,d}(g) =$	5,91 kN/m (4,38)
(reakce od užitého zatížení)	$a_{z,d}(q) =$	7,68 kN/m (5,12)
	$b = 1/2 * q_d * L + 1/L * P_d * c$	= 1/2 * 13,27 * 2,05 + 1/2,05 * 0,00 * 0,4
	$b =$	13,59 kN/m (9,50)
(reakce od stálého zatížení)	$b_{z,d}(g) =$	5,91 kN/m (4,38)
(reakce od užitého zatížení)	$b_{z,d}(q) =$	7,68 kN/m (5,12)
reakce bez přičky	$r^* =$	13,59 kN/m (9,50)
Maximální smyková síla	$v_{z,Ed} =$	13,59 kN/m (9,50)
Maximální výpočtový moment	$m_{y,Ed} = 1/8 * q_d * L^2 + 1/L * P_d * c * d$	= 1/8 * 13,27 * 2,05^2 * 2,05 + 1/2,05 * 0,00 * 0,40 * 1,65
	$m_{y,Ed} =$	6,96 kN.m/m
Maximální výpočtový moment	$m_{y,Ed} = 1/2 * q_d * c * d + 1/L * P_d * c * d$	= 1/8 * 13,27 * 2,05^2 * 2,05 + 1/2,05 * 0,00 * 0,40 * 1,65
[v místě působí bodové síly (x=c)]	$m_{y,Ed} =$	4,37 kN.m/m

## (B) POSUDEK

## (B.1) Posouzení MSÚ - smyková únosnost

celková únosnost ve smyku

 $V_{z,Rd} =$ 

(viz příloha - Beton EC)

 $V_{z,Rd} =$ 

30,00 kN/m

 $V_{z,Ed} / V_{z,Rd} =$ 

13,59 / 30,00

=

0,45

&lt;

1,00

VYHOVUJE

## (B.2) Posouzení MSÚ - momentová únosnost

$$x = \frac{\sum a_{s,i} \cdot f_{yd}}{b \cdot \lambda \cdot \eta \cdot f_{cd}} = (352 \cdot 180,00) / (1000 \cdot 0,8 \cdot 1 \cdot 10,67)$$

poloha neutrálné osy od horního líce průřezu

 $x =$ 

7 mm

poloha těžiště ocelových výztuží

 $d_T =$  $\Sigma(a_{s,i} \cdot d_i) / \Sigma a_{s,i} = 35 \cdot 538 / 352$  $d_T =$ 

101 mm

celkový moment únosnosti

 $m_{c,Rd} =$  $\Sigma(a_{s,i} \cdot f_{yd}) \cdot (d_T - 0,5 \cdot \lambda \cdot x) = 352 \cdot 180 \cdot (0,1 - 0,5 \cdot 0,8 \cdot 0,007)$  $m_{c,Rd} =$ 

6,21 kN.m

 $m_{y,Ed} / m_{c,Rd} =$ 

6,96 / 6,21

=

1,12

&gt;

1,00

NEVYHOVUJE

Stávající prvek stropní konstrukce v místě sondy - NEVYHOVUJE dle ČSN EN 1992-1-1 na nový stav.

Využití průřezu desky dle MSÚ v ohybu je 112%

.

Využití průřezu desky dle MSÚ ve smyku je 45%

.

(10) **NV18** (d) - monol. deska mezi žb průvlaků P

## (A) DATA

vyztužení: ocel hladká

beton: **C16/20**

charakteristická pevnost: ocel/beton

 $f_{yk} =$ 

-

 $f_{ck} =$ 

16 MPa

návrhová pevnost: ocel/beton

 $f_{yd} =$ 

180 MPa

 $f_{cd} =$ 

11 MPa

 $\lambda =$ 

0,8

 $\gamma_s =$ 

-

 $\gamma_c =$ 

1,5

 $\eta =$ 

1,0

spodní týžď

č.p.	1	2	3	4	5	6
$\phi$ [mm]	10	10	10	10	10	10
$c_{nom}$ [mm]	7,5	7,5	7,5	7,5	7,5	7,5
osy [mm]	160	170	200	145	210	95
$d_i$ [mm]	102,5	102,5	102,5	102,5	102,5	102,5
$a_i$ [mm <sup>2</sup> ]	79	79	79	79	79	79

č.p.	7	8			-	-
$\phi$ [mm]	10	10				
$c_{nom}$ [mm]	7,5	7,5				
osy [mm]	140	170				

## CHODBA CHÚC

$d_i$ [mm]	102,5	102,5	0	0	0	0
$a_i$ [mm <sup>2</sup> ]	79	79	0	0	0	0

Geometrie:

světélé rozpětí desky	$l_0 =$	2,10 m	=	2100 mm
tloušťka desky	$h_s =$	0,12 m	=	115 mm
zatěžovací šířka	$b =$	1,00 m		
rozpětí nosníku	$l = l_0 \cdot 1,05$			
	$l =$	2,21 m	=	2205 mm

## (A.1) Stanovení zatížení

CELKOVÉ ZATÍŽENÍ STROPU -  $q_n$  /  $q_d$  - plošné

stálé zatížení (podlaha)	$g_k =$	1,02 [kN.m <sup>-2</sup> ]	$\gamma_g =$	1,35 -
stálé zatížení (podhled)	$g_k =$	0,11 [kN.m <sup>-2</sup> ]	$\gamma_g =$	1,50 -
užitné zatížení	$q_k =$	5,00 [kN.m <sup>-2</sup> ]		

ZATÍŽENÍ BODOVÉ -  $P_k$  /  $P_d$  - bodové

reakce od protipožární příčky W3.1	$P_k =$	1,69	$P_d =$	2,28 [kN]	$c =$	0,153 m
					$d =$	2,053 m

CELKOVÉ ZATÍŽENÍ STROPU -  $q_n$  /  $q_d$  - na osu

	popis	charakt.	$\gamma_{g,q}$	návrhové
	zatížení stropu - stálé	1,13	x 1,35	1,52
	zatížení stropu - užitné	5,00	x 1,50	7,50
0%	příčky rovnoběžně s deskou	0,00	x 1,35	0,00
	vlastní tíha desky	2,88	x 1,35	3,88
	kombinace pro MSP / MSÚ	$q_k =$	9,00	$q_d =$ 12.90 [kN.m <sup>-1</sup> ]

## (A.2) Stanovení vnitřních sil

Reakce desky

	$a = 1/2 \cdot q_d \cdot L + 1/L \cdot P_d \cdot d$	=	$1/2 \cdot 12,90 \cdot 2,21 + 1/2,21 \cdot 2,28 \cdot 2,0525$
	$a =$	16,35 kN/m	( 11,50 )
(reakce od stálého zatížení)	$a_{z,d}(g) =$	8,08 kN/m	( 5,99 )
(reakce od užitného zatížení)	$a_{z,d}(q) =$	8,27 kN/m	( 5,51 )
	$b = 1/2 \cdot q_d \cdot L + 1/L \cdot P_d \cdot c$	=	$1/2 \cdot 12,90 \cdot 2,21 + 1/2,21 \cdot 2,28 \cdot 0,1525$
	$b =$	14,38 kN/m	( 10,04 )
(reakce od stálého zatížení)	$b_{z,d}(g) =$	6,11 kN/m	( 4,53 )
(reakce od užitného zatížení)	$b_{z,d}(q) =$	8,27 kN/m	( 5,51 )
reakce bez příčky	$r^* =$	14,22 kN/m	( 9,92 )
Maximální smyková síla	$v_{z,Ed} =$	16,35 kN/m	( 11,50 )
Maximální výpočtový moment	$m_{y,Ed} = 1/8 \cdot q_d \cdot L^2 + 1/L \cdot P_d \cdot c \cdot d$	=	$1/8 \cdot 12,90 \cdot 2,21^2 + 1/2,21 \cdot 2,28 \cdot 0,15 \cdot 2,05$
	$m_{y,Ed} =$	8,17 kN.m/m	

## (B) POSUDEK

## (B.1) Posouzení MSÚ - smyková únosnost

celková únosnost ve smyku  $V_{z,Rd} =$  (viz příloha - Beton EC)

$V_{z,Rd} =$	46,79 kN/m
$v_{z,Ed} / V_{z,Rd} =$	16,35 / 46,79 = 0,35 < 1,00

VYHOVUJE

## (B.2) Posouzení MSÚ - momentová únosnost

	$x = \frac{\sum a_{s,i} \cdot f_{yd}}{b \cdot \lambda \cdot \eta \cdot f_{cd}}$	=	$(628 \cdot 180,00) / (1000 \cdot 0,8 \cdot 1 \cdot 10,67)$
poloha neutrálné osy od horního líce průřezu	$x =$	13 mm	
poloha těžiště ocelových výztuží	$d_T = \frac{\sum (a_{s,i} \cdot d_i)}{\sum a_{s,i}}$	=	64 403 / 628
	$d_T =$	103 mm	
celkový moment únosnosti	$m_{c,Rd} = \sum (a_{s,i} \cdot f_{yd}) \cdot (d_T - 0,5 \cdot \lambda \cdot x)$	=	$628 \cdot 180 \cdot (0,1 - 0,5 \cdot 0,8 \cdot 0,013)$
	$m_{c,Rd} =$	10,99 kN.m	
	$m_{y,Ed} / m_{c,Rd} =$	8,17 / 10,99 =	0,74 < 1,00

VYHOVUJE

Stávající prvek stropní konstrukce v místě sondy NV18 vyhovuje dle ČSN EN 1992-1-1 na stávající stav.

Využití průřezu desky dle MSÚ v ohybu je 74% . Využití průřezu desky dle MSÚ ve smyku je 35% .

(11) NV3 (P) - monol. prostý průvlak stropu

CHÚC - STROPY NAD 1. NP

## (A) DATA

ocel : ocel hladká	beton : C16/20
charakteristická pevnost: ocel/beton $f_{yk} =$	$f_{ck} =$ 16 MPa

návrhová pevnost: ocel/beton  $f_{yd} = 180 \text{ MPa}$   $f_{cd} = 11 \text{ MPa}$   $\lambda = 0,8$   
 $\gamma_s = -$   $\gamma_c = 1,5$   $\eta = 1,0$

spodní výztuž

č.p.	1	2	3	4
$\phi$ [mm]	18	20	18	20
$c_{nom}$ [mm]	60	65	50	55
$d_i$ [mm]	381	375	391	385
$A_i$ [mm <sup>2</sup> ]	254	314	254	314

Geometrie:

výška trámu  $h = 0,45 \text{ m} = 450 \text{ mm}$   
šířka trámu  $b = 0,30 \text{ m} = 300 \text{ mm}$   
délka  $l_2 = 3,65 \text{ m} \Rightarrow L_{ef,2} = 3,83 \text{ m}$

## (A.1) Stanovení zatížení

reakce ocelové výměny  $R_d^V = 13,90 \text{ kN}$  - v x=0,96 m  
reakce žb trámu  $R_d^T = 15,21 \text{ kN}$  - v x=1,92 m  
reakce ocelové výměny  $R_d^V = 13,90 \text{ kN}$  - v x=2,88 m  
reakce od žb desky  $r_{z,d} = 0,00 \text{ kN/m}$

## (A.2) Stanovení vnitřních sil

Reakce nosníku (odpovídá  $V_{z,Ed}$ )  $V_{z,Ed} = 30,09 \text{ kN}$  (stanoveno v programu SCIA 18.1)  
Maximální výpočtový moment v poli (+)  $+ M_{y,Ed} = 36,18 \text{ kN.m}$

## (B) POSUDEK

## (B.1) Posouzení MSÚ - smyková únosnost

celková únosnost ve smyku u podpory

třmínky  $\phi 8 \text{ mm}$ , krytí  $5 \text{ mm}$  po cca  $250 \text{ mm}$  (2x hup)  
 $V_{z,Rd} =$  (viz příloha - Beton EC)  
 $V_{z,Rd} = 147,01 \text{ kN/m}$   
 $V_{z,Ed} / V_{z,Rd} = 30,09 / 147,01 = 0,20 < 1,00$  **VYHOVUJE**

## (B.2) Posouzení MSÚ - momentová únosnost

ohybová únosnost v poli (kladný moment)

$(+)M_{y,Rd} =$  (viz příloha - Beton EC)  
 $(+)M_{y,Rd} = 72,89 \text{ kN/m}$   
 $M_{y,Ed} / M_{y,Rd} = 36,18 / 72,89 = 0,50 < 1,00$  **VYHOVUJE**

Stávající prvek stropní konstrukce v místě sondy **NV3** vyhovuje dle ČSN EN 1992-1-1 na nový stav.

Využití průřezu nosníku dle MSÚ na ohyb v poli (+) je 50% . Využití průřezu nosníku dle MSÚ ve smyku je 20% .

(12) **NV4** (T) - monol. trám strop (T-průřez)

## PŘÍČKA NA OSE TRÁMU - STROP NAD NP

## (A) DATA

vyztužení: ocel hladká beton: **C16/20**  
charakteristická pevnost : ocel/beton  $f_{yk} = -$   $f_{ck} = 16 \text{ MPa}$   
návrhová pevnost: ocel/beton  $f_{yd} = 180 \text{ MPa}$   $f_{cd} = 11 \text{ MPa}$   $\lambda = 0,8$   
 $\gamma_s = -$   $\gamma_c = 1,5$   $\eta = 1,0$

spodní výztuž

č.p.	1	2	3	4	5	6	7
$\phi$ [mm]	18	18	18	18	0	0	0
$c_{nom}$ [mm]	25	30	25	25	0	0	0
osy [mm]	-	90	-	140	0	0	0
$d_i$ [mm]	326	321	326	326	0	0	0
$A_i$ [mm <sup>2</sup> ]	254	254	254	254	0	0	0

Geometrie:

světélé rozpětí žb trámy  $l_n = 3,48 \text{ m} = 3480 \text{ mm}$   
výška trámu  $h = 0,36 \text{ m} = 360 \text{ mm}$   
šířka trámu  $b_w = 0,17 \text{ m} = 170 \text{ mm}$   
tloušťka desky  $h_f = 0,11 \text{ m} = 110 \text{ mm}$   
účinné rozpětí trámu (dle způsobu uložení)  $l_o = 3,67 \text{ m}$  ( $1,0 \cdot L_{eff}$  - prostý nosník)  
osová vzdálenost trámů (zatěžovací šířka)  $b = 2,26 \text{ m}$   
vzdálenost mezi trámy zleva  $(2)b_1 = 2,10 \text{ m}$   
vzdálenost mezi trámy zprava  $(2)b_2 = 2,08 \text{ m}$   
spolupůsobící šířka  $b_{eff} = 1,32 \text{ m}$   
šířka podpory  $t_1 = 0,19 \text{ m}$   $t_2 = 0,19 \text{ m}$   
Účinné rozpětí nosníku  $L_{eff} = l_n + a_1 + a_2$   
 $L_{eff} = 3,67 \text{ m}$

## (A.1) Stanovení zatížení

a) reakce od žb desky  $l_0=2,1$  m (NV6\_d)\_ (1)  
(bez příček)

$$r_k = 6,62 \text{ [kN.m}^{-1}\text{]}$$

$$r_d = 9,35 \text{ [kN.m}^{-1}\text{]}$$

b) tíha příčky

$$g_k = 0,90 \text{ [kN.m}^{-1}\text{]}$$

$$r_d = 1,22 \text{ [kN.m}^{-1}\text{]}$$

CELKOVÉ ZATÍŽENÍ STROPU -  $q_n / q_d$  - na osuzatížení [kN.m<sup>-1</sup>]

popis	charakt.	$\gamma_{g,q}$	návrhové	Součinitele zatížení:
2x reakce od žb desky $l_0=2,1$ m (NV6_d)_ (1)	13,23	x 1,41	18,69	$\gamma_g = 1,35$ -
tíha příčky	0,90	x 1,35	1,22	$\gamma_q = 1,50$ -
vlastní tíha nosníku	1,53	x 1,35	2,07	
kombinace pro MSP / MSÚ	$q_k = 15,66$		$q_d = 21,97$ [kN.m <sup>-1</sup> ]	

## (A.2) Stanovení vnitřních sil

dle TP 51, tab. C35 - Prostý nosník - zatížení spojitě

Reakce nosníku (odpovídá  $V_{z,Ed}$ )

$$A = B = 1/2 \cdot q_d \cdot L_{eff} = 1/2 \cdot 21,97 \cdot 3,67$$

$$A = B = 40,32 \text{ kN} \quad (28,74)$$

Maximální výpočtový moment

$$M_{y,Ed} = 1/8 \cdot q_d \cdot L_{eff}^2 = 1/8 \cdot 21,97 \cdot 3,67^2$$

$$M_{y,Ed} = 36,99 \text{ kN.m}$$

## (B) POSUDEK

## (B.1) Posouzení MSÚ - smyková únosnost

třmínky  $\phi$  8 mm, krytí 5 mm, osově po cca 220 mm + 2x hup

celková únosnost ve smyku

$$V_{z,Rd} = \text{(viz příloha - Beton EC)}$$

$$V_{z,Rd} = 130,79 \text{ kN/m}$$

$$V_{z,Ed} / V_{z,Rd} = 40,32 / 130,79 = 0,31 < 1,00 \quad \text{VYHOVUJE}$$

## (B.2) Posouzení MSÚ - momentová únosnost

$$x = \frac{\Sigma A_{s,i} \cdot f_{yd}}{b_{eff} \cdot \lambda \cdot \eta \cdot f_{cd}} = (1018 \cdot 180,00) / (1322 \cdot 0,8 \cdot 1 \cdot 10,67) =$$

poloha neutrálné osy od horního líce průřezu

$$x = 16 \text{ mm} \quad x < h_t = 110 \text{ mm}$$

poloha težiště ocelových výztuží

$$d_T = \Sigma(A_{s,i} \cdot d_i) / \Sigma A_{s,i} = 330555 / 1018$$

$$d_T = 325 \text{ mm}$$

celkový moment únosnosti

$$M_{c,Rd} = \Sigma A_{s,i} \cdot f_{yd} \cdot (d_T - 0,5 \cdot \lambda \cdot x) = 1018 \cdot 180 \cdot (0,32 - 0,5 \cdot 0,8 \cdot 0,016)$$

$$M_{c,Rd} = 58,31 \text{ kN.m}$$

$$M_{y,Ed} / M_{c,Rd} = 36,99 / 58,31 = 0,63 < 1,00 \quad \text{VYHOVUJE}$$

Stávající prvek stropní konstrukce v místě sondy NV4 vyhovuje dle ČSN EN 1992-1-1 na stávající stav.

Využití průřezu nosníku dle MSÚ na ohyb je 63% . Využití průřezu nosníku dle MSÚ ve smyku je 31% .

## (13) NV4 (T) - monol. trám strop (T-průřez)

## SAMOOSLUŽNÉ STUDIO - STROP NAD 2. NP

## (A) DATA

vyztužení: ocel hladká

beton: C16/20

charakteristická pevnost : ocel/beton

$$f_{yk} = -$$

$$f_{ck} = 16 \text{ MPa}$$

návrhová pevnost: ocel/beton

$$f_{yd} = 180 \text{ MPa}$$

$$f_{cd} = 11 \text{ MPa}$$

$$\lambda = 0,8$$

$$\gamma_s = -$$

$$\gamma_c = 1,5$$

$$\eta = 1,0$$

spodní výztuž

č.p.	1	2	3	4	5	6	7
$\phi$ [mm]	18	18	18	18	0	0	0
$c_{nom}$ [mm]	25	30	25	25	0	0	0
osy [mm]	-	90	-	140	0	0	0
$d_i$ [mm]	326	321	326	326	0	0	0
$A_i$ [mm <sup>2</sup> ]	254	254	254	254	0	0	0

Geometrie:

světélé rozpětí žb trámy

$$l_n = 3,48 \text{ m} = 3480 \text{ mm}$$

výška trámu

$$h = 0,36 \text{ m} = 360 \text{ mm}$$

šířka trámu

$$b_w = 0,17 \text{ m} = 170 \text{ mm}$$

tloušťka desky

$$h_f = 0,11 \text{ m} = 110 \text{ mm}$$

účinné rozpětí trámu (dle způsobu uložení)

$$l_o = 3,67 \text{ m} \quad (1,0 \cdot L_{eff} - \text{prostý nosník})$$

osová vzdálenost trámů (zatěžovací šířka)

$$b = 2,26 \text{ m}$$

vzdálenost mezi trámy zleva

$$(2)b_1 = 2,10 \text{ m}$$

vzdálenost mezi trámy zprava

$$(2)b_2 = 2,08 \text{ m}$$

spolupůsobící šířka

$$b_{eff} = 1,32 \text{ m}$$

šířka podpory

$$t_1 = 0,19 \text{ m} \quad t_2 = 0,19 \text{ m}$$

Účinné rozpětí nosníku

$$L_{eff} = l_n + a_1 + a_2$$

$$L_{eff} = 3,67 \text{ m}$$



## (A.1) Stanovení zatížení

- a) reakce od žb desky  $l_0=2,1$  m (NV6\_d)  $r_k = 10,56$  [kN.m<sup>-1</sup>]  $r_d = 14,67$  [kN.m<sup>-1</sup>]  
(vč. reakce od akustické příčky 3,71 kN/m)
- b) reakce od žb desky  $l_0=2,1$  m (NV6\_d)  $r_k = 8,11$  [kN.m<sup>-1</sup>]  $r_d = 11,37$  [kN.m<sup>-1</sup>]  
(bez reakce od akustické příčky 3,71 kN/m)

CELKOVÉ ZATÍŽENÍ STROPU -  $q_n$  /  $q_d$  - na osu

popis	charakt.	zatížení [kN.m <sup>-1</sup> ]		návrhové	Součinitele zatížení:
a) reakce od žb desky $l_0=2,1$ m (NV6_d)	10,56	x	1,39	14,67	$\gamma_g = 1,35$ -
b) reakce od žb desky $l_0=2,1$ m (NV6_d)	8,11	x	1,40	11,37	$\gamma_q = 1,50$ -
vlastní tíha nosníku	1,53	x	1,35	2,07	
kombinace pro MSP / MSÚ	$q_k = 20,20$			$q_d = 28,10$	[kN.m <sup>-1</sup> ]

## (A.2) Stanovení vnitřních sil

dle TP 51, tab. C35 - Prostý nosník - zatížení spojitě

Reakce nosníku (odpovídá  $V_{z,Ed}$ )

$$A = B = 1/2 \cdot q_d \cdot L_{eff} = 1/2 \cdot 28,10 \cdot 3,67 = 51,56 \text{ kN} \quad (37,07)$$

Maximální výpočtový moment

$$M_{y,Ed} = 1/8 \cdot q_d \cdot L_{eff}^2 = 1/8 \cdot 28,10 \cdot 3,67^2 = 47,31 \text{ kN.m}$$

## (B) POSUDEK

## (B.1) Posouzení MSÚ - smyková únosnost

třmínky  $\phi$  8 mm, krytí 5 mm, osově po cca 220 mm + 2x hup

celková únosnost ve smyku

$$V_{z,Rd} = \text{(viz příloha - Beton EC)}$$

$$V_{z,Rd} = 130,79 \text{ kN/m}$$

$$V_{z,Ed} / V_{z,Rd} = 51,56 / 130,79 = 0,39 < 1,00 \quad \text{VYHOVUJE}$$

## (B.2) Posouzení MSÚ - momentová únosnost

$$x = \frac{\sum A_{s,i} \cdot f_{yd}}{b_{eff} \cdot \lambda \cdot \eta \cdot f_{cd}} = (1018 \cdot 180,00) / (1322 \cdot 0,8 \cdot 1 \cdot 10,67) = 16 \text{ mm}$$

poloha neutrálné osy od horního líce průřezu

$$x = 16 \text{ mm} \quad x < h_t = 110 \text{ mm}$$

poloha težiště ocelových výztuží

$$d_T = \frac{\sum (A_{s,i} \cdot d_i)}{\sum A_{s,i}} = 330555 / 1018 = 325 \text{ mm}$$

$$d_T = 325 \text{ mm}$$

celkový moment únosnosti

$$M_{c,Rd} = \sum A_{s,i} \cdot f_{yd} \cdot (d_T - 0,5 \cdot \lambda \cdot x) = 1018 \cdot 180 \cdot (0,32 - 0,5 \cdot 0,8 \cdot 0,016) = 58,31 \text{ kN.m}$$

$$M_{c,Rd} = 58,31 \text{ kN.m}$$

$$M_{y,Ed} / M_{c,Rd} = 47,31 / 58,31 = 0,81 < 1,00 \quad \text{VYHOVUJE}$$

Stávající prvek stropní konstrukce v místě sondy NV4 vyhovuje dle ČSN EN 1992-1-1 na stávající stav.

Využití průřezu nosníku dle MSÚ na ohyb je 81% . Využití průřezu nosníku dle MSÚ ve smyku je 39% .

## (14) NV4\* (T) - monol. trám strop (T-průřez)

SAMOOSLUŽNÉ STUDIO - STROP NAD 2. NP  
PO INSTALACE ZESILUJÍCÍHO OCELOVÉHO NOSNÍKU

## (A) DATA

vyztužení: ocel hladká	beton: C16/20
charakteristická pevnost : ocel/beton $f_{yk} = -$	$f_{ck} = 16 \text{ MPa}$
návrhová pevnost: ocel/beton $f_{yd} = 180 \text{ MPa}$	$f_{cd} = 11 \text{ MPa}$
$\gamma_s = -$	$\gamma_c = 1,5$
	$\lambda = 0,8$
	$\eta = 1,0$

spodní výztuž

č.p.	1	2	3	4	5	6	7
$\phi$ [mm]	18	18	18	18	0	0	0
$c_{nom}$ [mm]	25	30	25	25	0	0	0
osy [mm]	-	90	-	140	0	0	0
$d_i$ [mm]	326	321	326	326	0	0	0
$A_i$ [mm <sup>2</sup> ]	254	254	254	254	0	0	0

Geometrie:

světélé rozpětí žb trámy	$l_n = 3,48$ m	=	3480 mm
výška trámu	$h = 0,36$ m	=	360 mm
šířka trámu	$b_w = 0,17$ m	=	170 mm
tloušťka desky	$h_f = 0,11$ m	=	110 mm
účinné rozpětí trámu (dle způsobu uložení)	$l_o = 3,67$ m	(1,0 * $L_{eff}$ - prostý nosník)	
osová vzdálenost trámů (zatěžovací šířka)	$b = 2,26$ m		
vzdálenost mezi trámy zleva	(2) $b_1 = 2,10$ m		
vzdálenost mezi trámy zprava	(2) $b_2 = 2,08$ m		
spolupůsobící šířka	$b_{eff} = 1,32$ m		
šířka podpory	$t_1 = 0,19$ m	$t_2 = 0,19$ m	
Účinné rozpětí nosníku	$L_{eff} = l_n + a_1 + a_2$		
	$L_{eff} = 3,67$ m		

zatěžovací šířka  $b = 1,70$  m

## (A.1) Stanovení zatížení

0) příčka	$g_k = 3,71$ [kN.m <sup>-1</sup> ]	$g_d = 5,01$ [kN.m <sup>-1</sup> ]
a) stálé	$g_k = 4,86$ [kN.m <sup>-2</sup> ]	$g_d = 6,56$ [kN.m <sup>-2</sup> ]
b) užitné	$q_k = 2,50$ [kN.m <sup>-2</sup> ]	$q_d = 3,75$ [kN.m <sup>-2</sup> ]

CELKOVÉ ZATÍŽENÍ STROPU -  $q_n / q_d$  - na osu

popis	charakt.	$\gamma_{g,d}$	návrhové	Součinitele zatížení:
0) příčka	3,71	x 1,35	5,01	
a) stálé	8,23	x 1,35	11,12	$\gamma_g = 1,35$ -
b) užitné	4,24	x 1,50	6,36	$\gamma_q = 1,50$ -
vlastní tíha nosníku	1,53	x 1,35	2,07	
kombinace pro MSP / MSÚ	$q_k = 17,71$		$q_d = 24,54$ [kN.m <sup>-1</sup> ]	

## (A.2) Stanovení vnitřních sil

dle TP 51, tab. C35 - Prostý nosník - zatížení spojitě

Reakce nosníku (odpovídá  $V_{z,Ed}$ )

$$A = B = 1/2 \cdot q_d \cdot L_{eff} = 1/2 \cdot 24,54 \cdot 3,67 = 32,50$$

$$A = B = 45,04 \text{ kN}$$

Maximální výpočtový moment

$$M_{y,Ed} = 1/8 \cdot q_d \cdot L_{eff}^2 = 1/8 \cdot 24,54 \cdot 3,67^2 = 41,32$$

$$M_{y,Ed} = 41,32 \text{ kN.m}$$

## (B) POSUDEK

## (B.1) Posouzení MSÚ - smyková únosnost

třmínky  $\phi$  8 mm, krytí 5 mm, osově po cca 220 mm + 2x hup

celková únosnost ve smyku

$$V_{z,Rd} = \text{(viz příloha - Beton EC)}$$

$$V_{z,Rd} = 130,79 \text{ kN/m}$$

$$V_{z,Ed} / V_{z,Rd} = 45,04 / 130,79 = 0,34 < 1,00 \quad \text{VYHOVUJE}$$

## (B.2) Posouzení MSÚ - momentová únosnost

$$x = \frac{\sum A_{s,i} \cdot f_{yd}}{b_{eff} \cdot \lambda \cdot \eta \cdot f_{cd}} = (1018 \cdot 180,00) / (1322 \cdot 0,8 \cdot 1 \cdot 10,67) = 16 \text{ mm}$$

poloha neutrální osy od horního líce průřezu

$$x = 16 \text{ mm} \quad x < h_f = 110 \text{ mm}$$

poloha težiště ocelových výztuží

$$d_T = \sum (A_{s,i} \cdot d_i) / \sum A_{s,i} = 330555 / 1018 = 325 \text{ mm}$$

$$d_T = 325 \text{ mm}$$

celkový moment únosnosti

$$M_{c,Rd} = \sum A_{s,i} \cdot f_{yd} \cdot (d_T - 0,5 \cdot \lambda \cdot x) = 1018 \cdot 180 \cdot (0,32 - 0,5 \cdot 0,8 \cdot 0,016) = 58,31$$

$$M_{c,Rd} = 58,31 \text{ kN.m}$$

$$M_{y,Ed} / M_{c,Rd} = 41,32 / 58,31 = 0,71 < 1,00 \quad \text{VYHOVUJE}$$

Stávající prvek stropní konstrukce v místě sondy NV4\* vyhovuje dle ČSN EN 1992-1-1 na stávající stav.

Využití průřezu nosníku dle MSÚ na ohyb je 71% . Využití průřezu nosníku dle MSÚ ve smyku je 34% .

## (15) NV5 (P) - monol. prostý průvlak stropu

## SAMOOBSLUŽNÉ STUDIO - STROP NAD 2. NP

(v místě podpory skutečně není výztuž vykrývající horní moment, jsou jen 2 hupující pruty, jejichž konce jsou zahlé v místě podpory!)

## (A) DATA

ocel : ocel hladká	beton: C16/20
charakteristická pevnost: ocel/beton $f_{yk} = -$	$f_{ck} = 16 \text{ MPa}$
návrhová pevnost: ocel/beton $f_{yd} = 180 \text{ MPa}$	$f_{cd} = 11 \text{ MPa}$
$\gamma_s = -$	$\gamma_c = 1,5$
	$\lambda = 0,8$
	$\eta = 1,0$

spodní výztuž

č.p.	1	2	3	4
$\phi$ [mm]	22	22	22	22
$c_{nom}$ [mm]	35	15	15	45
$d_i$ [mm]	374	394	394	364
$A_i$ [mm <sup>2</sup> ]	380	380	380	380

27,5

Geometrie:

výška trámu	$h =$	0,42 m	=	420 mm	
šířka trámu	$b =$	0,19 m	=	190 mm	
pole č. 1 (krajní)	$l_1 =$	4,77 m	=>	$L_{ef,1} =$	5,01 m      odhad
pole č. 2 (sřední)	$l_2 =$	4,29 m	=>	$L_{ef,2} =$	4,50 m      změřeno
pole č. 3 (krajní)	$l_3 =$	4,29 m	=>	$L_{ef,3} =$	4,50 m      odhad

## (A.1) Stanovení zatížení

reakce od trámu NV4(T)	$R_{z,d} = 45,04$ kN	- v polovině a nad sloupy
(reakce od stálého zatížení)	$R_{z,d}(g) = 33,38$ kN	

(reakce od užitého zatížení)	$R_{z,d}(q)$	=	11,66 kN	
reakce od trámy NV4(T)/2	$R_{z,d}$	=	22,52 kN	
(reakce od stálého zatížení)	$R_{z,d}(g)$	=	16,69 kN	
(reakce od užitého zatížení)	$R_{z,d}(q)$	=	5,83 kN	
reakce od ocelového nosníku	$R_{z,d}$	=	29,34 kN	
(reakce od stálého zatížení)	$R_{z,d}(g)$	=	21,07 kN	
(reakce od užitého zatížení)	$R_{z,d}(q)$	=	8,27 kN	
zatížení od přičky na průvlaku	$g_d$	=	1,22 kN/m	
reakce od žb desky středového traktu	$r_{z,d}$	=	10,99 kN/m	$l_o = 2,07$ m
(reakce od stálého zatížení)	$r_{z,d}(g)$	=	2,84 kN/m	4,05 kN/m
(reakce od užitého zatížení)	$r_{z,d}(q)$	=	4,08 kN/m	

## (A.2) Stanovení vnitřních sil

Reakce nosníku (odpovídá  $V_{z,Ed}$ ) $V_{z,Ed} = 78,30$  kN

Maximální výpočtový moment v poli (+)

 $+ M_{y,Ed} = 105,92$  kN.m

(stanoveno v programu SCIA 18.1)

## (B) POSUDEK

## (B.1) Posouzení MSÚ - smyková únosnost

celková únosnost ve smyku u podpory

 $V_{z,Rd} =$  (viz příloha - Beton EC) $V_{z,Rd} = 171,39$  kN/m $V_{z,Ed} / V_{z,Rd} = 78,30 / 171,39 = 0,46 < 1,00$  **VYHOVUJE**třmínky  $\phi$  8 mm, krytí 5 mm, osově po cca 220 mm + 2x hup

## (B.2) Posouzení MSÚ - momentová únosnost

ohybová únosnost v poli (kladný moment)

 $(+)M_{y,Rd} =$  (viz příloha - Beton EC) $(+)M_{y,Rd} = 89,84$  kN/m $M_{y,Ed} / M_{y,Rd} = 105,92 / 89,84 = 1,18 > 1,00$  **NEVYHOVUJE**Stávající prvek stropní konstrukce v místě sondy **NV5** NEVYHOVUJE dle ČSN EN 1992-1-1 na nový stav.

Využití průřezu nosníku dle MSÚ na ohyb v poli (+) je 118% . Využití průřezu nosníku dle MSÚ ve smyku je 46% .

**NUTNÉ ZESÍLENÍ PRŮVLAKU POMOCÍ LEPENÝCH UHLÍKOVÝCH LAMEL ZE SPODNÍ PŘI SPODNÍM POVRCHU PRVKU!**

## (C) ZESÍLENÍ

## (C.1) Návrh zesílení

(1) UHLÍKOVÉ LAMELY ŠÍŘKA 90 MM

- obsah vláken &gt; 68%; teplota skelného přechodu &gt; 100°; modul pružnosti 210 GPa; tahová pevnost 3500 MPa; přetvoření při porušení &gt; 1,6%.

(2) MŮSTEK

- materiál epoxidového základu a kombinovat základní nátěr, tmle a lepidlo v jednom, materiál nesmí uvolňovat látky nebezpečné pro zdraví, hygienu a prostředí; materiál musí prokázat dlouhodobou odolnost proti dotvarování nezávislou zprávou; materiál musí splňovat požadavky uvedené v EN 1504-4 jako konstrukční produkt pro lepení vyztužených lamel.

- hustota (smíchané části A+B) při 23°C - 1,65 kg/l+0,1kg/l; pevnost oceli v šikmém smyku 50° ≥ 50N/mm2, 60° ≥ 60N/mm2, 70° ≥ 70N/mm2; únosnost lepeného spoje ≥ 14M/mm2; smyková únosnost ≥ 12 N/mm2; tlaková únosnost ≥ 30N/mm2; smrštovinní/rozpínání ≤ 0,1 %; zpracovatelnost 85 min při 23°C; modul pružnosti ≥ 2000 N/mm2; souč. tepelné roztažnosti ≤ 100\*10-6; teplota skelného přechodu ≥ 40°C.

## (C.2) Posouzení MSÚ - momentová únosnost

Ohybová únosnost zesíleného průřezu s lamelou

 $M_{y,Rd}^* = 114,21$  kN/m

Maximální výpočtový moment v poli

 $M_{y,Ed} = 105,92$  kN/m $M_{y,Ed} / M_{y,Rd} = 105,92 / 114,21 = 0,93 < 1,00$  **VYHOVUJE**ZESÍLENÝ prvek stropní k-e v místě sondy **NV5** vyhovuje dle ČSN EN 1992-1-1 na nový stav.

Využití průřezu nosníku dle MSÚ na ohyb v poli (+) je 93% .

(16) **NV15** (d) - monol. deska mezi žb trámy T**FOYER (m.č. 008)- STROP NAD 1. PP**

## (A) DATA

vyztužení: ocel hladká

beton: **C16/20**

charakteristická pevnost: ocel/beton

 $f_{yk} =$  - $f_{ck} = 16$  MPa

návrhová pevnost: ocel/beton

 $f_{yd} = 180$  MPa $f_{cd} = 11$  MPa $\lambda = 0,8$  $\gamma_s =$  - $\gamma_c = 1,5$  $\eta = 1,0$ 

spodní týžď

č.p.	1	2	3	4	5	6
$\phi$ [mm]	8	8	8	8	8	8

$c_{nom}$ [mm]	5	5	5	5	5	5
$osy$ [mm]	120	120	80	150	90	120
$d_i$ [mm]	71	71	71	71	71	71
$a_i$ [mm <sup>2</sup> ]	50	50	50	50	50	50

č.p.	7	8	9	-	-	-
$\phi$ [mm]	8	8	8			
$c_{nom}$ [mm]	5	5	5			
$osy$ [mm]	150	150	70			
$d_i$ [mm]	71	71	71	0	0	0
$a_i$ [mm <sup>2</sup> ]	50	50	50	0	0	0

Geometrie:

světlé rozpětí desky	$l_0 =$	2,10 m	=	2100 mm
tloušťka desky	$h_s =$	0,08 m	=	80 mm
zatěžovací šířka	$b =$	1,00 m		
rozpětí nosníku	$l = l_0 \cdot 1,05$			
	$l =$	2,21 m	=	2205 mm

## (A.1) Stanovení zatížení

CELKOVÉ ZATÍŽENÍ STROPU -  $q_n$  /  $q_d$  - plošné

stálé zatížení (podlaha)	$g_k =$	1,27 [kN.m <sup>-2</sup> ]	$\gamma_g =$	1,35 -
stálé zatížení (podhled)	$g_k =$	0,00 [kN.m <sup>-2</sup> ]	$\gamma_g =$	1,50 -
užitné zatížení	$q_k =$	5,00 [kN.m <sup>-2</sup> ]		

ZATÍŽENÍ BODOVÉ -  $P_k$  /  $P_d$  - bodové $n = 0\%$ 

reakce od akustické příčky n%	$n \cdot P_k =$	0,00	$1/2 \cdot P_d =$	0,00 [kN]	$c =$	0,000 m
					$d =$	2,205 m

CELKOVÉ ZATÍŽENÍ STROPU -  $q_n$  /  $q_d$  - na osuzatížení [kN.m<sup>-1</sup>]

popis	charakt.	$\gamma_{q,d}$	návrhové	
zatížení stropu - stálé	1,27	x 1,35	1,72	
zatížení stropu - stálé (omítka zespod)	0,22	x 1,50	0,33	10 mm
zatížení stropu - užitné	5,00	x 1,50	7,50	
vlastní tíha desky	2,00	x 1,35	2,70	
kombinace pro MSP / MSÚ	$q_k =$	8,49	$q_d =$	12,25 [kN.m <sup>-1</sup> ]

## (A.2) Stanovení vnitřních sil

Reakce desky

	$a = 1/2 \cdot q_d \cdot L + 1/L \cdot P_d \cdot d$	$= 1/2 \cdot 12,25 \cdot 2,21 + 1/2,21 \cdot 0,00 \cdot 2,205$
	$a =$	13,50 kN/m (9,36)
(reakce od stálého zatížení)	$a_{z,d}(g) =$	4,87 kN/m (3,61)
(reakce od užitného zatížení)	$a_{z,d}(q) =$	8,27 kN/m (5,51)
	$b = 1/2 \cdot q_d \cdot L + 1/L \cdot P_d \cdot c$	$= 1/2 \cdot 12,25 \cdot 2,21 + 1/2,21 \cdot 0,00 \cdot 0$
	$b =$	13,50 kN/m (9,36)
(reakce od stálého zatížení)	$b_{z,d}(g) =$	4,87 kN/m (3,61)
(reakce od užitného zatížení)	$b_{z,d}(q) =$	8,27 kN/m (5,51)
reakce bez příčky	$r^* =$	13,50 kN/m (9,36)
Maximální smyková síla	$v_{z,Ed} =$	13,50 kN/m (9,36)
Maximální výpočtový moment	$m_{y,Ed} = 1/8 \cdot q_d \cdot L^2 + 1/L \cdot P_d \cdot c \cdot d$	$= 1/8 \cdot 12,25 \cdot 2,21^2 + 1/2,21 \cdot 0,00 \cdot 0,00 \cdot 2,21$
	$m_{y,Ed} =$	7,44 kN.m/m

## (B) POSUDEK

## (B.1) Posouzení MSÚ - smyková únosnost

celková únosnost ve smyku

$V_{z,Rd} =$	(viz příloha - Beton EC)
$V_{z,Rd} =$	39,80 kN/m
$V_{z,Ed} / V_{z,Rd} = 13,50 / 39,80 =$	0,34 < 1,00 <b>VYHOVUJE</b>

## (B.2) Posouzení MSÚ - momentová únosnost

	$x = \frac{\sum a_{s,i} \cdot f_{yd}}{b \cdot \lambda \cdot \eta \cdot f_{cd}}$	$= (452 \cdot 180,00) / (1000 \cdot 0,8 \cdot 1 \cdot 10,67)$
poloha neutrálné osy od horního líce průřezu	$x =$	10 mm
poloha težiště ocelových výztuží	$d_T = \frac{\sum (a_{s,i} \cdot d_i)}{\sum a_{s,i}}$	$= 32 \cdot 120 / 452$
	$d_T =$	71 mm
celkový moment únosnosti	$m_{c,Rd} = \frac{\sum (a_{s,i} \cdot f_{yd} \cdot (d_T - 0,5 \cdot \lambda \cdot x))}{m_{c,Rd} = 5,47}$	$= 452 \cdot 180 \cdot (0,07 - 0,5 \cdot 0,8 \cdot 0,01)$
	$m_{c,Rd} =$	5,47 kN.m
$m_{y,Ed} / m_{c,Rd} = 7,44 / 5,47 =$	1,36 > 1,00 <b>NEVYHOVUJE</b>	

Stávající prvek stropní konstrukce v místě sondy **NV15** NEVYHOVUJE dle ČSN EN 1992-1-1 na nový stav.

Využití průřezu desky dle MSÚ v ohybu je 136% .

Využití průřezu desky dle MSÚ ve smyku je 34% .

(17) **NV16** (T) - **monol. trám strop (T-průřez)****FOYER (m.č. 008)- STROP NAD 1. PP****(A) DATA**

vyztužení: ocel hladká

beton: **C16/20**

charakteristická pevnost : ocel/beton

 $f_{yk} = -$  $f_{ck} = 16 \text{ MPa}$ 

návrhová pevnost: ocel/beton

 $f_{yd} = 180 \text{ MPa}$  $f_{cd} = 11 \text{ MPa}$  $\lambda = 0,8$  $\gamma_s = -$  $\gamma_c = 1,5$  $\eta = 1,0$ 

spodní výztuž

č.p.	1	2	3	4	5	6	7
$\phi$ [mm]	20	22	20	22	0	0	0
$c_{nom}$ [mm]	30	20	30	30	0	0	0
osy [mm]	30	75	100	130	0	0	0
$d_i$ [mm]	290	299	290	289	0	0	0
$A_i$ [mm <sup>2</sup> ]	314	380	314	380	0	0	0

Geometrie:

světlé rozpětí žb trámy

 $l_n = 4,36 \text{ m} = 4360 \text{ mm}$ 

výška trámy

 $h = 0,33 \text{ m} = 330 \text{ mm}$ 

šířka trámy

 $b_w = 0,16 \text{ m} = 155 \text{ mm}$ 

tloušťka desky

 $h_f = 0,08 \text{ m} = 80 \text{ mm}$ 

účinné rozpětí trámy (dle způsobu uložení)

 $l_o = 4,56 \text{ m} (1,0 \cdot L_{eff} - \text{prostý nosník})$ 

osová vzdálenost trámů (zatěžovací šířka)

 $b = 2,21 \text{ m}$ 

vzdálenost mezi trámy zleva

 $(2)b_1 = 2,10 \text{ m}$ 

vzdálenost mezi trámy zprava

 $(2)b_2 = 2,00 \text{ m}$ 

spolupůsobící šířka

 $b_{eff} = 1,48 \text{ m}$ 

šířka podpory

 $t_1 = 0,20 \text{ m} \quad t_2 = 0,20 \text{ m}$ 

Účinné rozpětí nosníku

 $L_{eff} = l_n + a_1 + a_2$  $L_{eff} = 4,56 \text{ m}$ **(A.1) Stanovení zatížení**reakce od žb desky  $l_0=2,1 \text{ m}$  (NV15\_d) $r_k = 9,38 \text{ [kN.m}^{-1}]$  $r_d = 13,53 \text{ [kN.m}^{-1}]$ CELKOVÉ ZATÍŽENÍ STROPU -  $q_n / q_d$  - na osuzatížení [kN.m<sup>-1</sup>]

popis	charakt.	$\gamma_{g,q}$	návrhové	Součinitele zatížení:
2 x reakce od žb desky $l_0=2,1 \text{ m}$ (NV15_d)	18,76	x 1,44	27,05	$\gamma_g = 1,35$ -
vlastní tíha nosníku	1,28	x 1,35	1,73	$\gamma_q = 1,50$ -
kombinace pro MSP / MSÚ	$q_k = 20,04$		$q_d = 28,78 \text{ [kN.m}^{-1}]$	

**(A.2) Stanovení vnitřních sil**

dle TP 51, tab. C35 - Prostý nosník - zatížení spojitě

Reakce nosníku (odpovídá  $V_{z,Ed}$ ) $A = B = 1/2 \cdot q_d \cdot L_{eff} = 1/2 \cdot 28,78 \cdot 4,56$  $A = B = 65,62 \text{ kN}$ 

Maximální výpočtový moment

 $M_{y,Ed} = 1/8 \cdot q_d \cdot L_{eff}^2 = 1/8 \cdot 28,78 \cdot 4,56^2$  $M_{y,Ed} = 74,80 \text{ kN.m}$ **(B) POSUDEK****(B.1) Posouzení MSÚ - smyková únosnost**třmínky  $\phi 8 \text{ mm}$ , krytí 5 mm, osově po cca 330 mm + hupy p.č 1 a 4

celková únosnost ve smyku

 $V_{z,Rd} =$  (viz příloha - Beton EC) $V_{z,Rd} = 110,15 \text{ kN/m}$  $V_{z,Ed} / V_{z,Rd} = 65,62 / 110,15 = 0,60 < 1,00$  **VYHOVUJE****(B.2) Posouzení MSÚ - momentová únosnost** $x = \frac{\sum A_{s,i} \cdot f_{yd}}{b_{eff} \cdot \lambda \cdot \eta \cdot f_{cd}} = (1 \cdot 389 \cdot 180,00) / (1477 \cdot 0,8 \cdot 1 \cdot 10,67) =$ 

poloha neutrálné osy od horního líce průřezu

 $x = 20 \text{ mm} \quad x < h_f = 80 \text{ mm}$ 

poloha težiště ocelových výztuží

 $d_T = \sum (A_{s,i} \cdot d_i) / \sum A_{s,i} = 405 \cdot 730 / 1 \cdot 389$  $d_T = 292 \text{ mm}$ 

celkový moment únosnosti

 $M_{c,Rd} = \sum A_{s,i} \cdot f_{yd} \cdot (d_T - 0,5 \cdot \lambda \cdot x) = 1 \cdot 389 \cdot 180 \cdot (0,29 - 0,5 \cdot 0,8 \cdot 0,02)$  $M_{c,Rd} = 71,05 \text{ kN.m}$  $M_{y,Ed} / M_{c,Rd} = 74,80 / 71,05 = 1,05 > 1,00$  **NEVYHOVUJE**Stávající prvek stropní konstrukce v místě sondy **NV16** NEVYHOVUJE dle ČSN EN 1992-1-1 na stávající stav.

Využití průřezu nosníku dle MSÚ na ohyb je 105% .

Využití průřezu nosníku dle MSÚ ve smyku je 60% .

(18) **NV16\*** (T) - **monol. trám strop (T-průřez)****FOYER (m.č. 008)- STROP NAD 1. PP****DESKY ULOŽENY DO TRÁMU MAJÍ NOVOU STŘEDNÍ PODPORU!****(A) DATA**

vyztužení: ocel hladká	beton: <b>C16/20</b>
charakteristická pevnost : ocel/beton $f_{yk} = -$	$f_{ck} = 16 \text{ MPa}$
návrhová pevnost: ocel/beton $f_{yd} = 180 \text{ MPa}$	$f_{cd} = 11 \text{ MPa}$
$\lambda = 0,8$	$\eta = 1,0$
$\gamma_s = -$	$\gamma_c = 1,5$

spodní výztuž

č.p.	1	2	3	4	5	6	7
$\phi$ [mm]	20	22	20	22	0	0	0
$c_{nom}$ [mm]	30	20	30	30	0	0	0
osy [mm]	30	75	100	130	0	0	0
$d_i$ [mm]	290	299	290	289	0	0	0
$A_i$ [mm <sup>2</sup> ]	314	380	314	380	0	0	0

Geometrie:

světélé rozpětí žb trámy	$l_n = 4,36 \text{ m} = 4360 \text{ mm}$
výška trámy	$h = 0,33 \text{ m} = 330 \text{ mm}$
šířka trámy	$b_w = 0,16 \text{ m} = 155 \text{ mm}$
tloušťka desky	$h_f = 0,08 \text{ m} = 80 \text{ mm}$
účinné rozpětí trámy (dle způsobu uložení)	$l_o = 4,56 \text{ m} (1,0 \cdot L_{eff} - \text{prostý nosník})$
osová vzdálenost trámů (zatěžovací šířka)	$b = 2,21 \text{ m}$
vzdálenost mezi trámy zleva	$(2)b_1 = 2,10 \text{ m}$
vzdálenost mezi trámy zprava	$(2)b_2 = 2,00 \text{ m}$
spolupůsobící šířka	$b_{eff} = 1,48 \text{ m}$
šířka podpory	$t_1 = 0,20 \text{ m} \quad t_2 = 0,20 \text{ m}$
Účinné rozpětí nosníku	$L_{eff} = l_n + a_1 + a_2$
	$L_{eff} = 4,56 \text{ m}$

**(A.1) Stanovení zatížení**

reakce od žb desky $l_0=2,1 \text{ m}$ (NV15_d)	$r_k = 9,38 \text{ [kN.m}^{-1}]$	$r_d = 13,53 \text{ [kN.m}^{-1}]$
---	----------------------------------	-----------------------------------

CELKOVÉ ZATÍŽENÍ STROPU -  $q_n / q_d$  - na osuzatížení [kN.m<sup>-1</sup>]

popis	charakt.	$\gamma_{g,g}$	návrhové	Součinitele zatížení:
reakce od žb desky $l_0=2,1 \text{ m}$ (NV15_d)	9,38	x 1,44	13,53	$\gamma_g = 1,35$
vlastní tíha nosníku	1,28	x 1,35	1,73	$\gamma_q = 1,50$
kombinace pro MSP / MSÚ	$q_k = 10,66$		$q_d = 15,25 \text{ [kN.m}^{-1}]$	

**(A.2) Stanovení vnitřních sil**

dle TP 51, tab. C35 - Prostý nosník - zatížení spojitě

Reakce nosníku (odpovídá  $V_{z,Ed}$ )  $A = B = 1/2 \cdot q_d \cdot L_{eff} = 1/2 \cdot 15,25 \cdot 4,56$ 

$$A = B = 34,78 \text{ kN}$$

Maximální výpočtový moment

$$M_{y,Ed} = 1/8 \cdot q_d \cdot L_{eff}^2 = 1/8 \cdot 15,25 \cdot 4,56^2$$

$$M_{y,Ed} = 39,65 \text{ kN.m}$$

**(B) POSUDEK****(B.1) Posouzení MSÚ - smyková únosnost**třmínky  $\phi 8 \text{ mm}$ , krytí 5 mm, osově po cca 330 mm + hupy p.č 1 a 4celková únosnost ve smyku  $V_{z,Rd} =$  (viz příloha - Beton EC)

$$V_{z,Rd} = 110,15 \text{ kN/m}$$

$$V_{z,Ed} / V_{z,Rd} = 34,78 / 110,15 = 0,32 < 1,00 \quad \text{VYHOVUJE}$$

**(B.2) Posouzení MSÚ - momentová únosnost**

$$x = \frac{\sum A_{s,i} \cdot f_{yd}}{b_{eff} \cdot \lambda \cdot \eta \cdot f_{cd}} = (1389 \cdot 180,00) / (1477 \cdot 0,8 \cdot 1 \cdot 10,67) =$$

$$x = 20 \text{ mm} \quad x < h_f = 80 \text{ mm}$$

$$d_T = \frac{\sum (A_{s,i} \cdot d_i)}{\sum A_{s,i}} = 405730 / 1389$$

$$d_T = 292 \text{ mm}$$

$$\text{celkový moment únosnosti } M_{c,Rd} = \sum A_{s,i} \cdot f_{yd} \cdot (d_T - 0,5 \cdot \lambda \cdot x) = 1389 \cdot 180 \cdot (0,29 - 0,5 \cdot 0,8 \cdot 0,02)$$

$$M_{c,Rd} = 71,05 \text{ kN.m}$$

$$M_{y,Ed} / M_{c,Rd} = 39,65 / 71,05 = 0,56 < 1,00 \quad \text{VYHOVUJE}$$

Stávající prvek stropní konstrukce v místě sondy **NV16\*** vyhovuje dle ČSN EN 1992-1-1 na stávající stav.

Využití průřezu nosníku dle MSÚ na ohyb je 56% . Využití průřezu nosníku dle MSÚ ve smyku je 32% .

(19) **NV24** (d) - **monol. deska mezi žb trámy T****STUDIO (m.č. 017)- STROP NAD 1. PP****(A) DATA**

vyztužení: ocel hladká	beton: <b>C16/20</b>
charakteristická pevnost : ocel/beton $f_{yk} = -$	$f_{ck} = 16 \text{ MPa}$
návrhová pevnost: ocel/beton $f_{yd} = 180 \text{ MPa}$	$f_{cd} = 11 \text{ MPa}$
$\lambda = 0,8$	

$\gamma_s = -$

$\gamma_c = 1,5$

$\eta = 1,0$

spodní týžtuž

č.p.	1	2	3	4	5	6
$\phi$ [mm]	8	8	8	8	8	8
$c_{nom}$ [mm]	10	10	10	10	10	10
osy [mm]	0	110	100	110	140	160
$d_i$ [mm]	61	61	61	61	61	61
$a_i$ [mm <sup>2</sup> ]	50	50	50	50	50	50

č.p.	7	8	9	10	-	-	-
$\phi$ [mm]	8	8	8	8			
$c_{nom}$ [mm]	10	10	10	10			
osy [mm]	140	60	100	90			
$d_i$ [mm]	61	61	61	61	0	0	0
$a_i$ [mm <sup>2</sup> ]	50	50	50	50	0	0	0

Geometrie:

$$\begin{aligned}
 \text{světlé rozpětí desky} \quad l_o &= 1,94 \text{ m} = 1940 \text{ mm} \\
 \text{tloušťka desky} \quad h_s &= 0,08 \text{ m} = 75 \text{ mm} \\
 \text{zatěžovací šířka} \quad b &= 1,00 \text{ m} \\
 \text{rozpětí nosníku} \quad l &= l_o * 1,05 \\
 &= 2,04 \text{ m} = 2037 \text{ mm}
 \end{aligned}$$

## (A.1) Stanovení zatížení

CELKOVÉ ZATÍŽENÍ STROPU -  $q_n$  /  $q_d$  - plošné

stálé zatížení (podlaha F05)

$g_k = 1,59 \text{ [kN.m}^{-2}\text{]} \quad \gamma_g = 1,35 -$

stálé zatížení (podhled P04)

$g_k = 0,28 \text{ [kN.m}^{-2}\text{]} \quad \gamma_g = 1,50 -$

užitné zatížení

$q_k = 2,50 \text{ [kN.m}^{-2}\text{]}$

ZATÍŽENÍ BODOVÉ -  $P_k$  /  $P_d$  - bodové

$n = 0\%$

reakce od akustické přičky n%

$n * P_k = 0,00$

$1/2 / P_d = 0,00 \text{ [kN]}$

$c = 0,000 \text{ m}$

$d = 2,037 \text{ m}$

CELKOVÉ ZATÍŽENÍ STROPU -  $q_n$  /  $q_d$  - na osuzatížení [kN.m<sup>-1</sup>]

popis	charakt.	$\gamma_{g,q}$	návrhové	
zatížení stropu - stálé	1,87	x 1,35	2,52	
zatížení stropu - stálé (omítka zespod)	0,22	x 1,50	0,33	10 mm
zatížení stropu - užitné	2,50	x 1,50	3,75	
vlastní tíha desky	1,88	x 1,35	2,53	
kombinace pro MSP / MSÚ	$q_k = 6,46$		$q_d = 9,13$	[kN.m <sup>-1</sup> ]

## (A.2) Stanovení vnitřních sil

Reakce desky

$a = 1/2 * q_d * L + 1/L * P_d * d = 1/2 * 9,13 * 2,04 + 1/2,04 * 0,00 * 2,037$

$a = 9,30 \text{ kN/m} \quad (6,58)$

(reakce od stálého zatížení)

$a_{z,d}(g) = 5,14 \text{ kN/m} \quad (3,81)$

(reakce od užitného zatížení)

$a_{z,d}(q) = 3,82 \text{ kN/m} \quad (2,55)$

$b = 1/2 * q_d * L + 1/L * P_d * c = 1/2 * 9,13 * 2,04 + 1/2,04 * 0,00 * 0$

$b = 9,30 \text{ kN/m} \quad (6,58)$

(reakce od stálého zatížení)

$b_{z,d}(g) = 5,14 \text{ kN/m} \quad (3,81)$

(reakce od užitného zatížení)

$b_{z,d}(q) = 3,82 \text{ kN/m} \quad (2,55)$

reakce bez přičky

$r^* = 9,30 \text{ kN/m} \quad (6,58)$

Maximální smyková síla

$v_{z,Ed} = 9,30 \text{ kN/m} \quad (6,58)$

Maximální výpočtový moment

$m_{y,Ed} = 1/8 * q_d * L^2 + 1/L * P_d * c * d = 1/8 * 9,13 * 2,04^2 * 2,04 + 1/2,04 * 0,00 * 0,00 * 2,04$

$m_{y,Ed} = 4,74 \text{ kN.m/m}$

Maximální výpočtový moment

$m_{y,Ed} = 1/2 * q_d * c * d + 1/L * P_d * c * d = 1/8 * 9,13 * 2,04^2 * 2,04 + 1/2,04 * 0,00 * 0,00 * 2,04$

[v místě působíště bodové síly ( $x=c$ )]

$m_{y,Ed} = 0,00 \text{ kN.m/m}$

## (B) POSUDEK

## (B.1) Posouzení MSÚ - smyková únosnost

celková únosnost ve smyku

$V_{z,Rd} = \text{(viz příloha - Beton EC)}$

$V_{z,Rd} = 27,45 \text{ kN/m}$

$V_{z,Ed} / V_{z,Rd} = 9,30 / 27,45 = 0,34 < 1,00$

VYHOVUJE

## (B.2) Posouzení MSÚ - momentová únosnost

$x = \frac{\sum a_{s,i} \cdot f_{yd}}{b \cdot \lambda \cdot \eta \cdot f_{cd}} = (503 * 180,00) / (1000 * 0,8 * 1 * 10,67)$

poloha neutrálné osy od horního líce průřezu

$x = 11 \text{ mm}$

poloha težiště ocelových výztuží

$d_T = \frac{\sum (a_{s,i} \cdot d_i)}{\sum a_{s,i}} = 30\,662 / 503$



$$d_T = 61 \text{ mm}$$

$$\text{celkový moment únosnosti } m_{c,Rd} = \Sigma(a_{s,i} \cdot f_{yd}) \cdot (d_T - 0,5 \cdot \lambda \cdot x) = 503 \cdot 180 \cdot (0,06 - 0,5 \cdot 0,8 \cdot 0,011) = 5,14 \text{ kN.m}$$

$$m_{y,Ed} / m_{c,Rd} = 4,74 / 5,14 = 0,92 < 1,00 \text{ VYHOVUJE}$$

Stávající prvek stropní konstrukce v místě sondy **NV24** vyhovuje dle ČSN EN 1992-1-1 na nový stav.

Využití průřezu desky dle MSÚ v ohybu je 92% . Využití průřezu desky dle MSÚ ve smyku je 34% .

(20) **NV20** (T) - monol. trám strop (T-průřez)

**STUDIO (m.č. 017)- STROP NAD 1. PP**

### (A) DATA

vyztužení: ocel hladká beton: **C16/20**

charakteristická pevnost : ocel/beton  $f_{yk} = -$   $f_{ck} = 16 \text{ MPa}$

návrhová pevnost: ocel/beton  $f_{yd} = 180 \text{ MPa}$   $f_{cd} = 11 \text{ MPa}$   $\lambda = 0,8$

$\gamma_s = -$   $\gamma_c = 1,5$   $\eta = 1,0$

spodní výztuž

č.p.	1	2	3	4	5	6	7
$\phi$ [mm]	25	25	25	25	0	0	0
$c_{nom}$ [mm]	20	15	50	25	0	0	0
osy [mm]	40	35	10	35	0	0	0
$d_i$ [mm]	358	363	328	353	0	0	0
$A_i$ [mm <sup>2</sup> ]	491	491	491	491	0	0	0

Geometrie:

světlé rozpětí žb trámy  $l_n = 5,51 \text{ m} = 5510 \text{ mm}$

výška trámu  $h = 0,39 \text{ m} = 390 \text{ mm}$

šířka trámu  $b_w = 0,16 \text{ m} = 160 \text{ mm}$

tloušťka desky  $h_f = 0,08 \text{ m} = 75 \text{ mm}$

účinné rozpětí trámu (dle způsobu uložení)  $l_o = 5,71 \text{ m}$  (1,0 \*  $L_{eff}$  - prostý nosník)

osová vzdálenost trámů (zatěžovací šířka)  $b = 2,10 \text{ m}$

vzdálenost mezi trámy zleva  $(2)b_1 = 1,94 \text{ m}$

vzdálenost mezi trámy zprava  $(2)b_2 = 1,94 \text{ m}$

spolupůsobící šířka  $b_{eff} = 1,69 \text{ m}$

šířka podpory  $t_1 = 0,20 \text{ m}$   $t_2 = 0,20 \text{ m}$

Účinné rozpětí nosníku  $L_{eff} = l_n + a_1 + a_2$

$L_{eff} = 5,71 \text{ m}$

### (A.1) Stanovení zatížení

reakce od žb desky  $l_0 = 1,94 \text{ m}$  (NV24\_d)  $r_k = 6,58 \text{ [kN.m}^{-1}]$   $r_d = 9,30 \text{ [kN.m}^{-1}]$  100%

CELKOVÉ ZATÍŽENÍ STROPU -  $q_n / q_d$  - na osu zatížení [kN.m<sup>-1</sup>]

	popis	charakt.	$\gamma_{g,q}$	návrhové	Součinitele zatížení:
2 x	reakce od žb desky $l_0 = 1,94 \text{ m}$ (NV24_d)	13,16	x 1,41	18,60	$\gamma_g = 1,35$ -
	vlastní tíha nosníku	1,56	x 1,35	2,11	$\gamma_q = 1,50$ -
	kombinace pro MSP / MSÚ	$q_k = 14,72$		$q_d = 20,70$ [kN.m <sup>-1</sup> ]	

### (A.2) Stanovení vnitřních sil

dle TP 51, tab. C35 - Prostý nosník - zatížení spojitě

Reakce nosníku (odpovídá  $V_{z,Ed}$ )  $A = B = 1 / 2 \cdot q_d \cdot L_{eff} = 1 / 2 \cdot 20,70 \cdot 5,71 = 59,11 \text{ kN}$  (42,03)

Maximální výpočtový moment  $M_{y,Ed} = 1 / 8 \cdot q_d \cdot L_{eff}^2 = 1 / 8 \cdot 20,70 \cdot 5,71^2 = 84,38 \text{ kN.m}$

### (B) POSUDEK

#### (B.1) Posouzení MSÚ - smyková únosnost

celková únosnost ve smyku  $V_{z,Rd} =$  (viz příloha - Beton EC)

$V_{z,Rd} = 145,22 \text{ kN/m}$

$V_{z,Ed} / V_{z,Rd} = 59,11 / 145,22 = 0,41 < 1,00 \text{ VYHOVUJE}$

#### (B.2) Posouzení MSÚ - momentová únosnost

$x = \frac{\Sigma A_{s,i} \cdot f_{yd}}{b_{eff} \cdot \lambda \cdot \eta \cdot f_{cd}} = (1 \cdot 963 \cdot 180,00) / (1690 \cdot 0,8 \cdot 1 \cdot 10,67) = 25 \text{ mm}$

poloha neutrálné osy od horního líce průřezu  $x = 25 \text{ mm}$   $x < h_f = 75 \text{ mm}$

poloha težiště ocelových výztuží  $d_T = \Sigma(A_{s,i} \cdot d_i) / \Sigma A_{s,i} = 687 \cdot 223 / 1 \cdot 963 = 350 \text{ mm}$

celkový moment únosnosti  $M_{c,Rd} = \Sigma A_{s,i} \cdot f_{yd} \cdot (d_T - 0,5 \cdot \lambda \cdot x) = 1 \cdot 963 \cdot 180 \cdot (0,35 - 0,5 \cdot 0,8 \cdot 0,025) = 120,24 \text{ kN.m}$



$$M_{y,Ed} / M_{c,Rd} = 84,38 / 120,24 = 0,70 < 1,00 \quad \text{VYHOVUJE}$$

Stávající prvek stropní konstrukce v místě sondy **NV20** vyhovuje dle ČSN EN 1992-1-1 na stávající stav.

Využití průřezu nosníku dle MSÚ na ohyb je 70% . Využití průřezu nosníku dle MSÚ ve smyku je 41% .

(21) **NV21** (T) - monol. trám strop (T-průřez)

**STUDIO (m.č. 017)- STROP NAD 1. PP**

**(A) DATA**

vyztužení: ocel hladká

beton: **C16/20**

charakteristická pevnost : ocel/beton

$f_{yk} = -$

$f_{ck} = 16 \text{ MPa}$

návrhová pevnost: ocel/beton

$f_{yd} = 180 \text{ MPa}$

$f_{cd} = 11 \text{ MPa}$

$\lambda = 0,8$

$\gamma_s = -$

$\gamma_c = 1,5$

$\eta = 1,0$

spodní výztuž

č.p.	1	2	3	4	5	6	7
$\phi$ [mm]	20	20	18	18	0	0	0
$c_{nom}$ [mm]	10	10	20	10	0	0	0
osy [mm]	65	20	15	25	0	0	0
$d_i$ [mm]	355	355	346	356	0	0	0
$A_i$ [mm <sup>2</sup> ]	314	314	254	254	0	0	0

Geometrie:

světélé rozpětí žb trámy

$l_n = 4,02 \text{ m} = 4020 \text{ mm}$

výška trámu

$h = 0,38 \text{ m} = 375 \text{ mm}$

šířka trámu

$b_w = 0,16 \text{ m} = 155 \text{ mm}$

tloušťka desky

$h_f = 0,08 \text{ m} = 75 \text{ mm}$

účinné rozpětí trámu (dle způsobu uložení)

$l_o = 4,22 \text{ m} \quad (1,0 \cdot L_{eff} - \text{prostý nosník})$

osová vzdálenost trámů (zatěžovací šířka)

$b = 1,36 \text{ m}$

vzdálenost mezi trámy zleva

$(2)b_1 = 0,47 \text{ m}$

vzdálenost mezi trámy zprava

$(2)b_2 = 1,94 \text{ m}$

spolupůsobící šířka

$b_{eff} = 1,24 \text{ m}$

šířka podpory

$t_1 = 0,20 \text{ m} \quad t_2 = 0,20 \text{ m}$

Účinné rozpětí nosníku

$L_{eff} = l_n + a_1 + a_2$

$L_{eff} = 4,22 \text{ m}$

**(A.1) Stanovení zatížení**

reakce od žb desky  $l_0=1,94 \text{ m}$  (NV24\_d)

$r_k = 6,58 \text{ [kN.m}^{-1}]$

$r_d = 9,30 \text{ [kN.m}^{-1}]$

reakce od žb desky  $l_0=0,465 \text{ m}$  (NV24\_d)

$r_k = 1,58 \text{ [kN.m}^{-1}]$

$r_d = 2,23 \text{ [kN.m}^{-1}]$

CELKOVÉ ZATÍŽENÍ STROPU -  $q_n / q_d$  - na osu

zatížení [kN.m<sup>-1</sup>]

	popis	charakt.	$\gamma_{g,g}$	návrhové	Součinitele zatížení:
1 x	reakce od žb desky $l_0=1,94 \text{ m}$ (NV24_d)	6,58	x 1,41	9,30	$\gamma_g = 1,35$
1 x	reakce od žb desky $l_0=0,465 \text{ m}$ (NV24_d)	1,58	x 1,41	2,23	$\gamma_g = 1,50$
	vlastní tíha nosníku	1,45	x 1,35	1,96	
	kombinace pro MSP / MSÚ	$q_k = 9,61$		$q_d = 13,49$ [kN.m <sup>-1</sup> ]	

**(A.2) Stanovení vnitřních sil**

dle TP 51, tab. C35 - Prostý nosník - zatížení spojitě

Reakce nosníku (odpovídá  $V_{z,Ed}$ )

$A = B = 1/2 \cdot q_d \cdot L_{eff} = 1/2 \cdot 13,49 \cdot 4,22$

$A = B = 28,46 \text{ kN}$

Maximální výpočtový moment

$M_{y,Ed} = 1/8 \cdot q_d \cdot L_{eff}^2 = 1/8 \cdot 13,49 \cdot 4,22^2$

$M_{y,Ed} = 30,03 \text{ kN.m}$

**(B) POSUDEK**

**(B.1) Posouzení MSÚ - smyková únosnost**

třmínky  $\phi 6 \text{ mm}$ , krytí 5 mm, osově po cca 220 mm + hupy p.č 3 a 4

celková únosnost ve smyku

$V_{z,Rd} =$  (viz příloha - Beton EC)

$V_{z,Rd} = 119,71 \text{ kN/m}$

$$V_{z,Ed} / V_{z,Rd} = 28,46 / 119,71 = 0,24 < 1,00 \quad \text{VYHOVUJE}$$

**(B.2) Posouzení MSÚ - momentová únosnost**

$$x = \frac{\sum A_{s,i} \cdot f_{yd}}{b_{eff} \cdot \lambda \cdot \eta \cdot f_{cd}} = (1 \cdot 137 \cdot 180,00) / (1239,5 \cdot 0,8 \cdot 1 \cdot 10,67) =$$

poloha neutrálné osy od horního líce průřezu

$x = 19 \text{ mm}$

$x < h_f = 75 \text{ mm}$

poloha těžiště ocelových výztuží

$d_T = \sum (A_{s,i} \cdot d_i) / \sum A_{s,i} = 401 \cdot 690 / 1 \cdot 137$

$d_T = 353 \text{ mm}$

celkový moment únosnosti

$M_{c,Rd} = \sum A_{s,i} \cdot f_{yd} \cdot (d_T - 0,5 \cdot \lambda \cdot x) = 1 \cdot 137 \cdot 180 \cdot (0,35 - 0,5 \cdot 0,8 \cdot 0,019)$

$M_{c,Rd} = 70,72 \text{ kN.m}$

$$M_{y,Ed} / M_{c,Rd} = 30,03 / 70,72 = 0,42 < 1,00 \quad \text{VYHOVUJE}$$

Stávající prvek stropní konstrukce v místě sondy **NV21** vyhovuje dle ČSN EN 1992-1-1 na stávající stav.

Využití průřezu nosníku dle MSÚ na ohyb je 42% . Využití průřezu nosníku dle MSÚ ve smyku je 24% .

(22) **NV42** (d) - **monol. deska mezi žb trámy T****STUDIO\_BEZ PŘÍČEK - STROPY NAD 2. NP****(A) DATA**

vyztužení: ocel hladká

beton: **C16/20**

charakteristická pevnost: ocel/beton

 $f_{yk} = -$  $f_{ck} = 16 \text{ MPa}$ 

návrhová pevnost: ocel/beton

 $f_{yd} = 180 \text{ MPa}$  $f_{cd} = 11 \text{ MPa}$  $\lambda = 0,8$  $\gamma_s = -$  $\gamma_c = 1,5$  $\eta = 1,0$ 

spodní týžď

č.p.	1	2	3	4	5	6
$\phi$ [mm]	8	8	8	8	8	8
$c_{nom}$ [mm]	15	15	15	15	15	15
osy [mm]	55	75	140	140	120	130
$d_i$ [mm]	71	71	71	71	71	71
$a_i$ [mm <sup>2</sup> ]	50	50	50	50	50	50

č.p.	7	8	9	-	-	-
$\phi$ [mm]	8	8	8			
$c_{nom}$ [mm]	15	15	15			
osy [mm]	90	130	100			
$d_i$ [mm]	71	71	71	0	0	0
$a_i$ [mm <sup>2</sup> ]	50	50	50	0	0	0

Geometrie:

světlé rozpětí desky

 $l_0 = 1,85 \text{ m} = 1850 \text{ mm}$ 

tloušťka desky

 $h_s = 0,09 \text{ m} = 90 \text{ mm}$ 

zatěžovací šířka

 $b = 1,00 \text{ m}$ 

rozpětí nosníku

 $l = l_0 \cdot 1,05$  $l = 1,94 \text{ m} = 1942,5 \text{ mm}$ **(A.1) Stanovení zatížení**CELKOVÉ ZATÍŽENÍ STROPU -  $q_n / q_d$  - plošné

stálé zatížení (podlaha)

 $g_k = 1,36 \text{ [kN.m}^{-2}\text{]}$   $\gamma_g = 1,35 -$ 

stálé zatížení (omítka 5 mm + podhled)

 $g_k = 0,64 \text{ [kN.m}^{-2}\text{]}$   $\gamma_g = 1,50 -$ 

užitné zatížení

 $q_k = 2,50 \text{ [kN.m}^{-2}\text{]}$ ZATÍŽENÍ BODOVÉ -  $P_k / P_d$  - bodové $n = 100\%$ 

reakce od akustické příčky n%

 $n \cdot P_k = 0,00$  $n \cdot P_d = 0,00$ [kN]  $c = 0,750 \text{ m}$  $d = 1,193 \text{ m}$ CELKOVÉ ZATÍŽENÍ STROPU -  $q_n / q_d$  - na osuzatížení [kN.m<sup>-1</sup>]

popis	charakt.	$\gamma_{g,q}$	návrhové
zatížení stropu - stálé	2,00	x 1,35	2,70
zatížení stropu - užitné	2,50	x 1,50	3,75
vlastní tíha desky	2,25	x 1,35	3,04
kombinace pro MSP / MSÚ	$q_k = 6,75$		$q_d = 9,49 \text{ [kN.m}^{-1}\text{]}$

**(A.2) Stanovení vnitřních sil**

Reakce desky

 $a = 1/2 \cdot q_d \cdot L + 1/L \cdot P_d \cdot d = 1/2 \cdot 9,49 \cdot 1,94 + 1/1,94 \cdot 0,00 \cdot 1,1925$  $a = 9,21 \text{ kN/m} \quad (6,56)$ 

(reakce od stálého zatížení)

 $a_{z,d}(g) = 5,57 \text{ kN/m} \quad (4,13)$ 

(reakce od užitného zatížení)

 $a_{z,d}(q) = 3,64 \text{ kN/m} \quad (2,43)$  $b = 1/2 \cdot q_d \cdot L + 1/L \cdot P_d \cdot c = 1/2 \cdot 9,49 \cdot 1,94 + 1/1,94 \cdot 0,00 \cdot 0,75$  $b = 9,21 \text{ kN/m} \quad (6,56)$ 

(reakce od stálého zatížení)

 $b_{z,d}(g) = 5,57 \text{ kN/m} \quad (4,13)$ 

(reakce od užitného zatížení)

 $b_{z,d}(q) = 3,64 \text{ kN/m} \quad (2,43)$ 

reakce bez příčky

 $r^* = 9,21 \text{ kN/m} \quad (6,56)$ 

Maximální smyková síla

 $V_{z,Ed} = 9,21 \text{ kN/m} \quad (6,56)$ 

Maximální výpočtový moment

 $m_{y,Ed} = 1/8 \cdot q_d \cdot L^2 + 1/L \cdot P_d \cdot c \cdot d = 1/8 \cdot 9,49 \cdot 1,94^2 + 1/1,94 \cdot 0,00 \cdot 0,75 \cdot 1,19$  $m_{y,Ed} = 4,47 \text{ kN.m/m}$ 

Maximální výpočtový moment

 $m_{y,Ed} = 1/2 \cdot q_d \cdot c \cdot d + 1/L \cdot P_d \cdot c \cdot d = 1/2 \cdot 9,49 \cdot 1,94 \cdot 1,94 + 1/1,94 \cdot 0,00 \cdot 0,75 \cdot 1,19$ [v místě působí bodové síly ( $x=c$ )] $m_{y,Ed} = 4,24 \text{ kN.m/m}$ **(B) POSUDEK****(B.1) Posouzení MSÚ - smyková únosnost**

celková únosnost ve smyku  $V_{z,Rd} =$  (viz příloha - Beton EC)

$$V_{z,Rd} = 39,93 \text{ kN/m}$$

$$V_{z,Ed} / V_{z,Rd} = 9,21 / 39,93 = 0,23 < 1,00$$

VYHOVUJE

## (B.2) Posouzení MSÚ - momentová únosnost

$$x = \frac{\sum a_{s,i} \cdot f_{yd}}{b \cdot \lambda \cdot \eta \cdot f_{cd}} = (452 \cdot 180,00) / (1000 \cdot 0,8 \cdot 1 \cdot 10,67)$$

$$\text{poloha neutrálné osy od horního líce průřezu} \quad x = 10 \text{ mm}$$

$$\text{poloha težiště ocelových výztuží} \quad d_T = \frac{\sum (a_{s,i} \cdot d_i)}{\sum a_{s,i}} = 32 \text{ 120} / 452$$

$$d_T = 71 \text{ mm}$$

$$\text{celkový moment únosnosti} \quad m_{c,Rd} = \frac{\sum (a_{s,i} \cdot f_{yd}) \cdot (d_T - 0,5 \cdot \lambda \cdot x)}{1} = 452 \cdot 180 \cdot (0,07 - 0,5 \cdot 0,8 \cdot 0,01)$$

$$m_{c,Rd} = 5,47 \text{ kN.m}$$

$$m_{y,Ed} / m_{c,Rd} = 4,47 / 5,47 = 0,82 < 1,00 \text{ VYHOVUJE}$$

Stávající prvek stropní konstrukce v místě sondy **NV42** vyhovuje dle ČSN EN 1992-1-1 na nový stav.

Využití průřezu desky dle MSÚ v ohybu je 82% . Využití průřezu desky dle MSÚ ve smyku je 23% .

(23) **NV42** (d) - monol. deska mezi žb trámy T

## STUDIO\_PŘÍČKY VE SMĚRU DESKY - STROPY NAD 2. NP

## (A) DATA

vyztužení: ocel hladká

beton: **C16/20**

charakteristická pevnost: ocel/beton

$$f_{yk} = -$$

$$f_{ck} = 16 \text{ MPa}$$

návrhová pevnost: ocel/beton

$$f_{yd} = 180 \text{ MPa}$$

$$f_{cd} = 11 \text{ MPa}$$

$$\lambda = 0,8$$

$$\gamma_s = -$$

$$\gamma_c = 1,5$$

$$\eta = 1,0$$

spodní týžtuž

č.p.	1	2	3	4	5	6
$\phi$ [mm]	8	8	8	8	8	8
$c_{nom}$ [mm]	15	15	15	15	15	15
osy [mm]	55	75	140	140	120	130
$d_i$ [mm]	71	71	71	71	71	71
$a_i$ [mm <sup>2</sup> ]	50	50	50	50	50	50

č.p.	7	8	9	-	-	-
$\phi$ [mm]	8	8	8			
$c_{nom}$ [mm]	15	15	15			
osy [mm]	90	130	100			
$d_i$ [mm]	71	71	71	0	0	0
$a_i$ [mm <sup>2</sup> ]	50	50	50	0	0	0

Geometrie:

světlé rozpětí desky

$$l_o = 1,85 \text{ m} = 1850 \text{ mm}$$

tloušťka desky

$$h_s = 0,09 \text{ m} = 90 \text{ mm}$$

zatěžovací šířka

$$b = 1,00 \text{ m}$$

rozpětí nosníku

$$l = l_o \cdot 1,05$$

$$l = 1,94 \text{ m} = 1942,5 \text{ mm}$$

## (A.1) Stanovení zatížení

CELKOVÉ ZATÍŽENÍ STROPY -  $q_n / q_d$  - plošné

stálé zatížení (podlaha)

$$g_k = 1,36 \text{ [kN.m}^{-2}] \quad \gamma_g = 1,35 -$$

stálé zatížení (podhled)

$$g_k = 0,09 \text{ [kN.m}^{-2}] \quad \gamma_g = 1,50 -$$

užitné zatížení

$$q_k = 2,50 \text{ [kN.m}^{-2}]$$

ZATÍŽENÍ BODOVÉ -  $P_k / P_d$  - bodové

reakce od akustické příčky

$$P_k = 0,00$$

$$P_d = 0,00 \text{ [kN]}$$

$$c = 0,000 \text{ m}$$

$$d = 1,943 \text{ m}$$

CELKOVÉ ZATÍŽENÍ STROPY -  $q_n / q_d$  - na osuzatížení [kN.m<sup>-1</sup>]

popis	charakt.	$\gamma_{g,q}$	návrhové
zatížení stropu - stálé	1,45	x 1,35	1,96
zatížení stropu - užitné	2,50	x 1,50	3,75
50% příčky rovnoběžně s deskou - aku	0,81	x 1,35	1,09
0% příčky rovnoběžně s deskou - zděná	0,00	x 1,35	0,00
vlastní tíha desky	2,25	x 1,35	3,04
kombinace pro MSP / MSÚ	$q_k = 7,01$	$q_d = 9,84$	[kN.m <sup>-1</sup> ]

## (A.2) Stanovení vnitřních sil

Reakce desky

$$a = 1/2 \cdot q_d \cdot L + 1/L \cdot P_d \cdot d = 1/2 \cdot 9,84 \cdot 1,94 + 1/1,94 \cdot 0,00 \cdot 1,9425$$

	$a = 9,55$	kN/m	(6,81)
(reakce od stálého zatížení)	$a_{z,d}(g) =$	4,85 kN/m	(3,59)
(reakce od užitého zatížení)	$a_{z,d}(q) =$	3,64 kN/m	(2,43)
	$b = 1/2 \cdot q_d \cdot L + 1/L \cdot P_d \cdot c = 1/2 \cdot 9,84 \cdot 1,94 + 1/1,94 \cdot 0,00 \cdot 0$		(6,81)
	$b = 9,55$	kN/m	(6,81)
(reakce od stálého zatížení)	$b_{z,d}(g) =$	4,85 kN/m	(3,59)
(reakce od užitého zatížení)	$b_{z,d}(q) =$	3,64 kN/m	(2,43)
reakce bez přičky	$r^* =$	9,55 kN/m	(6,81)
Maximální smyková síla	$V_{z,Ed} =$	9,55 kN/m	(6,81)
Maximální výpočtový moment	$m_{y,Ed} = 1/8 \cdot q_d \cdot L^2 + 1/L \cdot P_d \cdot c \cdot d = 1/8 \cdot 9,84 \cdot 1,94^2 + 1/1,94 \cdot 0,00 \cdot 0,00 \cdot 1,94$		
	$m_{y,Ed} =$	4,64 kN.m/m	

**(B) POSUDEK****(B.1) Posouzení MSÚ - smyková únosnost**

celková únosnost ve smyku

 $V_{z,Rd} =$  (viz příloha - Beton EC) $V_{z,Rd} = 41,78$  kN/m $V_{z,Ed} / V_{z,Rd} = 9,55 / 41,78 = 0,23 < 1,00$ **VYHOVUJE****(B.2) Posouzení MSÚ - momentová únosnost**

$$x = \frac{\sum a_{s,i} \cdot f_{yd}}{b \cdot \lambda \cdot \eta \cdot f_{cd}} = (452 \cdot 180,00) / (1000 \cdot 0,8 \cdot 1 \cdot 10,67)$$

poloha neutrální osy od horního líce průřezu

 $x = 10$  mm

poloha težiště ocelových výztuží

 $d_T = \sum (a_{s,i} \cdot d_i) / \sum a_{s,i} = 32 \ 120 / 452$  $d_T = 71$  mm

celkový moment únosnosti

 $m_{c,Rd} = \sum (a_{s,i} \cdot f_{yd}) \cdot (d_T - 0,5 \cdot \lambda \cdot x) = 452 \cdot 180 \cdot (0,07 - 0,5 \cdot 0,8 \cdot 0,01)$  $m_{c,Rd} = 5,47$  kN.m $m_{y,Ed} / m_{c,Rd} = 4,64 / 5,47 = 0,85 < 1,00$  **VYHOVUJE**Stávající prvek stropní konstrukce v místě sondy **NV42** vyhovuje dle ČSN EN 1992-1-1 na stávající stav.

Využití průřezu desky dle MSÚ v ohybu je 85% . Využití průřezu desky dle MSÚ ve smyku je 23% .

**(24) NV41 (T) - monol. trám strop (T-průřez)****STUDIO\_BEZ PŘÍČEK - STROPY NAD 2. NP****(A) DATA**

vyztužení: ocel hladká

beton: **C16/20**

charakteristická pevnost : ocel/beton

 $f_{yk} = -$  $f_{ck} = 16$  MPa

návrhová pevnost: ocel/beton

 $f_{yd} = 180$  MPa $f_{cd} = 11$  MPa $\lambda = 0,8$  $\gamma_s = -$  $\gamma_c = 1,5$  $\eta = 1,0$ 

spodní výztuž

č.p.	1	2	3	4	5	-	-
$\phi$ [mm]	20	18	20	18	0	0	0
$c_{nom}$ [mm]	30	20	25	25	0	0	0
osy [mm]	55	75	100	125	0	0	0
$d_i$ [mm]	270	281	275	276	0	0	0
$A_i$ [mm <sup>2</sup> ]	314	254	314	254	0	0	0

Geometrie:

světélé rozpětí žb trámy

 $l_n = 3,57$  m = 3570 mm

výška trámu

 $h = 0,31$  m = 310 mm

šířka trámu

 $b_w = 0,15$  m = 150 mm

tloušťka desky

 $h_f = 0,09$  m = 90 mm

účinné rozpětí trámu (dle způsobu uložení)

 $l_o = 3,77$  m (1,0 \*  $L_{eff}$  - prostý nosník)

osová vzdálenost trámů (zatěžovací šířka)

 $b = 2,00$  m

vzdálenost mezi trámy zleva

 $(2)b_1 = 1,85$  m

vzdálenost mezi trámy zprava

 $(2)b_2 = 1,85$  m

spolupůsobící šířka

 $b_{eff} = 1,27$  m

šířka podpory

 $t_1 = 0,20$  m  $t_2 = 0,20$  m

Účinné rozpětí nosníku

 $L_{eff} = l_n + a_1 + a_2$  $L_{eff} = 3,77$  m**(A.1) Stanovení zatížení**reakce od žb desky  $l_0 = 1,85$  m (NV42\_d) $r_k = 6,56$  [kN.m<sup>-1</sup>] $r_d = 9,21$  [kN.m<sup>-1</sup>]CELKOVÉ ZATÍŽENÍ STROPU -  $q_n$  /  $q_d$  - na osuzatížení [kN.m<sup>-1</sup>]

popis	charakt.	$\gamma_{g,g}$	návrhové
2 x reakce od žb desky $l_0 = 1,85$ m (NV42_d)	13,11	x 1,41	18,43
vlastní tíha nosníku	1,16	x 1,35	1,57

Součinitele zatížení:

 $\gamma_g = 1,35$  - $\gamma_q = 1,50$  -

kombinace pro MSP / MSÚ

 $q_k = 14,27$  $q_d = 20,00$ [kN.m<sup>-1</sup>]

## (A.2) Stanovení vnitřních sil

dle TP 51, tab. C35 - Prostý nosník - zatížení spojitě

Reakce nosníku (odpovídá  $V_{z,Ed}$ )

$$A = B = 1/2 \cdot q_d \cdot L_{eff} = 1/2 \cdot 20,00 \cdot 3,77$$

$$A = B = 37,70 \text{ kN}$$

Maximální výpočtový moment

$$M_{y,Ed} = 1/8 \cdot q_d \cdot L_{eff}^2 = 1/8 \cdot 20,00 \cdot 3,77^2$$

$$M_{y,Ed} = 35,53 \text{ kN.m}$$

## (B) POSUDEK

## (B.1) Posouzení MSÚ - smyková únosnost

třmínky  $\phi$  8 mm, krytí 5 mm, osově po cca 250 mm + hupy p.č 1 a 3

celková únosnost ve smyku

$$V_{z,Rd} = \text{(viz příloha - Beton EC)}$$

$$V_{z,Rd} = 105,05 \text{ kN/m}$$

$$V_{z,Ed} / V_{z,Rd} = 37,70 / 105,05 =$$

$$0,36 < 1,00$$

VYHOVUJE

## (B.2) Posouzení MSÚ - momentová únosnost

$$x = \frac{\sum A_{s,i} \cdot f_{yd}}{b_{eff} \cdot \lambda \cdot \eta \cdot f_{cd}} = (1 \cdot 137 \cdot 180,00) / (1274 \cdot 0,8 \cdot 1 \cdot 10,67) =$$

poloha neutrálné osy od horního líce průřezu

$$x = 19 \text{ mm}$$

$$x < h_f = 90 \text{ mm}$$

poloha težiště ocelových výztuží

$$d_T = \sum (A_{s,i} \cdot d_i) / \sum A_{s,i} = 312 \cdot 956 / 1 \cdot 137$$

$$d_T = 275 \text{ mm}$$

celkový moment únosnosti

$$M_{c,Rd} = \sum A_{s,i} \cdot f_{yd} \cdot (d_T - 0,5 \cdot \lambda \cdot x) = 1 \cdot 137 \cdot 180 \cdot (0,28 - 0,5 \cdot 0,8 \cdot 0,019)$$

$$M_{c,Rd} = 54,79 \text{ kN.m}$$

$$M_{y,Ed} / M_{c,Rd} = 35,53 / 54,79 =$$

$$0,65 < 1,00$$

VYHOVUJE

Stávající prvek stropní konstrukce v místě sondy NV41 vyhovuje dle ČSN EN 1992-1-1 na stávající stav.

Využití průřezu nosníku dle MSÚ na ohyb je 65%

Využití průřezu nosníku dle MSÚ ve smyku je 36%

## (25) NV33 (d) - monol. deska mezi žb trámy T

## STUDIO\_BEZ PŘÍČEK - STROPY NAD 1. NP

## (A) DATA

vyztužení: ocel hladká

beton: C16/20

charakteristická pevnost: ocel/beton

$$f_{yk} = -$$

$$f_{ck} = 16 \text{ MPa}$$

návrhová pevnost: ocel/beton

$$f_{yd} = 180 \text{ MPa}$$

$$f_{cd} = 11 \text{ MPa}$$

$$\lambda = 0,8$$

$$\gamma_s = -$$

$$\gamma_c = 1,5$$

$$\eta = 1,0$$

spodní týžď

č.p.	1	2	3	4	5	6
$\phi$ [mm]	8	8	8	8	8	8
$c_{nom}$ [mm]	15	15	15	15	15	15
osy [mm]	220	50	130	150	120	170
$d_i$ [mm]	91	91	91	91	91	91
$a_i$ [mm <sup>2</sup> ]	50	50	50	50	50	50

č.p.	7	-	-	-	-	-
$\phi$ [mm]	8					
$c_{nom}$ [mm]	15					
osy [mm]	100					
$d_i$ [mm]	91	0	0	0	0	0
$a_i$ [mm <sup>2</sup> ]	50	0	0	0	0	0

Geometrie:

světlé rozpětí desky

$$l_0 = 1,87 \text{ m} = 1870 \text{ mm}$$

tloušťka desky

$$h_s = 0,11 \text{ m} = 110 \text{ mm}$$

zatěžovací šířka

$$b = 1,00 \text{ m}$$

rozpětí nosníku

$$l = l_0 \cdot 1,05$$

$$l = 1,96 \text{ m} = 1963,5 \text{ mm}$$

## (A.1) Stanovení zatížení

CELKOVÉ ZATÍŽENÍ STROPY -  $q_n$  /  $q_d$  - plošné

stálé zatížení (podlaha)

$$g_k = 1,36 \text{ [kN.m}^{-2}\text{]}$$

$$\gamma_g = 1,35$$

stálé zatížení (omítka 5 mm + podhled)

$$g_k = 0,64 \text{ [kN.m}^{-2}\text{]}$$

$$\gamma_q = 1,50$$

užitné zatížení

$$q_k = 2,50 \text{ [kN.m}^{-2}\text{]}$$

ZATÍŽENÍ BODOVÉ -  $P_k$  /  $P_d$  - bodové

$$n = 100\%$$

reakce od akustické příčky n%

$$n \cdot P_k = 0,00$$

$$n \cdot P_d = 0,00$$

[kN]

$$c = 0,750 \text{ m}$$

$$d = 1,214 \text{ m}$$

CELKOVÉ ZATÍŽENÍ STROPY -  $q_n$  /  $q_d$  - na osuzatížení [kN.m<sup>-1</sup>]

popis	charakt.	$\gamma_{g,q}$	návrhové
zatížení stropu - stálé	2,00	x 1,35	2,70
zatížení stropu - užitné	2,50	x 1,50	3,75
vlastní tíha desky	2,75	x 1,35	3,71
kombinace pro MSP / MSÚ	$q_k =$	7,25	$q_d =$ 10,16 [kN.m <sup>-1</sup> ]

## (A.2) Stanovení vnitřních sil

Reakce desky

$$a = 1/2 \cdot q_d \cdot L + 1/L \cdot P_d \cdot d = 1/2 \cdot 10,16 \cdot 1,96 + 1/1,96 \cdot 0,00 \cdot 1,2135$$

$$a = 9,98 \text{ kN/m} \quad (7,12)$$

$$(reakce od stálého zatížení) \quad a_{z,d}(g) = 6,30 \text{ kN/m} \quad (4,66)$$

$$(reakce od užitného zatížení) \quad a_{z,d}(q) = 3,68 \text{ kN/m} \quad (2,45)$$

$$b = 1/2 \cdot q_d \cdot L + 1/L \cdot P_d \cdot c = 1/2 \cdot 10,16 \cdot 1,96 + 1/1,96 \cdot 0,00 \cdot 0,75$$

$$b = 9,98 \text{ kN/m} \quad (7,12)$$

$$(reakce od stálého zatížení) \quad b_{z,d}(g) = 6,30 \text{ kN/m} \quad (4,66)$$

$$(reakce od užitného zatížení) \quad b_{z,d}(q) = 3,68 \text{ kN/m} \quad (2,45)$$

$$\text{reakce bez příčky} \quad r^* = 9,98 \text{ kN/m} \quad (7,12)$$

$$\text{Maximální smyková síla} \quad v_{z,Ed} = 9,98 \text{ kN/m} \quad (7,12)$$

$$\text{Maximální výpočtový moment} \quad m_{y,Ed} = 1/8 \cdot q_d \cdot L^2 + 1/L \cdot P_d \cdot c \cdot d = 1/8 \cdot 10,16 \cdot 1,96^2 + 1/1,96 \cdot 0,00 \cdot 0,75 \cdot 1,21$$

$$m_{y,Ed} = 4,90 \text{ kN.m/m}$$

$$\text{Maximální výpočtový moment} \quad m_{y,Ed} = 1/2 \cdot q_d \cdot c \cdot d + 1/L \cdot P_d \cdot c \cdot d = 1/8 \cdot 10,16 \cdot 1,96 \cdot 1,96 + 1/1,96 \cdot 0,00 \cdot 0,75 \cdot 1,21$$

$$m_{y,Ed} = 4,62 \text{ kN.m/m}$$

[v místě působitě bodové síly (x=c)]

## (B) POSUDEK

## (B.1) Posouzení MSÚ - smyková únosnost

celková únosnost ve smyku

$$V_{z,Rd} = \text{(viz příloha - Beton EC)}$$

$$V_{z,Rd} = 38,11 \text{ kN/m}$$

$$V_{z,Ed} / V_{z,Rd} = 9,98 / 38,11 = 0,26 < 1,00 \quad \text{VYHOVUJE}$$

## (B.2) Posouzení MSÚ - momentová únosnost

$$x = \frac{\sum a_{s,i} \cdot f_{yd}}{b \cdot \lambda \cdot \eta \cdot f_{cd}} = (352 \cdot 180,00) / (1000 \cdot 0,8 \cdot 1 \cdot 10,67)$$

$$\text{poloha neutrálné osy od horního líce průřezu} \quad x = 7 \text{ mm}$$

$$\text{poloha težiště ocelových výztuží} \quad d_T = \frac{\sum (a_{s,i} \cdot d_i)}{\sum a_{s,i}} = 32 \, 019 / 352$$

$$d_T = 91 \text{ mm}$$

$$\text{celkový moment únosnosti} \quad m_{c,Rd} = \frac{\sum (a_{s,i} \cdot f_{yd}) \cdot (d_T - 0,5 \cdot \lambda \cdot x)}{\lambda} = 352 \cdot 180 \cdot (0,09 - 0,5 \cdot 0,8 \cdot 0,007)$$

$$m_{c,Rd} = 5,58 \text{ kN.m}$$

$$m_{y,Ed} / m_{c,Rd} = 4,90 / 5,58 = 0,88 < 1,00 \quad \text{VYHOVUJE}$$

Stávající prvek stropní konstrukce v místě sondy **NV33** vyhovuje dle ČSN EN 1992-1-1 na nový stav.

Využití průřezu desky dle MSÚ v ohybu je 88% . Využití průřezu desky dle MSÚ ve smyku je 26% .

(26) **NV33** (d) - monol. deska mezi žb trámy T

## STUDIO\_PŘÍČKY VE SMĚRU DESKY - STROPY NAD 1. NP

## (A) DATA

vyztužení: ocel hladká

beton: **C16/20**

charakteristická pevnost: ocel/beton

 $f_{yk} = -$  $f_{ck} = 16 \text{ MPa}$ 

návrhová pevnost: ocel/beton

 $f_{yd} = 180 \text{ MPa}$  $f_{cd} = 11 \text{ MPa}$  $\lambda = 0,8$  $\gamma_s = -$  $\gamma_c = 1,5$  $\eta = 1,0$ 

spodní týžď

č.p.	1	2	3	4	5	6
$\phi$ [mm]	8	8	8	8	8	8
$c_{nom}$ [mm]	15	15	15	15	15	15
osy [mm]	220	50	130	150	120	170
$d_i$ [mm]	71	71	71	71	71	71
$a_i$ [mm <sup>2</sup> ]	50	50	50	50	50	50

č.p.	7	-	-	-	-	-
$\phi$ [mm]	8					
$c_{nom}$ [mm]	15					
osy [mm]	100					
$d_i$ [mm]	71	0	0	0	0	0
$a_i$ [mm <sup>2</sup> ]	50	0	0	0	0	0

Geometrie:

světlé rozpětí desky

 $l_0 = 1,85 \text{ m} =$ 

1850 mm

tloušťka desky

 $h_s = 0,09 \text{ m} =$ 

90 mm

$$\begin{aligned} \text{zatěžovací šířka} \quad b &= 1,00 \text{ m} \\ \text{rozpětí nosníku} \quad l &= l_0 \cdot 1,05 \\ l &= 1,94 \text{ m} = 1942,5 \text{ mm} \end{aligned}$$

## (A.1) Stanovení zatížení

CELKOVÉ ZATÍŽENÍ STROPU -  $q_n / q_d$  - plošné

$$\begin{aligned} \text{stálé zatížení (podlaha)} \quad g_k &= 1,36 \text{ [kN.m}^{-2}] & \gamma_g &= 1,35 - \\ \text{stálé zatížení (podhled)} \quad g_k &= 0,09 \text{ [kN.m}^{-2}] & \gamma_g &= 1,50 - \\ \text{užitné zatížení} \quad q_k &= 2,50 \text{ [kN.m}^{-2}] \end{aligned}$$

ZATÍŽENÍ BODOVÉ -  $P_k / P_d$  - bodové

$$\begin{aligned} \text{reakce od akustické přičky} \quad P_k &= 0,00 & P_d &= 0,00 \text{ [kN]} & c &= 0,000 \text{ m} \\ & & & & d &= 1,943 \text{ m} \end{aligned}$$

CELKOVÉ ZATÍŽENÍ STROPU -  $q_n / q_d$  - na osu

		zatížení [kN.m <sup>-1</sup> ]	
popis	charakt.	$\gamma_{g,q}$	návrhové
zatížení stropu - stálé	1,45	x 1,35	1,96
zatížení stropu - užitné	2,50	x 1,50	3,75
100% příčky rovnoběžné s deskou - aku	1,62	x 1,35	2,18
0% příčky rovnoběžné s deskou - zděná	0,00	x 1,35	0,00
vlastní tíha desky	2,25	x 1,35	3,04
kombinace pro MSP / MSÚ	$q_k = 7,82$		$q_d = 10,93$ [kN.m <sup>-1</sup> ]

## (A.2) Stanovení vnitřních sil

Reakce desky

$$\begin{aligned} a &= 1/2 \cdot q_d \cdot L + 1/L \cdot P_d \cdot d = 1/2 \cdot 10,93 \cdot 1,94 + 1/1,94 \cdot 0,00 \cdot 1,9425 \\ a &= 10,61 \text{ kN/m} \quad (7,59) \\ \text{(reakce od stálého zatížení)} \quad a_{z,d}(g) &= 4,85 \text{ kN/m} \quad (3,59) \\ \text{(reakce od užitného zatížení)} \quad a_{z,d}(q) &= 3,64 \text{ kN/m} \quad (2,43) \\ b &= 1/2 \cdot q_d \cdot L + 1/L \cdot P_d \cdot c = 1/2 \cdot 10,93 \cdot 1,94 + 1/1,94 \cdot 0,00 \cdot 0 \\ b &= 10,61 \text{ kN/m} \quad (7,59) \\ \text{(reakce od stálého zatížení)} \quad b_{z,d}(g) &= 4,85 \text{ kN/m} \quad (3,59) \\ \text{(reakce od užitného zatížení)} \quad b_{z,d}(q) &= 3,64 \text{ kN/m} \quad (2,43) \\ \text{reakce bez příčky} \quad r^* &= 10,61 \text{ kN/m} \quad (7,59) \\ \text{Maximální smyková síla} \quad v_{z,Ed} &= 10,61 \text{ kN/m} \quad (7,59) \\ \text{Maximální výpočtový moment} \quad m_{y,Ed} &= 1/8 \cdot q_d \cdot L^2 + 1/L \cdot P_d \cdot c \cdot d = 1/8 \cdot 10,93 \cdot 1,94^2 + 1/1,94 \cdot 0,00 \cdot 1,94 \cdot 1,94 \\ m_{y,Ed} &= 5,15 \text{ kN.m/m} \end{aligned}$$

## (B) POSUDEK

## (B.1) Posouzení MSÚ - smyková únosnost

celková únosnost ve smyku

$$\begin{aligned} v_{z,Rd} &= \text{(viz příloha - Beton EC)} \\ v_{z,Rd} &= 41,78 \text{ kN/m} \\ v_{z,Ed} / v_{z,Rd} &= 10,61 / 41,78 = 0,25 < 1,00 \quad \text{VYHOVUJE} \end{aligned}$$

## (B.2) Posouzení MSÚ - momentová únosnost

$$\begin{aligned} x &= \frac{\sum a_{s,i} \cdot f_{yd}}{b \cdot \lambda \cdot \eta \cdot f_{cd}} = (352 \cdot 180,00) / (1000 \cdot 0,8 \cdot 1 \cdot 10,67) \\ \text{poloha neutrálné osy od horního líce průřezu} \quad x &= 7 \text{ mm} \\ \text{poloha težiště ocelových výztuží} \quad d_T &= \frac{\sum (a_{s,i} \cdot d_i)}{\sum a_{s,i}} = 24\,982 / 352 \\ d_T &= 71 \text{ mm} \\ \text{celkový moment únosnosti} \quad m_{c,Rd} &= \frac{\sum (a_{s,i} \cdot f_{yd}) \cdot (d_T - 0,5 \cdot \lambda \cdot x)}{\sum a_{s,i}} = 352 \cdot 180 \cdot (0,07 - 0,5 \cdot 0,8 \cdot 0,007) \\ m_{c,Rd} &= 4,31 \text{ kN.m} \\ m_{y,Ed} / m_{c,Rd} &= 5,15 / 4,31 = 1,20 > 1,00 \quad \text{NEVYHOVUJE} \end{aligned}$$

Stávající prvek stropní konstrukce v místě sondy **NV33** NEVYHOVUJE dle ČSN EN 1992-1-1 na nový stav.

Využití průřezu desky dle MSÚ v ohybu je 120% . Využití průřezu desky dle MSÚ ve smyku je 25% .

(27) **NV28\*** (T) - monol. trám strop (T-průřez)

STUDIO\_BEZ PŘÍČEK - STROPY NAD 1. NP

## (A) DATA

$$\begin{aligned} \text{vyztužení: ocel hladká} & & \text{beton: C16/20} \\ \text{charakteristická pevnost : ocel/beton} \quad f_{yk} &= - & f_{ck} &= 16 \text{ MPa} \\ \text{návrhová pevnost: ocel/beton} \quad f_{yd} &= 180 \text{ MPa} & f_{cd} &= 11 \text{ MPa} & \lambda &= 0,8 \\ \gamma_s &= - & \gamma_c &= 1,5 & \eta &= 1,0 \end{aligned}$$

spodní výztuž

č.p.	1	2	3	4	5	6	7
$\phi$ [mm]	22	22	22	18	0	0	0

$c_{nom} [mm]$	55	75	50	65	0	0	0
$osy [mm]$	45	30	20	25	0	0	0
$d_i [mm]$	309	289	314	301	0	0	0
$A_i [mm^2]$	380	380	380	254	0	0	0

Geometrie:

světélé rozpětí žb trámy	$l_n =$	3,17	m	=	3170	mm	(zkrácený trám)
výška trámy	$h =$	0,38	m	=	375	mm	
šířka trámy	$b_w =$	0,16	m	=	155	mm	
tloušťka desky	$h_f =$	0,10	m	=	100	mm	
účinné rozpětí trámy (dle způsobu uložení)	$l_o =$	3,37	m	(1,0 * $L_{eff}$ - prostý nosník)			
osová vzdálenost trámů (zatěžovací šířka)	$b =$	2,02	m				
vzdálenost mezi trámy zleva	$(2)b_1 =$	1,86	m				
vzdálenost mezi trámy zprava	$(2)b_2 =$	1,86	m				
spolupůsobící šířka	$b_{eff} =$	1,20	m				
šířka podpory	$t_1 =$	0,20	m	$t_2 =$	0,20	m	
Účinné rozpětí nosníku	$L_{eff} = l_n + a_1 + a_2$						
	$L_{eff} =$	3,37	m				

## (A.1) Stanovení zatížení

reakce od žb desky  $l_0=1,87$  m (NV33\_d s podhledem)  $r_k = 7,12$  [kN.m<sup>-1</sup>]  $r_d = 9,98$  [kN.m<sup>-1</sup>]

CELKOVÉ ZATÍŽENÍ STROPU - $q_n / q_d$ - na osu		zatížení [kN.m <sup>-1</sup> ]		Součinitele zatížení:
popis	charakt.	$\gamma_{q,q}$	návrhové	
2 x reakce od žb desky $l_0=1,87$ m (NV33_d s podhled	14,24	x 1,40	19,95	$\gamma_g = 1,35$ -
vlastní tíha nosníku	1,45	x 1,35	1,96	$\gamma_q = 1,50$ -
kombinace pro MSP / MSÚ	$q_k = 15,69$		$q_d = 21,92$ [kN.m <sup>-1</sup> ]	

## (A.2) Stanovení vnitřních sil

dle TP 51, tab. C35 - Prostý nosník - zatížení spojitě

reakce od ocelové výměny  $R_d = 3,00$  kNReakce nosníku (odpovídá  $V_{z,Ed}$ )

$$A = B = 1/2 * q_d * L_{eff} + R_d = 1/2 * 21,92 * 3,37 + 3 = 26,44$$

$$A = B = 39,93 \text{ kN}$$

Maximální výpočtový moment

$$M_{y,Ed} = 1/8 * q_d * L_{eff}^2 = 1/8 * 21,92 * 3,37^2$$

$$M_{y,Ed} = 31,11 \text{ kN.m}$$

## (B) POSUDEK

## (B.1) Posouzení MSÚ - smyková únosnost

celková únosnost ve smyku

třmínky  $\phi$  8 mm, krytí 5 mm, osově po cca 300 mm

(viz příloha - Beton EC)

$$V_{z,Rd} = 44,15 \text{ kN/m}$$

$$V_{z,Ed} / V_{z,Rd} = 39,93 / 44,15 = 0,90 < 1,00 \text{ VYHOVUJE}$$

## (B.2) Posouzení MSÚ - momentová únosnost

$$x = \frac{\sum A_{s,i} \cdot f_{yd}}{b_{eff} \cdot \lambda \cdot \eta \cdot f_{cd}} = (1 \cdot 395 \cdot 180,00) / (1201 \cdot 0,8 \cdot 1 \cdot 10,67) =$$

$$\text{poloha neutrálné osy od horního líce průřezu} \quad x = 24 \text{ mm} \quad x < h_f = 100 \text{ mm}$$

$$\text{poloha těžiště ocelových výztuží} \quad d_T = \frac{\sum (A_{s,i} \cdot d_i)}{\sum A_{s,i}} = 423 \cdot 276 / 1 \cdot 395$$

$$d_T = 303 \text{ mm}$$

$$\text{celkový moment únosnosti} \quad M_{c,Rd} = \sum A_{s,i} \cdot f_{yd} \cdot (d_T - 0,5 \cdot \lambda \cdot x) = 1 \cdot 395 \cdot 180 \cdot (0,3 - 0,5 \cdot 0,8 \cdot 0,024)$$

$$M_{c,Rd} = 73,73 \text{ kN.m}$$

$$M_{y,Ed} / M_{c,Rd} = 31,11 / 73,73 = 0,42 < 1,00 \text{ VYHOVUJE}$$

Stávající prvek stropní konstrukce v místě sondy NV28\* vyhovuje dle ČSN EN 1992-1-1 na stávající stav.

Využití průřezu nosníku dle MSÚ na ohyb je 42% . Využití průřezu nosníku dle MSÚ ve smyku je 90% .

## (28) NV47 (d) - monol. deska mezi žb trámy T

## ZADNÍ ČÁST (m.č. 318) - STROPY NAD 3. NP

## (A) DATA

vyztužení: ocel hladká		beton: C16/20
charakteristická pevnost: ocel/beton	$f_{yk} =$ -	$f_{ck} = 16 \text{ MPa}$
návrhová pevnost: ocel/beton	$f_{yd} = 180 \text{ MPa}$	$f_{cd} = 11 \text{ MPa}$
	$\gamma_s =$ -	$\gamma_c = 1,5$
		$\lambda = 0,8$
		$\eta = 1,0$

spodní týžď

č.p.	1	2	3	4	5	6
$\phi [mm]$	8	8	8	8	8	8
$c_{nom} [mm]$	5	5	5	5	5	5
$osy [mm]$	80	100	130	80	100	140
$d_i [mm]$	71	71	71	71	71	71
$a_i [mm^2]$	50	50	50	50	50	50



č.p.	7	8	9	-	-	-
$\phi$ [mm]	8	8	8			
$c_{nom}$ [mm]	5	5	5			
osy [mm]	130	120	100			
$d_i$ [mm]	71	71	71	0	0	0
$a_i$ [mm <sup>2</sup> ]	50	50	50	0	0	0

Geometrie:

světlé rozpětí desky	$l_0 =$	1,85 m	=	1850 mm
tloušťka desky	$h_s =$	0,08 m	=	80 mm
zatěžovací šířka	$b =$	1,00 m		
rozpětí nosníku	$l = l_0 * 1,05$			
	$l =$	1,94 m	=	1942,5 mm

## (A.1) Stanovení zatížení

CELKOVÉ ZATÍŽENÍ STROPU -  $q_n$  /  $q_d$  - plošné

stálé zatížení (podlaha)	$g_k =$	1,30	[kN.m <sup>-2</sup> ]	$\gamma_g =$	1,35	-
stálé zatížení (omítka 5 mm + podhled)	$g_k =$	0,30	[kN.m <sup>-2</sup> ]	$\gamma_g =$	1,50	-
užitné zatížení	$q_k =$	2,50	[kN.m <sup>-2</sup> ]			

ZATÍŽENÍ BODOVÉ -  $P_k$  /  $P_d$  - bodové

reakce od akustické přičky n%	$n =$	100%				
	$n * P_k =$	0,00		$n * P_d =$	0,00	[kN]
				$c =$	0,000	m
				$d =$	1,943	m

CELKOVÉ ZATÍŽENÍ STROPU -  $q_n$  /  $q_d$  - na osu

popis	charakt.	$\gamma_{g,q}$	návrhové
zatížení stropu - stálé	1,60	x 1,35	2,15
zatížení stropu - užitné	2,50	x 1,50	3,75
vlastní tíha desky	2,00	x 1,35	2,70
kombinace pro MSP / MSÚ	$q_k =$	6,10	$q_d =$ 8,60 [kN.m <sup>-1</sup> ]

## (A.2) Stanovení vnitřních sil

Reakce desky

	$a = 1/2 * q_d * L + 1/L * P_d * d$	=	$1/2 * 8,60 * 1,94 + 1/1,94 * 0,00 * 1,9425$
	$a =$	8,36	kN/m (5,92)
(reakce od stálého zatížení)	$a_{z,d}(g) =$	4,71	kN/m (3,49)
(reakce od užitného zatížení)	$a_{z,d}(q) =$	3,64	kN/m (2,43)
	$b = 1/2 * q_d * L + 1/L * P_d * c$	=	$1/2 * 8,60 * 1,94 + 1/1,94 * 0,00 * 0$
	$b =$	8,36	kN/m (5,92)
(reakce od stálého zatížení)	$b_{z,d}(g) =$	4,71	kN/m (3,49)
(reakce od užitného zatížení)	$b_{z,d}(q) =$	3,64	kN/m (2,43)
reakce bez přičky	$r^* =$	8,36	kN/m (5,92)
Maximální smyková síla	$v_{z,Ed} =$	8,36	kN/m (5,92)
Maximální výpočtový moment	$m_{y,Ed} = 1/8 * q_d * L^2 + 1/L * P_d * c * d$	=	$1/8 * 8,60 * 1,94^2 + 1/1,94 * 0,00 * 0,00 * 1,94$
	$m_{y,Ed} =$	4,06	kN.m/m
Maximální výpočtový moment	$m_{y,Ed} = 1/2 * q_d * c * d + 1/L * P_d * c * d$	=	$1/8 * 8,60 * 1,94 * 1,94 + 1/1,94 * 0,00 * 0,00 * 1,94$
[v místě působí bodové síly ( $x=c$ )]	$m_{y,Ed} =$	0,00	kN.m/m

## (B) POSUDEK

## (B.1) Posouzení MSÚ - smyková únosnost

celková únosnost ve smyku

$v_{z,Rd} =$	(viz příloha - Beton EC)
$v_{z,Rd} =$	36,95 kN/m
$v_{z,Ed} / v_{z,Rd} =$	8,36 / 36,95 = 0,23 < 1,00 <b>VYHOVUJE</b>

## (B.2) Posouzení MSÚ - momentová únosnost

	$x = \frac{\sum a_{s,i} \cdot f_{yd}}{b \cdot \lambda \cdot \eta \cdot f_{cd}}$	=	$(452 * 180,00) / (1000 * 0,8 * 1 * 10,67)$
poloha neutrálné osy od horního líce průřezu	$x =$	10	mm
poloha těžiště ocelových výztuží	$d_T = \frac{\sum (a_{s,i} \cdot d_i)}{\sum a_{s,i}}$	=	32 120 / 452
	$d_T =$	71	mm
celkový moment únosnosti	$m_{c,Rd} = \frac{\sum (a_{s,i} \cdot f_{yd}) \cdot (d_T - 0,5 \cdot \lambda \cdot x)}{\lambda \cdot \eta \cdot f_{cd}}$	=	$452 * 180 * (0,07 - 0,5 * 0,8 * 0,01)$
	$m_{c,Rd} =$	5,47	kN.m
$m_{y,Ed} / m_{c,Rd} =$	4,06 / 5,47 =	0,74	< 1,00 <b>VYHOVUJE</b>

Stávající prvek stropní konstrukce v místě sondy **NV47** vyhovuje dle ČSN EN 1992-1-1 na nový stav.

Využití průřezu desky dle MSÚ v ohybu je 74% . Využití průřezu desky dle MSÚ ve smyku je 23% .

(29) **NV47** (d) - monol. deska mezi žb trámy T**ZADNÍ ČÁST (m.č. 318) - STROPY NAD 3. NP**  
**PŘÍČKA VE SMĚRU DESKY****(A) DATA**

vyztužení: ocel hladká

beton: **C16/20**

charakteristická pevnost: ocel/beton

 $f_{yk} = -$  $f_{ck} = 16 \text{ MPa}$ 

návrhová pevnost: ocel/beton

 $f_{yd} = 180 \text{ MPa}$  $f_{cd} = 11 \text{ MPa}$  $\lambda = 0,8$  $\gamma_s = -$  $\gamma_c = 1,5$  $\eta = 1,0$ 

spodní týžď

č.p.	1	2	3	4	5	6
$\phi$ [mm]	8	8	8	8	8	8
$c_{nom}$ [mm]	5	5	5	5	5	5
osy [mm]	80	100	130	80	100	140
$d_i$ [mm]	71	71	71	71	71	71
$a_i$ [mm <sup>2</sup> ]	50	50	50	50	50	50

č.p.	7	8	9	-	-	-
$\phi$ [mm]	8	8	8			
$c_{nom}$ [mm]	5	5	5			
osy [mm]	130	120	100			
$d_i$ [mm]	71	71	71	0	0	0
$a_i$ [mm <sup>2</sup> ]	50	50	50	0	0	0

Geometrie:

světlé rozpětí desky

 $l_0 = 1,85 \text{ m} = 1850 \text{ mm}$ 

tloušťka desky

 $h_s = 0,08 \text{ m} = 80 \text{ mm}$ 

zatěžovací šířka

 $b = 1,00 \text{ m}$ 

rozpětí nosníku

 $l = l_0 * 1,05$  $l = 1,94 \text{ m} = 1942,5 \text{ mm}$ **(A.1) Stanovení zatížení**CELKOVÉ ZATÍŽENÍ STROPY -  $q_n / q_d$  - plošné

stálé zatížení (podlaha)

 $g_k = 1,30 \text{ [kN.m}^{-2}\text{]}$  $\gamma_g = 1,35$ 

stálé zatížení (podhled)

 $g_k = 0,30 \text{ [kN.m}^{-2}\text{]}$  $\gamma_g = 1,50$ 

užitné zatížení

 $q_k = 2,50 \text{ [kN.m}^{-2}\text{]}$ ZATÍŽENÍ BODOVÉ -  $P_k / P_d$  - bodové

reakce od akustické příčky

 $P_k = 0,00$  $P_d = 0,00 \text{ [kN]}$  $c = 0,000 \text{ m}$  $d = 1,943 \text{ m}$ CELKOVÉ ZATÍŽENÍ STROPY -  $q_n / q_d$  - na osuzatížení [kN.m<sup>-1</sup>]

popis	charakt.	$\gamma_{g,q}$	návrhové
zatížení stropu - stálé	1,60	x 1,35	2,15
zatížení stropu - užitné	2,50	x 1,50	3,75
100% příčky rovnoběžně s deskou - lehká SDK	0,90	x 1,35	1,22
vlastní tíha desky	2,00	x 1,35	2,70
kombinace pro MSP / MSÚ	$q_k = 7,00$		$q_d = 9,82 \text{ [kN.m}^{-1}\text{]}$

**(A.2) Stanovení vnitřních sil**

Reakce desky

 $a = 1/2 * q_d * L + 1/L * P_d * d = 1/2 * 9,82 * 1,94 + 1/1,94 * 0,00 * 1,9425$  $a = 9,54 \text{ kN/m} \quad (6,79)$ 

(reakce od stálého zatížení)

 $a_{z,d}(g) = 4,71 \text{ kN/m} \quad (3,49)$ 

(reakce od užitného zatížení)

 $a_{z,d}(q) = 3,64 \text{ kN/m} \quad (2,43)$  $b = 1/2 * q_d * L + 1/L * P_d * c = 1/2 * 9,82 * 1,94 + 1/1,94 * 0,00 * 0$  $b = 9,54 \text{ kN/m} \quad (6,79)$ 

(reakce od stálého zatížení)

 $b_{z,d}(g) = 4,71 \text{ kN/m} \quad (3,49)$ 

(reakce od užitného zatížení)

 $b_{z,d}(q) = 3,64 \text{ kN/m} \quad (2,43)$ 

reakce bez příčky

 $r^* = 9,54 \text{ kN/m} \quad (6,79)$ 

Maximální smyková síla

 $v_{z,Ed} = 9,54 \text{ kN/m} \quad (6,79)$ 

Maximální výpočtový moment

 $m_{y,Ed} = 1/8 * q_d * L^2 + 1/L * P_d * c * d = 1/8 * 9,82 * 1,94^2 + 1/1,94 * 0,00 * 0,00 * 1,94$  $m_{y,Ed} = 4,63 \text{ kN.m/m}$ **(B) POSUDEK****(B.1) Posouzení MSÚ - smyková únosnost**

celková únosnost ve smyku

 $V_{z,Rd} =$  (viz příloha - Beton EC) $V_{z,Rd} = 36,95 \text{ kN/m}$  $v_{z,Ed} / V_{z,Rd} = 9,54 / 36,95 = 0,26 < 1,00$ **VYHOVUJE****(B.2) Posouzení MSÚ - momentová únosnost**

$$x = \frac{\sum a_{s,i} \cdot f_{yd}}{b \cdot \lambda \cdot \eta \cdot f_{cd}} = (452 \cdot 180,00) / (1000 \cdot 0,8 \cdot 1 \cdot 10,67)$$

poloha neutrálné osy od horního líce průřezu  $x = 10 \text{ mm}$

poloha težiště ocelových výztuží  $d_T = \frac{\sum (a_{s,i} \cdot d_i)}{\sum a_{s,i}} = 32 \cdot 120 / 452$

$d_T = 71 \text{ mm}$

celkový moment únosnosti  $m_{c,Rd} = \sum (a_{s,i} \cdot f_{yd}) \cdot (d_T - 0,5 \cdot \lambda \cdot x) = 452 \cdot 180 \cdot (0,07 - 0,5 \cdot 0,8 \cdot 0,01)$

$m_{c,Rd} = 5,47 \text{ kN.m}$

$m_{y,Ed} / m_{c,Rd} = 4,63 / 5,47 = 0,85 < 1,00 \text{ VYHOVUJE}$

Stávající prvek stropní konstrukce v místě sondy **NV47** vyhovuje dle ČSN EN 1992-1-1 na stávající stav.

Využití průřezu desky dle MSÚ v ohybu je 85% . Využití průřezu desky dle MSÚ ve smyku je 26% .

(30) **NV48** (T) - monol. trám strop (T-průřez)**ZADNÍ ČÁST (m.č. 318) - STROPY NAD 3. NP****PŘÍČKA NA TRÁMU****(A) DATA**

vztloučení: ocel hladká

beton: **C16/20**charakteristická pevnost : ocel/beton  $f_{yk} = -$  $f_{ck} = 16 \text{ MPa}$ návrhová pevnost: ocel/beton  $f_{yd} = 180 \text{ MPa}$  $f_{cd} = 11 \text{ MPa}$  $\lambda = 0,8$  $\gamma_s = -$  $\gamma_c = 1,5$  $\eta = 1,0$ 

spodní výztuž

č.p.	1	2	3	4	-	-	-
$\phi$ [mm]	28	24	24	28	0	0	0
$c_{nom}$ [mm]	85	50	65	120	0	0	0
osy [mm]	40	35	30	20	0	0	0
$d_i$ [mm]	241	278	263	206	0	0	0
$A_i$ [mm <sup>2</sup> ]	616	452	452	616	0	0	0

Geometrie:

světélé rozpětí žb trámy  $l_n = 3,60 \text{ m} = 3600 \text{ mm}$ výška trámy  $h = 0,34 \text{ m} = 340 \text{ mm}$ šířka trámy  $b_w = 0,15 \text{ m} = 150 \text{ mm}$ tloušťka desky  $h_f = 0,08 \text{ m} = 80 \text{ mm}$ účinné rozpětí trámy (dle způsobu uložení)  $l_o = 3,79 \text{ m} (1,0 \cdot l_{eff} - \text{prostý nosník})$ osová vzdálenost trámů (zatěžovací šířka)  $b = 2,00 \text{ m}$ vzdálenost mezi trámy zleva  $(2)b_1 = 1,85 \text{ m}$ vzdálenost mezi trámy zprava  $(2)b_2 = 1,85 \text{ m}$ spolupůsobící šířka  $b_{eff} = 1,28 \text{ m}$ šířka podpory  $t_1 = 0,19 \text{ m}$  $t_2 = 0,19 \text{ m}$ Účinné rozpětí nosníku  $L_{eff} = l_n + a_1 + a_2$  $L_{eff} = 3,79 \text{ m}$ zatěžovací šířka  $b = 2,00 \text{ m}$ **(A.1) Stanovení zatížení**

0) příčka - lehká SDK

 $g_k = 0,90 \text{ [kN.m}^{-1}\text{]}$  $g_d = 1,22 \text{ [kN.m}^{-1}\text{]}$ 

a) stálé (dvojitá podlaha+stávající strop+podhled)

 $g_k = 3,60 \text{ [kN.m}^{-2}\text{]}$  $g_d = 4,85 \text{ [kN.m}^{-2}\text{]}$ 

b) užitné

 $q_k = 2,50 \text{ [kN.m}^{-2}\text{]}$  $q_d = 3,75 \text{ [kN.m}^{-2}\text{]}$ CELKOVÉ ZATÍŽENÍ STROPU -  $q_n / q_d$  - na osuzatížení  $[\text{kN.m}^{-1}]$ 

popis	charakt.	$\gamma_{g,q}$	návrhové	Součinitele zatížení:
0) příčka	0,90	x 1,35	1,22	
a) stálé	7,19	x 1,35	9,71	$\gamma_g = 1,35$ -
b) užitné	5,00	x 1,50	7,50	$\gamma_q = 1,50$ -
vlastní tíha nosníku	1,28	x 1,35	1,72	
kombinace pro MSP / MSÚ	$q_k = 14,37$		$q_d = 20,14$	$[\text{kN.m}^{-1}]$

**(A.2) Stanovení vnitřních sil**

dle TP 51, tab. C35 - Prostý nosník - zatížení spojitě

Reakce nosníku (odpovídá  $V_{z,Ed}$ ) $A = B = 1 / 2 \cdot q_d \cdot L_{eff} = 1 / 2 \cdot 20,14 \cdot 3,79$  $A = B = 38,17 \text{ kN}$ 

Maximální výpočtový moment

 $M_{y,Ed} = 1/8 \cdot q_d \cdot L_{eff}^2 = 1/8 \cdot 20,14 \cdot 3,79^2$  $M_{y,Ed} = 36,17 \text{ kN.m}$ **(B) POSUDEK****(B.1) Posouzení MSÚ - smyková únosnost**

celková únosnost ve smyku

 $V_{z,Rd} =$  (viz příloha - Beton EC) $V_{z,Rd} = 114,72 \text{ kN/m}$ třmínky  $\phi 8 \text{ mm}$ , krytí 5 mm, osově po cca 130 mm + 2x hupy



**PŘÍLOHA Č. III.2b - BETON: STÁVAJÍCÍ PRVKY STROPŮ NAD 4. NP**

**(a) OVĚŘENÍ REALIZOVATELNOSTI STUDIA V 5. NP V OSE 0 - 2**

**(1) VARIANTA** - SDK PŘÍČKA AKU 100 KG/M<sup>2</sup>, PONECHANÉ TERACO 25 MM NA STROPĚ, PODLAHA DVOJITÁ 70 KG/M<sup>2</sup>

(1) **NV10 (T)** - monol. trám strop (T-průřez)

**PŘÍČKA V M.Č. 404-STROP NAD 4.NP (STUDIO V 5.NP)**

**(A) DATA**

vyztužení: ocel hladká beton: **C16/20**  
charakteristická pevnost : ocel/beton  $f_{yk} = -$   $f_{ck} = 16 \text{ MPa}$   
návrhová pevnost: ocel/beton  $f_{yd} = 180 \text{ MPa}$   $f_{cd} = 11 \text{ MPa}$   $\lambda = 0,8$   
 $\gamma_s = -$   $\gamma_c = 1,5$   $\eta = 1,0$

spodní výztuž

č.p.	1	2	3	4	-	-	-
$\phi$ [mm]	14	14	14	14	0	0	0
$c_{nom}$ [mm]	50	25	60	80	0	0	0
osy [mm]	35	25	55	10	0	0	0
$d_i$ [mm]	303	328	293	273	0	0	0
$A_i$ [mm <sup>2</sup> ]	154	154	154	154	0	0	0

Geometrie:

světélé rozpětí žb trámy  $l_n = 3,60 \text{ m} = 3600 \text{ mm}$   
výška trámy  $h = 0,36 \text{ m} = 360 \text{ mm}$   
šířka trámy  $b_w = 0,15 \text{ m} = 150 \text{ mm}$   
tloušťka desky  $h_f = 0,10 \text{ m} = 100 \text{ mm}$   
účinné rozpětí trámy (dle způsobu uložení)  $l_o = 3,79 \text{ m}$  (1,0 $\cdot$ L<sub>eff</sub> - prostý nosník)  
osová vzdálenost trámů (zatěžovací šířka)  $b = 2,26 \text{ m}$   
vzdálenost mezi trámy zleva (2) $b_1 = 2,11 \text{ m}$   
vzdálenost mezi trámy zprava (2) $b_2 = 2,10 \text{ m}$   
spolupůsobící šířka  $b_{eff} = 1,33 \text{ m}$   
šířka podpory  $t_1 = 0,19 \text{ m}$   $t_2 = 0,19 \text{ m}$   
Účinné rozpětí nosníku  $L_{eff} = l_n + a_1 + a_2$   
 $L_{eff} = 3,79 \text{ m}$   
zatěžovací šířka  $b = 2,26 \text{ m}$

**(A.1) Stanovení zatížení**

0) příčka aku 2,5 m vysoká  $g_k = 2,58 \text{ [kN.m}^{-1}]$   $g_d = 3,48 \text{ [kN.m}^{-1}]$   
a) stálé (dvojitá podlaha+stávající strop+podhled)  $g_k = 4,05 \text{ [kN.m}^{-2}]$   $g_d = 5,46 \text{ [kN.m}^{-2}]$   
b) užitné  $q_k = 2,50 \text{ [kN.m}^{-2}]$   $q_d = 3,75 \text{ [kN.m}^{-2}]$

CELKOVÉ ZATÍŽENÍ STROPŮ - $q_n$ / $q_d$ - na osu		zatížení [kN.m <sup>-1</sup> ]		Součinitele zatížení:
popis	charakt.	$\gamma_{g,q}$	návrhové	
0) příčka	2,58	x 1,35	3,48	$\gamma_g = 1,35$ - $\gamma_q = 1,50$ -
a) stálé	9,12	x 1,35	12,31	
b) užitné	5,64	x 1,50	8,46	
vlastní tíha nosníku	1,35	x 1,35	1,82	
kombinace pro MSP / MSÚ	$q_k = 18,68$		$q_d = 26,07$ [kN.m <sup>-1</sup> ]	

**(A.2) Stanovení vnitřních sil**

dle TP 51, tab. C35 - Prostý nosník - zatížení spojitě

Reakce nosníku (odpovídá  $V_{z,Ed}$ )

$$A = B = 1/2 \cdot q_d \cdot L_{eff} = 1/2 \cdot 26,07 \cdot 3,79$$

$$A = B = 49,40 \text{ kN} \quad (35,41)$$

Maximální výpočtový moment

$$M_{y,Ed} = 1/8 \cdot q_d \cdot L_{eff}^2 = 1/8 \cdot 26,07 \cdot 3,79^2$$

$$M_{y,Ed} = 46,81 \text{ kN.m}$$

**(B) POSUDEK**

**(B.1) Posouzení MSÚ - smyková únosnost**

celková únosnost ve smyku

$V_{z,Rd} =$  (viz příloha - Beton EC)

$$V_{z,Rd} = 55,50 \text{ kN/m}$$

$$V_{z,Ed} / V_{z,Rd} = 49,40 / 55,50 = 0,89 < 1,00 \quad \text{VYHOVUJE}$$

**(B.2) Posouzení MSÚ - momentová únosnost**

$$x = \frac{\sum A_{s,i} \cdot f_{yd}}{b_{eff} \cdot \lambda \cdot \eta \cdot f_{cd}} = (616 \cdot 180,00) / (1329 \cdot 0,8 \cdot 1 \cdot 10,67) =$$

$$x = 10 \text{ mm} \quad x < h_f = 100 \text{ mm}$$

$$d_T = \frac{\sum (A_{s,i} \cdot d_i)}{\sum A_{s,i}} = 184 \text{ 264} / 616$$

$$d_T = 299 \text{ mm}$$

$$\text{celkový moment únosnosti} \quad M_{c,Rd} = \sum A_{s,i} \cdot f_{yd} \cdot (d_T - 0,5 \cdot \lambda \cdot x) = 616 \cdot 180 \cdot (0,3 - 0,5 \cdot 0,8 \cdot 0,01)$$

$$M_{c,Rd} = 32,73 \quad \text{kN.m}$$

$$M_{y,Ed} / M_{c,Rd} = 46,81 / 32,73 = 1,43 > 1,00 \quad \text{NEVYHOVUJE}$$

Stávající prvek stropní konstrukce v místě sondy **NV10** NEVYHOVUJE dle ČSN EN 1992-1-1 na stávající stav.  
 Využití průřezu nosníku dle MSÚ na ohyb je 143% . Využití průřezu nosníku dle MSÚ ve smyku je 89% .

(1\*) **NV10** (T) - monol. trám strop (T-průřez)**BEZ PŘÍČKY - STROP NAD 4.NP (STUDIO V 5.NP)****(A) DATA**

vyztužení: ocel hladká

beton: **C16/20**

charakteristická pevnost : ocel/beton

 $f_{yk} = -$  $f_{ck} = 16 \text{ MPa}$ 

návrhová pevnost: ocel/beton

 $f_{yd} = 180 \text{ MPa}$  $f_{cd} = 11 \text{ MPa}$  $\lambda = 0,8$  $\gamma_s = -$  $\gamma_c = 1,5$  $\eta = 1,0$ 

spodní výztuž

č.p.	1	2	3	4	-	-	-
$\phi$ [mm]	14	14	14	14	0	0	0
$c_{nom}$ [mm]	50	25	60	80	0	0	0
osy [mm]	35	25	55	10	0	0	0
$d_i$ [mm]	303	328	293	273	0	0	0
$A_i$ [mm <sup>2</sup> ]	154	154	154	154	0	0	0

Geometrie:

světélé rozpětí žb trámy

 $l_n = 3,60$ 

m = 3600 mm

výška trámy

 $h = 0,36$ 

m = 360 mm

šířka trámy

 $b_w = 0,15$ 

m = 150 mm

tloušťka desky

 $h_f = 0,10$ 

m = 100 mm

účinné rozpětí trámy (dle způsobu uložení)

 $l_o = 3,79$ m (1,0 $\cdot$  $l_{eff}$  - prostý nosník)

osová vzdálenost trámů (zatěžovací šířka)

 $b = 2,26$ 

m

vzdálenost mezi trámy zleva

 $(2)b_1 = 2,11$ 

m

vzdálenost mezi trámy zprava

 $(2)b_2 = 2,10$ 

m

spolupůsobící šířka

 $b_{eff} = 1,33$ 

m

šířka podpory

 $t_1 = 0,19$  $t_2 =$ 

0,19 m

Účinné rozpětí nosníku

 $L_{eff} = l_n + a_1 + a_2$  $L_{eff} = 3,79$ 

m

zatěžovací šířka

 $b = 2,26$ 

m

**(A.1) Stanovení zatížení**

0) příčka aku 2,5 m vysoká

 $g_k = 0,00$ [kN.m<sup>-1</sup>] $g_d = 0,00$ [kN.m<sup>-1</sup>]

a) stálé (dvojitá podlaha+stávající strop+podhled)

 $g_k = 3,30$ [kN.m<sup>-2</sup>] $g_d = 4,45$ [kN.m<sup>-2</sup>]

b) užitné

 $q_k = 2,50$ [kN.m<sup>-2</sup>] $q_d = 3,75$ [kN.m<sup>-2</sup>]CELKOVÉ ZATÍŽENÍ STROPU -  $q_n$  /  $q_d$  - na osuzatížení [kN.m<sup>-1</sup>]

popis	charakt.	$\gamma_{g,q}$	návrhové
0) příčka	0,00	x 1,35	0,00
a) stálé	7,43	x 1,35	10,03
b) užitné	5,64	x 1,50	8,46
vlastní tíha nosníku	1,35	x 1,35	1,82

Součinitele zatížení:

 $\gamma_g = 1,35$  $\gamma_q = 1,50$ 

kombinace pro MSP / MSÚ

 $q_k = 14,42$  $q_d = 20,31$ [kN.m<sup>-1</sup>]**(A.2) Stanovení vnitřních sil**

dle TP 51, tab. C35 - Prostý nosník - zatížení spojitě

Reakce nosníku (odpovídá  $V_{z,Ed}$ )

$$A = B = 1/2 \cdot q_d \cdot L_{eff} = 1/2 \cdot 20,31 \cdot 3,79$$

$$A = B = 38,49 \quad \text{kN} \quad (27,32)$$

Maximální výpočtový moment

$$M_{y,Ed} = 1/8 \cdot q_d \cdot L_{eff}^2 = 1/8 \cdot 20,31 \cdot 3,79^2$$

$$M_{y,Ed} = 36,47 \quad \text{kN.m}$$

**(B) POSUDEK****(B.1) Posouzení MSÚ - smyková únosnost**

celková únosnost ve smyku

 $V_{z,Rd} =$ 

(viz příloha - Beton EC)

 $V_{z,Rd} = 55,50$ 

kN/m

$$V_{z,Ed} / V_{z,Rd} = 38,49 / 55,50 =$$

$$0,69 < 1,00$$

**VYHOVUJE****(B.2) Posouzení MSÚ - momentová únosnost**

$$x = \frac{\sum A_{s,i} \cdot f_{yd}}{b_{eff} \cdot \lambda \cdot \eta \cdot f_{cd}} = (616 \cdot 180,00) / (1329 \cdot 0,8 \cdot 1 \cdot 10,67) =$$

poloha neutrálné osy od horního líce průřezu

$$x = 10 \text{ mm}$$

$$x < h_f = 100 \text{ mm}$$



## (B) POSUDEK

### (B.1) Posouzení MSÚ - smyková únosnost

celková únosnost ve smyku  $V_{z,Rd} =$  (viz příloha - Beton EC)

$$V_{z,Rd} = 41,78 \text{ kN/m}$$

$$V_{z,Ed} / V_{z,Rd} = 13,78 / 41,78 = 0,33 < 1,00 \quad \text{VYHOVUJE}$$

### (B.2) Posouzení MSÚ - momentová únosnost

$$x = \frac{\sum a_{s,i} \cdot f_{yd}}{b \cdot \lambda \cdot \eta \cdot f_{cd}} = (452 \cdot 180,00) / (1000 \cdot 0,8 \cdot 1 \cdot 10,67)$$

poloha neutrálné osy od horního líce průřezu  $x = 10 \text{ mm}$

poloha těžiště ocelových výztuží  $d_T = \Sigma(a_{s,i} \cdot d_i) / \Sigma a_{s,i} = 34 \cdot 583 / 452$

$$d_T = 76 \text{ mm}$$

celkový moment únosnosti  $m_{c,Rd} = \Sigma(a_{s,i} \cdot f_{yd}) \cdot (d_T - 0,5 \cdot \lambda \cdot x) = 452 \cdot 180 \cdot (0,08 - 0,5 \cdot 0,8 \cdot 0,01)$

$$m_{c,Rd} = 5,91 \text{ kN.m}$$

$$m_{y,Ed} / m_{c,Rd} = 7,63 / 5,91 = 1,29 > 1,00 \quad \text{NEVYHOVUJE}$$

Stávající prvek stropní konstrukce v místě sondy **NV11** NEVYHOVUJE dle ČSN EN 1992-1-1 na nový stav.

Využití průřezu desky dle MSÚ v ohybu je 129% . Využití průřezu desky dle MSÚ ve smyku je 33% .

### (3) **NV11** (d) - monol. deska mezi žb trámy T

BEZ PŘÍČKY - STROP NAD 4. NP (STUDIO V 5. NP)

#### (A) DATA

vyztužení: ocel hladká	beton: <b>C16/20</b>
charakteristická pevnost: ocel/beton $f_{yk} =$ -	$f_{ck} = 16 \text{ MPa}$
návrhová pevnost: ocel/beton $f_{yd} = 180 \text{ MPa}$	$f_{cd} = 11 \text{ MPa}$
$\gamma_s =$ -	$\gamma_c = 1,5$
	$\lambda = 0,8$
	$\eta = 1,0$

spodní týžď

č.p.	1	2	3	4	5	6
$\phi$ [mm]	8	8	8	8	8	8
$c_{nom}$ [mm]	10	10	10	10	10	10
osy [mm]	130	170	120	80	150	110
$d_i$ [mm]	86	86	86	86	86	86
$a_i$ [mm <sup>2</sup> ]	50	50	50	50	50	50

č.p.	7	8	9	-	-
$\phi$ [mm]	8	8	8		
$c_{nom}$ [mm]	10	10	10		
osy [mm]	40	110	90		
$d_i$ [mm]	86	86	0	0	0
$a_i$ [mm <sup>2</sup> ]	50	50	50	0	0

Geometrie:

světlé rozpětí desky $l_0 =$ 2,11 m = 2110 mm
tloušťka desky $h_s =$ 0,10 m = 100 mm
zatěžovací šířka $b =$ 1,00 m
rozpětí nosníku $l = l_0 \cdot 1,05$
$l =$ 2,22 m = 2215,5 mm

#### (A.1) Stanovení zatížení

CELKOVÉ ZATÍŽENÍ STROPU -  $q_n / q_d$  - plošné

stálé zatížení (podlaha 25 mm teraco + dvojitá podlaha)	$g_k = 1,25$ [kN.m <sup>-2</sup> ]	$\gamma_g = 1,35$ -
stálé zatížení (5 mm omítky)	$g_k = 0,09$ [kN.m <sup>-2</sup> ]	$\gamma_g = 1,50$ -
užitné zatížení	$q_k = 2,50$ [kN.m <sup>-2</sup> ]	

ZATÍŽENÍ BODOVÉ -  $P_k / P_d$  - bodové

reakce od akustické příčky	$P_k = 0,00$	$P_d = 0,00$ [kN]	$c = 0,000$ m
			$d = 2,216$ m

CELKOVÉ ZATÍŽENÍ STROPU -  $q_n / q_d$  - na osu

popis	charakt.	$\gamma_{g,q}$	návrhové
zatížení stropu - stálé	1,34	x 1,35	1,81
zatížení stropu - užitné	2,50	x 1,50	3,75
0% příčky rovnoběžně s deskou	0,00	x 1,35	0,00
vlastní tíha desky	2,50	x 1,35	3,38
kombinace pro MSP / MSÚ	$q_k = 6,34$	$q_d = 8,93$	[kN.m <sup>-1</sup> ]

#### (A.2) Stanovení vnitřních sil

Reakce desky	$a = 1/2 \cdot q_d \cdot L + 1/L \cdot P_d \cdot d = 1/2 \cdot 8,93 \cdot 2,22 + 1/2,22 \cdot 0,00 \cdot 2,215$	
	$a = 9,90$ kN/m	(7,02)



(reakce od stálého zatížení)	$a_{z,d}(g) =$	5,74 kN/m	(4,25)
(reakce od užitného zatížení)	$a_{z,d}(q) =$	4,15 kN/m	(2,77)
	$b = 1/2 \cdot q_d \cdot L + 1/L \cdot P_d \cdot c =$	$1/2 \cdot 8,93 \cdot 2,22 + 1/2,22 \cdot 0,00 \cdot 0$	
	$b =$	9,90 kN/m	(7,02)
(reakce od stálého zatížení)	$b_{z,d}(g) =$	5,74 kN/m	(4,25)
(reakce od užitného zatížení)	$b_{z,d}(q) =$	4,15 kN/m	(2,77)
reakce bez příčky	$r^* =$	9,90 kN/m	(7,02)
Maximální smyková síla	$v_{z,Ed} =$	9,90 kN/m	(7,02)
Maximální výpočtový moment	$m_{y,Ed} = 1/8 \cdot q_d \cdot L^2 + 1/L \cdot P_d \cdot c \cdot d =$	$1/8 \cdot 8,93 \cdot 2,22^2 + 1/2,22 \cdot 0,00 \cdot 0,00 \cdot 2,22$	
	$m_{y,Ed} =$	5,48 kN.m/m	

**(B) POSUDEK****(B.1) Posouzení MSÚ - smyková únosnost**

celková únosnost ve smyku	$v_{z,Rd} =$	(viz příloha - Beton EC)
	$v_{z,Rd} =$	41,78 kN/m
$v_{z,Ed} / v_{z,Rd} =$	$9,90 / 41,78 =$	0,24 < 1,00 <b>VYHOVUJE</b>

**(B.2) Posouzení MSÚ - momentová únosnost**

	$x = \frac{\sum a_{s,i} \cdot f_{yd}}{b \cdot \lambda \cdot \eta \cdot f_{cd}} =$	$(452 \cdot 180,00) / (1000 \cdot 0,8 \cdot 1 \cdot 10,67)$
poloha neutrální osy od horního líce průřezu	$x =$	10 mm
poloha težiště ocelových výztuží	$d_T = \Sigma(a_{s,i} \cdot d_i) / \Sigma a_{s,i} =$	$34 \cdot 583 / 452$
	$d_T =$	76 mm
celkový moment únosnosti	$m_{c,Rd} = \Sigma(a_{s,i} \cdot f_{yd}) \cdot (d_T - 0,5 \cdot \lambda \cdot x) =$	$452 \cdot 180 \cdot (0,08 - 0,5 \cdot 0,8 \cdot 0,01)$
	$m_{c,Rd} =$	5,91 kN.m
$m_{y,Ed} / m_{c,Rd} =$	$5,48 / 5,91 =$	0,93 < 1,00 <b>VYHOVUJE</b>

Stávající prvek stropní konstrukce v místě sondy **NV11** vyhovuje dle ČSN EN 1992-1-1 na stávající stav.

Využití průřezu desky dle MSÚ v ohybu je 93% . Využití průřezu desky dle MSÚ ve smyku je 24% .

**(4) NV9 (P) - monol. prostý průvlak stropu****STROP NAD 4. NP (STUDIO V 5. NP)****(A) DATA**

	ocel : ocel hladká	beton: <b>C16/20</b>			
charakteristická pevnost: ocel/beton	$f_{yk} =$	-	$f_{ck} =$	<b>16 MPa</b>	
návrhová pevnost: ocel/beton	$f_{yd} =$	<b>180 MPa</b>	$f_{cd} =$	<b>11 MPa</b>	
	$\gamma_s =$	-	$\gamma_c =$	<b>1,5</b>	
			$\lambda =$	<b>0,8</b>	
			$\eta =$	<b>1,0</b>	
spodní výztuž			↑	↑	
	č.p.	1	2	3	4
	$\phi$ [mm]	22	22	22	22
	$c_{nom}$ [mm]	55	40	45	50
	$d_i$ [mm]	344	359	354	349
	$A_i$ [mm <sup>2</sup> ]	380	380	380	380
47,5					
Geometrie:					
výška trámu	$h =$	0,41	m =	410	mm
šířka trámu	$b =$	0,18	m =	175	mm
pole č. 1 (krajní)	$l_1 =$	4,70	m =>	$L_{ef,1} =$	4,94 m
pole č. 2 (střední)	$l_2 =$	4,29	m =>	$L_{ef,2} =$	4,50 m
pole č. 3 (krajní)	$l_3 =$	4,22	m =>	$L_{ef,3} =$	4,43 m
					odhad
					ZMĚŘENO
					odhad

**(A.1) Stanovení zatížení**

reakce žb trámu nad podporou	$R_{z,d} =$	25,00 kN	- v x=0
reakce ocelové výměny	$R_{z,d} =$	20,00 kN	- v x= L/4
reakce žb trámu v poli (l/2)	$R_{z,d} =$	31,00 kN	- v x= L/2
reakce od žb desky středového traktu BD	$r_{z,d} =$	13,78 kN/m	

**(A.2) Stanovení vnitřních sil**

		(stanoveno v programu SCIA 18.1)
Reakce nosníku (odpovídá $V_{z,Ed}$ )	$V_{z,Ed} =$	67,31 kN
Maximální výpočtový moment v poli (+)	$+ M_{y,Ed} =$	87,53 kN.m

**(B) POSUDEK****(B.1) Posouzení MSÚ - smyková únosnost**

celková únosnost ve smyku u podpory	$v_{z,Rd} =$	(viz příloha - Beton EC)
	$v_{z,Rd} =$	41,11 kN/m
$v_{z,Ed} / v_{z,Rd} =$	$67,31 / 41,11 =$	1,64 > 1,00 <b>NEVYHOVUJE</b>



$$V_{z,Ed} / V_{z,Rd} = 48,36 / 55,50 = 0,87 < 1,00 \quad \text{VYHOVUJE}$$

## (B.2) Posouzení MSÚ - momentová únosnost

$$x = \frac{\sum A_{s,i} \cdot f_{yd}}{b_{eff} \cdot \lambda \cdot \eta \cdot f_{cd}} = (616 \cdot 180,00) / (1329 \cdot 0,8 \cdot 1 \cdot 10,67) = 10 \text{ mm}$$

poloha neutrálné osy od horního líce průřezu  $x = 10 \text{ mm}$   $x < h_i = 100 \text{ mm}$

poloha těžiště ocelových výztuží  $d_T = \Sigma(A_{s,i} \cdot d_i) / \Sigma A_{s,i} = 184 \text{ 264} / 616 = 299 \text{ mm}$

celkový moment únosnosti  $M_{c,Rd} = \Sigma A_{s,i} \cdot f_{yd} \cdot (d_T - 0,5 \cdot \lambda \cdot x) = 616 \cdot 180 \cdot (0,3 - 0,5 \cdot 0,8 \cdot 0,01) = 32,73 \text{ kN.m}$

$$M_{y,Ed} / M_{c,Rd} = 45,82 / 32,73 = 1,40 > 1,00 \quad \text{NEVYHOVUJE}$$

Stávající prvek stropní konstrukce v místě sondy **NV10** NEVYHOVUJE dle ČSN EN 1992-1-1 na stávající stav.  
 Využití průřezu nosníku dle MSÚ na ohyb je 140% . Využití průřezu nosníku dle MSÚ ve smyku je 87% .

(6) **NV11** (d) - monol. deska mezi žb trámy T

## 1 PŘÍČKA VE SMĚRU DESKY - STROP NAD 4. NP (STUDIO V 5. NP)

## (A) DATA

vyztužení: ocel hladká

beton: **C16/20**

charakteristická pevnost: ocel/beton

 $f_{yk} = -$  $f_{ck} = 16 \text{ MPa}$ 

návrhová pevnost: ocel/beton

 $f_{yd} = 180 \text{ MPa}$  $f_{cd} = 11 \text{ MPa}$  $\lambda = 0,8$  $\gamma_s = -$  $\gamma_c = 1,5$  $\eta = 1,0$ 

spodní týžď

č.p.	1	2	3	4	5	6
$\phi$ [mm]	8	8	8	8	8	8
$c_{nom}$ [mm]	10	10	10	10	10	10
osy [mm]	130	170	120	80	150	110
$d_i$ [mm]	86	86	86	86	86	86
$a_i$ [mm <sup>2</sup> ]	50	50	50	50	50	50

č.p.	7	8	9	-	-
$\phi$ [mm]	8	8	8		
$c_{nom}$ [mm]	10	10	10		
osy [mm]	40	110	90		
$d_i$ [mm]	86	86	0	0	0
$a_i$ [mm <sup>2</sup> ]	50	50	50	0	0

Geometrie:

světél rozpětí desky

 $l_0 = 2,11 \text{ m}$ 

2110 mm

tloušťka desky

 $h_s = 0,10 \text{ m}$ 

100 mm

zatěžovací šířka

 $b = 1,00 \text{ m}$ 

rozpětí nosníku

 $l = l_0 \cdot 1,05$  $l = 2,22 \text{ m}$ 

2215,5 mm

## (A.1) Stanovení zatížení

CELKOVÉ ZATÍŽENÍ STROPU -  $q_n / q_d$  - plošnéstálé zatížení (bez 25 mm teraca + dvojitá podlaha 50 kg/m<sup>2</sup>) $g_k = 0,50 \text{ [kN.m}^{-2}\text{]}$  $\gamma_g = 1,35$ 

stálé zatížení (5 mm omítky)

 $g_k = 0,11 \text{ [kN.m}^{-2}\text{]}$  $\gamma_q = 1,50$ 

užitné zatížení

 $q_k = 2,50 \text{ [kN.m}^{-2}\text{]}$ ZATÍŽENÍ BODOVÉ -  $P_k / P_d$  - bodové

reakce od akustické příčky

 $P_k = 0,00$  $P_d = 0,00 \text{ [kN]}$  $c = 0,000 \text{ m}$  $d = 2,216 \text{ m}$ CELKOVÉ ZATÍŽENÍ STROPU -  $q_n / q_d$  - na osuzatížení [kN.m<sup>-1</sup>]

popis	charakt.	$\gamma_{g,q}$	návrhové
zatížení stropu - stálé	0,61	x 1,35	0,82
zatížení stropu - užitné	2,50	x 1,50	3,75
100% příčky rovnoběžné s deskou	2,58	x 1,35	3,48
vlastní tíha desky	2,50	x 1,35	3,38
kombinace pro MSP / MSÚ	$q_k = 8,19$		$q_d = 11,42 \text{ [kN.m}^{-1}\text{]}$

## (A.2) Stanovení vnitřních sil

Reakce desky

$$a = 1/2 \cdot q_d \cdot L + 1/L \cdot P_d \cdot d = 1/2 \cdot 11,42 \cdot 2,22 + 1/2,22 \cdot 0,00 \cdot 2,2155$$

$$a = 12,66 \text{ kN/m} \quad (9,07)$$

$$(reakce od stálého zatížení) \quad a_{z,d}(g) = 4,65 \text{ kN/m} \quad (3,45)$$

$$(reakce od užitného zatížení) \quad a_{z,d}(q) = 4,15 \text{ kN/m} \quad (2,77)$$

$$b = 1/2 \cdot q_d \cdot L + 1/L \cdot P_d \cdot c = 1/2 \cdot 11,42 \cdot 2,22 + 1/2,22 \cdot 0,00 \cdot 0$$

$$b = 12,66 \text{ kN/m} \quad (9,07)$$



$$M_{y,Ed} / M_{y,Rd} = 87,53 / 75,77 = 1,16 > 1,00 \quad \text{NEVYHOVUJE}$$

Stávající prvek stropní konstrukce v místě sondy **NV9** NEVYHOVUJE dle ČSN EN 1992-1-1 na nový stav.  
 Využití průřezu nosníku dle MSÚ na ohyb v poli (+) je 116% . Využití průřezu nosníku dle MSÚ ve smyku je 164% .

**NUTNÉ ZESÍLENÍ PRŮVLAKU POMOCÍ LEPENÝCH UHLÍKOVÝCH LAMEL ZE SPODNÍ PŘI SPODNÍM POVRCHU PRVKU!**

**(3) VARIANTA - STANOVENÍ MAX TÍHY SDK PŘÍČKY, TERACO 25 MM NA STROPĚ ODSTRANĚNO, PODLAHA JEN 50KG/M2**

**(8) NV10 (T) - monol. trám strop (T-průřez) PŘÍČKA V M.Č. 404-STROP NAD 4.NP (STUDIO V 5.NP)**

### (A) DATA

TA

vyztužení: ocel hladká

beton: C16/20

charakteristická pevnost : ocel/beton

$f_{yk} = -$

$f_{ck} = 16 \text{ MPa}$

návrhová pevnost: ocel/beton

$f_{yd} = 180 \text{ MPa}$

$f_{cd} = 11 \text{ MPa}$

$\gamma_s = -$

$\gamma_c = 1,5$

$\lambda = 0,8$

$\eta = 1,0$

↑

↑

spodní výztuž

č.p.	1	2	3	4	-	-	-
$\phi$ [mm]	14	14	14	14	0	0	0
$c_{nom}$ [mm]	50	25	60	80	0	0	0
osy [mm]	35	25	55	10	0	0	0
$d_i$ [mm]	303	328	293	273	0	0	0
$A_i$ [mm <sup>2</sup> ]	154	154	154	154	0	0	0

Geometrie:

světélé rozpětí žb trámy

$l_n = 3,60 \text{ m} = 3600 \text{ mm}$

výška trámu

$h = 0,36 \text{ m} = 360 \text{ mm}$

šířka trámu

$b_w = 0,15 \text{ m} = 150 \text{ mm}$

tloušťka desky

$h_f = 0,10 \text{ m} = 100 \text{ mm}$

účinné rozpětí trámy (dle způsobu uložení)

$l_o = 3,79 \text{ m} \quad (1,0 \cdot L_{eff} - \text{prostý nosník})$

osová vzdálenost trámů (zatěžovací šířka)

$b = 2,26 \text{ m}$

vzdálenost mezi trámy zleva

$(2)b_1 = 2,11 \text{ m}$

vzdálenost mezi trámy zprava

$(2)b_2 = 2,10 \text{ m}$

spolupůsobící šířka

$b_{eff} = 1,33 \text{ m}$

šířka podpory

$t_1 = 0,19 \text{ m} \quad t_2 = 0,19 \text{ m}$

Účinné rozpětí nosníku

$L_{eff} = l_n + a_1 + a_2$

$L_{eff} = 3,79 \text{ m}$

zatěžovací šířka

$b = 2,26 \text{ m}$

### (A.1) Stanovení zatížení

příčka aku 2,5 m vysoká	$g_k = 0,90$ [kN.m <sup>-1</sup> ]	$g_d = 1,21$ [kN.m <sup>-1</sup> ]
stálé (dvojitá p. 50 kg/m2+stávající strop bez teraca)	$g_k = 3,11$ [kN.m <sup>-2</sup> ]	$g_d = 4,20$ [kN.m <sup>-2</sup> ]
stálé (podhled)	$g_k = 0,00$ [kN.m <sup>-2</sup> ]	$g_d = 0,00$ [kN.m <sup>-2</sup> ]
užitné	$q_k = 2,50$ [kN.m <sup>-2</sup> ]	$q_d = 3,75$ [kN.m <sup>-2</sup> ]

CELKOVÉ ZATÍŽENÍ STROPU - $q_n$ / $q_d$ - na osu		zatížení [kN.m <sup>-1</sup> ]		Součinitele zatížení:
popis	charakt.	$\gamma_{g,q}$	návrhové	
příčka	0,90	x 1,35	1,21	$\gamma_g = 1,35$ - $\gamma_q = 1,50$ -
stálé	7,01	x 1,35	9,47	
užitné	5,64	x 1,50	8,46	
vlastní tíha nosníku	1,35	x 1,35	1,82	
kombinace pro MSP / MSÚ	$q_k = 14,90$		$q_d = 20,95$ [kN.m <sup>-1</sup> ]	

### (A.2) Stanovení vnitřních sil

dle TP 51, tab. C35 - Prostý nosník - zatížení spojitě

Reakce nosníku (odpovídá  $V_{z,Ed}$ )

$$A = B = 1/2 * q_d * L_{eff} = 1/2 * 20,95 * 3,79 = 39,71 \text{ kN} \quad (28,23)$$

Maximální výpočtový moment

$$M_{y,Ed} = 1/8 * q_d * L_{eff}^2 = 1/8 * 20,95 * 3,79^2 = 37,62 \text{ kN.m}$$

### (B) POSUDEK

#### (B.1) Posouzení MSÚ - smyková únosnost

celková únosnost ve smyku

**třmínky  $\phi$  8 mm, krytí 10 mm, osově po cca 240 mm**

$V_{z,Rd} =$  (viz příloha - Beton EC)

$V_{z,Rd} = 55,50 \text{ kN/m}$

$$V_{z,Ed} / V_{z,Rd} = 39,71 / 55,50 = 0,72 < 1,00 \quad \text{VYHOVUJE}$$

#### (B.2) Posouzení MSÚ - momentová únosnost

$$x = \frac{\sum A_{s,i} \cdot f_{yd}}{b_{\text{eff}} \cdot \lambda \cdot \eta \cdot f_{cd}} = (616 \cdot 180,00) / (1329 \cdot 0,8 \cdot 1 \cdot 10,67) =$$

poloha neutrální osy od horního líce průřezu  $x = 10 \text{ mm}$   $x < h_t = 100 \text{ mm}$

poloha težiště ocelových výztuží  $d_T = \sum (A_{s,i} \cdot d_i) / \sum A_{s,i} = 184\,264 / 616 = 299 \text{ mm}$

celkový moment únosnosti  $M_{c,Rd} = \sum A_{s,i} \cdot f_{yd} \cdot (d_T - 0,5 \cdot \lambda \cdot x) = 616 \cdot 180 \cdot (0,3 - 0,5 \cdot 0,8 \cdot 0,01) = 32,73 \text{ kN.m}$

$M_{y,Ed} / M_{c,Rd} = 37,62 / 32,73 = 1,15 > 1,00$  **NEVYHOVUJE**

Stávající prvek stropní konstrukce v místě sondy **NV10** NEVYHOVUJE dle ČSN EN 1992-1-1 na stávající stav.

Využití průřezu nosníku dle MSÚ na ohyb je 115% . Využití průřezu nosníku dle MSÚ ve smyku je 72% .

**NUTNÉ ZESÍLENÍ PRŮVLAKU POMOCÍ LEPENÝCH UHLÍKOVÝCH LAMEL ZE SPODNÍ PŘI SPODNÍM POVRCHU PRVKU!**

(9) **NV11 (d) - monol. deska mezi žb trámy T**

**1 PŘÍČKA VE SMĚRU DESKY - STROP NAD 4. NP (STUDIO V 5. NP)**

**(A) DATA**

vyztužení: ocel hladká

beton: **C16/20**

charakteristická pevnost: ocel/beton

$f_{yk} = -$

$f_{ck} = 16 \text{ MPa}$

návrhová pevnost: ocel/beton

$f_{yd} = 180 \text{ MPa}$

$f_{cd} = 11 \text{ MPa}$

$\lambda = 0,8$

$\gamma_s = -$

$\gamma_c = 1,5$

$\eta = 1,0$

spodní týžď

č.p.	1	2	3	4	5	6
$\phi$ [mm]	8	8	8	8	8	8
$c_{nom}$ [mm]	10	10	10	10	10	10
osy [mm]	130	170	120	80	150	110
$d_i$ [mm]	86	86	86	86	86	86
$a_i$ [mm <sup>2</sup> ]	50	50	50	50	50	50

č.p.	7	8	9	-	-	-
$\phi$ [mm]	8	8	8			
$c_{nom}$ [mm]	10	10	10			
osy [mm]	40	110	90			
$d_i$ [mm]	86	86	0	0	0	0
$a_i$ [mm <sup>2</sup> ]	50	50	50	0	0	0

Geometrie:

světélé rozpětí desky

$l_0 = 2,11 \text{ m}$

2110 mm

tloušťka desky

$h_s = 0,10 \text{ m}$

100 mm

zatěžovací šířka

$b = 1,00 \text{ m}$

rozpětí nosníku

$l = l_0 \cdot 1,05$

$l = 2,22 \text{ m}$

2215,5 mm

**(A.1) Stanovení zatížení**

CELKOVÉ ZATÍŽENÍ STROPU -  $q_n / q_d$  - plošné

stálé zatížení (dvojitá podlaha 50kg/m<sup>2</sup> bez teraca)

$g_k = 0,50 \text{ [kN.m}^{-2}\text{]}$

$\gamma_g = 1,35$

stálé zatížení (5 mm omítky)

$g_k = 0,11 \text{ [kN.m}^{-2}\text{]}$

$\gamma_q = 1,50$

užitné zatížení

$q_k = 2,50 \text{ [kN.m}^{-2}\text{]}$

ZATÍŽENÍ BODOVÉ -  $P_k / P_d$  - bodové

reakce od akustické příčky

$P_k = 0,00$

$P_d = 0,00 \text{ [kN]}$

$c = 0,000 \text{ m}$

$d = 2,216 \text{ m}$

CELKOVÉ ZATÍŽENÍ STROPU -  $q_n / q_d$  - na osu

zatížení [kN.m<sup>-1</sup>]

popis	charakt.	$\gamma_{g,q}$	návrhové
zatížení stropu - stálé	0,61	x 1,35	0,82
zatížení stropu - užitné	2,50	x 1,50	3,75
0% příčky rovnoběžné s deskou	0,00	x 1,35	0,00
vlastní tíha desky	2,50	x 1,35	3,38
kombinace pro MSP / MSÚ	$q_k = 5,61$		$q_d = 7,95 \text{ [kN.m}^{-1}\text{]}$

**(A.2) Stanovení vnitřních sil**

Reakce desky

$a = 1/2 \cdot q_d \cdot L + 1/L \cdot P_d \cdot d = 1/2 \cdot 7,95 \cdot 2,22 + 1/2,22 \cdot 0,00 \cdot 2,2155$

$a = 8,80 \text{ kN/m}$  (6,21)

(reakce od stálého zatížení)  $a_{z,d}(g) = 4,65 \text{ kN/m}$  (3,45)

(reakce od užitného zatížení)  $a_{z,d}(q) = 4,15 \text{ kN/m}$  (2,77)

$b = 1/2 \cdot q_d \cdot L + 1/L \cdot P_d \cdot c = 1/2 \cdot 7,95 \cdot 2,22 + 1/2,22 \cdot 0,00 \cdot 0$

$b = 8,80 \text{ kN/m}$  (6,21)

(reakce od stálého zatížení)  $b_{z,d}(g) = 4,65 \text{ kN/m}$  (3,45)

(reakce od užitného zatížení)  $b_{z,d}(q) = 4,15 \text{ kN/m}$  (2,77)



## (B) POSUDEK

### (B.1) Posouzení MSÚ - smyková únosnost

celková únosnost ve smyku u podpory

$$V_{z,Rd} = \text{(viz příloha - Beton EC)}$$

$$V_{z,Rd} = 41,11 \text{ kN/m}$$

$$V_{z,Ed} / V_{z,Rd} = 65,17 / 41,11 = 1,59 > 1,00 \quad \text{NEVYHOVUJE}$$

### (B.2) Posouzení MSÚ - momentová únosnost

ohybová únosnost v poli (kladný moment)

$$(+M)_{y,Rd} = \text{(viz příloha - Beton EC)}$$

$$(+M)_{y,Rd} = 75,77 \text{ kN/m}$$

$$M_{y,Ed} / M_{y,Rd} = 86,20 / 75,77 = 1,14 > 1,00 \quad \text{NEVYHOVUJE}$$

Stávající prvek stropní konstrukce v místě sondy **NV9** NEVYHOVUJE dle ČSN EN 1992-1-1 na nový stav.

Využití průřezu nosníku dle MSÚ na ohyb v poli (+) je 114% . Využití průřezu nosníku dle MSÚ ve smyku je 159% .

**NUTNÉ ZESÍLENÍ PRŮVLAKU POMOCÍ LEPENÝCH UHLÍKOVÝCH LAMEL ZE SPODNÍ PŘI SPODNÍM POVRCHU PRVKU!**

## (b) OVĚŘENÍ POTENCIÁLNÍHO VYUŽITÍ V 5. NP V OSE 8 - 11

(1) **VARIANTA** - NOVÁ PODL. S PONECHANÝM TERACEM 35 MM, UŽITNÉ ZATÍŽENÍ 2,5 kN/m<sup>2</sup>, S PODHLEDEM

(11) **NV50** (d) - monol. deska mezi žb trámy T **ZADNÍ ČÁST (m.č. 406) - STROPY NAD 4. NP**

### (A) DATA

charakteristická pevnost: ocel/beton

$$f_{yk} = -$$

beton: **C16/20**

$$f_{ck} = 16 \text{ MPa}$$

návrhová pevnost: ocel/beton

$$f_{yd} = 180 \text{ MPa}$$

$$f_{cd} = 11 \text{ MPa}$$

$$\lambda = 0,8$$

$$\gamma_s = -$$

$$\gamma_c = 1,5$$

$$\eta = 1,0$$

spodní týžď

č.p.	1	2	3	4	5	6
$\phi$ [mm]	8	8	8	8	8	8
$c_{nom}$ [mm]	15	15	15	15	15	15
osy [mm]	120	100	130	130	90	160
$d_i$ [mm]	61	61	61	61	61	61
$a_i$ [mm <sup>2</sup> ]	50	50	50	50	50	50

č.p.	7	8	9	-	-	-
$\phi$ [mm]	8	8	8			
$c_{nom}$ [mm]	15	15	15			
osy [mm]	110	70	80			
$d_i$ [mm]	61	61	61	0	0	0
$a_i$ [mm <sup>2</sup> ]	50	50	50	0	0	0

Geometrie:

světlé rozpětí desky

$$l_0 = 1,82 \text{ m} = 1820 \text{ mm}$$

tloušťka desky

$$h_s = 0,08 \text{ m} = 80 \text{ mm}$$

zatěžovací šířka

$$b = 1,00 \text{ m}$$

rozpětí nosníku

$$l = l_0 \cdot 1,05$$

$$l = 1,91 \text{ m} = 1911 \text{ mm}$$

### (A.1) Stanovení zatížení

CELKOVÉ ZATÍŽENÍ STROPY -  $q_n$  /  $q_d$  - plošné

stálé zatížení (podlaha - teraco 35 mm+75kg/m<sup>2</sup>)

$$g_k = 1,52 \text{ [kN.m}^{-2}\text{]} \quad \gamma_g = 1,35 -$$

stálé zatížení (omítka 5 mm + podhled)

$$g_k = 0,30 \text{ [kN.m}^{-2}\text{]} \quad \gamma_g = 1,50 -$$

užitné zatížení

$$q_k = 2,50 \text{ [kN.m}^{-2}\text{]}$$

ZATÍŽENÍ BODOVÉ -  $P_k$  /  $P_d$  - bodové

$$n = 0\%$$

reakce od akustické přičky n%

$$n \cdot P_k = 0,00$$

$$n \cdot P_d = 0,00 \text{ [kN]}$$

$$c = 0,000 \text{ m}$$

$$d = 1,911 \text{ m}$$

CELKOVÉ ZATÍŽENÍ STROPY -  $q_n$  /  $q_d$  - na osu

zatížení [kN.m<sup>-1</sup>]

popis	charakt.	$\gamma_{g,q}$	návrhové
zatížení stropu - stálé	1,82	x 1,35	2,45
zatížení stropu - užitné	2,50	x 1,50	3,75
vlastní tíha desky	2,00	x 1,35	2,70
kombinace pro MSP / MSÚ	$q_k = 6,32$		$q_d = 8,90 \text{ [kN.m}^{-1}\text{]}$

### (A.2) Stanovení vnitřních sil

Reakce desky

$$a = 1/2 \cdot q_d \cdot L + 1/L \cdot P_d \cdot d = 1/2 \cdot 8,90 \cdot 1,91 + 1/1,91 \cdot 0,00 \cdot 1,911$$

$$a = 8,50 \text{ kN/m} \quad (6,03)$$

$$\text{(reakce od stálého zatížení)} \quad a_{z,d}(g) = 4,92 \text{ kN/m} \quad (3,65)$$

$$\text{(reakce od užitného zatížení)} \quad a_{z,d}(q) = 3,58 \text{ kN/m} \quad (2,39)$$



	$b = 1/2 \cdot q_d \cdot L + 1/L \cdot P_d \cdot c = 1/2 \cdot 8,90 \cdot 1,91 + 1/1,91 \cdot 0,00 \cdot 0$	
	$b = 8,50$	kN/m (6,03)
(reakce od stálého zatížení)	$b_{z,d}(g) = 4,92$	kN/m (3,65)
(reakce od užitného zatížení)	$b_{z,d}(q) = 3,58$	kN/m (2,39)
reakce bez příčky	$r^* = 8,50$	kN/m (6,03)
Maximální smyková síla	$v_{z,Ed} = 8,50$	kN/m (6,03)
Maximální výpočtový moment	$m_{y,Ed} = 1/8 \cdot q_d \cdot L^2 + 1/L \cdot P_d \cdot c \cdot d = 1/8 \cdot 8,90 \cdot 1,91^2 + 1/1,91 \cdot 0,00 \cdot 0,00 \cdot 1,91$	
	$m_{y,Ed} = 4,06$	kN.m/m
Maximální výpočtový moment	$m_{y,Ed} = 1/2 \cdot q_d \cdot c \cdot d + 1/L \cdot P_d \cdot c \cdot d = 1/2 \cdot 8,90 \cdot 1,91 \cdot 1,91 + 1/1,91 \cdot 0,00 \cdot 0,00 \cdot 1,91$	
[v místě působení bodové síly ( $x=c$ )]	$m_{y,Ed} = 0,00$	kN.m/m

**(B) POSUDEK****(B.1) Posouzení MSÚ - smyková únosnost**

celková únosnost ve smyku	$v_{z,Rd} =$	(viz příloha - Beton EC)
	$v_{z,Rd} = 28,66$	kN/m
$v_{z,Ed} / v_{z,Rd} = 8,50 / 28,66 =$	$0,30 < 1,00$	<b>VYHOVUJE</b>

**(B.2) Posouzení MSÚ - momentová únosnost**

	$x = \frac{\sum a_{s,i} \cdot f_{yd}}{b \cdot \lambda \cdot \eta \cdot f_{cd}} =$	$(452 \cdot 180,00) / (1000 \cdot 0,8 \cdot 1 \cdot 10,67)$
poloha neutrální osy od horního líce průřezu	$x = 10$	mm
poloha těžiště ocelových výztuží	$d_T = \Sigma(a_{s,i} \cdot d_i) / \Sigma a_{s,i} = 27\,596 / 452$	
	$d_T = 61$	mm
celkový moment únosnosti	$m_{c,Rd} = \Sigma(a_{s,i} \cdot f_{yd}) \cdot (d_T - 0,5 \cdot \lambda \cdot x) = 452 \cdot 180 \cdot (0,06 - 0,5 \cdot 0,8 \cdot 0,01)$	
	$m_{c,Rd} = 4,66$	kN.m
$m_{y,Ed} / m_{c,Rd} = 4,06 / 4,66 =$	$0,87 < 1,00$	<b>VYHOVUJE</b>

Stávající prvek stropní konstrukce v místě sondy **NV50** vyhovuje dle ČSN EN 1992-1-1 na nový stav.

Využití průřezu desky dle MSÚ v ohybu je 87% . Využití průřezu desky dle MSÚ ve smyku je 30% .

**(12) NV52 (T) - monol. trám strop (T-průřez)****ZADNÍ ČÁST (m.č. 406) - STROPY NAD 4. NP****(A) DATA**

TA

vyztužení: ocel hladká

beton: C16/20

charakteristická pevnost : ocel/beton

$f_{yk} = -$ 
 $f_{ck} = 16 \text{ MPa}$

návrhová pevnost: ocel/beton

$f_{yd} = 180 \text{ MPa}$ 
 $f_{cd} = 11 \text{ MPa}$

$\gamma_s = -$ 
 $\gamma_c = 1,5$

$\lambda = 0,8$ 
 $\eta = 1,0$

↑

↑

spodní výztuž

č.p.	1	2	3	4	-	-	-
$\phi$ [mm]	18	18	20	18	0	0	0
$c_{nom}$ [mm]	25	85	50	35	0	0	0
osy [mm]	45	35	10	30	0	0	0
$d_i$ [mm]	301	241	275	291	0	0	0
$A_i$ [mm <sup>2</sup> ]	254	254	314	254	0	0	0

Geometrie:

světlé rozpětí žb trámy

$l_n = 4,56 \text{ m}$ 
 $= 4560 \text{ mm}$

výška trámu

$h = 0,34 \text{ m}$ 
 $= 335 \text{ mm}$

šířka trámu

$b_w = 0,16 \text{ m}$ 
 $= 160 \text{ mm}$

tloušťka desky

$h_f = 0,09 \text{ m}$ 
 $= 90 \text{ mm}$

účinné rozpětí trámu (dle způsobu uložení)

$l_o = 4,75 \text{ m}$ 
 $(1,0 \cdot L_{eff} - \text{prostý nosník})$

osová vzdálenost trámů (zatěžovací šířka)

$b = 1,98 \text{ m}$

vzdálenost mezi trámy zleva

$(2)b_1 = 1,82 \text{ m}$

vzdálenost mezi trámy zprava

$(2)b_2 = 1,83 \text{ m}$

spolupůsobící šířka

$b_{eff} = 1,47 \text{ m}$

šířka podpory

$t_1 = 0,19 \text{ m}$ 
 $t_2 = 0,19 \text{ m}$

Účinné rozpětí nosníku

$L_{eff} = l_n + a_1 + a_2$ 
 $L_{eff} = 4,75 \text{ m}$

zatěžovací šířka

$b = 1,98 \text{ m}$

**(A.1) Stanovení zatížení**

0) příčka - lehká SDK	$g_k = 0,00$	[kN.m <sup>-1</sup> ]	$g_d = 0,00$	[kN.m <sup>-1</sup> ]
a) stálé (dvojitá podlaha+stávající strop+podhled)	$g_k = 3,82$	[kN.m <sup>-2</sup> ]	$g_d = 5,15$	[kN.m <sup>-2</sup> ]
b) užitné	$q_k = 2,50$	[kN.m <sup>-2</sup> ]	$q_d = 3,75$	[kN.m <sup>-2</sup> ]

CELKOVÉ ZATÍŽENÍ STROPU -  $q_n / q_d$  - na osuzatížení [kN.m<sup>-1</sup>]

popis	charakt.	$\gamma_{g,q}$	návrhové
-------	----------	----------------	----------

Součinitele zatížení:

0) příčka	0,00	x 1,35	0,00	
a) stálé	7,56	x 1,35	10,21	$\gamma_g = 1,35$ -
b) užitné	4,96	x 1,50	7,43	$\gamma_q = 1,50$ -
vlastní tíha nosníku	1,34	x 1,35	1,81	
kombinace pro MSP / MSÚ	$q_k = 13,86$		$q_d = 19,45$	$[\text{kN.m}^{-1}]$

## (A.2) Stanovení vnitřních sil

dle TP 51, tab. C35 - Prostý nosník - zatížení spojitě

Reakce nosníku (odpovídá  $V_{z,Ed}$ )

$$A = B = 1/2 \cdot q_d \cdot L_{eff} = 1/2 \cdot 19,45 \cdot 4,75 = 46,20 \text{ kN} \quad (32,92)$$

Maximální výpočtový moment

$$M_{y,Ed} = 1/8 \cdot q_d \cdot L_{eff}^2 = 1/8 \cdot 19,45 \cdot 4,75^2 = 54,87 \text{ kN.m}$$

## (B) POSUDEK

## (B.1) Posouzení MSÚ - smyková únosnost

třmínky  $\phi$  8 mm, krytí 5 mm, osově po cca 130 mm + 2x hupy

celková únosnost ve smyku

 $V_{z,Rd} =$  (viz příloha - Beton EC)

$$V_{z,Rd} = 114,72 \text{ kN/m}$$

$$V_{z,Ed} / V_{z,Rd} = 46,20 / 114,72 = 0,40 < 1,00 \quad \text{VYHOVUJE}$$

## (B.2) Posouzení MSÚ - momentová únosnost

$$x = \frac{\sum A_{s,i} \cdot f_{yd}}{b_{eff} \cdot \lambda \cdot \eta \cdot f_{cd}} = \frac{(1078 \cdot 180,00)}{(1474,5 \cdot 0,8 \cdot 1 \cdot 10,67)} = 15 \text{ mm}$$

poloha neutrální osy od horního líce průřezu

$$x = 15 \text{ mm} \quad x < h_f = 90 \text{ mm}$$

poloha težiště ocelových výztuží

$$d_T = \frac{\sum (A_{s,i} \cdot d_i)}{\sum A_{s,i}} = 298 \text{ mm}$$

$$d_T = 277 \text{ mm}$$

celkový moment únosnosti

$$M_{c,Rd} = \sum A_{s,i} \cdot f_{yd} \cdot (d_T - 0,5 \cdot \lambda \cdot x) = 1078 \cdot 180 \cdot (0,28 - 0,5 \cdot 0,8 \cdot 0,015) = 52,51 \text{ kN.m}$$

$$M_{c,Rd} = 52,51 \text{ kN.m}$$

$$M_{y,Ed} / M_{c,Rd} = 54,87 / 52,51 = 1,04 > 1,00 \quad \text{NEVYHOVUJE}$$

Stávající prvek stropní konstrukce v místě sondy **NV52** NEVYHOVUJE dle ČSN EN 1992-1-1 na stávající stav.

Využití průřezu nosníku dle MSÚ na ohyb je 104% . Využití průřezu nosníku dle MSÚ ve smyku je 40% .

(13) **NV51** (P) - monol. prostý průvlak stropu

## ZADNÍ ČÁST (m.č. 406) - STROPY NAD 4. NP

## (A) DATA

charakteristická pevnost: ocel/beton

ocel : ocel hladká

beton: **C16/20**

návrhová pevnost: ocel/beton

$$f_{yk} = -$$

$$f_{ck} = 16 \text{ MPa}$$

$$f_{yd} = 180 \text{ MPa}$$

$$f_{cd} = 11 \text{ MPa}$$

$$\lambda = 0,8$$

$$\gamma_s = -$$

$$\gamma_c = 1,5$$

$$\eta = 1,0$$

spodní výztuž

č.p.	1	2	3	4
$\phi$ [mm]	30	32	32	30
$c_{nom}$ [mm]	35	30	40	50
$d_i$ [mm]	330	334	324	315
$A_i$ [mm <sup>2</sup> ]	707	804	804	707

Geometrie:

$$\text{výška trámu} \quad h = 0,38 \text{ m} = 380 \text{ mm}$$

$$\text{šířka trámu} \quad b = 0,19 \text{ m} = 190 \text{ mm}$$

$$\text{délka} \quad l_2 = 5,78 \text{ m} \Rightarrow L_{ef,2} = 6,07 \text{ m}$$

## (A.1) Stanovení zatížení

reakce žb trámu 50%

$$R_d^T = 23,10 \text{ kN} \quad - \text{ v } x=0,375 \text{ m}$$

reakce žb trámu

$$R_d^T = 46,20 \text{ kN} \quad - \text{ v } x=2,392 \text{ m}$$

reakce žb trámu

$$R_d^T = 46,20 \text{ kN} \quad - \text{ v } x=4,415 \text{ m}$$

reakce od žb desky

$$r_{z,d} = 8,75 \text{ kN/m}$$

## (A.2) Stanovení vnitřních sil

Reakce nosníku (odpovídá  $V_{z,Ed}$ )

$$V_{z,Ed} = 96,05 \text{ kN}$$

Maximální výpočtový moment v poli (+)

$$+ M_{y,Ed} = 151,43 \text{ kN.m}$$

(stanoveno v programu SCIA 18.1)

## (B) POSUDEK

## (B.1) Posouzení MSÚ - smyková únosnost

třmínky  $\phi$  8 mm, krytí 30 mm po cca 300 mm (bez hupů)

celková únosnost ve smyku u podpory

 $V_{z,Rd} =$  (viz příloha - Beton EC)

$$V_{z,Rd} = 172,66 \text{ kN/m}$$

$$V_{z,Ed} / V_{z,Rd} = 96,05 / 172,66 = 0,56 < 1,00 \quad \text{VYHOVUJE}$$

## (B.2) Posouzení MSÚ - momentová únosnost

ohybová únosnost v poli (kladný moment)

$$(+M)_{y,Rd} = \text{(viz příloha - Beton EC)}$$

$$(+M)_{y,Rd} = 94,60 \text{ kN/m}$$

$$M_{y,Ed} / M_{y,Rd} = 151,43 / 94,60 = 1,60 > 1,00 \quad \text{NEVYHOVUJE}$$

Stávající prvek stropní konstrukce v místě sondy **NV51** NEVYHOVUJE dle ČSN EN 1992-1-1 na nový stav.

Využití průřezu nosníku dle MSÚ na ohyb v poli (+) je 160%. Využití průřezu nosníku dle MSÚ ve smyku je 56%.

**(2) VARIANTA - BEZ PODLAHY S PONECHANÝM TERACEM 35 MM, UŽITNÉ ZATÍŽENÍ 0,75 kN/m<sup>2</sup>, BEZ PODHLEDU**(14) **NV50 (d) - monol. deska mezi žb trámy T****ZADNÍ ČÁST (m.č. 406) - STROPY NAD 4. NP****(A) DATA**

vyztužení: ocel hladká

beton: **C16/20**

charakteristická pevnost: ocel/beton

$$f_{yk} = -$$

$$f_{ck} = 16 \text{ MPa}$$

návrhová pevnost: ocel/beton

$$f_{yd} = 180 \text{ MPa}$$

$$f_{cd} = 11 \text{ MPa}$$

$$\lambda = 0,8$$

$$\gamma_s = -$$

$$\gamma_c = 1,5$$

$$\eta = 1,0$$

spodní týžď

č.p.	1	2	3	4	5	6
$\phi$ [mm]	8	8	8	8	8	8
$c_{nom}$ [mm]	15	15	15	15	15	15
osy [mm]	120	100	130	130	90	160
$d_i$ [mm]	61	61	61	61	61	61
$a_i$ [mm <sup>2</sup> ]	50	50	50	50	50	50

č.p.	7	8	9	-	-	-
$\phi$ [mm]	8	8	8			
$c_{nom}$ [mm]	15	15	15			
osy [mm]	110	70	80			
$d_i$ [mm]	61	61	61	0	0	0
$a_i$ [mm <sup>2</sup> ]	50	50	50	0	0	0

Geometrie:

světélé rozpětí desky

$$l_o = 1,82 \text{ m}$$

$$= 1820 \text{ mm}$$

tloušťka desky

$$h_s = 0,08 \text{ m}$$

$$= 80 \text{ mm}$$

zatěžovací šířka

$$b = 1,00 \text{ m}$$

rozpětí nosníku

$$l = l_o * 1,05$$

$$l = 1,91 \text{ m}$$

$$= 1911 \text{ mm}$$

**(A.1) Stanovení zatížení**CELKOVÉ ZATÍŽENÍ STROPU -  $q_n / q_d$  - plošné

stálé zatížení (podlaha - teraco 35 mm)

$$g_k = 0,77 \text{ [kN.m}^{-2}\text{]}$$

$$\gamma_g = 1,35 -$$

stálé zatížení (omítka 5 mm)

$$g_k = 0,09 \text{ [kN.m}^{-2}\text{]}$$

$$\gamma_q = 1,50 -$$

užitné zatížení

$$q_k = 0,75 \text{ [kN.m}^{-2}\text{]}$$

ZATÍŽENÍ BODOVÉ -  $P_k / P_d$  - bodové

$$n = 0\%$$

reakce od akustické příčky n%

$$n * P_k = 0,00$$

$$n * P_d = 0,00 \text{ [kN]}$$

$$c = 0,000 \text{ m}$$

$$d = 1,911 \text{ m}$$

CELKOVÉ ZATÍŽENÍ STROPU -  $q_n / q_d$  - na osuzatížení [kN.m<sup>-1</sup>]

popis	charakt.	$\gamma_{q,q}$	návrhové
zatížení stropu - stálé	0,86	x 1,35	1,16
zatížení stropu - užitné	0,75	x 1,50	1,13
vlastní tíha desky	2,00	x 1,35	2,70
kombinace pro MSP / MSÚ	$q_k = 3,61$		$q_d = 4,99 \text{ [kN.m}^{-1}\text{]}$

**(A.2) Stanovení vnitřních sil**

Reakce desky

$$a = 1/2 * q_d * L + 1/L * P_d * d = 1/2 * 4,99 * 1,91 + 1/1,91 * 0,00 * 1,911$$

$$a = 4,76 \text{ kN/m} \quad (3,45)$$

(reakce od stálého zatížení)

$$a_{z,d}(g) = 3,69 \text{ kN/m} \quad (2,73)$$

(reakce od užitného zatížení)

$$a_{z,d}(q) = 1,07 \text{ kN/m} \quad (0,72)$$

$$b = 1/2 * q_d * L + 1/L * P_d * c = 1/2 * 4,99 * 1,91 + 1/1,91 * 0,00 * 0$$

$$b = 4,76 \text{ kN/m} \quad (3,45)$$

(reakce od stálého zatížení)

$$b_{z,d}(g) = 3,69 \text{ kN/m} \quad (2,73)$$

(reakce od užitného zatížení)

$$b_{z,d}(q) = 1,07 \text{ kN/m} \quad (0,72)$$

reakce bez příčky

$$r^* = 4,76 \text{ kN/m} \quad (3,45)$$

Maximální smyková síla

$$V_{z,Ed} = 4,76 \text{ kN/m} \quad (3,45)$$

Maximální výpočtový moment

$$m_{y,Ed} = 1/8 * q_d * L^2 + 1/L * P_d * c * d = 1/8 * 4,99 * 1,91^2 + 1/1,91 * 0,00 * 0,00 * 1,91$$

$$\begin{aligned}
 m_{y,Ed} &= 2,28 \text{ kN.m/m} \\
 \text{Maximální výpočtový moment} \quad m_{y,Ed} &= 1/2 \cdot q_d \cdot c \cdot d + 1/L \cdot P_d \cdot c \cdot d = 1/8 \cdot 4,99 \cdot 1,91 \cdot 1,91 + 1/1,91 \cdot 0,00 \cdot 0,00 \cdot 1,91 \\
 [v \text{ místě působitě bodové síly } (x=c)] \quad m_{y,Ed} &= 0,00 \text{ kN.m/m}
 \end{aligned}$$

**(B) POSUDEK****(B.1) Posouzení MSÚ - smyková únosnost**

$$\begin{aligned}
 \text{celková únosnost ve smyku} \quad V_{z,Rd} &= \text{(viz příloha - Beton EC)} \\
 V_{z,Rd} &= 28,66 \text{ kN/m} \\
 V_{z,Ed} / V_{z,Rd} &= 4,76 / 28,66 = 0,17 < 1,00 \quad \text{VYHOVUJE}
 \end{aligned}$$

**(B.2) Posouzení MSÚ - momentová únosnost**

$$\begin{aligned}
 x &= \frac{\sum a_{s,i} \cdot f_{yd}}{b \cdot \lambda \cdot \eta \cdot f_{cd}} = (452 \cdot 180,00) / (1000 \cdot 0,8 \cdot 1 \cdot 10,67) \\
 \text{poloha neutrální osy od horního líce průřezu} \quad x &= 10 \text{ mm} \\
 \text{poloha těžiště ocelových výztuží} \quad d_T &= \sum (a_{s,i} \cdot d_i) / \sum a_{s,i} = 27 \, 596 / 452 \\
 d_T &= 61 \text{ mm} \\
 \text{celkový moment únosnosti} \quad m_{c,Rd} &= \sum (a_{s,i} \cdot f_{yd}) \cdot (d_T - 0,5 \cdot \lambda \cdot x) = 452 \cdot 180 \cdot (0,06 - 0,5 \cdot 0,8 \cdot 0,01) \\
 m_{c,Rd} &= 4,66 \text{ kN.m} \\
 m_{y,Ed} / m_{c,Rd} &= 2,28 / 4,66 = 0,49 < 1,00 \quad \text{VYHOVUJE}
 \end{aligned}$$

Stávající prvek stropní konstrukce v místě sondy **NV50** vyhovuje dle ČSN EN 1992-1-1 na nový stav.  
 Využití průřezu desky dle MSÚ v ohybu je 49% . Využití průřezu desky dle MSÚ ve smyku je 17% .

**(15) NV52 (T) - monol. trám strop (T-průřez)****ZADNÍ ČÁST (m.č. 406) - STROPY NAD 4. NP****(A) DATA**

$$\begin{aligned}
 \text{vyztužení: ocel hladká} \quad \text{beton: C16/20} \\
 \text{charakteristická pevnost : ocel/beton} \quad f_{yk} = - \quad f_{ck} = 16 \text{ MPa} \\
 \text{návrhová pevnost: ocel/beton} \quad f_{yd} = 180 \text{ MPa} \quad f_{cd} = 11 \text{ MPa} \quad \lambda = 0,8 \\
 \gamma_s = - \quad \gamma_c = 1,5 \quad \eta = 1,0
 \end{aligned}$$

spodní výztuž

č.p.	1	2	3	4	-	-	-
$\phi$ [mm]	18	18	20	18	0	0	0
$c_{nom}$ [mm]	25	85	50	35	0	0	0
osy [mm]	45	35	10	30	0	0	0
$d_i$ [mm]	301	241	275	291	0	0	0
$A_i$ [mm <sup>2</sup> ]	254	254	314	254	0	0	0

Geometrie:

$$\begin{aligned}
 \text{světélé rozpětí žb trámy} \quad l_n &= 4,56 \text{ m} = 4560 \text{ mm} \\
 \text{výška trámu} \quad h &= 0,34 \text{ m} = 335 \text{ mm} \\
 \text{šířka trámu} \quad b_w &= 0,16 \text{ m} = 160 \text{ mm} \\
 \text{tloušťka desky} \quad h_f &= 0,09 \text{ m} = 90 \text{ mm} \\
 \text{účinné rozpětí trámu (dle způsobu uložení)} \quad l_o &= 4,75 \text{ m} \quad (1,0 \cdot L_{eff} - \text{prostý nosník}) \\
 \text{osová vzdálenost trámů (zatěžovací šířka)} \quad b &= 1,98 \text{ m} \\
 \text{vzdálenost mezi trámy zleva} \quad (2)b_1 &= 1,82 \text{ m} \\
 \text{vzdálenost mezi trámy zprava} \quad (2)b_2 &= 1,83 \text{ m} \\
 \text{spolupůsobící šířka} \quad b_{eff} &= 1,47 \text{ m} \\
 \text{šířka podpory} \quad t_1 &= 0,19 \text{ m} \quad t_2 = 0,19 \text{ m} \\
 \text{Účinné rozpětí nosníku} \quad L_{eff} &= l_n + a_1 + a_2 \\
 L_{eff} &= 4,75 \text{ m} \\
 \text{zatěžovací šířka} \quad b &= 1,98 \text{ m}
 \end{aligned}$$

**(A.1) Stanovení zatížení**

$$\begin{aligned}
 0) \text{ příčka - lehká SDK} \quad g_k &= 0,00 \text{ [kN.m}^{-1}] \quad g_d = 0,00 \text{ [kN.m}^{-1}] \\
 a) \text{ stálé (dvojitá podlaha+stávající strop+podhled)} \quad g_k &= 2,86 \text{ [kN.m}^{-2}] \quad g_d = 3,86 \text{ [kN.m}^{-2}] \\
 b) \text{ užitné} \quad q_k &= 0,75 \text{ [kN.m}^{-2}] \quad q_d = 1,13 \text{ [kN.m}^{-2}]
 \end{aligned}$$

CELKOVÉ ZATÍŽENÍ STROPU - $q_n / q_d$ - na osu		zatížení [kN.m <sup>-1</sup> ]		Součinitele zatížení:
popis	charakt.	$\gamma_{g,g}$	návrhové	
0) příčka	0,00	x 1,35	0,00	$\gamma_g = 1,35$ -
a) stálé	5,67	x 1,35	7,65	
b) užitné	1,49	x 1,50	2,23	$\gamma_q = 1,50$ -
vlastní tíha nosníku	1,34	x 1,35	1,81	
kombinace pro MSP / MSÚ		$q_k = 8,50$	$q_d = 11,69$ [kN.m <sup>-1</sup> ]	

**(A.2) Stanovení vnitřních sil**

dle TP 51, tab. C35 - Prostý nosník - zatížení spojitě

Reakce nosníku (odpovídá  $V_{z,Ed}$ )

$$A = B = 1/2 \cdot q_d \cdot L_{eff} = 1/2 \cdot 11,69 \cdot 4,75 = 27,77 \text{ kN}$$

$$A = B = 27,77 \text{ kN}$$

Maximální výpočtový moment

$$M_{y,Ed} = 1/8 \cdot q_d \cdot L_{eff}^2 = 1/8 \cdot 11,69 \cdot 4,75^2 = 32,98 \text{ kN.m}$$

$$M_{y,Ed} = 32,98 \text{ kN.m}$$

**(B) POSUDEK**

(B.1) Posouzení MSÚ - smyková únosnost

třmínky  $\phi$  8 mm, krytí 5 mm, osově po cca 130 mm + 2x hupy

celková únosnost ve smyku

$$V_{z,Rd} = \text{(viz příloha - Beton EC)}$$

$$V_{z,Rd} = 114,72 \text{ kN/m}$$

$$V_{z,Ed} / V_{z,Rd} = 27,77 / 114,72 = 0,24 < 1,00 \quad \text{VYHOVUJE}$$

(B.2) Posouzení MSÚ - momentová únosnost

$$x = \frac{\sum A_{s,i} \cdot f_{yd}}{b_{eff} \cdot \lambda \cdot \eta \cdot f_{cd}} = \frac{(1078 \cdot 180,00) / (1474,5 \cdot 0,8 \cdot 1 \cdot 10,67)}{10,67} = 15 \text{ mm}$$

poloha neutrální osy od horního líce průřezu

$$x = 15 \text{ mm} \quad x < h_f = 90 \text{ mm}$$

poloha težiště ocelových výztuží

$$d_T = \frac{\sum (A_{s,i} \cdot d_i)}{\sum A_{s,i}} = 298366 / 1078 = 277 \text{ mm}$$

$$d_T = 277 \text{ mm}$$

celkový moment únosnosti

$$M_{c,Rd} = \sum A_{s,i} \cdot f_{yd} \cdot (d_T - 0,5 \cdot \lambda \cdot x) = 1078 \cdot 180 \cdot (0,28 - 0,5 \cdot 0,8 \cdot 0,015) = 52,51 \text{ kN.m}$$

$$M_{c,Rd} = 52,51 \text{ kN.m}$$

$$M_{y,Ed} / M_{c,Rd} = 32,98 / 52,51 = 0,63 < 1,00 \quad \text{VYHOVUJE}$$

Stávající prvek stropní konstrukce v místě sondy NV52 vyhovuje dle ČSN EN 1992-1-1 na stávající stav.

Využití průřezu nosníku dle MSÚ na ohyb je 63% . Využití průřezu nosníku dle MSÚ ve smyku je 24% .

(16) NV51 (P) - monol. prostý průvlak stropu

ZADNÍ ČÁST (m.č. 406) - STROPY NAD 4. NP

**(A) DATA**

ocel : ocel hladká

beton: C16/20

charakteristická pevnost: ocel/beton

$$f_{yk} = -$$

$$f_{ck} = 16 \text{ MPa}$$

návrhová pevnost: ocel/beton

$$f_{yd} = 180 \text{ MPa}$$

$$f_{cd} = 11 \text{ MPa}$$

$$\lambda = 0,8$$

$$\gamma_s = -$$

$$\gamma_c = 1,5$$

$$\eta = 1,0$$

spodní výztuž

č.p.	1	2	3	4
$\phi$ [mm]	30	32	32	30
$c_{nom}$ [mm]	35	30	40	50
$d_i$ [mm]	330	334	324	315
$A_i$ [mm <sup>2</sup> ]	707	804	804	707

Geometrie:

$$\begin{aligned} \text{výška trámu} \quad h &= 0,38 \text{ m} = 380 \text{ mm} \\ \text{šířka trámu} \quad b &= 0,19 \text{ m} = 190 \text{ mm} \\ \text{délka} \quad l_2 &= 5,78 \text{ m} \Rightarrow L_{ef,2} = 6,07 \text{ m} \end{aligned}$$

(A.1) Stanovení zatížení

reakce žb trámu 50%

$$R_d^T = 13,89 \text{ kN} \quad - \text{ v } x=0,375 \text{ m}$$

reakce žb trámu

$$R_d^T = 27,77 \text{ kN} \quad - \text{ v } x=2,392 \text{ m}$$

reakce žb trámu

$$R_d^T = 27,77 \text{ kN} \quad - \text{ v } x=4,415 \text{ m}$$

reakce od žb desky

$$r_{z,d} = 5,10 \text{ kN/m}$$

(A.2) Stanovení vnitřních sil

(stanoveno v programu SCIA 18.1)

Reakce nosníku (odpovídá  $V_{z,Ed}$ )

$$V_{z,Ed} = 60,16 \text{ kN}$$

Maximální výpočtový moment v poli (+)

$$+ M_{y,Ed} = 94,52 \text{ kN.m}$$

**(B) POSUDEK**

(B.1) Posouzení MSÚ - smyková únosnost

třmínky  $\phi$  8 mm, krytí 30 mm po cca 300 mm (bez hupů)

celková únosnost ve smyku u podpory

$$V_{z,Rd} = \text{(viz příloha - Beton EC)}$$

$$V_{z,Rd} = 172,66 \text{ kN/m}$$

$$V_{z,Ed} / V_{z,Rd} = 60,16 / 172,66 = 0,35 < 1,00 \quad \text{VYHOVUJE}$$

(B.2) Posouzení MSÚ - momentová únosnost

ohybová únosnost v poli (kladný moment)

$$(+M)_{y,Rd} = \text{(viz příloha - Beton EC)}$$

$$(+M)_{y,Rd} = 94,60 \text{ kN.m}$$

$$M_{y,Ed} / M_{y,Rd} = 94,52 / 94,60 = 1,00 < 1,00 \quad \text{VYHOVUJE}$$

Stávající prvek stropní konstrukce v místě sondy **NV51** vyhovuje dle ČSN EN 1992-1-1 na nový stav.

Využití průřezu nosníku dle MSÚ na ohyb v poli (+) je 100% . Využití průřezu nosníku dle MSÚ ve smyku je 35% .

(17) **NV10** (T) - monol. trám strop (T-průřez)**M.Č. 405-STROP NAD 4.NP (KOTELNA V 5.NP)****(A) DATA**

vyztužení: ocel hladká beton: **C16/20**  
 charakteristická pevnost : ocel/beton  $f_{yk} = -$   $f_{ck} = 16 \text{ MPa}$   
 návrhová pevnost: ocel/beton  $f_{yd} = 180 \text{ MPa}$   $f_{cd} = 11 \text{ MPa}$   $\lambda = 0,8$   
 $\gamma_s = -$   $\gamma_c = 1,5$   $\eta = 1,0$

spodní výztuž

č.p.	1	2	3	4	-	-	-
$\phi$ [mm]	14	14	14	14	0	0	0
$c_{nom}$ [mm]	50	25	60	80	0	0	0
osy [mm]	35	25	55	10	0	0	0
$d_i$ [mm]	303	328	293	273	0	0	0
$A_i$ [mm <sup>2</sup> ]	154	154	154	154	0	0	0

Geometrie:

světélé rozpětí žb trámy  $l_n = 3,45 \text{ m} = 3450 \text{ mm}$   
 výška trámy  $h = 0,36 \text{ m} = 360 \text{ mm}$   
 šířka trámy  $b_w = 0,15 \text{ m} = 150 \text{ mm}$   
 tloušťka desky  $h_f = 0,10 \text{ m} = 100 \text{ mm}$   
 účinné rozpětí trámy (dle způsobu uložení)  $l_o = 3,64 \text{ m}$  ( $1,0 \cdot L_{eff}$  - prostý nosník)  
 osová vzdálenost trámů (zatěžovací šířka)  $b = 1,13 \text{ m}$   
 vzdálenost mezi trámy zleva  $(2)b_1 = 0,98 \text{ m}$   
 vzdálenost mezi trámy zprava  $(2)b_2 = 0,98 \text{ m}$   
 spolupůsobící šířka  $b_{eff} = 1,07 \text{ m}$   
 šířka podpory  $t_1 = 0,19 \text{ m}$   $t_2 = 0,19 \text{ m}$   
 Účinné rozpětí nosníku  $L_{eff} = l_n + a_1 + a_2$   
 $L_{eff} = 3,64 \text{ m}$   
 zatěžovací šířka  $b = 1,13 \text{ m}$

**(A.1) Stanovení zatížení**

0) příčka SDK 3,05 m vysoká  $g_k = 0,76 \text{ [kN.m}^{-1}]$   $g_d = 1,03 \text{ [kN.m}^{-1}]$   
 a) stálé (těžká podlaha+stávající strop+podhled)  $g_k = 4,62 \text{ [kN.m}^{-2}]$   $g_d = 6,23 \text{ [kN.m}^{-2}]$   
 b) užitné  $q_k = 1,00 \text{ [kN.m}^{-2}]$   $q_d = 1,50 \text{ [kN.m}^{-2}]$

CELKOVÉ ZATÍŽENÍ -  $q_n$  /  $q_d$  - na osuzatížení  $[\text{kN.m}^{-1}]$ 

popis	charakt.	$\gamma_{g,q}$	návrhové	Součinitele zatížení:
0) příčka	0,76	x 1,35	1,03	
a) stálé	5,22	x 1,35	7,05	$\gamma_g = 1,35$ -
b) užitné	1,13	x 1,50	1,70	$\gamma_q = 1,50$ -
vlastní tíha nosníku	1,35	x 1,35	1,82	
kombinace pro MSP / MSÚ	$q_k = 8,46$		$q_d = 11,59 \text{ [kN.m}^{-1}]$	

ZATÍŽENÍ BODOVÉ -  $P_k$  /  $P_d$  - bodové

reakce od VZT č. 11 + 7.3  $P_k = 5,00$   $P_d = 6,75 \text{ [kN]}$   
 reakce oc. výměny  $P_k = 7,72$   $P_d = 10,62 \text{ [kN]}$   
 $P_k = 12,72$   $P_d = 17,37 \text{ [kN]}$   $c = 1,510 \text{ m}$   
 $d = 2,130 \text{ m}$

**(A.2) Stanovení vnitřních sil**

Reakce desky

$A = 1/2 \cdot q_d \cdot L + 1/L \cdot P_d \cdot d = 1/2 \cdot 11,59 \cdot 3,64 + 1/3,64 \cdot 17,37 \cdot 2,13$   
 $A = 31,26 \text{ kN/m}$  (22,84)  
 (reakce od stálého zatížení)  $A_{z,d}(g) = 28,18 \text{ kN/m}$  (20,79)  
 (reakce od užitného zatížení)  $A_{z,d}(q) = 3,08 \text{ kN/m}$  (2,06)  
 $B = 1/2 \cdot q_d \cdot L + 1/L \cdot P_d \cdot c = 1/2 \cdot 11,59 \cdot 3,64 + 1/3,64 \cdot 17,37 \cdot 1,51$   
 $B = 28,30 \text{ kN/m}$  (20,68)  
 (reakce od stálého zatížení)  $B_{z,d}(g) = 10,96 \text{ kN/m}$  (18,62)  
 (reakce od užitného zatížení)  $B_{z,d}(q) = 3,08 \text{ kN/m}$  (2,06)  
 reakce bez příčky  $R^* = 19,22 \text{ kN/m}$  (14,01)  
 Maximální smyková síla  $v_{z,Ed} = 31,26 \text{ kN/m}$  (22,84)  
 Maximální výpočtový moment  $M_{y,Ed} = 1/8 \cdot q_d \cdot L^2 + 1/L \cdot P_d \cdot c \cdot d = 1/8 \cdot 11,59 \cdot 3,64^2 + 1/3,64 \cdot 17,37 \cdot 1,51 \cdot 2,13$   
 $M_{y,Ed} = 34,55 \text{ kN.m}$   
 Přesnější zatěžovací schéma (SCIA)  $M_{y,Ed} = 31,52 \text{ kN.m}$

## (B) POSUDEK

### (B.1) Posouzení MSÚ - smyková únosnost

celková únosnost ve smyku  $V_{z,Rd} =$  (viz příloha - Beton EC)  $V_{z,Rd} = 55,50$  kN/m  
 $V_{z,Ed} / V_{z,Rd} = 31,26 / 55,50 = 0,56 < 1,00$  **VYHOVUJE**

### (B.2) Posouzení MSÚ - momentová únosnost

$x = \frac{\Sigma A_{s,i} \cdot f_{yd}}{b_{eff} \cdot \lambda \cdot \eta \cdot f_{cd}} = (616 \cdot 180,00) / (1074 \cdot 0,8 \cdot 1 \cdot 10,67) =$   
poloha neutrálné osy od horního líce průřezu  $x = 12$  mm  $x < h_f = 100$  mm  
poloha težiště ocelových výztuží  $d_T = \Sigma(A_{s,i} \cdot d_i) / \Sigma A_{s,i} = 184$  264 / 616  
 $d_T = 299$  mm  
celkový moment únosnosti  $M_{c,Rd} = \Sigma A_{s,i} \cdot f_{yd} \cdot (d_T - 0,5 \cdot \lambda \cdot x) = 616 \cdot 180 \cdot (0,3 - 0,5 \cdot 0,8 \cdot 0,012)$   
 $M_{c,Rd} = 32,63$  kN.m  
 $M_{y,Ed} / M_{c,Rd} = 31,52 / 32,63 = 0,97 < 1,00$  **VYHOVUJE**

Stávající prvek stropní konstrukce v místě sondy **NV10** vyhovuje dle ČSN EN 1992-1-1 na stávající stav.  
Využití průřezu nosníku dle MSÚ na ohyb je 97% . Využití průřezu nosníku dle MSÚ ve smyku je 56% .

## (18) **NV11** (d) - monol. deska mezi žb trámy T

## M.Č. 405-STROP NAD 4.NP (KOTELNA V 5.NP)

### (A) DATA

vyztužení: ocel hladká beton: **C16/20**  
charakteristická pevnost: ocel/beton  $f_{yk} = -$   $f_{ck} = 16$  MPa  
návrhová pevnost: ocel/beton  $f_{yd} = 180$  MPa  $f_{cd} = 11$  MPa  $\lambda = 0,8$   
 $\gamma_s = -$   $\gamma_c = 1,5$   $\eta = 1,0$

spodní týžď

č.p.	1	2	3	4	5	6
$\phi$ [mm]	8	8	8	8	8	8
$c_{nom}$ [mm]	10	10	10	10	10	10
osy [mm]	130	170	120	80	150	110
$d_i$ [mm]	86	86	86	86	86	86
$a_i$ [mm <sup>2</sup> ]	50	50	50	50	50	50

č.p.	7	8	9	-	-
$\phi$ [mm]	8	8	8		
$c_{nom}$ [mm]	10	10	10		
osy [mm]	40	110	90		
$d_i$ [mm]	86	86	0	0	0
$a_i$ [mm <sup>2</sup> ]	50	50	50	0	0

Geometrie:

světlé rozpětí desky  $l_0 = 2,11$  m = 2110 mm  
tloušťka desky  $h_s = 0,10$  m = 100 mm  
zatěžovací šířka  $b = 1,00$  m  
rozpětí nosníku  $l = l_0 \cdot 1,05$   
 $l = 2,22$  m = 2215,5 mm

### (A.1) Stanovení zatížení

CELKOVÉ ZATÍŽENÍ STROPU -  $q_n / q_d$  - plošné

stálé zatížení (podlaha těžká)  $g_k = 1,82$  [kN.m<sup>-2</sup>]  $\gamma_g = 1,35$  -  
stálé zatížení (5 mm omítky)  $g_k = 0,09$  [kN.m<sup>-2</sup>]  $\gamma_g = 1,50$  -  
užitné zatížení  $q_k = 1,00$  [kN.m<sup>-2</sup>]

ZATÍŽENÍ BODOVÉ -  $P_k / P_d$  - bodové

reakce od akustické přičky  $P_k = 0,00$   $P_d = 0,00$  [kN]  $c = 0,000$  m  
 $d = 2,216$  m

CELKOVÉ ZATÍŽENÍ STROPU -  $q_n / q_d$  - na osu

popis	charakt.	$\gamma_{g,q}$	návrhové
zatížení stropu - stálé	1,91	x 1,35	2,58
zatížení stropu - užitné	1,00	x 1,50	1,50
100% přičky rovnoběžně s deskou	0,00	x 1,35	0,00
vlastní tíha desky	2,50	x 1,35	3,38
kombinace pro MSP / MSÚ	$q_k = 5,41$		$q_d = 7,46$ [kN.m <sup>-1</sup> ]

### (A.2) Stanovení vnitřních sil

Reakce desky	$a = 1/2 \cdot q_d \cdot L + 1/L \cdot P_d \cdot d$	$= 1/2 \cdot 7,46 \cdot 2,22 + 1/2,22 \cdot 0,00 \cdot 2,2155$
	$a = 8,26$	kN/m (6,00)
(reakce od stálého zatížení)	$a_{z,d}(g) =$	6,60 kN/m (4,89)
(reakce od užitného zatížení)	$a_{z,d}(q) =$	1,66 kN/m (1,11)
	$b = 1/2 \cdot q_d \cdot L + 1/L \cdot P_d \cdot c$	$= 1/2 \cdot 7,46 \cdot 2,22 + 1/2,22 \cdot 0,00 \cdot 0$
	$b = 8,26$	kN/m (6,00)
(reakce od stálého zatížení)	$b_{z,d}(g) =$	6,60 kN/m (4,89)
(reakce od užitného zatížení)	$b_{z,d}(q) =$	1,66 kN/m (1,11)
reakce bez příčky	$r^* =$	8,26 kN/m (6,00)
Maximální smyková síla	$v_{z,Ed} =$	8,26 kN/m (6,00)
Maximální výpočtový moment	$m_{y,Ed} = 1/8 \cdot q_d \cdot L^2 + 1/L \cdot P_d \cdot c \cdot d$	$= 1/8 \cdot 7,46 \cdot 2,22^2 + 1/2,22 \cdot 0,00 \cdot 2,22$
	$m_{y,Ed} = 4,58$	kN.m/m

**(B) POSUDEK****(B.1) Posouzení MSÚ - smyková únosnost**

celková únosnost ve smyku	$v_{z,Rd} =$	(viz příloha - Beton EC)
	$v_{z,Rd} =$	41,78 kN/m
	$v_{z,Ed} / v_{z,Rd} = 8,26 / 41,78 =$	0,20 < 1,00 <b>VYHOVUJE</b>

**(B.2) Posouzení MSÚ - momentová únosnost**

	$x = \frac{\sum a_{s,i} \cdot f_{yd}}{b \cdot \lambda \cdot \eta \cdot f_{cd}}$	$= (452 \cdot 180,00) / (1000 \cdot 0,8 \cdot 1 \cdot 10,67)$
poloha neutrální osy od horního líce průřezu	$x =$	10 mm
poloha těžiště ocelových výztuží	$d_T = \frac{\sum (a_{s,i} \cdot d_i)}{\sum a_{s,i}}$	$= 34 \, 583 / 452$
	$d_T =$	76 mm
celkový moment únosnosti	$m_{c,Rd} = \sum (a_{s,i} \cdot f_{yd}) \cdot (d_T - 0,5 \cdot \lambda \cdot x)$	$= 452 \cdot 180 \cdot (0,08 - 0,5 \cdot 0,8 \cdot 0,01)$
	$m_{c,Rd} = 5,91$	kN.m
	$m_{y,Ed} / m_{c,Rd} = 4,58 / 5,91 =$	0,77 < 1,00 <b>VYHOVUJE</b>

Stávající prvek stropní konstrukce v místě sondy **NV11** vyhovuje dle ČSN EN 1992-1-1 na stávající stav.

Využití průřezu desky dle MSÚ v ohybu je 77% . Využití průřezu desky dle MSÚ ve smyku je 20% .



### PŘÍLOHA Č. III.3 - BETON: NOVÉ STROPY

**ds.1** - stropní deska stropu nad 1. PP pod m. č. 001 (žb deska prostě uložená v 1 směru vyztužená)

**tl. 150 mm**

Materiál:	ocel :	<b>R (B500B)</b>	beton:	<b>C25/30</b>	
charakteristická pevnost: ocel/beton	$f_{yk} =$	<b>500 MPa</b>	$f_{ck} =$	<b>25 MPa</b>	$f_{ctm} = 2,6 \text{ MPa}$
návrhová pevnost: ocel/beton	$f_{yd} =$	<b>435 MPa</b>	$f_{cd} =$	<b>16,7 MPa</b>	$\lambda = 0,80$
	$\gamma_s =$	<b>1,15</b>	$\gamma_c =$	<b>1,5</b>	$\eta = 1,00$
Geometrie:					
tloušťka desky	$h_s =$	<b>150 mm</b>			$L = 2,23 \text{ m}$
zatěžovací šířka	$b =$	<b>1,00 m</b>			<b>ds.1 (150)</b>
světélé rozpětí desky ve směru x	$l_0 =$	<b>2,12 m</b>			
rozpětí desky	$L = l_0 \cdot 1,05$	$= 1,05 \cdot 2,12 =$			
	$L =$	<b>2,23 m</b>			

#### Zatížení

CELKOVÉ ZATÍŽENÍ STROPU - $q_n / q_d$ - plošné			Součinitele:	
zatížení stropu - stálé od nové podlahy	$g_k =$	<b>1,29</b> [kN.m <sup>-2</sup> ]	$\gamma_g =$	<b>1,35</b>
zatížení stropu - užité zatížení	$q_k =$	<b>5,00</b> [kN.m <sup>-2</sup> ]	$\gamma_q =$	<b>1,50</b>

CELKOVÉ ZATÍŽENÍ STROPU - $q_n / q_d$ - na osu	charakt.	$\gamma_{g,q}$	návrhové
popis			
zatížení stropu - užité zatížení	5,00	x 1,50	7,50
zatížení stropu - stálé od nové podlahy	1,29	x 1,35	1,74
vlastní táha žb desky	3,75	x 1,35	5,06
kombinace pro MSP / MSÚ	$q_k = 10,04$		$q_d = 14,30$ [kN.m <sup>-1</sup> ]

#### Návrhové vnitřní síly

dle TP 51, tab. C35 - Prostý nosník - zatížení spojitě	
Reakce nosníku (odpovídá $V_{z,Ed}$ )	$A = B = 1/2 \cdot q_d \cdot L = 1/2 \cdot 14,30 \cdot 2,23$
	$A = B = 15,92 \text{ kN/m}$
Maximální výpočtový moment	$m_{Ed} = 1/8 \cdot q_d \cdot L^2 = 1/8 \cdot 14,30 \cdot 2,23^2$
	$m_{Ed} = 8,86 \text{ kNm/m}$

#### Posudek výztuže desky ve směru x

**NÁVRH :**  $\phi =$  **8** po **150 mm**  $n = 6,7 \text{ ks}$

#### A. stanovení krytí výztuže

třída prostředí / konstrukční třída	XC3 / S3	→	$c_{dur} =$	25	mm
minimální krytí výztuže	$c_{min} = \max\{\phi; c_{dur}; 10 \text{ mm}\} = \{$	8	25	10	$\} = 25 \text{ mm}$
návrhové zvětšení s přihlédnutím možné tolerance	$\Delta c_{dev} =$	10	mm		
tloušťka krycí vrstvy	$c_{nom} = c_{min} +$	35	mm	mm	

#### B. určení počtu prutů

poloha těžiště ocelových výztuží	$d = h - c_{nom} - \phi/2 =$	<b>150 - 35 - 4 =</b>	<b>111 mm</b>
nutná plocha výztuže	$A_{s,req} = \frac{m_{Ed}}{0,9 \cdot d \cdot f_{yd}} =$	$\frac{8,86}{0,9 \cdot 111 \cdot 435} =$	<b>203,94 mm<sup>2</sup></b>
stanovení minimálního počtu prutů (dle průřezu)	$n_{min} =$	Minimální počet prutů je :	<b>5 ks</b>

#### C. posouzení navržené výztuže

plocha výztuží	$A_s = n \cdot \pi \cdot \phi^2 / 4 =$	$6,7 \cdot 3,14 \cdot 64 / 4 =$	<b>335,10 mm<sup>2</sup></b>
síla výztuží	$F_s = A_s \cdot f_{yd} =$	$203,94 \cdot 435 =$	<b>145,70 kN/m</b>
poloha neutrální osy od horního líce průřezu	$x = \frac{F_s}{b_{eff} \cdot \lambda \cdot \eta \cdot f_{cd}} =$	$\frac{145,7}{0,8 \cdot 1 \cdot 16,7 \cdot 1} =$	<b>10,93 mm</b>
výpočtový moment únosnosti	$m_{Rd} = F_s \cdot (d - \lambda/2 \cdot x) =$	$145,7 \cdot (111 - 0,4 \cdot 10,93) =$	<b>15,54 kNm/m</b>
$m_{x,Ed} / m_{Rd} =$	$8,86 / 15,54 =$	<b>0,57 &lt; 1,00</b>	<b>VYHOVUJE</b>

#### D. konstrukční zásady

podmínka pro obdelníkový průřez	$\xi = x / d = 10,93 / 111 =$	<b>0,10 ≤ ξ<sub>M</sub> 0,45</b>	<b>VYHOVUJE</b>
• <u>minimální plocha výztuže</u>	$A_{s,min} = \max \left\{ \begin{array}{l} 0,26 \cdot f_{ctm} / f_{yk} \cdot b \cdot d \\ 0,0013 \cdot b \cdot d \end{array} \right\}$		
minimální plocha výztuže	$A_{s,min} = \max \left\{ \begin{array}{l} 0,26 \cdot 2,56 / 500 \cdot 1,0 \cdot 0,111 = \\ 0,0013 \cdot 1 \cdot 0,111 = \end{array} \right\}$	$= 0,00015 \rightarrow 0,00015 \text{ m}^2$	
skutečná plocha výztuže	$A_s =$	<b>335,10 mm<sup>2</sup></b>	
podmínka	$A_s = 335,10 \text{ mm}^2 \geq A_{s,min} =$	<b>148,05 mm<sup>2</sup></b>	<b>VYHOVUJE</b>
• <u>maximální vzdálenost výztuže</u>			
navržená osová vzdálenost výztuží	$s_s =$	<b>150,00 mm</b>	
maximální osová vzdálenost výztuží	$s_{max} = \min\{2 \cdot h; 250 \text{ mm}\} =$	$\{300; 250\} =$	<b>250 mm</b>
podmínka	$s_s = 150,00 \text{ mm} \leq s_{max} =$	<b>250,00 mm</b>	<b>VYHOVUJE</b>
• <u>minimální světélá vzdálenost</u>			

$$\text{minimální světelná vzdálenost } s_{\min} = \max \{ k_1 \cdot \emptyset; d_0 + k_2; 20 \text{ mm} \} = \{ 1,2 \cdot 8; 8 + 5; 20 \} = 20 \text{ mm}$$

$$\text{podmínka } s_s = 150,00 \text{ mm}^2 \geq s_{\min} = 20,00 \text{ mm}^2$$

VYHOVUJE

**Působícímu zatížení vyhovuje výše posouzená výztuž typu R (B500B)  $\emptyset = 8 \text{ mm}$  po 150 mm a beton C25/30.**  
**Návrh dle ČSN EN 1992-1-1.**

**ds.2 - stropní deska stropu nad 1. PP pod m. č. 008 (žb deska prostě uložená v 1 směru vyztužená)****tl. 100**

Materiál:	ocel :	<b>B500B</b>	beton:	<b>C25/30</b>	
charakteristická pevnost: ocel/beton	$f_{yk} =$	<b>500 MPa</b>	$f_{ck} =$	<b>25 MPa</b>	$\gamma_c = 1,5$
návrhová pevnost: ocel/beton	$f_{yd} =$	<b>435 MPa</b>	$f_{ctm} =$	<b>2,6 MPa</b>	$\lambda = 0,8$
	$\gamma_s =$	<b>1,15</b>	$f_{cd} =$	<b>16,7 MPa</b>	$\eta = 1,0$
Geometrie:					
tloušťka desky	$h_s =$	<b>100 mm</b>			$L = 1,05 \text{ m}$
zatěžovací šířka	$b =$	<b>1,00 m</b>			<b>ds.2 (100)</b>
světelné rozpětí desky	$l_0 =$	<b>1,00 m</b>			
výpočtové rozpětí desky	$L = l_0 \cdot 1,05 =$	<b>1,05 m</b>			
	$L =$	<b>1,05 m</b>			

Vyztužení:	profily	$\emptyset =$	<b>8 mm</b>	po	<b>200 mm</b>	$n = 5,00$	<b>ks</b>
	tloušťka krycí vrstvy	$c_{nom} =$	<b>35 mm</b>				<b>S4/XC3 (možná vlhkost ve sklepě)</b>

CELKOVÉ ZATÍŽENÍ STROPU -  $q_n / q_d$  - plošné

stálé zatížení - podlaha	$g_k =$	<b>1,29</b>	[kN.m <sup>-2</sup> ]	$\gamma_g =$	<b>1,35</b>	-
stálé zatížení - podhled	$g_k =$	<b>0,21</b>	[kN.m <sup>-2</sup> ]	$\gamma_g =$	<b>1,50</b>	-
užitné zatížení (kat. C5)	$q_k =$	<b>5,00</b>	[kN.m <sup>-2</sup> ]			

Součinitele:

UŽITNÉ ZATÍŽENÍ STROPU -  $q_n / q_d$  - plošné

obsluha agregátu	$q_k =$	<b>0,00</b>	[kN.m <sup>-2</sup> ]	$q_d = 0,00$	[kN.m <sup>-2</sup> ]
------------------	---------	-------------	-----------------------	--------------	-----------------------

ZATÍŽENÍ STROPUDIESEL AGREGÁTU -  $q_n / q_d$  - plošné

výslednice diesel agr.	$A_k =$	<b>0,00</b>	[kN]	$A_d = 0,00$	[kN]
------------------------	---------	-------------	------	--------------	------

CELKOVÉ ZATÍŽENÍ STROPU -  $q_n / q_d$  - na osu

CELKOVÉ ZATÍŽENÍ STROPU - $q_n / q_d$ - na osu		zatížení [kN.m <sup>-1</sup> ]			
popis	charakt.	$\gamma_{g,q}$	návrhové		
stálé zatížení - podlaha	1,29	x 1,35	1,74		3,79
stálé zatížení - podhled	0,21	x 1,50	0,31		
užitné zatížení (kat. C5)	5,00	x 1,50	7,50		
obsluha agregátu	0,00	x 1,35	0,00		
vl. tíha desky	2,50	x 1,35	3,38		
kombinace pro MSP / MSÚ	$q_k =$	8,99	$q_d =$	12,92	[kN.m <sup>-1</sup> ]

dle TP 51, tab. C35 - Prostý nosník - zatížení spojitě

Reakce nosníku (odpovídá  $V_{z,Ed}$ )

$$A = B = 1/2 \cdot q_d \cdot L + 1/2 \cdot A_d$$

$$A = B = 6,78 \text{ kN/m} \quad (4,72)$$

Maximální výpočtový moment

$$m_{Ed} = 1/8 \cdot q_d \cdot L^2 + 1/4 \cdot A_d \cdot L$$

Výpočtový moment

$$m_{Ed} = 1,78 \text{ kNm/m}$$

**B. určení počtu prutů**

poloha težiště ocelových výztuží	$d = h - c_{nom} - \emptyset/2$	$=$	$100 - 35 - 4$	$=$	<b>61 mm</b>
nutná plocha výztuže	$A_{s,req} = \frac{m_{Ed}}{0,9 \cdot d \cdot f_{yd}}$	$=$	$\frac{1,78}{0,9 \cdot 61 \cdot 435}$	$=$	<b>74,60 mm<sup>2</sup></b>
stanovení minimálního počtu prutů (dle průřezu)	$n_{min} =$	Minimální počet prutů je :	2		<b>ks</b>

**C. posouzení navržené výztuže**

plocha výztuží	$A_s = n \cdot \pi \cdot \emptyset^2/4$	$=$	$5 \cdot 3,14 \cdot 64/4$	$=$	<b>251,33 mm<sup>2</sup></b>
síla výztuží	$F_s = A_s \cdot f_{yd}$	$=$	$251,33 \cdot 435$	$=$	<b>109,27 kN/m</b>
poloha neutrální osy od horního líce průřezu	$x = \frac{F_s}{b_{eff} \cdot \lambda \cdot \eta \cdot f_{cd}}$	$=$	$\frac{109,27}{0,8 \cdot 1 \cdot 16,7 \cdot 1}$	$=$	<b>8,20 mm</b>
výpočtový moment únosnosti	$m_{Rd} = F_s \cdot (d - \lambda/2 \cdot x)$	$=$	$109,27 \cdot (61 - 0,4 \cdot 8,2)$	$=$	<b>6,31 kNm/m</b>
	$m_{x,Ed} / m_{Rd} =$	$1,78 / 6,31$	$=$	<b>0,28</b>	<b>&lt; 1,00 VYHOVUJE</b>

**D. konstrukční zásady**

podmínka pro obdelníkový průřez	$\xi = x/d =$	$8,2 / 61 =$	<b>0,13</b>	$\leq \xi_{max} =$	<b>0,45 VYHOVUJE</b>
---------------------------------	---------------	--------------	-------------	--------------------	----------------------

• minimální plocha výztuže

$$A_{s,min} = \max \{ 0,26 \cdot f_{ctm} / f_{yk} \cdot b_t \cdot d$$

minimální plocha výztuže	$A_{s,min} = 0,0013 \cdot b \cdot d$				
	$A_{s,min} = \max \left\{ \begin{array}{l} 0,26 \cdot 2,56 / 500 \cdot 1,0 \cdot 0,061 = 0,00008 \\ 0,0013 \cdot 1,0 \cdot 0,061 = 0,00008 \end{array} \right\} \rightarrow 0,00008 \text{ m}^2$				
skutečná plocha výztuže	$A_s = 251,33 \text{ mm}^2$				
podmínka	$A_s = 251,33 \text{ mm}^2 \geq A_{s,min} = 81,36 \text{ mm}^2$				<b>VYHOVUJE</b>
<b>• maximální vzdálenost výztuže</b>					
navržená osová vzdálenost výztuží	$s_s = 200,00 \text{ mm}$				
maximální osová vzdálenost výztuží	$s_{max} = \min \{ 2 \cdot h ; 250 \text{ mm} \} = \{ 200 ; 250 \} = 250 \text{ mm}$				
podmínka	$s_s = 200,00 \text{ mm} \leq s_{max} = 250,00 \text{ mm}$				<b>VYHOVUJE</b>
<b>• minimální světlá vzdálenost</b>					
minimální světlá vzdálenost	$s_{min} = \max \{ k_1 \cdot \emptyset ; d_s + k_2 ; 20 \text{ mm} \} = \{ 1,2 \cdot 8 ; 8 + 5 ; 20 \} = 20 \text{ mm}$				
podmínka	$s_s = 200,00 \text{ mm} \geq s_{min} = 20,00 \text{ mm}$				<b>VYHOVUJE</b>

**Působícímu zatížení vyhovuje výše posouzená výztuž typu B500B  $\emptyset = 8 \text{ mm}$  po 200 mm a beton C25/30.  
Návrh dle ČSN EN 1992-1-1.**

### **ds.3** - stropní deska nad 1. PP před VÝTAHEM (žb deska prostě uložená v 1 směru vyztužená)

tl. 150

Materiál:	ocel :	<b>B500B</b>	beton:	<b>C25/30</b>	
charakteristická pevnost: ocel/beton	$f_{yk} =$	<b>500 MPa</b>	$f_{ck} =$	<b>25 MPa</b>	$\gamma_c = 1,5$
návrhová pevnost: ocel/beton	$f_{yd} =$	<b>435 MPa</b>	$f_{ctm} =$	<b>2,6 MPa</b>	$\lambda = 0,8$
	$\gamma_s =$	<b>1,15</b>	$f_{cd} =$	<b>16,7 MPa</b>	$\eta = 1,0$
Geometrie:					
tloušťka desky	$h_s =$	<b>150 mm</b>			$L = 2,87 \text{ m}$
zatěžovací šířka	$b =$	<b>1,00 m</b>			<b>ds.3 (150)</b>
světlé rozpětí desky	$l_0 =$	<b>2,73 m</b>			
výpočtové rozpětí desky	$L = l_0 \cdot 1,05 = 1,05 \cdot 2,73 =$				
	$L =$	<b>2,87 m</b>			
Vyztužení:	profily	$\emptyset =$	<b>10 mm</b>	po	<b>150 mm</b> $n = 6,67 \text{ ks}$
	tloušťka krycí vrstvy	$c_{nom} =$	<b>35 mm</b>		S4/XC3 (možná vlhkost ve sklepě)
<b>CELKOVÉ ZATÍŽENÍ STROPU - <math>q_n / q_d</math> - plošné</b>					
stálé zatížení - podlaha	$g_k =$	<b>1,29</b> [kN.m <sup>-2</sup> ]	$\gamma_g =$	<b>1,35</b>	
stálé zatížení - podhled	$g_k =$	<b>0,00</b> [kN.m <sup>-2</sup> ]	$\gamma_g =$	<b>1,50</b>	
užitné zatížení (kat. C5)	$q_k =$	<b>5,00</b> [kN.m <sup>-2</sup> ]			
<b>UŽITNÉ ZATÍŽENÍ STROPU - <math>q_n / q_d</math> - plošné</b>					
obsluha agregátu	$q_k =$	<b>0,00</b> [kN.m <sup>-2</sup> ]	$q_d =$	<b>0,00</b> [kN.m <sup>-2</sup> ]	
<b>ZATÍŽENÍ STROPUDIESEL AGREGÁTU - <math>q_n / q_d</math> - plošné</b>					
výslednice diesel agr.	$A_k =$	<b>0,00</b> [kN]	$A_d =$	<b>0,00</b> [kN]	

CELKOVÉ ZATÍŽENÍ STROPU - $q_n / q_d$ - na osu		zatížení [kN.m <sup>-1</sup> ]		
popis	charakt.	$\gamma_{g,q}$	návrhové	
stálé zatížení - podlaha	1,29	x 1,35	1,74	5,04
stálé zatížení - podhled	0,00	x 1,50	0,00	
užitné zatížení (kat. C5)	5,00	x 1,50	7,50	
obsluha agregátu	0,00	x 1,35	0,00	
vl. tíha desky	3,75	x 1,35	5,06	
kombinace pro MSP / MSÚ	$q_k =$	10,04	$q_d =$	14,30 [kN.m <sup>-1</sup> ]

dle TP 51, tab. C35 - Prostý nosník - zatížení spojitě

Reakce nosníku (odpovídá  $V_{z,Ed}$ )

$$A = B = 1/2 \cdot q_d \cdot L + 1/2 \cdot A_d \quad (14,39)$$

Maximální výpočtový moment

$$m_{Ed} = 1/8 \cdot q_d \cdot L^2 + 1/4 \cdot A_d \cdot L$$

Výpočtový moment

$$m_{Ed} = 14,69 \text{ kNm/m}$$

### **B. určení počtu prutů**

poloha težiště ocelových výztuží

$$d = h - c_{nom} - \emptyset / 2 = 150 - 35 - 5 = 110 \text{ mm}$$

nutná plocha výztuže

$$A_{s,req} = \frac{m_{Ed}}{0,9 \cdot d \cdot f_{yd}} = \frac{14,69}{0,9 \cdot 110 \cdot 435} = 341,26 \text{ mm}^2$$

stanovení minimálního počtu prutů (dle průřezu)

$$n_{min} = \text{Minimální počet prutů je : } 5 \text{ ks}$$

**C. posouzení navržené výztuže**

plocha výztuží	$A_s = n \cdot \pi \cdot \varnothing^2 / 4$	=	$3,67 \cdot 3,14 \cdot 100 / 4$	=	523,60	mm <sup>2</sup>
síla výztuží	$F_s = A_s \cdot f_{yd}$	=	$523,6 \cdot 435$	=	227,65	kN/m
poloha neutrálné osy od horního líce průřezu	$x = \frac{F_s}{b_{eff} \cdot \lambda \cdot \eta \cdot f_{cd}}$	=	$\frac{227,65}{0,8 \cdot 1,16 \cdot 7,1}$	=	17,07	mm
výpočtový moment únosnosti	$m_{Rd} = F_s \cdot (d - \lambda / 2 \cdot x)$	=	$227,65 \cdot (110 - 0,4 \cdot 17,07)$	=	23,49	kNm/m
	$m_{x,Ed} / m_{Rd} = 14,69 / 23,49$	=	0,63	<	1,00	<b>VYHOVUJE</b>

**D. konstrukční zásady**

podmínka pro obdelníkový průřez	$\xi = x / d = 17,07 / 110$	=	0,16	$\leq \xi_{MAX} =$	0,45	<b>VYHOVUJE</b>
<b>• minimální plocha výztuže</b>						
minimální plocha výztuže	$A_{s,min} = \max \{ 0,26 \cdot f_{ctm} / f_{yk} \cdot b_t \cdot d; 0,0013 \cdot b \cdot d \}$					
	$A_{s,min} = \max \{ 0,26 \cdot 2,56 / 500 \cdot 1,0 \cdot 0,11; 0,0013 \cdot 1 \cdot 0,11 \}$	=		=	$\frac{0,00015}{0,00014}$	$\rightarrow 0,00015 \text{ m}^2$
skutečná plocha výztuže	$A_s = 523,60$	mm <sup>2</sup>				
podmínka	$A_s = 523,60$	mm <sup>2</sup>	$\geq$	$A_{s,min} =$	146,72	mm <sup>2</sup>
<b>• maximální vzdálenost výztuže</b>						
navržená osová vzdálenost výztuží	$s_s = 150,00$	mm				
maximální osová vzdálenost výztuží	$s_{max} = \min \{ 2 \cdot h; 250 \text{ mm} \}$	=	{300 ; 250 }	=	250	mm
podmínka	$s_s = 150,00$	mm <sup>2</sup>	$\leq$	$s_{max} =$	250,00	mm <sup>2</sup>
<b>• minimální světlá vzdálenost</b>						
minimální světlá vzdálenost	$s_{min} = \max \{ k_1 \cdot \varnothing; d_g + k_2; 20 \text{ mm} \}$	=	{1,2 \cdot 10; 10 + 5; 20 }	=	20	mm
podmínka	$s_s = 150,00$	mm <sup>2</sup>	$\geq$	$s_{min} =$	20,00	mm <sup>2</sup>
						<b>VYHOVUJE</b>

**Působícímu zatížení vyhovuje výše posouzená výztuž typu B500B  $\varnothing = 10 \text{ mm}$  po 150 mm a beton C25/30.  
Návrh dle ČSN EN 1992-1-1.**

## Projekt

Akce : Zak. č. A38 19 002 – Český rozhlas Olomouc – rekonstrukce objektu Pavelčáková 2/19  
Část : D.1.2b STATICKÝ POSUDEK  
Vypracoval : Ing. Martin Sležka  
Datum : 23.10.2019

## Norma

Norma **EN 1992-1-1/Uživatelská.**

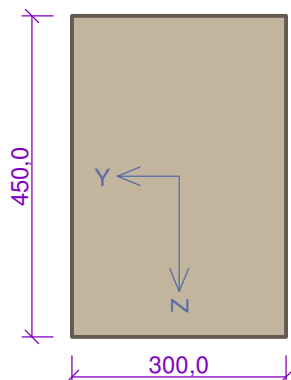
Únosnost betonu - základní kombinace zatížení :  $\gamma_C = 1,500$   
Únosnost výztuže - základní kombinace zatížení :  $\gamma_S = 1,000$   
Únosnost betonu - mimořádná kombinace zatížení :  $\gamma_C = 1,200$   
Únosnost výztuže - mimořádná kombinace zatížení :  $\gamma_S = 1,000$   
Modul pružnosti betonu :  $\gamma_{cE} = 1,200$   
Tlaková pevnost betonu :  $\alpha_{cc} = 1,000$   
Minimální stupeň vyztužení desky dle ČSN 73 1201

## 1 NV3 (P) (M)

### 1.1 Vstupní data

Typ prvku: nosník  
Prostředí: X0

#### Průřez



#### Materiály

##### Beton: C 16/20

$f_{ck} = 16,0$  MPa;  $f_{ctm} = 1,9$  MPa;  $E_{cm} = 29000$  MPa

##### Ocel podélná: hladká bez bližšího určení (uživ.)

$f_{yk} = 180,0$  MPa;  $E_s = 200000$  MPa

##### Ocel příčná: hladká bez bližšího určení (uživ.)

$f_{yk} = 180,0$  MPa;  $E_s = 200000$  MPa

Pevnost oceli neodpovídá rozsahu 400-600MPa určenému normou, další výpočet odpovídá postupům EC2

#### Vnitřní síly - základní návrhová (MSÚ)

č.	Název zatěžovacího případu	$N_{Ed}$ [kN]	$M_{Edy}$ [kNm]	$V_{Edz}$ [kN]	QP koef. [-]
1	Zat. případ 2	0,00	36,18	0,00	1,000

#### Podélná výztuž

Počet	Profil [mm]	Krytí [mm]	Umístění
2	18	55,0	dolní výztuž
2	20	60,0	dolní výztuž

S tlačnou výztuží je počítáno.

#### Smyková výztuž

##### Obvodové třmínky

Profil: 8 mm; Vzdálenost: 150,0 mm

##### Ohyby

Profil: 30 mm; Počet: 2; Sklon: 45,00 °;

### Minimální krytí

27,5 mm (uživ.)

## 1.2 Výsledky

### Posouzení min. a max. stupně vyztužení

Nosník (tažená výztuž - minimum, celková výztuž - maximum):

$$\rho_{s,t} = 0,00991 \geq \rho_{s,min} = 0,00274 \Rightarrow \text{Vyhovuje}$$

$$\rho_s = 0,00842 \leq \rho_{s,max} = 0,04 \Rightarrow \text{Vyhovuje}$$

### Stupeň vyztužení smykovou výztuží

$$\rho_{w,min} = 0,00178 \leq \rho_w = 0,0089 \Rightarrow \text{Vyhovuje}$$

Maximální vzdálenost třmíneků  $s_{l,max} = 287,0 \text{ mm} \Rightarrow \text{Vyhovuje}$

Maximální vzdálenost větví třmíneků  $s_{t,max} = 287,0 \text{ mm}$

### Posouzení mezního stavu únosnosti

č.	Název	$N_{Ed}$ [kN]	$N_{Rd}$ [kN]	$M_{Edy}$ [kNm]	$M_{Rdy}$ [kNm]	$V_{Edz}$ [kN]	$V_{Rdz}$ [kN]	Využití [%]	Posouzení
1	Zat. případ 2	0,00	0,00	36,18	72,89	0,00	0,00	49,6	Vyhovuje

**Mezní stav únosnosti VYHOVUJE - 49,6 %**

### Celkové posouzení - Průřez VYHOVUJE

Využití: 49,6 %

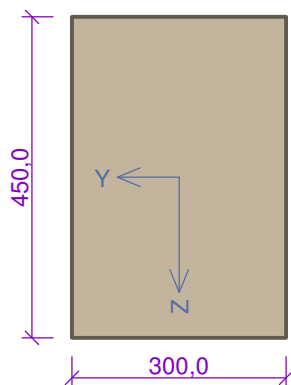
## 2 NV3 (P) (V)

### 2.1 Vstupní data

Typ prvku: nosník

Prostředí: X0

#### Průřez



#### Materiály

##### Beton: C 16/20

$f_{ck} = 16,0 \text{ MPa}$ ;  $f_{ctm} = 1,9 \text{ MPa}$ ;  $E_{cm} = 29000 \text{ MPa}$

##### Ocel podélná: hladká bez bližšího určení (uživ.)

$f_{yk} = 180,0 \text{ MPa}$ ;  $E_s = 200000 \text{ MPa}$

##### Ocel příčná: hladká bez bližšího určení (uživ.)

$f_{yk} = 180,0 \text{ MPa}$ ;  $E_s = 200000 \text{ MPa}$

Pevnost oceli neodpovídá rozsahu 400-600MPa určenému normou, další výpočet odpovídá postupům EC2

### Vnitřní síly - základní návrhová (MSÚ)

č.	Název zatěžovacího případu	$N_{Ed}$ [kN]	$M_{Edy}$ [kNm]	$V_{Edz}$ [kN]	QP koef. [-]
1	Zat. případ 2	0,00	0,00	30,09	1,000

### Podélná výztuž

Počet	Profil [mm]	Krytí [mm]	Umístění
2	18	55,0	dolní výztuž

S tlačnou výztuží je počítáno.

**Smyková výztuž****Obvodové třmínky**

Profil: 8 mm; Vzdálenost: 250,0 mm

**Ohyby**

Profil: 20 mm; Počet: 2; Sklon: 45,00 °;

**Minimální krytí**

27,5 mm (uživ.)

**2.2 Výsledky****Posouzení min. a max. stupně vyztužení**

Nosník (tažená výztuž - minimum, celková výztuž - maximum):

$$\rho_{s,t} = 0,00439 \geq \rho_{s,min} = 0,00274 \Rightarrow \text{Vyhovuje}$$

$$\rho_s = 0,00377 \leq \rho_{s,max} = 0,04 \Rightarrow \text{Vyhovuje}$$

**Stupeň vyztužení smykovou výztuží**

$$\rho_{w,min} = 0,00178 \leq \rho_w = 0,0043 \Rightarrow \text{Vyhovuje}$$

Maximální vzdálenost třmínků  $s_{l,max} = 289,5 \text{ mm} \Rightarrow \text{Vyhovuje}$ Maximální vzdálenost větví třmínků  $s_{t,max} = 289,5 \text{ mm}$ **Posouzení mezního stavu únosnosti**

č.	Název	$N_{Ed}$ [kN]	$N_{Rd}$ [kN]	$M_{Edy}$ [kNm]	$M_{Rdy}$ [kNm]	$V_{Edz}$ [kN]	$V_{Rdz}$ [kN]	Využití [%]	Posouzení
1	Zat. případ 2	0,00	-1531,77	0,00	35,71	30,09	147,01	20,5	Vyhovuje

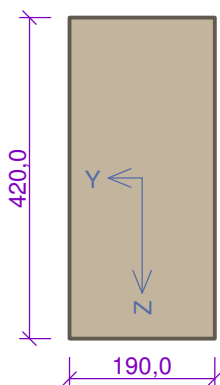
**Mezní stav únosnosti VYHOVUJE - 20,5 %****Celkové posouzení - Průřez VYHOVUJE**

Využití: 20,5 %

**3 NV5 (P) (M)****3.1 Vstupní data**

Typ prvku: nosník

Prostředí: X0

**Průřez****Materiály****Beton: C 16/20**

$$f_{ck} = 16,0 \text{ MPa}; f_{ctm} = 1,9 \text{ MPa}; E_{cm} = 29000 \text{ MPa}$$

**Ocel podélná: hladká bez bližšího určení (uživ.)**

$$f_{yk} = 180,0 \text{ MPa}; E_s = 200000 \text{ MPa}$$

**Ocel příčná: hladká bez bližšího určení (uživ.)**

$$f_{yk} = 180,0 \text{ MPa}; E_s = 200000 \text{ MPa}$$

Pevnost oceli neodpovídá rozsahu 400-600MPa určenému normou, další výpočet odpovídá postupům EC2

**Vnitřní síly - základní návrhová (MSÚ)**

č.	Název zatěžovacího případu	$N_{Ed}$ [kN]	$M_{Edy}$ [kNm]	$V_{Edz}$ [kN]	QP koef. [-]
1	Zat. případ 1	0,00	105,92	0,00	1,000

### Podélná výztuž

Počet	Profil [mm]	Krytí [mm]	Umístění
4	22	27,5	dolní výztuž

S tlačnou výztuží je počítáno.

### Smyková výztuž

Průřez bez smykové výztuže.

### Minimální krytí

27,5 mm (uživ.)

## 3.2 Výsledky

### Posouzení min. a max. stupně vyztužení

Nosník (tažená výztuž - minimum, celková výztuž - maximum):

$$\rho_{s,t} = 0,021 \geq \rho_{s,min} = 0,00274 \Rightarrow \text{Vyhovuje}$$

$$\rho_s = 0,0191 \leq \rho_{s,max} = 0,04 \Rightarrow \text{Vyhovuje}$$

### Posouzení mezního stavu únosnosti

č.	Název	N <sub>Ed</sub> [kN]	N <sub>Rd</sub> [kN]	M <sub>Edy</sub> [kNm]	M <sub>Rdy</sub> [kNm]	V <sub>Edz</sub> [kN]	V <sub>Rdz</sub> [kN]	Využití [%]	Posouzení
1	Zat. případ 1	0,00	0,00	105,92	85,78	0,00	0,00	123,5	Nevyhovuje

**Mezní stav únosnosti NEVYHOVUJE - 123,5 %**

### Celkové posouzení - Průřez NEVYHOVUJE

Využití: 123,5 %

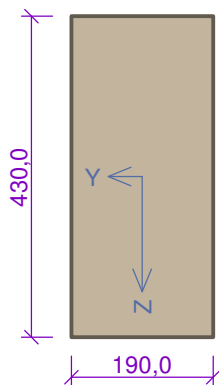
## 4 NV5 (P) (V)

### 4.1 Vstupní data

Typ prvku: nosník

Prostředí: X0

#### Průřez



#### Materiály

##### Beton: C 16/20

$f_{ck} = 16,0$  MPa;  $f_{ctm} = 1,9$  MPa;  $E_{cm} = 29000$  MPa

##### Ocel podélná: hladká bez bližšího určení (uživ.)

$f_{yk} = 180,0$  MPa;  $E_s = 200000$  MPa

##### Ocel příčná: hladká bez bližšího určení (uživ.)

$f_{yk} = 180,0$  MPa;  $E_s = 200000$  MPa

Pevnost oceli neodpovídá rozsahu 400-600MPa určenému normou, další výpočet odpovídá postupům EC2

### Vnitřní síly - základní návrhová (MSÚ)

č.	Název zatěžovacího případu	N <sub>Ed</sub> [kN]	M <sub>Edy</sub> [kNm]	V <sub>Edz</sub> [kN]	QP koef. [-]
1	Zat. případ 2	0,00	0,00	78,30	1,000

### Podélná výztuž

Počet	Profil [mm]	Krytí [mm]	Umístění
2	22	27,5	dolní výztuž



S tlačnou výztuží je počítáno.

### Smyková výztuž

#### Obvodové třmínky

Profil: 8 mm; Vzdálenost: 220,0 mm

#### Ohyby

Profil: 22 mm; Počet: 2; Sklon: 45,00 °;

#### Minimální krytí

27,5 mm (uživ.)

## 4.2 Výsledky

### Posouzení min. a max. stupně vyztužení

Nosník (tažená výztuž - minimum, celková výztuž - maximum):

$$\rho_{s,t} = 0,0102 \geq \rho_{s,min} = 0,00274 \Rightarrow \text{Vyhovuje}$$

$$\rho_s = 0,00931 \leq \rho_{s,max} = 0,04 \Rightarrow \text{Vyhovuje}$$

### Stupeň vyztužení smykovou výztuží

$$\rho_{w,min} = 0,00178 \leq \rho_w = 0,00806 \Rightarrow \text{Vyhovuje}$$

Maximální vzdálenost třmínků  $s_{l,max} = 293,6 \text{ mm} \Rightarrow \text{Vyhovuje}$

Maximální vzdálenost větví třmínků  $s_{t,max} = 293,6 \text{ mm}$

### Posouzení mezního stavu únosnosti

č.	Název	$N_{Ed}$ [kN]	$N_{Rd}$ [kN]	$M_{Edy}$ [kNm]	$M_{Rdy}$ [kNm]	$V_{Edz}$ [kN]	$V_{Rdz}$ [kN]	Využití [%]	Posouzení
1	Zat. případ 2	0,00	-1008,56	0,00	49,65	78,30	169,98	46,1	Vyhovuje

**Mezní stav únosnosti VYHOVUJE - 46,1 %**

### Celkové posouzení - Průřez VYHOVUJE

Využití: 46,1 %

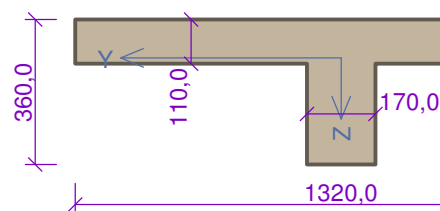
## 5 NV4 (T)\_(M)

### 5.1 Vstupní data

Typ prvku: nosník

Prostředí: X0

#### Průřez



#### Materiály

##### Beton: C 16/20

$$f_{ck} = 16,0 \text{ MPa}; f_{ctm} = 1,9 \text{ MPa}; E_{cm} = 29000 \text{ MPa}$$

##### Ocel podélná: hladká bez bližšího určení (uživ.)

$$f_{yk} = 180,0 \text{ MPa}; E_s = 200000 \text{ MPa}$$

##### Ocel příčná: hladká bez bližšího určení (uživ.)

$$f_{yk} = 180,0 \text{ MPa}; E_s = 200000 \text{ MPa}$$

Pevnost oceli neodpovídá rozsahu 400-600MPa určenému normou, další výpočet odpovídá postupům EC2

### Vnitřní síly - základní návrhová (MSÚ)

č.	Název zatěžovacího případu	$N_{Ed}$ [kN]	$M_{Edy}$ [kNm]	$V_{Edz}$ [kN]	QP koef. [-]
1	Zat. případ 1	0,00	50,00	0,00	1,000

**Podélná výztuž**

Počet	Profil [mm]	Krytí [mm]	Umístění
4	18	26,2	dolní výztuž

S tlačnou výztuží je počítáno.

**Smyková výztuž****Obvodové třmínky**

Profil: 8 mm; Vzdálenost: 220,0 mm

**Ohyby**

Profil: 22 mm; Počet: 2; Sklon: 45,00 °;

**Minimální krytí**

26,2 mm (uživ.)

**5.2 Výsledky****Posouzení min. a max. stupně vyztužení**

Nosník (tažená výztuž - minimum, celková výztuž - maximum):

$$\rho_{s,t} = 0,00655 \geq \rho_{s,min} = 0,00274 \Rightarrow \text{Vyhovuje}$$

$$\rho_s = 0,00542 \leq \rho_{s,max} = 0,04 \Rightarrow \text{Vyhovuje}$$

**Stupeň vyztužení smykovou výztuží**

$$\rho_{w,min} = 0,00178 \leq \rho_w = 0,00901 \Rightarrow \text{Vyhovuje}$$

$$\text{Maximální vzdálenost třmínků } s_{l,max} = 243,6 \text{ mm} \Rightarrow \text{Vyhovuje}$$

$$\text{Maximální vzdálenost větví třmínků } s_{t,max} = 243,6 \text{ mm}$$

**Posouzení mezního stavu únosnosti**

č.	Název	$N_{Ed}$ [kN]	$N_{Rd}$ [kN]	$M_{Edy}$ [kNm]	$M_{Rdy}$ [kNm]	$V_{Edz}$ [kN]	$V_{Rdz}$ [kN]	Využití [%]	Posouzení
1	Zat. případ 1	0,00	0,00	50,00	62,33	0,00	0,00	80,2	Vyhovuje

**Mezní stav únosnosti VYHOVUJE - 80,2 %**

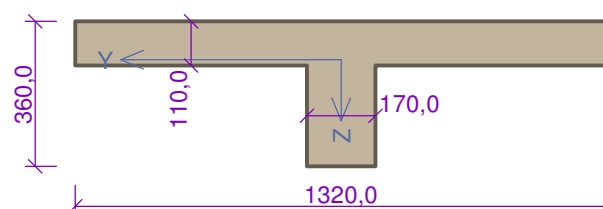
**Celkové posouzení - Průřez VYHOVUJE**

Využití: 80,2 %

**6 NV4 (T)\_(V)****6.1 Vstupní data**

Typ prvku: nosník

Prostředí: X0

**Průřez****Materiály****Beton: C 16/20**

$$f_{ck} = 16,0 \text{ MPa}; f_{ctm} = 1,9 \text{ MPa}; E_{cm} = 29000 \text{ MPa}$$

**Ocel podélná: hladká bez bližšího určení (uživ.)**

$$f_{yk} = 180,0 \text{ MPa}; E_s = 200000 \text{ MPa}$$

**Ocel příčná: hladká bez bližšího určení (uživ.)**

$$f_{yk} = 180,0 \text{ MPa}; E_s = 200000 \text{ MPa}$$

Pevnost oceli neodpovídá rozsahu 400-600MPa určenému normou, další výpočet odpovídá postupům EC2

### Vnitřní síly - základní návrhová (MSÚ)

č.	Název zatěžovacího případu	$N_{Ed}$ [kN]	$M_{Edy}$ [kNm]	$V_{Edz}$ [kN]	QP koef. [-]
1	Zat. případ 1	0,00	0,00	54,00	1,000

### Podélná výztuž

Počet	Profil [mm]	Krytí [mm]	Umístění
2	18	26,2	dolní výztuž

S tlačnou výztuží je počítáno.

### Smyková výztuž

#### Obvodové třmínky

Profil: 8 mm; Vzdálenost: 220,0 mm

#### Ohyby

Profil: 18 mm; Počet: 2; Sklon: 45,00 °;

#### Minimální krytí

26,2 mm (uživ.)

## 6.2 Výsledky

### Posouzení min. a max. stupně vyztužení

Nosník (tažená výztuž - minimum, celková výztuž - maximum):

$\rho_{s,t} = 0,00317 \geq \rho_{s,min} = 0,00274 \Rightarrow$  **Vyhovuje**

$\rho_s = 0,00271 \leq \rho_{s,max} = 0,04 \Rightarrow$  **Vyhovuje**

### Stupeň vyztužení smykovou výztuží

$\rho_{w,min} = 0,00178 \leq \rho_w = 0,00692 \Rightarrow$  **Vyhovuje**

Maximální vzdálenost třmínků  $s_{l,max} = 243,6 \text{ mm} \Rightarrow$  **Vyhovuje**

Maximální vzdálenost větví třmínků  $s_{t,max} = 243,6 \text{ mm}$

### Posouzení mezního stavu únosnosti

č.	Název	$N_{Ed}$ [kN]	$N_{Rd}$ [kN]	$M_{Edy}$ [kNm]	$M_{Rdy}$ [kNm]	$V_{Edz}$ [kN]	$V_{Rdz}$ [kN]	Využití [%]	Posouzení
1	Zat. případ 1	0,00	-2093,91	0,00	31,47	54,00	130,69	41,3	Vyhovuje

**Mezní stav únosnosti VYHOVUJE - 41,3 %**

### Celkové posouzení - Průřez VYHOVUJE

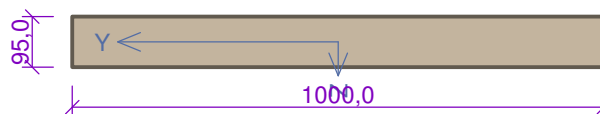
Využití: 41,3 %

## 7 NV6(d)\_(V)

### 7.1 Vstupní data

Typ prvku: deska

Prostředí: X0

**Průřez****Materiály****Beton: C 16/20**
 $f_{ck} = 16,0 \text{ MPa}$ ;  $f_{ctm} = 1,9 \text{ MPa}$ ;  $E_{cm} = 29000 \text{ MPa}$ 
**Ocel podélná: hladká bez bližšího určení (uživ.)**
 $f_{yk} = 180,0 \text{ MPa}$ ;  $E_s = 200000 \text{ MPa}$ 
**Ocel příčná: hladká bez bližšího určení (uživ.)**
 $f_{yk} = 180,0 \text{ MPa}$ ;  $E_s = 200000 \text{ MPa}$ 

Pevnost oceli neodpovídá rozsahu 400-600MPa určenému normou, další výpočet odpovídá postupům EC2

**Vnitřní síly - základní návrhová (MSÚ)**

č.	Název zatěžovacího případu	$N_{Ed}$ [kN]	$M_{Edy}$ [kNm]	$V_{Edz}$ [kN]	QP koef. [-]
1	Zat. případ 1	0,00	0,00	13,07	1,000

**Podélná výztuž**

Počet	Profil [mm]	Krytí [mm]	Umístění
8	8	10,0	dolní výztuž

S tlačnou výztuží je počítáno.

**Minimální krytí**

10,0 mm (uživ.)

**7.2 Výsledky****Posouzení min. a max. stupně vyztužení**

Deska (tažená výztuž - minimum, celková výztuž - maximum):

 $\rho_{s,t} = 0,00496 \geq \rho_{s,min} = 0,00274$ 
 $\rho_{s,t,CSN} = 0,00423 \geq \rho_{s,min,CSN} = 0,0014 \Rightarrow \text{Vyhovuje}$ 
 $\rho_s = 0,00423 \leq \rho_{s,max} = 0,04 \Rightarrow \text{Vyhovuje}$ 
**Posouzení mezního stavu únosnosti**

č.	Název	$N_{Ed}$ [kN]	$N_{Rd}$ [kN]	$M_{Edy}$ [kNm]	$M_{Rdy}$ [kNm]	$V_{Edz}$ [kN]	$V_{Rdz}$ [kN]	Využití [%]	Posouzení
1	Zat. případ 1	0,00	-1085,85	0,00	5,85	13,07	38,79	33,7	Vyhovuje

**Mezní stav únosnosti VYHOVUJE - 33,7 %**

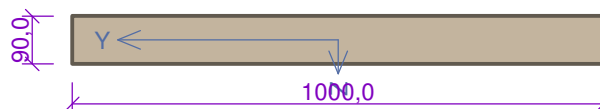
**Celkové posouzení - Průřez VYHOVUJE**

Využití: 33,7 %

**8 NV13(d)****8.1 Vstupní data**

Typ prvku: deska

Prostředí: X0

**Průřez****Materiály****Beton: C 16/20**
 $f_{ck} = 16,0 \text{ MPa}; f_{ctm} = 1,9 \text{ MPa}; E_{cm} = 29000 \text{ MPa}$ 
**Ocel podélná: hladká bez bližšího určení (uživ.)**
 $f_{yk} = 180,0 \text{ MPa}; E_s = 200000 \text{ MPa}$ 
**Ocel příčná: hladká bez bližšího určení (uživ.)**
 $f_{yk} = 180,0 \text{ MPa}; E_s = 200000 \text{ MPa}$ 

Pevnost oceli neodpovídá rozsahu 400-600MPa určenému normou, další výpočet odpovídá postupům EC2

**Vnitřní síly - základní návrhová (MSÚ)**

č.	Název zatěžovacího případu	$N_{Ed}$ [kN]	$M_{Edy}$ [kNm]	$V_{Edz}$ [kN]	QP koef. [-]
1	Zat. případ 1	0,00	3,42	0,00	1,000
2	Zat. případ 2	0,00	0,00	6,57	1,000

**Podélná výztuž**

Počet	Profil [mm]	Krytí [mm]	Umístění
8	8	10,0	dolní výztuž

S tlačnou výztuží je počítáno.

**Minimální krytí**

10,0 mm (uživ.)

**8.2 Výsledky****Posouzení min. a max. stupně vyztužení**

Deska (tažená výztuž - minimum, celková výztuž - maximum):

 $\rho_{s,t} = 0,00529 \geq \rho_{s,min} = 0,00274$ 
 $\rho_{s,t,CSN} = 0,00447 \geq \rho_{s,min,CSN} = 0,0014 \Rightarrow \text{Vyhovuje}$ 
 $\rho_s = 0,00447 \leq \rho_{s,max} = 0,04 \Rightarrow \text{Vyhovuje}$ 
**Posouzení mezního stavu únosnosti**

č.	Název	$N_{Ed}$ [kN]	$N_{Rd}$ [kN]	$M_{Edy}$ [kNm]	$M_{Rdy}$ [kNm]	$V_{Edz}$ [kN]	$V_{Rdz}$ [kN]	Využití [%]	Posouzení
1	Zat. případ 1	0,00	0,00	3,42	5,46	0,00	0,00	62,6	Vyhovuje
2	Zat. případ 2	0,00	-1032,51	0,00	5,46	6,57	37,17	17,7	Vyhovuje

**Mezní stav únosnosti VYHOVUJE - 62,6 %**

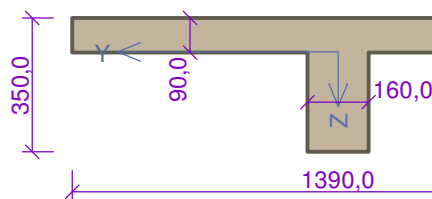
**Celkové posouzení - Průřez VYHOVUJE**

Využití: 62,6 %

**9 NV12 (T)\_(M)****9.1 Vstupní data**

Typ prvku: nosník

Prostředí: X0

**Průřez****Materiály****Beton: C 16/20**
 $f_{ck} = 16,0 \text{ MPa}$ ;  $f_{ctm} = 1,9 \text{ MPa}$ ;  $E_{cm} = 29000 \text{ MPa}$ 
**Ocel podélná: hladká bez bližšího určení (uživ.)**
 $f_{yk} = 180,0 \text{ MPa}$ ;  $E_s = 200000 \text{ MPa}$ 
**Ocel příčná: hladká bez bližšího určení (uživ.)**
 $f_{yk} = 180,0 \text{ MPa}$ ;  $E_s = 200000 \text{ MPa}$ 

Pevnost oceli neodpovídá rozsahu 400-600MPa určenému normou, další výpočet odpovídá postupům EC2

**Vnitřní síly - základní návrhová (MSÚ)**

č.	Název zatěžovacího případu	$N_{Ed}$ [kN]	$M_{Edy}$ [kNm]	$V_{Edz}$ [kN]	QP koef. [-]
1	Zat. případ 1	0,00	33,00	0,00	1,000
2	Zat. případ 2	0,00	50,92	0,00	1,000

**Podélná výztuž**

Počet	Profil [mm]	Krytí [mm]	Umístění
4	20	49,0	dolní výztuž

S tlačnou výztuží je počítáno.

**Smyková výztuž****Obvodové třmínky**

Profil: 8 mm; Vzdálenost: 220,0 mm

**Ohyby**

Profil: 22 mm; Počet: 2; Sklon: 45,00 °;

**Minimální krytí**

49,0 mm (uživ.)

**9.2 Výsledky****Posouzení min. a max. stupně vyztužení**

Nosník (tažená výztuž - minimum, celková výztuž - maximum):

 $\rho_{s,t} = 0,0103 \geq \rho_{s,min} = 0,00274 \Rightarrow \text{Vyhovuje}$ 
 $\rho_s = 0,00754 \leq \rho_{s,max} = 0,04 \Rightarrow \text{Vyhovuje}$ 
**Stupeň vyztužení smykovou výztuží**
 $\rho_{w,min} = 0,00178 \leq \rho_w = 0,00958 \Rightarrow \text{Vyhovuje}$ 

Maximální vzdálenost třmínků  $s_{l,max} = 218,3 \text{ mm} \Rightarrow \text{Vzdálenost překročena!}$

Maximální vzdálenost větví třmínků  $s_{t,max} = 218,3 \text{ mm}$

**Posouzení mezního stavu únosnosti**

č.	Název	$N_{Ed}$ [kN]	$N_{Rd}$ [kN]	$M_{Edy}$ [kNm]	$M_{Rdy}$ [kNm]	$V_{Edz}$ [kN]	$V_{Rdz}$ [kN]	Využití [%]	Posouzení
1	Zat. případ 1	0,00	0,00	33,00	68,50	0,00	0,00	48,2	Vyhovuje
2	Zat. případ 2	0,00	0,00	50,92	68,50	0,00	0,00	74,3	Vyhovuje

**Mezní stav únosnosti VYHOVUJE - 74,3 %**

**Celkové posouzení - Průřez VYHOVUJE**

Využití: 74,3 %

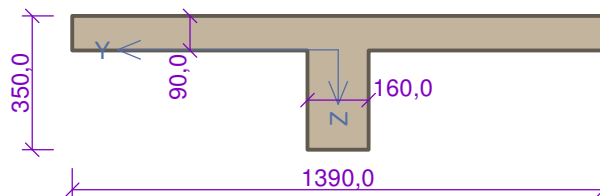
## 10 NV12 (T)\_(V)

### 10.1 Vstupní data

Typ prvku: nosník

Prostředí: X0

#### Průřez



#### Materiály

##### Beton: C 16/20

 $f_{ck} = 16,0 \text{ MPa}$ ;  $f_{ctm} = 1,9 \text{ MPa}$ ;  $E_{cm} = 29000 \text{ MPa}$ 

##### Ocel podélná: hladká bez bližšího určení (uživ.)

 $f_{yk} = 180,0 \text{ MPa}$ ;  $E_s = 200000 \text{ MPa}$ 

##### Ocel příčná: hladká bez bližšího určení (uživ.)

 $f_{yk} = 180,0 \text{ MPa}$ ;  $E_s = 200000 \text{ MPa}$ 

Pevnost oceli neodpovídá rozsahu 400-600MPa určenému normou, další výpočet odpovídá postupům EC2

#### Vnitřní síly - základní návrhová (MSÚ)

č.	Název zatěžovacího případu	$N_{Ed}$ [kN]	$M_{Edy}$ [kNm]	$V_{Edz}$ [kN]	QP koef. [-]
1	Zat. případ 1	0,00	0,00	31,50	1,000
2	Zat. případ 2	0,00	0,00	44,02	1,000

#### Podélná výztuž

Počet	Profil [mm]	Krytí [mm]	Umístění
2	20	49,0	dolní výztuž

S tlačnou výztuží je počítáno.

#### Smyková výztuž

##### Obvodové třmínky

Profil: 8 mm; Vzdálenost: 400,0 mm

##### Ohyby

Profil: 20 mm; Počet: 2; Sklon: 45,00 °;

##### Minimální krytí

49,0 mm (uživ.)

### 10.2 Výsledky

#### Posouzení min. a max. stupně vyztužení

Nosník (tažená výztuž - minimum, celková výztuž - maximum):

 $\rho_{s,t} = 0,00487 \geq \rho_{s,min} = 0,00274 \Rightarrow$  **Vyhovuje** $\rho_s = 0,00377 \leq \rho_{s,max} = 0,04 \Rightarrow$  **Vyhovuje**

#### Stupeň vyztužení smykovou výztuží

 $\rho_{w,min} = 0,00178 \leq \rho_w = 0,00712 \Rightarrow$  **Vyhovuje**Maximální vzdálenost třmínků  $s_{l,max} = 218,3 \text{ mm} \Rightarrow$  **Vzdálenost překročena!**Maximální vzdálenost větví třmínků  $s_{t,max} = 218,3 \text{ mm}$ 

#### Posouzení mezního stavu únosnosti

č.	Název	$N_{Ed}$ [kN]	$N_{Rd}$ [kN]	$M_{Edy}$ [kNm]	$M_{Rdy}$ [kNm]	$V_{Edz}$ [kN]	$V_{Rdz}$ [kN]	Využití [%]	Posouzení
1	Zat. případ 1	0,00	-1891,43	0,00	34,71	31,50	112,35	28,0	Vyhovuje
2	Zat. případ 2	0,00	-1891,43	0,00	34,71	44,02	112,35	39,2	Vyhovuje

**Mezní stav únosnosti VYHOVUJE - 39,2 %**

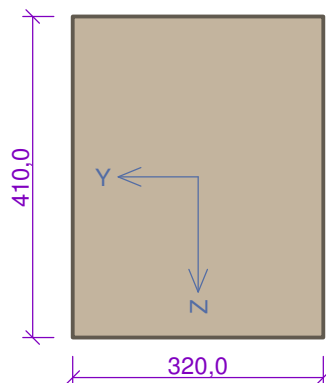
**Celkové posouzení - Průřez VYHOVUJE**

Využití: 39,2 %

**11 NV14 (P) (M)****11.1 Vstupní data**

Typ prvku: nosník

Prostředí: X0

**Průřez****Materiály****Beton: C 16/20** $f_{ck} = 16,0 \text{ MPa}$ ;  $f_{ctm} = 1,9 \text{ MPa}$ ;  $E_{cm} = 29000 \text{ MPa}$ **Ocel podélná: hladká bez bližšího určení (uživ.)** $f_{yk} = 180,0 \text{ MPa}$ ;  $E_s = 200000 \text{ MPa}$ **Ocel příčná: hladká bez bližšího určení (uživ.)** $f_{yk} = 180,0 \text{ MPa}$ ;  $E_s = 200000 \text{ MPa}$ 

Pevnost oceli neodpovídá rozsahu 400-600MPa určenému normou, další výpočet odpovídá postupům EC2

**Vnitřní síly - základní návrhová (MSÚ)**

č.	Název zatěžovacího případu	$N_{Ed}$ [kN]	$M_{Edy}$ [kNm]	$V_{Edz}$ [kN]	QP koef. [-]
1	Zat. případ 2	0,00	75,88	0,00	1,000

**Podélná výztuž**

Počet	Profil [mm]	Krytí [mm]	Umístění
4	20	19,0	dolní výztuž

S tlačnou výztuží je počítáno.

**Smyková výztuž****Obvodové třmínky**

Profil: 8 mm; Vzdálenost: 150,0 mm

**Ohyby**

Profil: 30 mm; Počet: 2; Sklon: 45,00 °;

**Minimální krytí**

19,0 mm (uživ.)

**11.2 Výsledky****Posouzení min. a max. stupně vyztužení**

Nosník (tažená výztuž - minimum, celková výztuž - maximum):

 $\rho_{s,t} = 0,0103 \geq \rho_{s,min} = 0,00274 \Rightarrow \text{Vyhovuje}$  $\rho_s = 0,00958 \leq \rho_{s,max} = 0,04 \Rightarrow \text{Vyhovuje}$ **Stupeň vyztužení smykovou výztuží** $\rho_{w,min} = 0,00178 \leq \rho_w = 0,00834 \Rightarrow \text{Vyhovuje}$ Maximální vzdálenost třmínků  $s_{l,max} = 285,8 \text{ mm} \Rightarrow \text{Vyhovuje}$ Maximální vzdálenost větví třmínků  $s_{t,max} = 285,8 \text{ mm}$



### Posouzení mezního stavu únosnosti

č.	Název	$N_{Ed}$ [kN]	$N_{Rd}$ [kN]	$M_{Edy}$ [kNm]	$M_{Rdy}$ [kNm]	$V_{Edz}$ [kN]	$V_{Rdz}$ [kN]	Využití [%]	Posouzení
1	Zat. případ 2	0,00	0,00	75,88	79,79	0,00	0,00	95,1	Vyhovuje

**Mezní stav únosnosti VYHOVUJE - 95,1 %**

### Celkové posouzení - Průřez VYHOVUJE

Využití: 95,1 %

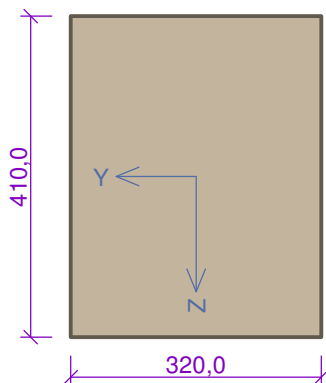
## 12 NV14 (P) (V)

### 12.1 Vstupní data

Typ prvku: nosník

Prostředí: X0

#### Průřez



#### Materiály

##### Beton: C 16/20

$f_{ck} = 16,0$  MPa;  $f_{ctm} = 1,9$  MPa;  $E_{cm} = 29000$  MPa

##### Ocel podélná: hladká bez bližšího určení (uživ.)

$f_{yk} = 180,0$  MPa;  $E_s = 200000$  MPa

##### Ocel příčná: hladká bez bližšího určení (uživ.)

$f_{yk} = 180,0$  MPa;  $E_s = 200000$  MPa

Pevnost oceli neodpovídá rozsahu 400-600MPa určenému normou, další výpočet odpovídá postupům EC2

#### Vnitřní síly - základní návrhová (MSÚ)

č.	Název zatěžovacího případu	$N_{Ed}$ [kN]	$M_{Edy}$ [kNm]	$V_{Edz}$ [kN]	QP koef. [-]
1	Zat. případ 2	0,00	0,00	53,77	1,000

#### Podélná výztuž

Počet	Profil [mm]	Krytí [mm]	Umístění
2	20	19,0	dolní výztuž

S tlačnou výztuží je počítáno.

#### Smyková výztuž

##### Obvodové třmínky

Profil: 8 mm; Vzdálenost: 290,0 mm

##### Minimální krytí

19,0 mm (uživ.)

## 12.2 Výsledky

### Posouzení min. a max. stupně vyztužení

Nosník (tažená výztuž - minimum, celková výztuž - maximum):

$\rho_{s,t} = 0,00515 \geq \rho_{s,min} = 0,00274 \Rightarrow$  **Vyhovuje**

$\rho_s = 0,00479 \leq \rho_{s,max} = 0,04 \Rightarrow$  **Vyhovuje**

### Stupeň vyztužení smykovou výztuží

$\rho_{w,min} = 0,00178 > \rho_w = 0,00108 \Rightarrow$  **Příliš málo smykové výztuže**

Maximální vzdálenost třmínků  $s_{l,max} = 285,8 \text{ mm} \Rightarrow$  **Vzdálenost překročena!**

Maximální vzdálenost větví třmínků  $s_{t,max} = 285,8 \text{ mm}$

#### Posouzení mezního stavu únosnosti

č.	Název	$N_{Ed}$ [kN]	$N_{Rd}$ [kN]	$M_{Edy}$ [kNm]	$M_{Rdy}$ [kNm]	$V_{Edz}$ [kN]	$V_{Rdz}$ [kN]	Využití [%]	Posouzení
1	Zat. případ 2	0,00	-1512,77	0,00	42,87	53,77	56,64	94,9	Vyhovuje

**Mezní stav únosnosti VYHOVUJE - 94,9 %**

#### Celkové posouzení - Průřez VYHOVUJE

Využití: 94,9 %

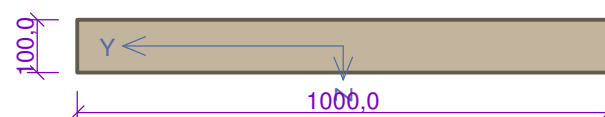
## 13 NV1(d)-(5kN/m2)

### 13.1 Vstupní data

Typ prvku: deska

Prostředí: X0

#### Průřez



#### Materiály

**Beton: C 16/20**

$f_{ck} = 16,0 \text{ MPa}$ ;  $f_{ctm} = 1,9 \text{ MPa}$ ;  $E_{cm} = 29000 \text{ MPa}$

**Ocel podélná: hladká bez bližšího určení (uživ.)**

$f_{yk} = 180,0 \text{ MPa}$ ;  $E_s = 200000 \text{ MPa}$

**Ocel příčná: hladká bez bližšího určení (uživ.)**

$f_{yk} = 180,0 \text{ MPa}$ ;  $E_s = 200000 \text{ MPa}$

Pevnost oceli neodpovídá rozsahu 400-600MPa určenému normou, další výpočet odpovídá postupům EC2

#### Vnitřní síly - základní návrhová (MSÚ)

č.	Název zatěžovacího případu	$N_{Ed}$ [kN]	$M_{Edy}$ [kNm]	$V_{Edz}$ [kN]	QP koef. [-]
1	Zat. případ 1	0,00	6,37	0,00	1,000
2	Zat. případ 2	0,00	0,00	12,44	1,000

#### Podélná výztuž

Počet	Profil [mm]	Krytí [mm]	Umístění
9	8	10,0	dolní výztuž

S tlačnou výztuží je počítáno.

#### Minimální krytí

10,0 mm (uživ.)

## 13.2 Výsledky

#### Posouzení min. a max. stupně vyztužení

Deska (tažená výztuž - minimum, celková výztuž - maximum):

$\rho_{s,t} = 0,00526 \geq \rho_{s,min} = 0,00274$

$\rho_{s,t,CSN} = 0,00452 \geq \rho_{s,min,CSN} = 0,0014 \Rightarrow$  **Vyhovuje**

$\rho_s = 0,00452 \leq \rho_{s,max} = 0,04 \Rightarrow$  **Vyhovuje**

### Posouzení mezního stavu únosnosti

č.	Název	$N_{Ed}$ [kN]	$N_{Rd}$ [kN]	$M_{Edy}$ [kNm]	$M_{Rdy}$ [kNm]	$V_{Edz}$ [kN]	$V_{Rdz}$ [kN]	Využití [%]	Posouzení
1	Zat. případ 1	0,00	0,00	6,37	6,95	0,00	0,00	91,6	Vyhovuje
2	Zat. případ 2	0,00	-1148,24	0,00	6,95	12,44	41,98	29,6	Vyhovuje

**Mezní stav únosnosti VYHOVUJE - 91,6 %**

### Celkové posouzení - Průřez VYHOVUJE

Využití: 91,6 %

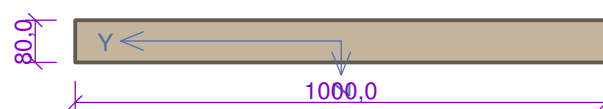
## 14 NV15(d)-(5kN/m2)

### 14.1 Vstupní data

Typ prvku: deska

Prostředí: X0

#### Průřez



#### Materiály

##### Beton: C 16/20

$f_{ck} = 16,0$  MPa;  $f_{ctm} = 1,9$  MPa;  $E_{cm} = 29000$  MPa

##### Ocel podélná: hladká bez bližšího určení (uživ.)

$f_{yk} = 180,0$  MPa;  $E_s = 200000$  MPa

##### Ocel příčná: hladká bez bližšího určení (uživ.)

$f_{yk} = 180,0$  MPa;  $E_s = 200000$  MPa

Pevnost oceli neodpovídá rozsahu 400-600MPa určenému normou, další výpočet odpovídá postupům EC2

### Vnitřní síly - základní návrhová (MSÚ)

č.	Název zatěžovacího případu	$N_{Ed}$ [kN]	$M_{Edy}$ [kNm]	$V_{Edz}$ [kN]	QP koef. [-]
1	Zat. případ 1	0,00	7,36	0,00	1,000
2	Zat. případ 2	0,00	0,00	13,34	1,000

#### Podélná výztuž

Počet	Profil [mm]	Krytí [mm]	Umístění
9	8	5,0	dolní výztuž

S tlačnou výztuží je počítáno.

#### Minimální krytí

5,0 mm (uživ.)

## 14.2 Výsledky

### Posouzení min. a max. stupně vyztužení

Deska (tažená výztuž - minimum, celková výztuž - maximum):

$\rho_{s,t} = 0,00637 \geq \rho_{s,min} = 0,00274$

$\rho_{s,t,CSN} = 0,00565 \geq \rho_{s,min,CSN} = 0,0014 \Rightarrow$  **Vyhovuje**

$\rho_s = 0,00565 \leq \rho_{s,max} = 0,04 \Rightarrow$  **Vyhovuje**

### Posouzení mezního stavu únosnosti

č.	Název	$N_{Ed}$ [kN]	$N_{Rd}$ [kN]	$M_{Edy}$ [kNm]	$M_{Rdy}$ [kNm]	$V_{Edz}$ [kN]	$V_{Rdz}$ [kN]	Využití [%]	Posouzení
1	Zat. případ 1	<b>0,00</b>	0,00	<b>7,36</b>	5,64	0,00	0,00	130,5	Nevyhovuje

č.	Název	$N_{Ed}$ [kN]	$N_{Rd}$ [kN]	$M_{Edy}$ [kNm]	$M_{Rdy}$ [kNm]	$V_{Edz}$ [kN]	$V_{Rdz}$ [kN]	Využití [%]	Posouzení
2	Zat. případ 2	0,00	-934,91	0,00	5,64	13,34	36,95	36,1	Vyhovuje

**Mezní stav únosnosti NEVYHOVUJE - 130,5 %**

**Celkové posouzení - Průřez NEVYHOVUJE**

Využití: 130,5 %

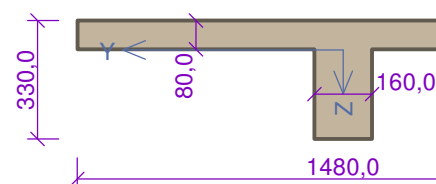
## 15 NV16 (T)\_(M)

### 15.1 Vstupní data

Typ prvku: nosník

Prostředí: X0

**Průřez**



**Materiály**

**Beton: C 16/20**

$f_{ck} = 16,0$  MPa;  $f_{ctm} = 1,9$  MPa;  $E_{cm} = 29000$  MPa

**Ocel podélná: hladká bez bližšího určení (uživ.)**

$f_{yk} = 180,0$  MPa;  $E_s = 200000$  MPa

**Ocel příčná: hladká bez bližšího určení (uživ.)**

$f_{yk} = 180,0$  MPa;  $E_s = 200000$  MPa

Pevnost oceli neodpovídá rozsahu 400-600MPa určenému normou, další výpočet odpovídá postupům EC2

**Vnitřní síly - základní návrhová (MSÚ)**

č.	Název zatěžovacího případu	$N_{Ed}$ [kN]	$M_{Edy}$ [kNm]	$V_{Edz}$ [kN]	QP koef. [-]
1	Zat. případ 1	0,00	73,85	0,00	1,000

**Podélná výztuž**

Počet	Profil [mm]	Krytí [mm]	Umístění
2	22	25,0	dolní výztuž
2	20	30,0	dolní výztuž

S tlačnou výztuží je počítáno.

**Smyková výztuž**

Průřez bez smykové výztuže.

**Minimální krytí**

25,0 mm (uživ.)

### 15.2 Výsledky

**Posouzení min. a max. stupně vyztužení**

Nosník (tažená výztuž - minimum, celková výztuž - maximum):

$\rho_{s,t} = 0,0115 \geq \rho_{s,min} = 0,00274 \Rightarrow$  **Vyhovuje**

$\rho_s = 0,00877 \leq \rho_{s,max} = 0,04 \Rightarrow$  **Vyhovuje**

**Posouzení mezního stavu únosnosti**

č.	Název	$N_{Ed}$ [kN]	$N_{Rd}$ [kN]	$M_{Edy}$ [kNm]	$M_{Rdy}$ [kNm]	$V_{Edz}$ [kN]	$V_{Rdz}$ [kN]	Využití [%]	Posouzení
1	Zat. případ 1	0,00	0,00	73,85	75,90	0,00	0,00	97,3	Vyhovuje

**Mezní stav únosnosti VYHOVUJE - 97,3 %**

**Celkové posouzení - Průřez VYHOVUJE**

Využití: 97,3 %

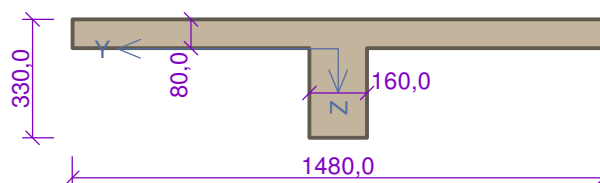
## 16 NV16 (T)\_(V)

### 16.1 Vstupní data

Typ prvku: nosník

Prostředí: X0

#### Průřez



#### Materiály

**Beton: C 16/20**

$f_{ck} = 16,0 \text{ MPa}$ ;  $f_{ctm} = 1,9 \text{ MPa}$ ;  $E_{cm} = 29000 \text{ MPa}$

**Ocel podélná: hladká bez bližšího určení (uživ.)**

$f_{yk} = 180,0 \text{ MPa}$ ;  $E_s = 200000 \text{ MPa}$

**Ocel příčná: hladká bez bližšího určení (uživ.)**

$f_{yk} = 180,0 \text{ MPa}$ ;  $E_s = 200000 \text{ MPa}$

Pevnost oceli neodpovídá rozsahu 400-600MPa určenému normou, další výpočet odpovídá postupům EC2

#### Vnitřní síly - základní návrhová (MSÚ)

č.	Název zatěžovacího případu	$N_{Ed}$ [kN]	$M_{Edy}$ [kNm]	$V_{Edz}$ [kN]	QP koef. [-]
1	Zat. případ 2	0,00	0,00	64,78	1,000

#### Podélná výztuž

Počet	Profil [mm]	Krytí [mm]	Umístění
2	22	25,0	dolní výztuž
2	20	30,0	dolní výztuž

S tlačnou výztuží je počítáno.

#### Smyková výztuž

**Obvodové třmínky**

Profil: 6 mm; Vzdálenost: 330,0 mm

**Ohyby**

Profil: 21 mm; Počet: 2; Sklon: 45,00 °;

#### Minimální krytí

25,0 mm (uživ.)

### 16.2 Výsledky

#### Posouzení min. a max. stupně vyztužení

Nosník (tažená výztuž - minimum, celková výztuž - maximum):

$\rho_{s,t} = 0,0115 \geq \rho_{s,min} = 0,00274 \Rightarrow$  **Vyhovuje**

$\rho_s = 0,00877 \leq \rho_{s,max} = 0,04 \Rightarrow$  **Vyhovuje**

#### Stupeň vyztužení smykovou výztuží

$\rho_{w,min} = 0,00178 \leq \rho_w = 0,00719 \Rightarrow$  **Vyhovuje**

Maximální vzdálenost třmínků  $s_{l,max} = 219,1 \text{ mm} \Rightarrow$  **Vzdálenost překročena!**

Maximální vzdálenost větví třmínků  $s_{t,max} = 219,1 \text{ mm}$

**Alespoň  $\beta_3$  (0,5) násobek požadované smykové výztuže musejí tvořit třmínky**

## Posouzení mezního stavu únosnosti

č.	Název	$N_{Ed}$ [kN]	$N_{Rd}$ [kN]	$M_{Edy}$ [kNm]	$M_{Rdy}$ [kNm]	$V_{Edz}$ [kN]	$V_{Rdz}$ [kN]	Využití [%]	Posouzení
1	Zat. případ 2	0,00	-1939,99	0,00	75,90	64,78	110,03	58,9	Vyhovuje

Mezní stav únosnosti VYHOVUJE - 58,9 %

## Celkové posouzení - Průřez VYHOVUJE

Využití: 58,9 %

## 17 NS1(SL)-sloup v 1. NP

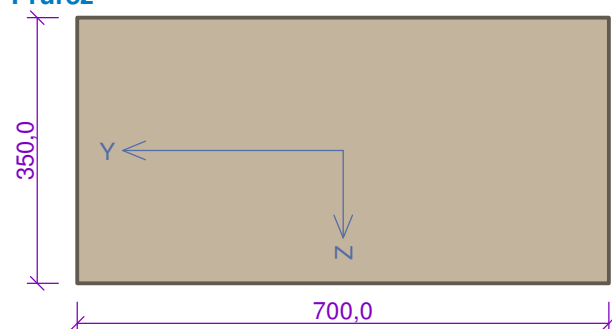
## 17.1 Vstupní data

Typ prvku: sloup

Prostředí: XC1

Délka dílce: 3,35m

## Průřez



## Materiály

## Beton: C 16/20

 $f_{ck} = 16,0$  MPa;  $f_{ctm} = 1,9$  MPa;  $E_{cm} = 29000$  MPa

## Ocel podélná: hladká bez bližšího určení (uživ.)

 $f_{yk} = 180,0$  MPa;  $E_s = 200000$  MPa

## Ocel příčná: hladká bez bližšího určení (uživ.)

 $f_{yk} = 180,0$  MPa;  $E_s = 200000$  MPa

Pevnost oceli neodpovídá rozsahu 400-600MPa určenému normou, další výpočet odpovídá postupům EC2

## Vnitřní síly - základní návrhová (MSÚ)

č.	Název zatěžovacího případu	$N_{Ed}$ [kN]	$M_{Edy}$ [kNm]	$M_{Edz}$ [kNm]	$V_{Edz}$ [kN]	$V_{Edy}$ [kN]	$T_{Ed}$ [kNm]	QP koef. [-]
1	Zat. případ 1	-884,00	0,00	0,00	0,00	0,00	0,00	1,000

## Podélná výztuž

Číslo	Y [mm]	Z [mm]	Profil [mm]
1	420,0	300,0	20
2	190,0	300,0	20
3	615,0	300,0	20
4	345,0	70,0	20
5	125,0	70,0	20
6	530,0	70,0	20

Počátek souřadného systému je v levém dolním rohu obálky průřezu

S tlačnou výztuží je počítáno.

## Smyková výztuž

## Obvodové třmínky

Profil: 8 mm; Vzdálenost: 200,0 mm

## Minimální krytí

40,0 mm (uživ.)

## 17.2 Výsledky

### Posouzení min. a max. stupně vyztužení

Sloup (celková výztuž):

$$\rho_s = 0,00769 \geq \rho_{s,min} = 0,002 \Rightarrow \text{Vyhovuje}$$

$$\rho_s = 0,00769 \leq \rho_{s,max} = 0,04 \Rightarrow \text{Vyhovuje}$$

### Posouzení konstrukčních zásad třmínků

Minimální průměr třmínků  $d = 6 \text{ mm} \Rightarrow \text{Vyhovuje}$

Maximální vzdálenost třmínků  $s_{cl,max} = 350,0 \text{ mm} \Rightarrow \text{Vyhovuje}$

### Posouzení mezního stavu únosnosti

č.	Název	$N_{Ed}$ $N_{Rd}$ [kN]	$M_{Edy}$ $M_{Rdy}$ [kNm]	$M_{Edz}$ $M_{Rdz}$ [kNm]	$V_{Edz}$ $V_{Rdz}$ [kN]	$V_{Edy}$ $V_{Rdy}$ [kN]	Využití [%]	Posouzení
1	Zat. případ 1	-884,00 -2953,23	0,00 → 3,38 113,96	0,00 -99,22	0,00 0,00	0,00 0,00	29,9	Vyhovuje

**Mezní stav únosnosti VYHOVUJE - 29,9 %**

### Celkové posouzení - Průřez VYHOVUJE

Využití: 29,9 %

## 18 NS5(SL)- sloup v 5. NP

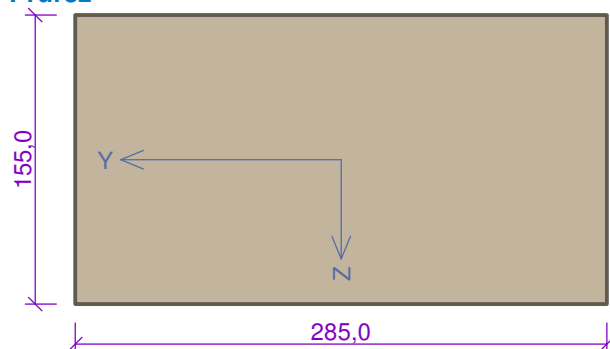
### 18.1 Vstupní data

Typ prvku: sloup

Prostředí: XC1

Délka dílce: 3,35m

#### Průřez



#### Materiály

**Beton: C 16/20**

$f_{ck} = 16,0 \text{ MPa}$ ;  $f_{ctm} = 1,9 \text{ MPa}$ ;  $E_{cm} = 29000 \text{ MPa}$

**Ocel podélná: hladká bez bližšího určení (uživ.)**

$f_{yk} = 180,0 \text{ MPa}$ ;  $E_s = 200000 \text{ MPa}$

**Ocel příčná: hladká bez bližšího určení (uživ.)**

$f_{yk} = 180,0 \text{ MPa}$ ;  $E_s = 200000 \text{ MPa}$

Pevnost oceli neodpovídá rozsahu 400-600MPa určenému normou, další výpočet odpovídá postupům EC2

### Vnitřní síly - základní návrhová (MSÚ)

č.	Název zatěžovacího případu	$N_{Ed}$ [kN]	$M_{Edy}$ [kNm]	$M_{Edz}$ [kNm]	$V_{Edz}$ [kN]	$V_{Edy}$ [kN]	$T_{Ed}$ [kNm]	QP koef. [-]
1	Zat. případ 1	-125,00	0,00	0,00	0,00	0,00	0,00	1,000

### Podélná výztuž

Počet	Profil [mm]	Krytí [mm]	Umístění
2	12	45,0	horní výztuž
2	12	45,0	dolní výztuž

S tlačnou výztuží je počítáno.

### Smyková výztuž

### Obvodové třmínky

Profil: 8 mm; Vzdálenost: 200,0 mm

**Minimální krytí**

45,0 mm (uživ.)

**18.2 Výsledky****Posouzení min. a max. stupně vyztužení**

Sloup (celková výztuž):

 $\rho_s = 0,0102 \geq \rho_{s,min} = 0,002 \Rightarrow$  **Vyhovuje** $\rho_s = 0,0102 \leq \rho_{s,max} = 0,04 \Rightarrow$  **Vyhovuje****Posouzení konstrukčních zásad třmínků**Minimální průměr třmínků  $d = 6 \text{ mm} \Rightarrow$  **Vyhovuje**Maximální vzdálenost třmínků  $s_{cl,max} = 155,0 \text{ mm} \Rightarrow$  **Nevyhovuje****Posouzení mezního stavu únosnosti**

č.	Název	$N_{Ed}$ $N_{Rd}$ [kN]	$M_{Edy}$ $M_{Rdy}$ [kNm]	$M_{Edz}$ $M_{Rdz}$ [kNm]	$V_{Edz}$ $V_{Rdz}$ [kN]	$V_{Edy}$ $V_{Rdy}$ [kN]	Využití [%]	Posouzení
1	Zat. případ 1	-125,00 -552,78	0,00 $\rightarrow$ 3,74 9,04	0,00 $\rightarrow$ -1,86 -4,49	0,00 0,00	0,00 0,00	41,4	Vyhovuje

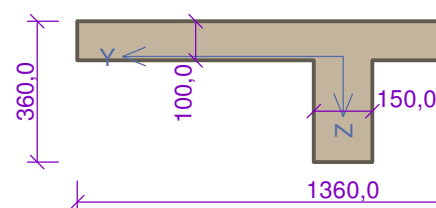
**Mezní stav únosnosti VYHOVUJE - 41,4 %****Celkové posouzení - Průřez VYHOVUJE**

Využití: 41,4 %

**19 NV10 (T)\_strop nad 4. NP****19.1 Vstupní data**

Typ prvku: nosník

Prostředí: X0

**Průřez****Materiály****Beton: C 16/20** $f_{ck} = 16,0 \text{ MPa}$ ;  $f_{ctm} = 1,9 \text{ MPa}$ ;  $E_{cm} = 29000 \text{ MPa}$ **Ocel podélná: hladká bez bližšího určení (uživ.)** $f_{yk} = 180,0 \text{ MPa}$ ;  $E_s = 200000 \text{ MPa}$ **Ocel příčná: hladká bez bližšího určení (uživ.)** $f_{yk} = 180,0 \text{ MPa}$ ;  $E_s = 200000 \text{ MPa}$ 

Pevnost oceli neodpovídá rozsahu 400-600MPa určenému normou, další výpočet odpovídá postupům EC2

**Vnitřní síly - základní návrhová (MSÚ)**

č.	Název zatěžovacího případu	$N_{Ed}$ [kN]	$M_{Edy}$ [kNm]	$V_{Edz}$ [kN]	QP koef. [-]
1	Zat. případ 1	0,00	37,62	0,00	1,000
2	Zat. případ 2	0,00	0,00	38,39	1,000

**Podélná výztuž**

Počet	Profil [mm]	Krytí [mm]	Umístění
4	14	53,8	dolní výztuž

S tlačnou výztuží je počítáno.



### Smyková výztuž

#### Obvodové třmínky

Profil: 8 mm; Vzdálenost: 240,0 mm

#### Minimální krytí

53,8 mm (uživ.)

## 19.2 Výsledky

### Posouzení min. a max. stupně vyztužení

Nosník (tažená výztuž - minimum, celková výztuž - maximum):

$$\rho_{s,t} = 0,00453 \geq \rho_{s,min} = 0,00274 \Rightarrow \text{Vyhovuje}$$

$$\rho_s = 0,00352 \leq \rho_{s,max} = 0,04 \Rightarrow \text{Vyhovuje}$$

### Stupeň vyztužení smykovou výztuží

$$\rho_{w,min} = 0,00178 \leq \rho_w = 0,00279 \Rightarrow \text{Vyhovuje}$$

Maximální vzdálenost třmínků  $s_{l,max} = 224,4 \text{ mm} \Rightarrow \text{Vzdálenost překročena!}$

Maximální vzdálenost větví třmínků  $s_{t,max} = 224,4 \text{ mm}$

### Posouzení mezního stavu únosnosti

č.	Název	$N_{Ed}$ [kN]	$N_{Rd}$ [kN]	$M_{Edy}$ [kNm]	$M_{Rdy}$ [kNm]	$V_{Edz}$ [kN]	$V_{Rdz}$ [kN]	Využití [%]	Posouzení
1	Zat. případ 1	0,00	0,00	37,62	34,98	0,00	0,00	107,5	Nevyhovuje
2	Zat. případ 2	0,00	-1977,70	0,00	34,98	38,39	55,50	69,2	Vyhovuje

**Mezní stav únosnosti NEVYHOVUJE - 107,5 %**

### Celkové posouzení - Průřez NEVYHOVUJE

Využití: 107,5 %

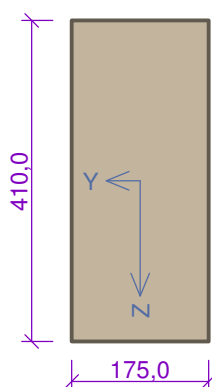
## 20 NV9 (P) (M)\_strop nad 4. NP

### 20.1 Vstupní data

Typ prvku: nosník

Prostředí: X0

#### Průřez



#### Materiály

##### Beton: C 16/20

$f_{ck} = 16,0 \text{ MPa}$ ;  $f_{ctm} = 1,9 \text{ MPa}$ ;  $E_{cm} = 29000 \text{ MPa}$

##### Ocel podélná: hladká bez bližšího určení (uživ.)

$f_{yk} = 180,0 \text{ MPa}$ ;  $E_s = 200000 \text{ MPa}$

##### Ocel příčná: hladká bez bližšího určení (uživ.)

$f_{yk} = 180,0 \text{ MPa}$ ;  $E_s = 200000 \text{ MPa}$

Pevnost oceli neodpovídá rozsahu 400-600MPa určenému normou, další výpočet odpovídá postupům EC2

### Vnitřní síly - základní návrhová (MSÚ)

č.	Název zatěžovacího případu	$N_{Ed}$ [kN]	$M_{Edy}$ [kNm]	$V_{Edz}$ [kN]	QP koef. [-]
1	Zat. případ 1	0,00	87,53	0,00	1,000
2	Zat. případ 2	0,00	0,00	67,31	1,000

### Podélná výztuž

Počet	Profil [mm]	Krytí [mm]	Umístění
4	22	47,5	dolní výztuž

S tlačnou výztuží je počítáno.

### Smyková výztuž

#### Obvodové třmínky

Profil: 8 mm; Vzdálenost: 350,0 mm

#### Minimální krytí

47,5 mm (uživ.)

## 20.2 Výsledky

### Posouzení min. a max. stupně vyztužení

Nosník (tažená výztuž - minimum, celková výztuž - maximum):

$\rho_{s,t} = 0,0247 \geq \rho_{s,min} = 0,00274 \Rightarrow$  **Vyhovuje**

$\rho_s = 0,0212 \leq \rho_{s,max} = 0,04 \Rightarrow$  **Vyhovuje**

### Stupeň vyztužení smykovou výztuží

$\rho_{w,min} = 0,00178 > \rho_w = 0,00164 \Rightarrow$  **Příliš málo smykové výztuže**

Maximální vzdálenost třmínků  $s_{l,max} = 263,6 \text{ mm} \Rightarrow$  **Vzdálenost překročena!**

Maximální vzdálenost větví třmínků  $s_{t,max} = 263,6 \text{ mm}$

### Posouzení mezního stavu únosnosti

č.	Název	$N_{Ed}$ [kN]	$N_{Rd}$ [kN]	$M_{Edy}$ [kNm]	$M_{Rdy}$ [kNm]	$V_{Edz}$ [kN]	$V_{Rdz}$ [kN]	Využití [%]	Posouzení
1	Zat. případ 1	<b>0,00</b>	0,00	<b>87,53</b>	75,77	0,00	0,00	115,5	Nevyhovuje
2	Zat. případ 2	0,00	-1039,52	0,00	75,77	<b>67,31</b>	41,11	163,7	Nevyhovuje

**Mezní stav únosnosti NEVYHOVUJE - 163,7 %**

### Celkové posouzení - Průřez NEVYHOVUJE

Využití: 163,7 %

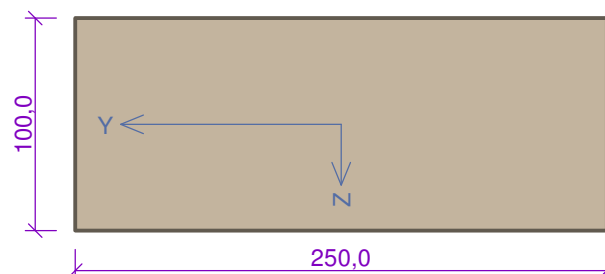
## 21 NV11(nv)\_strop nad 4. NP

### 21.1 Vstupní data

Typ prvku: nosník

Prostředí: X0

#### Průřez



#### Materiály

##### Beton: C 16/20

$f_{ck} = 16,0 \text{ MPa}$ ;  $f_{ctm} = 1,9 \text{ MPa}$ ;  $E_{cm} = 29000 \text{ MPa}$

##### Ocel podélná: hladká bez bližšího určení (uživ.)

$f_{yk} = 180,0 \text{ MPa}$ ;  $E_s = 200000 \text{ MPa}$

##### Ocel příčná: hladká bez bližšího určení (uživ.)

$f_{yk} = 180,0 \text{ MPa}$ ;  $E_s = 200000 \text{ MPa}$

Pevnost oceli neodpovídá rozsahu 400-600MPa určenému normou, další výpočet odpovídá postupům EC2

### Vnitřní síly - základní návrhová (MSÚ)

č.	Název zatěžovacího případu	$N_{Ed}$ [kN]	$M_{Edy}$ [kNm]	$V_{Edz}$ [kN]	QP koef. [-]
1	Zat. případ 1	0,00	0,00	3,11	1,000
2	Zat. případ 2	0,00	1,66	0,00	1,000

### Podélná výztuž

Počet	Profil [mm]	Krytí [mm]	Umístění
2,5	8	15,0	dolní výztuž

S tlačnou výztuží je počítáno.

### Smyková výztuž

#### Ohyby

Profil: 18 mm; Počet: 2; Sklon: 45,00 °;

#### Minimální krytí

15,0 mm (uživ.)

## 21.2 Výsledky

### Posouzení min. a max. stupně vyztužení

Nosník (tažená výztuž - minimum, celková výztuž - maximum):

$$\rho_{s,t} = 0,00621 \geq \rho_{s,min} = 0,00274 \Rightarrow \text{Vyhovuje}$$

$$\rho_s = 0,00503 \leq \rho_{s,max} = 0,04 \Rightarrow \text{Vyhovuje}$$

### Stupeň vyztužení smykovou výztuží

$$\rho_{w,min} = 0,00178 \leq \rho_w = 0,00288 \Rightarrow \text{Vyhovuje}$$

**Alespoň  $\beta_3$  (0,5) násobek požadované smykové výztuže musejí tvořit třmínky**

### Posouzení mezního stavu únosnosti

č.	Název	$N_{Ed}$ [kN]	$N_{Rd}$ [kN]	$M_{Edy}$ [kNm]	$M_{Rdy}$ [kNm]	$V_{Edz}$ [kN]	$V_{Rdz}$ [kN]	Využití [%]	Posouzení
1	Zat. případ 1	0,00	-289,33	0,00	1,79	3,11	55,28	5,6	Vyhovuje
2	Zat. případ 2	0,00	0,00	1,66	1,79	0,00	0,00	92,7	Vyhovuje

**Mezní stav únosnosti VYHOVUJE - 92,7 %**

### Celkové posouzení - Průřez VYHOVUJE

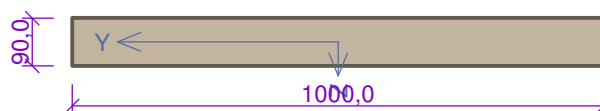
Využití: 92,7 %

## 22 NV42(d\_90)\_s podhledem

### 22.1 Vstupní data

Typ prvku: deska

Prostředí: X0

**Průřez****Materiály****Beton: C 16/20**
 $f_{ck} = 16,0 \text{ MPa}$ ;  $f_{ctm} = 1,9 \text{ MPa}$ ;  $E_{cm} = 29000 \text{ MPa}$ 
**Ocel podélná: hladká bez bližšího určení (uživ.)**
 $f_{yk} = 180,0 \text{ MPa}$ ;  $E_s = 200000 \text{ MPa}$ 
**Ocel příčná: hladká bez bližšího určení (uživ.)**
 $f_{yk} = 180,0 \text{ MPa}$ ;  $E_s = 200000 \text{ MPa}$ 

Pevnost oceli neodpovídá rozsahu 400-600MPa určenému normou, další výpočet odpovídá postupům EC2

**Vnitřní síly - základní návrhová (MSÚ)**

č.	Název zatěžovacího případu	$N_{Ed}$ [kN]	$M_{Edy}$ [kNm]	$V_{Edz}$ [kN]	QP koef. [-]
1	Zat. případ 1	0,00	4,56	0,00	1,000
2	Zat. případ 2	0,00	0,00	9,39	1,000

**Podélná výztuž**

Počet	Profil [mm]	Krytí [mm]	Umístění
9,091	8	15,0	dolní výztuž

S tlačnou výztuží je počítáno.

**Minimální krytí**

15,0 mm (uživ.)

**22.2 Výsledky****Posouzení min. a max. stupně vyztužení**

Deska (tažená výztuž - minimum, celková výztuž - maximum):

 $\rho_{s,t} = 0,00644 \geq \rho_{s,min} = 0,00274$ 
 $\rho_{s,t,CSN} = 0,00508 \geq \rho_{s,min,CSN} = 0,0014 \Rightarrow \text{Vyhovuje}$ 
 $\rho_s = 0,00508 \leq \rho_{s,max} = 0,04 \Rightarrow \text{Vyhovuje}$ 
**Posouzení mezního stavu únosnosti**

č.	Název	$N_{Ed}$ [kN]	$N_{Rd}$ [kN]	$M_{Edy}$ [kNm]	$M_{Rdy}$ [kNm]	$V_{Edz}$ [kN]	$V_{Rdz}$ [kN]	Využití [%]	Posouzení
1	Zat. případ 1	0,00	0,00	4,56	5,69	0,00	0,00	80,2	Vyhovuje
2	Zat. případ 2	0,00	-1042,40	0,00	5,69	9,39	37,07	25,3	Vyhovuje

**Mezní stav únosnosti VYHOVUJE - 80,2 %**

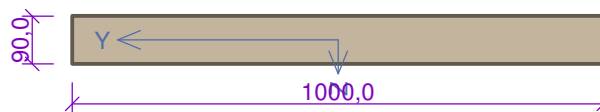
**Celkové posouzení - Průřez VYHOVUJE**

Využití: 80,2 %

**23 NV37(d\_90)\_s podhledem****23.1 Vstupní data**

Typ prvku: deska

Prostředí: X0

**Průřez****Materiály****Beton: C 16/20**
 $f_{ck} = 16,0 \text{ MPa}$ ;  $f_{ctm} = 1,9 \text{ MPa}$ ;  $E_{cm} = 29000 \text{ MPa}$ 
**Ocel podélná: hladká bez bližšího určení (uživ.)**
 $f_{yk} = 180,0 \text{ MPa}$ ;  $E_s = 200000 \text{ MPa}$ 
**Ocel příčná: hladká bez bližšího určení (uživ.)**
 $f_{yk} = 180,0 \text{ MPa}$ ;  $E_s = 200000 \text{ MPa}$ 

Pevnost oceli neodpovídá rozsahu 400-600MPa určenému normou, další výpočet odpovídá postupům EC2

**Vnitřní síly - základní návrhová (MSÚ)**

č.	Název zatěžovacího případu	$N_{Ed}$ [kN]	$M_{Edy}$ [kNm]	$V_{Edz}$ [kN]	QP koef. [-]
1	Zat. případ 1	0,00	4,56	0,00	1,000
2	Zat. případ 2	0,00	0,00	9,39	1,000

**Podélná výztuž**

Počet	Profil [mm]	Krytí [mm]	Umístění
9,091	8	15,0	dolní výztuž

S tlačnou výztuží je počítáno.

**Minimální krytí**

15,0 mm (uživ.)

**23.2 Výsledky****Posouzení min. a max. stupně vyztužení**

Deska (tažená výztuž - minimum, celková výztuž - maximum):

 $\rho_{s,t} = 0,00644 \geq \rho_{s,min} = 0,00274$ 
 $\rho_{s,t,CSN} = 0,00508 \geq \rho_{s,min,CSN} = 0,0014 \Rightarrow \text{Vyhovuje}$ 
 $\rho_s = 0,00508 \leq \rho_{s,max} = 0,04 \Rightarrow \text{Vyhovuje}$ 
**Posouzení mezního stavu únosnosti**

č.	Název	$N_{Ed}$ [kN]	$N_{Rd}$ [kN]	$M_{Edy}$ [kNm]	$M_{Rdy}$ [kNm]	$V_{Edz}$ [kN]	$V_{Rdz}$ [kN]	Využití [%]	Posouzení
1	Zat. případ 1	0,00	0,00	4,56	5,69	0,00	0,00	80,2	Vyhovuje
2	Zat. případ 2	0,00	-1042,40	0,00	5,69	9,39	37,07	25,3	Vyhovuje

**Mezní stav únosnosti VYHOVUJE - 80,2 %**

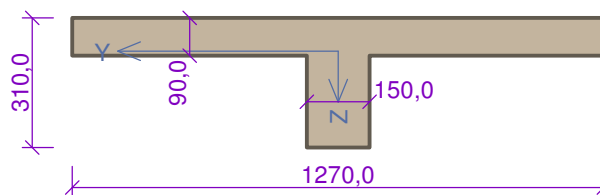
**Celkové posouzení - Průřez VYHOVUJE**

Využití: 80,2 %

**24 NV41 (T)\_(M)****24.1 Vstupní data**

Typ prvku: nosník

Prostředí: X0

**Průřez****Materiály****Beton: C 16/20**
 $f_{ck} = 16,0 \text{ MPa}$ ;  $f_{ctm} = 1,9 \text{ MPa}$ ;  $E_{cm} = 29000 \text{ MPa}$ 
**Ocel podélná: hladká bez bližšího určení (uživ.)**
 $f_{yk} = 180,0 \text{ MPa}$ ;  $E_s = 200000 \text{ MPa}$ 
**Ocel příčná: hladká bez bližšího určení (uživ.)**
 $f_{yk} = 180,0 \text{ MPa}$ ;  $E_s = 200000 \text{ MPa}$ 

Pevnost oceli neodpovídá rozsahu 400-600MPa určenému normou, další výpočet odpovídá postupům EC2

**Vnitřní síly - základní návrhová (MSÚ)**

č.	Název zatěžovacího případu	$N_{Ed}$ [kN]	$M_{Edy}$ [kNm]	$V_{Edz}$ [kN]	QP koef. [-]
1	Zat. případ 1	0,00	35,58	0,00	1,000

**Podélná výztuž**

Počet	Profil [mm]	Krytí [mm]	Umístění
2	18	25,0	dolní výztuž
2	20	27,5	dolní výztuž

S tlačnou výztuží je počítáno.

**Smyková výztuž**

Průřez bez smykové výztuže.

**Minimální krytí**

25,0 mm (uživ.)

**24.2 Výsledky****Posouzení min. a max. stupně vyztužení**

Nosník (tažená výztuž - minimum, celková výztuž - maximum):

 $\rho_{s,t} = 0,00987 \geq \rho_{s,min} = 0,00274 \Rightarrow \text{Vyhovuje}$ 
 $\rho_s = 0,00772 \leq \rho_{s,max} = 0,04 \Rightarrow \text{Vyhovuje}$ 
**Posouzení mezního stavu únosnosti**

č.	Název	$N_{Ed}$ [kN]	$N_{Rd}$ [kN]	$M_{Edy}$ [kNm]	$M_{Rdy}$ [kNm]	$V_{Edz}$ [kN]	$V_{Rdz}$ [kN]	Využití [%]	Posouzení
1	Zat. případ 1	0,00	0,00	35,58	58,26	0,00	0,00	61,1	Vyhovuje

**Mezní stav únosnosti VYHOVUJE - 61,1 %**

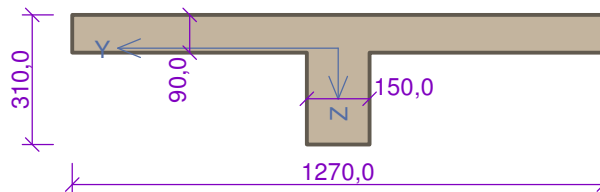
**Celkové posouzení - Průřez VYHOVUJE**

Využití: 61,1 %

**25 NV41 (T)\_(V)****25.1 Vstupní data**

Typ prvku: nosník

Prostředí: X0

**Průřez****Materiály****Beton: C 16/20**
 $f_{ck} = 16,0 \text{ MPa}$ ;  $f_{ctm} = 1,9 \text{ MPa}$ ;  $E_{cm} = 29000 \text{ MPa}$ 
**Ocel podélná: hladká bez bližšího určení (uživ.)**
 $f_{yk} = 180,0 \text{ MPa}$ ;  $E_s = 200000 \text{ MPa}$ 
**Ocel příčná: hladká bez bližšího určení (uživ.)**
 $f_{yk} = 180,0 \text{ MPa}$ ;  $E_s = 200000 \text{ MPa}$ 

Pevnost oceli neodpovídá rozsahu 400-600MPa určenému normou, další výpočet odpovídá postupům EC2

**Vnitřní síly - základní návrhová (MSÚ)**

č.	Název zatěžovacího případu	$N_{Ed}$ [kN]	$M_{Edy}$ [kNm]	$V_{Edz}$ [kN]	QP koef. [-]
1	Zat. případ 1	0,00	0,00	37,75	1,000

**Podélná výztuž**

Počet	Profil [mm]	Krytí [mm]	Umístění
2	18	25,0	dolní výztuž

S tlačnou výztuží je počítáno.

**Smyková výztuž****Obvodové třmínky**

Profil: 8 mm; Vzdálenost: 250,0 mm

**Ohyby**

Profil: 20 mm; Počet: 2; Sklon: 45,00 °;

**Minimální krytí**

25,0 mm (uživ.)

**25.2 Výsledky****Posouzení min. a max. stupně vyztužení**

Nosník (tažená výztuž - minimum, celková výztuž - maximum):

 $\rho_{s,t} = 0,00414 \geq \rho_{s,min} = 0,00274 \Rightarrow \text{Vyhovuje}$ 
 $\rho_s = 0,00346 \leq \rho_{s,max} = 0,04 \Rightarrow \text{Vyhovuje}$ 
**Stupeň vyztužení smykovou výztuží**
 $\rho_{w,min} = 0,00178 \leq \rho_w = 0,0086 \Rightarrow \text{Vyhovuje}$ 

Maximální vzdálenost třmínků  $s_{l,max} = 207,0 \text{ mm} \Rightarrow \text{Vzdálenost překročena!}$

Maximální vzdálenost větví třmínků  $s_{t,max} = 207,0 \text{ mm}$

**Posouzení mezního stavu únosnosti**

č.	Název	$N_{Ed}$ [kN]	$N_{Rd}$ [kN]	$M_{Edy}$ [kNm]	$M_{Rdy}$ [kNm]	$V_{Edz}$ [kN]	$V_{Rdz}$ [kN]	Využití [%]	Posouzení
1	Zat. případ 1	0,00	-1662,97	0,00	26,68	37,75	105,05	35,9	Vyhovuje

**Mezní stav únosnosti VYHOVUJE - 35,9 %**

**Celkové posouzení - Průřez VYHOVUJE**

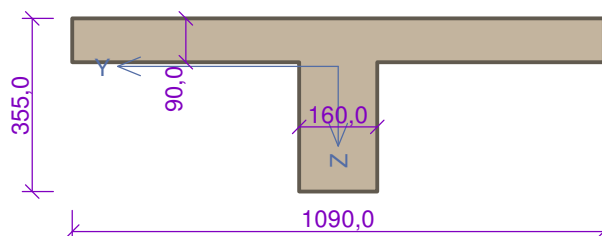
Využití: 35,9 %

## 26 NV39 (T)\_(M)

### 26.1 Vstupní data

Typ prvku: nosník  
Prostředí: X0

#### Průřez



#### Materiály

##### Beton: C 16/20

$f_{ck} = 16,0 \text{ MPa}$ ;  $f_{ctm} = 1,9 \text{ MPa}$ ;  $E_{cm} = 29000 \text{ MPa}$

##### Ocel podélná: hladká bez bližšího určení (uživ.)

$f_{yk} = 180,0 \text{ MPa}$ ;  $E_s = 200000 \text{ MPa}$

##### Ocel příčná: hladká bez bližšího určení (uživ.)

$f_{yk} = 180,0 \text{ MPa}$ ;  $E_s = 200000 \text{ MPa}$

Pevnost oceli neodpovídá rozsahu 400-600MPa určenému normou, další výpočet odpovídá postupům EC2

#### Vnitřní síly - základní návrhová (MSÚ)

č.	Název zatěžovacího případu	$N_{Ed}$ [kN]	$M_{Edy}$ [kNm]	$V_{Edz}$ [kN]	QP koef. [-]
1	Zat. případ 1	0,00	54,53	0,00	1,000

#### Podélná výztuž

Počet	Profil [mm]	Krytí [mm]	Umístění
3	18	45,0	dolní výztuž
1	20	25,0	dolní výztuž

S tlačnou výztuží je počítáno.

#### Smyková výztuž

Průřez bez smykové výztuže.

#### Minimální krytí

25,0 mm (uživ.)

### 26.2 Výsledky

#### Posouzení min. a max. stupně vyztužení

Nosník (tažená výztuž - minimum, celková výztuž - maximum):

$\rho_{s,t} = 0,0101 \geq \rho_{s,min} = 0,00274 \Rightarrow$  **Vyhovuje**

$\rho_s = 0,00767 \leq \rho_{s,max} = 0,04 \Rightarrow$  **Vyhovuje**

#### Posouzení mezního stavu únosnosti

č.	Název	$N_{Ed}$ [kN]	$N_{Rd}$ [kN]	$M_{Edy}$ [kNm]	$M_{Rdy}$ [kNm]	$V_{Edz}$ [kN]	$V_{Rdz}$ [kN]	Využití [%]	Posouzení
1	Zat. případ 1	0,00	0,00	54,53	61,62	0,00	0,00	88,5	Vyhovuje

**Mezní stav únosnosti VYHOVUJE - 88,5 %**

#### Celkové posouzení - Průřez VYHOVUJE

Využití: 88,5 %

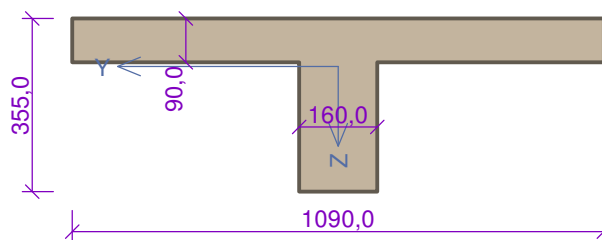
## 27 NV39 (T)\_(V)

### 27.1 Vstupní data

Typ prvku: nosník



Prostředí: X0

**Průřez****Materiály****Beton: C 16/20** $f_{ck} = 16,0 \text{ MPa}$ ;  $f_{ctm} = 1,9 \text{ MPa}$ ;  $E_{cm} = 29000 \text{ MPa}$ **Ocel podélná: hladká bez bližšího určení (uživ.)** $f_{yk} = 180,0 \text{ MPa}$ ;  $E_s = 200000 \text{ MPa}$ **Ocel příčná: hladká bez bližšího určení (uživ.)** $f_{yk} = 180,0 \text{ MPa}$ ;  $E_s = 200000 \text{ MPa}$ 

Pevnost oceli neodpovídá rozsahu 400-600MPa určenému normou, další výpočet odpovídá postupům EC2

**Vnitřní síly - základní návrhová (MSÚ)**

č.	Název zatěžovacího případu	$N_{Ed}$ [kN]	$M_{Edy}$ [kNm]	$V_{Edz}$ [kN]	QP koef. [-]
1	Zat. případ 1	0,00	0,00	41,97	1,000

**Podélná výztuž**

Počet	Profil [mm]	Krytí [mm]	Umístění
2	18	45,0	dolní výztuž

S tlačnou výztuží je počítáno.

**Smyková výztuž****Obvodové třmínky**

Profil: 8 mm; Vzdálenost: 250,0 mm

**Minimální krytí**

25,0 mm (uživ.)

**27.2 Výsledky****Posouzení min. a max. stupně vyztužení**

Nosník (tažená výztuž - minimum, celková výztuž - maximum):

 $\rho_{s,t} = 0,00457 \geq \rho_{s,min} = 0,00274 \Rightarrow$  **Vyhovuje** $\rho_s = 0,00362 \leq \rho_{s,max} = 0,04 \Rightarrow$  **Vyhovuje****Stupeň vyztužení smykovou výztuží** $\rho_{w,min} = 0,00178 \leq \rho_w = 0,00251 \Rightarrow$  **Vyhovuje**Maximální vzdálenost třmínků  $s_{l,max} = 225,8 \text{ mm} \Rightarrow$  **Vzdálenost překročena!**Maximální vzdálenost větví třmínků  $s_{t,max} = 225,8 \text{ mm}$ **Posouzení mezního stavu únosnosti**

č.	Název	$N_{Ed}$ [kN]	$N_{Rd}$ [kN]	$M_{Edy}$ [kNm]	$M_{Rdy}$ [kNm]	$V_{Edz}$ [kN]	$V_{Rdz}$ [kN]	Využití [%]	Posouzení
1	Zat. případ 1	0,00	-1590,44	0,00	29,08	41,97	53,59	78,3	Vyhovuje

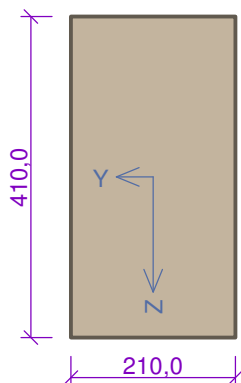
**Mezní stav únosnosti VYHOVUJE - 78,3 %****Celkové posouzení - Průřez VYHOVUJE**

Využití: 78,3 %

**28 NV36 (P) (M)****28.1 Vstupní data**

Typ prvku: nosník

Prostředí: X0

**Průřez****Materiály****Beton: C 16/20** $f_{ck} = 16,0 \text{ MPa}$ ;  $f_{ctm} = 1,9 \text{ MPa}$ ;  $E_{cm} = 29000 \text{ MPa}$ **Ocel podélná: hladká bez bližšího určení (uživ.)** $f_{yk} = 180,0 \text{ MPa}$ ;  $E_s = 200000 \text{ MPa}$ **Ocel příčná: hladká bez bližšího určení (uživ.)** $f_{yk} = 180,0 \text{ MPa}$ ;  $E_s = 200000 \text{ MPa}$ 

Pevnost oceli neodpovídá rozsahu 400-600MPa určenému normou, další výpočet odpovídá postupům EC2

**Vnitřní síly - základní návrhová (MSÚ)**

č.	Název zatěžovacího případu	$N_{Ed}$ [kN]	$M_{Edy}$ [kNm]	$V_{Edz}$ [kN]	QP koef. [-]
1	Zat. případ 1	0,00	314,00	0,00	1,000
2	Zat. případ 2	0,00	204,00	0,00	1,000

**Podélná výztuž**

Počet	Profil [mm]	Krytí [mm]	Umístění
2	30	47,5	dolní výztuž
2	32	27,5	dolní výztuž

S tlačnou výztuží je počítáno.

**Smyková výztuž****Obvodové třmínky**

Profil: 8 mm; Vzdálenost: 150,0 mm

**Ohyby**

Profil: 30 mm; Počet: 2; Sklon: 45,00 °;

**Minimální krytí**

27,5 mm (uživ.)

**28.2 Výsledky****Posouzení min. a max. stupně vyztužení**

Nosník (tažená výztuž - minimum, celková výztuž - maximum):

 $\rho_{s,t} = 0,0402 \geq \rho_{s,min} = 0,00274 \Rightarrow$  **Vyhovuje** $\rho_s = 0,0351 \leq \rho_{s,max} = 0,04 \Rightarrow$  **Vyhovuje****Stupeň vyztužení smykovou výztuží** $\rho_{w,min} = 0,00178 \leq \rho_w = 0,0127 \Rightarrow$  **Vyhovuje**Maximální vzdálenost třmínků  $s_{l,max} = 268,7 \text{ mm} \Rightarrow$  **Vyhovuje**Maximální vzdálenost větví třmínků  $s_{t,max} = 268,7 \text{ mm}$ **Posouzení mezního stavu únosnosti**

č.	Název	$N_{Ed}$ [kN]	$N_{Rd}$ [kN]	$M_{Edy}$ [kNm]	$M_{Rdy}$ [kNm]	$V_{Edz}$ [kN]	$V_{Rdz}$ [kN]	Využití [%]	Posouzení
1	Zat. případ 1	0,00	0,00	314,00	123,42	0,00	0,00	254,4	Nevyhovuje
2	Zat. případ 2	0,00	0,00	204,00	123,42	0,00	0,00	165,3	Nevyhovuje

**Mezní stav únosnosti NEVYHOVUJE - 254,4 %**

### Celkové posouzení - Průřez NEVYHOVUJE

Využití: 254,4 %

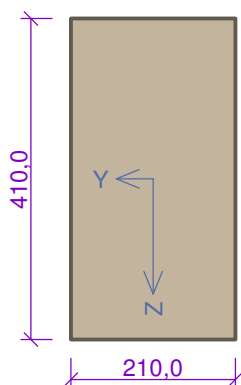
## 29 NV36 (P) (V)

### 29.1 Vstupní data

Typ prvku: nosník

Prostředí: X0

#### Průřez



#### Materiály

##### Beton: C 16/20

$f_{ck} = 16,0 \text{ MPa}$ ;  $f_{ctm} = 1,9 \text{ MPa}$ ;  $E_{cm} = 29000 \text{ MPa}$

##### Ocel podélná: hladká bez bližšího určení (uživ.)

$f_{yk} = 180,0 \text{ MPa}$ ;  $E_s = 200000 \text{ MPa}$

##### Ocel příčná: hladká bez bližšího určení (uživ.)

$f_{yk} = 180,0 \text{ MPa}$ ;  $E_s = 200000 \text{ MPa}$

Pevnost oceli neodpovídá rozsahu 400-600MPa určenému normou, další výpočet odpovídá postupům EC2

#### Vnitřní síly - základní návrhová (MSÚ)

č.	Název zatěžovacího případu	$N_{Ed}$ [kN]	$M_{Edy}$ [kNm]	$V_{Edz}$ [kN]	QP koef. [-]
1	Zat. případ 1	0,00	0,00	209,00	1,000
2	Zat. případ 2	0,00	0,00	132,00	1,000

#### Podélná výztuž

Počet	Profil [mm]	Krytí [mm]	Umístění
2	30	47,5	dolní výztuž

S tlačnou výztuží je počítáno.

#### Smyková výztuž

##### Obvodové třmínky

Profil: 8 mm; Vzdálenost: 150,0 mm

##### Ohyby

Profil: 30 mm; Počet: 2; Sklon: 45,00 °;

##### Minimální krytí

27,5 mm (uživ.)

## 29.2 Výsledky

#### Posouzení min. a max. stupně vyztužení

Nosník (tažená výztuž - minimum, celková výztuž - maximum):

$\rho_{s,t} = 0,0194 \geq \rho_{s,min} = 0,00274 \Rightarrow$  **Vyhovuje**

$\rho_s = 0,0164 \leq \rho_{s,max} = 0,04 \Rightarrow$  **Vyhovuje**

#### Stupeň vyztužení smykovou výztuží

$\rho_{w,min} = 0,00178 \leq \rho_w = 0,0127 \Rightarrow$  **Vyhovuje**

Maximální vzdálenost třmínků  $s_{l,max} = 260,6 \text{ mm} \Rightarrow$  **Vyhovuje**

Maximální vzdálenost větví třmínků  $s_{t,max} = 260,6 \text{ mm}$

Posouzení mezního stavu únosnosti

č.	Název	N <sub>Ed</sub> [kN]	N <sub>Rd</sub> [kN]	M <sub>Edy</sub> [kNm]	M <sub>Rdy</sub> [kNm]	V <sub>Edz</sub> [kN]	V <sub>Rdz</sub> [kN]	Využití [%]	Posouzení
1	Zat. případ 1	0,00	-1173,33	0,00	73,93	209,00	166,30	125,7	Nevyhovuje
2	Zat. případ 2	0,00	-1173,33	0,00	73,93	132,00	166,30	79,4	Vyhovuje

Mezní stav únosnosti NEVYHOVUJE - 125,7 %

Celkové posouzení - Průřez NEVYHOVUJE

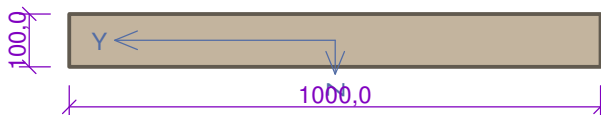
Využití: 125,7 %

30 NV33(d\_100)\_s podhledem\_strop nad 1. NP

30.1 Vstupní data

Typ prvku: deska  
Prostředí: X0

Průřez



Materiály

Beton: C 16/20

f<sub>ck</sub> = 16,0 MPa; f<sub>ctm</sub> = 1,9 MPa; E<sub>cm</sub> = 29000 MPa

Ocel podélná: hladká bez bližšího určení (uživ.)

f<sub>yk</sub> = 180,0 MPa; E<sub>s</sub> = 200000 MPa

Ocel příčná: hladká bez bližšího určení (uživ.)

f<sub>yk</sub> = 180,0 MPa; E<sub>s</sub> = 200000 MPa

Pevnost oceli neodpovídá rozsahu 400-600MPa určenému normou, další výpočet odpovídá postupům EC2

Vnitřní síly - základní návrhová (MSÚ)

č.	Název zatěžovacího případu	N <sub>Ed</sub> [kN]	M <sub>Edy</sub> [kNm]	V <sub>Edz</sub> [kN]	QP koef. [-]
1	Zat. případ 1	0,00	4,96	0,00	1,000
2	Zat. případ 2	0,00	0,00	10,11	1,000

Podélná výztuž

Počet	Profil [mm]	Krytí [mm]	Umístění
7,143	8	12,5	dolní výztuž

S tlačnou výztuží je počítáno.

Minimální krytí

12,5 mm (uživ.)

30.2 Výsledky

Posouzení min. a max. stupně vyztužení

Deska (tažená výztuž - minimum, celková výztuž - maximum):

ρ<sub>s,t</sub> = 0,0043 ≥ ρ<sub>s,min</sub> = 0,00274

ρ<sub>s,t,CSN</sub> = 0,00359 ≥ ρ<sub>s,min,CSN</sub> = 0,0014 ⇒ Vyhovuje

ρ<sub>s</sub> = 0,00359 ≤ ρ<sub>s,max</sub> = 0,04 ⇒ Vyhovuje

Posouzení mezního stavu únosnosti

č.	Název	N <sub>Ed</sub> [kN]	N <sub>Rd</sub> [kN]	M <sub>Edy</sub> [kNm]	M <sub>Rdy</sub> [kNm]	V <sub>Edz</sub> [kN]	V <sub>Rdz</sub> [kN]	Využití [%]	Posouzení
1	Zat. případ 1	0,00	0,00	4,96	5,46	0,00	0,00	90,8	Vyhovuje

č.	Název	$N_{Ed}$ [kN]	$N_{Rd}$ [kN]	$M_{Edy}$ [kNm]	$M_{Rdy}$ [kNm]	$V_{Edz}$ [kN]	$V_{Rdz}$ [kN]	Využití [%]	Posouzení
2	Zat. případ 2	0,00	-1131,41	0,00	5,46	10,11	38,11	26,5	Vyhovuje

**Mezní stav únosnosti VYHOVUJE - 90,8 %**

**Celkové posouzení - Průřez VYHOVUJE**

Využití: 90,8 %

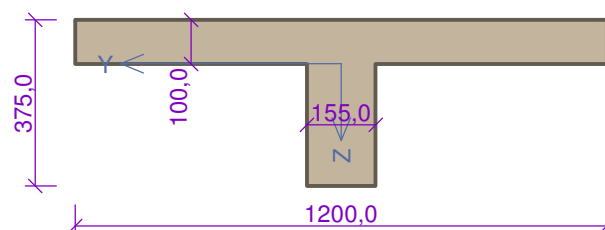
## 31 NV28\* (T-zkrácený)\_strop nad 1. NP

### 31.1 Vstupní data

Typ prvku: nosník

Prostředí: X0

**Průřez**



**Materiály**

**Beton: C 16/20**

$f_{ck} = 16,0$  MPa;  $f_{ctm} = 1,9$  MPa;  $E_{cm} = 29000$  MPa

**Ocel podélná: hladká bez bližšího určení (uživ.)**

$f_{yk} = 180,0$  MPa;  $E_s = 200000$  MPa

**Ocel příčná: hladká bez bližšího určení (uživ.)**

$f_{yk} = 180,0$  MPa;  $E_s = 200000$  MPa

Pevnost oceli neodpovídá rozsahu 400-600MPa určenému normou, další výpočet odpovídá postupům EC2

**Vnitřní síly - základní návrhová (MSÚ)**

č.	Název zatěžovacího případu	$N_{Ed}$ [kN]	$M_{Edy}$ [kNm]	$V_{Edz}$ [kN]	QP koef. [-]
1	Zat. případ 1	0,00	31,50	0,00	1,000
2	Zat. případ 2	0,00	0,00	41,00	1,000

**Podélná výztuž**

Počet	Profil [mm]	Krytí [mm]	Umístění
1	18	65,0	dolní výztuž
3	22	60,0	dolní výztuž

S tlačnou výztuží je počítáno.

**Smyková výztuž**

**Obvodové třmínky**

Profil: 8 mm; Vzdálenost: 300,0 mm

**Minimální krytí**

60,0 mm (uživ.)

### 31.2 Výsledky

**Posouzení min. a max. stupně vyztužení**

Nosník (tažená výztuž - minimum, celková výztuž - maximum):

$\rho_{s,t} = 0,0122 \geq \rho_{s,min} = 0,00274 \Rightarrow$  **Vyhovuje**

$\rho_s = 0,00858 \leq \rho_{s,max} = 0,04 \Rightarrow$  **Vyhovuje**

**Stupeň vyztužení smykovou výztuží**

$\rho_{w,min} = 0,00178 \leq \rho_w = 0,00216 \Rightarrow$  **Vyhovuje**

Maximální vzdálenost třmínků  $s_{l,max} = 227,6$  mm  $\Rightarrow$  **Vzdálenost překročena!**

Maximální vzdálenost větví třmíneků  $s_{t,max} = 227,6$  mm

### Posouzení mezního stavu únosnosti

č.	Název	$N_{Ed}$ [kN]	$N_{Rd}$ [kN]	$M_{Edy}$ [kNm]	$M_{Rdy}$ [kNm]	$V_{Edz}$ [kN]	$V_{Rdz}$ [kN]	Využití [%]	Posouzení
1	Zat. případ 1	0,00	0,00	31,50	77,93	0,00	0,00	40,4	Vyhovuje
2	Zat. případ 2	0,00	-1986,19	0,00	77,93	41,00	44,15	92,9	Vyhovuje

**Mezní stav únosnosti VYHOVUJE - 92,9 %**

### Celkové posouzení - Průřez VYHOVUJE

Využití: 92,9 %

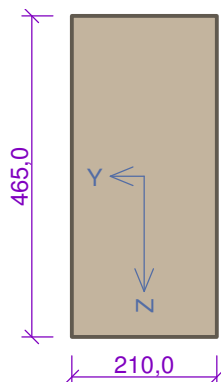
## 32 NV25 (P) (M)\_strop nad 1. NP

### 32.1 Vstupní data

Typ prvku: nosník

Prostředí: X0

#### Průřez



#### Materiály

##### Beton: C 16/20

$f_{ck} = 16,0$  MPa;  $f_{ctm} = 1,9$  MPa;  $E_{cm} = 29000$  MPa

##### Ocel podélná: hladká bez bližšího určení (uživ.)

$f_{yk} = 180,0$  MPa;  $E_s = 200000$  MPa

##### Ocel příčná: hladká bez bližšího určení (uživ.)

$f_{yk} = 180,0$  MPa;  $E_s = 200000$  MPa

Pevnost oceli neodpovídá rozsahu 400-600MPa určenému normou, další výpočet odpovídá postupům EC2

#### Vnitřní síly - základní návrhová (MSÚ)

č.	Název zatěžovacího případu	$N_{Ed}$ [kN]	$M_{Edy}$ [kNm]	$V_{Edz}$ [kN]	QP koef. [-]
1	Zat. případ 2	0,00	204,00	0,00	1,000

#### Podélná výztuž

Počet	Profil [mm]	Krytí [mm]	Umístění
1	35	50,0	dolní výztuž
1	30	50,0	dolní výztuž
1	32	35,0	dolní výztuž

S tlačnou výztuží je počítáno.

#### Smyková výztuž

##### Obvodové třmínky

Profil: 8 mm; Vzdálenost: 150,0 mm

##### Ohyby

Profil: 30 mm; Počet: 2; Sklon: 45,00 °;

#### Minimální krytí

27,5 mm (uživ.)

## 32.2 Výsledky

### Posouzení min. a max. stupně vyztužení

Nosník (tažená výztuž - minimum, celková výztuž - maximum):

$$\rho_{s,t} = 0,0292 \geq \rho_{s,min} = 0,00274 \Rightarrow \text{Vyhovuje}$$

$$\rho_s = 0,0253 \leq \rho_{s,max} = 0,04 \Rightarrow \text{Vyhovuje}$$

### Stupeň vyztužení smykovou výztuží

$$\rho_{w,min} = 0,00178 \leq \rho_w = 0,0127 \Rightarrow \text{Vyhovuje}$$

$$\text{Maximální vzdálenost třmíneků } s_{l,max} = 302,7 \text{ mm} \Rightarrow \text{Vyhovuje}$$

$$\text{Maximální vzdálenost větví třmíneků } s_{t,max} = 302,7 \text{ mm}$$

### Posouzení mezního stavu únosnosti

č.	Název	$N_{Ed}$ [kN]	$N_{Rd}$ [kN]	$M_{Edy}$ [kNm]	$M_{Rdy}$ [kNm]	$V_{Edz}$ [kN]	$V_{Rdz}$ [kN]	Využití [%]	Posouzení
1	Zat. případ 2	0,00	0,00	204,00	134,32	0,00	0,00	151,9	Nevyhovuje

**Mezní stav únosnosti NEVYHOVUJE - 151,9 %**

### Celkové posouzení - Průřez NEVYHOVUJE

Využití: 151,9 %

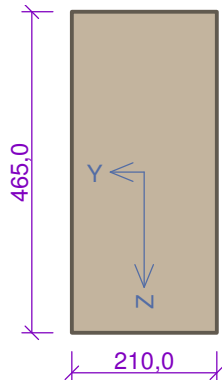
## 33 NV25 (P) (V)\_strop nad 1. NP

### 33.1 Vstupní data

Typ prvku: nosník

Prostředí: X0

#### Průřez



#### Materiály

##### Beton: C 16/20

$$f_{ck} = 16,0 \text{ MPa}; f_{ctm} = 1,9 \text{ MPa}; E_{cm} = 29000 \text{ MPa}$$

##### Ocel podélná: hladká bez bližšího určení (uživ.)

$$f_{yk} = 180,0 \text{ MPa}; E_s = 200000 \text{ MPa}$$

##### Ocel příčná: hladká bez bližšího určení (uživ.)

$$f_{yk} = 180,0 \text{ MPa}; E_s = 200000 \text{ MPa}$$

Pevnost oceli neodpovídá rozsahu 400-600MPa určenému normou, další výpočet odpovídá postupům EC2

### Vnitřní síly - základní návrhová (MSÚ)

č.	Název zatěžovacího případu	$N_{Ed}$ [kN]	$M_{Edy}$ [kNm]	$V_{Edz}$ [kN]	QP koef. [-]
1	Zat. případ 2	0,00	0,00	132,00	1,000

### Podélná výztuž

Počet	Profil [mm]	Krytí [mm]	Umístění
2	14	25,0	horní výztuž
1	35	50,0	dolní výztuž
1	30	50,0	dolní výztuž
1	32	35,0	dolní výztuž

S tlačnou výztuží je počítáno.

**Smyková výztuž****Obvodové třmínky**

Profil: 8 mm; Vzdálenost: 300,0 mm

**Minimální krytí**

27,5 mm (uživ.)

**33.2 Výsledky****Posouzení min. a max. stupně vyztužení**

Nosník (tažená výztuž - minimum, celková výztuž - maximum):

$$\rho_{s,t} = 0,0292 \geq \rho_{s,min} = 0,00274 \Rightarrow \text{Vyhovuje}$$

$$\rho_s = 0,0285 \leq \rho_{s,max} = 0,04 \Rightarrow \text{Vyhovuje}$$

**Stupeň vyztužení smykovou výztuží**

$$\rho_{w,min} = 0,00178 > \rho_w = 0,0016 \Rightarrow \text{Příliš málo smykové výztuže}$$

$$\text{Maximální vzdálenost třmínků } s_{l,max} = 324,8 \text{ mm} \Rightarrow \text{Vyhovuje}$$

$$\text{Maximální vzdálenost větví třmínků } s_{t,max} = 324,8 \text{ mm}$$

**Posouzení mezního stavu únosnosti**

č.	Název	$N_{Ed}$ [kN]	$N_{Rd}$ [kN]	$M_{Edy}$ [kNm]	$M_{Rdy}$ [kNm]	$V_{Edz}$ [kN]	$V_{Rdz}$ [kN]	Využití [%]	Posouzení
1	Zat. případ 2	0,00	-1543,09	0,00	143,40	132,00	59,85	220,5	Nevyhovuje

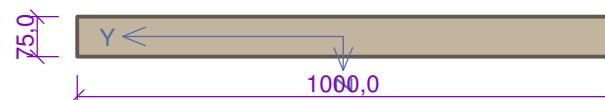
**Mezní stav únosnosti NEVYHOVUJE - 220,5 %****Celkové posouzení - Průřez NEVYHOVUJE**

Využití: 220,5 %

**34 NV24(d)\_(M)\_strop nad 1. PP****34.1 Vstupní data**

Typ prvku: deska

Prostředí: X0

**Průřez****Materiály****Beton: C 16/20**

$$f_{ck} = 16,0 \text{ MPa}; f_{ctm} = 1,9 \text{ MPa}; E_{cm} = 29000 \text{ MPa}$$

**Ocel podélná: hladká bez bližšího určení (uživ.)**

$$f_{yk} = 180,0 \text{ MPa}; E_s = 200000 \text{ MPa}$$

**Ocel příčná: hladká bez bližšího určení (uživ.)**

$$f_{yk} = 180,0 \text{ MPa}; E_s = 200000 \text{ MPa}$$

Pevnost oceli neodpovídá rozsahu 400-600MPa určenému normou, další výpočet odpovídá postupům EC2

**Vnitřní síly - základní návrhová (MSÚ)**

č.	Název zatěžovacího případu	$N_{Ed}$ [kN]	$M_{Edy}$ [kNm]	$V_{Edz}$ [kN]	QP koef. [-]
1	Zat. případ 1	0,00	4,54	0,00	1,000

**Podélná výztuž**

Počet	Profil [mm]	Krytí [mm]	Umístění
10	8	10,0	dolní výztuž

S tlačnou výztuží je počítáno.



#### Minimální krytí

10,0 mm (uživ.)

## 34.2 Výsledky

#### Posouzení min. a max. stupně vyztužení

Deska (tažená výztuž - minimum, celková výztuž - maximum):

$$\rho_{s,t} = 0,00824 \geq \rho_{s,min} = 0,00274$$

$$\rho_{s,t,CSN} = 0,0067 \geq \rho_{s,min,CSN} = 0,0014 \Rightarrow \text{Vyhovuje}$$

$$\rho_s = 0,0067 \leq \rho_{s,max} = 0,04 \Rightarrow \text{Vyhovuje}$$

#### Posouzení mezního stavu únosnosti

č.	Název	$N_{Ed}$ [kN]	$N_{Rd}$ [kN]	$M_{Edy}$ [kNm]	$M_{Rdy}$ [kNm]	$V_{Edz}$ [kN]	$V_{Rdz}$ [kN]	Využití [%]	Posouzení
1	Zat. případ 1	0,00	0,00	4,54	5,24	0,00	0,00	86,6	Vyhovuje

Mezní stav únosnosti VYHOVUJE - 86,6 %

#### Celkové posouzení - Průřez VYHOVUJE

Využití: 86,6 %

## 35 NV24(d)\_(V)\_strop nad 1. PP

### 35.1 Vstupní data

Typ prvku: deska

Prostředí: X0

#### Průřez

#### Materiály

**Beton: C 16/20**

$f_{ck} = 16,0$  MPa;  $f_{ctm} = 1,9$  MPa;  $E_{cm} = 29000$  MPa

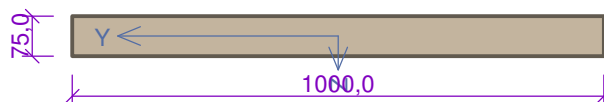
**Ocel podélná: hladká bez bližšího určení (uživ.)**

$f_{yk} = 180,0$  MPa;  $E_s = 200000$  MPa

**Ocel příčná: hladká bez bližšího určení (uživ.)**

$f_{yk} = 180,0$  MPa;  $E_s = 200000$  MPa

Pevnost oceli neodpovídá rozsahu 400-600MPa určenému normou, další výpočet odpovídá postupům EC2



#### Vnitřní síly - základní návrhová (MSÚ)

č.	Název zatěžovacího případu	$N_{Ed}$ [kN]	$M_{Edy}$ [kNm]	$V_{Edz}$ [kN]	QP koef. [-]
1	Zat. případ 1	0,00	0,00	8,92	1,000

#### Podélná výztuž

Počet	Profil [mm]	Krytí [mm]	Umístění
5	8	10,0	dolní výztuž

S tlačnou výztuží je počítáno.

#### Minimální krytí

10,0 mm (uživ.)

## 35.2 Výsledky

#### Posouzení min. a max. stupně vyztužení

Deska (tažená výztuž - minimum, celková výztuž - maximum):

$$\begin{aligned}\rho_{s,t} &= 0,00412 \geq \rho_{s,min} = 0,00274 \\ \rho_{s,t,CSN} &= 0,00335 \geq \rho_{s,min,CSN} = 0,0014 \Rightarrow \text{Vyhovuje} \\ \rho_s &= 0,00335 \leq \rho_{s,max} = 0,04 \Rightarrow \text{Vyhovuje}\end{aligned}$$

**Posouzení mezního stavu únosnosti**

č.	Název	$N_{Ed}$ [kN]	$N_{Rd}$ [kN]	$M_{Edy}$ [kNm]	$M_{Rdy}$ [kNm]	$V_{Edz}$ [kN]	$V_{Rdz}$ [kN]	Využití [%]	Posouzení
1	Zat. případ 1	0,00	-845,32	0,00	2,80	8,92	27,45	32,5	Vyhovuje

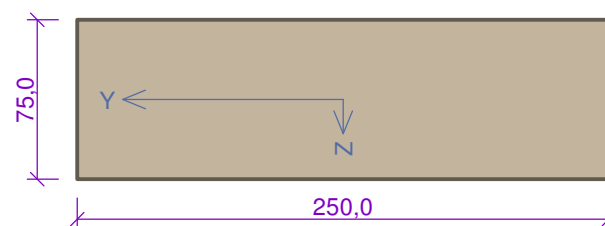
**Mezní stav únosnosti VYHOVUJE - 32,5 %****Celkové posouzení - Průřez VYHOVUJE**

Využití: 32,5 %

**36 NV24(nv)\_strop nad 1. PP****36.1 Vstupní data**

Typ prvku: nosník

Prostředí: X0

**Průřez****Materiály****Beton: C 16/20** $f_{ck} = 16,0 \text{ MPa}$ ;  $f_{ctm} = 1,9 \text{ MPa}$ ;  $E_{cm} = 29000 \text{ MPa}$ **Ocel podélná: hladká bez bližšího určení (uživ.)** $f_{yk} = 180,0 \text{ MPa}$ ;  $E_s = 200000 \text{ MPa}$ **Ocel příčná: hladká bez bližšího určení (uživ.)** $f_{yk} = 180,0 \text{ MPa}$ ;  $E_s = 200000 \text{ MPa}$ 

Pevnost oceli neodpovídá rozsahu 400-600MPa určenému normou, další výpočet odpovídá postupům EC2

**Vnitřní síly - základní návrhová (MSÚ)**

č.	Název zatěžovacího případu	$N_{Ed}$ [kN]	$M_{Edy}$ [kNm]	$V_{Edz}$ [kN]	QP koef. [-]
1	Zat. případ 1	0,00	0,00	2,22	1,000
2	Zat. případ 2	0,00	1,13	0,00	1,000

**Podélná výztuž**

Počet	Profil [mm]	Krytí [mm]	Umístění
2,5	8	15,0	dolní výztuž

S tlačnou výztuží je počítáno.

**Smyková výztuž****Ohyby**

Profil: 18 mm; Počet: 2; Sklon: 45,00 °;

**Minimální krytí**

15,0 mm (uživ.)

**36.2 Výsledky****Posouzení min. a max. stupně vyztužení**

Nosník (tažená výztuž - minimum, celková výztuž - maximum):

$$\rho_{s,t} = 0,00898 \geq \rho_{s,min} = 0,00274 \Rightarrow \text{Vyhovuje}$$

$$\rho_s = 0,0067 \leq \rho_{s,max} = 0,04 \Rightarrow \text{Vyhovuje}$$

**Stupeň vyztužení smykovou výztuží**
 $\rho_{w,min} = 0,00178 \leq \rho_w = 0,00288 \Rightarrow$  **Vyhovuje**
**Alespoň  $\beta_3 (0,5)$  násobek požadované smykové výztuže musejí tvořit třmínky****Posouzení mezního stavu únosnosti**

č.	Název	$N_{Ed}$ [kN]	$N_{Rd}$ [kN]	$M_{Edy}$ [kNm]	$M_{Rdy}$ [kNm]	$V_{Edz}$ [kN]	$V_{Rdz}$ [kN]	Využití [%]	Posouzení
1	Zat. případ 1	0,00	-222,66	0,00	1,19	2,22	37,22	6,0	Vyhovuje
2	Zat. případ 2	0,00	0,00	1,13	1,19	0,00	0,00	94,9	Vyhovuje

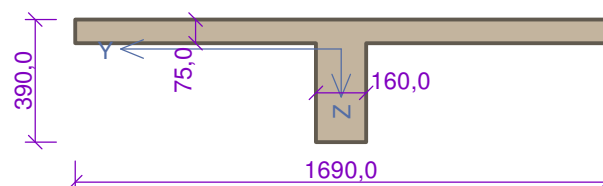
**Mezní stav únosnosti VYHOVUJE - 94,9 %****Celkové posouzení - Průřez VYHOVUJE**

Využití: 94,9 %

**37 NV20 (T)\_(M)\_strop nad 1. PP****37.1 Vstupní data**

Typ prvku: nosník

Prostředí: X0

**Průřez****Materiály****Beton: C 16/20** $f_{ck} = 16,0$  MPa;  $f_{ctm} = 1,9$  MPa;  $E_{cm} = 29000$  MPa**Ocel podélná: hladká bez bližšího určení (uživ.)** $f_{yk} = 180,0$  MPa;  $E_s = 200000$  MPa**Ocel příčná: hladká bez bližšího určení (uživ.)** $f_{yk} = 180,0$  MPa;  $E_s = 200000$  MPa

Pevnost oceli neodpovídá rozsahu 400-600MPa určenému normou, další výpočet odpovídá postupům EC2

**Vnitřní síly - základní návrhová (MSÚ)**

č.	Název zatěžovacího případu	$N_{Ed}$ [kN]	$M_{Edy}$ [kNm]	$V_{Edz}$ [kN]	QP koef. [-]
1	Zat. případ 1	0,00	83,31	0,00	1,000

**Podélná výztuž**

Počet	Profil [mm]	Krytí [mm]	Umístění
4	25	27,5	dolní výztuž

S tlačnou výztuží je počítáno.

**Smyková výztuž**

Průřez bez smykové výztuže.

**Minimální krytí**

25,0 mm (uživ.)

**37.2 Výsledky****Posouzení min. a max. stupně vyztužení**

Nosník (tažená výztuž - minimum, celková výztuž - maximum):

 $\rho_{s,t} = 0,0153 \geq \rho_{s,min} = 0,00274 \Rightarrow$  **Vyhovuje** $\rho_s = 0,0111 \leq \rho_{s,max} = 0,04 \Rightarrow$  **Vyhovuje**

## Posouzení mezního stavu únosnosti

č.	Název	$N_{Ed}$ [kN]	$N_{Rd}$ [kN]	$M_{Edy}$ [kNm]	$M_{Rdy}$ [kNm]	$V_{Edz}$ [kN]	$V_{Rdz}$ [kN]	Využití [%]	Posouzení
1	Zat. případ 1	0,00	0,00	83,31	128,27	0,00	0,00	65,0	Vyhovuje

Mezní stav únosnosti **VYHOVUJE - 65,0 %**Celkové posouzení - Průřez **VYHOVUJE**

Využití: 65,0 %

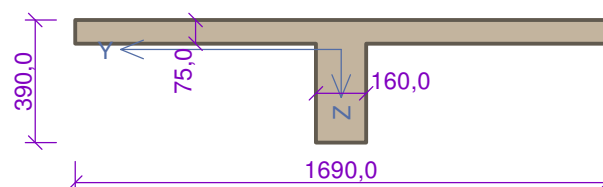
## 38 NV20 (T)\_(V)\_strop nad 1. PP

## 38.1 Vstupní data

Typ prvku: nosník

Prostředí: X0

## Průřez



## Materiály

## Beton: C 16/20

 $f_{ck} = 16,0 \text{ MPa}$ ;  $f_{ctm} = 1,9 \text{ MPa}$ ;  $E_{cm} = 29000 \text{ MPa}$ 

## Ocel podélná: hladká bez bližšího určení (uživ.)

 $f_{yk} = 180,0 \text{ MPa}$ ;  $E_s = 200000 \text{ MPa}$ 

## Ocel příčná: hladká bez bližšího určení (uživ.)

 $f_{yk} = 180,0 \text{ MPa}$ ;  $E_s = 200000 \text{ MPa}$ 

Pevnost oceli neodpovídá rozsahu 400-600MPa určenému normou, další výpočet odpovídá postupům EC2

## Vnitřní síly - základní návrhová (MSÚ)

č.	Název zatěžovacího případu	$N_{Ed}$ [kN]	$M_{Edy}$ [kNm]	$V_{Edz}$ [kN]	QP koef. [-]
1	Zat. případ 1	0,00	0,00	58,36	1,000

## Podélná výztuž

Počet	Profil [mm]	Krytí [mm]	Umístění
2	25	27,5	dolní výztuž

S tlačnou výztuží je počítáno.

## Smyková výztuž

## Obvodové třmínky

Profil: 8 mm; Vzdálenost: 280,0 mm

## Ohyby

Profil: 25 mm; Počet: 2; Sklon: 45,00 °;

## Minimální krytí

25,0 mm (uživ.)

## 38.2 Výsledky

## Posouzení min. a max. stupně vyztužení

Nosník (tažená výztuž - minimum, celková výztuž - maximum):

 $\rho_{s,t} = 0,00696 \geq \rho_{s,min} = 0,00274 \Rightarrow$  **Vyhovuje** $\rho_s = 0,00554 \leq \rho_{s,max} = 0,04 \Rightarrow$  **Vyhovuje**

## Stupeň vyztužení smykovou výztuží

 $\rho_{w,min} = 0,00178 \leq \rho_w = 0,0109 \Rightarrow$  **Vyhovuje**

Maximální vzdálenost třmínků  $s_{l,max} = 262,5 \text{ mm} \Rightarrow$  **Vzdálenost překročena!**

Maximální vzdálenost větví třmínků  $s_{t,max} = 262,5 \text{ mm}$

#### Posouzení mezního stavu únosnosti

č.	Název	$N_{Ed}$ [kN]	$N_{Rd}$ [kN]	$M_{Edy}$ [kNm]	$M_{Rdy}$ [kNm]	$V_{Edz}$ [kN]	$V_{Rdz}$ [kN]	Využití [%]	Posouzení
1	Zat. případ 1	0,00	-2066,63	0,00	65,18	58,36	145,22	40,2	Vyhovuje

**Mezní stav únosnosti VYHOVUJE - 40,2 %**

#### Celkové posouzení - Průřez VYHOVUJE

Využití: 40,2 %

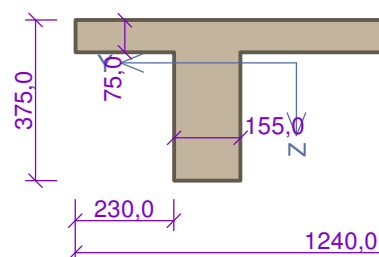
## 39 NV21 (T)\_(M)\_strop nad 1. PP

### 39.1 Vstupní data

Typ prvku: nosník

Prostředí: X0

#### Průřez



#### Materiály

##### Beton: C 16/20

$f_{ck} = 16,0 \text{ MPa}$ ;  $f_{ctm} = 1,9 \text{ MPa}$ ;  $E_{cm} = 29000 \text{ MPa}$

##### Ocel podélná: hladká bez bližšího určení (uživ.)

$f_{yk} = 180,0 \text{ MPa}$ ;  $E_s = 200000 \text{ MPa}$

##### Ocel příčná: hladká bez bližšího určení (uživ.)

$f_{yk} = 180,0 \text{ MPa}$ ;  $E_s = 200000 \text{ MPa}$

Pevnost oceli neodpovídá rozsahu 400-600MPa určenému normou, další výpočet odpovídá postupům EC2

#### Vnitřní síly - základní návrhová (MSÚ)

č.	Název zatěžovacího případu	$N_{Ed}$ [kN]	$M_{Edy}$ [kNm]	$M_{Edz}$ [kNm]	$V_{Edz}$ [kN]	$V_{Edy}$ [kN]	$T_{Ed}$ [kNm]	QP koef. [-]
1	Zat. případ 1	0,00	29,66	0,00	0,00	0,00	0,00	1,000

#### Podélná výztuž

Počet	Profil [mm]	Krytí [mm]	Umístění
2	20	10,0	dolní výztuž
2	18	15,0	dolní výztuž

S tlačnou výztuží je počítáno.

#### Smyková výztuž

Průřez bez smykové výztuže.

#### Minimální krytí

10,0 mm (uživ.)

### 39.2 Výsledky

#### Posouzení min. a max. stupně vyztužení

Nosník (tažená výztuž - minimum, celková výztuž - maximum):

$\rho_{s,t} = 0,011 \geq \rho_{s,min} = 0,00274 \Rightarrow$  **Vyhovuje**

$\rho_s = 0,00815 \leq \rho_{s,max} = 0,04 \Rightarrow$  **Vyhovuje**

### Posouzení mezního stavu únosnosti

č.	Název	$N_{Ed}$ $N_{Rd}$ [kN]	$M_{Edy}$ $M_{Rdy}$ [kNm]	$M_{Edz}$ $M_{Rdz}$ [kNm]	$V_{Edz}$ $V_{Rdz}$ [kN]	$V_{Edy}$ $V_{Rdy}$ [kN]	Využití [%]	Posouzení
1	Zat. případ 1	0,00 0,00	29,66 71,31	0,00 0,00	0,00 0,00	0,00 0,00	41,6	Vyhovuje

**Mezní stav únosnosti VYHOVUJE - 41,6 %**

### Celkové posouzení - Průřez VYHOVUJE

Využití: 41,6 %

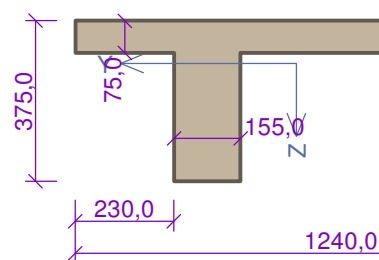
## 40 NV21 (T)\_(V)\_strop nad 1. PP

### 40.1 Vstupní data

Typ prvku: nosník

Prostředí: X0

#### Průřez



#### Materiály

##### Beton: C 16/20

$f_{ck} = 16,0$  MPa;  $f_{ctm} = 1,9$  MPa;  $E_{cm} = 29000$  MPa

##### Ocel podélná: hladká bez bližšího určení (uživ.)

$f_{yk} = 180,0$  MPa;  $E_s = 200000$  MPa

##### Ocel příčná: hladká bez bližšího určení (uživ.)

$f_{yk} = 180,0$  MPa;  $E_s = 200000$  MPa

Pevnost oceli neodpovídá rozsahu 400-600MPa určenému normou, další výpočet odpovídá postupům EC2

### Vnitřní síly - základní návrhová (MSÚ)

č.	Název zatěžovacího případu	$N_{Ed}$ [kN]	$M_{Edy}$ [kNm]	$M_{Edz}$ [kNm]	$V_{Edz}$ [kN]	$V_{Edy}$ [kN]	$T_{Ed}$ [kNm]	QP koef. [-]
1	Zat. případ 1	0,00	0,00	0,00	28,12	0,00	0,00	1,000

#### Podélná výztuž

Počet	Profil [mm]	Krytí [mm]	Umístění
2	18	15,0	dolní výztuž

S tlačnou výztuží je počítáno.

#### Smyková výztuž

##### Obvodové třmínky

Profil: 6 mm; Vzdálenost: 220,0 mm

##### Ohyby svislé

Profil: 20 mm; Počet: 2; Sklon: 45,00 °;

#### Minimální krytí

10,0 mm (uživ.)

## 40.2 Výsledky

### Posouzení min. a max. stupně vyztužení

Nosník (tažená výztuž - minimum, celková výztuž - maximum):

$\rho_{s,t} = 0,00432 \geq \rho_{s,min} = 0,00274 \Rightarrow$  **Vyhovuje**

$\rho_s = 0,00365 \leq \rho_{s,max} = 0,04 \Rightarrow$  **Vyhovuje**

### Stupeň vyztužení smykovou výztuží

$\rho_{w,min} = 0,00178 \leq \rho_w = 0,00739 \Rightarrow$  **Vyhovuje**

Maximální vzdálenost třmíneků  $s_{l,max} = 263,2 \text{ mm} \Rightarrow$  **Vyhovuje**

Maximální vzdálenost větví třmíneků  $s_{t,max} = 263,2 \text{ mm}$

### Posouzení mezního stavu únosnosti

č.	Název	$N_{Ed}$ $N_{Rd}$ [kN]	$M_{Edy}$ $M_{Rdy}$ [kNm]	$M_{Edz}$ $M_{Rdz}$ [kNm]	$V_{Edz}$ $V_{Rdz}$ [kN]	$V_{Edy}$ $V_{Rdy}$ [kN]	Využití [%]	Posouzení
1	Zat. případ 1	0,00	0,00	0,00	28,12	0,00	23,5	Vyhovuje
		-1579,77	33,55	0,00	119,71	0,00		

**Mezní stav únosnosti VYHOVUJE - 23,5 %**

### Celkové posouzení - Průřez VYHOVUJE

Využití: 23,5 %

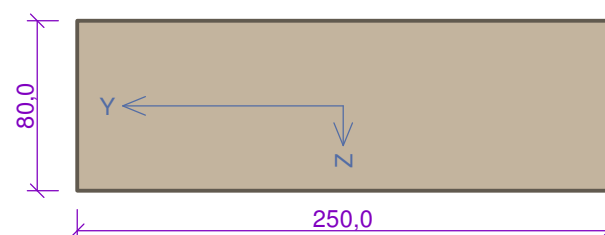
## 41 NV47(nv)\_strop nad 3. NP

### 41.1 Vstupní data

Typ prvku: nosník

Prostředí: X0

#### Průřez



#### Materiály

**Beton: C 16/20**

$f_{ck} = 16,0 \text{ MPa}$ ;  $f_{ctm} = 1,9 \text{ MPa}$ ;  $E_{cm} = 29000 \text{ MPa}$

**Ocel podélná: hladká bez bližšího určení (uživ.)**

$f_{yk} = 180,0 \text{ MPa}$ ;  $E_s = 200000 \text{ MPa}$

**Ocel příčná: hladká bez bližšího určení (uživ.)**

$f_{yk} = 180,0 \text{ MPa}$ ;  $E_s = 200000 \text{ MPa}$

Pevnost oceli neodpovídá rozsahu 400-600MPa určenému normou, další výpočet odpovídá postupům EC2

### Vnitřní síly - základní návrhová (MSÚ)

č.	Název zatěžovacího případu	$N_{Ed}$ [kN]	$M_{Edy}$ [kNm]	$V_{Edz}$ [kN]	QP koef. [-]
1	Zat. případ 1	0,00	0,00	1,20	1,000
2	Zat. případ 2	0,00	0,57	0,00	1,000

#### Podélná výztuž

Počet	Profil [mm]	Krytí [mm]	Umístění
2,5	8	15,0	dolní výztuž

S tlačnou výztuží je počítáno.

#### Smyková výztuž

##### Ohyby

Profil: 18 mm; Počet: 2; Sklon: 45,00 °;

##### Minimální krytí

15,0 mm (uživ.)

## 41.2 Výsledky

### Posouzení min. a max. stupně vyztužení

Nosník (tažená výztuž - minimum, celková výztuž - maximum):

$$\rho_{s,t} = 0,00824 \geq \rho_{s,min} = 0,00274 \Rightarrow \text{Vyhovuje}$$

$$\rho_s = 0,00628 \leq \rho_{s,max} = 0,04 \Rightarrow \text{Vyhovuje}$$

### Stupeň vyztužení smykovou výztuží

$$\rho_{w,min} = 0,00178 \leq \rho_w = 0,00288 \Rightarrow \text{Vyhovuje}$$

**Alespoň  $\beta_3$  (0,5) násobek požadované smykové výztuže musejí tvořit třmínky**

### Posouzení mezního stavu únosnosti

č.	Název	$N_{Ed}$ [kN]	$N_{Rd}$ [kN]	$M_{Edy}$ [kNm]	$M_{Rdy}$ [kNm]	$V_{Edz}$ [kN]	$V_{Rdz}$ [kN]	Využití [%]	Posouzení
1	Zat. případ 1	0,00	-235,99	0,00	1,31	1,20	40,82	2,9	Vyhovuje
2	Zat. případ 2	0,00	0,00	0,57	1,31	0,00	0,00	43,5	Vyhovuje

**Mezní stav únosnosti VYHOVUJE - 43,5 %**

### Celkové posouzení - Průřez VYHOVUJE

Využití: 43,5 %

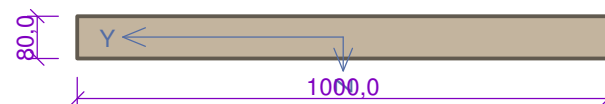
## 42 NV47(d)\_strop nad 3. NP

### 42.1 Vstupní data

Typ prvku: deska

Prostředí: X0

#### Průřez



#### Materiály

**Beton: C 16/20**

$$f_{ck} = 16,0 \text{ MPa}; f_{ctm} = 1,9 \text{ MPa}; E_{cm} = 29000 \text{ MPa}$$

**Ocel podélná: hladká bez bližšího určení (uživ.)**

$$f_{yk} = 180,0 \text{ MPa}; E_s = 200000 \text{ MPa}$$

**Ocel příčná: hladká bez bližšího určení (uživ.)**

$$f_{yk} = 180,0 \text{ MPa}; E_s = 200000 \text{ MPa}$$

Pevnost oceli neodpovídá rozsahu 400-600MPa určenému normou, další výpočet odpovídá postupům EC2

### Vnitřní síly - základní návrhová (MSÚ)

č.	Název zatěžovacího případu	$N_{Ed}$ [kN]	$M_{Edy}$ [kNm]	$V_{Edz}$ [kN]	QP koef. [-]
1	Zat. případ 1	0,00	4,63	0,00	1,000
2	Zat. případ 2	0,00	0,00	9,54	1,000

### Podélná výztuž

Počet	Profil [mm]	Krytí [mm]	Umístění
9	8	5,0	dolní výztuž

S tlačnou výztuží je počítáno.

### Minimální krytí

5,0 mm (uživ.)



## 42.2 Výsledky

### Posouzení min. a max. stupně vyztužení

Deska (tažená výztuž - minimum, celková výztuž - maximum):

$$\rho_{s,t} = 0,00637 \geq \rho_{s,min} = 0,00274$$

$$\rho_{s,t,CSN} = 0,00565 \geq \rho_{s,min,CSN} = 0,0014 \Rightarrow \text{Vyhovuje}$$

$$\rho_s = 0,00565 \leq \rho_{s,max} = 0,04 \Rightarrow \text{Vyhovuje}$$

### Posouzení mezního stavu únosnosti

č.	Název	$N_{Ed}$ [kN]	$N_{Rd}$ [kN]	$M_{Edy}$ [kNm]	$M_{Rdy}$ [kNm]	$V_{Edz}$ [kN]	$V_{Rdz}$ [kN]	Využití [%]	Posouzení
1	Zat. případ 1	0,00	0,00	4,63	5,64	0,00	0,00	82,1	Vyhovuje
2	Zat. případ 2	0,00	-934,91	0,00	5,64	9,54	36,95	25,8	Vyhovuje

**Mezní stav únosnosti VYHOVUJE - 82,1 %**

### Celkové posouzení - Průřez VYHOVUJE

Využití: 82,1 %

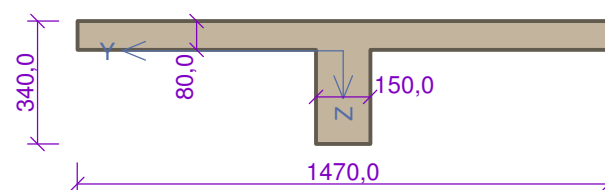
## 43 NV48 (T)\_(M)\_strop nad 3. NP

### 43.1 Vstupní data

Typ prvku: nosník

Prostředí: X0

#### Průřez



#### Materiály

##### Beton: C 16/20

$$f_{ck} = 16,0 \text{ MPa}; f_{ctm} = 1,9 \text{ MPa}; E_{cm} = 29000 \text{ MPa}$$

##### Ocel podélná: hladká bez bližšího určení (uživ.)

$$f_{yk} = 180,0 \text{ MPa}; E_s = 200000 \text{ MPa}$$

##### Ocel příčná: hladká bez bližšího určení (uživ.)

$$f_{yk} = 180,0 \text{ MPa}; E_s = 200000 \text{ MPa}$$

Pevnost oceli neodpovídá rozsahu 400-600MPa určenému normou, další výpočet odpovídá postupům EC2

### Vnitřní síly - základní návrhová (MSÚ)

č.	Název zatěžovacího případu	$N_{Ed}$ [kN]	$M_{Edy}$ [kNm]	$V_{Edz}$ [kN]	QP koef. [-]
1	Zat. případ 1	0,00	57,29	0,00	1,000

### Podélná výztuž

Počet	Profil [mm]	Krytí [mm]	Umístění
2	28	102,5	dolní výztuž
2	24	57,5	dolní výztuž

S tlačnou výztuží je počítáno.

### Smyková výztuž

Průřez bez smykové výztuže.

### Minimální krytí

25,0 mm (uživ.)

## 43.2 Výsledky

### Posouzení min. a max. stupně vyztužení

Nosník (tažená výztuž - minimum, celková výztuž - maximum):

$$\rho_{s,t} = 0,0245 \geq \rho_{s,min} = 0,00274 \Rightarrow \text{Vyhovuje}$$

$$\rho_s = 0,0136 \leq \rho_{s,max} = 0,04 \Rightarrow \text{Vyhovuje}$$

### Posouzení mezního stavu únosnosti

č.	Název	N <sub>Ed</sub> [kN]	N <sub>Rd</sub> [kN]	M <sub>Edy</sub> [kNm]	M <sub>Rdy</sub> [kNm]	V <sub>Edz</sub> [kN]	V <sub>Rdz</sub> [kN]	Využití [%]	Posouzení
1	Zat. případ 1	0,00	0,00	57,29	91,88	0,00	0,00	62,4	Vyhovuje

**Mezní stav únosnosti VYHOVUJE - 62,4 %**

### Celkové posouzení - Průřez VYHOVUJE

Využití: 62,4 %

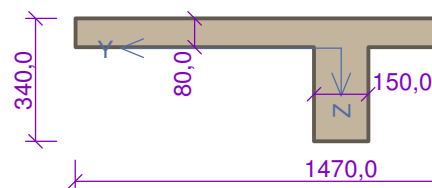
## 44 NV48 (T)\_(V)\_strop nad 3. NP

### 44.1 Vstupní data

Typ prvku: nosník

Prostředí: X0

#### Průřez



#### Materiály

##### Beton: C 16/20

$f_{ck} = 16,0 \text{ MPa}$ ;  $f_{ctm} = 1,9 \text{ MPa}$ ;  $E_{cm} = 29000 \text{ MPa}$

##### Ocel podélná: hladká bez bližšího určení (uživ.)

$f_{yk} = 180,0 \text{ MPa}$ ;  $E_s = 200000 \text{ MPa}$

##### Ocel příčná: hladká bez bližšího určení (uživ.)

$f_{yk} = 180,0 \text{ MPa}$ ;  $E_s = 200000 \text{ MPa}$

Pevnost oceli neodpovídá rozsahu 400-600MPa určenému normou, další výpočet odpovídá postupům EC2

### Vnitřní síly - základní návrhová (MSÚ)

č.	Název zatěžovacího případu	N <sub>Ed</sub> [kN]	M <sub>Edy</sub> [kNm]	V <sub>Edz</sub> [kN]	QP koef. [-]
1	Zat. případ 1	0,00	0,00	48,04	1,000

### Podélná výztuž

Počet	Profil [mm]	Krytí [mm]	Umístění
1	28	120,0	dolní výztuž
1	24	65,0	dolní výztuž

S tlačnou výztuží je počítáno.

### Smyková výztuž

#### Obvodové třmínky

Profil: 8 mm; Vzdálenost: 130,0 mm

#### Ohyby

Profil: 24 mm; Počet: 2; Sklon: 45,00 °;

#### Minimální krytí

25,0 mm (uživ.)

## 44.2 Výsledky

### Posouzení min. a max. stupně vyztužení

Nosník (tažená výztuž - minimum, celková výztuž - maximum):

$$\rho_{s,t} = 0,0114 \geq \rho_{s,min} = 0,00274 \Rightarrow \text{Vyhovuje}$$

$$\rho_s = 0,00682 \leq \rho_{s,max} = 0,04 \Rightarrow \text{Vyhovuje}$$

### Stupeň vyztužení smykovou výztuží

$$\rho_{w,min} = 0,00178 \leq \rho_w = 0,0137 \Rightarrow \text{Vyhovuje}$$

$$\text{Maximální vzdálenost třmíneků } s_{l,max} = 172,8 \text{ mm} \Rightarrow \text{Vyhovuje}$$

$$\text{Maximální vzdálenost větví třmíneků } s_{t,max} = 172,8 \text{ mm}$$

### Posouzení mezního stavu únosnosti

č.	Název	$N_{Ed}$ [kN]	$N_{Rd}$ [kN]	$M_{Edy}$ [kNm]	$M_{Rdy}$ [kNm]	$V_{Edz}$ [kN]	$V_{Rdz}$ [kN]	Využití [%]	Posouzení
1	Zat. případ 1	0,00	-1863,01	0,00	45,66	48,04	114,72	41,9	Vyhovuje

**Mezní stav únosnosti VYHOVUJE - 41,9 %**

### Celkové posouzení - Průřez VYHOVUJE

Využití: 41,9 %

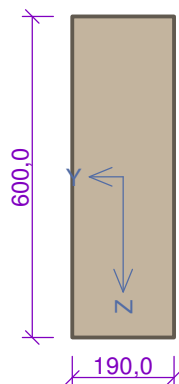
## 45 NV49 (P) (M)

### 45.1 Vstupní data

Typ prvku: nosník

Prostředí: X0

#### Průřez



#### Materiály

##### Beton: C 16/20

$$f_{ck} = 16,0 \text{ MPa}; f_{ctm} = 1,9 \text{ MPa}; E_{cm} = 29000 \text{ MPa}$$

##### Ocel podélná: hladká bez bližšího určení (uživ.)

$$f_{yk} = 180,0 \text{ MPa}; E_s = 200000 \text{ MPa}$$

##### Ocel příčná: hladká bez bližšího určení (uživ.)

$$f_{yk} = 180,0 \text{ MPa}; E_s = 200000 \text{ MPa}$$

Pevnost oceli neodpovídá rozsahu 400-600MPa určenému normou, další výpočet odpovídá postupům EC2

### Vnitřní síly - základní návrhová (MSÚ)

č.	Název zatěžovacího případu	$N_{Ed}$ [kN]	$M_{Edy}$ [kNm]	$V_{Edz}$ [kN]	QP koef. [-]
1	Zat. případ 2	0,00	142,48	0,00	1,000

### Podélná výztuž

Počet	Profil [mm]	Krytí [mm]	Umístění
4	24	52,5	dolní výztuž

S tlačnou výztuží je počítáno.

### Smyková výztuž

#### Obvodové třmínky

Profil: 8 mm; Vzdálenost: 150,0 mm

#### Ohyby

Profil: 30 mm; Počet: 2; Sklon: 45,00 °;

### Minimální krytí

27,5 mm (uživ.)

## 45.2 Výsledky

### Posouzení min. a max. stupně vyztužení

Nosník (tažená výztuž - minimum, celková výztuž - maximum):

$$\rho_{s,t} = 0,0178 \geq \rho_{s,min} = 0,00274 \Rightarrow \text{Vyhovuje}$$

$$\rho_s = 0,0159 \leq \rho_{s,max} = 0,04 \Rightarrow \text{Vyhovuje}$$

### Stupeň vyztužení smykovou výztuží

$$\rho_{w,min} = 0,00178 \leq \rho_w = 0,0141 \Rightarrow \text{Vyhovuje}$$

$$\text{Maximální vzdálenost třmíneků } s_{l,max} = 401,6 \text{ mm} \Rightarrow \text{Vyhovuje}$$

$$\text{Maximální vzdálenost větví třmíneků } s_{t,max} = 401,6 \text{ mm}$$

### Posouzení mezního stavu únosnosti

č.	Název	$N_{Ed}$ [kN]	$N_{Rd}$ [kN]	$M_{Edy}$ [kNm]	$M_{Rdy}$ [kNm]	$V_{Edz}$ [kN]	$V_{Rdz}$ [kN]	Využití [%]	Posouzení
1	Zat. případ 2	0,00	0,00	142,48	148,41	0,00	0,00	96,0	Vyhovuje

Mezní stav únosnosti **VYHOVUJE - 96,0 %**

### Celkové posouzení - Průřez VYHOVUJE

Využití: 96,0 %

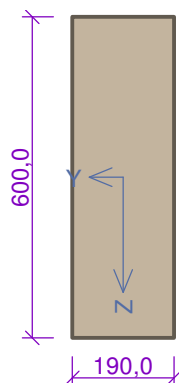
## 46 NV49 (P) (V)

### 46.1 Vstupní data

Typ prvku: nosník

Prostředí: X0

#### Průřez



#### Materiály

##### Beton: C 16/20

$$f_{ck} = 16,0 \text{ MPa}; f_{ctm} = 1,9 \text{ MPa}; E_{cm} = 29000 \text{ MPa}$$

##### Ocel podélná: hladká bez bližšího určení (uživ.)

$$f_{yk} = 180,0 \text{ MPa}; E_s = 200000 \text{ MPa}$$

##### Ocel příčná: hladká bez bližšího určení (uživ.)

$$f_{yk} = 180,0 \text{ MPa}; E_s = 200000 \text{ MPa}$$

Pevnost oceli neodpovídá rozsahu 400-600MPa určenému normou, další výpočet odpovídá postupům EC2

### Vnitřní síly - základní návrhová (MSÚ)

č.	Název zatěžovacího případu	$N_{Ed}$ [kN]	$M_{Edy}$ [kNm]	$V_{Edz}$ [kN]	QP koef. [-]
1	Zat. případ 2	0,00	0,00	150,22	1,000

### Podélná výztuž

Počet	Profil [mm]	Krytí [mm]	Umístění
3	24	45,0	dolní výztuž

S tlačnou výztuží je počítáno.

**Smyková výztuž****Obvodové třmínky**

Profil: 12 mm; Vzdálenost: 250,0 mm

**Ohyby**

Profil: 24 mm; Počet: 1; Sklon: 45,00 °;

**Minimální krytí**

27,5 mm (uživ.)

**46.2 Výsledky****Posouzení min. a max. stupně vyztužení**

Nosník (tažená výztuž - minimum, celková výztuž - maximum):

$$\rho_{s,t} = 0,0132 \geq \rho_{s,min} = 0,00274 \Rightarrow \text{Vyhovuje}$$

$$\rho_s = 0,0119 \leq \rho_{s,max} = 0,04 \Rightarrow \text{Vyhovuje}$$

**Stupeň vyztužení smykovou výztuží**

$$\rho_{w,min} = 0,00178 \leq \rho_w = 0,00813 \Rightarrow \text{Vyhovuje}$$

$$\text{Maximální vzdálenost třmínků } s_{l,max} = 407,2 \text{ mm} \Rightarrow \text{Vyhovuje}$$

$$\text{Maximální vzdálenost větví třmínků } s_{t,max} = 407,2 \text{ mm}$$

**Posouzení mezního stavu únosnosti**

č.	Název	N <sub>Ed</sub> [kN]	N <sub>Rd</sub> [kN]	M <sub>Edy</sub> [kNm]	M <sub>Rdy</sub> [kNm]	V <sub>Edz</sub> [kN]	V <sub>Rdz</sub> [kN]	Využití [%]	Posouzení
1	Zat. případ 2	0,00	-1460,73	0,00	118,79	150,22	229,34	65,5	Vyhovuje

**Mezní stav únosnosti VYHOVUJE - 65,5 %****Celkové posouzení - Průřez VYHOVUJE**

Využití: 65,5 %

**47 NV50(d)\_strop nad 4. NP****47.1 Vstupní data**

Typ prvku: deska

Prostředí: X0

**Průřez****Materiály****Beton: C 16/20**

$$f_{ck} = 16,0 \text{ MPa}; f_{ctm} = 1,9 \text{ MPa}; E_{cm} = 29000 \text{ MPa}$$

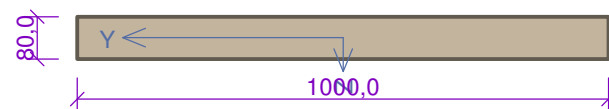
**Ocel podélná: hladká bez bližšího určení (uživ.)**

$$f_{yk} = 180,0 \text{ MPa}; E_s = 200000 \text{ MPa}$$

**Ocel příčná: hladká bez bližšího určení (uživ.)**

$$f_{yk} = 180,0 \text{ MPa}; E_s = 200000 \text{ MPa}$$

Pevnost oceli neodpovídá rozsahu 400-600MPa určenému normou, další výpočet odpovídá postupům EC2

**Vnitřní síly - základní návrhová (MSÚ)**

č.	Název zatěžovacího případu	N <sub>Ed</sub> [kN]	M <sub>Edy</sub> [kNm]	V <sub>Edz</sub> [kN]	QP koef. [-]
1	Zat. případ 1	0,00	4,06	0,00	1,000
2	Zat. případ 2	0,00	0,00	8,50	1,000

### Podélná výztuž

Počet	Profil [mm]	Krytí [mm]	Umístění
9	8	27,5	dolní výztuž

S tlačnou výztuží je počítáno.

### Minimální krytí

27,5 mm (uživ.)

## 47.2 Výsledky

### Posouzení min. a max. stupně vyztužení

Deska (tažená výztuž - minimum, celková výztuž - maximum):

$$\rho_{s,t} = 0,00933 \geq \rho_{s,min} = 0,00274$$

$$\rho_{s,t,CSN} = 0,00565 \geq \rho_{s,min,CSN} = 0,0014 \Rightarrow \text{Vyhovuje}$$

$$\rho_s = 0,00565 \leq \rho_{s,max} = 0,04 \Rightarrow \text{Vyhovuje}$$

### Posouzení mezního stavu únosnosti

č.	Název	N <sub>Ed</sub> [kN]	N <sub>Rd</sub> [kN]	M <sub>Edy</sub> [kNm]	M <sub>Rdy</sub> [kNm]	V <sub>Edz</sub> [kN]	V <sub>Rdz</sub> [kN]	Využití [%]	Posouzení
1	Zat. případ 1	0,00	0,00	4,06	3,70	0,00	0,00	109,8	Nevyhovuje
2	Zat. případ 2	0,00	-934,91	0,00	3,70	8,50	28,66	29,7	Vyhovuje

**Mezní stav únosnosti NEVYHOVUJE - 109,8 %**

### Celkové posouzení - Průřez NEVYHOVUJE

Využití: 109,8 %

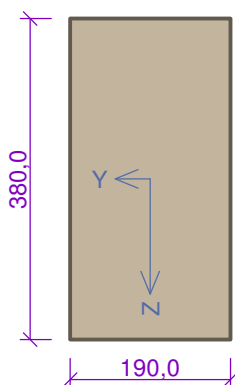
## 48 NV51 (P) (M)

### 48.1 Vstupní data

Typ prvku: nosník

Prostředí: X0

### Průřez



### Materiály

#### Beton: C 16/20

$$f_{ck} = 16,0 \text{ MPa}; f_{ctm} = 1,9 \text{ MPa}; E_{cm} = 29000 \text{ MPa}$$

#### Ocel podélná: hladká bez bližšího určení (uživ.)

$$f_{yk} = 180,0 \text{ MPa}; E_s = 200000 \text{ MPa}$$

#### Ocel příčná: hladká bez bližšího určení (uživ.)

$$f_{yk} = 180,0 \text{ MPa}; E_s = 200000 \text{ MPa}$$

Pevnost oceli neodpovídá rozsahu 400-600MPa určenému normou, další výpočet odpovídá postupům EC2

### Vnitřní síly - základní návrhová (MSÚ)

č.	Název zatěžovacího případu	N <sub>Ed</sub> [kN]	M <sub>Edy</sub> [kNm]	V <sub>Edz</sub> [kN]	QP koef. [-]
1	Zat. případ 2	0,00	151,43	0,00	1,000

### Podélná výztuž

Počet	Profil [mm]	Krytí [mm]	Umístění
2	30	42,5	dolní výztuž

Počet	Profil [mm]	Krytí [mm]	Umístění
2	32	35,0	dolní výztuž

S tlačnou výztuží je počítáno.

### Smyková výztuž

#### Obvodové třmínky

Profil: 8 mm; Vzdálenost: 150,0 mm

#### Ohyby

Profil: 30 mm; Počet: 2; Sklon: 45,00 °;

#### Minimální krytí

27,5 mm (uživ.)

## 48.2 Výsledky

### Posouzení min. a max. stupně vyztužení

Nosník (tažená výztuž - minimum, celková výztuž - maximum):

$$\rho_{s,t} = 0,0488 \geq \rho_{s,min} = 0,00274 \Rightarrow \text{Vyhovuje}$$

$$\rho_s = 0,0419 > \rho_{s,max} = 0,04 \Rightarrow \text{Max. stupeň vyztužení překročen!}$$

### Stupeň vyztužení smykovou výztuží

$$\rho_{w,min} = 0,00178 \leq \rho_w = 0,0141 \Rightarrow \text{Vyhovuje}$$

$$\text{Maximální vzdálenost třmínků } s_{l,max} = 244,6 \text{ mm} \Rightarrow \text{Vyhovuje}$$

$$\text{Maximální vzdálenost větví třmínků } s_{t,max} = 244,6 \text{ mm}$$

### Posouzení mezního stavu únosnosti

č.	Název	$N_{Ed}$ [kN]	$N_{Rd}$ [kN]	$M_{Edy}$ [kNm]	$M_{Rdy}$ [kNm]	$V_{Edz}$ [kN]	$V_{Rdz}$ [kN]	Využití [%]	Posouzení
1	Zat. případ 2	0,00	0,00	151,43	94,59	0,00	0,00	> 300	Nevyh, kód 4

### Seznam chybových kódů:

Kód 4:  $\xi > \xi_{Max} \Rightarrow$  Drcení betonu před dosažením meze kluzu oceli

**Mezní stav únosnosti NEVYHOVUJE - > 300 %**

### Celkové posouzení - Průřez NEVYHOVUJE

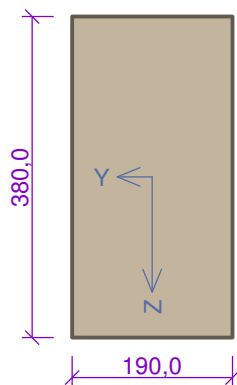
Využití: 160,1 %

## 49 NV51 (P) (V)

### 49.1 Vstupní data

Typ prvku: nosník

Prostředí: X0

**Průřez****Materiály****Beton: C 16/20**
 $f_{ck} = 16,0 \text{ MPa}$ ;  $f_{ctm} = 1,9 \text{ MPa}$ ;  $E_{cm} = 29000 \text{ MPa}$ 
**Ocel podélná: hladká bez bližšího určení (uživ.)**
 $f_{yk} = 180,0 \text{ MPa}$ ;  $E_s = 200000 \text{ MPa}$ 
**Ocel příčná: hladká bez bližšího určení (uživ.)**
 $f_{yk} = 180,0 \text{ MPa}$ ;  $E_s = 200000 \text{ MPa}$ 

Pevnost oceli neodpovídá rozsahu 400-600MPa určenému normou, další výpočet odpovídá postupům EC2

**Vnitřní síly - základní návrhová (MSÚ)**

č.	Název zatěžovacího případu	$N_{Ed}$ [kN]	$M_{Edy}$ [kNm]	$V_{Edz}$ [kN]	QP koef. [-]
1	Zat. případ 2	0,00	0,00	96,05	1,000

**Podélná výztuž**

Počet	Profil [mm]	Krytí [mm]	Umístění
1	30	35,0	dolní výztuž
1	32	40,0	dolní výztuž

S tlačnou výztuží je počítáno.

**Smyková výztuž****Obvodové třmínky**

Profil: 10 mm; Vzdálenost: 150,0 mm

**Ohyby**

Profil: 30 mm; Počet: 2; Sklon: 45,00 °;

**Minimální krytí**

27,5 mm (uživ.)

**49.2 Výsledky****Posouzení min. a max. stupně vyztužení**

Nosník (tažená výztuž - minimum, celková výztuž - maximum):

 $\rho_{s,t} = 0,0243 \geq \rho_{s,min} = 0,00274 \Rightarrow \text{Vyhovuje}$ 
 $\rho_s = 0,0209 \leq \rho_{s,max} = 0,04 \Rightarrow \text{Vyhovuje}$ 
**Stupeň vyztužení smykovou výztuží**
 $\rho_{w,min} = 0,00178 \leq \rho_w = 0,016 \Rightarrow \text{Vyhovuje}$ 

Maximální vzdálenost třmínků  $s_{l,max} = 245,1 \text{ mm} \Rightarrow \text{Vyhovuje}$

Maximální vzdálenost větví třmínků  $s_{t,max} = 245,1 \text{ mm}$

**Posouzení mezního stavu únosnosti**

č.	Název	$N_{Ed}$ [kN]	$N_{Rd}$ [kN]	$M_{Edy}$ [kNm]	$M_{Rdy}$ [kNm]	$V_{Edz}$ [kN]	$V_{Rdz}$ [kN]	Využití [%]	Posouzení
1	Zat. případ 2	0,00	-1042,62	0,00	70,30	96,05	172,66	55,6	Vyhovuje

**Mezní stav únosnosti VYHOVUJE - 55,6 %**

**Celkové posouzení - Průřez VYHOVUJE**

Využití: 55,6 %



## Projekt

Akce : Zak. č. A38 19 002 – Český rozhlas Olomouc – rekonstrukce objektu Pavelčáková 2/19  
Část : D.1.2b STATICKÝ POSUDEK  
Vypracoval : Ing. Martin Sležka  
Datum : 19.12.2019

## Norma

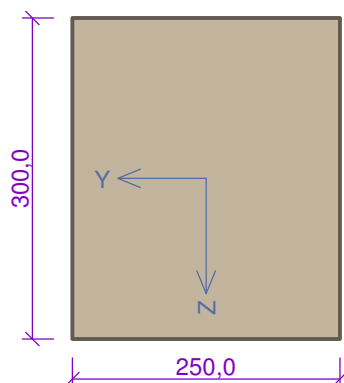
Norma **EN 1992-1-1/Česko**.

## 1 SVĚTLÍK-P(+ME<sub>dy</sub>,MAX)

### 1.1 Vstupní data

Typ prvku: nosník  
Prostředí: XC1

#### Průřez



#### Materiály

##### Beton: C 16/20

$f_{ck} = 16,0$  MPa;  $f_{ctm} = 1,9$  MPa;  $E_{cm} = 29000$  MPa

##### Ocel podélná: B500B

$f_{yk} = 500,0$  MPa;  $E_s = 200000$  MPa

##### Ocel příčná: B500

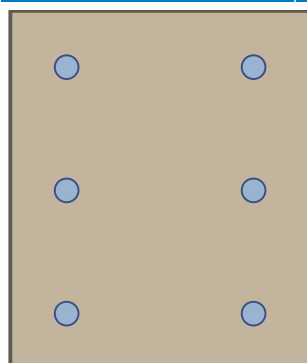
$f_{yk} = 500,0$  MPa;  $E_s = 200000$  MPa

#### Vnitřní síly - základní návrhová (MSÚ)

č.	Název zatěžovacího případu	$N_{Ed}$ [kN]	$M_{Edy}$ [kNm]	$M_{Edz}$ [kNm]	$V_{Edz}$ [kN]	$V_{Edy}$ [kN]	$T_{Ed}$ [kNm]	QP koef. [-]
1	Zat. případ 1	10,44	4,72	-3,50	14,42	0,00	-0,71	1,000

#### Podélná výztuž

Počet	Profil [mm]	Krytí [mm]	Umístění
2	20	37,0	horní výztuž
2	20	140,0	horní výztuž
2	20	37,0	dolní výztuž



2x20-kr.37,0

2x20-kr.140,0

2x20-kr.37,0

S tlačnou výztuží je počítáno.

#### Smyková výztuž

##### Obvodové třmínky

Profil: 8 mm; Vzdálenost: 150,0 mm

**Minimální krytí**

37,0 mm (uživ.)

**1.2 Výsledky****Posouzení min. a max. stupně vyztužení**

Nosník (tažená výztuž - minimum, celková výztuž - maximum):

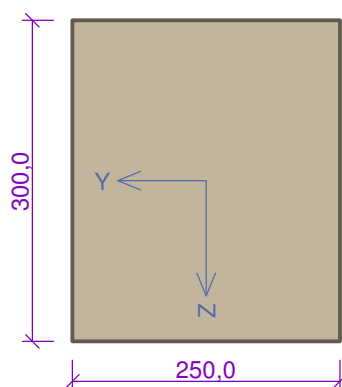
 $\rho_{s,t} = 0,0112 \geq \rho_{s,min} = 0,0013 \Rightarrow$  **Vyhovuje** $\rho_s = 0,0251 \leq \rho_{s,max} = 0,04 \Rightarrow$  **Vyhovuje****Posouzení vzdáleností vložek****Vzdálenosti mezi vložkami vyhovují.****Stupeň vyztužení smykovou výztuží** $\rho_{w,min} = 0,00064 \leq \rho_w = 0,00268 \Rightarrow$  **Vyhovuje**Maximální vzdálenost třmíneků  $s_{l,max} = 189,8 \text{ mm} \Rightarrow$  **Vyhovuje**Maximální vzdálenost větví třmíneků  $s_{t,max} = 189,8 \text{ mm}$ **Posouzení mezního stavu únosnosti**

č.	Název	$N_{Ed}$ $N_{Rd}$ [kN]	$M_{Edy}$ $M_{Rdy}$ [kNm]	$M_{Edz}$ $M_{Rdz}$ [kNm]	$V_{Edz}$ $V_{Rdz}$ [kN]	$V_{Edy}$ $V_{Rdy}$ [kN]	$T_{Ed}$ $T_{Rd}$ [kNm]	Posouzení
1	Zat. případ 1	10,44	4,72	-3,50	14,42	0,00	-0,71	Vyhovuje
		878,26	50,56	-37,49	60,59	0,00	-1,29	

**Mezní stav únosnosti VYHOVUJE****Celkové posouzení - Průřez VYHOVUJE****2 SVĚTLÍK-P(-M<sub>Edy</sub>,MAX)****2.1 Vstupní data**

Typ prvku: nosník

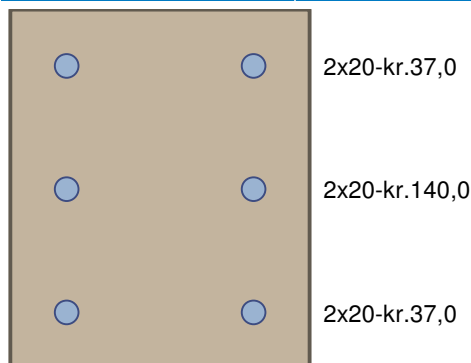
Prostředí: XC1

**Průřez****Materiály****Beton: C 16/20** $f_{ck} = 16,0 \text{ MPa}$ ;  $f_{ctm} = 1,9 \text{ MPa}$ ;  $E_{cm} = 29000 \text{ MPa}$ **Ocel podélná: B500B** $f_{yk} = 500,0 \text{ MPa}$ ;  $E_s = 200000 \text{ MPa}$ **Ocel příčná: B500** $f_{yk} = 500,0 \text{ MPa}$ ;  $E_s = 200000 \text{ MPa}$ **Vnitřní síly - základní návrhová (MSÚ)**

č.	Název zatěžovacího případu	$N_{Ed}$ [kN]	$M_{Edy}$ [kNm]	$M_{Edz}$ [kNm]	$V_{Edz}$ [kN]	$V_{Edy}$ [kN]	$T_{Ed}$ [kNm]	QP koef. [-]
1	Zat. případ 1	-9,53	-10,42	-4,85	14,42	7,31	-2,49	1,000

**Podélná výztuž**

Počet	Profil [mm]	Krytí [mm]	Umístění
2	20	37,0	horní výztuž
2	20	140,0	horní výztuž
2	20	37,0	dolní výztuž



S tlačnou výztuží je počítáno.

**Smyková výztuž****Obvodové třmínky**

Profil: 8 mm; Vzdálenost: 100,0 mm

**Minimální krytí**

37,0 mm (uživ.)

**2.2 Výsledky****Posouzení min. a max. stupně vyztužení**

Nosník (tažená výztuž - minimum, celková výztuž - maximum):

$$\rho_{s,t} = 0,00532 \geq \rho_{s,min} = 0,0013 \Rightarrow \text{Vyhovuje}$$

$$\rho_s = 0,0251 \leq \rho_{s,max} = 0,04 \Rightarrow \text{Vyhovuje}$$

**Posouzení vzdáleností vložek**

Vzdálenosti mezi vložkami vyhovují.

**Stupeň vyztužení smykovou výztuží - Posouzení svisle**

$$\rho_{w,min} = 0,00064 \leq \rho_w = 0,00402 \Rightarrow \text{Vyhovuje}$$

$$\text{Maximální vzdálenost třmínků } s_{l,max} = 189,8 \text{ mm} \Rightarrow \text{Vyhovuje}$$

$$\text{Maximální vzdálenost větví třmínků } s_{t,max} = 189,8 \text{ mm}$$

**Stupeň vyztužení smykovou výztuží - Posouzení vodorovně**

$$\rho_{w,min} = 0,00064 \leq \rho_w = 0,00335 \Rightarrow \text{Vyhovuje}$$

$$\text{Maximální vzdálenost třmínků } s_{l,max} = 152,2 \text{ mm} \Rightarrow \text{Vyhovuje}$$

$$\text{Maximální vzdálenost větví třmínků } s_{t,max} = 152,2 \text{ mm}$$

$$\text{Maximální vzdálenost třmínků } s_{l,max} = 137,5 \text{ mm} \Rightarrow \text{Vyhovuje}$$

**Posouzení mezního stavu únosnosti**

č.	Název	$N_{Ed}$ $N_{Rd}$ [kN]	$M_{Edy}$ $M_{Rdy}$ [kNm]	$M_{Edz}$ $M_{Rdz}$ [kNm]	$V_{Edz}$ $V_{Rdz}$ [kN]	$V_{Edy}$ $V_{Rdy}$ [kN]	$T_{Ed}$ $T_{Rd}$ [kNm]	Posouzení
1	Zat. případ 1	-9,53 -1553,98	-10,42 -60,17	-4,85 -28,00	14,42 50,24	7,31 25,47	-2,49 -8,67	Vyhovuje

**Mezní stav únosnosti VYHOVUJE**

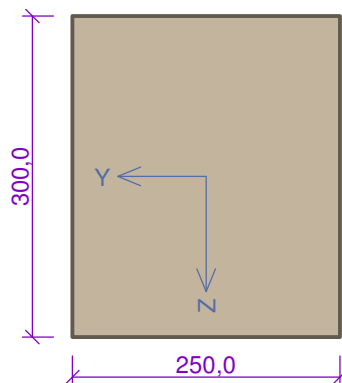
## Celkové posouzení - Průřez VYHOVUJE

# 3 SVĚTLÍK-P(+MEdz,MAX)

## 3.1 Vstupní data

Typ prvku: nosník  
 Prostředí: XC1

### Průřez



### Materiály

#### Beton: C 16/20

$f_{ck} = 16,0$  MPa;  $f_{ctm} = 1,9$  MPa;  $E_{cm} = 29000$  MPa

#### Ocel podélná: B500B

$f_{yk} = 500,0$  MPa;  $E_s = 200000$  MPa

#### Ocel příčná: B500

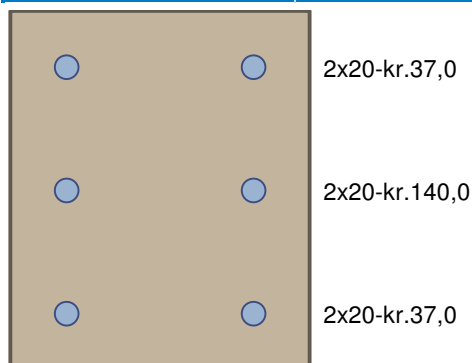
$f_{yk} = 500,0$  MPa;  $E_s = 200000$  MPa

### Vnitřní síly - základní návrhová (MSÚ)

č.	Název zatěžovacího případu	$N_{Ed}$ [kN]	$M_{Edy}$ [kNm]	$M_{Edz}$ [kNm]	$V_{Edz}$ [kN]	$V_{Edy}$ [kN]	$T_{Ed}$ [kNm]	QP koef. [-]
1	Zat. případ 1	-6,68	-9,42	7,60	-14,00	8,61	-0,70	1,000

### Podélná výztuž

Počet	Profil [mm]	Krytí [mm]	Umístění
2	20	37,0	horní výztuž
2	20	140,0	horní výztuž
2	20	37,0	dolní výztuž



S tlačnou výztuží je počítáno.

### Smyková výztuž

#### Obvodové třmínky

Profil: 8 mm; Vzdálenost: 150,0 mm

#### Minimální krytí

37,0 mm (uživ.)

## 3.2 Výsledky

### Posouzení min. a max. stupně vyztužení

Nosník (tažená výztuž - minimum, celková výztuž - maximum):

$$\rho_{s,t} = 0,0111 \geq \rho_{s,min} = 0,0013 \Rightarrow \text{Vyhovuje}$$

$$\rho_s = 0,0251 \leq \rho_{s,max} = 0,04 \Rightarrow \text{Vyhovuje}$$

**Posouzení vzdáleností vložek**

Vzdálenosti mezi vložkami vyhovují.

**Stupeň vyztužení smykovou výztuží - Posouzení svisle**

$$\rho_{w,min} = 0,00064 \leq \rho_w = 0,00268 \Rightarrow \text{Vyhovuje}$$

$$\text{Maximální vzdálenost třmíneků } s_{l,max} = 189,8 \text{ mm} \Rightarrow \text{Vyhovuje}$$

$$\text{Maximální vzdálenost větví třmíneků } s_{t,max} = 189,8 \text{ mm}$$

**Stupeň vyztužení smykovou výztuží - Posouzení vodorovně**

$$\rho_{w,min} = 0,00064 \leq \rho_w = 0,00223 \Rightarrow \text{Vyhovuje}$$

$$\text{Maximální vzdálenost třmíneků } s_{l,max} = 152,2 \text{ mm} \Rightarrow \text{Vyhovuje}$$

$$\text{Maximální vzdálenost větví třmíneků } s_{t,max} = 152,2 \text{ mm}$$

**Posouzení mezního stavu únosnosti**

č.	Název	$N_{Ed}$ $N_{Rd}$ [kN]	$M_{Edy}$ $M_{Rdy}$ [kNm]	$M_{Edz}$ $M_{Rdz}$ [kNm]	$V_{Edz}$ $V_{Rdz}$ [kN]	$V_{Edy}$ $V_{Rdy}$ [kN]	$T_{Ed}$ $T_{Rd}$ [kNm]	Posouzení
1	Zat. případ 1	-6,68	-9,42	7,60	-14,00	8,61	-0,70	Vyhovuje
		-1553,98	-48,96	39,50	-83,48	51,34	-0,91	

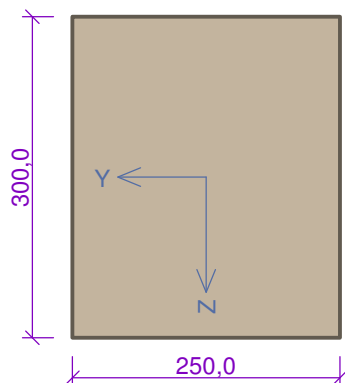
Mezní stav únosnosti VYHOVUJE

Celkové posouzení - Průřez VYHOVUJE

**4 SVĚTLÍK-P(-MEdz,MAX)****4.1 Vstupní data**

Typ prvku: nosník

Prostředí: XC1

**Průřez****Materiály****Beton: C 16/20**

$$f_{ck} = 16,0 \text{ MPa}; f_{ctm} = 1,9 \text{ MPa}; E_{cm} = 29000 \text{ MPa}$$

**Ocel podélná: B500B**

$$f_{yk} = 500,0 \text{ MPa}; E_s = 200000 \text{ MPa}$$

**Ocel příčná: B500**

$$f_{yk} = 500,0 \text{ MPa}; E_s = 200000 \text{ MPa}$$

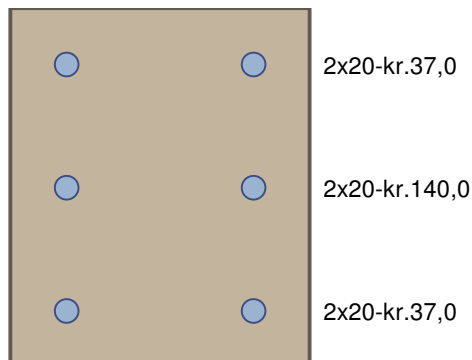
**Vnitřní síly - základní návrhová (MSÚ)**

č.	Název zatěžovacího případu	$N_{Ed}$ [kN]	$M_{Edy}$ [kNm]	$M_{Edz}$ [kNm]	$V_{Edz}$ [kN]	$V_{Edy}$ [kN]	$T_{Ed}$ [kNm]	QP koef. [-]
1	Zat. případ 1	-5,15	-8,49	-8,19	-12,60	-9,31	-0,40	1,000

**Podélná výztuž**

Počet	Profil [mm]	Krytí [mm]	Umístění
2	20	37,0	horní výztuž
2	20	140,0	horní výztuž

Počet	Profil [mm]	Krytí [mm]	Umístění
2	20	37,0	dolní výztuž



S tlačnou výztuží je počítáno.

### Smyková výztuž

#### Obvodové třmínky

Profil: 8 mm; Vzdálenost: 150,0 mm

#### Minimální krytí

37,0 mm (uživ.)

## 4.2 Výsledky

### Posouzení min. a max. stupně vyztužení

Nosník (tažená výztuž - minimum, celková výztuž - maximum):

$$\rho_{s,t} = 0,0108 \geq \rho_{s,min} = 0,0013 \Rightarrow \text{Vyhovuje}$$

$$\rho_s = 0,0251 \leq \rho_{s,max} = 0,04 \Rightarrow \text{Vyhovuje}$$

### Posouzení vzdáleností vložek

Vzdálenosti mezi vložkami vyhovují.

### Stupeň vyztužení smykovou výztuží - Posouzení svisle

$$\rho_{w,min} = 0,00064 \leq \rho_w = 0,00268 \Rightarrow \text{Vyhovuje}$$

$$\text{Maximální vzdálenost třmínků } s_{l,max} = 189,8 \text{ mm} \Rightarrow \text{Vyhovuje}$$

$$\text{Maximální vzdálenost větví třmínků } s_{t,max} = 189,8 \text{ mm}$$

### Stupeň vyztužení smykovou výztuží - Posouzení vodorovně

$$\rho_{w,min} = 0,00064 \leq \rho_w = 0,00223 \Rightarrow \text{Vyhovuje}$$

$$\text{Maximální vzdálenost třmínků } s_{l,max} = 152,2 \text{ mm} \Rightarrow \text{Vyhovuje}$$

$$\text{Maximální vzdálenost větví třmínků } s_{t,max} = 152,2 \text{ mm}$$

### Posouzení mezního stavu únosnosti

č.	Název	$N_{Ed}$ $N_{Rd}$ [kN]	$M_{Edy}$ $M_{Rdy}$ [kNm]	$M_{Edz}$ $M_{Rdz}$ [kNm]	$V_{Edz}$ $V_{Rdz}$ [kN]	$V_{Edy}$ $V_{Rdy}$ [kN]	$T_{Ed}$ $T_{Rd}$ [kNm]	Posouzení
1	Zat. případ 1	-5,15 -1553,98	-8,49 -45,04	-8,19 -43,45	-12,60 -75,69	-9,31 -55,92	-0,40 -0,68	Vyhovuje

Mezní stav únosnosti VYHOVUJE

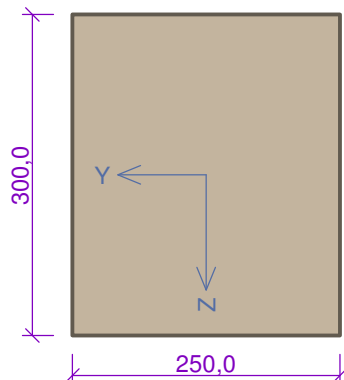
Celkové posouzení - Průřez VYHOVUJE

## 5 SVĚTLÍK-P(MEdx,MAX)

### 5.1 Vstupní data

Typ prvku: nosník  
Prostředí: XC1

#### Průřez



#### Materiály

##### Beton: C 20/25

$f_{ck} = 20,0$  MPa;  $f_{ctm} = 2,2$  MPa;  $E_{cm} = 30000$  MPa

##### Ocel podélná: B500B

$f_{yk} = 500,0$  MPa;  $E_s = 200000$  MPa

##### Ocel příčná: B500

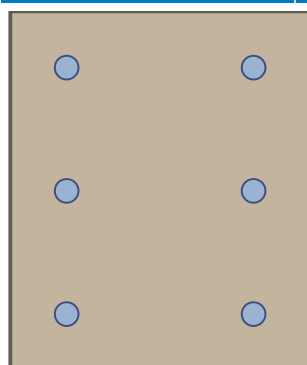
$f_{yk} = 500,0$  MPa;  $E_s = 200000$  MPa

#### Vnitřní síly - základní návrhová (MSÚ)

č.	Název zatěžovacího případu	$N_{Ed}$ [kN]	$M_{Edy}$ [kNm]	$M_{Edz}$ [kNm]	$V_{Edz}$ [kN]	$V_{Edy}$ [kN]	$T_{Ed}$ [kNm]	QP koef. [-]
1	Zat. případ 1	2,00	-1,12	-0,30	-2,61	1,12	-4,31	1,000

#### Podélná výztuž

Počet	Profil [mm]	Krytí [mm]	Umístění
2	20	37,0	horní výztuž
2	20	140,0	horní výztuž
2	20	37,0	dolní výztuž



2x20-kr.37,0

2x20-kr.140,0

2x20-kr.37,0

S tlačnou výztuží je počítáno.

#### Smyková výztuž

##### Obvodové třmínky

Profil: 8 mm; Vzdálenost: 150,0 mm

##### Minimální krytí

37,0 mm (uživ.)

### 5.2 Výsledky

#### Posouzení min. a max. stupně vyztužení

Nosník (tažená výztuž - minimum, celková výztuž - maximum):

$\rho_{s,t} = 0,0108 \geq \rho_{s,min} = 0,0013 \Rightarrow$  **Vyhovuje**

$$\rho_s = 0,0251 \leq \rho_{s,max} = 0,04 \Rightarrow \text{Vyhovuje}$$

**Posouzení vzdáleností vložek****Vzdálenosti mezi vložkami vyhovují.****Stupeň vyztužení smykovou výztuží - Posouzení svisle**

$$\rho_{w,min} = 0,000716 \leq \rho_w = 0,00268 \Rightarrow \text{Vyhovuje}$$

Maximální vzdálenost třmíneků  $s_{l,max} = 189,8 \text{ mm} \Rightarrow \text{Vyhovuje}$ Maximální vzdálenost větví třmíneků  $s_{t,max} = 189,8 \text{ mm}$ **Stupeň vyztužení smykovou výztuží - Posouzení vodorovně**

$$\rho_{w,min} = 0,000716 \leq \rho_w = 0,00223 \Rightarrow \text{Vyhovuje}$$

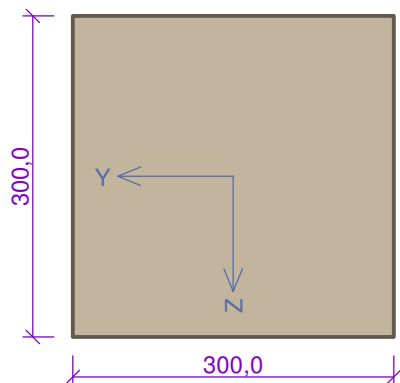
Maximální vzdálenost třmíneků  $s_{l,max} = 152,2 \text{ mm} \Rightarrow \text{Vyhovuje}$ Maximální vzdálenost větví třmíneků  $s_{t,max} = 152,2 \text{ mm}$ **Posouzení mezního stavu únosnosti**

č.	Název	$N_{Ed}$ $N_{Rd}$ [kN]	$M_{Edy}$ $M_{Rdy}$ [kNm]	$M_{Edz}$ $M_{Rdz}$ [kNm]	$V_{Edz}$ $V_{Rdz}$ [kN]	$V_{Edy}$ $V_{Rdy}$ [kN]	$T_{Ed}$ $T_{Rd}$ [kNm]	Posouzení
1	Zat. případ 1	2,00	-1,12	-0,30	-2,61	1,12	-4,31	Vyhovuje
		878,26	-71,52	-19,16	-96,70	41,50	-5,44	

**Mezní stav únosnosti VYHOVUJE****Celkové posouzení - Průřez VYHOVUJE****6 ŽB trám 300/300 pod příčkami v 1. NP****6.1 Vstupní data**

Typ prvku: nosník

Prostředí: XC2

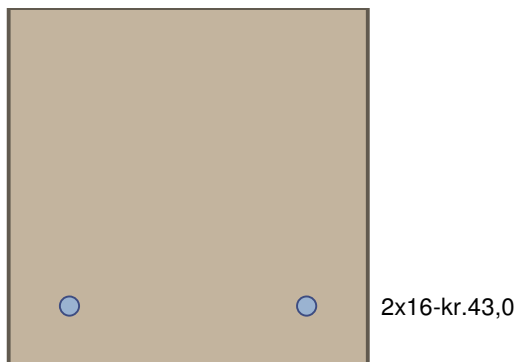
**Průřez****Materiály****Beton: C 16/20** $f_{ck} = 16,0 \text{ MPa}$ ;  $f_{ctm} = 1,9 \text{ MPa}$ ;  $E_{cm} = 29000 \text{ MPa}$ **Ocel podélná: B500B** $f_{yk} = 500,0 \text{ MPa}$ ;  $E_s = 200000 \text{ MPa}$ **Ocel příčná: B500** $f_{yk} = 500,0 \text{ MPa}$ ;  $E_s = 200000 \text{ MPa}$ **Vnitřní síly - základní návrhová (MSÚ)**

č.	Název zatěžovacího případu	$N_{Ed}$ [kN]	$M_{Edy}$ [kNm]	$V_{Edz}$ [kN]	QP koef. [-]
1	Zat. případ 1	0,00	20,84	0,00	1,000
2	Zat. případ 2	0,00	0,00	28,90	1,000

**Podélná výztuž**

Počet	Profil [mm]	Krytí [mm]	Umístění
2	16	43,0	dolní výztuž





S tlačnou výztuží je počítáno.

### Smyková výztuž

#### Obvodové třmínky

Profil: 8 mm; Vzdálenost: 180,0 mm

#### Minimální krytí

Třída konstrukce: S4

## 6.2 Výsledky

### Posouzení min. a max. stupně vyztužení

Nosník (tažená výztuž - minimum, celková výztuž - maximum):

$$\rho_{s,t} = 0,00538 \geq \rho_{s,min} = 0,0013 \Rightarrow \text{Vyhovuje}$$

$$\rho_s = 0,00447 \leq \rho_{s,max} = 0,04 \Rightarrow \text{Vyhovuje}$$

### Posouzení vzdáleností vložek

Vzdálenosti mezi vložkami vyhovují.

### Stupeň vyztužení smykovou výztuží

$$\rho_{w,min} = 0,00064 \leq \rho_w = 0,00186 \Rightarrow \text{Vyhovuje}$$

$$\text{Maximální vzdálenost třmínků } s_{l,max} = 186,8 \text{ mm} \Rightarrow \text{Vyhovuje}$$

$$\text{Maximální vzdálenost větví třmínků } s_{t,max} = 186,8 \text{ mm}$$

### Posouzení mezního stavu únosnosti

č.	Název	$N_{Ed}$ [kN]	$N_{Rd}$ [kN]	$M_{Edy}$ [kNm]	$M_{Rdy}$ [kNm]	$V_{Edz}$ [kN]	$V_{Rdz}$ [kN]	Posouzení
1	Zat. případ 1	0,00	0,00	20,84	39,02	0,00	0,00	Vyhovuje
2	Zat. případ 2	0,00	-1120,85	0,00	39,02	28,90	93,73	Vyhovuje

Mezní stav únosnosti VYHOVUJE

Celkové posouzení - Průřez VYHOVUJE

## Výpočet Mikropiloty

### Vstupní data

#### Nastavení

Standardní - EN 1997 - DA2

#### Materiály a normy

Betonové konstrukce : EN 1992-1-1 (EC2)

Součinitele EN 1992-1-1 : standardní

Ocelové konstrukce : EN 1993-1-1 (EC3)

Dílčí součinitel únosnosti ocelového průřezu :  $\gamma_{M0} = 1,00$

#### Mikropiloty

Výpočet únosnosti dřívku : geometrická (Eulerova) metoda

Výpočet únosnosti kořene : metoda Lizziho

Metodika posouzení : mezní stavy

Součinitele redukce parametrů zemin			
Trvalá návrhová situace			
Součinitel redukce úhlu vnitřního tření :	$\gamma_{m\phi} =$	1,25	[-]
Součinitel redukce soudržnosti :	$\gamma_{mc} =$	1,40	[-]
Součinitel redukce kritické síly :	$\gamma_{mf} =$	1,00	[-]
Součinitel spolehlivosti cementové směsi :	$\gamma_{sc} =$	1,50	[-]
Součinitel spolehlivosti oceli :	$\gamma_{ss} =$	1,50	[-]
Součinitel redukce únosnosti kořene :	$\gamma_r =$	1,50	[-]

#### Geometrie

Průměr = 89,0 mm

Tloušťka stěny = 10,0 mm

Volná délka mikropiloty  $l = 0,50$  m

Délka kořene  $l_r = 6,50$  m

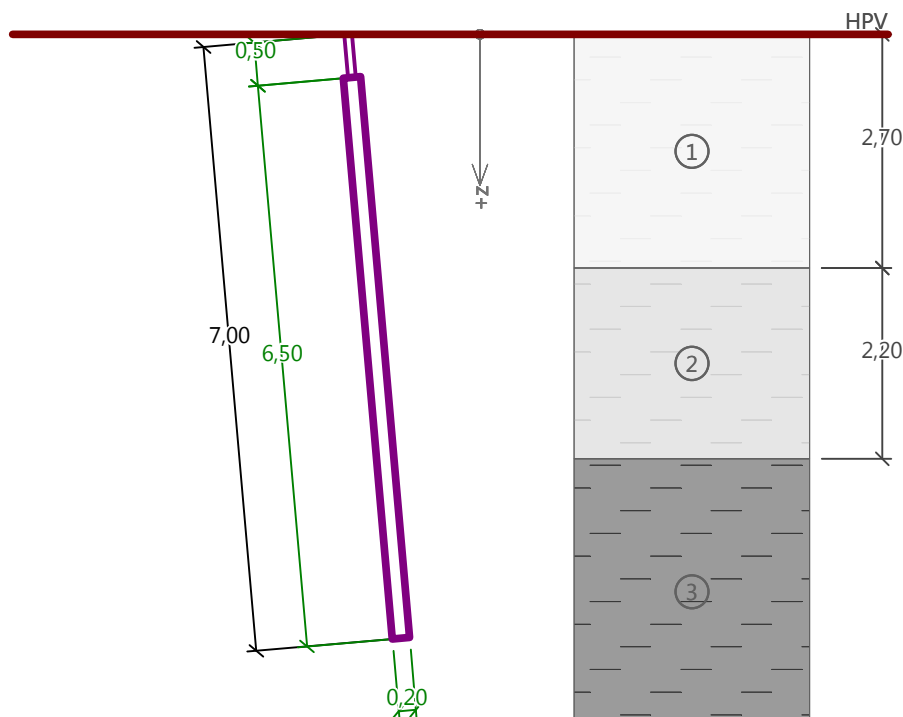
Průměr kořene  $d_r = 0,20$  m

Odklon mikropiloty od svislice  $\alpha = 5,00$  °

Vysazení mikropiloty nad terén  $l_a = 0,00$  m

## Název : Geometrie

## Fáze - výpočet : 1 - 0



## Materiál konstrukce

Objemová tíha  $\gamma = 23,00 \text{ kN/m}^3$ 

Výpočet betonových konstrukcí proveden podle normy EN 1992-1-1 (EC2).

## Beton : CEM II/A-S (tř. 32,5)

Válcová pevnost v tlaku

 $f_{ck} = 32,50 \text{ MPa}$ 

Modul pružnosti

 $E_{cm} = 32000,00 \text{ MPa}$ 

## Ocel konstrukční: EN 10210-1 : S 355

Mez kluzu

 $f_y = 355,00 \text{ MPa}$ 

Modul pružnosti

 $E = 210000,00 \text{ MPa}$ 

## Geologický profil a přiřazení zemin

Číslo	Mocnost vrstvy t [m]	Hloubka z [m]	Přiřazená zemina	Vzorek
1	2,70	0,00 .. 2,70	Třída F6, konzistence tuhá	
2	2,20	2,70 .. 4,90	Třída F8, konzistence tuhá	
3	-	4,90 .. ∞	Třída F8, konzistence pevná, $S_r > 0,8$	

## Zatížení

Číslo	Zatížení nové změna	Název	Síla N [kN]	Moment M [kNm]
1	Ano	Zatížení č. 1	157,83	8,00

## Hladina podzemní vody

Hladina podzemní vody je v hloubce 0,00 m od původního terénu.

**Posouzení čís. 1****Posouzení průřezu 1**

Výpočet proveden s automatickým výběrem nejnepriznivějších zatěžovacích stavů.

**Ve výpočtu uvažován vliv koroze**

Požadovaná životnost  $t = 80$  [rok]

Typ zeminy: zeminy v přírodním uložení

**Posouzení vnitřní stability průřezu: geometrická (Eulerova) metoda**

Výpočet vzpěrné délky průřezu - uložení (kloub-kloub).

Modul reakce podloží  $E_p = 10,00$  MN/m<sup>3</sup>

Spočtený počet půlvln  $n = 1,46$

Vzpěrná délka  $l_{cr} = 1,65$  m

Kritická normálová síla  $N_{crd} = 1425,04$  kN

Maximální normálová síla  $N_{max} = 157,83$  kN

**Vnitřní stabilita průřezu mikropiloty VYHOVUJE****Posouzení únosnosti spřaženého průřezu:**

Plocha ideálního průřezu  $A_i = 2,79E+03$  mm<sup>2</sup>

Moment setrvačnosti ideálního průřezu  $J_i = 1,88E+06$  mm<sup>4</sup>

Štíhlost prutu  $\lambda = 63,657$

Součinitel vzpěrnosti  $\kappa = 0,807$

Úroveň neutrálné osy  $= -22,0$  mm

Napětí v oceli  $= 170,73$  MPa

Výpočtová pevnost oceli  $= 236,67$  MPa

**Spřažený průřez mikropiloty VYHOVUJE****Posouzení čís. 1****Posouzení kořene**

Způsob výpočtu - metoda Lizziho.

Součinitel vlivu průměru kořene  $= 0,85$

**Plášťové tření na kořeni**

Číslo	Pořadnice [m]	Tření [kPa]
1	0,00	0,00
2	0,55	65,00
3	2,70	80,00
4	4,90	130,00
5	6,50	130,00

**Posouzení tlačené mikropiloty**

Únosnost pláště mikropiloty  $R_s = 327,25$  kN

Výpočtová únosnost kořene mikropiloty  $R_d = 218,17$  kN

Maximální normálová síla  $N_{max} = 157,83$  kN

**Únosnost tlačené mikropiloty VYHOVUJE**

## PŘÍLOHA Č. V - ZÁKLADOVÉ PATKY

### ☐ ZÁKLADOVÁ PATKA PŘÍSTŘEŠKU

CELKOVÉ ZATÍŽENÍ - $Q_n / Q_d$ - bodové		a) hranatá patka		
popis	charakt.	$\gamma_f$	návrhové	
reakce od sloupu SL	8,45 x	1,38	= 11,66	
vl. tíha základové patky	2,48 x	1,35	= 3,3534	
$q_k = 10,93$			$q_d = 15,01$ [kN]	

CELKOVÉ ZATÍŽENÍ - $Q_n / Q_d$ - bodové		b) kruhová patka		
popis	charakt.	$\gamma_f$	návrhové	
reakce od sloupu SL	8,45 x	1,38	= 11,66	
vl. tíha základové patky	2,66 x	1,35	= 3,58	
$q_k = 11,10$			$q_d = 15,24$ [kN]	

		a) hranatá patka	b) kruhová patka
rozměry pásů v daném směru: šířka pásu /průměr	$b$	= 0,30 m	$D$ = 0,35 m
	délka úseku	$l$ = 0,30 m	
	výška	$h$ = 1,20 m	$h$ = 1,20 m
	započítaná kontaktní plocha	$A$ = 0,09 m <sup>2</sup>	$A$ = 0,10 m <sup>2</sup>

1s1g Posudek podle mezního stavu 1.skupiny 1.geotechnické kategorie

- tab.výpočtová únosnost zákl.půdy	$R_{dt} = 200,0$ kPa	- únosnost předpokládaná ze zkušenných
- kontaktní napětí v zákl. spáře	$\sigma_{ds} = V_{ds} / A_{ef}$	násypů $E_{def} = 20$ MPa.
	$N_{ds} = 15,0$ kN	$N_{ds} = 15,2$ kN
	$H_x = 0,8$ kN	$H_x = 0,8$ kN
	$A_{ef} = 0,1$ m <sup>2</sup>	
ad a) hranatá patka	$\sigma_{ds} = 166,8$ kPa	
	$R_{dt} > \sigma_{ds}$	<b>VYHOVUJE</b> 83,4%
ad b) kruhová patka	$\sigma_{ds} = 158,5$ kPa	
	$R_{dt} < \sigma_{ds}$	<b>VYHOVUJE</b> 79,2%

NAVRŽENÁ PLOCHA ZÁKLADU VYHOVUJE NA PŮSOBÍCÍ ZATÍŽENÍ.

### ☐ ZÁKLADOVÝ PÁS PŘÍSTŘEŠKU

CELKOVÉ ZATÍŽENÍ - $Q_n / Q_d$ - bodové		a) hranatá patka		
popis	charakt.	$\gamma_f$	návrhové	
reakce od sloupu SL	18,35 x	1,38	= 25,32	
vl. tíha základové patky	3,88 x	1,35	= 5,239688	
$q_k = 22,23$			$q_d = 30,56$ [kN]	

		a) hranatá patka
rozměry pásů v daném směru: šířka pásu /průměr	$b$	= 0,30 m
	délka úseku	$l$ = 0,75 m
	výška	$h$ = 0,75 m
	započítaná kontaktní plocha	$A$ = 0,23 m <sup>2</sup>

1s1g Posudek podle mezního stavu 1.skupiny 1.geotechnické kategorie

- tab.výpočtová únosnost zákl.půdy	$R_{dt} = 200,0$ kPa	- únosnost předpokládaná ze zkušenných
- kontaktní napětí v zákl. spáře	$\sigma_{ds} = V_{ds} / A_{ef}$	násypů $E_{def} = 20$ MPa.
	$N_{ds} = 30,6$ kN	
	$H_x = 1,5$ kN	
	$A_{ef} = 0,2$ m <sup>2</sup>	
	$\sigma_{ds} = 135,8$ kPa	
	$R_{dt} > \sigma_{ds}$	<b>VYHOVUJE</b> 67,9%

NAVRŽENÁ PLOCHA ZÁKLADU VYHOVUJE NA PŮSOBÍCÍ ZATÍŽENÍ.

## Projekt

Akce : Zak. č. A38 19 002 – Český rozhlas Olomouc – rekonstrukce objektu Pavelčáková 2/19  
 Část : D.1.2b STATICKÝ POSUDEK  
 Popis : Příloha č. VI  
 Vypracoval : Ing. Martin Sležka  
 Datum : 10.10.2019

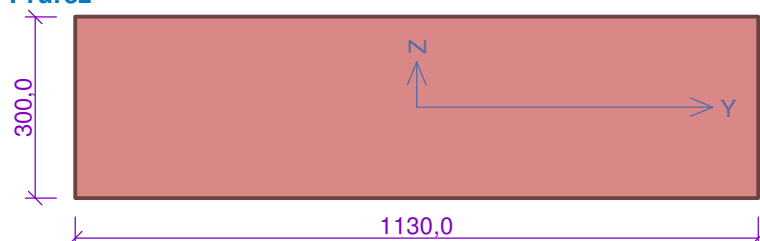
## Norma

Norma **EN 1996-1-1/Česko**.

## 1 Pilíř 1

### 1.1 Vstupní data

#### Průřez



#### Materiál

Název: Zdivo pálené P20 - Malta obyčejná M5

Pevnost v tlaku  $f_k = 7,257 \text{ MPa}$   
 Pevnost ve smyku  $f_{vko} = 0,2 \text{ MPa}$   
 Pevnost v tahu za ohybu okolo vodorovné osy  $f_{xk1} = 0,1 \text{ MPa}$   
 Pevnost v tahu za ohybu okolo svislé osy  $f_{xk2} = 0,4 \text{ MPa}$   
 Dílčí součinitel materiálu  $\gamma_M = 2,2$   
 Součinitel dotvarování  $\varphi = 1$   
 Objemová hmotnost  $\rho = 1\,900$

#### Vnitřní síly

č.	Název zatěžovacího případu	$N_{Ed}$ [kN]	$M_{Edy}$ [kNm]	$M_{Edz}$ [kNm]	$V_{Edz}$ [kN]	$V_{Edy}$ [kN]	Typ
1	Zat. případ 1	-402,00	30,15	0,00	20,00	0,00	Hlava
		-416,09	0,00	0,00	20,00	0,00	Střed
		-430,17	-30,15	0,00	20,00	0,00	Pata

#### Vzpěr

Typ výpočtu: Imperfekce a vzpěr řešeny samostatně ve směru os

Vzpěrná délka Y:  $3,240 \times 1,00 = 3,240 \text{ m}$

Vzpěrná délka Z:  $3,240 \times 1,00 = 3,240 \text{ m}$

### 1.2 Výsledky

#### Mezní stav únosnosti

Štíhlost prvku  $h_{ef}/t_{ef} = 10,8 \leq 27 \Rightarrow$  **Vyhovuje**

č.	Název	N <sub>Ed</sub>	M <sub>Edy</sub>	M <sub>Edz</sub>	V <sub>Edz</sub>	V <sub>Edy</sub>	Posouzení
		N <sub>Rd</sub>	M <sub>Rdy</sub>	M <sub>Rdz</sub>	V <sub>Rdz</sub>	V <sub>Rdy</sub>	
		[kN]	[kNm]		[kN]		
1	Zat. případ 1 - Hlava	-402,00	30,15	0,00	20,00	0,00	Vyhovuje
		-505,46	-	-	83,56	0,00	
	Zat. případ 1 - Střed	-416,09	0,00	0,00	20,00	0,00	Vyhovuje
		-923,50	-	-	106,47	0,00	
	Zat. případ 1 - Pata	-430,17	-30,15	0,00	20,00	0,00	Vyhovuje
		-542,08	-	-	89,78	0,00	

Mezní stav únosnosti - Vyhovuje

Celkové posouzení - Průřez Vyhovuje

Společnost: Marpo s.r.o.  
 Projektant: Ing. Martin Sležka  
 Adresa:  
 Telefon I fax: |  
 E-mail:

Strana: 1  
 Projekt: Zak. č. A38 19 002  
 Dílčí projekt / pozice č.: ČRo Olomouc  
 Datum: 31.1.2020

**Komentář uživatele:** Příloha č. VII.1 - Kotvení (z4) K1, K2

## 1 Vstupní data



**Typ a velikost kotvy:** HIT-HY 200-A + HAS-U 5.8 M16

Období návratu (životnost v letech): 50

**Seismický/Plnicí set nebo jiné vhodné řešení pro vyplněné prstencových mezer**

Efektivní kotvení hloubka:  $h_{ef,act} = 200 \text{ mm}$  ( $h_{ef,limit} = - \text{mm}$ )

Materiál: 5.8

Certifikát č.: Hilti technická data

Vydaný I Platný: - | -

Posouzení: SOFA + fib (07/2011) - po ETAG BOND zkoušce

Distanční montáž: bez upnutí (kotva); stupeň zadržení (kotevní deska): 2,00;  $e_b = 10 \text{ mm}$ ;  $t = 12 \text{ mm}$

Hilti malta: , víceúčelová,  $f_{c,GROUT} = 40,00 \text{ N/mm}^2$

Kotevní deska:  $I_x \times I_y \times t = 250 \text{ mm} \times 250 \text{ mm} \times 12 \text{ mm}$ ; (Doporučená tloušťka kotevní desky: nepočítána)

Profil: Obdélníkový dutý profil,  $200 \times 120 \times 5,6$ ; ( $V \times \check{S} \times T$ ) =  $200 \text{ mm} \times 120 \text{ mm} \times 6 \text{ mm}$

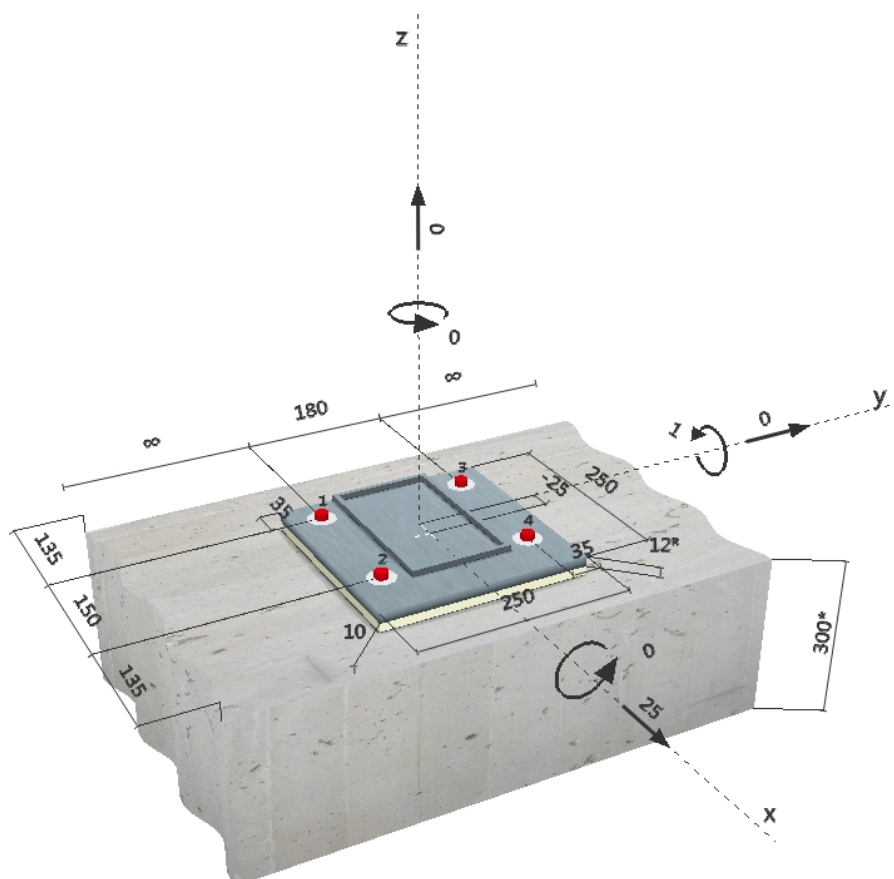
Základní materiál: s trhlinami beton, C16/20,  $f_{c,cyl} = 16,00 \text{ N/mm}^2$ ;  $h = 300 \text{ mm}$ , teplota krátkodobá/dlouhodobá: 40/24 °C

**Montáž:** kotevní otvor vrtaný přiklepem, montážní podmínky: suché

Výztuž: Žádná výztuž nebo osová vzdálenost výztuže  $\geq 150 \text{ mm}$  (jakýkoliv  $\emptyset$ ) nebo  $\geq 100 \text{ mm}$  ( $\emptyset \leq 10 \text{ mm}$ )  
 s podélnou výztuží okraje  $d \geq 12$

<sup>R</sup> - Uživatel je odpovědný za zajištění pevné patní desky pro zadanou tloušťku a příslušná řešení (výztuže atd.)

### Geometrie [mm] & Zatížení [kN, kNm]





Společnost: Marpo s.r.o.  
 Projektant: Ing. Martin Sležka  
 Adresa:  
 Telefon I fax: |  
 E-mail:

Strana: 2  
 Projekt: Zak. č. A38 19 002  
 Dílčí projekt / pozice č.: ČRo Olomouc  
 Datum: 31.1.2020

## 2 Zatěžovací stav/Výsledné síly v kotvách

Zatěžovací stav: Návrhové zatížení

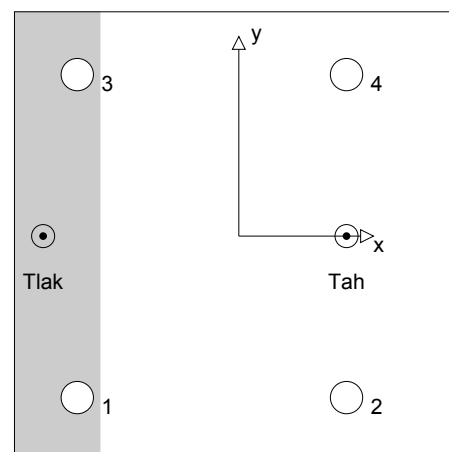
### Reakce v kotvách [kN]

Tahová síla: (+ Tah, - Tlak)

Kotva	Tahová síla	Smyková síla	Smyková síla x	Smyková síla y
1	0,000	6,250	6,250	0,000
2	2,958	6,250	6,250	0,000
3	0,000	6,250	6,250	0,000
4	2,958	6,250	6,250	0,000

max. tlakové přetvoření betonu: 0,03 [‰]  
 max. tlakové napětí v betonu: 0,99 [N/mm<sup>2</sup>]  
 výsledná tahová síla v (x/y)=(60/0): 5,916 [kN]  
 výsledná tlaková síla v (x/y)=(-109/0): 5,916 [kN]

Kotevné síly za předpokladu pevné patní desky!



## 3 Tahové zatížení SOFA (fib (07/2011), odstavec 16.2.1)

	Zatížení [kN]	Únosnost [kN]	Využití $\beta_N$ [%]	Stav
Porušení oceli*	2,958	52,333	6	OK
Kombinované porušení vytažením - vytržením betonového kuželu**	5,916	51,087	12	OK
Porušení vytržením betonového kuželu**	5,916	44,130	14	OK
Porušení rozštěpením**	5,916	37,573	16	OK

\* nejnejpříznivější kotva \*\* skupina kotev (kotvy v tahu)

### 3.1 Porušení oceli

$N_{Rk,s}$ [kN]	$\gamma_{M,s}$	$N_{Rd,s}$ [kN]	$N_{Sd}$ [kN]
78,500	1,500	52,333	2,958

### 3.2 Kombinované porušení vytažením - vytržením betonového kuželu

$A_{p,N}$ [mm <sup>2</sup> ]	$A_{p,N}^0$ [mm <sup>2</sup> ]	$\psi_{A,Np}$	$\tau_{Rk,ucr,25}$ [N/mm <sup>2</sup> ]	$s_{cr,Np}$ [mm]	$c_{cr,Np}$ [mm]	$c_{min}$ [mm]
258 722	245 760	1,053	18,00	496	248	135
$\psi_c$	$\tau_{Rk,cr}$ [N/mm <sup>2</sup> ]	$\max \tau_{Rk,cr}$ [N/mm <sup>2</sup> ]	$\psi_{g,Np}^0$	$\psi_{g,Np}$		
0,976	8,29	8,67	1,026	1,011		
$e_{c1,N}$ [mm]	$\psi_{ec1,Np}$	$e_{c2,N}$ [mm]	$\psi_{ec2,Np}$	$\psi_{s,Np}$	$\psi_{re,Np}$	
0	1,000	0	1,000	0,863	1,000	
$N_{Rk,p}^0$ [kN]	$N_{Rk,p}$ [kN]	$\gamma_{M,p}$	$N_{Rd,p}$ [kN]	$N_{Sd}$ [kN]		
83,379	76,631	1,500	51,087	5,916		

### 3.3 Porušení vytržením betonového kuželu

$A_{c,N}$ [mm <sup>2</sup> ]	$A_{c,N}^0$ [mm <sup>2</sup> ]	$\psi_{A,N}$	$c_{cr,N}$ [mm]	$s_{cr,N}$ [mm]	
327 600	360 000	0,910	300	600	
$e_{c1,N}$ [mm]	$\psi_{ec1,N}$	$e_{c2,N}$ [mm]	$\psi_{ec2,N}$	$\psi_{s,N}$	$\psi_{re,N}$
0	1,000	0	1,000	0,835	1,000
$k_1$	$N_{Rk,c}^0$ [kN]	$\gamma_{M,c}$	$N_{Rd,c}$ [kN]	$N_{Sd}$ [kN]	
7,700	87,116	1,500	44,130	5,916	

Společnost:	Marpo s.r.o.	Strana:	3
Projektant:	Ing. Martin Sležka	Projekt:	Zak. č. A38 19 002
Adresa:		Dílčí projekt / pozice č.:	ČRo Olomouc
Telefon I fax:		Datum:	31.1.2020
E-mail:			

### 3.4 Porušení rozštěpením

$A_{c,N}$ [mm <sup>2</sup> ]	$A_{c,N}^0$ [mm <sup>2</sup> ]	$\psi_{A,N}$	$c_{cr,sp}$ [mm]	$s_{cr,sp}$ [mm]	$\psi_{h,sp}$	
394 800	577 600	0,684	380	760	1,173	
$e_{c1,N}$ [mm]	$\psi_{ec1,N}$	$e_{c2,N}$ [mm]	$\psi_{ec2,N}$	$\psi_{s,N}$	$\psi_{re,N}$	$k_1$
0	1,000	0	1,000	0,807	1,000	7,700
$N_{RK,c}^0$ [kN]	$\gamma_{M,sp}$	$N_{Rd,sp}$ [kN]	$N_{Sd}$ [kN]			
87,116	1,500	37,573	5,916			

Společnost: Marpo s.r.o.  
 Projektant: Ing. Martin Sležka  
 Adresa:  
 Telefon / fax: |  
 E-mail:

Strana: 4  
 Projekt: Zak. č. A38 19 002  
 Dílčí projekt / pozice č.: ČRo Olomouc  
 Datum: 31.1.2020

#### 4 Smykové zatížení SOFA (fib (07/2011), odstavec 16.2.2)

	Zatížení [kN]	Únosnost [kN]	Využití $\beta_v$ [%]	Stav
Porušení oceli (bez distanční montáže)*	6,250	31,440	20	OK
Porušení oceli (s distanční montáží)*	6,250	10,473	60	OK
Porušení vylomením betonu**	25,000	88,260	29	OK
Porušení okraje betonu ve směru x+**	12,500	18,660	67	OK

\* nejnepříznivější kotva \*\* skupina kotev (rovnocenné kotvy)

##### 4.1 Porušení oceli (bez distanční montáže)

$V_{Rk,s}$ [kN]	$\gamma_{M,s}$	$V_{Rd,s}$ [kN]	$V_{Sd}$ [kN]
39,300	1,250	31,440	6,250

##### 4.2 Porušení oceli (s distanční montáží)

$I$ [mm]	$\alpha_M$			
24	2,00			
$N_{Sd} / N_{Rd,s}$	$1 - N_{Sd} / N_{Rd,s}$	$M_{Rk,s}^0$ [kNm]	$M_{Rk,s} = M_{Rk,s}^0 (1 - N_{Sd}/N_{Rd,s})$ [kNm]	
0,057	0,943	0,167	0,157	
$V_{Rk,s}^M = \alpha_M * M_{Rk,s} / I$ [kN]		$\gamma_{Ms,b,v}$	$V_{Rd,s}^M$ [kN]	$V_{Sd}$ [kN]
13,091		1,250	10,473	6,250

##### 4.3 Porušení vylomením betonu (relevantní k vytážení)

$A_{c,N}$ [mm <sup>2</sup> ]	$A_{c,N}^0$ [mm <sup>2</sup> ]	$\psi_{A,N}$	$c_{cr,N}$ [mm]	$s_{cr,N}$ [mm]	$k_4$
327 600	360 000	0,910	300	600	2,000
$e_{c1,v}$ [mm]	$\psi_{ec1,N}$	$e_{c2,v}$ [mm]	$\psi_{ec2,N}$	$\psi_{s,N}$	$\psi_{re,N}$
0	1,000	0	1,000	0,835	1,000
$N_{Rk,c}^0$ [kN]	$\gamma_{M,c,p}$	$V_{Rd,cp}$ [kN]	$V_{Sd}$ [kN]		
87,116	1,500	88,260	25,000		

##### 4.4 Porušení okraje betonu ve směru x+

$l_f$ [mm]	$d_{nom}$ [mm]	$k_V$	$\alpha$	$\beta$		
192	16,0	1,700	0,082	0,056		
$c_1$ [mm]	$A_{c,V}$ [mm <sup>2</sup> ]	$A_{c,V}^0$ [mm <sup>2</sup> ]	$\psi_{A,V}$			
285	310 500	365 513	0,849			
$\psi_{s,V}$	$\psi_{h,V}$	$\psi_{\alpha,V}$	$e_{c,V}$ [mm]	$\psi_{ec,V}$	$\psi_{re,V}$	$\psi_{90^\circ,V}$
1,000	1,194	1,000	0	1,000	1,000	2,000
$V_{Rk,c}^0$ [kN]	$n_1$	$\gamma_{M,c}$	$V_{Rd,c}$ [kN]	$V_{Sd}$ [kN]		
55.203	2	1.500	18.660	12.500		

Poznámka: limit únosnosti podle fib (07/2011) Eq. (10.2-6) je rozhodující

#### 5 Kombinace zatížení tah/smyk SOFA (fib (07/2011), odstavec 10.3)

	$\beta_N$	$\beta_v$	$\alpha$	Využití $\beta_{N,v}$ [%]	Stav
Ocel - smyk působící bez ramen	0,057	0,199	2,000	5	OK
Ocel - smyk působící na rameni	0,034	0,563	1,000	60	OK
beton	0,157	0,670	1,500	62	OK

$$\beta_N^a + \beta_v^a \leq 1$$

Společnost: Marpo s.r.o.  
Projektant: Ing. Martin Sležka  
Adresa:  
Telefon I fax: |  
E-mail:

Strana: 5  
Projekt: Zak. č. A38 19 002  
Dílčí projekt / pozice č.: ČRo Olomouc  
Datum: 31.1.2020

## 6 Posuny (nejvíce zatížená kotva)

Krátkodobé teplotní zatížení:

$$\begin{aligned} N_{Sk} &= 2,191 \text{ [kN]} & \delta_N &= 0,015 \text{ [mm]} \\ V_{Sk} &= 9,259 \text{ [kN]} & \delta_V &= 0,370 \text{ [mm]} \\ & & \delta_{NV} &= 0,371 \text{ [mm]} \end{aligned}$$

Dlouhodobé teplotní zatížení:

$$\begin{aligned} N_{Sk} &= 2,191 \text{ [kN]} & \delta_N &= 0,035 \text{ [mm]} \\ V_{Sk} &= 9,259 \text{ [kN]} & \delta_V &= 0,556 \text{ [mm]} \\ & & \delta_{NV} &= 0,557 \text{ [mm]} \end{aligned}$$

Poznámka: Posuny vlivem tahové síly jsou platné při poloviční hodnotě předepsaného utahovacího momentu pro bez trhlin beton! Smykové posuny jsou platné za předpokladu žádného tření mezi betonem a kotevní deskou! Mezery mezi kotvou a vrtaným kotevním otvorem a mezery mezi kotvou a otvorem v kotevní desce nejsou v tomto výpočtu zahrnuty!

Přípustné posuny kotev závisí na připevňované konstrukci a musejí být definovány projektantem!

## 7 Upozornění

- Návrhové metody v PROFIS Anchor vyžadují dle současných předpisů (ETAG 001 / příloha C, EOTA TR029, atd.) tuhé kotevní desky. To znamená, že přerozdělení zatížení na jednotlivé kotvy, v důsledku pružné deformace kotevní desky, se neuvažuje - kotevní deska se považuje za dostatečně tuhou, aby nedošlo k její deformaci, když je podrobena návrhovému zatížení. PROFIS Anchor vypočítá pomocí MKP minimální potřebnou tloušťku kotevní desky tak, aby bylo omezeno napětí stres v kotevní desce na základě předpokladů viz výše. Důkaz, že je kotevní deska tuhá, PROFIS Anchor neprovádí. Vstupní údaje a výsledky se musí být kontrolovány v souladu se stávající úrovní podmínek a znalostí!
- Seznam příslušenství v tomto protokolu slouží pouze jako informace uživateli. V každém případě je třeba dodržovat návod k použití dodávaný s výrobkem, aby byla zajištěna správná instalace.
- Čištění vyvrtaného kotevního otvoru musí být provedeno dle návodu na použití (2x vyfoukat stlačeným vzduchem bez oleje (min. 6bar), 2x vykartáčovat a opět 2x vyfoukat stlačeným vzduchem bez oleje (min. 6bar)).
- Charakteristická pevnost lepicí hmoty (soudržnost) závisí na krátkodobých a dlouhodobých teplotách.
- Návrhová metoda fib (07/2011) předpokládá, že mezi kotvami a kotevní deskou není žádná vůle. To může být dosaženo vyplněním prstencových mezer lepicí hmotou dostatečné pevnosti v tlaku (například pomocí HILTI seismických / plnicích setů), nebo jiným vhodným způsobem
- V souladu se současnými normami (např. EC3) je zodpovědnost na straně uživatele.
- Posouzení přenosu zatížení do základního materiálu je požadováno provést podle fib (07/2011)!
- Charakteristická odolnost spoje závisí na délce období návratu (životnosti v letech): 50

**Upevnění je bezpečné!**

Společnost: Marpo s.r.o.  
 Projektant: Ing. Martin Sležka  
 Adresa:  
 Telefon I fax: |  
 E-mail:

Strana: 6  
 Projekt: Zak. č. A38 19 002  
 Dílčí projekt / pozice č.: ČRo Olomouc  
 Datum: 31.1.2020

## 8 Montážní pokyny

Kotevní deska, ocel: -

Profil: Obdélníkový dutý profil, 200 x 120 x 5,6; (V x Š x T) = 200 mm x 120 mm x 6 mm

Průměr otvoru v kotevní desce:  $d_f = 18$  mm

Tloušťka kotevní desky (vstup): 12 mm

Doporučená tloušťka kotevní desky: nepočítána

Metoda vrtání: Vyvrtáno přiklepem

Čištění: Je požadováno kvalitní vyčištění kotevního otvoru

Typ a velikost kotvy: HIT-HY 200-A + HAS-U 5.8 M16

Utahovací moment: 0,080 kNm

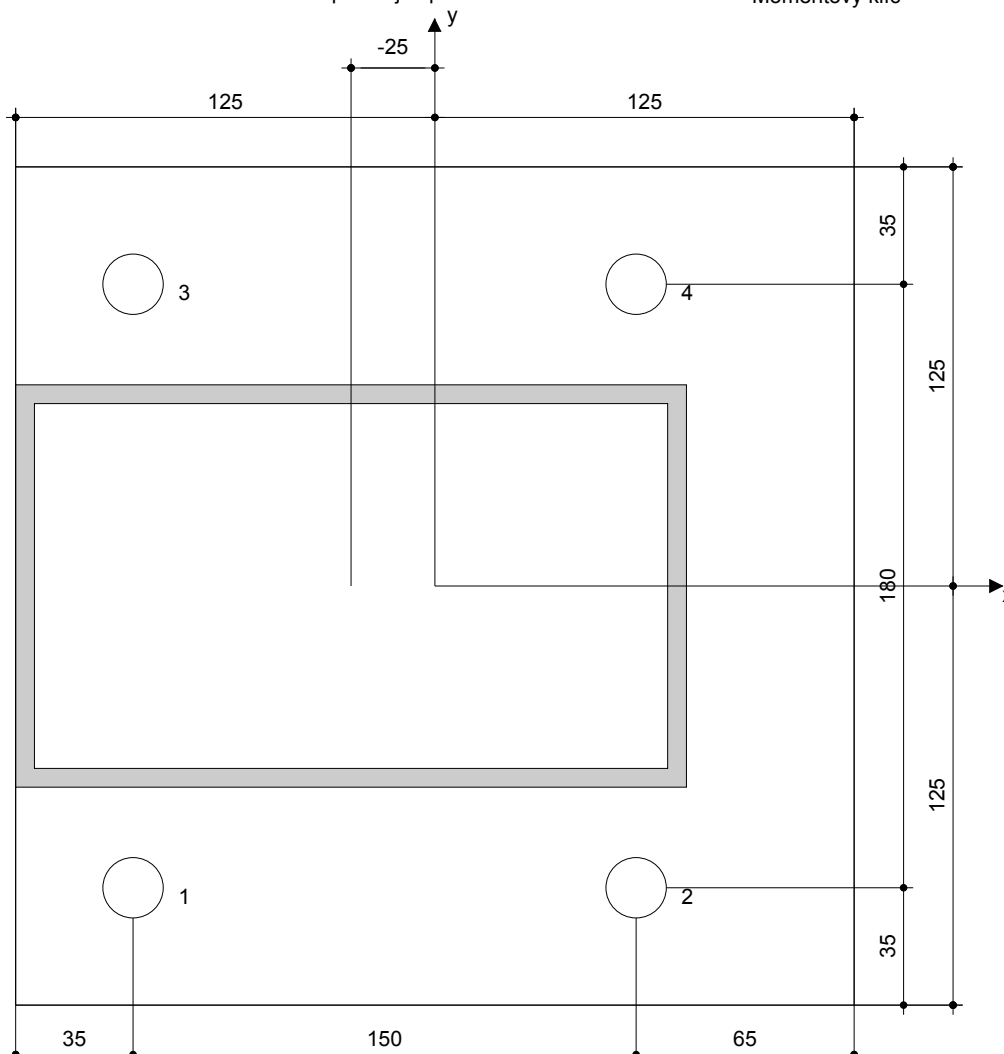
Průměr otvoru v základním materiálu: 18 mm

Hloubka kotevního otvoru v základním materiálu: 200 mm

Minimální tloušťka základního materiálu: 236 mm

### 8.1 Doporučené příslušenství

Vrtání	Čištění	Osazení
<ul style="list-style-type: none"> <li>Vhodná pro vrtací kladivo</li> <li>Vrták správného průměru</li> </ul>	<ul style="list-style-type: none"> <li>Stlačený vzduch s požadovaným příslušenstvím pro vyfoukání kotevního otvoru ode dna</li> <li>Odpovídající průměr drátkového kartáče</li> </ul>	<ul style="list-style-type: none"> <li>Výtlačovací přístroj včetně vodící kazety a směšovače</li> <li>Seismický/Plnicí set</li> <li>Momentový klíč</li> </ul>



#### Souřadnice kotev [mm]

Kotva	x	y	c <sub>-x</sub>	c <sub>+x</sub>	c <sub>-y</sub>	c <sub>+y</sub>
1	-90	-90	135	285	-	-
2	60	-90	285	135	-	-
3	-90	90	135	285	-	-
4	60	90	285	135	-	-

Společnost: Marpo s.r.o.  
Projektant: Ing. Martin Sležka  
Adresa:  
Telefon I fax: |  
E-mail:

Strana: 7  
Projekt: Zak. č. A38 19 002  
Dílčí projekt / pozice č.: ČRo Olomouc  
Datum: 31.1.2020

## 9 Poznámky, požadavky na vaši kooperaci

- Veškeré informace a data obsažená v Softwaru se týkají výhradně použití výrobků Hilti a vycházejí ze zásad, předpisů a bezpečnostních nařízení v souladu s technickými směrnicemi a provozními, montážními a instalačními pokyny společnosti Hilti, jimiž se uživatel musí striktně řídit. Veškerá čísla obsažená v Softwaru představují průměrné hodnoty, a proto je před použitím příslušného výrobku Hilti nutno provést testy pro jeho konkrétní použití. Výsledky výpočtů provedených pomocí Softwaru vycházejí především z vámi zadáných dat. Nesete proto výhradní odpovědnost za bezchybnost, úplnost a relevantnost zadávaných dat. Mimoto nesete výhradní odpovědnost za kontrolu výsledků vzešlých z výpočtů a za to, že si tyto výsledky před jejich použitím pro konkrétní zařízení necháte ověřit a schválit od odborníka, zejména co se týče souladu s příslušnými normami a povoleními. Software slouží pouze jako pomůcka pro interpretaci norem a povolení bez jakékoli záruky ohledně bezchybnosti, přesnosti a relevantnosti výsledků nebo vhodnosti pro konkrétní použití.
- Abyste předešli škodám, které by Software mohl způsobit, nebo omezili jejich rozsah, musíte přijmout veškerá nutná a přiměřená opatření. Obzvláště je třeba pravidelně zálohovat programy a data a v případě potřeby provádět aktualizace Softwaru, které společnost Hilti pravidelně nabízí. Nepoužíváte-li funkci AutoUpdate, která je součástí Softwaru, je nutné zajistit aktuálnost vámi používané verze Softwaru ručními aktualizacemi prostřednictvím internetových stránek společnosti Hilti. Společnost Hilti nenese žádnou zodpovědnost za důsledky vzešlé z vámi zaviněného porušení povinností, jako je například nutnost obnovy ztracených či poškozených dat nebo programů.

Společnost: Marpo s.r.o.  
 Projektant: Ing. Martin Sležka  
 Adresa:  
 Telefon I fax: |  
 E-mail:

Strana: 1  
 Projekt: Zak. č. A38 19 002  
 Dílčí projekt / pozice č.: ČRo Olomouc  
 Datum: 31.1.2020

**Komentář uživatele:** Příloha č. VII.2 - Kotvení (z5) K3(1)

## 1 Vstupní data



**Typ a velikost kotvy:** HIT-HY 200-A + HAS-U 5.8 M20

Období návratu (životnost v letech): 50

**Seismický/Plnicí set nebo jiné vhodné řešení pro vyplněné prstencových mezer**

Efektivní kotvení hloubka:  $h_{ef,act} = 200 \text{ mm}$  ( $h_{ef,limit} = - \text{mm}$ )

Materiál: 5.8

Certifikát č.: Hilti technická data

Vydaný I Platný: - | -

Posouzení: SOFA + fib (07/2011) - po ETAG BOND zkoušce

Distanční montáž: bez upnutí (kotva); stupeň zadržení (kotevní deska): 2,00;  $e_b = 10 \text{ mm}$ ;  $t = 12 \text{ mm}$

Hilti malta: , víceúčelová,  $f_{c,GROUT} = 40,00 \text{ N/mm}^2$

Kotevní deska:  $I_x \times I_y \times t = 250 \text{ mm} \times 260 \text{ mm} \times 12 \text{ mm}$ ; (Doporučená tloušťka kotevní desky: nepočítána)

Profil: Obdélníkový dutý profil,  $200 \times 120 \times 5,6$ ; ( $V \times \check{S} \times T$ ) =  $200 \text{ mm} \times 120 \text{ mm} \times 6 \text{ mm}$

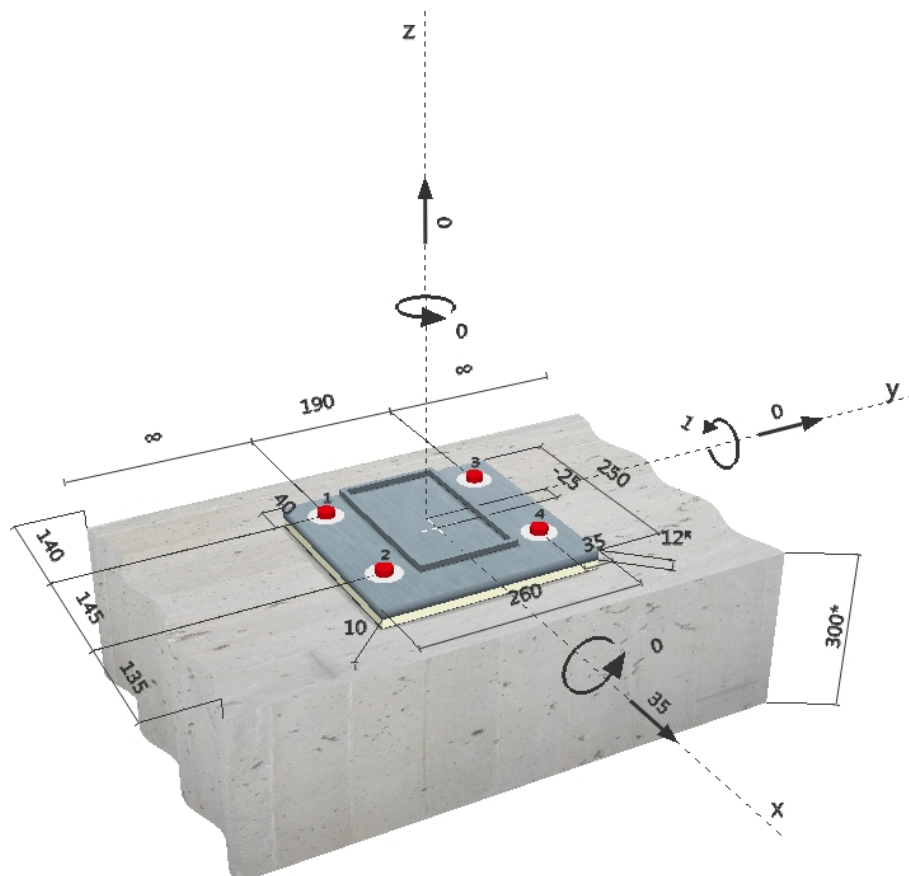
Základní materiál: s trhlinami beton, C16/20,  $f_{c,cyl} = 16,00 \text{ N/mm}^2$ ;  $h = 300 \text{ mm}$ , teplota krátkodobá/dlouhodobá: 40/24 °C

**Montáž:** kotevní otvor vrtaný přiklepem, montážní podmínky: suché

Výztuž: Žádná výztuž nebo osová vzdálenost výztuže  $\geq 150 \text{ mm}$  (jakýkoliv  $\emptyset$ ) nebo  $\geq 100 \text{ mm}$  ( $\emptyset \leq 10 \text{ mm}$ )  
 s podélnou výztuží okraje  $d \geq 12$

<sup>R</sup> - Uživatel je odpovědný za zajištění pevné patní desky pro zadanou tloušťku a příslušná řešení (výztuže atd.)

### Geometrie [mm] & Zatížení [kN, kNm]



Společnost: Marpo s.r.o.  
 Projektant: Ing. Martin Sležka  
 Adresa:  
 Telefon / fax: |  
 E-mail:

Strana: 2  
 Projekt: Zak. č. A38 19 002  
 Dílčí projekt / pozice č.: ČRo Olomouc  
 Datum: 31.1.2020

## 2 Zatěžovací stav/Výsledné síly v kotvách

Zatěžovací stav: Návrhové zatížení

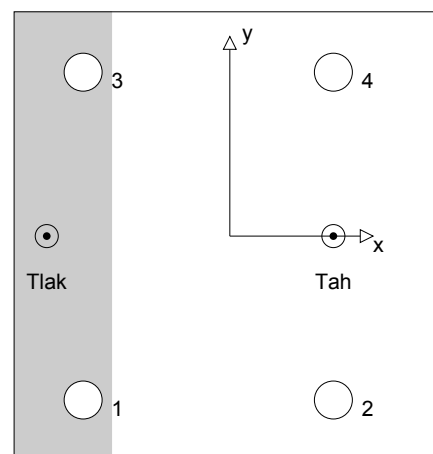
### Reakce v kotvách [kN]

Tahová síla: (+ Tah, - Tlak)

Kotva	Tahová síla	Smyková síla	Smyková síla x	Smyková síla y
1	0,000	8,750	8,750	0,000
2	3,011	8,750	8,750	0,000
3	0,000	8,750	8,750	0,000
4	3,011	8,750	8,750	0,000

max. tlakové přetvoření betonu: 0,03 [‰]  
 max. tlakové napětí v betonu: 0,82 [N/mm<sup>2</sup>]  
 výsledná tahová síla v (x/y)=(60/0): 6,021 [kN]  
 výsledná tlaková síla v (x/y)=(-106/0): 6,021 [kN]

Kotevní síly za předpokladu pevné patní desky!



## 3 Tahové zatížení SOFA (fib (07/2011), odstavec 16.2.1)

	Zatížení [kN]	Únosnost [kN]	Využití $\beta_N$ [%]	Stav
Porušení oceli*	3,011	81,667	4	OK
Kombinované porušení vytažením - vytržením betonového kuželu**	6,021	53,473	12	OK
Porušení vytržením betonového kuželu**	6,021	44,696	14	OK
Porušení rozštěpením**	6,021	37,138	17	OK

\* nejnejpříznivější kotva \*\* skupina kotev (kotvy v tahu)

### 3.1 Porušení oceli

$N_{Rk,s}$ [kN]	$\gamma_{M,s}$	$N_{Rd,s}$ [kN]	$N_{Sd}$ [kN]
122,500	1,500	81,667	3,011

### 3.2 Kombinované porušení vytažením - vytržením betonového kuželu

$A_{p,N}$ [mm <sup>2</sup> ]	$A_{p,N}^0$ [mm <sup>2</sup> ]	$\psi_{A,Np}$	$\tau_{Rk,ucr,25}$ [N/mm <sup>2</sup> ]	$s_{cr,Np}$ [mm]	$c_{cr,Np}$ [mm]	$c_{min}$ [mm]
331 800	360 000	0,922	18,00	600	300	135
$\psi_c$	$\tau_{Rk,cr}$ [N/mm <sup>2</sup> ]	$\max \tau_{Rk,cr}$ [N/mm <sup>2</sup> ]	$\psi_{g,Np}^0$	$\psi_{g,Np}$		
0,976	8,29	6,93	1,000	1,000		
$e_{c1,N}$ [mm]	$\psi_{ec1,Np}$	$e_{c2,N}$ [mm]	$\psi_{ec2,Np}$	$\psi_{s,Np}$	$\psi_{re,Np}$	
0	1,000	0	1,000	0,835	1,000	
$N_{Rk,p}^0$ [kN]	$N_{Rk,p}$ [kN]	$\gamma_{M,p}$	$N_{Rd,p}$ [kN]	$N_{Sd}$ [kN]		
104,224	80,210	1,500	53,473	6,021		

### 3.3 Porušení vytržením betonového kuželu

$A_{c,N}$ [mm <sup>2</sup> ]	$A_{c,N}^0$ [mm <sup>2</sup> ]	$\psi_{A,N}$	$c_{cr,N}$ [mm]	$s_{cr,N}$ [mm]		
331 800	360 000	0,922	300	600		
$e_{c1,N}$ [mm]	$\psi_{ec1,N}$	$e_{c2,N}$ [mm]	$\psi_{ec2,N}$	$\psi_{s,N}$	$\psi_{re,N}$	
0	1,000	0	1,000	0,835	1,000	
$k_1$	$N_{Rk,c}^0$ [kN]	$\gamma_{M,c}$	$N_{Rd,c}$ [kN]	$N_{Sd}$ [kN]		
7,700	87,116	1,500	44,696	6,021		



Společnost:	Marpo s.r.o.	Strana:	3
Projektant:	Ing. Martin Sležka	Projekt:	Zak. č. A38 19 002
Adresa:		Dílčí projekt / pozice č.:	ČRo Olomouc
Telefon I fax:		Datum:	31.1.2020
E-mail:			

### 3.4 Porušení rozštěpením

$A_{c,N}$ [mm <sup>2</sup> ]	$A_{c,N}^0$ [mm <sup>2</sup> ]	$\psi_{A,N}$	$c_{cr,sp}$ [mm]	$s_{cr,sp}$ [mm]	$\psi_{h,sp}$	
399 000	577 600	0,691	380	760	1,148	
$e_{c1,N}$ [mm]	$\psi_{ec1,N}$	$e_{c2,N}$ [mm]	$\psi_{ec2,N}$	$\psi_{s,N}$	$\psi_{re,N}$	$k_1$
0	1,000	0	1,000	0,807	1,000	7,700
$N_{RK,c}^0$ [kN]	$\gamma_{M,sp}$	$N_{Rd,sp}$ [kN]	$N_{Sd}$ [kN]			
87,116	1,500	37,138	6,021			

Společnost:	Marpo s.r.o.	Strana:	4
Projektant:	Ing. Martin Sležka	Projekt:	Zak. č. A38 19 002
Adresa:		Dílčí projekt / pozice č.:	ČRo Olomouc
Telefon I fax:		Datum:	31.1.2020
E-mail:			

#### 4 Smykové zatížení SOFA (fib (07/2011), odstavec 16.2.2)

	Zatížení [kN]	Únosnost [kN]	Využití $\beta_v$ [%]	Stav
Porušení oceli (bez distanční montáže)*	8,750	49,040	18	OK
Porušení oceli (s distanční montáží)*	Není k dispozici	Není k dispozici	Není k dispozici	Není k dispozici
Porušení vylomením betonu**	35,000	89,391	40	OK
Porušení okraje betonu ve směru x+**	17,500	19,378	91	OK

\* nejnepříznivější kotva \*\* skupina kotev (rovnocenné kotvy)

##### 4.1 Porušení oceli (bez distanční montáže)

$V_{Rk,s}$ [kN]	$\gamma_{M,s}$	$V_{Rd,s}$ [kN]	$V_{Sd}$ [kN]
61,300	1,250	49,040	8,750

##### 4.2 Porušení vylomením betonu (relevantní k vytažení)

$A_{c,N}$ [mm <sup>2</sup> ]	$A_{c,N}^0$ [mm <sup>2</sup> ]	$\psi_{A,N}$	$c_{cr,N}$ [mm]	$s_{cr,N}$ [mm]	$k_4$
331 800	360 000	0,922	300	600	2,000
$e_{c1,V}$ [mm]	$\psi_{ec1,N}$	$e_{c2,V}$ [mm]	$\psi_{ec2,N}$	$\psi_{s,N}$	$\psi_{re,N}$
0	1,000	0	1,000	0,835	1,000
$N_{Rk,c}^0$ [kN]	$\gamma_{M,c,p}$	$V_{Rd,cp}$ [kN]	$V_{Sd}$ [kN]		
87,116	1,500	89,391	35,000		

##### 4.3 Porušení okraje betonu ve směru x+

$l_f$ [mm]	$d_{nom}$ [mm]	$k_v$	$\alpha$	$\beta$		
200	20,0	1,700	0,085	0,059		
$c_1$ [mm]	$A_{c,V}$ [mm <sup>2</sup> ]	$A_{c,V}^0$ [mm <sup>2</sup> ]	$\psi_{A,V}$			
280	309 000	352 800	0,876			
$\psi_{s,V}$	$\psi_{h,V}$	$\psi_{a,V}$	$e_{c,V}$ [mm]	$\psi_{ec,V}$	$\psi_{re,V}$	$\psi_{90^\circ,V}$
1,000	1,183	1,000	0	1,000	1,000	2,000
$V_{Rk,c}^0$ [kN]	$n_1$	$\gamma_{M,c}$	$V_{Rd,c}$ [kN]	$V_{Sd}$ [kN]		
56,097	2	1,500	19,378	17,500		

Poznámka: limit únosnosti podle fib (07/2011) Eq. (10.2-6) je rozhodující

#### 5 Kombinace zatížení tah/smyk SOFA (fib (07/2011), odstavec 10.3)

	$\beta_N$	$\beta_V$	$\alpha$	Využití $\beta_{N,V}$ [%]	Stav
ocel	0,037	0,178	2,000	4	OK
beton	0,162	0,903	1,500	93	OK

$$\beta_N^\alpha + \beta_V^\alpha \leq 1$$

Společnost: Marpo s.r.o.  
Projektant: Ing. Martin Sležka  
Adresa:  
Telefon I fax: |  
E-mail:

Strana: 5  
Projekt: Zak. č. A38 19 002  
Dílčí projekt / pozice č.: ČRo Olomouc  
Datum: 31.1.2020

## 6 Posuny (nejvíce zatížená kotva)

Krátkodobé teplotní zatížení:

$N_{Sk}$	=	2,230 [kN]	$\delta_N$	=	0,012 [mm]
$V_{Sk}$	=	12,963 [kN]	$\delta_V$	=	0,519 [mm]
			$\delta_{NV}$	=	0,519 [mm]

Dlouhodobé teplotní zatížení:

$N_{Sk}$	=	2,230 [kN]	$\delta_N$	=	0,028 [mm]
$V_{Sk}$	=	12,963 [kN]	$\delta_V$	=	0,778 [mm]
			$\delta_{NV}$	=	0,778 [mm]

Poznámka: Posuny vlivem tahové síly jsou platné při poloviční hodnotě předepsaného utahovacího momentu pro bez trhlin beton! Smykové posuny jsou platné za předpokladu žádného tření mezi betonem a kotevní deskou! Mezery mezi kotvou a vrtaným kotevním otvorem a mezery mezi kotvou a otvorem v kotevní desce nejsou v tomto výpočtu zahrnuty!

Přípustné posuny kotev závisí na připevňované konstrukci a musejí být definovány projektantem!

## 7 Upozornění

- Návrhové metody v PROFIS Anchor vyžadují dle současných předpisů (ETAG 001 / příloha C, EOTA TR029, atd.) tuhé kotevní desky. To znamená, že přerozdělení zatížení na jednotlivé kotvy, v důsledku pružné deformace kotevní desky, se neuvažuje - kotevní deska se považuje za dostatečně tuhou, aby nedošlo k její deformaci, když je podrobena návrhovému zatížení. PROFIS Anchor vypočítá pomocí MKP minimální potřebnou tloušťku kotevní desky tak, aby bylo omezeno napětí stres v kotevní desce na základě předpokladů viz výše. Důkaz, že je kotevní deska tuhá, PROFIS Anchor neprovádí. Vstupní údaje a výsledky se musí být kontrolovány v souladu se stávající úrovní podmínek a znalostí!
- Seznam příslušenství v tomto protokolu slouží pouze jako informace uživateli. V každém případě je třeba dodržovat návod k použití dodávaný s výrobkem, aby byla zajištěna správná instalace.
- Čištění vyvrtaného kotevního otvoru musí být provedeno dle návodu na použití (2x vyfoukat stlačeným vzduchem bez oleje (min. 6bar), 2x vykartáčovat a opět 2x vyfoukat stlačeným vzduchem bez oleje (min. 6bar)).
- Charakteristická pevnost lepicí hmoty (soudržnost) závisí na krátkodobých a dlouhodobých teplotách.
- Návrhová metoda fib (07/2011) předpokládá, že mezi kotvami a kotevní deskou není žádná vůle. To může být dosaženo vyplněním prstencových mezer lepicí hmotou dostatečné pevnosti v tlaku (například pomocí HILTI seismických / plnicích setů), nebo jiným vhodným způsobem
- V souladu se současnými normami (např. EC3) je zodpovědnost na straně uživatele.
- Posouzení přenosu zatížení do základního materiálu je požadováno provést podle fib (07/2011)!
- Charakteristická odolnost spoje závisí na délce období návratu (životnosti v letech): 50

**Upevnění je bezpečné!**

Společnost: Marpo s.r.o.  
 Projektant: Ing. Martin Sležka  
 Adresa:  
 Telefon I fax: |  
 E-mail:

Strana: 6  
 Projekt: Zak. č. A38 19 002  
 Dílčí projekt / pozice č.: ČRo Olomouc  
 Datum: 31.1.2020

## 8 Montážní pokyny

Kotevní deska, ocel: -

Profil: Obdélníkový dutý profil, 200 x 120 x 5,6; (V x Š x T) = 200 mm x 120 mm x 6 mm

Průměr otvoru v kotevní desce:  $d_f = 22$  mm

Tloušťka kotevní desky (vstup): 12 mm

Doporučená tloušťka kotevní desky: nepočítána

Metoda vrtání: Vyvrtáno přiklepem

Čištění: Je požadováno kvalitní vyčištění kotevního otvoru

Typ a velikost kotvy: HIT-HY 200-A + HAS-U 5.8 M20

Utahovací moment: 0,150 kNm

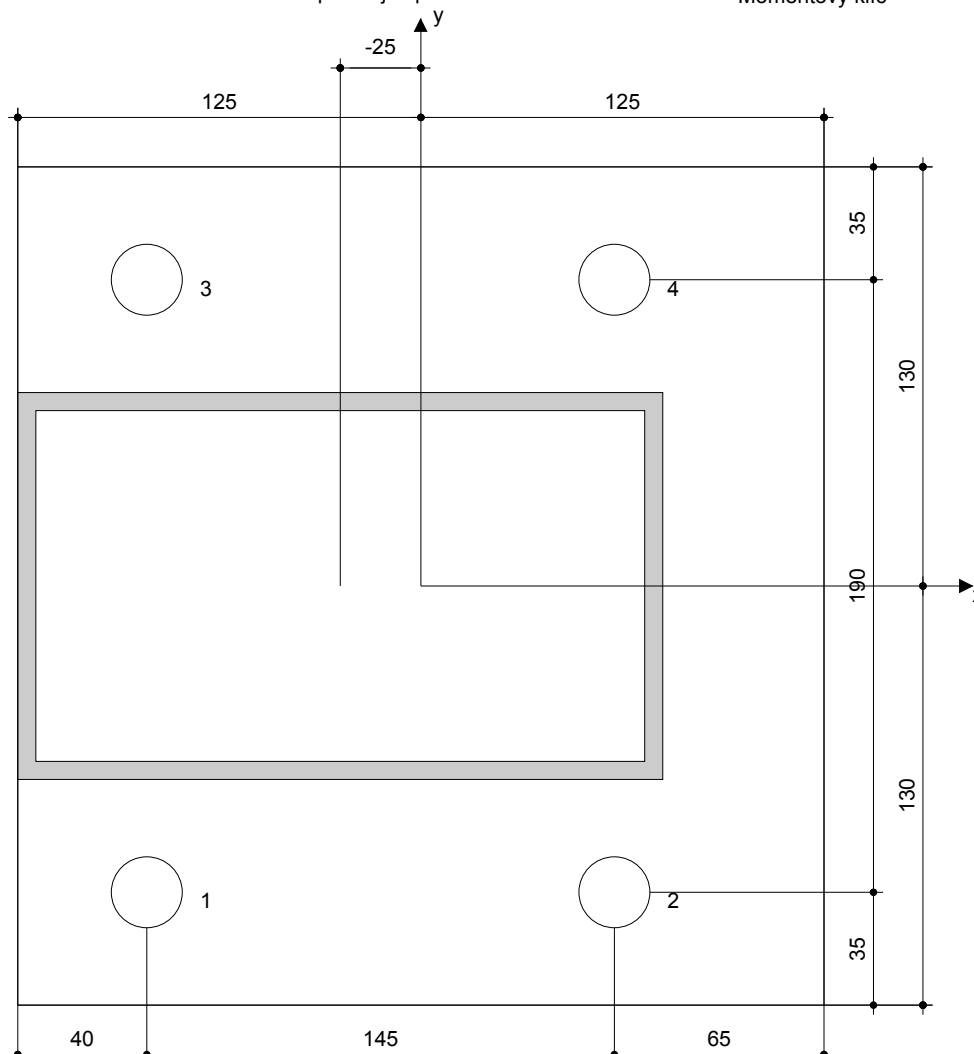
Průměr otvoru v základním materiálu: 22 mm

Hloubka kotevního otvoru v základním materiálu: 200 mm

Minimální tloušťka základního materiálu: 244 mm

### 8.1 Doporučené příslušenství

Vrtání	Čištění	Osazení
<ul style="list-style-type: none"> <li>Vhodná pro vrtací kladivo</li> <li>Vrták správného průměru</li> </ul>	<ul style="list-style-type: none"> <li>Stlačený vzduch s požadovaným příslušenstvím pro vyfoukání kotevního otvoru ode dna</li> <li>Odpovídající průměr drátkového kartáče</li> </ul>	<ul style="list-style-type: none"> <li>Výtlačovací přístroj včetně vodící kazety a směšovače</li> <li>Seismický/Plnicí set</li> <li>Momentový klíč</li> </ul>



#### Souřadnice kotev [mm]

Kotva	x	y	c <sub>-x</sub>	c <sub>+x</sub>	c <sub>-y</sub>	c <sub>+y</sub>
1	-85	-95	140	280	-	-
2	60	-95	285	135	-	-
3	-85	95	140	280	-	-
4	60	95	285	135	-	-

Společnost: Marpo s.r.o.  
Projektant: Ing. Martin Sležka  
Adresa:  
Telefon I fax: |  
E-mail:

Strana: 7  
Projekt: Zak. č. A38 19 002  
Dílčí projekt / pozice č.: ČRo Olomouc  
Datum: 31.1.2020

## 9 Poznámky, požadavky na vaši kooperaci

- Veškeré informace a data obsažená v Softwaru se týkají výhradně použití výrobků Hilti a vycházejí ze zásad, předpisů a bezpečnostních nařízení v souladu s technickými směrnicemi a provozními, montážními a instalačními pokyny společnosti Hilti, jimiž se uživatel musí striktně řídit. Veškerá čísla obsažená v Softwaru představují průměrné hodnoty, a proto je před použitím příslušného výrobku Hilti nutno provést testy pro jeho konkrétní použití. Výsledky výpočtů provedených pomocí Softwaru vycházejí především z vámi zadaných dat. Nesete proto výhradní odpovědnost za bezchybnost, úplnost a relevantnost zadávaných dat. Mimoto nesete výhradní odpovědnost za kontrolu výsledků vzešlých z výpočtů a za to, že si tyto výsledky před jejich použitím pro konkrétní zařízení necháte ověřit a schválit od odborníka, zejména co se týče souladu s příslušnými normami a povoleními. Software slouží pouze jako pomůcka pro interpretaci norem a povolení bez jakékoli záruky ohledně bezchybnosti, přesnosti a relevantnosti výsledků nebo vhodnosti pro konkrétní použití.
- Abyste předešli škodám, které by Software mohl způsobit, nebo omezili jejich rozsah, musíte přijmout veškerá nutná a přiměřená opatření. Obzvláště je třeba pravidelně zálohovat programy a data a v případě potřeby provádět aktualizace Softwaru, které společnost Hilti pravidelně nabízí. Nepoužíváte-li funkci AutoUpdate, která je součástí Softwaru, je nutné zajistit aktuálnost vámi používané verze Softwaru ručními aktualizacemi prostřednictvím internetových stránek společnosti Hilti. Společnost Hilti nenese žádnou zodpovědnost za důsledky vzešlé z vámi zaviněného porušení povinností, jako je například nutnost obnovy ztracených či poškozených dat nebo programů.

Společnost: Marpo s.r.o.  
 Projektant: Ing. Martin Sležka  
 Adresa:  
 Telefon I fax: |  
 E-mail:

Strana: 1  
 Projekt: Zak. č. A38 19 002  
 Dílčí projekt / pozice č.: ČRo Olomouc – rekons  
 Datum: 31.1.2020

**Komentář uživatele:** Příloha č. VII.3 - Kotvení (z5) K3(2)

## 1 Vstupní data

**Typ a velikost kotvy:** HIT-HY 200-A + HAS-U 5.8 M20

Období návratu (životnost v letech): 50

**Seismický/Plnicí set nebo jiné vhodné řešení pro vyplněné prstencových mezer**

Efektivní kotvení hloubka:  $h_{ef,act} = 150 \text{ mm}$  ( $h_{ef,limit} = - \text{ mm}$ )

Materiál: 5.8

Certifikát č.: Hilti technická data

Vydaný I Platný: - | -

Posouzení: SOFA + fib (07/2011) - po ETAG BOND zkoušce

Distanční montáž: bez upnutí (kotva); stupeň zadržení (kotevní deska): 2,00;  $e_b = 10 \text{ mm}$ ;  $t = 12 \text{ mm}$

Hilti malta: , víceúčelová,  $f_{c,GROUT} = 40,00 \text{ N/mm}^2$

Kotevní deska:  $I_x \times I_y \times t = 250 \text{ mm} \times 260 \text{ mm} \times 12 \text{ mm}$ ; (Doporučená tloušťka kotevní desky: nepočítána

Profil: Obdélníkový dutý profil,  $200 \times 120 \times 5,6$ ; ( $V \times \check{S} \times T$ ) =  $200 \text{ mm} \times 120 \text{ mm} \times 6 \text{ mm}$

Základní materiál: bez trhlin beton, C16/20,  $f_{c,cyl} = 16,00 \text{ N/mm}^2$ ;  $h = 200 \text{ mm}$ , teplota krátkodobá/dlouhodobá: 40/24 °C

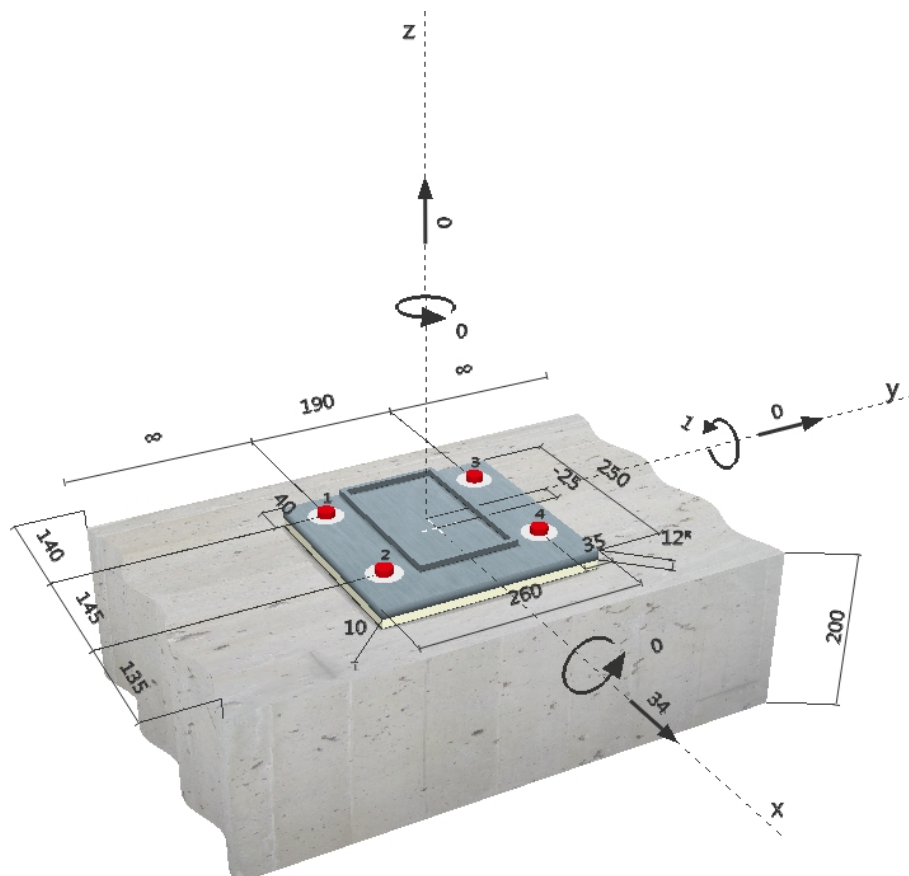
**Montáž:** kotevní otvor vrtaný přiklepem, montážní podmínky: suché

Výztuž: Žádná výztuž nebo osová vzdálenost výztuže  $\geq 150 \text{ mm}$  (jakýkoliv  $\emptyset$ ) nebo  $\geq 100 \text{ mm}$  ( $\emptyset \leq 10 \text{ mm}$ )  
 s podélnou výztuží okraje  $d \geq 12$



<sup>R</sup> - Uživatel je odpovědný za zajištění pevné patní desky pro zadanou tloušťku a příslušná řešení (výztuže atd.)

### Geometrie [mm] & Zatížení [kN, kNm]



Společnost: Marpo s.r.o.  
 Projektant: Ing. Martin Sležka  
 Adresa:  
 Telefon I fax: |  
 E-mail:

Strana: 2  
 Projekt: Zak. č. A38 19 002  
 Dílčí projekt / pozice č.: ČRo Olomouc – rekons  
 Datum: 31.1.2020

## 2 Zatěžovací stav/Výsledné síly v kotvách

Zatěžovací stav: Návrhové zatížení

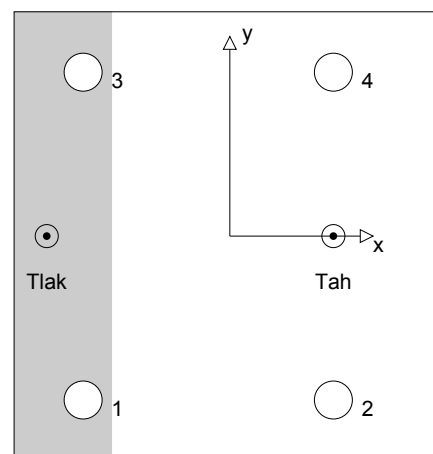
### Reakce v kotvách [kN]

Tahová síla: (+ Tah, - Tlak)

Kotva	Tahová síla	Smyková síla	Smyková síla x	Smyková síla y
1	0,000	8,500	8,500	0,000
2	3,011	8,500	8,500	0,000
3	0,000	8,500	8,500	0,000
4	3,011	8,500	8,500	0,000

max. tlakové přetvoření betonu: 0,03 [‰]  
 max. tlakové napětí v betonu: 0,82 [N/mm<sup>2</sup>]  
 výsledná tahová síla v (x/y)=(60/0): 6,021 [kN]  
 výsledná tlaková síla v (x/y)=(-106/0): 6,021 [kN]

Kotevné síly za předpokladu pevné patní desky!



## 3 Tahové zatížení SOFA (fib (07/2011), odstavec 16.2.1)

	Zatížení [kN]	Únosnost [kN]	Využití $\beta_N$ [%]	Stav
Porušení oceli*	3,011	81,667	4	OK
Kombinované porušení vytažením - vytržením betonového kuželu**	6,021	110,492	6	OK
Porušení vytržením betonového kuželu**	6,021	53,956	12	OK
Porušení rozštěpením**	6,021	37,081	17	OK

\* nejnejpříznivější kotva \*\* skupina kotev (kotvy v tahu)

### 3.1 Porušení oceli

$N_{Rk,s}$ [kN]	$\gamma_{M,s}$	$N_{Rd,s}$ [kN]	$N_{Sd}$ [kN]
122,500	1,500	81,667	3,011

### 3.2 Kombinované porušení vytažením - vytržením betonového kuželu

$A_{p,N}$ [mm <sup>2</sup> ]	$A_{p,N}^0$ [mm <sup>2</sup> ]	$\psi_{A,Np}$	$\tau_{Rk,ucr,25}$ [N/mm <sup>2</sup> ]	$s_{cr,Np}$ [mm]	$c_{cr,Np}$ [mm]	$c_{min}$ [mm]
230 400	202 500	1,138	18,00	450	225	135
$\psi_c$	$\tau_{Rk,ucr}$ [N/mm <sup>2</sup> ]	max $\tau_{Rk,ucr}$ [N/mm <sup>2</sup> ]	$\psi_{g,Np}^0$	$\psi_{g,Np}$		
0,976	17,56	8,58	1,000	1,000		
$e_{c1,N}$ [mm]	$\psi_{ec1,Np}$	$e_{c2,N}$ [mm]	$\psi_{ec2,Np}$	$\psi_{s,Np}$	$\psi_{re,Np}$	
0	1,000	0	1,000	0,880	1,000	
$N_{Rk,p}^0$ [kN]	$N_{Rk,p}$ [kN]	$\gamma_{M,p}$	$N_{Rd,p}$ [kN]	$N_{Sd}$ [kN]		
165,533	165,739	1,500	110,492	6,021		

### 3.3 Porušení vytržením betonového kuželu

$A_{c,N}$ [mm <sup>2</sup> ]	$A_{c,N}^0$ [mm <sup>2</sup> ]	$\psi_{A,N}$	$c_{cr,N}$ [mm]	$s_{cr,N}$ [mm]		
230 400	202 500	1,138	225	450		
$e_{c1,N}$ [mm]	$\psi_{ec1,N}$	$e_{c2,N}$ [mm]	$\psi_{ec2,N}$	$\psi_{s,N}$	$\psi_{re,N}$	
0	1,000	0	1,000	0,880	1,000	
$k_1$	$N_{Rk,c}^0$ [kN]	$\gamma_{M,c}$	$N_{Rd,c}$ [kN]	$N_{Sd}$ [kN]		
11,000	80,833	1,500	53,956	6,021		

Společnost:	Marpo s.r.o.	Strana:	3
Projektant:	Ing. Martin Sležka	Projekt:	Zak. č. A38 19 002
Adresa:		Dílčí projekt / pozice č.:	ČRo Olomouc – rekons
Telefon I fax:		Datum:	31.1.2020
E-mail:			

### 3.4 Porušení rozštěpením

$A_{c,N}$ [mm <sup>2</sup> ]	$A_{c,N}^0$ [mm <sup>2</sup> ]	$\psi_{A,N}$	$c_{cr,sp}$ [mm]	$s_{cr,sp}$ [mm]	$\psi_{h,sp}$	
357 000	435 600	0,820	330	660	1,021	
$e_{c1,N}$ [mm]	$\psi_{ec1,N}$	$e_{c2,N}$ [mm]	$\psi_{ec2,N}$	$\psi_{s,N}$	$\psi_{re,N}$	$k_1$
0	1,000	0	1,000	0,823	1,000	11,000
$N_{RK,c}^0$ [kN]	$\gamma_{M,sp}$	$N_{Rd,sp}$ [kN]	$N_{Sd}$ [kN]			
80,833	1,500	37,081	6,021			



Společnost:	Marpo s.r.o.	Strana:	4
Projektant:	Ing. Martin Sležka	Projekt:	Zak. č. A38 19 002
Adresa:		Dílčí projekt / pozice č.:	ČRo Olomouc – rekons
Telefon I fax:		Datum:	31.1.2020
E-mail:			

#### 4 Smykové zatížení SOFA (fib (07/2011), odstavec 16.2.2)

	Zatížení [kN]	Únosnost [kN]	Využití $\beta_v$ [%]	Stav
Porušení oceli (bez distanční montáže)*	8,500	49,040	18	OK
Porušení oceli (s distanční montáží)*	Není k dispozici	Není k dispozici	Není k dispozici	Není k dispozici
Porušení vylomením betonu**	34,000	125,897	28	OK
Porušení okraje betonu ve směru x+**	17,000	21,229	81	OK

\* nejnepříznivější kotva \*\* skupina kotev (rovnocenné kotvy)

##### 4.1 Porušení oceli (bez distanční montáže)

$V_{Rk,s}$ [kN]	$\gamma_{M,s}$	$V_{Rd,s}$ [kN]	$V_{Sd}$ [kN]
61,300	1,250	49,040	8,500

##### 4.2 Porušení vylomením betonu (relevantní k vytažení)

$A_{c,N}$ [mm <sup>2</sup> ]	$A_{c,N}^0$ [mm <sup>2</sup> ]	$\psi_{A,N}$	$c_{cr,N}$ [mm]	$s_{cr,N}$ [mm]	$k_4$
268 800	202 500	1,327	225	450	2,000
$e_{c1,V}$ [mm]	$\psi_{ec1,N}$	$e_{c2,V}$ [mm]	$\psi_{ec2,N}$	$\psi_{s,N}$	$\psi_{re,N}$
0	1,000	0	1,000	0,880	1,000
$N_{Rk,c}^0$ [kN]	$\gamma_{M,c,p}$	$V_{Rd,cp}$ [kN]	$V_{Sd}$ [kN]		
80,833	1,500	125,897	34,000		

##### 4.3 Porušení okraje betonu ve směru x+

$l_f$ [mm]	$d_{nom}$ [mm]	$k_v$	$\alpha$	$\beta$		
150	20,0	2,400	0,073	0,059		
$c_1$ [mm]	$A_{c,V}$ [mm <sup>2</sup> ]	$A_{c,V}^0$ [mm <sup>2</sup> ]	$\psi_{A,V}$			
280	206 000	352 800	0,584			
$\psi_{s,V}$	$\psi_{h,V}$	$\psi_{a,V}$	$e_{c,V}$ [mm]	$\psi_{ec,V}$	$\psi_{re,V}$	$\psi_{90^\circ,V}$
1,000	1,449	1,000	0	1,000	1,000	2,000
$V_{Rk,c}^0$ [kN]	$n_1$	$\gamma_{M,c}$	$V_{Rd,c}$ [kN]	$V_{Sd}$ [kN]		
75,266	2	1,500	21,229	17,000		

Poznámka: limit únosnosti podle fib (07/2011) Eq. (10.2-6) je rozhodující

#### 5 Kombinace zatížení tah/smyk SOFA (fib (07/2011), odstavec 10.3)

	$\beta_N$	$\beta_V$	$\alpha$	Využití $\beta_{N,V}$ [%]	Stav
ocel	0,037	0,173	2,000	4	OK
beton	0,162	0,801	1,500	79	OK

$$\beta_N^\alpha + \beta_V^\alpha \leq 1$$

Společnost: Marpo s.r.o.  
Projektant: Ing. Martin Sležka  
Adresa:  
Telefon I fax: |  
E-mail:

Strana: 5  
Projekt: Zak. č. A38 19 002  
Dílčí projekt / pozice č.: ČRo Olomouc – rekons  
Datum: 31.1.2020

## 6 Posuny (nejvíce zatížená kotva)

Krátkodobé teplotní zatížení:

$N_{Sk}$	=	2,230 [kN]	$\delta_N$	=	0,014 [mm]
$V_{Sk}$	=	12,593 [kN]	$\delta_V$	=	0,504 [mm]
			$\delta_{NV}$	=	0,504 [mm]

Dlouhodobé teplotní zatížení:

$N_{Sk}$	=	2,230 [kN]	$\delta_N$	=	0,024 [mm]
$V_{Sk}$	=	12,593 [kN]	$\delta_V$	=	0,756 [mm]
			$\delta_{NV}$	=	0,756 [mm]

Poznámka: Posuny vlivem tahové síly jsou platné při poloviční hodnotě předepsaného utahovacího momentu pro bez trhlin beton! Smykové posuny jsou platné za předpokladu žádného tření mezi betonem a kotevní deskou! Mezery mezi kotvou a vrtaným kotevním otvorem a mezery mezi kotvou a otvorem v kotevní desce nejsou v tomto výpočtu zahrnuty!

Přípustné posuny kotev závisí na připevňované konstrukci a musejí být definovány projektantem!

## 7 Upozornění

- Návrhové metody v PROFIS Anchor vyžadují dle současných předpisů (ETAG 001 / příloha C, EOTA TR029, atd.) tuhé kotevní desky. To znamená, že přerozdělení zatížení na jednotlivé kotvy, v důsledku pružné deformace kotevní desky, se neuvažuje - kotevní deska se považuje za dostatečně tuhou, aby nedošlo k její deformaci, když je podrobena návrhovému zatížení. PROFIS Anchor vypočítá pomocí MKP minimální potřebnou tloušťku kotevní desky tak, aby bylo omezeno napětí stres v kotevní desce na základě předpokladů viz výše. Důkaz, že je kotevní deska tuhá, PROFIS Anchor neprovádí. Vstupní údaje a výsledky se musí být kontrolovány v souladu se stávající úrovní podmínek a znalostí!
- Seznam příslušenství v tomto protokolu slouží pouze jako informace uživateli. V každém případě je třeba dodržovat návod k použití dodávaný s výrobkem, aby byla zajištěna správná instalace.
- Čištění vyvrtaného kotevního otvoru musí být provedeno dle návodu na použití (2x vyfoukat stlačeným vzduchem bez oleje (min. 6bar), 2x vykartáčovat a opět 2x vyfoukat stlačeným vzduchem bez oleje (min. 6bar)).
- Charakteristická pevnost lepicí hmoty (soudržnost) závisí na krátkodobých a dlouhodobých teplotách.
- Návrhová metoda fib (07/2011) předpokládá, že mezi kotvami a kotevní deskou není žádná vůle. To může být dosaženo vyplněním prstencových mezer lepicí hmotou dostatečné pevnosti v tlaku (například pomocí HILTI seismických / plnicích setů), nebo jiným vhodným způsobem
- V souladu se současnými normami (např. EC3) je zodpovědnost na straně uživatele.
- Posouzení přenosu zatížení do základního materiálu je požadováno provést podle fib (07/2011)!
- Charakteristická odolnost spoje závisí na délce období návratu (životnosti v letech): 50

**Upevnění je bezpečné!**

Společnost: Marpo s.r.o.  
 Projektant: Ing. Martin Sležka  
 Adresa:  
 Telefon I fax: |  
 E-mail:

Strana: 6  
 Projekt: Zak. č. A38 19 002  
 Dílčí projekt / pozice č.: ČRo Olomouc – rekons  
 Datum: 31.1.2020

## 8 Montážní pokyny

Kotevní deska, ocel: -

Profil: Obdélníkový dutý profil, 200 x 120 x 5,6; (V x Š x T) = 200 mm x 120 mm x 6 mm

Průměr otvoru v kotevní desce:  $d_f = 22$  mm

Tloušťka kotevní desky (vstup): 12 mm

Doporučená tloušťka kotevní desky: nepočítána

Metoda vrtání: Vyvrtáno přiklepem

Čištění: Je požadováno kvalitní vyčištění kotevního otvoru

Typ a velikost kotvy: HIT-HY 200-A + HAS-U 5.8 M20

Utahovací moment: 0,150 kNm

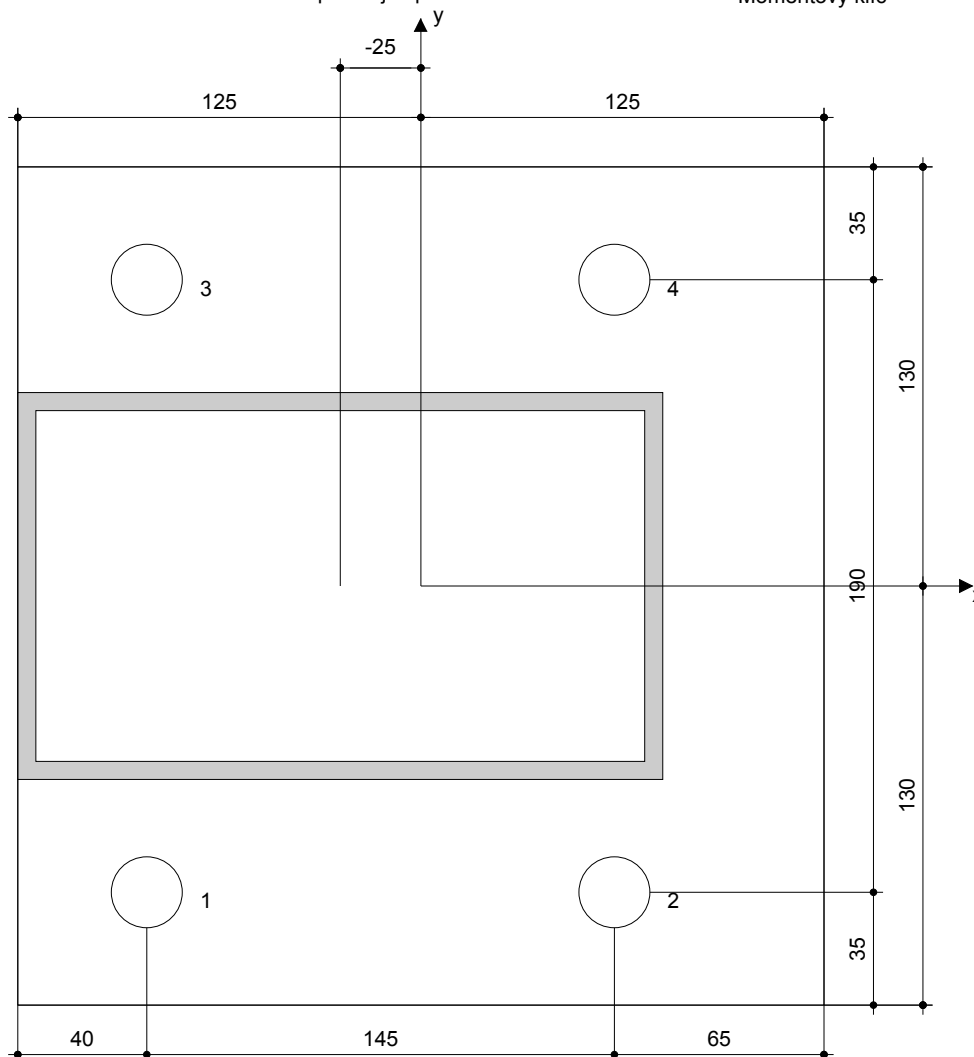
Průměr otvoru v základním materiálu: 22 mm

Hloubka kotevního otvoru v základním materiálu: 150 mm

Minimální tloušťka základního materiálu: 194 mm

### 8.1 Doporučené příslušenství

Vrtání	Čištění	Osazení
<ul style="list-style-type: none"> <li>Vhodná pro vrtací kladivo</li> <li>Vrták správného průměru</li> </ul>	<ul style="list-style-type: none"> <li>Stlačený vzduch s požadovaným příslušenstvím pro vyfoukání kotevního otvoru ode dna</li> <li>Odpovídající průměr drátkového kartáče</li> </ul>	<ul style="list-style-type: none"> <li>Výtlačovací přístroj včetně vodící kazety a směšovače</li> <li>Seismický/Plnicí set</li> <li>Momentový klíč</li> </ul>



#### Souřadnice kotev [mm]

Kotva	x	y	c <sub>-x</sub>	c <sub>+x</sub>	c <sub>-y</sub>	c <sub>+y</sub>
1	-85	-95	140	280	-	-
2	60	-95	285	135	-	-
3	-85	95	140	280	-	-
4	60	95	285	135	-	-

Společnost:	Marpo s.r.o.	Strana:	7
Projektant:	Ing. Martin Sležka	Projekt:	Zak. č. A38 19 002
Adresa:		Dílčí projekt / pozice č.:	ČRo Olomouc – rekons
Telefon I fax:		Datum:	31.1.2020
E-mail:			

## 9 Poznámky, požadavky na vaši kooperaci

- Veškeré informace a data obsažená v Softwaru se týkají výhradně použití výrobků Hilti a vycházejí ze zásad, předpisů a bezpečnostních nařízení v souladu s technickými směrnicemi a provozními, montážními a instalačními pokyny společnosti Hilti, jimiž se uživatel musí striktně řídit. Veškerá čísla obsažená v Softwaru představují průměrné hodnoty, a proto je před použitím příslušného výrobku Hilti nutno provést testy pro jeho konkrétní použití. Výsledky výpočtů provedených pomocí Softwaru vycházejí především z vámi zadaných dat. Nesete proto výhradní odpovědnost za bezchybnost, úplnost a relevantnost zadávaných dat. Mimoto nesete výhradní odpovědnost za kontrolu výsledků vzešlých z výpočtů a za to, že si tyto výsledky před jejich použitím pro konkrétní zařízení necháte ověřit a schválit od odborníka, zejména co se týče souladu s příslušnými normami a povoleními. Software slouží pouze jako pomůcka pro interpretaci norem a povolení bez jakékoli záruky ohledně bezchybnosti, přesnosti a relevantnosti výsledků nebo vhodnosti pro konkrétní použití.
- Abyste předešli škodám, které by Software mohl způsobit, nebo omezili jejich rozsah, musíte přijmout veškerá nutná a přiměřená opatření. Obzvláště je třeba pravidelně zálohovat programy a data a v případě potřeby provádět aktualizace Softwaru, které společnost Hilti pravidelně nabízí. Nepoužíváte-li funkci AutoUpdate, která je součástí Softwaru, je nutné zajistit aktuálnost vámi používané verze Softwaru ručními aktualizacemi prostřednictvím internetových stránek společnosti Hilti. Společnost Hilti nenese žádnou zodpovědnost za důsledky vzešlé z vámi zaviněného porušení povinností, jako je například nutnost obnovy ztracených či poškozených dat nebo programů.